

Herbert Bernstein

# Formelsammlung

Elektrotechnik, Elektronik, Messtechnik, analoge und digitale Elektronik

2. Auflage



# Formelsammlung

# Lizenz zum Wissen.



# Springer für Professionals.

Digitale Fachbibliothek. Themen-Scout. Knowledge-Manager.

- Zugriff auf tausende von Fachbüchern und Fachzeitschriften
- Selektion, Komprimierung und Verknüpfung relevanter Themen durch Fachredaktionen
- Name oder der Schlieben Wissensorganisation und Vernetzung

www.entschieden-intelligenter.de



# Herbert Bernstein

# Formelsammlung

Elektrotechnik, Elektronik, Messtechnik, analoge und digitale Elektronik

2., aktualisierte Auflage



Herbert Bernstein München, Deutschland

ISBN 978-3-658-18178-9 ISBN 978-3-658-18179-6 (eBook) https://doi.org/10.1007/978-3-658-18179-6

Die Deutsche Nationalbibliothek verzeichnet diese Publikation in der Deutschen Nationalbibliografie; detaillierte bibliografische Daten sind im Internet über http://dnb.d-nb.de abrufbar.

#### Springer Vieweg

Die 1. Auflage 2004 erschien im Franzis Verlag unter dem Titel "Formelsammlung Elektrotechnik und Elektronik". © Springer Fachmedien Wiesbaden GmbH, ein Teil von Springer Nature 2019

Das Werk einschließlich aller seiner Teile ist urheberrechtlich geschützt. Jede Verwertung, die nicht ausdrücklich vom Urheberrechtsgesetz zugelassen ist, bedarf der vorherigen Zustimmung des Verlags. Das gilt insbesondere für Vervielfältigungen, Bearbeitungen, Übersetzungen, Mikroverfilmungen und die Einspeicherung und Verarbeitung in elektronischen Systemen.

Die Wiedergabe von Gebrauchsnamen, Handelsnamen, Warenbezeichnungen usw. in diesem Werk berechtigt auch ohne besondere Kennzeichnung nicht zu der Annahme, dass solche Namen im Sinne der Warenzeichenund Markenschutz-Gesetzgebung als frei zu betrachten wären und daher von jedermann benutzt werden dürften.

Der Verlag, die Autoren und die Herausgeber gehen davon aus, dass die Angaben und Informationen in diesem Werk zum Zeitpunkt der Veröffentlichung vollständig und korrekt sind. Weder der Verlag, noch die Autoren oder die Herausgeber übernehmen, ausdrücklich oder implizit, Gewähr für den Inhalt des Werkes, etwaige Fehler oder Äußerungen. Der Verlag bleibt im Hinblick auf geografische Zuordnungen und Gebietsbezeichnungen in veröffentlichten Karten und Institutionsadressen neutral.

Springer Vieweg ist ein Imprint der eingetragenen Gesellschaft Springer Fachmedien Wiesbaden GmbH und ist ein Teil von Springer Nature

Die Anschrift der Gesellschaft ist: Abraham-Lincoln-Str. 46, 65189 Wiesbaden, Germany

#### **Vorwort**

Theorie und Praxis gehören für den Elektriker und Elektroniker zusammen. Allerdings sucht der Student und Schüler immer nach Möglichkeiten, sein Gedächtnis nicht allzusehr mit Formeln zu belasten, die gelegentlich nur einmal gebraucht werden. Er will aber in dem Augenblick, in dem ihm seine praktische Erfahrung nicht mehr genügt, einen Hinweis finden, wie er rasch und sicher zum Ziel kommen kann. Besonders beim eigenen Schaltungsaufbau und beim Entwurf von Prüfgeräten treten oft Schwierigkeiten auf. An Stelle mühsamer Versuche klärt eine einfache Rechnung in vielen Fällen überraschend schnell die offenen Fragen. Weit verstreut in der Fachliteratur sind die benötigten Formeln alle irgendwo niedergelegt, wenn man nur wüsste, wo!

Die vorliegende Formelsammlung will versuchen, diesem Mangel abzuhelfen. Sie kann nicht alles enthalten, was jemals in der Praxis der Elektronik vorkommt, sie will aber die wichtigen und wesentlichen Formeln, einschließlich der mathematischen Grundlagen, geordnet zur Verfügung stellen.

Es ist sicher sinnvoll, nach Jahren der Datenbank-Euphorie festzustellen, dass der Untergang des Buches nicht stattgefunden hat. Elektronische Datenspeicher haben zwar ihre Daseinsberechtigung und mittlerweile einen festen Platz im Komplex der Informationssysteme, sie ersetzen aber nicht das Buch, sondern ergänzen es. Ein Hauptgrund dafür ist ohne Zweifel, dass das Buch durch seine Mobilität benutzerfreundlicher ist, weil die Inhalte stets überall und ohne Hilfsmittel abrufbar sind.

Das gilt auch besonders für Tabellenbücher, die durch die Datenbänke nicht verdrängt wurden. So wie das Fachrechnen in der beruflichen Ausbildung weiter an Bedeutung gewinnt, so gehören die Zusammenstellung von Zahlen, Formeln, Daten, Schaltungen usw. in der klassischen, d. h. gedruckten Form uneingeschränkt in den Alltag – in Schule und Betrieb. Texte und Zahlen, die der Benutzer nachschlagen kann, prägen sich besser ein. Das ist bei der Fülle der Informationen ein nicht zu unterschätzender Vorteil!

Abschließend noch ein paar Anmerkungen zu den Normen. Ein Formelbuch für die Ausund Weiterbildung kann und soll nicht die DIN-Blätter und DIN-Taschenbücher ersetzen. Mit den Hinweisen und Zitaten wird lediglich die Beschäftigung mit den Normen und deren ständige Anwendung angestrebt. Die Hinführung zur Norm und das Wecken VI Vorwort

von Verständnis für die große Bedeutung der Normung ist Aufgabe aller Betroffenen, besonders aber im Studium.

Ein Fachbuch bleibt nur dann "lebendig", wenn die Benutzer ihre Erfahrungen und Erkenntnisse weitergeben. Das gilt besonders für Tabellenbücher, die bei der Vielzahl von Informationen – trotz sorgfältigster Arbeit des Autors – Fehler enthalten können. Um diese auszumerzen, bedarf es der Mitwirkung aller Betroffenen, also auch der Benutzer. Für alle Mühe bin ich im Voraus verbunden, sowie an dieser Stelle, wie stets, allen denen danken, die das Werk durch Anregungen und Rat förderten. Meine Bitte, durch konstruktive Kritik weiter mitzuwirken, möge nicht überhört werden.

Das Buch entstand aus meinen Manuskripten (1. bis 4. Semester) an der Technikerschule in München und ist geeignet für Berufsschulen, Berufsakademien, Meisterschulen, Technikerschulen und Fachhochschulen.

Ich bedanke mich bei meinen Studenten für die vielen Fragen, die viel zu einer besonders eingehenden Darstellung wichtiger und schwieriger Fragen beigetragen haben.

Meiner Frau Brigitte danke ich für die Erstellung der Zeichnungen.

Wenn Fragen auftreten: Bernstein-Herbert@t-online.de

München, im Sommer 2018

Herbert Bernstein

# Inhaltsverzeichnis

wort .				
Allgo	emeine mathematischen Zeichen und Begriffe			
1.1	Mathematische Zeichen und Begriffe			
1.2	Zahlen und Zahlensysteme			
1.3 Griechisches Alphabet				
1.4	<del>_</del>			
1.5	Funktionen			
1.6	Längen-, Flächen- und Körperberechnungen			
1.7				
1.8	SI-Basiseinheiten			
1.9	Schaltalgebra			
1.10	Trigonometrie (Ebene)			
1.11	Sphärische Trigonometrie			
1.12	Gleichungen			
1.13	Analytische Geometrie			
1.14	Vektoren			
	1.14.1 Skalarprodukt			
	1.14.2 Vektorprodukt			
1.15	Komplexe Zahlen			
1.16	Grenzwerte			
1.17	Differentialrechnungen			
1.18	Integralrechnungen			
1.19	Potenzreihenentwicklung			
1.20	Kombinatorik			
1.21	Determinanten			
	1.21.1 Eigenschaften			
	1.21.2 Auflösung eines linearen Gleichungssystems			
1.22	Matrizen			
	1.22.1 Rechenregeln			

VIII Inhaltsverzeichnis

	1.23	Mengenlehre
		1.23.1 Grundbegriffe
		1.23.2 Mengenoperation
	1.04	1.23.3 Rechenregeln
	1.24	Wahrscheinlichkeitsrechnung
	1.25	Normalverteilung
2	Allger	neine Elektrotechnik4
	2.1	Einheiten der Elektrotechnik
	2.2	Ladung40
	2.3	Spannung
	2.4	Stromstärke
	2.5	Stromdichte
	2.6	Elektrizitätsmenge
	2.7	Spannungspotential
	2.8	Ohm'sches Gesetz
	2.9	Elektrische Leistung
	2.10	Elektrische Arbeit
	2.11	Messen der elektrischen Leistung
	2.12	Wirkungsgrad
	2.13	Leitungswiderstand
	2.14	Widerstand und Temperatur
	2.15	Spannungsfall auf Leitungen
	2.16	Leitwert und Widerstand 5
	2.17	Reihenschaltung von Widerständen
	2.18	Parallelschaltung von Widerständen
	2.19	Widerstände mit unterschiedlichen Temperaturkoeffizienten
	2.20	Ideale Spannungsquelle
	2.21	Ideale Stromquelle
	2.22	Reale Spannungsquelle
	2.23	Reale Stromquelle
	2.24	Belasteter Spannungserzeuger
	2.25	Anpassung 54
	2.26	Reihenschaltung von Spannungserzeugern
	2.27	Parallelschaltung von Spannungserzeugern
	2.28	Erstes Kirchhoff'sches Gesetz (Knotenregel)
	2.29	Zweites Kirchhoff'sches Gesetz (Maschenregel)
	2.30	Umrechnung einer Strom- in eine Spannungsquelle
	2.31	Umrechnung einer Spannungs- in eine Stromquelle
	2.32	Wärmewirkungsgrad
	2.33	Faraday'sches Gesetz
	2.34	Ersatzspannungsquelle
	2.35	Ersatzstromquelle 5

Inhaltsverzeichnis IX

3	Gleich	nstromkreis
	3.1	Elektrische Größen
	3.2	Strom-Spannungs-Diagramm
	3.3	Reihen- und Parallelschaltung
	3.4	Unbelasteter Spannungsteiler
	3.5	Spannungsteiler mit veränderbarem Abgriff
	3.6	Belasteter Spannungsteiler
	3.7	Vorwiderstand
	3.8	Messbereichserweiterung für Spannungsmessung
	3.9	Messbereichserweiterung Strommessung
	3.10	Wheatstone Brücke
	3.11	Schleifdrahtbrücke
	3.12	Schleifdrahtbrücke nach Thomson
	3.13	Dreieck-Stern-Umwandlung
	3.14	Stern-Dreieck-Umwandlung
	3.15	Internationale Reihe von Widerständen
4		selspannung und Wechselstrom
	4.1	Sinusförmige Wechselspannung
	4.2	Spitzen- und Effektivwerte
	4.3	Zeiger- und Liniendiagramm
	4.4	Phasenverschiebung
	4.5	Leistung im Wechselstromkreis
	4.6	Amplitudenform der Messgröße
	4.7	Spannungsarten
	4.8	Rechtecksignale
	4.9	Signallaufzeit
	4.10	Addition phasenverschobener Spannungen und Ströme
	4.11	Fourier-Analyse
5	Elekti	risches Feld und Kondensator
	5.1	Kraft zwischen Ladungen (Coulomb'sches Gesetz)
	5.2	Elektrische Feldstärke
	5.3	Kapazität eines Kondensators
	5.4	Parallelschaltung für Kondensatoren
	5.5	Reihenschaltung für Kondensatoren
	5.6	Temperaturverhalten von Kondensatoren
	5.7	Kapazität von Kondensatoren
	5.8	Energie eines geladenen Kondensators
	5.9	Elektrische Ladungsverschiebung
	5.10	Kapazitiver Blindwiderstand
	5.10	Drehkondensator
	5.12	Zeitkonstante eines Kondensators
	5.12	Austausch eines Kondensators (Kapazitätsvariation)
	5.13	Verlustfaktor von Kondensatoren
	5.14	Reststrom von Elektrolytkondensatoren
	J.1J	Resistrom von Eteknotytkondensatolen

X Inhaltsverzeichnis

6	Magn	etisches Feld und Induktionsspannung	95
	6.1	Magnetische Durchflutung	95
	6.2	Magnetische Feldstärke	95
	6.3	Magnetische Flussdichte (Induktion)	96
	6.4	Magnetische Feldstärke und Flussdichte	96
	6.5	Magnetischer Widerstand und magnetischer Leitwert	97
	6.6	Magnetischer Kreis mit Luftspalt (ohne Streuung)	97
	6.7	Kraft im Magnetfeld	97
	6.8	Stromdurchflossener Leiter mit Magnetfeld	98
	6.9	Spule im Magnetfeld	98
	6.10	Kraft auf parallele Stromleiter	98
	6.11	Induktion	99
	6.12	Induktion der Bewegung	99
	6.13	Selbstinduktionsspannung	99
	6.14	Selbstinduktivität von Spulen	100
	6.15	Energie einer stromdurchflossenen Spule	100
	6.16	Reihenschaltung von Induktivitäten	100
	6.17	Parallelschaltung von Induktivitäten	100
	6.18	Reihenschaltung von Induktivitäten mit magnetischer Kopplung	101
	6.19	Parallelschaltung von Induktivitäten mit magnetischer Kopplung	101
	6.20	Selbstinduktion (konzentrisches Kabel, Koaxialkabel)	102
	6.21	Selbstinduktion (Leitung gegen Masse)	102
	6.22	Selbstinduktion (Doppelleitung)	102
	6.23	Einlagige Spule	102
	6.24	Mehrlagige Spule	103
	6.25	Ringkreisförmige Luftspule	103
	6.26	Zeitkonstante einer Spule	103
	6.27	Induktiver Blindwiderstand	104
	6.28	Umwickeln von Spulen	104
	6.29	Spulengüte	105
	6.30	Transformator (ohne Verluste)	105
7	Wider	rstände im Wechselstromkreis	107
	7.1	Ohm'scher Widerstand	107
	7.2	Induktiver Widerstand	107
	7.3	Kapazitiver Widerstand	108
	7.4	RL-Reihenschaltung	108
	7.5	RL-Parallelschaltung	109
	7.6	RC-Reihenschaltung	109
	7.7	RC-Parallelschaltung	110
	7.8	RLC-Reihenschaltung	111
	7.9	RLC-Parallelschaltung	111
	7.10	Reihenschaltung von RL-Gliedern	112
	7.11	Reihenschaltung von RC-Gliedern	113
	7.12	Parallelschaltung von RL-Gliedern	114
	7.13	Parallelschaltung von RC-Gliedern	114
	7.14	Reihenschaltung von RLC-Gliedern	115

Inhaltsverzeichnis XI

	7.15	Parallelschaltung von RLC-Gliedern	116
	7.16	Umrechnung von RC-Gliedern zwischen	
		Reihen- und Parallelschaltung	116
	7.17	Umrechnung von RL-Schaltung zwischen	
		Reihen- und Parallelschaltung	117
	7.18	Verlustbehafteter Kondensator	117
	7.19	Verlustbehaftete Spule	118
	7.20	Leistung und Leistungsfaktor	118
	7.21	Bauelement, Zeiger- und Liniendiagramme	
		für Ohm'sche Widerstände	119
	7.22	Bauelement, Zeiger- und Liniendiagramme	
		für induktive Blindwiderstände	119
	7.23	Bauelement, Zeiger- und Liniendiagramme	
		für kapazitive Blindwiderstände	120
	7.24	Resonanz bei Schwingkreisen	120
	7.25	Reihenschwingkreis	121
	7.26	Parallelschwingkreis	121
	7.27	Scheinwiderstand und Phasenverschiebung	122
	7.28	Komplexe Darstellung von R, C und L	123
	7.29	Vierpolparameter von elektrischen Zweitoren	124
	7.30	Umrechnung der Vierpolparameter	126
	7.31	Zusammenschalten von Vierpolen	127
	7.32	Frequenzweichen für Lautsprecher	128
8	8.1	RC- und LR-Tiefpass	131 131
	8.2	CR- und RL-Hochpass	133
	8.3	LC-Glied	134
	8.4	CL-Glied	135
	8.5	T- und π-Tiefpass	135
	8.6	T- und π-Hochpass	136
	8.7	LC-Verzögerungsleitung	137
	8.8	6 6 6	
	8.9	Tiefpass-Doppelglied	13/
		Tiefpass-Doppelglied	137 138
		Hochpass-Doppelglied	138
	8.10	Hochpass-DoppelgliedLC-Bandpass	138 139
		Hochpass-Doppelglied	138 139 140
	8.10 8.11 8.12	Hochpass-Doppelglied  LC-Bandpass  LC-Bandsperre  RC-Bandpass (Wienbrücke)	138 139
	8.10 8.11 8.12 8.13	Hochpass-Doppelglied  LC-Bandpass  LC-Bandsperre  RC-Bandpass (Wienbrücke)  Phasenschieber	138 139 140 140 141
	8.10 8.11 8.12	Hochpass-Doppelglied  LC-Bandpass  LC-Bandsperre  RC-Bandpass (Wienbrücke)  Phasenschieber  Integrierglied	138 139 140 140
	8.10 8.11 8.12 8.13 8.14	Hochpass-Doppelglied  LC-Bandpass  LC-Bandsperre  RC-Bandpass (Wienbrücke)  Phasenschieber  Integrierglied  Differenzierglied	138 139 140 140 141 141
	8.10 8.11 8.12 8.13 8.14 8.15	Hochpass-Doppelglied  LC-Bandpass  LC-Bandsperre  RC-Bandpass (Wienbrücke)  Phasenschieber  Integrierglied	138 139 140 140 141 141 141
	8.10 8.11 8.12 8.13 8.14 8.15 8.16	Hochpass-Doppelglied LC-Bandpass LC-Bandsperre RC-Bandpass (Wienbrücke) Phasenschieber Integrierglied Differenzierglied Wellenwiderstand für Leitungen	138 139 140 140 141 141 141 142
	8.10 8.11 8.12 8.13 8.14 8.15 8.16 8.17	Hochpass-Doppelglied LC-Bandpass LC-Bandsperre RC-Bandpass (Wienbrücke) Phasenschieber Integrierglied Differenzierglied Wellenwiderstand für Leitungen Dämpfungskonstante für Kabel	138 139 140 140 141 141 141 142 142
	8.10 8.11 8.12 8.13 8.14 8.15 8.16 8.17 8.18	Hochpass-Doppelglied  LC-Bandpass  LC-Bandsperre  RC-Bandpass (Wienbrücke)  Phasenschieber  Integrierglied  Differenzierglied  Wellenwiderstand für Leitungen  Dämpfungskonstante für Kabel  Ausbreitungsgeschwindigkeit für Freileitungen	138 139 140 140 141 141 141 142 142
	8.10 8.11 8.12 8.13 8.14 8.15 8.16 8.17 8.18	Hochpass-Doppelglied  LC-Bandpass  LC-Bandsperre  RC-Bandpass (Wienbrücke)  Phasenschieber  Integrierglied  Differenzierglied  Wellenwiderstand für Leitungen  Dämpfungskonstante für Kabel  Ausbreitungsgeschwindigkeit für Freileitungen  Ausbreitungsgeschwindigkeit für hochfrequente  Leitungen und Kabel  Reflexionsfaktor	138 139 140 140 141 141 142 142 143
	8.10 8.11 8.12 8.13 8.14 8.15 8.16 8.17 8.18 8.19	Hochpass-Doppelglied  LC-Bandpass  LC-Bandsperre  RC-Bandpass (Wienbrücke)  Phasenschieber  Integrierglied  Differenzierglied  Wellenwiderstand für Leitungen  Dämpfungskonstante für Kabel  Ausbreitungsgeschwindigkeit für Freileitungen  Ausbreitungsgeschwindigkeit für hochfrequente  Leitungen und Kabel	138 139 140 140 141 141 142 142 143

XII Inhaltsverzeichnis

	8.22	Wellenwiderstand im Aufbau	144
	8.23	Klirrfaktor	145
	8.24	Klirrdämpfung	145
	8.25	Skineffekt, Hauteffekt	146
	8.26	Induktive Erwärmung	146
	8.27	Rauschen	147
9	Dämpf	ung, Verstärkung, Pegel	149
	9.1	Dämpfungsfaktor	149
	9.2	Übertragungsfaktor	149
	9.3	Dämpfungsmaß in Bel	150
	9.4	Dämpfungsmaß in dB	150
	9.5	Übertragungsmaß in dB	150
	9.6	Dämpfungsmaß in Np	150
	9.7	Relativer Pegel	151
	9.8	Absoluter Pegel in dB	151
	9.9	Betriebsdämpfung	151
	9.10		152
	9.11		152
	9.12		152
	9.13		153
	9.14	Störpegelabstand	153
	9.15	Nebensprechdämpfung	153
	9.16	<u> </u>	154
	9.17	Wellenwiderstand, Dämpfungskonstante,	
	,,,,		154
	9.18	Wellenwiderstand, Dämpfungskonstante,	
	,,,,	Ausbreitungsgeschwindigkeit für Kabel	155
	9.19	Wellenwiderstand im Aufbau	156
	9.20	Datenübertragung	157
	9.21	Dämpfungsverlauf	158
	9.22	Elektromagnetische Wellen	159
	9.23	Hochfrequenzleitung	163
	9.24	Resonanzfrequenzänderung mit Drehkondensator	164
	9.25	Anpassung durch Resonanztransformator	164
	9.26	Gekoppelte Bandfilter	166
10	Dioden	·	169
	10.1	Verlustleistung einer Diode	169
	10.2	Zulässige Verlustleistung einer Diode	169
	10.3	Statischer Diodenwiderstand (Gleichstromwiderstand)	170
	10.4	Dynamischer Diodenwiderstand (Wechselstromwiderstand)	171
	10.5	Temperaturverhalten von Dioden	171
	10.6	Spannungsbegrenzung	172
	10.7	Diodenschalter	172
	10.8	M1U, Einpuls-Mittelpunktschaltung	173
	10.9	M2U, Zweipuls-Mittelpunktschaltung	173

Inhaltsverzeichnis XIII

	10.10	B2U, Zweipuls-Brückenschaltung	174
	10.11	M3U, Dreipuls-Mittelpunktschaltung	174
	10.12	B6U, Sechspuls-Brückenschaltung	175
	10.13	Arithmetischer Mittelwert (Ohm'sche Last bei Gleichstrom)	175
	10.14	Strombelastbarkeit	175
	10.15	Sperrspannung	176
	10.16	M1U-Gleichrichter mit Ladekondensator	176
	10.17	M2U-Gleichrichter mit Ladekondensator	177
	10.18	B2U-Gleichrichter mit Ladekondensator	177
	10.19	RC-Siebung	178
	10.20	LC-Siebung	178
	10.21	Spannungsverdopplung nach Delon (Greinacher)	178
	10.22	Spannungsverdopplung nach Villard (Kaskadenschaltung)	179
	10.23	Spannungsvervielfachung nach Villard	179
	10.24	Reihen- und Parallelschaltung von Dioden	179
	10.25	Unbelastete Spannungsstabilisierung	180
	10.26	Belastete Spannungsstabilisierung	181
	10.27	Differentieller Innenwiderstand der Z-Diode	181
	10.28	Glättungsfaktor	181
	10.29	Stabilisierungsfaktor	182
	10.30	Kapazitätsdioden	182
	10.31	Tunneldiode	183
11		re Transistoren	185
	11.1	h-Kenngrößen von Transistoren	185
	11.2	y-Kenngrößen von Transistoren (Leitwerte)	186
	11.3	Kennzeichnung von Transistorgrößen	186
	11.4	Kennwerte und Kennlinien	186
	11.5	Vierpol-Parameter	188
	11.6	Beschalteter Vierpol (Emitterschaltung)	189
	11.7	y-Parameter für die Emitterschaltung	190
	11.8	h- und y-Parameter	191
	11.9	Umrechnung der y-Kennwerte aus den Grundschaltungen	192
	11.10	Verlustleistung	192
	11.11	Arbeitspunkteinstellung	193
	11.12	Arbeitsgerade für Gleich- und Wechselstrom	194
	11.13	Kleinsignalverstärkung (Emitterschaltung)	194
	11.14	Kleinsignalverstärkung (Basisschaltung)	195
	11.15	Kleinsignalverstärkung (Kollektorschaltung)	195
	11.16	Stromgegenkopplung	195
	11.17	Spannungsgegenkopplung	196
	11.18	Kopplungskondensatoren	196
	11.19	Transistor als Schalter	197
	11.20	Astabile Kippschaltung (Rechteckgenerator)	199
	11.20 11.21	Monostabile Kippschaltung	200
	11.20		

XIV Inhaltsverzeichnis

	11.24	Gegen- und Mitkopplung	201
	11.25	RC-Phasenschieber-Generator	202
	11.26	RC-Wienbrücken-Generator	203
	11.27	Meißner-Schaltung	204
	11.28	Hartley-Schaltung	204
	11.29	Gegentakt-Hartley-Schaltung	205
	11.30	Colpits-Schaltung I	205
	11.31	Colpits-Schaltung II	206
	11.32	ECO-Schaltung	206
	11.33	Quarzschaltung für niedrige Frequenzen	207
	11.34	Quarzschaltung für hohe Frequenzen	207
	11.35	Quarzschaltung für sehr hohe Frequenzen	207
	11.36	Induktive Kopplung bei Kleinsignalverstärkern	208
	11.37	Kapazitive Kopplung bei Kleinsignalverstärkern	208
	11.38	Gleichstromkopplung bei Kleinsignalverstärkern	209
	11.39	Darlington-Schaltung	209
	11.40	Emitterschaltung mit Stromgegenkopplung	210
	11.41	Emitterschaltung mit Spannungsgegenkopplung	210
	11.42	Bootstrap-Schaltung	210
	11.43	Leistungsverstärker	211
	11.44	Kaskode-Schaltung	212
	11.45	Konstantspannungsquelle	213
	11.46	Konstantstromquelle	213
	11.47	Differenzverstärker	213
12		fekttransistor, MOSFET und Röhren	215
	12.1	Feldeffekttransistor (FET)	216
	12.2	Konstantstromquelle	218
	12.3	Sägezahngenerator	219
	12.4	Rechteckgenerator	219
	12.5	Monostabile Kippstufe	220
	12.6	Wechselspannungsverstärker	220
	12.7	MOSFET	221
	12.8	Dual-Gate-MOSFET	223
	12.9	Röhren	224
	12.10	Trioden-Schaltung	226
	12.11	Pentoden-Schaltung	227
13	Opera	tionsverstärker	229
	13.1	Grundschaltungen des Operationsverstärkers	231
	13.2	Komparator und Schmitt-Trigger	233
	13.3	Wandler mit Operationsverstärker	236
	13.4	Generatoren mit Operationsverstärker	239
	13.5	Aktive Tiefpass- und Hochpass-Filter	242
	13.6	Umwandlung von Tief- in Hochpassfilter	252
	13.7	Selektiver Bandpass 2. Ordnung mit Schwingkreis	253
	13.8	Selektive Bandsperre 2. Ordnung	253

Inhaltsverzeichnis XV

	13.9	Sallen-Key-Bandpass 2. Ordnung	255
	13.10	Notch-Filter	258
	13.11	Allpassfilter	259
14	Regelu	ıngstechnik	261
	14.1	Regelkreis	261
	14.2	Verhalten von Regelkreisen	262
	14.3	Klassifizierung von Regelstrecken	264
	14.4	Ortskurven in der Regelungstechnik	266
	14.5	Bodediagramm in der Regelungstechnik	268
	14.6	Regelstreckenglieder	271
	14.7	Realisierung von elektronischen Reglern	274
	14.8	Arbeitsweise von geschlossenen Regelkreisen	288
	14.9	Optimierung von Regelkreisen	292
	14.10	Schaltende Regler	296
15	Digital	ltechnik	299
	15.1	Bedeutung der binären Signalwerte	299
	15.2	Zahlensysteme	299
	15.3	Umrechnen von Zahlensystemen	300
	15.4	Bits und Bytes	301
	15.5	Codes	303
	15.6	Logische Grundfunktionen	307
	15.7	Grundregeln der Schaltalgebra	309
	15.8	Minimieren mit Karnaugh-Diagramm	310
	15.9	Grundschaltungen mit Flipflops	312
	15.10	Auslastfaktoren (fan-in, fan-out) bei TTL-Bausteinen	313
	15.11	CMOS-Bausteine	314
	15.12	Digitale Schalter	319
	15.12	Monostabile Schaltungen	320
	15.14	Astabile Kippschaltungen	321
	15.15	Asynchrone Frequenzteiler und Zähler	323
	13.13	risyllemone rrequenzioner una zunier	323
16	Sensor	ik	327
	16.1	NTC-Widerstände (Heißleiter)	327
	16.1	PTC-Widerstand (Kaltleiter)	330
	16.2	Brückenschaltung	330
	16.4	Dehnungsmessstreifen	332
	16.5	Ohm'scher Weg- und Winkelaufnehmer	334
	16.6		334
	16.7	Induktiver Weg- und Winkelaufnehmer	
	16.7	Kapazitiver Weg- und Winkelaufnehmer	335
		Hallgenerator	336
	16.9	Feldplatte	337
	16.10	VDR-Widerstand	338
	16.11	Peltier-Batterie	339
	16.12	Beleuchtungsgrößen und Einheiten	339

XVI Inhaltsverzeichnis

	16.13	Fotowiderstände	341
	16.14	Fotodioden	342
	16.15	Fototransistoren	343
	16.16	Fotoelemente	344
	16.17	Leuchtdioden	345
	16.18	Optokoppler	346
17	Messte	echnik	347
	17.1	Klasseneinteilung und Bedingungen	347
	17.2	Genauigkeiten von Messgeräten	350
	17.3	Genauigkeiten von Betriebsmessgeräten	351
	17.4	Anzeige eines Digitalmessgerätes	352
	17.5	Messbereichserweiterung (Spannung)	352
	17.6	Messbereichserweiterung (Strom)	353
	17.7	Amplitudenform der Messgröße	353
	17.8	Spannungs- und Strommessung mit Messwandlern	355
	17.9	Leistungsmessung: Schein- und Wirkleistung	355
	17.10	Widerstandsmessung	356
	17.11	Direktanzeigende Ohmmeter	356
	17.12	Schleifdrahtbrücke	357
	17.13	Messung an Spannungsteilern	357
	17.14	Kapazitätsmessung	357
	17.15	Induktivitätsmessung	358
	17.16	Messung der elektrischen Leistung	359
	17.17	Wechselspannungs-Messbrücken	360
	17.18	Messen mit dem Oszilloskop	363
	17.19	Statistische Berechnung der Messunsicherheit	368
18	Drehst	rom und Wechselstrom	375
	18.1	Augenblickswert, Scheitelwert, Spitze-Spitze-Wert, Effektivwert	376
	18.2	Sternschaltung	377
	18.3	Dreieckschaltung	378
	18.4	Leitungssysteme	379
	18.5	Drehstrommotor	380
	18.6	Umwandlung von Stern-Dreieck und Dreieck-Stern	381
	18.7	Drehstrom-Asynchronmotor	381
	18.8	Motormoment	382
	18.9	Blindstromkompensation für Drehstrom	384
	18.10	Drehstrommotor an Wechselspannung	384
	18.11	Gleichstrom-Scheibenläufer	386
	18.12	Schrittmotor	386
	18.13	Mechanische Übertragung der Motorleistung	387
	18.14	Drehstromzähler und Netzformen	390
	18.15	Schutzeinrichtungen und Schutzmaßnahmen	392
	18.16	Gefährliche Körperströme	395
	10.10	Columnia i Lorpetou onic	273
Sac	hwortve	erzeichnis	397

Allgemeine mathematischen
Zeichen und Begriffe

	ı	ı	
	ı	ı	

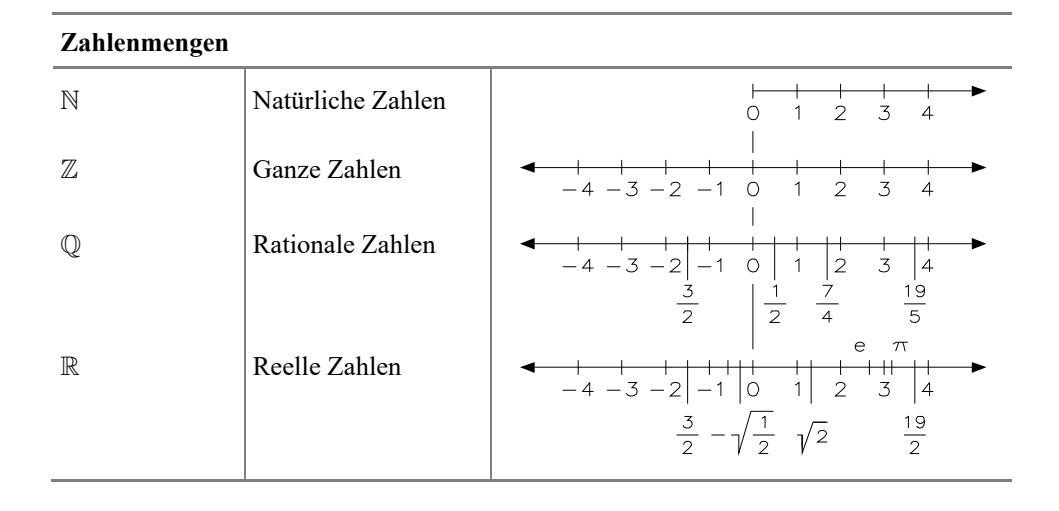
Zeichen	Verwendung	Sprechweise (Erläuterungen)
Pragmatische Z	Zeichen (nicht mathema	tisch im engeren Sinne)
≈	$x \approx y$	x ist ungefähr gleich y
<<	$x \ll y$	x ist klein gegen y
>>	x>>y	x ist groß gegen y
<b>^</b>	x = y	x entspricht y
		und so weiter bis, und so weiter (unbegrenzt)
Allgemeine arit	hmetische Relationen u	nd Verknüpfungen
=	x = y	x gleich y
<b>≠</b>	$x \neq y$	x ungleich y
<	x < y	x kleiner als y
≤	$x \le y$	x kleiner oder gleich y, x höchstens gleich y
>	x>y	x größer als y
≥	$x \ge y$	x größer oder gleich y, x mindestens gleich y
+	x + y	x plus $y$ , Summe von $x$ und $y$
_	x-y	x minus y, Differenz von x und y
•	$x \cdot y$ oder $xy$	x mal $y$ , Produkt von $x$ und $y$
– oder /	$\frac{x}{y}$ oder $x/y$	x durch y, Quotient von x und y
Σ	$\sum_{i=1}^{n} x_i$	Summe über $x_i$ von $i$ gleich 1 bis $n$
~	$f \sim g$	f ist proportional zu $g$

Zeichen	Verwendung	Sprechweise (Erläuterungen)					
Besondere Zahlen und Verknüpfungen							
π	pi	3,1415926					
e		2,7182281					
$x^n$	$x^n$	<i>x</i> hoch <i>n</i> , <i>n</i> -te Potenz von <i>x</i>					
$\sqrt{}$	$\sqrt{\underline{x}}$	Wurzel (Quadratwurzel) aus x					
$\stackrel{n}{\checkmark}$	$ \sqrt[n]{x} $	<i>n</i> -te Wurzel aus <i>x</i>					
	x	Betrag von x					
$\infty$		unendlich					
<i>n</i> !		Fakultät					
Elementare Ge	ometrie						
	$g \perp h$	g und h stehen senkrecht zueinander					
	$g \parallel h$	g ist parallel zu $h$					
$\uparrow \uparrow$	$ g\uparrow\uparrow h $	g und h sind gleichsinnig parallel					
$\uparrow \downarrow$	$ g \uparrow \downarrow h $	g und h sind gegensinnig parallel					
∢	$\lt (g,h)$	(nicht orientierter) Winkel zwischen g und h					
¥	(g,h)	orientierter Winkel von g und h					
		(Zählrichtung festgelegt)					
	PQ	Strecke von P nach Q					
d	d(P,Q)	Abstand (Distanz ) von P nach Q					
Δ	$\Delta (ABC)$	Dreieck ABC					
<u>≅</u>	$M \cong N$	M ist kongruent zu $N$					
Exponentialfun	ktion und Logarithmus	S					
exp	$\exp z$ oder $e^z$	Exponentialfunktion von z oder e hoch z					
ln	$\ln x$	Natürlicher Logarithmus von x (Basis e)					
	$x^z$	$x \operatorname{hoch} z$					
log	$\log_y x$	Logarithmus von x zur Basis y					
lg	$\lg x$	Dekadischer Logarithmus von x (Basis 10)					
Trigonometrisc	che Funktionen sowie de	eren Umkehrungen					
sin	$\sin x$	Sinus von x					
cos	$\cos x$	Cosinus von x					
tan	tan x	Tangens von x					
cot	$\cot x$	Cotangens von x					
arcsin	arcsin x	Arcussinus von x					
arccos	arccos x	Arcuscosinus von x					
arctan	arctan x	Arcustangens von x					
sinh	$\sinh x$	Hyperbelsinus von x					
cosh	$\cosh x$	Hyperbelcosinus von x					
tanh	tanh x	Hyperbeltangens von <i>x</i>					
coth	coth x	Hyperbelcotangens von x					

# 1.1 Mathematische Zeichen und Begriffe

Zeichen	Verwendung	Sprechweise (Erläuterungen)
Mengen		
€	$x \in M$	x ist Element von M
∉	$x \not\in M$	x ist nicht Element von M
	$x_1,, x_n \in A$	$x_1,,x_n$ ist Element von A
{ }	$\{x \mid \varphi\}$	die Menge (Klasse) aller $x$ mit $\varphi$
{,,}	$\{x_1, \dots x_n\}$	die Menge mit den Elementen $x_1, \dots x_n$
$\subseteq$ oder	$A \subseteq B$ oder	A ist Teilmenge von B
$\subset$	$A \subset B$	$A \operatorname{sub} B$
Ç ≠	$A \subsetneq B$	A ist echt enthalten in B
$\tilde{\cap}$	$A \stackrel{\leftarrow}{\cap} B$	A geschnitten mit B, Durchschnitt von A und B
$\cup$	$A \cup B$	A vereinigt mit B, Vereinigung von A und B
\ oder	$A \setminus B$ oder	A ohne $B$
C oder	$C_A B$ oder	Differenzmenge von A und B
_	A-B	relatives Komplement von B mit A
Ø oder {}		leere Menge

# 1.2 Zahlen und Zahlensysteme



Vektoren	
Schreibweise	A, B,, a, b, $\vec{A}, \vec{B},, \vec{a}, \vec{b},$
Grafische Darstellung	
Komponenten eines Vektors	$\overrightarrow{A} = \overrightarrow{A_{x}} + \overrightarrow{A_{y}}$ $\overrightarrow{A_{x}}$
Betrag eines Vektors	A =  A
Multiplikation mit einem Skalar	A·B=C
Addition von Vektoren	A+B=C B
Subtraktion von Vektoren	A-B=C

# Schreibweise von Dezimalzahlen Beispiel: 275,64

Ziffer	2	7	5	6	4
Stelle	3.	2.	1.	1 nach Komma	2 nach Komma
Stellenbezeichnung	Hunderter	Zehner	Einer	Zehntel	Hundertstel
Stellenwert $B^x$	$10^{2}$	101	$10^{0}$	$10^{-1}$	10-2
Potenzwert	$2 \cdot 10^{2}$	$7 \cdot 10^{1}$	$5 \cdot 10^{0}$	$6 \cdot 10^{-1}$	$4 \cdot 10^{-2}$

$$275,64 = 2 \cdot 10^2 + 7 \cdot 10^1 + 5 \cdot 10^0 + 6 \cdot 10^{-1} + 4 \cdot 10^{-2}$$

Schreibweise von Dualzahlen Beispiel: 1101,11							
Ziffer	1	1	0	1	1	1	
Stelle	4.	3.	2.	1.	1 nach Komma	2 nach Komma	
Stellenbezeichnung	Achter	Vierer	Zweier	Einer	Halbe	Viertel	
Stellenwert B*	$2^3$	$2^{2}$	21	$2^{0}$	2-1	2-2	
Potenzwert	$1 \cdot 2^3$	$1 \cdot 2^2$	$1 \cdot 2^1$	$1\cdot 2^0$	$1 \cdot 2^{-1}$	$1 \cdot 2^{-2}$	
110111 1 23 1 22 1 0 21 1 20 1 2-1 1 2-2							

#### $1101,11 = 1 \cdot 2^3 + 1 \cdot 2^2 + 0 \cdot 2^1 + 1 \cdot 2^0 + 1 \cdot 2^{-1} + 1 \cdot 2^{-2}$

#### Rechenregeln für Dualzahlen

Addition	Subtraktion	Multiplikation	Division
0 + 0 = 0	0 - 0 = 0	$0 \cdot 0 = 0$	0:1=0
0 + 1 = 1	1 - 0 = 1	$0 \cdot 1 = 0$	1:1=1
1 + 0 = 1	10 - 1 = 1	$1 \cdot 0 = 0$	
1 + 1 = 10	1 - 1 = 0	$1 \cdot 1 = 1$	

#### Umwandlung

Dual in Dezii	nal				
Dualzahl:	1	1	0	0	1
Potenzwert	$1 \cdot 2^{4}$	$1 \cdot 2^3$	$0 \cdot 2^2$	$0 \cdot 2^1$	$1\cdot 2^0$
Dezimalzahl	16 -	+ 8 -	+ 0	+ 0 -	+ 1
			25		

Dezimal in Dual
Dezimalzahl: 26
26: 2 = 13 Rest 0
13: 2 = 6 Rest 1
6: 2 = 3 Rest 0
3: 2 = 1 Rest 1
1: 2 = 0 Rest 1 ↑ Leserichtung
1 1 0 1 0

# Vergleich zwischen Zahlensystemen

dual	dezimal	hexa-	dual	dezimal	hexa-	dual	dezimal	hexa-	dual	dezimal	hexa-
		dezimal			dezimal			dezimal			dezimal
0	0	0	1000	8	8	10000	16	10	11000	24	18
1	1	1	1001	9	9	10001	17	11	11001	25	19
10	2	2	1010	10	A	10010	18	12	11010	26	1A
11	3	3	1011	11	В	10011	19	13	11011	27	1B
100	4	4	1100	12	C	10100	20	14	11100	28	1C
101	5	5	1101	13	D	10101	21	15	11101	29	1D
110	6	6	1110	14	E	10110	22	16	11110	30	1E
111	7	7	1111	15	F	10111	23	17	11111	31	1F

# Römische Zahlen

I = 1	VI = 6	XI = 11	LX	= 60	CX = 110	DC = 600
II = 2	VII = 7	XX = 20	LXX	= 70	CC = 200	DCC = 700
III = 3	VIII = 8	XXX = 30	LXXX	= 80	CCC = 300	DCCC= 800
IV = 4	IX = 9	XL = 40	XC	= 90	CD  = 400	CM  = 900
V = 5	X = 10	L = 50	C	=100	D = 500	M = 1000

# 1.3 Griechisches Alphabet

A	α	Alpha	I	ι	Iota	P	ρ	Rho
В	β	Beta	K	κ	Kappa	Σ	$\sigma$	Sigma
Γ	γ	Gamma	Λ	λ	Lambda	T	τ	Tau
Δ	δ	Delta	M	μ	My	Y	ν	Ypsilon
E	3	Epsilon	N	ν	Ny	Φ	$\varphi$	Phi
Z	ζ	Zeta	Ξ	ξ	Xi	X	χ	Chi
Н	η	Eta	О	O	Omikron	Ψ	Ψ	Psi
Θ	$\boldsymbol{e}$	Theta	П	$\pi$	Pi	Ω	ω	Omega

# 1.4 Logarithmieren

Basiszahlen	von Logarithmen	Logarithmengesetze	
2	Zweierlogarithmus (dualer Logarithmus)	$\log_2 b = \operatorname{ld} b$	$\log (a \cdot b) = \log a + \log b$ $\log \frac{a}{b} = \log a - \log b$
e = 2,718	Natürlicher Logarithmus	$\log_e b = \ln b$	$\log a^n = n \cdot \log a$
10	Zehnerlogarithmus (dekadischer Logarithmus)	$\log_{10} b = \operatorname{ld} b$	$\log \sqrt[a]{b^n} = \log b^{\frac{n}{a}} = \frac{n}{a} \log b$

# Logarithmensysteme

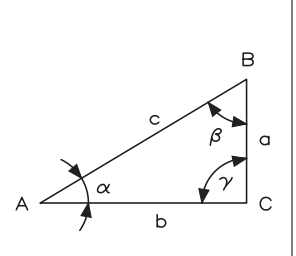
```
lg 1000
             = 3, da 10^3
                            = 1000
lg 100
             = 2, da 10^2
                            = 100
             = 1, da 10^1
lg
     10
                                 10
lg
      1
             = 0, da 10^0
                                   1
      0,1
             =-1, da 10^{-1}
                                  0,1
lg
             =-2, da 10^{-2}
      0,01
                                  0,01
lg
      0.001 = -3, da 10^{-3} =
lg
                                  0,001
```

1.5 Funktionen 7

Regelregeln für Logarithmen							
Rechnungsart	wird zurückgeführt auf	Regeln					
Multiplizieren	Addieren	$g(a \cdot b) = \lg a + \lg b$					
Dividieren	Subtrahieren	$\lg = \frac{a}{b} = \lg a - \lg b$					
Potenzieren	Multiplizieren	$g a^n = n \cdot \lg a$					
Radizieren	Dividieren	$\lg \sqrt[n]{a} = \frac{1}{n} \cdot \lg a$					

#### 1.5 Funktionen

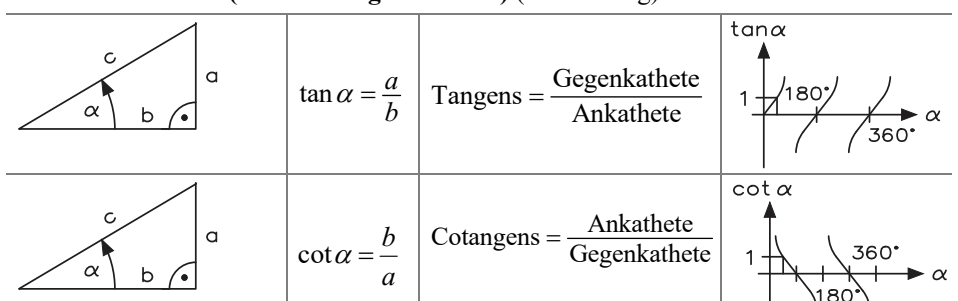
#### Winkelfunktionen (rechtwinklige Dreiecke)



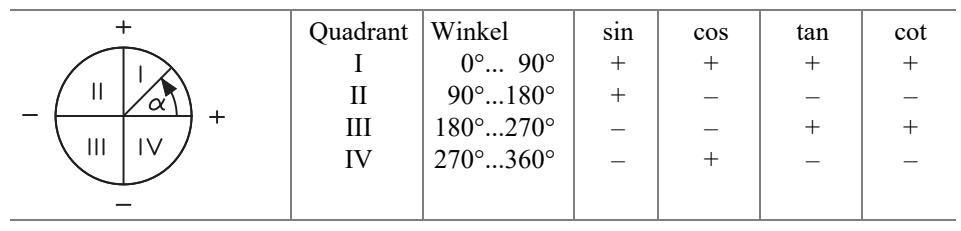
Das Dreieck ABC heißt rechtwinkliges Dreieck ( $\gamma=90^{\circ}$ ). Die längste Seite c ist die Hypotenuse, die Seiten a und b, die Schenkel des rechten Winkels, sind die Katheten. Für den spitzen Winkel  $\alpha$  ist b die Ankathete und a die Gegenkathete. Für den spitzen Winkel  $\beta$  ist a die Ankathete und b die Gegenkathete. Rechtwinklige Dreiecke, welche gleiche Winkel aufweisen, sind ähnliche Dreiecke; ihre Seitenverhältnisse heißen Winkelfunktionen (trigonometrische Funktionen).

Ankathete	$\sin \alpha = \frac{a}{c}$	$Sinus = \frac{Gegenkathete}{Hypotenuse}$	sin α 1 1 180° α
c a b c	$\cos \alpha = \frac{b}{c}$	$Cosinus = \frac{Ankathete}{Hypotenuse}$	1 180° α

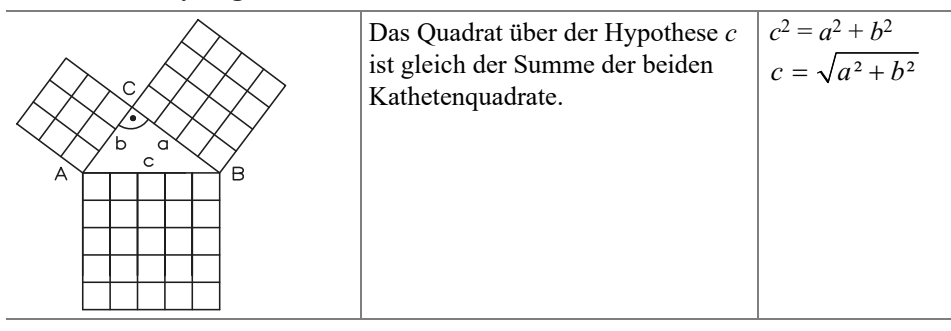
#### Winkelfunktionen (rechtwinklige Dreiecke) (Fortsetzung)



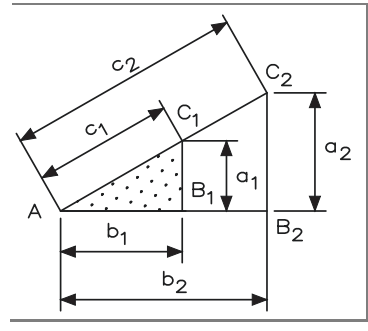
#### Vorzeichen der Winkelfunktionen in den vier Quadranten



#### Lehrsatz des Pythagoras



#### Strahlensatz (ähnliche Dreiecke)



In ähnlichen Dreiecken verhalten sich die Seiten des Dreiecks (A, B<sub>1</sub>, C<sub>1</sub>,) wie die gleichliegenden Seiten des Dreiecks (A, B<sub>2</sub>, C<sub>2</sub>).

$$\frac{a_1}{b_1} = \frac{a_2}{b_2}$$

$$\frac{a_1}{c_1} = \frac{a_2}{c_2}$$

$$\frac{b_1}{c_1} = \frac{b_2}{c_2}$$

1.5 Funktionen 9

#### Beziehung zwischen Winkelfunktion für gleiche Winkel

$\tan \alpha =$	$=\frac{\sin\alpha}{\cos\alpha};$ $\cot\alpha=$	$\frac{\cos\alpha}{\sin\alpha}$ ; $\sin^2\alpha + \alpha$	$\cos^2\alpha = 1;$ $\tan\alpha$	$\cot \alpha = 1$
	$\sin \alpha$	$\cos \alpha$	$\tan \alpha$	$\cot \alpha$
$\sin \alpha$	_	$\sqrt{1-\cos^2\alpha}$	$\tan \alpha / \sqrt{1 - \tan^2 \alpha}$	$1/\sqrt{1-\cot^2\alpha}$
$\cos \alpha$	$\sqrt{1-\sin^2\alpha}$	_	$1/\sqrt{1+\tan^2\alpha}$	$\cot \alpha / \sqrt{1 + \cot^2 \alpha}$
$\tan \alpha$	$\sin\alpha/\sqrt{1-\sin^2\alpha}$	$\sqrt{1-\cos^2\alpha}/\cos\alpha$	_	$1/\cot \alpha$
$\cot \alpha$	$\sqrt{1-\sin^2\alpha}/\sin\alpha$	$\cos \alpha / \sqrt{1 - \cos^2 \alpha}$	$1/\tan \alpha$	_

#### Berechnungen rechtwinkliger Dreiecke

Gege- ben	Ermittlung der anderen Größen	Gege- ben	Ermittlung der anderen Größen
<i>a</i> , α	$\beta = 90^{\circ} - \alpha, \ b = \alpha \cdot \cot \alpha, \ c = \frac{a}{\sin \alpha}$	a, b	$\tan \alpha = \frac{a}{b}, \ c = \frac{a}{\sin \alpha}, \ \beta = 90^{\circ} - \alpha$
b, α	$\beta = 90^{\circ} - \alpha$ , $a = b \cdot \tan \alpha$ , $c = \frac{b}{\cos \alpha}$	a, c	$\sin \alpha = \frac{a}{c}, \ b = c \cdot \cos \alpha, \ \beta = 90^{\circ} - \alpha$
c, α	$\beta = 90^{\circ} - \alpha$ , $a = c \cdot \sin \alpha$ , $b = c \cdot \cos \alpha$	b, c	$\cos \alpha = \frac{b}{c}, \ a = c \cdot \sin \alpha, \ \beta = 90^{\circ} - \alpha$

# Winkelbeziehungen im rechtwinkligen Dreieck

$$\sin^{2} \alpha + \cos^{2} \alpha = 1 \quad \tan \alpha = \frac{\sin \alpha}{\cos \alpha} \qquad \cot \alpha = \frac{\cos \alpha}{\sin \alpha} \qquad \cot \alpha = \frac{1}{\tan \alpha}$$

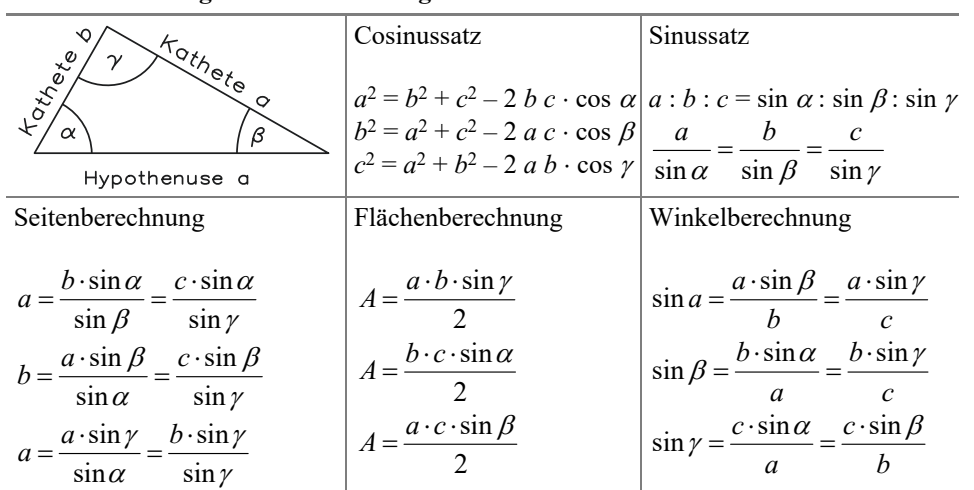
$$\sin (\alpha \pm \beta) = \sin \alpha \cdot \cos \beta \pm \cos \alpha \cdot \sin \beta \qquad \cos (\alpha \pm \beta) = \cos \alpha \cdot \cos \beta \mp \sin \alpha \cdot \sin \beta$$

$$\tan(\alpha \pm \beta) = \frac{\tan \alpha \pm \tan \beta}{1 \mp \tan \alpha \cdot \tan \beta} \qquad \cot(\alpha \pm \beta) = \frac{\cot \alpha \cdot \cot \beta \mp 1}{\cot \alpha \pm \cot \alpha}$$

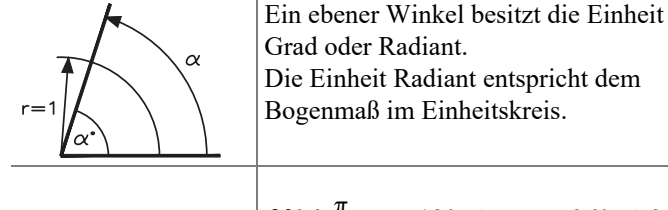
 $\pm a$  plus oder minus a

 $\mp a$  minus oder plus a

#### Winkelbeziehungen im schiefwinkligen Dreieck



# Winkel in Grad (°) und in Radiant (rad)

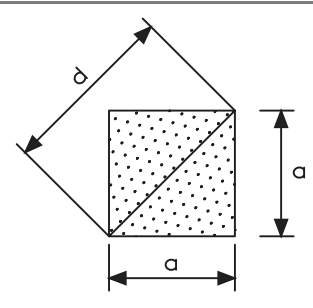


α Winkel in rad

α° Winkel in Grad

$$90^{\circ} = \frac{\pi}{2}$$
  $180^{\circ} = \pi$   $360^{\circ} = 2\pi$   $\alpha = \alpha^{\circ} \cdot \frac{\pi}{180^{\circ}}$ 

# 1.6 Längen-, Flächen- und Körperberechnungen

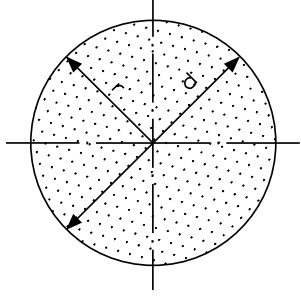


Quadrat

$$A = a^{2}$$

$$U = 4 \cdot a$$

$$d = \sqrt{2} \cdot a$$

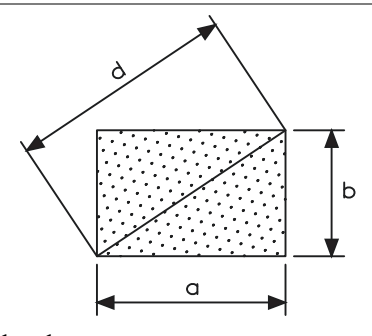


Kreis

$$A = \pi \cdot r^2$$

$$A = \frac{\pi \cdot d^2}{4}$$

$$U = \pi \cdot d$$

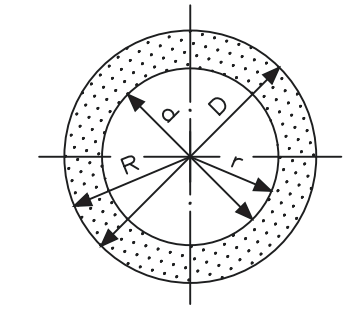


Rechteck

$$A = a \cdot b$$

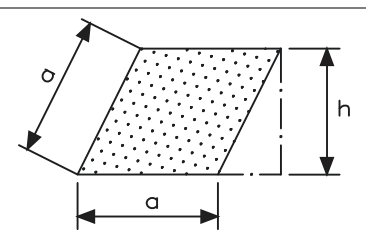
$$U = 2 \cdot (a+b)$$

$$d = \sqrt{a^2 + b^2}$$



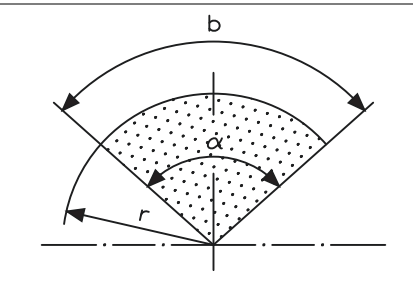
Kreisring

$$A = \pi \cdot (R^2 - r^2)$$
$$A = \frac{\pi}{4} \cdot (D^2 - d^2)$$



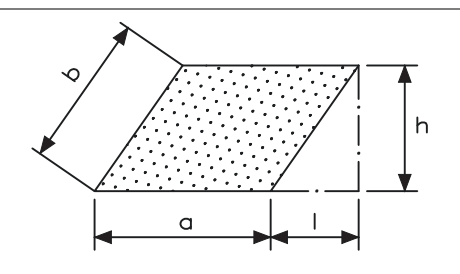
Raute (Rombus)

$$A = a \cdot h$$
$$U = 4 \cdot a$$



Kreisausschnitt

$$A = \frac{b \cdot r}{2}$$
$$b = \frac{\pi \cdot r \cdot \alpha}{180^{\circ}}$$

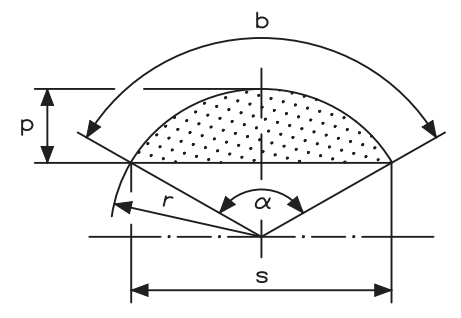


Parallelogramm

$$A = a \cdot h$$

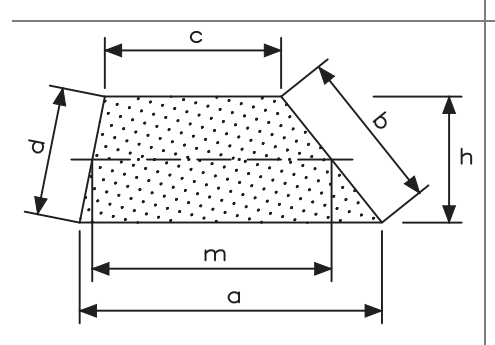
$$U = 2 \cdot \left( a + \sqrt{l^2 + h^2} \right)$$

$$U = 2 \cdot (a + b)$$



Kreisabschnitt

$$A = \frac{b \cdot r - s(r - p)}{2}$$
$$b = \frac{\pi \cdot r \cdot \alpha}{180^{\circ}}$$

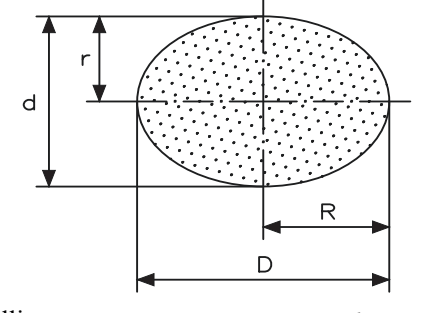


Trapez

$$A = m \cdot h$$

$$m = \frac{a+c}{2}$$

$$U = a+b+c+d$$

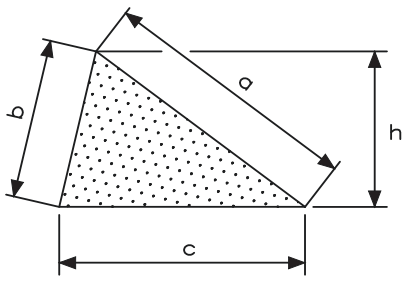


Ellipse

$$A = \frac{\pi \cdot D \cdot d}{2}$$

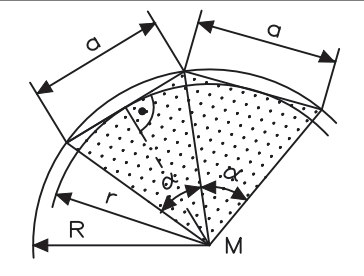
$$U = \pi \cdot \frac{D+d}{2}$$

$$U = \pi \cdot \sqrt{2(R^2 + r^2)}$$



Dreieck

$$A = \frac{c+h}{2}$$
$$U = a+b+c$$



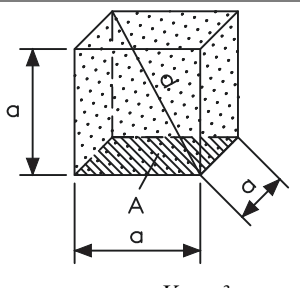
Regelmäßige *n*-Ecke

$$r = \frac{\alpha}{2} \cdot \cot \frac{\alpha}{2}$$

$$R = \frac{a}{2 \cdot \sin \frac{\alpha}{2}}$$

$$U = n \cdot a$$

$$A = \frac{n \cdot \alpha^2}{4} \cdot \cot \frac{\alpha}{2}$$

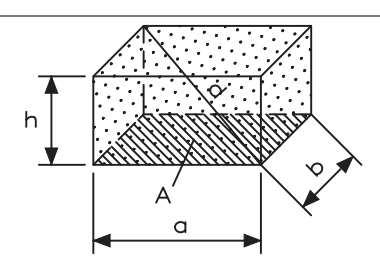


Würfel

$$V = a^3$$

$$d = a \cdot \sqrt{3}$$

$$A = 6 \cdot a^2$$

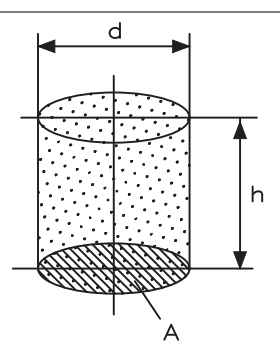


Prisma (allgemein:  $V = A \cdot h$ )

$$V = a \cdot b \cdot h$$

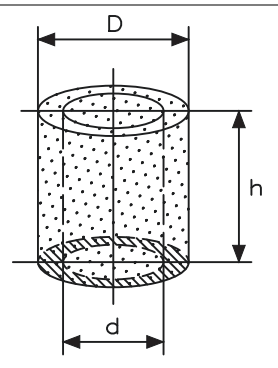
$$d = \sqrt{a^2 + b^2 + h^2}$$

$$A = 2(a \cdot b + a \cdot h + b \cdot h)$$

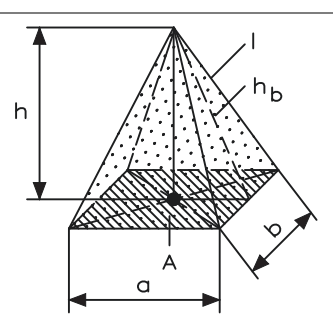


Zylinder

$$\begin{split} V &= \frac{\pi \cdot d^2}{4} \cdot h \\ A_M &= \pi \cdot d \cdot h \\ A_0 &= \pi \cdot d \cdot h + \frac{\pi \cdot d^2}{2} \end{split}$$



Hohlzylinder  $V = \frac{\pi \cdot h}{4} \cdot \left(D^2 - d^2\right)$ 

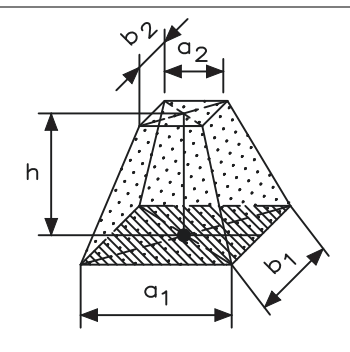


Pyramide

$$V = \frac{a \cdot b \cdot h}{3}$$

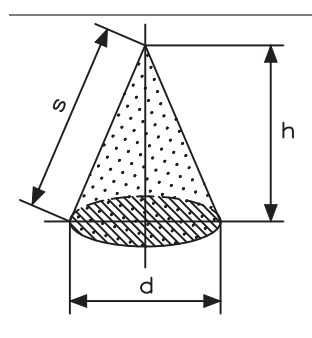
$$h_b = \sqrt{h^2 + \frac{a^2}{4}}$$

$$l = \sqrt{h_b^2 + \frac{b^2}{4}}$$



Pyramidenstumpf

$$V = \frac{h}{3} \left( a_1 \cdot b_1 + a_2 \cdot b_2 \right) + \sqrt{a_1 \cdot b_1 \cdot a_2 \cdot b_2}$$



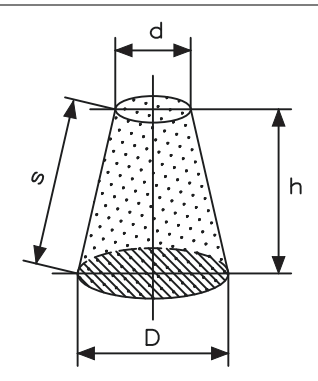
# Kegel

$$V = \frac{\pi \cdot d^2 \cdot h}{12}$$

$$s = \sqrt{r^2 + h^2}$$

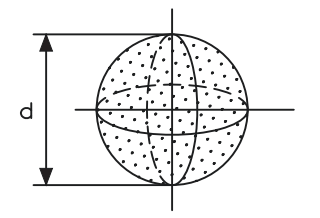
$$A_M = \pi \cdot r \cdot s$$

$$A_0 = \pi \cdot r \cdot s + \frac{\pi \cdot d^2}{4}$$



#### Kegelstumpf

$$\begin{split} V &= \frac{\pi \cdot h}{12} \Big( D^2 + d^2 + D \cdot d \Big) \\ s &= \sqrt{h^2 + (R - r)^2} \\ A_M &= \frac{\pi \cdot s}{2} \Big( D + d \Big) \\ A_0 &= \frac{\pi \cdot s}{2} \Big( D + d \Big) + \frac{\pi}{4} \Big( D^2 + d^2 \Big) \end{split}$$

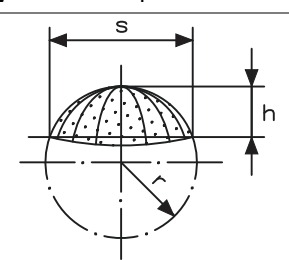


#### Kugel

$$V = \frac{4}{3} \cdot \pi \cdot r^3$$

$$V = \frac{\pi \cdot d^3}{6}$$

$$A = \pi \cdot d^2$$



# Kugelabschnitt

$$V = \pi \cdot h^2 \cdot \left(r - \frac{h}{3}\right)$$
$$A = 2 \cdot \pi \cdot r \cdot h$$
$$A = \frac{\pi}{4} \left(s^2 + 4h^2\right)$$

 $A_M$ : Mantelfläche

A<sub>0</sub>: Gesamtoberfläche

1.8 SI-Basiseinheiten 15

# 1.7 Vorsätze und Vorsatzzeichen für dezimale Teile und Vielfache

Faktor	Vorsätze	Vorsatzzeichen	Faktor	Vorsätze	Vorsatzzeichen
10-18	Atto	a	10 <sup>1</sup>	Deka	da
$10^{-15}$	Femto	f	$10^{2}$	Hekto	h
$10^{-12}$	Piko	р	$10^{3}$	Kilo	k
$10^{-9}$	Nano	n	106	Mega	M
$10^{-6}$	Mikro	μ	109	Giga	G
$10^{-3}$	Milli	m	$10^{12}$	Tera	T
$10^{-2}$	Zenti	c	$10^{15}$	Peta	P
$10^{-1}$	Dezi	d	$10^{18}$	Exa	Е

#### 1.8 SI-Basiseinheiten

Die SI-Einheiten (Système International d'Unités) wurden auf einer Generalkonferenz (1960) für Maß und Gewicht angenommen. Die Basiseinheiten sind definierte Einheiten der voneinander unabhängigen Basisgrößen als Grundlage des SI-Systems.

Größe	Formelzeichen	Einheitenname	Einheitenzeichen
Länge	l	Meter	m
Masse	m	Kilogramm	kg
Zeit	t	Sekunde	s
elektrische Stromstärke	I	Ampere	A
thermodynamische Temperatur	T	Kelvin	K
Lichtstärke	$I_{v}$	Candela	cd
Stoffmenge	n	Mol	mol

#### Definitionen der Basiseinheiten

**Meter:** 1 m ist die Länge der Strecke, die Licht im Vakuum während des Intervalls von 1/299 792 458 Sekunden durchläuft.

**Kilogramm:** 1 kg ist die Masse des in Paris aufbewahrten Internationalen Kilogramm-prototyps (Platin-Iridium-Zylinder).

**Sekunde:** 1 s ist das 9 192 631 770-fache der Periodendauer der Strahlung des Nuklids Caesium <sup>133</sup>Cs.

Ampere: 1 A ist die Stärke eines Gleichstromes, der zwei lange, gerade und im Abstand von 1 m parallel verlaufende Leiter mit sehr kleinen kreisförmigem Querschnitt durchfließt und zwischen diesen die Kraft  $0.2 \cdot 10^{-6}$  N je Meter ihrer Länge erzeugt.

**Kelvin:** 1 K ist der 273,16te Teil der Temperaturdifferenz zwischen dem absoluten Nullpunkt und dem Tripelpunkt des Wassers. Beim Tripelpunkt sind Dampf, Flüssigkeit und fester Stoff im Gleichgewicht.

Candela: 1 cd ist die Lichtstärke einer Strahlungsquelle in bestimmter Richtung, die eine monochromatische Strahlung der Frequenz 540 Terahertz (THz) aussendet und deren Strahlstärke in dieser Richtung 1/683 Watt je Steradiant (W/sr) beträgt.

**Mol:** 1 mol ist die Stoffmenge eines Systems bestimmter Zusammensetzung, das aus ebenso vielen Teilchen besteht, wie Atome in  $12 \cdot 10^{-3}$  kg des Nuklids Kohlenstoff  $^{12}$ C enthalten sind.

#### Elektrische Einheiten – Umwandlung von Einheiten

$$\begin{split} 1 \, \text{Volt} &= 1 \frac{\text{Watt}}{\text{Ampere}} = 1 \frac{J}{A \cdot s} = 1 \frac{N \cdot m}{A \cdot s} = 1 \frac{\text{kg} \cdot \text{m}^2}{A \cdot \text{s}^3} \\ 1 \, \text{Ampere} &= 1 \frac{\text{Watt}}{\text{Volt}} = 1 \frac{J}{V \cdot s} = 1 \frac{N \cdot m}{V \cdot s} = 1 \frac{\text{kg} \cdot \text{m}^2}{V \cdot \text{s}^3} \\ 1 \, \text{Ohm} &= 1 \frac{\text{Volt}}{\text{Ampere}} \\ 1 \, \text{Watt} &= 1 \, \text{Volt} \cdot \text{Ampere} = 1 \frac{J}{s} = 1 \frac{N \cdot m}{s} = 1 \frac{\text{kg} \cdot \text{m}^2}{s^3} \\ 1 \, \text{Farad} &= 1 \frac{\text{Coulomb}}{\text{Volt}} = 1 \frac{A \cdot s}{V} = 1 \frac{s}{\Omega} = 1 \frac{N \cdot m}{V^2} = 1 \frac{\text{kg} \cdot \text{m}^2}{V^2 \cdot s^2} \\ 1 \, \text{Henry} &= 1 \frac{\text{Weber}}{\text{Ampere}} = 1 \, \Omega \cdot s = 1 \frac{Vs}{A} = 1 \frac{N \cdot m}{A^2} = 1 \frac{\text{kg} \cdot \text{m}^2}{A^2 \cdot \text{s}^2} \\ 1 \, \text{Weber} &= 1 \, \text{Voltsekunde} = 1 \frac{J}{A} = 1 \frac{N \cdot m}{A} = 1 \frac{\text{kg} \cdot \text{m}^2}{A \cdot \text{s}^2} \\ 1 \, \text{Tesla} &= 1 \frac{Wb}{m^2} = 1 \frac{Vs}{m^2} = 1 \frac{N}{A \cdot m} = 1 \frac{\text{kg}}{A \cdot \text{s}^2} \\ 1 \, \text{Coulomb} &= 1 \, \text{Amperesekunde} = 1 \frac{W \cdot s}{V} = 1 \frac{N \cdot m}{V} = 1 \frac{\text{kg} \cdot \text{m}^2}{V \cdot \text{s}^2} \end{split}$$

1.8 SI-Basiseinheiten 17

# Einheiten nach DIN 1302

Zeichen	Einheit	Bemerkung				
rad	Radiant	1 rad = 1 m/m				
sr	Steradiant	$1 \text{ sr} = 1 \text{ m}^2/\text{m}^2$				
m	Meter					
$m^2$	Quadratmeter					
$m^3$	Kubikmeter					
S	Sekunde					
Hz	Hertz	$1 \text{ Hz} = 1 \text{ s}^{-1}$				
kg	Kilogramm					
N	Newton	$1 N = 1 kg \cdot m/s^2$				
Pa	Pascal	$1 Pa = 1 N/m^2$				
J	Joule	$1 J = 1 N \cdot m = 1 W \cdot s$				
W	Watt	1  W = 1  J/s				
C	Coulomb	$1 \text{ C} = 1 \text{ A} \cdot \text{s}$				
V	Volt	1  V = 1  J/C				
F	Farad	1  F = 1  C/V				
A	Ampere					
Wb	Weber	$1 \text{ Wb} = 1 \text{ V} \cdot \text{s}$				
T	Tesla	$1 T = 1 Wb/m^2$				
H	Henry	1  H = 1  Wb/A				
Ω	Ohm	$1 \Omega = 1 \text{ V/A}$				
S	Siemens	$1 \text{ S} = 1 \Omega^{-1}$				
K	Kelvin					
°C	Grad Celsius	1 °C = 1 K				
mol	Mol					
cd	Candela					
lm	Lumen	$1 \text{ lm} = 1 \text{ cd} \cdot \text{sr}$				
lx	Lux	$1 1x = 1 lm/m^2$				
Bq	Becquerel	$1 \text{ Bq} = 1 \text{ s}^{-1}$				
Gy	Gray	1  Gy = 1  J/kg				

Einheiten außerhalb des SI nach DIN 13011-1						
gon	Gon	1 gon = $(\pi/200)$ rad 1 1 = 1 dm <sup>3</sup>				
1	Liter	$11 = 1 \text{ dm}^3$				
min	Minute	1  min  = 60  s				
h	Stunde	1  h = 60  min				
d	Tag	1 d = 24 h				
a	Gemeinjahr	1 a $= 365 d = 8760 h$				

Einheiten außerhalb des SI nach DIN 13011-1 (Fortsetzung)					
t	Tonne	$1 t = 10^3 \text{ kg} = 1 \text{ Mg}$			
bar	Bar	$1  \text{bar} = 10^5  \text{Pa}$			
a	Ar	$1 a = 10^2 \mathrm{m}^2$			
ha	Hektar	$1 \text{ ha} = 10^4 \text{ m}^2$			
eV	Elektronvolt	$1 \text{ eV} = 1,602189 \cdot 10^{-19} \text{ J}$			
u	atomare Masseneinheit	1 u = $1,6605655 \cdot 10^{-27}$ kg			
Kt	metrisches Karat	1  Kt = 0.2  g			

# 1.9 Schaltalgebra

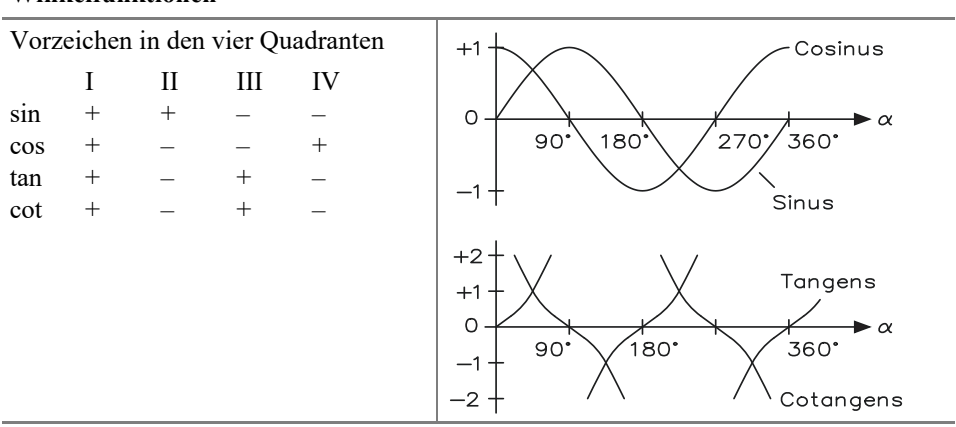
Konjunktion	Disjunktion		Negation		
(UND-Funktion)	(ODER-Fur	nktion)	(NICHT-Funktion)		
$x = a \wedge 0 = 0$		$x = a \lor 0 = a$		$x = \overline{\overline{a}} = a$	
$x = a \wedge 1 = a$	$x = a \lor 1 =$	$x = a \lor 1 = 1$		$x = \frac{\equiv}{a} = a$	
$x = a \wedge a = a$	$x = a \lor a = a$	$x = a \lor a = a$		x = u = u	
$x = a \wedge \overline{a} = 0$	$x = a \lor \overline{a} =$	$x = a \vee \overline{a} = 1$			
Rechenregel		Schaltungsbeis	piel		

$x = a \wedge a = 0$	$x = a \lor a =$	1	
Rechenregel		Schaltungsbeis	piel
Vertauschungsregel (kommunikatives Gesetz) $x = a \land b = b \land a$ $x = a \lor b = b \lor a$		а —& — ×	bx
Verbindungsregel (assoziativ $x = a \land b \land c = a \land (b \land c)$ $= b \land (a \land c) = c \land (a \land b)$ $x = a \lor b \lor c = a \lor (b \lor c)$ $= b \lor (a \lor c) = c \lor (a \lor b)$		о × <	⇒ b & ×
Verteilungsregel (distributive $x = a \land b \lor a \land c = a \land (b \lor c)$ $x = (a \lor b) \land (a \lor c) = a \lor (b)$ 1) UND-Funktion immer vor OE	$(c)^{(1)} \wedge (c)$	b	-× ⟨⇒ b ≥1 ×
De Morgan'sches Gesetz $x = a \wedge b = \overline{a \vee \overline{b}}$ $x = a \vee b = \overline{a \wedge \overline{b}}$		a_&_× <=	a — 1 b — ≥1 b — ×
$x = \overline{a \wedge b} = \overline{a} \vee \overline{b}$ $x = \overline{a \vee b} = \overline{a} \wedge \overline{b}$		a≥1 × <	a — 1 b — & b — 1 b — 1 b

Rechenregel	Schaltungsbeispiel
Vereinfachung $x = a \land (b \lor b) = a$ $x = a \lor a \land b = a$	& x \ x \ \ x \ \ x \ \ x \ \ \ x \ \ x \ \ \ x \ \ \ x \ \ \ x \ \ \ x \ \ \ x \
$x = a \land (\overline{a} \lor b) = a \land b$ $x = a \lor (\overline{a} \land b) = a \lor b$	0
$x = a \lor \overline{a} \land \overline{b}) = a \lor \overline{b}$ $x = a \lor a \land b = \overline{a} \lor b$ $x = a \lor a \land \overline{b} = \overline{a} \lor \overline{b}$	

# 1.10 Trigonometrie (Ebene)

#### Winkelfunktionen



Besondere Werte								
	0°	30°	45°	60°	90°	180°	270°	360°
sin	0	$\frac{1}{2}$	$\frac{1}{2}\sqrt{2}$	$\frac{1}{2}\sqrt{3}$	1	0	-1	0
cos	1	$\frac{1}{2}\sqrt{3}$	$\frac{1}{2}\sqrt{2}$	$\frac{1}{2}$	0	-1	0	1
tan	0	$\frac{1}{3}\sqrt{3}$	1	$\sqrt{3}$	$(\pm\infty)$	0	$(\pm\infty)$	0
cot	$(\pm \infty)$	$\sqrt{3}$	1	$\frac{1}{3}\sqrt{3}$	0	$(\mp\infty)$	0	$(\pm\infty)$

	$90^{\circ} \pm \alpha$	$180^{\circ} \pm \alpha$	$270^{\circ} \pm \alpha$	$360^{\circ} \pm \alpha$	$-\alpha$	
sin	$\cos \alpha$	$\mp \sin \alpha$	−cos α	$\pm \sin \alpha$	-sin α	
cos	$\mp \sin \alpha$	$-\cos \alpha$	$\pm \sin \alpha$	$\cos \alpha$	$\cos \alpha$	
tan	$\mp \cot \alpha$	$\pm \tan \alpha$	$\mp \cot \alpha$	$\pm \tan \alpha$	–tan $lpha$	
cot	$\mp \tan \alpha$	$\pm \cot \alpha$	$\mp$ tan $\alpha$	$\pm \cot \alpha$	$-\cot \alpha$	

	$\sin^2 \alpha$	$\cos^2 \alpha$	$\tan^2 \alpha$	$\cot^2 \alpha$
$\sin^2 \alpha$	_	$1-\cos^2\alpha$	$\frac{\tan^2\alpha}{1+\tan^2\alpha}$	$\frac{1}{1+\cot^2\alpha}$
$\cos^2 \alpha$	$1-\sin^2\alpha$	_	$\frac{1}{1+\tan^2\alpha}$	$\frac{\cot^2\alpha}{1+\cot^2\alpha}$
$\tan^2 \alpha$	$\frac{\sin^2\alpha}{1-\sin^2\alpha}$	$\frac{1-\cos^2\alpha}{\cos^2\alpha}$	-	$\frac{1}{\cot^2\alpha}$
$\cot^2 \alpha$	$\frac{1-\sin^2\alpha}{\sin^2\alpha}$	$\frac{\cos^2\alpha}{1-\cos^2\alpha}$	$\frac{1}{\tan^2\alpha}$	_
	$\frac{\sin\alpha}{\cos\alpha} = \tan\alpha$	$\frac{\cos\alpha}{\sin\alpha} = \cot\alpha$	$\alpha \sin^2\alpha + \cos^2\alpha = 1$	$\tan\alpha\cdot\cot\alpha=1$

### Additionstheoreme

Summe und Differenzen: 
$$\sin(\alpha \pm \beta) = \sin \alpha \cos \beta \pm \cos \alpha \sin \beta$$

$$\cos(\alpha \pm \beta) = \cos \alpha \cos \beta \mp \sin \alpha \sin \beta$$

$$\tan(\alpha \pm \beta) = \frac{\tan \alpha \pm \tan \beta}{1 \mp \tan \alpha \tan \beta}$$

$$\cot(\alpha \pm \beta) = \frac{\cot \alpha \cot \beta \mp 1}{\cot \beta \pm \cot \alpha}$$

$$\sin \alpha + \sin \beta = 2 \sin \frac{\alpha + \beta}{2} \cos \frac{\alpha - \beta}{2}$$

$$\cos \alpha + \cos \beta = 2 \cos \frac{\alpha + \beta}{2} \sin \frac{\alpha - \beta}{2}$$

$$\sin \alpha - \sin \beta = 2 \cos \frac{\alpha + \beta}{2} \sin \frac{\alpha - \beta}{2}$$

$$\cos \alpha - \cos \beta = -2 \sin \frac{\alpha + \beta}{2} \sin \frac{\alpha - \beta}{2}$$

Additionstheoreme (Fo	Additionstheoreme (Fortsetzung)		
Doppelter Winkel:	$\sin 2\alpha = 2\sin \alpha \cos \alpha = \frac{2\tan \alpha}{1 + \tan^2 \alpha}$		
	$\cos 2\alpha = \cos^2 \alpha - \sin^2 \alpha = 1 - 2\sin^2 \alpha$	$n^2 \alpha = 2\cos^2 \alpha - 1 = \frac{1 - \tan^2 \alpha}{1 + \tan^2 \alpha}$	
	$\tan 2\alpha = \frac{2\tan \alpha}{1 - \tan^2 \alpha}$	$\cot 2\alpha = \frac{\cot^2 \alpha - 1}{2 \cot \alpha}$	
Dreifacher Winkel:	$\sin 3\alpha = 3\sin \alpha - 4\sin^3 \alpha$	$\cos 3\alpha = 4\cos^3\alpha - 3\cos\alpha$	
Halber Winkel:	$\sin\frac{\alpha}{2} = \sqrt{\frac{1 - \cos\alpha}{2}}$	$\cos\frac{\alpha}{2} = \sqrt{\frac{1 + \cos\alpha}{2}}$	
	$\alpha = \sqrt{1-\cos\alpha} = 1-\cos\alpha$	sin $\alpha$	

Sätze		
Sinussatz:	$a:b:c=\sin\alpha:\sin\beta:\sin\gamma$	$\frac{\alpha}{\sin \alpha} = \frac{b}{\sin \beta} = \frac{c}{\sin \gamma} = 2r$
Cosinussatz:	$c^2 = a^2 + b^2 - 2ab\cos\gamma$	$\cos \gamma = \frac{a^2 + b^2 - c^2}{2ab}$
Tangenssatz:	$\frac{a-b}{a+b} = \frac{\tan\frac{\alpha-\beta}{2}}{\tan\frac{\alpha+\beta}{2}}$	
Projektionssatz:	$c = a \cos \beta + b \cos \alpha$	

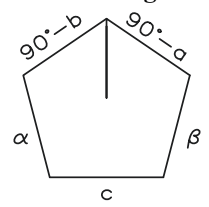
Formeln und Funktionen				
Dreieckfläche:	$A = \frac{1}{2}ab\sin\gamma$			
Euler'sche Funktionen:	$e^{j\varphi} = \cos\varphi + j\sin\varphi$	$e^{-j\varphi} = \cos\varphi - j\sin\varphi$		
Winkelfunktionen:	$\sin \varphi = \frac{1}{2j} \left( e^{j\varphi} - e^{-j\varphi} \right)$	$\cos \varphi = \frac{1}{2} \left( e^{j\varphi} + e^{-j\varphi} \right)$		
	$\tan \varphi = \frac{1}{j} \cdot \frac{e^{2j\varphi} - 1}{e^{2j\varphi} + 1} = \frac{1}{j} \cdot \frac{e^{j\varphi} - e^{-j\varphi}}{e^{j\varphi} + e^{-j\varphi}}$	$\frac{arphi}{arphi}$		
Hyperbolische Funktionen:	$\sinh x = \frac{e^x - e^{-x}}{2}$	$\cosh x = \frac{e^x + e^{-x}}{2}$		
	$\tanh x = \frac{e^x - e^{-x}}{e^x + e^{-x}}$	$\coth x = \frac{e^{x} + e^{-x}}{e^{x} - e^{-x}}$		

# 1.11 Sphärische Trigonometrie

### Zweieck

Flächeninhalt:  $A = \frac{2x}{180^{\circ}} \cdot \pi \cdot r$ 

### Rechtwinkliges Dreieck ( $\gamma = 90^{\circ}$ )



Neper'sche Regel: Ersetzt man a und b durch ihre Komplemente und lässt man  $\gamma$  aus, so gilt:

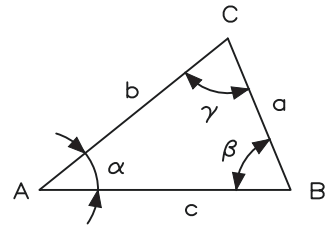
- der Cosinus einer jeder Strecke als gleich
- dem Produkt der Cotangenswerte der anliegenden Strecke und
- dem Produkt der Sinuswerte der gegenüberliegenden Strecke

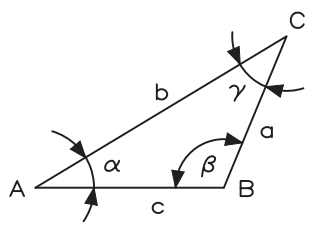
 $\cos c = \cot \alpha \cot \beta = \cos a \cos b$ 

 $\cos \alpha = \tan b \cot c = \sin \beta \cos a$   $\sin \alpha = \tan b \cot \beta = \sin \alpha \sin c$ 

 $\cos \beta = \tan a \cot c = \sin \alpha \cos b$   $\sin b = \tan a \cot \alpha = \sin \beta \sin c$ 

### **Allgemeines Dreieck**





Sinussatz:

 $\sin a : \sin b : \sin c = \sin \alpha : \sin \beta : \sin \gamma$ 

Seitencosinussatz:

 $\cos a = \cos b \cos c + \sin b \sin c \cos \alpha$ 

Winkelcosinussatz:

 $\cos \alpha = -\cos \beta \cos \gamma + \sin \beta \sin \gamma \cos a$ 

Winkelsumme:

$$\alpha + \beta + \gamma = 180^{\circ} + \varepsilon$$
 ( $\varepsilon = \text{sphärischer Exzess}$ )

1.12 Gleichungen 23

# 1.12 Gleichungen

Quadratische Gleichungen		
Normalform:	$x^2 + px + q = 0$	
Lösungen:	$x_1 = -\frac{p}{2} + \frac{1}{2}\sqrt{p^2 - 4q}$ ; $x_2 = -\frac{p}{2} - \frac{1}{2}\sqrt{p^2 - 4q}$	
Diskriminante:	$D = p^2 - 4 q$ ; $D > 0$ : $x_1$ , $x_2$ reell und voneinander verschieden $D = 0$ : $x_1$ , $x_2$ reell und einander gleich $D < 0$ : $x_1$ , $x_2$ konjugiert komplex	
Satz von Vieta:	$x_1 + x_2 = -p;  x_1 \cdot x_2 = q$	

Kubische Gleichun	ngen
Normalform:	$x^3 + a_1 x^2 + a_2 x + a_3 = 0$ durch Substitution $x = y - \frac{a_1}{3}$
	reduziert auf $y^3 - py + q = 0$
Lösungen:	$p = \frac{a_1^2}{3} - a_2;$ $q = \frac{2a_1^3}{27} - \frac{a_1 a_2}{3} + a_3$
Diskriminante:	$D = \left(\frac{q}{2}\right)^2 - \left(\frac{p}{3}\right)^3$
D > 0:	Cardanische Formel: y <sub>1</sub> reell, y <sub>2</sub> , y <sub>3</sub> konjugiert komplex
	$u = \sqrt[3]{-\frac{q}{2} + \sqrt{D}}; \qquad v = \sqrt[3]{-\frac{q}{2} - \sqrt{D}}$
	$y_1 = u + v$ $y_{2,3} = -\frac{u+v}{2} \pm \frac{u-v}{2} j\sqrt{3}$
D=0:	$y_1$ reell, $y_2$ , $y_3$ reell und einander gleich
	$u = v = \sqrt[3]{-\frac{q}{2}};$ $y_1 = 2 u;$ $y_{2,3} = -u$
<i>D</i> < 0:	$y_1, y_2, y_3$ reell und voneinander verschieden
	$\cos \varphi = \frac{-q/2}{\sqrt{(p/3)^3}};$ $y_1 = 2\sqrt{\frac{p}{3}}\cos \frac{\varphi}{3};$
	$y_{2,3} = -2\sqrt{\frac{p}{3}}\cos\left(60^\circ \mp \frac{\varphi}{3}\right)$
Satz von Vieta:	$x_1 + x_2 + x_3 = -a_1$ , $x_1 x_2 + x_2 x_3 + x_3 x_1 = +a_2$ , $x_1 x_3 x_3 = -a_3$

### Näherungslösung von f(x) = 0

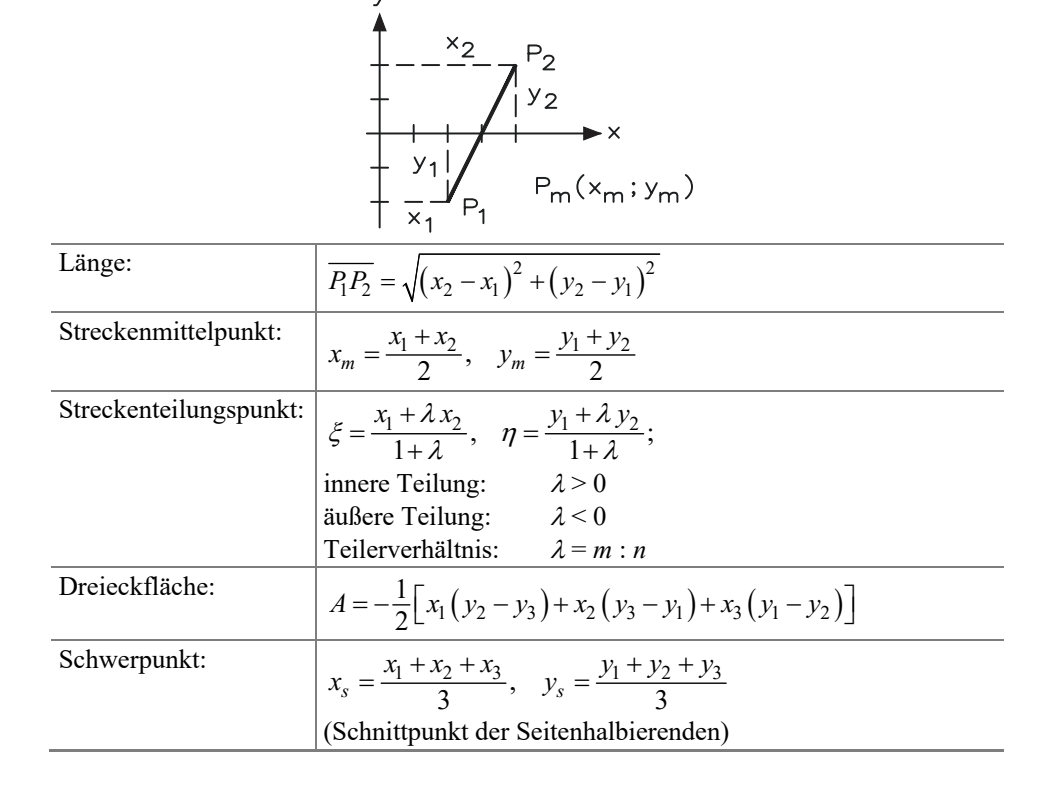
Sekantennäherungsverfahren: Aus zwei bekannten Näherungswerten  $x_1$  und  $x_2$  findet man

$$x_3 = x_1 - \frac{x_2 - x_1}{f(x_2) - f(x_1)} \cdot f(x_1)$$
 für  $f(x_1) \cdot f(x_2) < 0$ 

Tangentennäherungsverfahren: Aus einem bekannten Näherungswert  $x_1$  findet man (Newton Näherungsverfahren)  $x_2 = x_1 - \frac{f(x_1)}{f'(x_1)}$  für  $f(x_1) \cdot f''(x_1) > 0$ .

# 1.13 Analytische Geometrie

### Strecke



0.		J	
1 +6	rя	(1	e

Gerade		
Normalform:	y = mx + n	$m = $ Anstieg von tan $\varphi$ n = Abschnitt auf $y$ -Achse
Achsenabschnitts- gleichung:	$\frac{x}{a} + \frac{y}{b} = 1$	<ul><li>a = Abschnitt auf x-Achse</li><li>b = Abschnitt auf y-Achse</li></ul>
Zweipunktegleichung:	$\frac{y - y_1}{x - x_1} = \frac{y_2 - y_1}{x_2 - x_1}$	$P_1$ $Q$ $P_2$ $Q$
Punktrichtungs- gleichung:	$\frac{y - y_1}{x - x_1} = \tan \varphi$	
Allgemeine Geradengleichung:	$Ax + By + C = 0$ $(A^2 + B^2 > 0)$	
Hesse'sche Normalform:		0 $(p \ge 0)$ n Nullpunkt auf Gerade zwischen Lot und positiver x-Achse
Abstand der Geraden von $P_1$ :	$d = x_1 \cos \alpha + y_1 \sin \alpha$	$-p  \cos \alpha = -\frac{ C }{C} \cdot \frac{A}{\sqrt{A^2 + B^2}}$
		$\sin \alpha = -\frac{ C }{C} \cdot \frac{B}{\sqrt{A^2 + B^2}}$
		$p = -\frac{ C }{\sqrt{A^2 + B^2}}  (C \neq 0)$

7 wai	Ceraden	

Normalform:	$y = m_1 x + n_1; \ y = m_2 x + n_2$
Schnittwinkel:	$\psi$ aus tan $\psi = \frac{m_2 - m_1}{1 + m_1 \cdot m_2}$ (für $\psi \neq 90^\circ$ )
Parallele Geraden:	$m_1 = m_2$
Zueinander senkrechte	$m_1 m_2 = -1$
Geraden:	

# Kegelschnitte

Allgemeine Gleichung	$Ax^2 + 2Bxy + Cy^2 + 2Dx + 2Ey + F = 0$	
(zweiten Grades):	$AC - B^2 > 0$ Ellipse, Punkt oder imaginäre Kurve	
	$AC - B^2 \le 0$ Hyperbel oder Geradenpaar	
	$AC - B^2 = 0$ Parabel oder Parallelenpaar	

Größe	Kreis Eli	ipse <sup>1)</sup> Hyperbe	l <sup>1)</sup> Parabel
		große, b kleine Halbachse	
Mittelpunkt O (0; 0)	$x^2 + y^2 = r^2$	$\frac{x^2}{a^2} \pm \frac{y^2}{b^2} = 1$	Scheitel O (0; 0) $y^2 = 2px$
Tangente in $P_1$ (Polare zu $P_1$ )	$xx_1 + yy_1 = r^2$	$\frac{xx_1}{a^2} \pm \frac{yy_1}{b^2} = 1$	$y \cdot y_1 = p(x + x_1)$
Normale durch P <sub>1</sub>	$y = \frac{y_1}{x_1} \cdot x$	$y - y_1 = \pm \frac{a^2 y_1}{b^2 x_1} (x - x_1)$	$y - y_1 = -\frac{y_1}{p}(x - x_1)$
Tangente von $P_2$	$y - y_2 = (x - x_2) \cdot$	$y-y_2=(x-x_2).$	$y - y_2 = (x - x_2) \cdot$
	$\frac{-x_2y_2 \pm r\sqrt{x_2^2 + y_2^2 - r^2}}{r^2 - x_2^2}$	$\frac{-x_2y_2 \pm \sqrt{\pm b^2x_2^2 + a^2y_2^2 \mp a^2b^2}}{a^2 - x_2^2}$	$\frac{y_2 \pm \sqrt{y_2^2 - 2px_2}}{2x_2}$
Tangente mit Anstieg m	$y - mx = \pm r\sqrt{m^2 + 1}$	$y - mx = \pm \sqrt{m^2 a^2 \pm b^2}$	$y - mx = \frac{p}{2m}$
Mittelpunkt $M$ $(c; d)$	$(x-c)^2 + (y-d)^2 = r^2$	$\frac{(x-c)^2}{a^2} \pm \frac{(y-d)^2}{b^2} = 1$	Scheitel M $(c; d)$ $(y-d)^2 = 2p(x-c)$
Tangente in $P_1$ (Polare zu $P_1$ )	$\begin{vmatrix} (x-c)(x_1-c) + \\ + (y-d)(y_1-d) = r^2 \end{vmatrix}$	$\frac{(x-c)(x_1-c)}{a^2}$	$ (y-d)(y_1-d)  =$ = $p(x-c) + p(x_1-c)$
		$\pm \frac{(y-d)(y_1-d)}{b^2} = 1$	
2p ist Sehne senk- recht durch Brennpunkt	p = r	$p = \frac{b^2}{a}$	p
Scheitelgleichung	$y^2 = 2px - x^2$	$y^2 = 2px \mp \frac{p}{a} \cdot x^2$	siehe oben
Exzentrizität – lineare	_	$e^2 = a^2 \mp b^2$	Länge des Brenn- strahls $x_1 + p/2$ ,
- numerische	_	$\varepsilon = \frac{e}{a} \leq 1$	der Subtangente $2x_1$ , der Subnormale $p$
Polargleichung  - Mittelpunkt ist Pol	_	$\rho^2 = \frac{\pm b^2}{1 - \varepsilon^2 \cos^2 \theta}$	
- Brennpunkt ist Pol	_	$r = \frac{p}{1 - \varepsilon \cos \varphi}$	$r = \frac{p}{1 - \cos \varphi}$

Bei den übereinandergesetzten Rechenzeichen gilt das obere Rechenzeichen für die Ellipse, das untere für die Hyperbel.

1.14 Vektoren 27

# 1.14 Vektoren

Allgemeines	
Darstellung:	$\begin{vmatrix} a = a_1 i + a_2 j + a_3 k & a = (a_1, a_2, a_3) & a =  a  \ a^0 \\ a =  a  \cos \alpha_1 \cdot i +  a  \cos \alpha_2 \cdot j +  a  \cos \alpha_3 \cdot k \end{vmatrix}$
Betrag:	$ a  = a = \sqrt{a_1^2 + a_2^2 + a_3^2}$ $ a  = \sqrt{a \cdot a}$
Einheitsvektor:	$a^0 = \frac{a}{ a }$ $ i  =  j  =  k  = 1$ (normierter Vektor)
Nullvektor:	O = (0, 0, 0)
Richtungscosinus:	$\cos \alpha_1 = \frac{a_1}{ a }, \qquad \cos \alpha_2 = \frac{a_2}{ a }, \qquad \cos \alpha_3 = \frac{a_3}{ a }$ $\cos^2 \alpha_1 + \cos^2 \alpha_2 + \cos^2 \alpha_3 = 1$
Summe, Differenz:	$a \pm b = (a_1 \pm b_1) i + (a_2 \pm b_2) j + (a_3 \pm b_3) k$

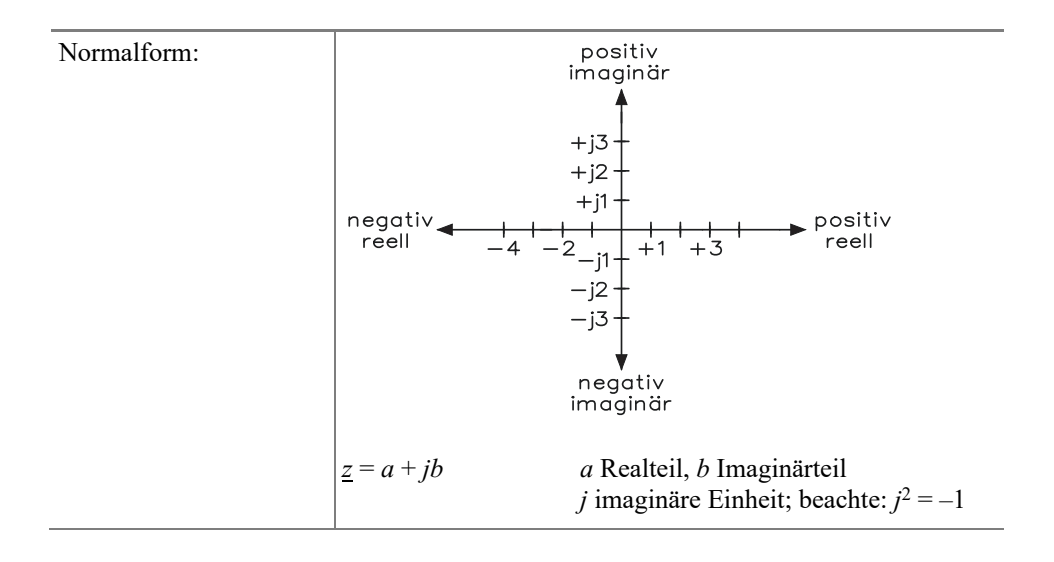
# 1.14.1 Skalarprodukt

Schreibweise:	$a \cdot b =  a   b  \cos (a, b)$ $a \cdot b = 0 \text{ für } a \perp b, \text{ für } a = 0 \text{ oder für } b = 0$		
	$a \cdot b = a_1 b_1 + a_2 b_2 + a_3 b_3$ $a \cdot a =  a ^2$		
	$i \cdot j = j \cdot k = k \cdot i = 0$	$i \cdot i = j \cdot j = k \cdot k = 1$	
Kommutativgesetz:	$a \cdot b = b \cdot a$		
Distributivgesetz:	$c(a+b) = c \cdot a + c \cdot b$		
Matrixschreibweise:	$a \cdot b = (a_1 a_2 a_3) \cdot \begin{pmatrix} b_1 \\ b_2 \\ b_3 \end{pmatrix}$		
Multiplikation eines Vektors mit einer reellen Zahl $\alpha$ :	$\alpha(a_1, a_2, a_3) = (\alpha a_1, \alpha a_2, \alpha a_3)$		

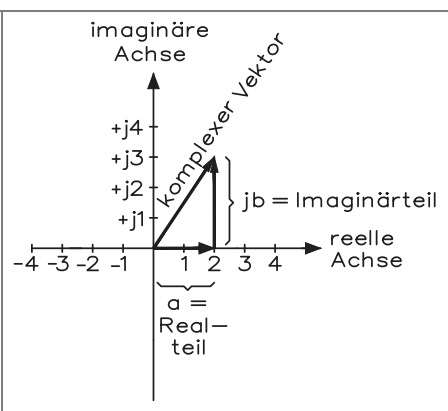
# 1.14.2 Vektorprodukt

Schreibweise:	$x \cdot b = c$		
	Betrag $ c  =  a   b  \sin(a, b)$ ; Richtung $c \perp a, b$		
	a, b, c Rechtssystem		
Determinanten- Schreibweise:	$\begin{vmatrix} a \cdot b = \begin{pmatrix} i & j & k \\ a_1 & a_2 & a_3 \\ b_1 & b_2 & b_3 \end{pmatrix} = $		
	$= (a_2 b_3 - a_3 b_2) i + (a_3 b_1 - a_1 b_3) j + (a_1 b_2 - a_2 b_1) k$		
	$a \cdot a = 0$		
	$i \cdot i = j \cdot j = k \cdot k = 0$		
	$i \cdot j = k,$ $j \cdot k = i,$ $k \cdot i = j$		
Kommutativgesetz:	nicht gültig, denn $a \cdot b = -b \cdot a$		
Distributivgesetz:	$a(b \cdot c) = a \cdot b + a \cdot c$		
Geradengleichung			
<ul> <li>Punktrichtungs-</li> </ul>	$r = r_1 + ta$		
gleichung:			
- Zweipunkte-	$r = r_1 + t(r_2 - r_1)$ $t = Parameter$		
gleichung:			

# 1.15 Komplexe Zahlen







$$\underline{z} = r(\cos\varphi + j\sin\varphi)$$
  
 
$$a = r\cos\varphi; b = r\sin\varphi$$

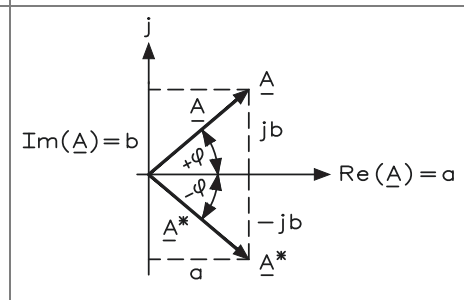
r Betrag,  $\varphi$  Argument

$$r = |a| + jb = +\sqrt{a^2 + b^2}; \quad \tan \varphi = \frac{b}{a}$$

### Exponential form:

$$\underline{z} = re^{j\varphi}$$

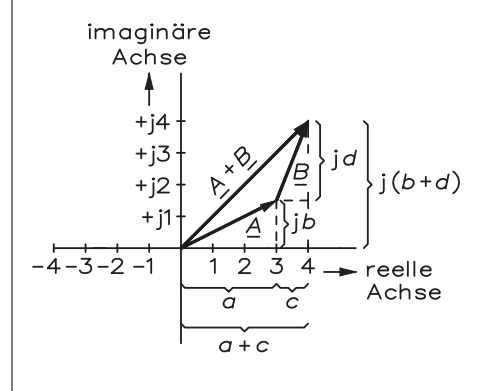
# Konjugiert komplexe Zahl:



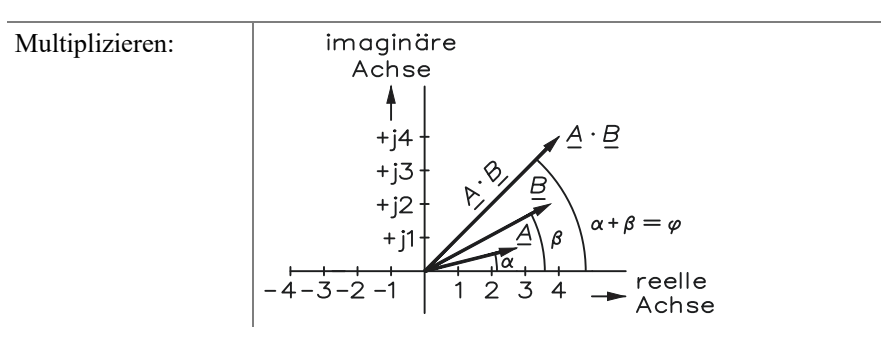
$$\underline{z}^* = a - jb = r(\cos\varphi - j\sin\varphi) = re^{-j\varphi}$$

# Addieren und Subtrahieren:





$$(a_1 + jb_1) \pm (a_2 + jb_2) = (a_1 \pm a_2) + j(b_1 \pm b_2)$$



$$r_1(\cos\varphi_1 + j\sin\varphi_1) \cdot r_2(\cos\varphi_2 + j\sin\varphi_2) = r_1 \cdot r_2[\cos(\varphi_1 + \varphi_2) + j\sin(\varphi_1 + j\varphi_2)]$$

$$r_1(\cos\varphi_1 + j\sin\varphi_1) : r_2(\cos\varphi_2 + j\sin\varphi_2) = \frac{r_1}{r_2} [\cos(\varphi_1 - \varphi_2) + j\sin(\varphi_1 - \varphi_2)]$$

Potenzieren:	$[r(\cos\varphi - j\sin\varphi)]^n = r^n(\cos n\varphi + j\sin n\varphi)] \text{ Mos}$	ivre'sche Formel
Radizieren:	Jede komplexe Zahl $\underline{z} = r(\cos \varphi + j \sin \varphi)$ hat $n$ verschiedene $n$ -te Wurzeln $w_0,, w_{n-1}$ :	
	$\underline{w}_{k} = \sqrt[n]{r} \cdot \left( \frac{\cos \varphi + k \cdot 2\pi}{n} + j \frac{\sin \varphi + k \cdot 2\pi}{n} \right)$	k = 0,, n - 1
	Speziell für $\underline{z} = a$ (positiv reell):	
	$\underline{w}_k = \sqrt[n]{a \cdot \left(\frac{\cos k \cdot 2\pi}{n} + j \cdot \frac{\sin k \cdot 2\pi}{n}\right)}$	k = 0,, n - 1
	Einheitswurzeln ( <i>n</i> -te Wurzel aus 1):	
	$\underline{w}_k = 1 \cdot \left( \frac{\cos k \cdot 2\pi}{n} + j \frac{\sin k \cdot 2\pi}{n} \right)$	k = 0,, n - 1

# 1.16 Grenzwerte

Summe, Differenz:	$\lim_{x \to a} (u \pm v) = \lim_{x \to a} u \pm \lim_{x \to a} v$
Produkt:	$\lim_{x \to a} (u \cdot v) = \lim_{x \to a} u \cdot \lim_{x \to a} v$

Quotient:	$\lim_{x \to a} \frac{u}{v} = \frac{\lim_{x \to a} u}{\lim_{x \to a} v}  \text{für}  \lim_{x \to a} v \neq 0$	
Beispiele:	$\lim_{x \to \infty} a^x = \begin{cases} \infty & \text{für } a > 1\\ 1 & \text{für } a = 1\\ 0 & \text{für } a < 1 \end{cases}$	$\lim_{x \to 0} \frac{e^x - 1}{x} = 1$
	$\lim_{x \to \infty} \frac{1}{x} = 0$	$\lim_{x \to 0} \frac{\sin x}{x} = 1$
	$\lim_{x \to \infty} \left( 1 + \frac{1}{x} \right)^x = e = 2,71828128$	$\lim_{x \to 0} \frac{\tan x}{x} = 1$
	$\lim_{x \to 0} \frac{a^x - 1}{x} = \ln a  \text{für}  a > 0$	$\lim_{x \to 0} \frac{1 - \cos x}{x^2} = \frac{1}{2}$

# 1.17 Differentialrechnungen

Regel	Funktion	Differentialquotient	
Konstanter Faktor:	$y = a \cdot f(x)$	$F(x)$ $P_1$ $\Delta F$ $\Delta F$ $\Delta x$ $\frac{dy}{dx} = a \cdot f'(x)$	
Summe und Differenz:	$y = u \pm v$	$\frac{dy}{dx} = u' \pm v'$	
Produkt:	$y = u \cdot v$	$\frac{dy}{dx} = vu' + uv'$	
Quotient:	$y = \frac{u}{v}$	$\frac{dy}{dx} = \frac{vu' - uv'}{v^2}$	
Kettenregel:	$y = f[\varphi(x)] = f(z)$	$\frac{dy}{dx} = \frac{dy}{dz} \cdot \frac{dz}{dx}$	

Reziproke Funktion:	$y = \frac{1}{f(x)}$	$\frac{dy}{dx} = \frac{-f'(x)}{[f(x)]^2}$
Inverse Funktion:	$y = \varphi(y)$	$\frac{dy}{dx} = \frac{1}{\left(\frac{dx}{dy}\right)}$

# Ableitungen einiger Funktionen

Funktion	Differentialquotient	Funktion	Differentialquotient
y = c	$\frac{dy}{dx} = 0$	$y = \arccos x$	$\frac{dy}{dx} = \frac{1}{\sqrt{1 - x^2}}$
$y = x^n$	$\frac{dy}{dx} = nx^{n-1}$	$y = \arctan x$	$\frac{dy}{dx} = \frac{1}{1+x^2}$
$y = \sin x$	$\frac{dy}{dx} = \cos x$	$y = \operatorname{arccot} x$	$\frac{dy}{dx} = -\frac{1}{1+x^2}$
$y = \cos x$	$\frac{dy}{dx} = -\sin x$	$y = a^x$	$\frac{dy}{dx} = a^x \ln a$
$y = \tan x$	$\frac{dy}{dx} = \frac{1}{\cos^2 x} = 1 + \tan^2 x$	$y = e^x$	$\frac{dy}{dx} = e^x$
$y = \cot x$	$\frac{dy}{dx} = \frac{1}{\sin^2 x} = -1 - \cot^2 x$	$y = \lg x$	$\frac{dy}{dx} = \frac{1}{x} \lg e$
$y = \arcsin x$	$\frac{dy}{dx} = \frac{1}{\sqrt{1 - x^2}}$	$y = \ln x$	$\frac{dy}{dx} = \frac{1}{x}$

Kurvendiskussion	Hinreichende Bedingungen		
	f'(x)	f''(x)	$f^{\prime\prime\prime}(x)$
Maximum	0	<0	
Minimum	0	>0	
Wendepunkt		0	≠ 0
Horizontalwendepunkt	0	0	≠ 0

# 1.18 Integralrechnungen

Regeln		
Konstanter Faktor	$\int a \cdot f(x)  dx$	$= a \int f(x)  dx$
Summe/Differenz	$\int [u(x) \pm v(x)] dx$	$= \int u(x)dx \pm \int v(x)dx$
Partielle Integration	$\int u \ dv$	$= uv - \int v  du$
Substitutionsmethode	$\int f[t(x)]t'(x)dx$	$= \int f(t) dt$
$P_{1} = f(x)$ $\Delta y$ $\Delta x$		

### Grundintegrale

$$\int x^n dx = \frac{x^{n+1}}{n+1} + C \text{ für } n \neq -1$$

$$\int \frac{dx}{\sqrt{1-x^2}} = \arcsin x + C$$

$$\int \sin x dx = -\cos x + C$$

$$\int \frac{dx}{\sqrt{1+x^2}} = \ln(x+\sqrt{x^2+1}) + C$$

$$\int \cos x dx = \sin x + C$$

$$\int \frac{dx}{\sqrt{x^2-1}} = \ln(x+\sqrt{x^2-1}) + C \text{ für } |x| > 1$$

$$\int \frac{dx}{\cos^2 x} = \tan x + C$$

$$\int \frac{dx}{\sin^2 x} = -\cot x + C$$

$$\int \frac{dx}{1+x^2} = \arctan x + C$$

$$\int \frac{dx}{x} = -\cot x + C$$

Anwendungen in der Geometrie			
Bogenlänge:	$s = \int_{a}^{b} \sqrt{1 + [f'(x)]^2}  dx$		
Flächenstück:	$A = \int_{a}^{b} f(x) dx$		
Drehkörpervolumen:	$V_x = \pi \int_a^b [f'(x)]^2 dx$ bei Rotation der Kurve $y = f(x)$ um x-Achse		
Drehkörper- Mantelfläche:	$M_{x} = 2\pi \int_{a}^{b} f[x] \cdot \sqrt{1 + [f'(x)]^{2}} dx$		

# 1.19 Potenzreihenentwicklung

Taylor'sche Reihe:	Entwicklung der Funktion f		
<i>y</i>	$f(x_0 + h) = f(x_0) + \frac{h}{1!}f'(x_0) + \frac{h^2}{2!}f''(x_0) + \dots$		
	$+\frac{h^{n-1}}{(n-1)!}f^{(n-1)}(x)+R_n$		
	$(x)$ an der Stelle $x_0$ nach Potenzen von $h$		
Restglied:	$R_n = \frac{h^n}{n!} f^{(n)}(x_0 - \mathcal{G}h) \qquad 0 < \mathcal{G} < 1$		
MacLaurin'sche Reihe:	$f(x) = f(0) + \frac{x}{1!}f'(0) + \frac{x^2}{2!}f''(0) + \frac{x^3}{3!}f'''(0) + \dots$		
	Entwicklung der Funktion $f(x)$ an der Stelle 0 nach Potenzen von $x$ (Spezialfall der Taylor'schen Reihe)		

# Potenzreihen ausgewählter FunktionenFunktionReihe $(1+x)^n$ : $1+\binom{n}{1}x+\binom{n}{2}x^2+...+(-1)^k\binom{n}{k}x^k+...$ |x|<1, n beliebig

Funktion	Reihe	
$e^{x}$ :	$1 + \frac{x}{1!} + \frac{x^2}{2!} + \frac{x^3}{3!} + \dots$ ; hieraus ist	$e = 1 + \frac{1}{1!} + \frac{1}{2!} + \frac{1}{3!} + \dots$
sin x:	$x - \frac{x^3}{3!} + \frac{x^5}{5!} - \frac{x^7}{7!} + \dots$	
cos x:	$1 - \frac{x^2}{2!} + \frac{x^4}{4!} - \frac{x^6}{6!} + - \dots$	
tan x:	$x + \frac{1}{3}x^3 + \frac{2}{15}x^5 + \frac{17}{315}x^7 + \dots$	$ x  < \frac{\pi}{2}$
arcsin x:	$x + \frac{1}{2} \cdot \frac{x^3}{3} + \frac{1 \cdot 3}{2 \cdot 4} \cdot \frac{x^5}{5} + \frac{1 \cdot 3 \cdot 5}{2 \cdot 4 \cdot 6} \cdot \frac{x^7}{7} + \dots$	<i>x</i>   ≤ 1
arctan x:	$x - \frac{x^3}{3} + \frac{x^5}{5} - \frac{x^7}{7} + \dots$	<i>x</i>   ≤ 1
	hieraus $\frac{\pi}{4} = 1 - \frac{1}{3} + \frac{1}{5} - \frac{1}{7} + \dots$	
$\ln{(1+x)}$ :	$x - \frac{x^2}{2} + \frac{x^3}{3} - \frac{x^4}{4} + \dots$	$-1 < x \le +1$
$ \frac{\ln{(1-x)}}{\cdot} $	$-x - \frac{x^2}{2} - \frac{x^3}{3} - \frac{x^4}{4} - \dots$	-1 ≤ <i>x</i> < +1
$\frac{1}{2}\ln\frac{1+x}{1-x}:$	$\frac{x}{1} + \frac{x^3}{3} + \frac{x^5}{5} + \frac{x^7}{7} + \dots$	x   < 1

Näherungsformeln	ı					
Näherungswert	<i>k</i> = 2	<i>k</i> = 3	k = 4	Näherungswert	k = 2	k = 3 $k = 4$
$(1+x)^2 \approx 1 + 2x$	0,07	0,022	0,007	$\frac{1}{\sqrt[3]{1+x}} \approx 1 - \frac{x}{3}$	0,15	0,045 0,014
$(1+x)^3 \approx 1 + 3x$	0,04	0,012	0,004	$\sin x \approx x$	17,75°	8,25° 3,83°
$\frac{1}{1+x} \approx 1 - x$	0,07	0,022	0,007	$\cos x \approx 1$	5,66°	1,75° 0,56°
$\sqrt{1+x} \approx 1 + \frac{x}{2}$	0,19	0,062	0,020	$\cos x \approx 1 - \frac{x^2}{2}$	33,75°	18,91° 10,60°
$\frac{1}{\sqrt{1+x}} \approx 1 - \frac{x}{2}$	0,11	0,036	0,011	$\tan x \approx x$	14,08°	6,41° 3,03°
$\sqrt[3]{1+x} \approx 1 + \frac{x}{3}$	0,20	0,065	0,021			

Soll der Näherungswert auf k Dezimalen genau sein (Fehler  $\Delta x < 5 \cdot 10^{-(k+1)}$ ), so darf x den in der betreffenden Spalte angegebenen Wert nicht überschreiten.

# 1.20 Kombinatorik

<i>n</i> -Fakultät:	$n! = 1 \cdot 2 \cdot 3 \dots (n-1) \cdot n = 0$	! = 1
Binomialkoeffizient <i>n</i> über <i>k</i> :	$\binom{n}{k} = \frac{n!}{k!(n-k)!} = \binom{n}{n-k} = \frac{n!}{n-k}$	$\frac{n(n-1)(n-2)(n-k+1)}{1\cdot 2\cdot 3k}$
Binomischer Satz:	$(a+b)^n = a^n + \binom{n}{1}a^{n-1}b + \binom{n}{2}a^{n-1}b$	$\binom{n}{n-2}a^{n-2}b^2 + \binom{n}{n-1}ab^{n-1} + b^n$
	n > 0, ganzzahlig	
Anzahl der	die verschiedenen linearen Aı	nordnungen von <i>n</i> Elementen
Permutationen:	alle Elemente verschieden	je $\alpha_1, \alpha_2, \dots, \alpha_r$ Elemente gleich
	$P_n = n!$	$\overline{P}_n = \frac{n!}{\alpha_1! \alpha 2! \dots \alpha_r!}$
Beispiel:	abc, acb, bac, bca, cab, cba	aac, aca, (aac), (aca), caa, (caa)
	$P_3 = 3! = 6$	$\overline{P}_3 = \frac{3!}{2!} = 3$
Anzahl der Kombina-		stellungen von jeweils k der n
tionen k-ter Klasse:		Berücksichtigung der Reihenfolge
	ohne Wiederholung	mit Wiederholung
	$K_n^{(k)} = \binom{n}{k}$	$\overline{K}_n^{(k)} = \binom{n+k-1}{k}$
Beispiel:	ab, ac, ad	aa, ab, ac, ad
	bc, bd $cd$	bb, bc, bd $cc, cd$
		$\frac{dd}{dd}$
	$K_4^{(2)} = \begin{pmatrix} 4 \\ 2 \end{pmatrix} = 6$	$\overline{K}_4^{(2)} = \begin{pmatrix} 5\\2 \end{pmatrix} = 10$
Anzahl der Variationen <i>k</i> -ter Klasse:	die verschiedenen Zusammen nen Elemente mit Berücksich	stellungen von <i>k</i> der <i>n</i> verschiedetigung der Reihenfolge
	ohne Wiederholung	mit Wiederholung
	$V_n^{(k)} = \frac{n!}{(n-k)!} = k! \left(\frac{n}{k}\right)$	$\overline{V}_n^{(k)} = n^k$
Beispiel:	ab, ac, ad	aa, ab, ac, ad
	ba, bc, bd	ba, bb, bc, bd
	ca, cb, cd	ca, cd, cc, cd
	da, db, dc	da, db, dc, dd
	$V_4^{(2)} = \frac{4!}{2!} = 12$	$\overline{V}_4^{(2)} = 4^2 = 16$

1.21 Determinanten 37

# 1.21 Determinanten

Grundbegriffe	
Darstellung:	n-reihige Determinante besteht aus n Zeilen, n Spalten, $n^2$ Elementen $a_{ik}$ $D =  a_{ik}  = \begin{vmatrix} a_{11} & a_{12} & \dots & a_{1n} \\ a_{21} & a_{22} & \dots & a_{2n} \\ \dots & \dots & \dots & \dots \\ a_{n1} & a_{n2} & \dots & a_{nn} \end{vmatrix}$
Element $a_{ik}$ :	steht in der <i>i</i> -ten Zeile und der <i>k</i> -ten Spalte
Adjunkte des Elements $a_{ik}$ :	das ist die mit Vorzeichen $(-1)^{i+k}$ versehene $(n-1)$ -reihige Unterdeterminante $A_{ik} = \left(-y\right)^{i+k} \begin{vmatrix} a_{11} & \dots & a_{1k-1} & a_{1k+1} & \dots & a_{1n} \\ \vdots & \vdots & \vdots & \vdots & \vdots \\ a_{i-11} & \dots & a_{i-1k-1} & a_{i-1k+1} & \dots & a_{i-1n} \\ \vdots & \vdots & \vdots & \vdots & \vdots \\ a_{n1} & \dots & a_{nk-1} & a_{nk+1} & \dots & a_{nn} \end{vmatrix}$
Unter- determinante:	entsteht durch Streichen der <i>i</i> -ten Zeile und der <i>k</i> -ten Spalte
Wert der Determinante:	ist die Summe der $D = a_{i1}A_{i1} + + a_{in}A_{in}$ mit der jeweiligen $= a_{1k}A_{1k} + + a_{nk}A_{nk}$ Adjunkte multi- plizierten Glieder einer Zeile oder einer Spalte
Dreireihige Determinanten:	$D = \begin{vmatrix} a_{11} & a_{12} & a_{13} \\ a_{21} & a_{22} & a_{23} \\ a_{31} & a_{32} & a_{33} \end{vmatrix} = a_{11}A_{11} + a_{12}A_{12} + a_{13}A_{13}$
	$\begin{vmatrix} A_{11} & = + \begin{vmatrix} a_{22} & a_{23} \\ a_{32} & a_{33} \end{vmatrix}  A_{12} = - \begin{vmatrix} a_{21} & a_{23} \\ a_{31} & a_{33} \end{vmatrix}  A_{13} = + \begin{vmatrix} a_{21} & a_{22} \\ a_{31} & a_{32} \end{vmatrix}$
Beispiel:	$D = \begin{vmatrix} 1 & 3 & 2 \\ 0 & 4 & 5 \\ 3 & 1 & 0 \end{vmatrix} = 1 \cdot \begin{vmatrix} 4 & 5 \\ 1 & 0 \end{vmatrix} - 3 \cdot \begin{vmatrix} 0 & 5 \\ 3 & 0 \end{vmatrix} + 2 \cdot \begin{vmatrix} 0 & 4 \\ 3 & 1 \end{vmatrix} =$
	$= 1 \cdot (-5) - 3 \cdot (-15) + 2 \cdot (-12) = -5 + 45 - 24 = 16$

# 1.21.1 Eigenschaften

Regel	Beispiel
Der Wert einer Determinante ändert sich nicht, wenn man die Zeilen mit den Spalten vertauscht (Spiegelung an der Hauptdiagonalen).	$D = \begin{vmatrix} a_{11} & a_{12} & a_{13} \\ a_{21} & a_{22} & a_{23} \\ a_{31} & a_{32} & a_{33} \end{vmatrix} = \begin{vmatrix} a_{11} & a_{21} & a_{31} \\ a_{12} & a_{22} & a_{32} \\ a_{13} & a_{23} & a_{33} \end{vmatrix}$
Der Wert einer Determinante ändert sein Vorzeichen, wenn man zwei Zeilen miteinander vertauscht.	$D = \begin{vmatrix} a_{11} & a_{12} & a_{13} \\ a_{21} & a_{22} & a_{23} \\ a_{31} & a_{32} & a_{33} \end{vmatrix} = - \begin{vmatrix} a_{11} & a_{12} & a_{13} \\ a_{31} & a_{32} & a_{33} \\ a_{21} & a_{22} & a_{23} \end{vmatrix}$
Tritt in allen Elementen einer Zeile der gleiche Faktor auf, so kann man diesen als Faktor vor die Determinante setzen.	$D = \begin{vmatrix} a_{11} & a_{12} & a_{13} \\ \lambda a_{21} & \lambda a_{22} & \lambda a_{23} \\ a_{31} & a_{32} & a_{33} \end{vmatrix} = \lambda \begin{vmatrix} a_{11} & a_{12} & a_{13} \\ a_{21} & a_{22} & a_{23} \\ a_{31} & a_{32} & a_{33} \end{vmatrix}$
Ist einer Zeile proportional einer anderen Zeile, so ist der Wert der Determinante Null.	$D = \begin{vmatrix} a_{11} & a_{12} & a_{13} \\ ka_{11} & ka_{12} & ka_{13} \\ a_{31} & a_{32} & a_{33} \end{vmatrix} = 0$
Insbesondere gilt dies für $k = 1$ (zwei Zeilen sind einander gleich) und für $k = 0$ (eine Zeile besteht nur aus Nullen).	$D = \begin{vmatrix} a_{11} & a_{12} & a_{13} \\ a_{11} & a_{12} & a_{13} \\ a_{31} & a_{32} & a_{33} \end{vmatrix} = 0$
Der Wert einer Determinante ändert sich nicht, wenn man zu den Elementen einer Zeile die mit einem konstanten Faktor multiplizierten Elemente einer anderen	$D = \begin{vmatrix} a_{11} & a_{12} & a_{13} \\ 0 & 0 & 0 \\ a_{31} & a_{32} & a_{33} \end{vmatrix} = 0$
Zeile addiert.	$D = \begin{vmatrix} a_{11} & a_{12} & a_{13} \\ a_{21} & a_{22} & a_{23} \\ a_{31} & a_{32} & a_{33} \end{vmatrix}$
	$\begin{vmatrix} a_{11} & a_{12} & a_{13} \\ a_{21} + ka_{11} & a_{22} + ka_{12} & a_{23} + ka_{13} \\ a_{31} & a_{32} & a_{33} \end{vmatrix}$

1.21 Determinanten 39

# 1.21.2 Auflösung eines linearen Gleichungssystems

Inhomogenes	(rechte Seite $b_1, b_2,, b_n$ nicht alle Null), Anzahl $n$ der Unbe-		
Gleichungssystem:	kannten gleich Anzahl der Gleichungen		
	$ a_{11}  a_{12}  a_{13} $		
	$\begin{vmatrix} n=3 \\ a_{11}x + a_{12}y + a_{13}z = b_1 \\ a_{21}x + a_{22}y + a_{23}z = b_2 \end{vmatrix}$ Koeffizienten- $D = \begin{vmatrix} a_{11} & a_{12} & a_{13} \\ a_{21} & a_{22} & a_{23} \\ a_{31} & a_{32} & a_{33} \end{vmatrix}$		
	$\begin{vmatrix} a_{21}x + a_{22}y + a_{23}z = b_2 \\ a_{31} & a_{32} & a_{33} \end{vmatrix}$ determinante		
	$a_{31}\mathbf{x} + a_{32}y + a_{33}\mathbf{z} = b_3$		
	$\begin{vmatrix} b_1 & a_{12} & a_{13} \end{vmatrix} = \begin{vmatrix} a_{11} & b_1 & a_{13} \end{vmatrix} = \begin{vmatrix} a_{11} & a_{12} & b_1 \end{vmatrix}$		
	$ D_x = \begin{vmatrix} b_1 & a_{12} & a_{13} \\ b_2 & a_{22} & a_{23} \\ b_3 & a_{32} & a_{33} \end{vmatrix}  D_y = \begin{vmatrix} a_{11} & b_1 & a_{13} \\ a_{21} & b_2 & a_{23} \\ a_{31} & b_3 & a_{33} \end{vmatrix}  D_z = \begin{vmatrix} a_{11} & a_{12} & b_1 \\ a_{21} & a_{22} & b_2 \\ a_{31} & a_{32} & b_3 \end{vmatrix} $		
	$\begin{vmatrix} b_3 & a_{32} & a_{33} \end{vmatrix}$ $\begin{vmatrix} a_{31} & b_3 & a_{33} \end{vmatrix}$ $\begin{vmatrix} a_{31} & a_{32} & b_3 \end{vmatrix}$		
Cramer'sche Regel:	Lösung:		
	$x = \frac{D_x}{D}$ ; $y = \frac{D_y}{D}$ ; $z = \frac{D_z}{D}$ , wenn $D \neq 0$		
	$y = \frac{1}{D}$ , $y = \frac{1}{D}$ , we fin $D \neq 0$		
Beispiel:	3 x - 2y + z = 8		
-	x + y - 3z = -9		
	-2x + 3y + 4z = 7		
	$\begin{bmatrix} 3 & -2 & 1 \\ 1 & 1 & 2 \end{bmatrix}$ $\begin{bmatrix}  -2 & 1  &  3 & 1  \\  -2 & 1  &  3 & 1  \end{bmatrix}$ $\begin{bmatrix}  -2 & 1  &  3 & 1  \\  -2 & 1  &  3 & 1  \end{bmatrix}$		
	$ D = \begin{vmatrix} 3 & -2 & 1 \\ 1 & 1 & -3 \\ -2 & 3 & 4 \end{vmatrix} = -1 \cdot \begin{vmatrix} -2 & 1 \\ 3 & 4 \end{vmatrix} + 1 \cdot \begin{vmatrix} 3 & 1 \\ -2 & 4 \end{vmatrix} - (-)3 \cdot \begin{vmatrix} 3 & -2 \\ -2 & 3 \end{vmatrix} = $		
	$\begin{vmatrix} -2 & 3 & 4 \\ = 11 + 14 + 15 = 40 \end{vmatrix}$		
	= 11 + 14 + 15 = 40		
	$D_x = \begin{vmatrix} 8 & -2 & 1 \\ -9 & 1 & -3 \\ 7 & 3 & 4 \end{vmatrix} = 1 \cdot \begin{vmatrix} -9 & 1 \\ 7 & 3 \end{vmatrix} - (-3) \cdot \begin{vmatrix} 8 & -2 \\ 7 & 3 \end{vmatrix} + 4 \cdot \begin{vmatrix} 8 & -2 \\ -9 & 1 \end{vmatrix} =$		
	=-34+114-40=40		
	3 8 1		
	$D_{y} = \begin{vmatrix} 3 & 8 & 1 \\ 1 & -9 & -3 \\ -2 & 7 & 4 \end{vmatrix} = 3 \cdot \begin{vmatrix} -9 & -3 \\ 7 & 4 \end{vmatrix} - 1 \cdot \begin{vmatrix} 8 & 1 \\ 7 & 4 \end{vmatrix} + (-)2 \cdot \begin{vmatrix} 8 & 1 \\ -9 & -3 \end{vmatrix} =$		
	$\begin{vmatrix} y & -2 & 7 & 4 \end{vmatrix} = \begin{vmatrix} 7 & 4 & 4 \end{vmatrix} = \begin{vmatrix} 7 & 4 & 4 \end{vmatrix} = \begin{vmatrix} 7 & 4 & 4 & 4 \end{vmatrix} = \begin{vmatrix} 7$		
	=-45-25+30=-40		
	$D_z = \begin{vmatrix} 3 & -2 & 8 \\ 1 & 1 & -9 \\ -2 & 3 & 7 \end{vmatrix} = -1 \cdot \begin{vmatrix} -2 & 8 \\ 3 & 7 \end{vmatrix} + 1 \cdot \begin{vmatrix} 3 & 8 \\ -2 & 7 \end{vmatrix} - (-)9 \cdot \begin{vmatrix} 3 & -2 \\ -2 & 3 \end{vmatrix} =$		
	$\begin{vmatrix} D_z = \begin{vmatrix} 1 & 1 & -9 \\ -2 & 3 & 7 \end{vmatrix} = -1 \cdot \begin{vmatrix} 3 & 7 \end{vmatrix} + 1 \cdot \begin{vmatrix} -2 & 7 \end{vmatrix} - (-)9 \cdot \begin{vmatrix} -2 & 3 \end{vmatrix} = $		
	$\begin{vmatrix} -2 & 3 & 7 \\ = 38 + 37 + 45 = 120 \end{vmatrix}$		
	= 38 + 37 + 43 = 120		
	Lösung:		
	$x = \frac{40}{40} = 1,$ $y = \frac{-40}{40} = -1,$ $z = \frac{120}{40} = 3$		
	$y - 40^{-1}$ , $y - 40^{-1}$ , $z - 40^{-3}$		

# 1.22 Matrizen

Grundbegriffe			
m, n-Matrix:	$A = \begin{pmatrix} a_{11} & a_{12} & \dots & a_{1n} \\ a_{21} & a_{22} & \dots & a_{2n} \\ \dots & \dots & \dots & \dots \\ a_{m1} & a_{m2} & \dots & a_{mn} \end{pmatrix} = (a_{ik})$		
Elemente der Matrix:	hört; $m$ Zeilen, $n$ Spalten; $m \cdot n$ Elemente		
	Zeilenvektor $a' = (a_{i1} \ a_{i1} \dots a_{in})$ Spaltenvektor $a_k = \begin{bmatrix} a_{2k} \\ \vdots \\ a_{mk} \end{bmatrix}$		
Schreibweise einer Matrix:	mit Hilfe ihrer Zeilen- oder ihrer Spaltenvektoren $A = \begin{pmatrix} a_{11} & a_{12} & \dots & a_{1n} \\ \dots & \dots & \dots & \dots \\ a_{m1} & a_{m2} & \dots & a_{mn} \end{pmatrix} = \begin{pmatrix} a^1 \\ a^2 \\ \dots & \dots \\ a^m \end{pmatrix} = (a_1 \ a_2 \ \dots \ a_n)$ $A = \begin{pmatrix} a_{11} & a_{12} & \dots & a_{1n} \\ \dots & \dots & \dots \\ a_{m1} & a_{m2} & \dots & a_{mn} \end{pmatrix} = \begin{pmatrix} a_1 \\ a_2 \\ \dots & \dots \\ a^m \end{pmatrix}$ Nullmatrix $N = \begin{pmatrix} 0 & 0 & \dots & 0 \\ 0 & 0 & \dots & 0 \\ \dots & \dots & \dots & \dots \\ 0 & 0 & \dots & 0 \end{pmatrix}$ Einheitsmatrix $E = \begin{pmatrix} 1 & 0 & \dots & 0 \\ 0 & 1 & \dots & 0 \\ \dots & \dots & \dots & \dots \\ 0 & 0 & \dots & 1 \end{pmatrix}$		
Unterdeterminante:	k-ter Ordnung der Matrix $A$ entsteht, wenn man so viele Zeilen und Spalten kürzt, dass quadratische Matrix mit $k$ Spalten und $k$ Zeilen verbleibt  Unterdeterminante 3. Ordnung $D_3 = \begin{vmatrix} 1 & 0 & 3 \\ 2 & 1 & 1 \\ 0 & 3 & 4 \end{vmatrix}$ $D_3 = \begin{vmatrix} 1 & 0 & 3 \\ 2 & 1 & 1 \\ 0 & 3 & 4 \end{vmatrix}$ Unterdeterminante 2. Ordnung $D_2 = \begin{vmatrix} 1 & 1 \\ 3 & 4 \end{vmatrix}$		

1.23 Mengenlehre 41

# 1.22.1 Rechenregeln

Gleichheit zweier <i>m</i> , <i>n</i> -Matrizen:	$A = (a_{ik}),$ $B = (b_{ik}),$ $A = B,$ wenn für $i = 1,, m$ und $k = 1,, n$ gilt: $a_{ik} = b_{ik}$
Summe zweier <i>m</i> , <i>n</i> -Matrizen:	$(a_{ik}) + (b_{ik}) = (a_{ik} + b_{ik})$ Beispiel: $\begin{pmatrix} 1 & 0 & 3 \\ 2 & 1 & 0 \end{pmatrix} + \begin{pmatrix} 2 & 4 & 1 \\ 3 & 0 & 2 \end{pmatrix} = \begin{pmatrix} 3 & 4 & 4 \\ 5 & 1 & 2 \end{pmatrix}$
Multiplikation mit konstantem Faktor:	$k \cdot (a_{ik}) = (k \cdot a_{ik}) \qquad \text{Beispiel: } 2 \cdot \begin{pmatrix} 1 & 1 & 0 \\ 2 & 3 & 1 \end{pmatrix} = \begin{pmatrix} 2 & 2 & 0 \\ 4 & 6 & 2 \end{pmatrix}$
Produkt zweier Matrizen:	$C = A \cdot B = (a^{i} \cdot b_{k}) = (c_{ik})$ Beispiel: $2, 3\text{-Matrix}  A = \begin{pmatrix} 1 & 1 & 2 \\ 3 & 1 & 0 \end{pmatrix}$ $3, 4\text{-Matrix}  B = \begin{pmatrix} 2 & 1 & 2 & 1 \\ 1 & 0 & 0 & 1 \\ 4 & 3 & 1 & 2 \end{pmatrix}$ $2, 4\text{-Matrix}  A \cdot B = \begin{pmatrix} 1 \cdot 2 + 1 \cdot 1 + 2 \cdot 4 & 1 \cdot 1 + 1 \cdot 0 + 2 \cdot 3 & 1 \cdot 2 + 1 \cdot 0 + 2 \cdot 1 & 1 \cdot 1 + 1 \cdot 1 + 2 \cdot 2 \\ 3 \cdot 2 + 1 \cdot 1 + 0 \cdot 4 & 3 \cdot 1 + 1 \cdot 0 + 0 \cdot 3 & 3 \cdot 2 + 1 \cdot 0 + 0 \cdot 1 & 3 \cdot 1 + 1 \cdot 1 + 0 \cdot 2 \end{pmatrix} = \begin{pmatrix} 11 & 7 & 4 & 6 \\ 7 & 3 & 6 & 4 \end{pmatrix}$

# 1.23 Mengenlehre

# 1.23.1 Grundbegriffe

Elemente der Menge:	$a \in A$	a ist Element der Menge A
Nicht Elemente der Menge:	$a \notin A$	a ist nicht Element der Menge A
Leere Menge:	Ø	enthält kein Element
Teilmenge:	$A \subseteq B$	A ist Teilmenge von $B$ , d. h. jedes Element von $A$ ist Element von $B$
Echte Teilmenge:	$A \subset B$	A ist echte Teilmenge von B, d. h., $A \subseteq B$ , aber nicht $A = B$ Für jede Menge gilt: $A \subseteq A$ und $\emptyset \subseteq A$ Aus $A \subseteq B$ und $B \subseteq C$ folgt $A \subseteq C$ Aus $A \subseteq B$ und $B \subseteq A$ folgt $A = B$

# 1.23.2 Mengenoperation

Vereinigung $A \cup B$	besteht aus allen Elementen, die wenigstens einer der beiden Mengen $A, B$ angehören	Beispiel: $A = \{1, 2\}$ $B = \{2, 3\}$ $A \cup B = \{1, 2, 3\}$
Durchschnitt $A \cap B$	besteht aus allen Elementen, die sowohl zu A auch zu B gehören	Beispiel: $A = \{3, 4\}$ $B = \{4, 5\}$ $A \cap B = \{4\}$
$\overline{\text{Differenz } A \setminus B}$	besteht aus allen Elementen, die zu A gehören, aber nicht zu B	Beispiel: $A = \{1, 2, 3\}$ $B = \{3, 4, 5\}$ $A \setminus B = \{1, 2\}$
Produkt $A \times B$	besteht aus allen geordneten Elementpaaren $(a, b)$ mit $a \in A$ und $b \in B$	Beispiel: $A = \{a, b, c\}$ $B = \{d, e\}$ $A \times B = \{(a, d), (a, e), (b, d), (b, e), (c, d), (c, e)\}$

# 1.23.3 Rechenregeln

Kommutatives Gesetz:	$A \cup B = B \cup A;$	$A \cap B = B \cap A$
Assoziatives Gesetz:	$(A \cup B) \cup C = A \cup (B \cup C)$	$C) = A \cup B \cup C$
	$(A \cup B) \cup C = A \cup (B \cup C) = A \cup B \cup C$ $(A \cap B) \cap C = A \cap (B \cap C) = A \cap B \cap C$	
Verschmelzungsgesetz:	$A \cup (A \cap B) = A;$	$A \cup (A \cap B) = A$
Distributives Gesetz:	$A \cup (B \cap C) = (A \cup B) \cap (A \cup C)$	
	$A \cup (B \cap C) = (A \cup B) \cap (A \cup C)$ $A \cap (B \cup C) = (A \cap B) \cup (A \cap C)$	

# 1.24 Wahrscheinlichkeitsrechnung

Zufällige Ergebnisse:	A, B (als Mengen erkennbar)
	$A \cup B$ , d. h. A oder B (Summe, Vereinigung)
	$A \cap B$ , d. h. A und B (Produkt, Durchschnitt)
	E sicheres Ergebnis
	Ø _ kein Ergebnis
	A, A zueinander komplementäre Ereignisse
	$A \cup \overline{A} = E, \ A \cap \overline{A} = \emptyset$ ;
	wenn $A$ , $B$ einander ausschließen, dann $A \cap B = \emptyset$

Wahrscheinlichkeit:	für das Eintreten von $A$ ist $P(A)$		
	Klassische Definition:	$P(A) = \frac{m}{n}$ m Anzahl günstiger Fälle,	
		n Anzahl möglicher Fälle (endlich)	
	Statistische Definition:	$P(A) \approx P_n(A) = \frac{m}{n}$ <i>n</i> hinreichend groß;	
		$P_n(A)$ relative Häufigkeit; bei $n$ Versuchen $m$ mal Ereignis $A$	
	Axiomatische Definition:	$P(A) \ge 0 \qquad P(E) = 1$ $P(A_1 \cup A_2 \cup \dots \cup A_n) = P(A_1) + P(A_2) + \dots + P(A_n)$ $\text{für } A_1 \cap A_i = \emptyset; \qquad i \ne j$	
Additionsgesetz:	A, B nicht notwendig einander ausschließend $P(A \cup B) = P(A) + P(B) - P(A \cap B)$ A, B einander ausschließend (disjunktiv) $P(A \cup B) = P(A) + P(B)$		
Beispiele:	1. Wahrscheinlichkeit, mit einem Würfel bei einem Spiel eine Zahl zu werfen, die durch 2 (A) oder durch 3 (B) teilba		
	$P(A) = \frac{3}{6}$ , $P(B) = \frac{2}{6}$ ,	O	
	$P(A \cup B) = \frac{3}{6} + \frac{2}{6} - \frac{1}{6}$	$=\frac{2}{3} = 66,7\%$	
	2. Wahrscheinlichkeit, mit einem Würfel bei einem Spiel ist eine Zahl zu werfen, die entweder durch 2 (A) oder durch eine 1 (B) teilbar ist:		
	$P(A) = \frac{3}{6},  P(B) \frac{1}{6};$	$P(A \cup B) = \frac{3}{6} + \frac{1}{6} = \frac{2}{3} = 66,7 \%$	
Multiplikationsgesetz:	$A$ , $B$ nicht notwendig von $P(A \cap B = P(B) \cdot P(A \mid B))$		
	$P(A \mid B)$ ist Wahrscheinlig dass $B$ bereits eingetreten	chkeit für A unter der Bedingung, ist:	
Beispiele:	A, B voneinander unabhängig $P(A \cap B) = P(A) \cdot P(B)$ 1. Wahrscheinlichkeit, mit einem Würfel bei einem Spiel eine Zahl zu werfen, die durch 2 teilbar (A) und außerdem größer als 3 (B) ist:		
	$P(A) = \frac{3}{6}$ , $P(B/A) = \frac{2}{3}$ ; $P(A \cap B) = \frac{3}{6} \cdot \frac{2}{3} = \frac{1}{3} = 33,3\%$		
	2. Wahrscheinlichkeit, mit einem Würfel bei einem Spiel eine Zahl zu werfen, die sowohl durch 2 ( <i>A</i> ) als auch durch 3 ( <i>B</i> ) teilbar ist:		
	$P(A) = \frac{3}{6},  P(B) \ \frac{2}{6};$	$P(A \cap B) = \frac{3}{6} \cdot \frac{2}{6} = \frac{6}{36} = \frac{1}{6} = 16,7 \%$	

# 1.25 Normalverteilung

Dichtefunktion:	$\varphi(x;\mu,\sigma^2) = \frac{1}{\sigma \cdot \sqrt{2 \cdot \pi}} \cdot e^{-\frac{(x-\mu)^2}{2\sigma^2}}$
Standardisierte Funktion:	$\mu = 0; \ \sigma^2 = 1; \varphi(x) = \frac{1}{\sqrt{2 \cdot \pi}} \cdot e^{-\frac{x^2}{2}} \qquad [= \varphi(x; 0, 1)]$
	$\varphi(-x) = 1 - \varphi(x)$
Verteilungsfunktion:	$\Phi(x;\mu,\sigma^2) = \int_{-\infty}^{x} \varphi(t;\mu,\sigma^2) dt$
Standardisierte Verteilungsfunktion:	$\Phi(x) = \int_{-\infty}^{x} \varphi(t) dt = \frac{1}{\sqrt{2 \cdot \pi}} \int_{-\infty}^{x} e^{-\frac{t^{2}}{2}} dt  [= \Phi(x; 0, 1)]$ $\Phi(-x) = 1 - \Phi(x)$
Zusammenhang:	$\Phi(x;\mu,\sigma^2) = \Phi\left(\frac{x-\mu}{\sigma}\right) = \frac{1}{\sqrt{2 \cdot \pi}} \int_{-\infty}^{\frac{x-\mu}{\sigma}} e^{-\frac{t^2}{2}} dt$
Dichtefunktion $\varphi(x; \mu, \sigma^2)$ und Verteilungsfunktion $\Phi(x; \mu, \sigma^2)$	$\varphi(\mathbf{x}; \mu, \sigma^2)$ $\Phi(\mathbf{x}; \mu, \sigma^2)$ $0.5$ $\varphi(\mathbf{x}; \mu, \sigma^2)$ $\varphi(\mathbf{x}_1; \mu, \sigma^2)$ $\varphi(\mathbf{x}_1; \mu, \sigma^2)$ $\mathbf{x}_1$
Präzisionsmaß:	$\varphi(\mathbf{x};\mu,\sigma^2)$ $\frac{h_1}{\sqrt{\pi}}$ Wendepunkte $\mu-\sigma_2  \mu  \mu+\sigma_2$ $\mu-\sigma_1  \mu+\sigma_1$ $h=\frac{1}{\sigma\cdot\sqrt{2}};  \varphi(x;\mu,\sigma^2)=\frac{h}{\sqrt{\pi}};  \varphi(x;\mu,\sigma^2)=\frac{h}{\sqrt{\pi}}e^{-h^2(x-\mu)^2}$ Dichtefunktion mit verschiedenem Präzisionsmaß $h$
Dichtefunktion mit verschiedenem Präzisionsmaß h	

Allgemeine Elektrotechnik

### 2.1 Einheiten der Elektrotechnik

**Ampere A:** Einheit der elektrischen Stromstärke *I* 

Das Ampere ist die Stärke des zeitlich unveränderlichen elektrischen Stromes durch zwei geradlinige, parallele, unendlich lange Leiter der relativen Permeabilität von  $\mu_r=1$  und von vernachlässigbarem Querschnitt, die den Abstand von 1 m aufweisen und zwischen denen die durch den Strom elektrodynamisch hervorgerufene Kraft im leeren Raum je 1 m Länge der Doppelleitung  $2 \cdot 10^{-7}$  N beträgt.

**Volt V:** Einheit der elektrischen Spannung *U* 

$$V = \frac{W}{A}$$
 
$$1 \ V = 1 \frac{kg \cdot m^2}{s^3 \cdot A}$$

**Ohm \Omega:** Einheit des elektrischen Widerstandes R

$$\Omega = \frac{V}{A}$$
 
$$1\Omega = 1 \frac{kg \cdot m^2}{s^3 \cdot A^2}$$

**Siemens S:** Einheit des elektrischen Leitwertes G

$$S = \frac{1}{\Omega} = \frac{A}{V}$$

$$1S = \frac{s^3 \cdot A^2}{kg \cdot m^2}$$

**Watt W:** Einheit der Leistung *P* 

$$W = V \cdot A = \frac{J}{s}$$

$$1 W = 1 \frac{kg \cdot m^2}{s^3}$$

Einheit der Energie W, Arbeit A und Wärmemenge Q Joule J:

1 Joule = 1 J = 1 Nm = 1 Ws = 1 VAs = 
$$1 \frac{kg \cdot m^2}{s^2}$$

kcal (Kilokalorie) 1 kcal = 4186,8 J

Coulomb C: Einheit der elektrischen Ladung (Elektrizitätsmenge) Q C = Amperesekunde As1 C = 1 As

Farad F: Einheit der elektrischen Kapazität C

$$F = \frac{C}{V} \qquad \qquad 1F = 1 \ \frac{A \cdot s}{V} = 1 \frac{s^4 \cdot A^2}{kg \cdot m^2}$$

Weber Wb: Einheit des magnetischen Flusses Φ

Wb = Voltsekunde Vs 1 Wb = 
$$1 \frac{\text{kg} \cdot \text{m}^2}{\text{s}^2 \cdot \text{A}}$$

Tesla T: Einheit der magnetischen Flussdichte B (magnetische Induktion)

$$T = \frac{Vs}{m^2} = \frac{Wb}{m^2}$$
  $1T = 1\frac{Wb}{m^2} = 1\frac{V \cdot s}{m^2} = 1\frac{kg}{s^2 \cdot A}$ 

Ampere durch Meter  $\frac{A}{m}$ : Einheit der magnetischen Feldstärke H

$$\frac{A}{m} = \frac{N}{Wb}$$

Henry H: Einheit der elektromagnetischen Induktivität L

$$H = \frac{Vs}{A} = \frac{Wb}{A} = \Omega s \qquad \qquad 1H = 1 \frac{kg \cdot m^2}{s^2 \cdot A^2}$$

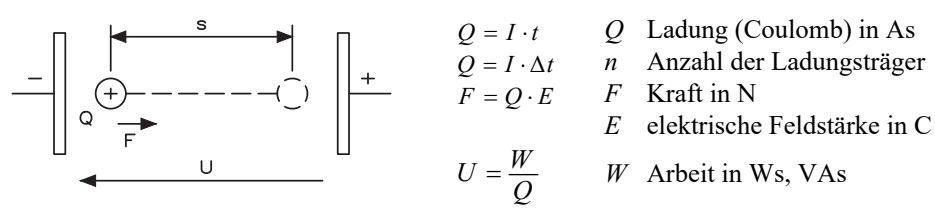
**Henry H durch Meter**  $\frac{\mathbf{H}}{\mathbf{m}}$ : Einheit der Induktionskonstante  $\mu_0$ 

$$\frac{H}{m} = \frac{Vs}{A \cdot m} = \frac{Wb}{A \cdot m} = 10^{-2} \frac{Wb}{A \cdot cm} = \frac{\Omega \cdot s}{m}$$

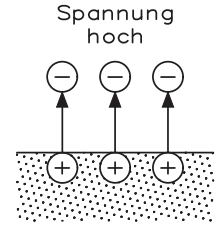
**Hertz Hz:** Einheit der Frequenz f

$$Hz = \frac{1}{s}$$

### 2.2 Ladung



# 2.3 Spannung



Spannung niedrig



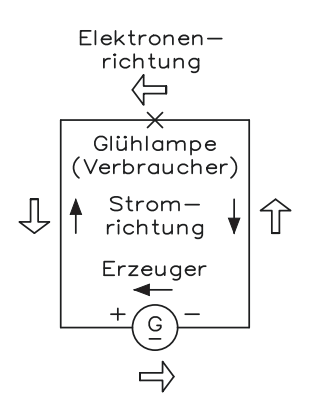
Spannung Null

 $U = \frac{W}{Q}$ 

U Spannung

W Arbeit in Ws, VAsO Ladung

### 2.4 Stromstärke



$$I = \frac{Q}{t}$$

$$I = \frac{C}{s} = \frac{As}{s} = A$$

$$i = \frac{\Delta Q}{\Delta t}$$

 $\Delta Q$  Ladungsänderung

Stromstärke in A

t in s

i Augenblickänderung

 $\Delta t$  Zeitabschnitt

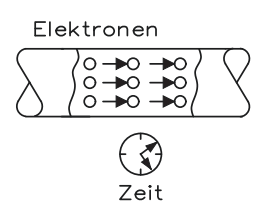
### 2.5 Stromdichte



$$S = \frac{I}{A}$$

- S Stromdichte in  $\frac{A}{mm^2}$
- A Leiterquerschnitt in mm<sup>2</sup>

# 2.6 Elektrizitätsmenge

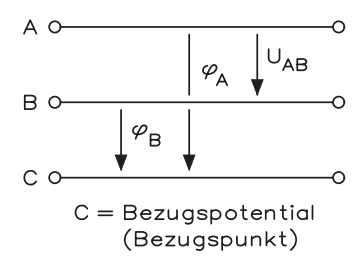


$$Q = I \cdot t$$

1 C = 1 As = 1 A · 1s  
Q Elektrizitätsmenge in As  
Elektronengeschwindigkeit 
$$v = 0.1$$
 mm/s  
Signalgeschwindigkeit  $c \approx 300~000$  m/s

(Lichtgeschwindigkeit)

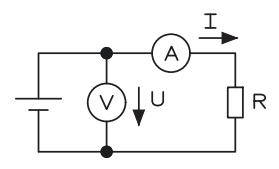
#### **Spannungspotential** 2.7



$$U_{AB}=\varphi_A-\varphi_B$$

- $U_{AB}$  Potential differenz zwischen A und B
- Potential des Punktes A  $\varphi_A$ bezüglich Bezugspotential
- Potential des Punktes B  $\varphi_B$ bezüglich Bezugspotential

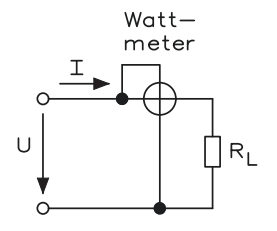
#### **Ohm'sches Gesetz** 2.8



$$I = \frac{U}{R}$$

- Strom in A U Spannung in V R Widerstand in  $\Omega$
- $1 A = \frac{1 V}{1 \Omega}$

#### **Elektrische Leistung** 2.9



$$P = U \cdot I$$

$$P = I^{2} \cdot I$$

$$P = \frac{U^{2}}{R}$$

$$P = \frac{W}{t}$$

$$P = U \cdot I$$

$$P = I^{2} \cdot R$$

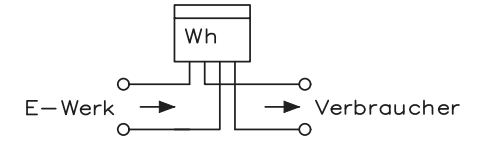
$$P = \frac{U^{2}}{R}$$

$$P = \frac{U^{2}}{R}$$

$$P = \frac{V \cdot I}{R}$$

$$P = \frac{V \cdot I}{R} = 1 \frac{V \cdot I}{S} = 1 \frac{V \cdot$$

### 2.10 Elektrische Arbeit



$$W = P \cdot t$$

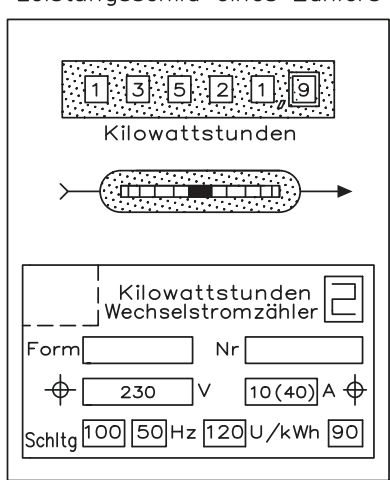
W elektrische Arbeit in Ws oder kWh

$$1 \text{ Ws} = 1 \text{ V} \cdot 1 \text{ A} \cdot 1 \text{ s} = 1 \text{ J} = 1 \text{ Nm} = 1 \frac{\text{kg m}^2}{\text{s}^2}$$

2.12 Wirkungsgrad 49

# 2.11 Messen der elektrischen Leistung

Leistungsschild eines Zählers

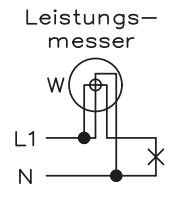


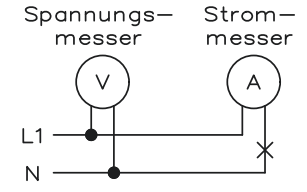
$$P = \frac{n}{c_Z}$$

P Leistung in kW

*n* Zählerumdrehung je min

c<sub>Z</sub> Zählerkonstante in Umdrehungen/kWh

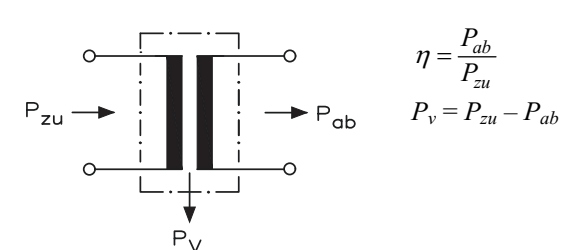




1. Direkte Messung

2. Indirekte Messung

# 2.12 Wirkungsgrad



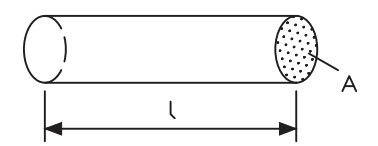
η Wirkungsgrad

 $P_{v}$  Verluste

 $P_{zu}$  zugeführte Leistung

 $P_{ab}$  abgegebene Leistung

# 2.13 Leitungswiderstand



$$R = \frac{l}{\gamma \cdot A}$$

$$R = \frac{\rho \cdot l}{A}$$

- $R = \frac{l}{\gamma \cdot A}$  l Leiterlänge A Leiterquerschnitt  $R = \frac{\rho \cdot l}{A}$   $\gamma$  Leitfähigkeit in m/( $\Omega \cdot$  mm<sup>2</sup>)  $\rho$  spezifischer Widerstand in  $(\Omega \cdot mm^2)/m$

Werkstoff	Spezifischer Widerstand	Leitfähigkeit
Silber	0,0164	61
Kupfer	0,01724	58
Aluminium	0,0278	36
Eisen	0,13	7,7
Konstantan	0,50	2,0

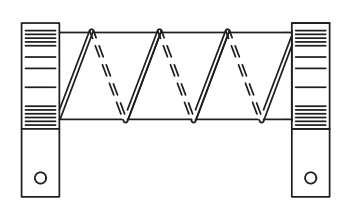
Zulässiger Strom bei frei in Luft ausgespannten Drähten:

$$I_g = \alpha \sqrt{d^3}$$

$$I_n = \frac{I_g}{1,6}$$

- Ig Grenzstrom in A  $\vec{I_n}$  Nennstrom in A
- d Drahtdurchmesser in mm
- $\alpha$  Material konstante (Kupfer  $\alpha = 60$ )





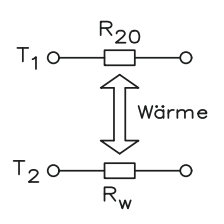
- $A = \frac{P}{p}$

- P Belastbarkeit in W
- p Belastbarkeit in W/cm<sup>2</sup>

- $l = \frac{P}{p \cdot D \cdot \pi}$   $l = \frac{P}{p \cdot D \cdot \pi}$   $l = \frac{P}{D \cdot D \cdot \pi}$   $l = \frac{D}{D \cdot D \cdot D \cdot \pi}$   $l = \frac{D}{D \cdot D \cdot D \cdot \pi}$   $l = \frac{D}{D \cdot D \cdot D \cdot \pi}$   $l = \frac{D}{D \cdot D \cdot D \cdot D}$   $l = \frac{D}{D \cdot D \cdot D \cdot D}$   $l = \frac{D}{D \cdot D \cdot D}$  d Windung in mm  $d \approx \sqrt[3]{\frac{\rho \cdot P}{R \cdot c \cdot n}}$ c Konstante der Windungssteigung

  - ρ spezifischer Widerstand

# 2.14 Widerstand und Temperatur



- $\Delta R = \alpha \cdot R_{20} \cdot \Delta T$
- $\Delta R$ Widerstandsänderung in  $\Omega$
- Temperaturbeiwert in 1/K  $\alpha$
- $R_{20}$ Widerstand bei 20 °C
- $R_W$ Widerstand bei Erwärmung

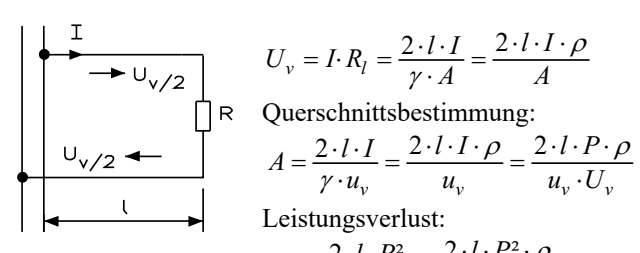
$$R_{w} = R_{k} \cdot (1 + \alpha \cdot \Delta T)$$

$$R_{w} = R_{k} + \Delta R$$

$$\Delta T = \frac{R_{w} - R_{k}}{R_{w} \cdot \alpha}$$

Kaltwiderstand in  $\Omega$ Kalteiter (PTC)  $R_w = R_k + \Delta R$   $R_w = R_k + \Delta R$  Widerstandswert bei 20 °C  $R_w = R_w - R_k$  Warmwiderstand in  $\Omega$   $R_w = R_w - R_k$  Warmwiderstand in  $\Omega$  Temperaturänderung in K

### 2.15 Spannungsfall auf Leitungen



$$U_{v} = I \cdot R_{l} = \frac{2 \cdot l \cdot I}{\gamma \cdot A} = \frac{2 \cdot l \cdot I \cdot \rho}{A}$$

$$A = \frac{2 \cdot l \cdot I}{\gamma \cdot u_{v}} = \frac{2 \cdot l \cdot I \cdot \rho}{u_{v}} = \frac{2 \cdot l \cdot P \cdot \rho}{u_{v} \cdot U_{v}}$$

$$P_{v} = \frac{2 \cdot l \cdot P^{2}}{\gamma \cdot A \cdot U^{2}} = \frac{2 \cdot l \cdot P^{2} \cdot \rho}{A \cdot U^{2}} = I^{2} \cdot R = \frac{2 \cdot l \cdot I^{2}}{\gamma \cdot A} \quad p_{u} \quad \begin{array}{c} \text{In } \% \\ \text{Spannungs verlust} \\ \text{in } \% \end{array}$$

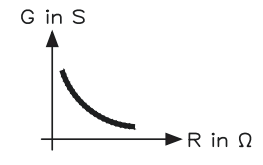
 $p_n = \frac{P_{\nu}}{P} \cdot 100 = \frac{2 \cdot l \cdot P \cdot 100}{\nu \cdot A \cdot U^2} = \frac{2 \cdot l \cdot \rho \cdot P \cdot 100}{A \cdot U^2}$ 

Erforderliche Spannung:

$$U_{v} = \sqrt{\frac{2 \cdot l \cdot \rho \cdot P \cdot 100}{A \cdot p_{n}}} = \frac{2 \cdot l \cdot I \cdot \rho \cdot 100}{A \cdot p_{u}}$$

- $U_{\nu}$  Spannungsfall
- A Leiterquerschnitt
- $u_v$  Spanungsfall in %
- $p_n$  Leistungsverlust

### 2.16 Leitwert und Widerstand

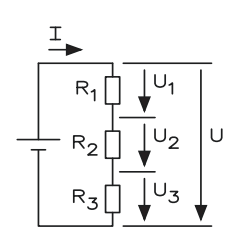


$$G = \frac{1}{R}$$

$$1 \text{ S} = \frac{1}{1 \Omega}$$

G Leitwert in S oder mho (mho amerikanische Bezeichnung)

# 2.17 Reihenschaltung von Widerständen



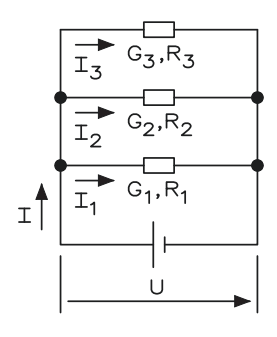
$$I = I_1 = I_2 = I_3 = \dots$$

$$U = U_1 + U_2 + U_3 + \dots$$

$$R = R_1 + R_2 + R_3 + \dots$$

$$\frac{U_1}{U_2} = \frac{R_1}{R_2}$$

# 2.18 Parallelschaltung von Widerständen



$$I = I_1 + I_2 + I_3 + \dots$$

$$G = G_1 + G_2 + G_3 + \dots$$

$$\frac{1}{R} = \frac{1}{R_1} + \frac{1}{R_2} + \frac{1}{R_3} + \dots$$

$$\frac{1}{R_1} = \frac{1}{R_1} + \frac{1}{R_2} + \frac{1}{R_3} + \dots$$

$$\frac{I_1}{I_2} = \frac{G_1}{G_2} \qquad \frac{I_1}{I_2} = \frac{R_2}{R_1}$$
bei zwei Widerständen

bei zwei Widerständen

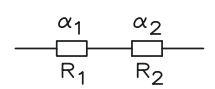
$$R = \frac{R_1 \cdot R_2}{R_1 + R_2}$$

$$R_1 = \frac{R_2 \cdot R}{R_2 - R} \qquad R_n = \frac{R_1}{n}$$

n Zahl der gleichen Widerstände

### 2.19 Widerstände mit unterschiedlichen Temperaturkoeffizienten

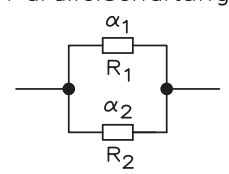
Reihenschaltung



 $\alpha = \frac{\alpha_1 \cdot R_1 + \alpha_2 \cdot R_2}{R_1 + R_2}$ 

Gesamttemperaturbeiwert in 1/K Gesamtwiderstand in  $\Omega$ 

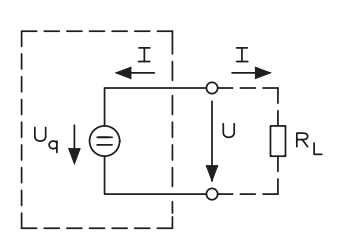
Parallelschaltung



 $\alpha = R \cdot \frac{\alpha_1 \cdot R_2 + \alpha_2 \cdot R_1}{R_1 \cdot R_2} \qquad \begin{array}{c} \alpha_1, \ \alpha_2 \end{array} \text{Temperaturbeiwert der} \\ \text{Einzelwiderstände} \end{array}$ in 1/K

 $R_1, R_2$  Einzelwiderstände in  $\Omega$ 

# 2.20 Ideale Spannungsquelle

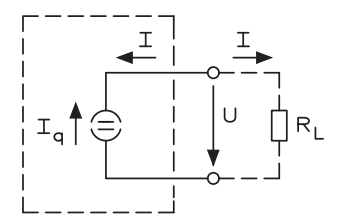


 $U = U_0 = U_q$ 

UAusgangsspannung in V Leerlaufspannung in V

Quellenspannung in V

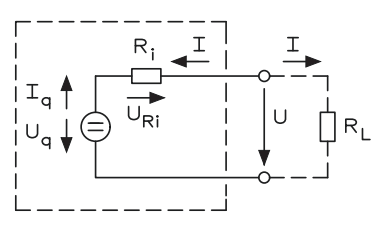
# 2.21 Ideale Stromquelle



$$I = I_q = -I$$

I Ausgangsstrom in A  $I_q$  Quellenstrom in A

# 2.22 Reale Spannungsquelle



$$U = U_0 = U_q$$

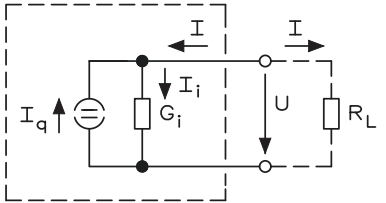
 $\begin{array}{ll} \text{Leerlauf:} & I=0 \quad (R_L \to \infty \; \Omega) \\ & U=U_0=U_q \\ \text{Kurzschluss:} & U=0 \; (R_L \to 0 \; \Omega) \\ & I=-I_q=-I \end{array}$ 

$$I = -I_q = -I$$

$$U = U_q - U_{Ri} \Rightarrow U = U_q - (R_i \cdot I) \Rightarrow U = U_q - \left(\frac{U_0}{I_k} \cdot I\right)$$

$$U \text{ immer } < U_q!$$

# 2.23 Reale Stromquelle



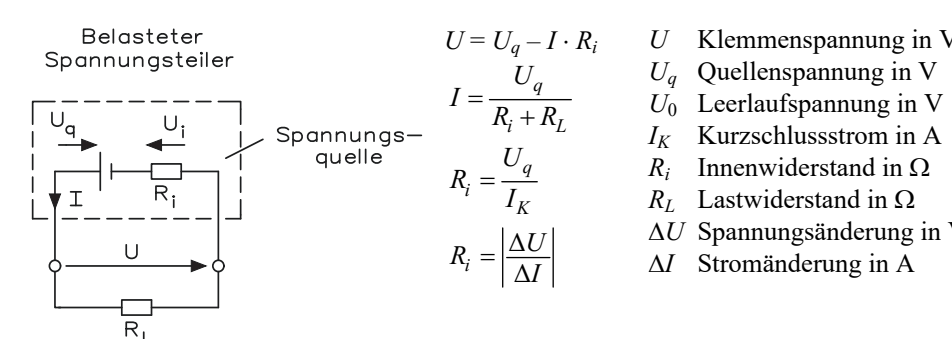
Kurzschluss:  $U = 0 \ (R_L \rightarrow 0 \ \Omega)$   $I = -I_q = -I$   $I_k$  Klemmenstrom in A

$$I = -I_a = -I$$

Leerlauf:  $I = 0 \quad (R_L \to \infty \Omega)$   $U = U_0$ 

$$I = I_1 - I_q \Rightarrow I = (G_i \cdot U) - I_q \Rightarrow I = \left(\frac{I_k}{U_0} \cdot U\right) - I_q$$

# 2.24 Belasteter Spannungserzeuger

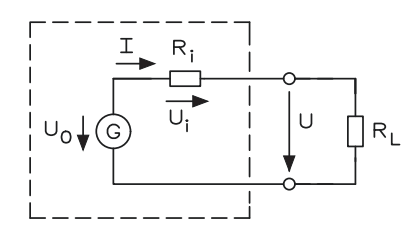


Klemmenspannung in V

 $\Delta U$  Spannungsänderung in V

 $\Delta I$  Stromänderung in A

# 2.25 Anpassung



$$U_0 = U_i + U$$
  $U_0$  Leerlaufspannung in V
$$I = \frac{U_0}{R_i + R_L}$$
  $U$  Klemmenspannung in V
$$U_q$$
 Quellenspannung in V
$$I_K = \frac{U_0}{R_i}$$
  $I_K$  Kurzschlussstrom in A
$$\Delta U$$
 Spannungsänderung in A
$$\Delta U$$
 Stromänderung in A

$$I_K = \frac{U_0}{R_i}$$

 $U_0$  Leerlaufspannung in V

Klemmenspannung in V

 $\Delta U$  Spannungsänderung in V

 $\Delta I$  Stromänderung in A

P<sub>L</sub> Ausgangsleistung in W

- Spannungsanpassung 
$$R_L >> R_i$$

$$I \approx \frac{U_0}{R_L} \qquad U \approx U_0 \qquad P_L \approx 0$$

- Leistungsanpassung 
$$R_L = R_i$$

$$I = \frac{U_0}{2 \cdot R_i} \qquad I = \frac{U_0}{2 \cdot R_L}$$

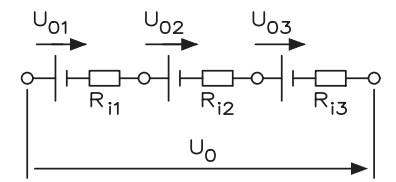
$$U = \frac{U_0}{2}$$

$$P_L = \frac{U_0^2}{4 \cdot R_i} \qquad P_L = \frac{U_0}{4 \cdot R_L}$$

- Stromanpassung 
$$R_L \ll R_i$$

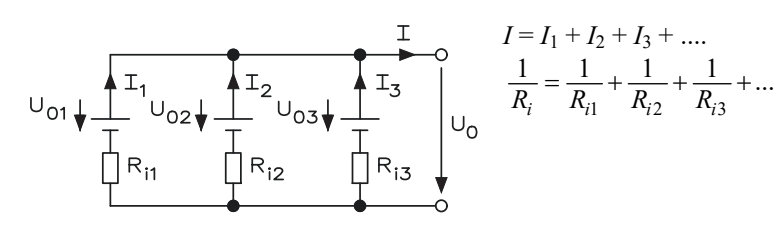
$$I \approx \frac{U_0}{R_i} \qquad U \approx \frac{U_0 \cdot R_L}{R_i} \qquad P_L \approx 0$$

### 2.26 Reihenschaltung von Spannungserzeugern



$$U_0 = U_{01} + U_{02} + U_{03} + \dots$$
  
 $R_i = R_{i1} + R_{i2} + R_{i3} + \dots$ 

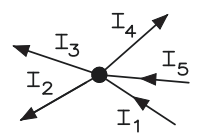
### 2.27 Parallelschaltung von Spannungserzeugern



$$I = I_1 + I_2 + I_3 + \dots$$

$$\frac{1}{R_i} = \frac{1}{R_{i1}} + \frac{1}{R_{i2}} + \frac{1}{R_{i3}} + \dots$$

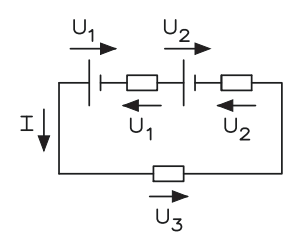
# 2.28 Erstes Kirchhoff'sches Gesetz (Knotenregel)



In jedem Knotenpunkt ist die Summe aller Ströme

$$\Sigma I = 0$$
  $\Sigma I_{zu} = \Sigma I_{ab}$ 

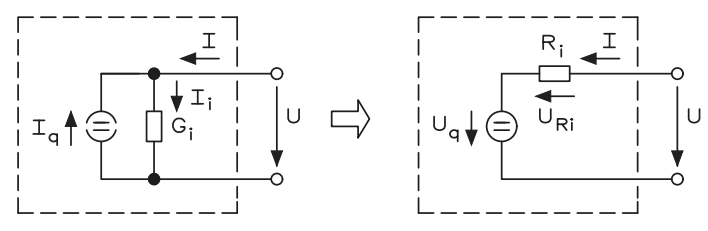
# 2.29 Zweites Kirchhoff'sches Gesetz (Maschenregel)



Die Summe aller Teilspannungen eines gewählten Stromlaufs ist Null

$$\Sigma U = 0$$

## 2.30 Umrechnung einer Strom- in eine Spannungsquelle



Bei Leerlauf 
$$\Rightarrow U_0 = \frac{I_q}{G_i} \Rightarrow U_0 = U_q$$
  $\Rightarrow R_i = \frac{I_q}{G_i}$ 

U<sub>0</sub> Leerlaufspannung in V

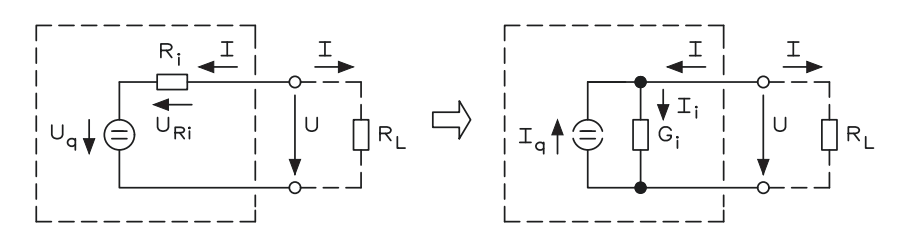
 $U_q$  Quellenspannung in V

 $R_i$  Innenwiderstand in  $\Omega$ 

 $G_i$  Innenleitwert in S

! Pfeilrichtung von  $U_q$  und  $I_q$  sind entgegengesetzt!

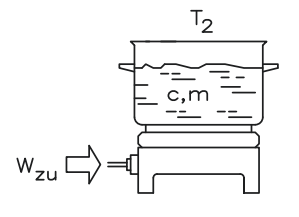
## 2.31 Umrechnung einer Spannungs- in eine Stromquelle



Bei Kurzschluss 
$$\Rightarrow I_K = \frac{U_q}{R_i} \Rightarrow I = -I_q = -I_k \quad G_i = \frac{1}{R_i}$$

! Pfeilrichtung von  $U_q$  und  $I_q$  sind entgegengesetzt !

## 2.32 Wärmewirkungsgrad



$$W_{zu} = P \cdot t$$

$$W_{ab} = Q$$

$$Q_N = m \cdot c \cdot \Delta T$$

$$\eta = \frac{W_{ab}}{W_{zu}} = \frac{Q_N}{Q_S}$$

$$P = \frac{m \cdot c \cdot \Delta T}{\eta \cdot t}$$

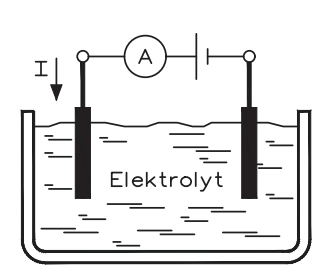
$$P = \frac{m \cdot c \cdot \Delta T}{\eta_N}$$

$$W_{zu}$$
 zugeführte Arbeit in Ws
 $W_{ab}$  abgegebene Arbeit in Ws
 $\Delta T$  Temperaturänderung
 $c$  spezifische Wärmekapazität
in  $\frac{J}{kg \cdot K}$ 
 $m$  Masse (z. B. Wasser)

 $Q_N$  Nutzwärme in J  $Q_S$  Stromwärme in J

m

## 2.33 Faraday'sches Gesetz



$$Q = I_E \cdot t_E$$

$$\eta_{Ah} = \frac{I_E \cdot t_E}{I_L \cdot t_L}$$

$$\eta_{Wh} = \frac{U_E \cdot I_E \cdot t_E}{U_L \cdot I_L \cdot t_L}$$

$$1 \text{ Ah} = 1 \text{ A} \cdot 1 \text{ h}$$

 $m = I \cdot c \cdot t$ 

c elektrochemisches Äquivalent  $I_E$  Entladestrom  $\eta_{Ah}$  Amperestunden-Wirkungsgrad  $\eta_{Wh}$  Wattstunden-

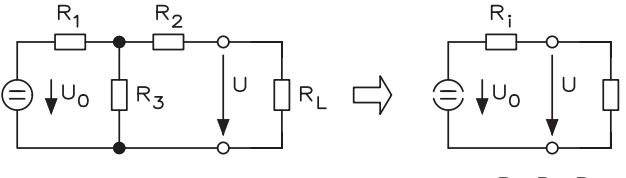
Stoffmenge

 $\begin{aligned} & \text{Wirkungsgrad} \\ I_L & \text{Ladestrom} \\ t_L & \text{Ladedauer} \\ U_E & \text{Entladespannung} \\ U_L & \text{Ladespannung} \end{aligned}$ 

Entladekapazität

	Bleiakku	Stahlakku
Zellennennspannung	2,0 V	1,2 V
Säureart	H <sub>2</sub> SO <sub>4</sub>	KCI
Säuredichte	1,18 g/cm <sup>3</sup> 1,28 g/cm <sup>3</sup>	1,2 g/cm <sup>3</sup>
Ladespannung	2,1 V2,75 V	1,35 V1,8 V
Entladespannung	1,83 V	1,0 V
$\eta_{Ah}$	83 %90 %	72 %
$\eta_{Wh}$	70 %75 %	55 %

## 2.34 Ersatzspannungsquelle



$$R_{i}^{'} = R_{2} + \frac{R_{1} \cdot R_{3}}{R_{1} + R_{3}}$$

$$U_0'=U_0\cdot\frac{R_3}{R_1+R_3}$$

 $R_1, R_2, R_3$  Widerstände

R<sub>L</sub> Lastwiderstand

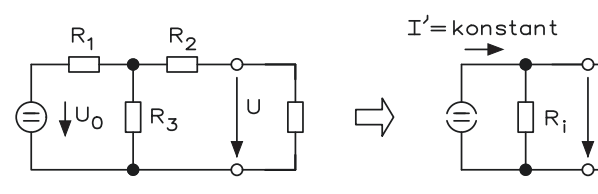
U Spannung am Lastwiderstand

 $R_i'$  Ersatzwiderstand

 $\dot{U_0}$  Quellenspannung

 $U_0'$  Ersatzquellenspannung

## 2.35 Ersatzstromquelle



$$R_i' = R_2 + \frac{R_1 \cdot R_3}{R_1 + R_3}$$

$$I' = \frac{U_0}{R_1 + R_2}$$

$$\frac{I_L}{I'} = \frac{R_i'}{R_i' + R_I}$$

I<sub>L</sub> Laststrom

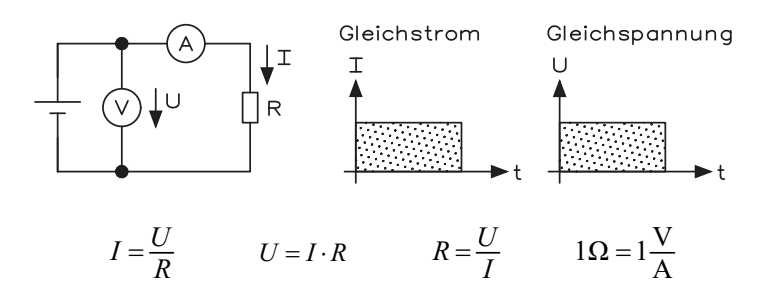
I' Ersatzstrom

 $R_i'$  Ersatzinnenwiderstand

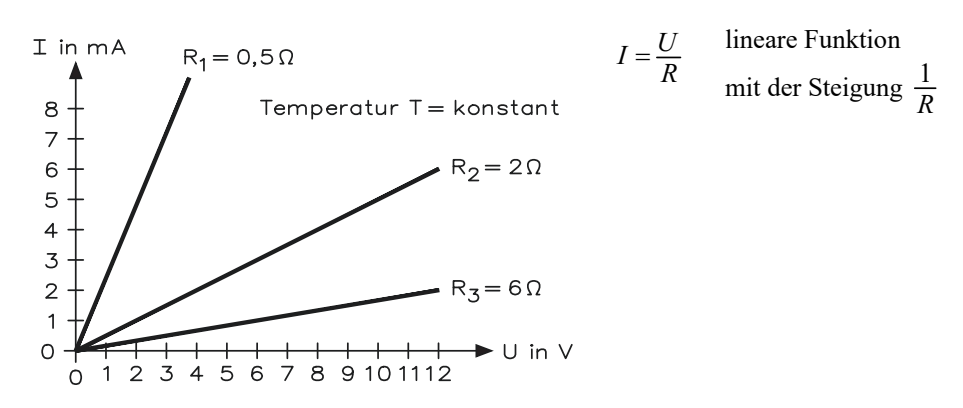


Gleichstromkreis 3

## 3.1 Elektrische Größen

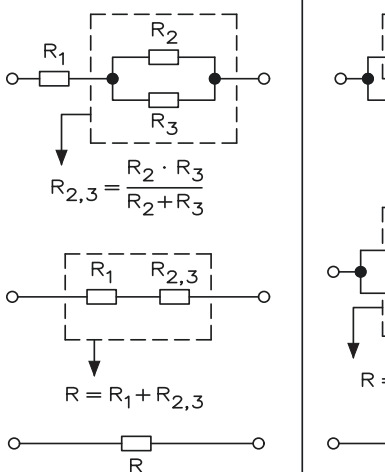


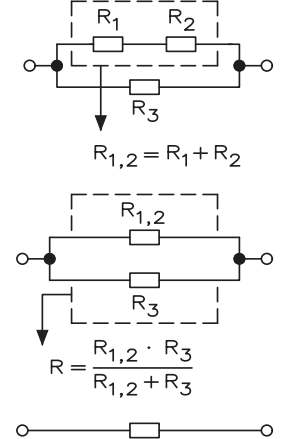
## 3.2 Strom-Spannungs-Diagramm



60 3 Gleichstromkreis

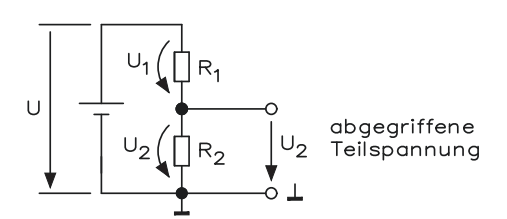
## 3.3 Reihen- und Parallelschaltung





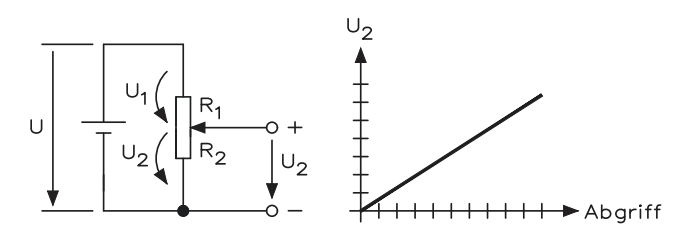
Umrechnen einer gemischten Schaltung zu einem Ersatzwiderstand

## 3.4 Unbelasteter Spannungsteiler



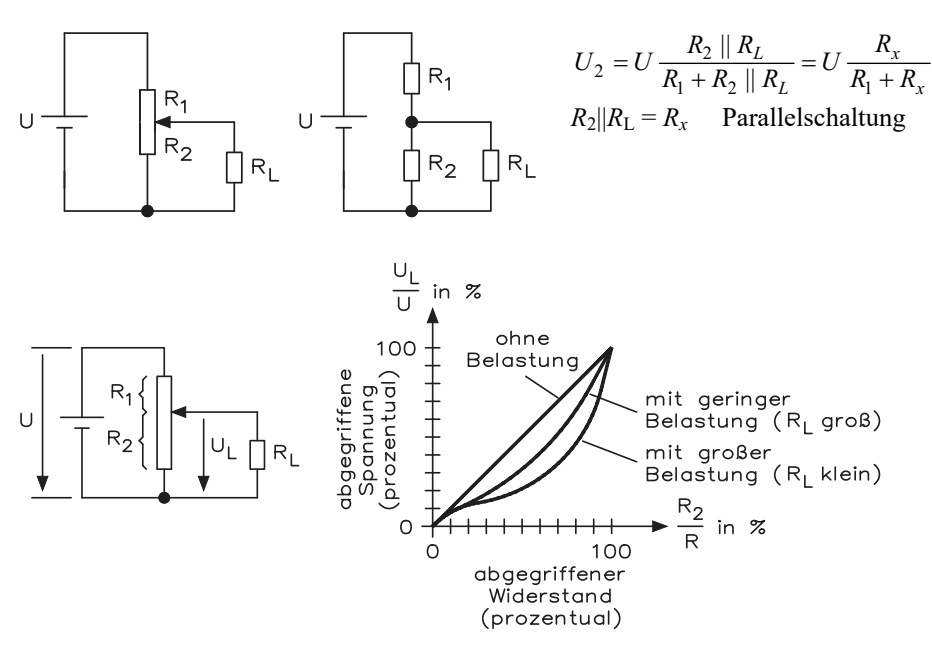
$$\frac{U_1}{R_1} = \frac{U_2}{R_2}$$
 abgegriffene Teilspannung 
$$U_2 = U \frac{R_2}{R_1 + R_2}$$
 
$$U_L = U \frac{(R_1 + R_2) \cdot U_2}{R_2}$$
 
$$R_1 = \frac{R_2 \cdot U}{U_2} \quad R_2 = \frac{R_1 \cdot U_2}{(U - U_2)}$$
 
$$U_1, U_2 \quad \text{Teilspannungen}$$
 
$$R_1, R_2 \quad \text{Teilwiderstände}$$

## 3.5 Spannungsteiler mit veränderbarem Abgriff



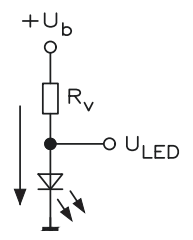
Der Abgriff kann auch als veränderbarer Punkt mit einem einzigen Widerstand vorhanden sein. 3.7 Vorwiderstand 61

#### **Belasteter Spannungsteiler** 3.6



$$\begin{split} U_2 &= \frac{U_x \cdot U}{R_1 - R_x} & R_2 \parallel R_b = R_L = \frac{R_2 \cdot R_b}{R_2 + R_b} \\ U &= \frac{(R_1 + R_2) \cdot U_2}{R_x} & R_1 = \frac{R_x \cdot U}{U_2} - R_x & R_x = \frac{R_1 \cdot U_2}{(U - U_2)} \end{split}$$

#### 3.7 Vorwiderstand

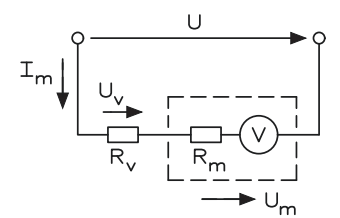


$$R_{v} = \frac{U_b - U_{\text{LED}}}{I}$$

$$R_{\nu} = \frac{U_b - U_{\mathrm{LED}}}{I}$$
  $U_b$  Betriebsspannung Spannung an der LED  $R_{\nu}$  Vorwiderstand

62 Gleichstromkreis

#### Messbereichserweiterung für Spannungsmessung 3.8



$$R_{v} = \frac{U - U_{m}}{I_{m}}$$

$$n = \frac{U}{U_m}$$

$$R_{v} = R_{m} \cdot (n-1)$$

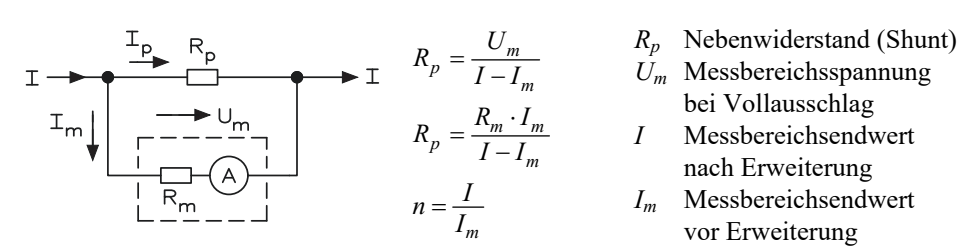
 $R_{\nu} = \frac{U - U_m}{I_m}$   $U_m$  Messbereichsendwert vor Erweiterung  $U_m$  Messbereichsendwert nach Erweiterung  $U_m$   $U_m$  Strom bei Vollausschlag  $U_m$  Innenwiderstand

des Messwerks

 $R_{\nu}$  Vorwiderstand

Faktor der Messbereichserweiterung

#### 3.9 Messbereichserweiterung Strommessung



$$R_p = \frac{U_m}{I - I_m}$$

$$R_p = \frac{R_m \cdot I_m}{I - I_m}$$

$$n = \frac{I}{I_m}$$

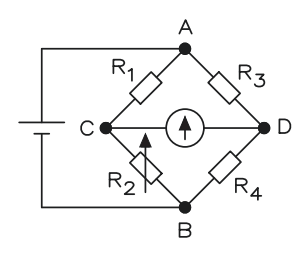
$$R_p = \frac{R_m}{n-1}$$

vor Erweiterung

 $R_m$  Widerstand des Messwerks

Faktor der Messbereichserweiterung

#### 3.10 Wheatstone Brücke



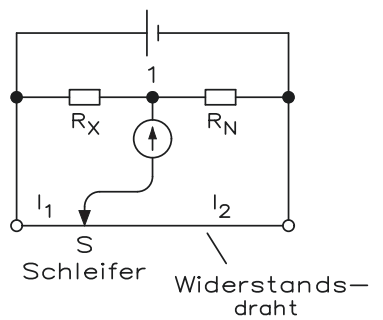
$$\frac{R_1}{R_2} = \frac{R_3}{R_4}$$

$$R_1 = \frac{R_2 \cdot R_3}{R_4}$$

$$R_1 = \frac{R_2 \cdot R_3}{R_4}$$

 $R_1, R_2, R_3, R_4$ Brückenwiderstand

#### Schleifdrahtbrücke 3.11



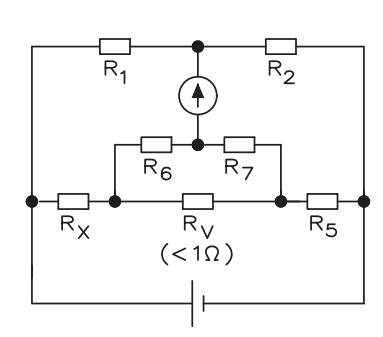
 $R_X = \frac{R_N \cdot l_1}{l_2}$ Für den Abgleich gilt

Prüfling  $R_X$ 

Normalwiderstand ( $\approx R_X$ )  $R_N$ 

Widerstand der Zuleitungen (vernachlässigbar)  $R_1$ 

#### Schleifdrahtbrücke nach Thomson 3.12



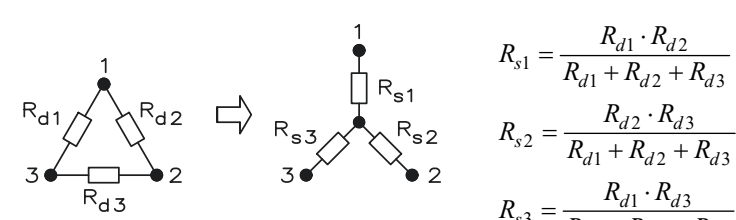
$$R_X = \frac{R_1 \cdot R_3}{R_2}$$
, wenn  $\frac{R_1}{R_2} = \frac{R_6}{R_7}$ 

 $R_V$  Prüfling

Normalwiderstand ( $\approx R_X$ )

Widerstand der Zuleitungen (vernachlässigbar)

#### **Dreieck-Stern-Umwandlung** 3.13



$$R_{s1} = \frac{R_{d1} \cdot R_{d2}}{R_{d1} + R_{d2} + R_{d3}}$$

$$R_{s2} = \frac{R_{d2} \cdot R_{d3}}{R_{d1} + R_{d2} + R_{d3}}$$

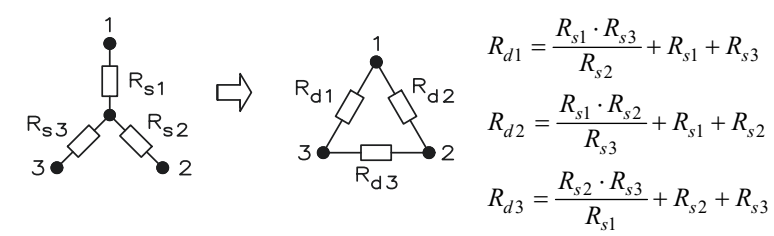
$$R_{s3} = \frac{R_{d1} \cdot R_{d3}}{R_{d1} + R_{d2} + R_{d3}}$$

 $R_{d1}$ ,  $R_{d2}$ ,  $R_{d3}$  Widerstände in Dreieckschaltung

 $R_{s1}$ ,  $R_{s2}$ ,  $R_{s3}$  Widerstände in umgerechneter Sternschaltung

64 Gleichstromkreis 3

#### Stern-Dreieck-Umwandlung 3.14



$$R_{d1} = \frac{R_{s1} \cdot R_{s3}}{R_{s2}} + R_{s1} + R_{s3}$$

$$R_{d2} = \frac{R_{s1} \cdot R_{s2}}{R_{s3}} + R_{s1} + R_{s2}$$

$$R_{d3} = \frac{R_{s2} \cdot R_{s3}}{R_{s1}} + R_{s2} + R_{s3}$$

 $R_{s1}$ ,  $R_{s2}$ ,  $R_{s3}$  Widerstände in Sternschaltung  $R_{d1}$ ,  $R_{d2}$ ,  $R_{d3}$  Widerstände in umgerechneter Dreieckschaltung

#### Internationale Reihe von Widerständen 3.15

Bei den Widerständen bestimmt die Anzahl der Werte pro Dekade, Stufungsfunktion und Auslieferungstoleranz. Den Stufungsfaktor errechnet man aus  $q = \sqrt[a]{10}$  und man erhält die Werte. Für die Toleranz gilt:

$$p = \frac{a}{N} \cdot 100$$

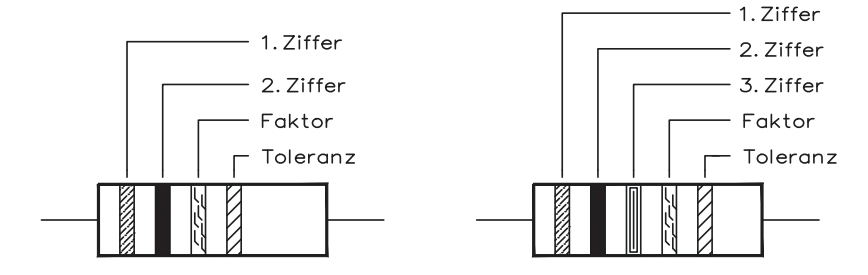
$$A = \frac{p \cdot N}{100}$$

$$N = \frac{a \cdot 100}{p}$$

Bezeichnung der IEC-Reihe	Anzahl der Werte/ Dekade n	Stufungsfaktor q	Auslieferungs- toleranz in %
E 6	6	1,47	±20
E 12	12	1,21	±10
E 24	24	1,10	±5
E 48	48	1,05	±5
E 96	96	1,02	±1
E 192	192	1,01	±0,5

## Wider stands far bkennze ich nung

Farbe	1. Ring	2. Ring	3. Ring	4. Ring
	1. Ziffer	2. Ziffer	Multiplikator	4. Ziffer
Schwarz	_	0	$10^0 = 1$	_
Braun	1	1	101	±1 %
Rot	2	2	$10^{2}$	±2 %
Orange	3	3	$10^{3}$	_
Gelb	4	4	104	_
Grün	5	5	10 <sup>5</sup>	±0,5 %
Blau	6	6	106	±0,25 %
Violett	7	7	107	±0,1 %
Grau	8	8	108	_
Weiß	9	9	109	_
Gold	_	_	$10^{-1}$	±5 %
Silber	_	_	10-2	±10 %
keine	_	_	_	±20 %

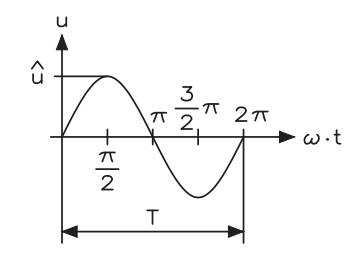


Der erste Ring liegt näher an dem einen Ende des Widerstandswerts als der letzte Ring am anderen Ende.

# Wechselspannung und Wechselstrom

#### 4.1 Sinusförmige Wechselspannung





$$u = \hat{u} \cdot \sin \, \omega \cdot t$$

$$\omega = 2 \cdot \pi \cdot f$$

$$f = \frac{1}{T}$$

$$f = p \cdot n$$

u, i Momentanwerte (Augenblickswerte)

 $\hat{u}$ ,  $\hat{i}$  Maximalwerte, Spitzenwerte

Frequenz

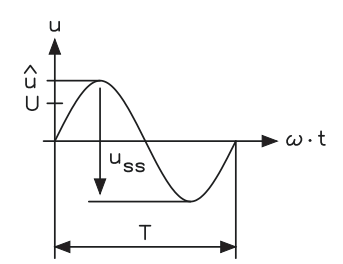
T Periodendauer

ω Kreisfrequenz

Polpaarzahl (E-Motor)

Drehzahl (E-Motor)

#### **Spitzen- und Effektivwerte** 4.2



$$U = \frac{\hat{u}}{\sqrt{2}}$$

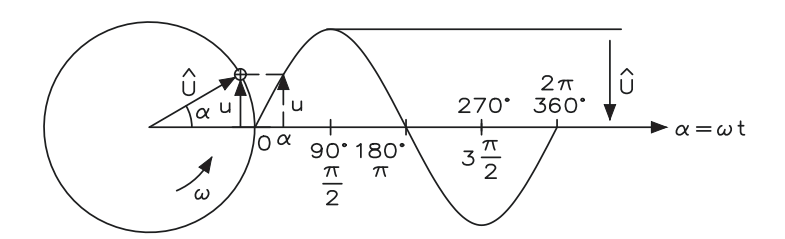
$$I = \frac{\hat{i}}{\sqrt{2}}$$

$$\hat{u}_{SS} = 2 \cdot \hat{u}$$

$$\hat{i}_{SS} = 2 \cdot \hat{i}$$

 $U = \frac{\hat{u}}{\sqrt{2}}$   $\hat{u}, \hat{i}$  Maximalwerte, Spitzenwerte U, I Effektivwerte, auch  $U_{eff}$  und  $I_{eff}$   $\hat{u}_{SS}, \hat{\iota}_{SS}$  Spitze-Spitze-Werte

## 4.3 Zeiger- und Liniendiagramm



$$u = \hat{U} \cdot \sin(\omega t + \varphi)$$
  
$$i = \hat{I} \cdot \sin(\omega t + \varphi)$$

*u*, *i* Momentanwerte (Augenblickswerte)

φ Phasenverschiebungswinkel

Die sinusförmige Spannung kann dargestellt und berechnet werden:

- Abhängigkeit vom Phasenwinkel  $\alpha$  im Gradmaß (Taschenrechner im DEG-Modus)

$$u(\alpha^{\circ}) = \hat{u} \cdot \sin \alpha$$
  $\hat{u} = \frac{u(\alpha^{\circ})}{\sin \alpha}$   $u(\alpha^{\circ})$  Momentanspannung  $\hat{u}$  Scheitelspannung (zweite Lösung:  $\alpha^{\circ}$ ,  $180^{\circ} - \alpha^{\circ}$ )  $\alpha$  Winkel im Gradmaß

- Abhängigkeit vom Phasenwinkel b im Bogenmaß (Taschenrechner im RAD-Modus)

$$u(b^{\circ}) = \hat{u} \cdot \sin b$$
  $\hat{u} = \frac{u(b)}{\sin b}$   $u(b)$  Momentanspannung  $\hat{u}$  Scheitelspannung (zweite Lösung:  $b, \pi - b$ )  $b$  Winkel im Bogenmaß

- Abhängigkeit von der Zeit t (Taschenrechner im RAD-Modus)

$$u(t) = \hat{u} \cdot \sin (\omega \cdot t) \qquad \hat{u} = \frac{u(t)}{\sin(\omega \cdot t)} \qquad u(t) \qquad \text{Momentanspannung}$$

$$\hat{u} \qquad \text{Scheitelspannung}$$

$$\text{(zweite Lösung: } t, \frac{T}{2} - t) \qquad \omega \qquad \text{Kreisfrequenz (1/s)}$$

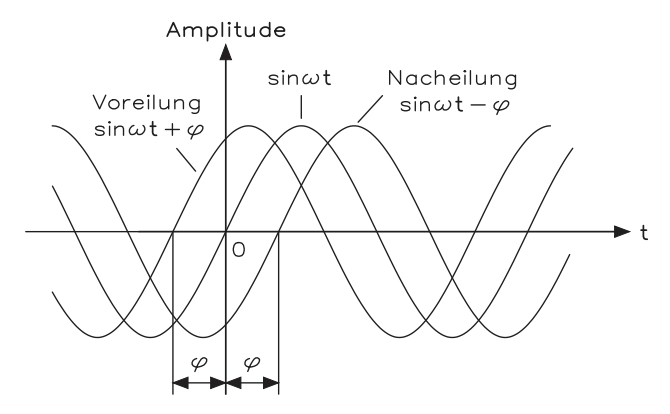
$$t \qquad \text{Zeit}$$

$$T \qquad \text{Periodendauer}$$

Ohm'scher Widerstand an sinusförmiger Wechselspannung:

$$u(t) = \hat{u} \cdot \sin(\omega \cdot t) \qquad \hat{u} = \frac{u(t)}{\sin(\omega \cdot t)} \qquad \text{Taschenrechner im RAD-} \\ \text{Modus} \qquad \qquad (\text{zweite L\"osung: } t, \frac{T}{2} - t) \qquad \qquad u(t) \qquad \text{Momentanspannung} \\ \hat{u} \qquad \text{Scheitelspannung} \qquad \hat{u} \qquad \text{Scheitelstrom} \\ \hat{u} \qquad \text{Scheitelstrom} \qquad \hat{u} \qquad \text{Scheitelstrom}$$

#### 4.4 **Phasenverschiebung**

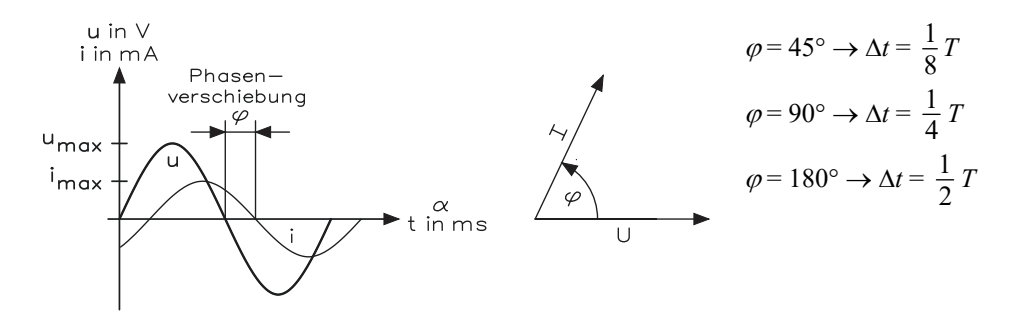


Positiver Negativer Phasenwinkel oder bedeutet Verschiebung der Sinuswelle in

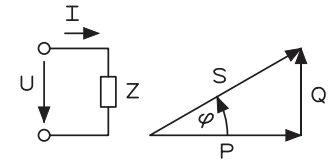
negativer Richtung der Zeitachse. positiver

 $\label{eq:condition} \mbox{Im Zeigerdiagramm ist der } \frac{\mbox{voreilende}}{\mbox{nacheilende}} \mbox{ Zeiger gegenüber dem Bezugszeiger im}$ 

Sinn um den Winkel  $\pm \varphi$  gedreht. rechten



#### 4.5 **Leistung im Wechselstromkreis**



$$S = U \cdot I$$

$$S = \sqrt{P^2 + Q^2}$$

$$S = U \cdot I \cdot \cos \varphi$$

$$S = U \cdot I \cdot \cos \varphi$$
$$\cos \varphi = \frac{P}{S}$$

$$Q = U \cdot I \cdot \sin \varphi$$

Scheinleistung in VA

P Wirkleistung in W Blindleistung in var

 $\cos \varphi$  Leistungsfaktor

(Wirkleistungsfaktor)

 $\sin \varphi$  Blindleistungsfaktor

## 4.6 Amplitudenform der Messgröße

Der Augenblickswert ist der Wert einer Wechselgröße zu einem bestimmten Zeitpunkt:

- u Augenblickswert der Spannung
- i Augenblickswert des Stromes

Der Scheitelwert ist der größte Betrag des Augenblickswertes einer Wechselgröße:

 $\hat{u} = u_{\text{max}}$  Scheitelwert der Spannung

 $\hat{i} = i_{\text{max}}$  Scheitelwert des Stromes

Der Effektivwert ist der zeitliche quadratische Mittelwert einer Wechselgröße:

 $U = U_{\text{eff}}$  Effektivwert der Spannung

 $I = I_{\text{eff}}$  Effektivwert des Stromes

Der Gleichrichtwert ist der arithmetische Mittelwert des Betrages einer Wechselgröße über eine Periode:

ū Gleichrichtwert der Spannung

ē
Gleichrichtwert des Stromes

Der Scheitelfaktor einer Wechselgröße ist das Verhältnis von Scheitelwert zu Effektivwert:

$$S = \frac{\hat{u}}{U} = \frac{\hat{i}}{I}$$

Der Formfaktor einer Wechselgröße ist das Verhältnis von Effektivwert zu Gleichrichtwert:

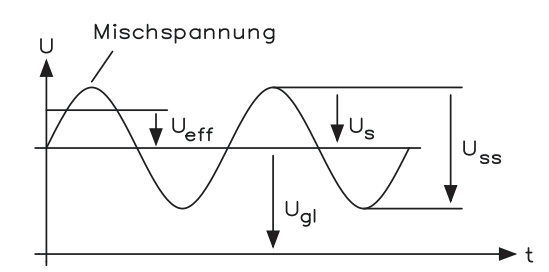
$$F = \frac{U}{|\overline{u}|} = \frac{I}{|\overline{i}|} \quad F \ge 1$$

## Umrechnung von Scheitel-, Gleichricht- und Effektivwert

Schwingung	Scheitelwert û	Gleichrichtwert  u	Effektivwert U	Scheitelfaktor S	Formfaktor F
mit Scheitel— und Form— faktor	$\hat{\mathbf{u}} = \mathbf{S} \cdot \mathbf{U}$ $\hat{\mathbf{u}} = \mathbf{S} \cdot \mathbf{F} \cdot  \bar{\mathbf{u}} $	$ \overline{u}  = U/F$ $ \overline{u}  = \frac{\hat{u}}{S \cdot F}$	$U = \hat{u} / S$ $U =  \bar{u}  \cdot F$	$S = \frac{\text{Scheitelwert}}{\text{Effektivwert}}$ $S = \frac{\hat{u}}{U}$	$F = \frac{\text{Effektivwert}}{\text{Gleichrichtwert}}$ $F = \frac{U}{ \overline{u} }$
Sinus	$\hat{\mathbf{u}} = \frac{\pi}{2} \cdot  \mathbf{u} $ $\hat{\mathbf{u}} = 1,571 \cdot  \mathbf{u} $ $\hat{\mathbf{u}} = \sqrt{2} \cdot \mathbf{U}$ $\hat{\mathbf{u}} = 1,414 \cdot \mathbf{U}$	$\begin{aligned}  \overline{\mathbf{u}}  &= \frac{2 \cdot \hat{\mathbf{u}}}{\pi} \\  \overline{\mathbf{u}}  &= 0,637 \cdot \hat{\mathbf{u}} \\  \overline{\mathbf{u}}  &= \frac{2 \cdot \sqrt{2}}{\pi} \cdot \mathbf{U} \\  \overline{\mathbf{u}}  &= 0,9 \cdot \mathbf{U} \end{aligned}$	$U = \hat{u} / \sqrt{2}$ $U = 0,707 \cdot \hat{u}$ $U = \frac{\pi}{2 \cdot \sqrt{2}} \cdot  \bar{u} $ $U = 1,111 \cdot  \bar{u} $	$S = \sqrt{2} = 1,414$ $\frac{1}{S} = 0,707$ $S \cdot F = \frac{\pi}{2} = 1,571$	$U = \frac{\pi}{2 \cdot \sqrt{2}} = 1,111$ $\frac{1}{F} = 0,900$
Rechteck	$\hat{u} =  \bar{u} $ $\hat{u} = U$	u  = û  u  = U	$U = \hat{u}$ $U =  \bar{u} $	S = 1,000 $\frac{1}{S} = 1,000$ $S \cdot F = 1,000$	$F = 1,000$ $\frac{1}{F} = 1,000$
Dreieck	$\hat{\mathbf{u}} = 2 \cdot  \bar{\mathbf{u}} $ $\hat{\mathbf{u}} = \sqrt{3} \cdot \mathbf{U}$ $\hat{\mathbf{u}} = 1,732 \cdot \mathbf{U}$	$ \overline{u}  = 0.5 \cdot \hat{u}$ $ \overline{u}  = \frac{\sqrt{3} \cdot U}{2}$ $ \overline{u}  = 0.866 \cdot U$	$U = \hat{u} / \sqrt{3}$ $U = 0.577 \cdot \hat{u}$ $U = \frac{2 \cdot  \overline{u} }{\sqrt{3}}$ $U = 1.155 \cdot  \overline{u} $	$S = \sqrt{3} = 1,732$ $\frac{1}{S} = 0,577$ $S \cdot F = 2,000$	$F = \frac{2}{\sqrt{3}} = 1,155$ $\frac{1}{F} = 0,866$

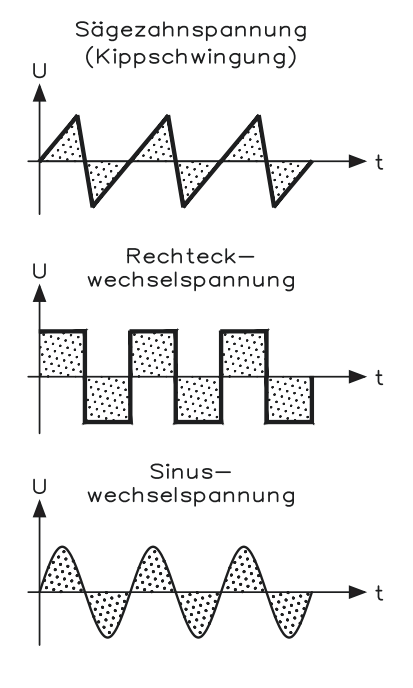
	Abhä	naiak	eit der	Messo	ıröße
--	------	-------	---------	-------	-------

Kurvenform	Korrekturfaktor	$F = \frac{\textit{Effektivwert}}{\textit{Gleichrichtwert}}$
Sinus	1	0,707
Rechteck	1,41	1,0
Dreieck	0,82	0,577
Parabelspitzen	0,64	0,45
Halbellipsen	1,16	0,82
Halbkreise	1,16	0,82



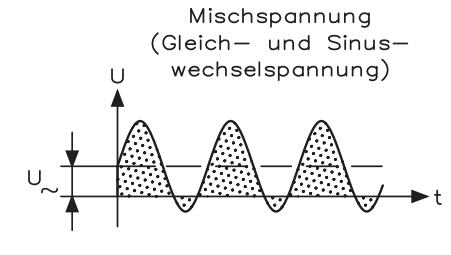
$$U_{eff} = \sqrt{U_{gl}^2 + \frac{U_s^2}{2}}$$

## 4.7 Spannungsarten



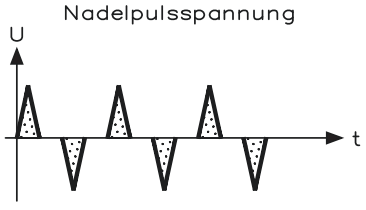
## Wechselspannung und -strom

Periodisch, d. h. in regelmäßigen Zeitabständen, im gleichen Verlauf wiederkehrender Spannung (bzw. Strom) wechselnder Richtung, aber beliebiger Kurvenform. Der lineare Mittelwert ist Null, d. h., die Summe aller positiven und negativen Augenblickswerte einer Periode ergibt den Wert Null. Sonderfall: Sinuswechselspannung bzw. Sinuswechselstrom.



#### Mischspannung und -strom

Entsteht durch die Überlagerung von Gleichund Wechselstrom; deshalb ist der lineare Mittelwert nicht Null.



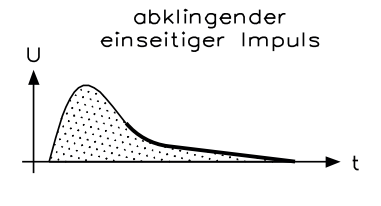
## Pulsspannung und -strom

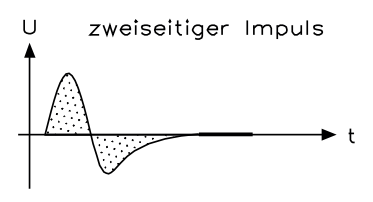
Periodisch, d. h. in regelmäßigen Zeitabständen, wiederkehrender Spannungs- oder Stromstoß, wobei entweder immer die gleiche Richtung oder abwechselnd positive und negative Richtung auftritt. Bei dem durch Gleichrichtung aus Wechselstrom gewonnenen Pulsstrom spricht man in der Stromversorgungstechnik auch von "pulsierender Gleichspannung" bzw. von "pulsierendem Gleichstrom".



### **Impuls**

Kurzzeitig wirkender Strom- oder Spannungsstoß beliebiger Kurvenform. Man unterscheidet zwischen einseitigem Impuls (ohne Richtungswechsel) und zweiseitigem Impuls (ein Richtungswechsel).





#### Formelzeichen:

 $ar{u},\,U_{AV}$  Arithmetischer Mittelwert (zeitlich linearer Mittelwert, Gleichwert, Gleichspannungswert)

 $|\bar{u}|$  Gleichrichtwert

 $U, U_{RMS}$  Effektivwert

(Root Mean Square)  $\hat{y}/U = F_{C} = \hat{y}/U$  Scheitelfaktor (Crest-Fal

 $\hat{u}/U$   $F_{\text{Crest}} = \hat{u}/U$  Scheitelfaktor (Crest-Faktor)

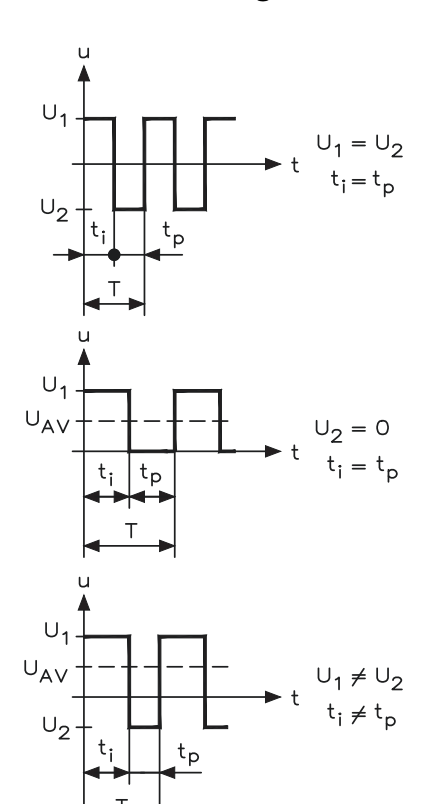
 $U/|\bar{u}|$   $F = U/|\bar{u}|$  Formfaktor

Fläche unter der Kurve dividiert durch Periodendauer (positiv bzw. negativ)

Fläche unter der Kurve dividiert durch Periodendauer (nur positive Flächen, Beträge) quadratischer Mittelwert

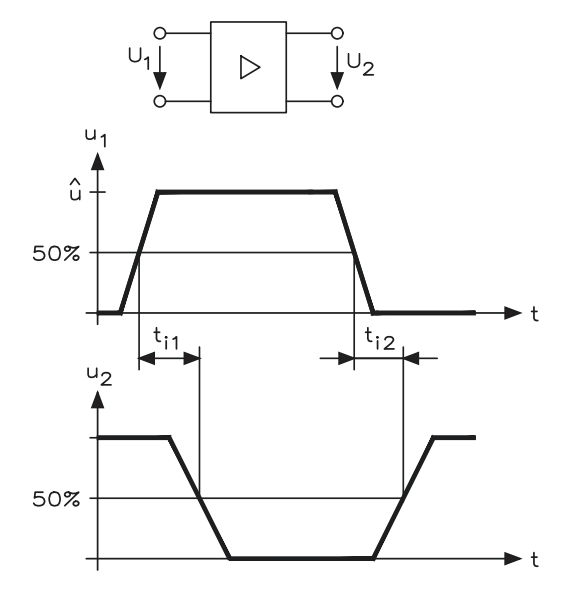
Maximalwert/Effektivwert Effektivwert/Gleichrichtwert

## 4.8 Rechtecksignale



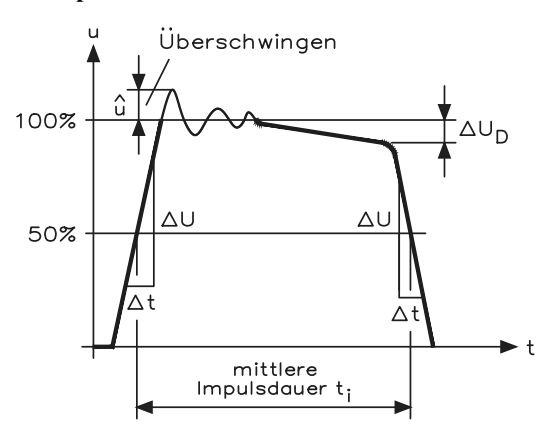
$$T = t_1 + t_p \qquad \qquad t_i \qquad \text{Impulsdauer}$$
 
$$f = \frac{1}{T} \qquad \qquad t_p \qquad \text{Impulspause}$$
 
$$T \qquad \text{Periodendauer}$$
 
$$f \qquad \qquad f \qquad \text{Frequenz}$$
 
$$g = \frac{t_i}{T} \qquad \qquad g \qquad \text{Tastgrad}$$
 
$$\bar{u}, \ U_{AV} \text{ arithmetischer}$$
 
$$U_{AV} = \frac{U_1 \cdot t_1 + U_2 \cdot t_p}{T} \qquad \qquad \text{Mittelwert}$$

## 4.9 Signallaufzeit



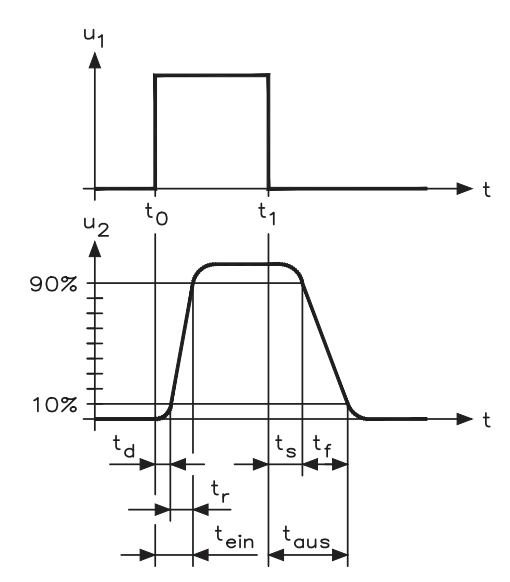
 $t_1$  Signallaufzeit Bezugspegel müssen nicht immer bei 50 % von  $\hat{u}$  liegen.

## Impulsform:



$$D = \frac{\Delta U_D}{\hat{u}} \quad \begin{array}{ccc} D & \text{Dachschräge} \\ S & \text{Flankensteilheit} \\ S = \frac{\Delta U}{\Delta t} & \Delta U & \text{Spannungsänderung} \\ & \lambda t & \text{Zeitänderung} \\ & t_i & \text{Impulsdauer} \end{array}$$

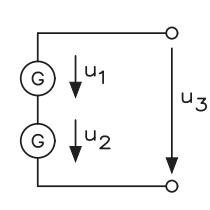
### Impulsverformung:

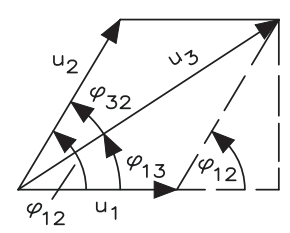


$$t_{\text{ein}} = t_d + t_r$$
  
 $t_{\text{aus}} = t_s + t_f$ 

- t<sub>d</sub> Verzögerungszeit (delay time)
- $t_r$  Anstiegszeit (rise time)
- speicherzeit (storage time)
- t<sub>f</sub> Fallzeit (fall time)
- tein Einschaltzeit
- taus Ausschaltzeit

## 4.10 Addition phasenverschobener Spannungen und Ströme





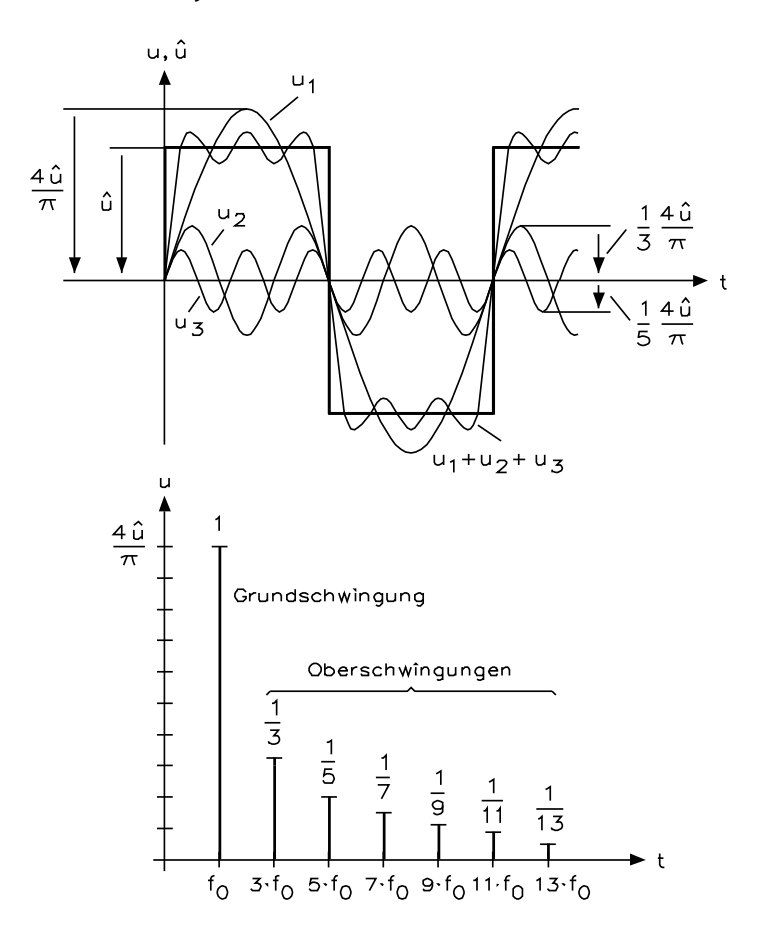
$$\hat{u}_{3}^{2} = \hat{u}_{1}^{2} + \hat{u}_{2}^{2} - 2 \cdot \hat{u}_{1} \cdot \hat{u}_{2} \cdot \cos(180^{\circ} - \varphi_{12})$$

$$\tan \varphi_{13} = \frac{\hat{u}_1 \cdot \sin \varphi_{12}}{\hat{u}_2 + \hat{u}_1 \cdot \sin \varphi_{12}}$$

 $\varphi_{12}, \varphi_{13}, \varphi_{32}$  Phasenverschiebungswinkel  $\hat{u}_1, \hat{u}_2$  Spitzenwerte der Einzelspannungen

 $\hat{u}_3$  Spitzenwerte der Gesamtspannung

## 4.11 Fourier-Analyse



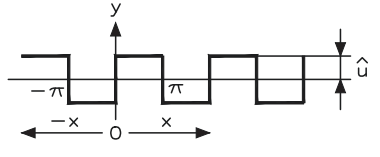
Linien- und Frequenzspektrum. Jede periodische Schwingung kann als Summe von sinusförmiger Teilschwingung dargestellt werden.

Funktionsgleichung: 
$$u = \frac{4 \cdot \hat{u}}{\pi} \left( \sin \omega t + \frac{1}{3} \sin 3\omega t + \frac{1}{5} \sin 5\omega t + \frac{1}{7} \sin 7\omega t + \dots \right); \ \omega = 2 \cdot \pi \cdot f$$

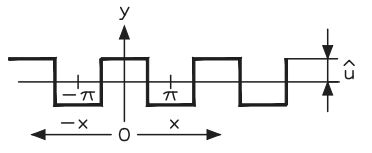
## Kurvenanalyse und deren Oberwellen

### Kurvenverlauf und Gleichung

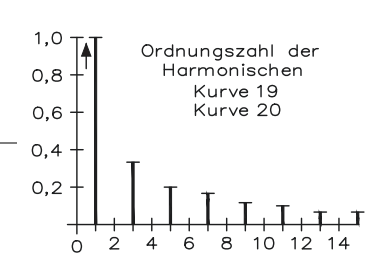
### Oberwellenaufbau

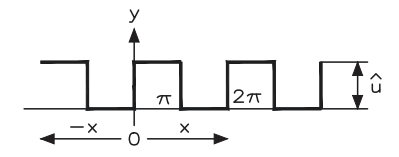


$$f(x) = \frac{4\hat{u}}{\pi} \left( \sin x + \frac{\sin 3x}{3} + \frac{\sin 5x}{5} + \frac{\sin 7x}{7} + \frac{\sin 9x}{9} \dots \right)$$

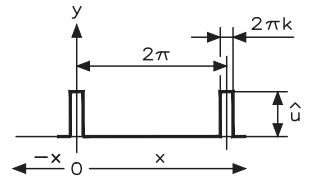


$$f(x) = \frac{4\hat{u}}{\pi} \left( \cos x - \frac{\cos 3x}{3} + \frac{\cos 5x}{5} - \frac{\cos 7x}{7} + \frac{\cos 9x}{9} \dots \right)$$

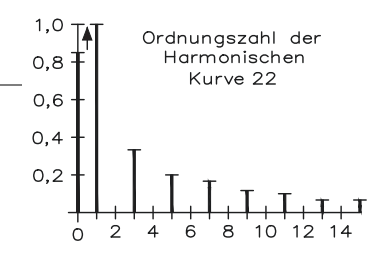




$$f(x) = \frac{\hat{u}}{2} + \frac{2\hat{u}}{\pi} \left( \sin x + \frac{\sin 3x}{3} + \frac{\sin 5x}{5} + \frac{\sin 7x}{7} \dots \right)$$



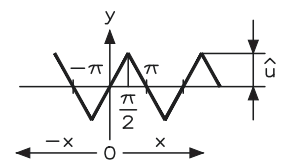
$$f(x) = \hat{u} \left\{ k + \frac{2}{\pi} \left[ \frac{\sin \cdot k \cdot \pi \cdot \cos x + \frac{1}{2} \sin \cdot k \cdot \pi \cdot \cos \cdot 2 \cdot x +}{\frac{1}{3} \sin \cdot 3 \cdot k \cdot \pi \cdot \cos \cdot 3 \cdot x \dots} \right] \right\}$$



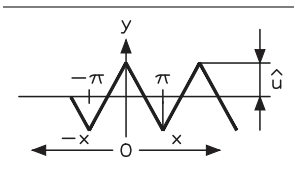
$$\begin{array}{c|c}
-2\pi & & & \\
\hline
-2\pi & & & \\
-\pi & & & \\
\hline
-x & 0 & & \\
\end{array}$$

$$f(x) = -\frac{8\hat{u}}{\pi^2} \left( \frac{\cos x}{1^2} + \frac{\cos 3x}{3^2} + \frac{\cos 5x}{5^2} \dots \right)$$

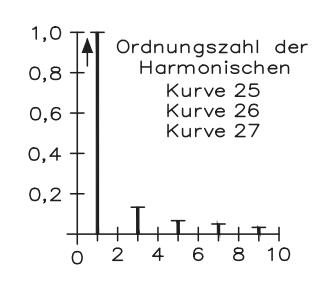
### Oberwellenaufbau

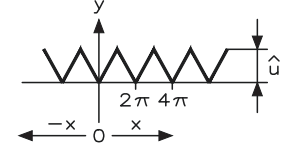


$$f(x) = \frac{8\hat{u}}{\pi^2} \left( \frac{\sin x}{1^2} - \frac{\sin 3x}{3^2} + \frac{\sin 5x}{5^2} \dots \right)$$

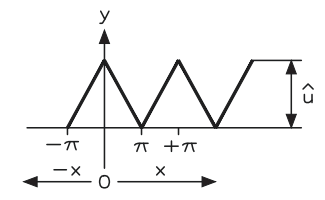


$$f(x) = \frac{8\hat{u}}{\pi^2} \left( \frac{\cos x}{1^2} + \frac{\cos 3x}{3^2} + \frac{\cos 5x}{5^2} \dots \right)$$

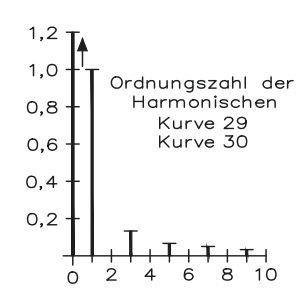


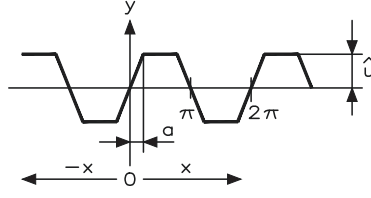


$$f(x) = \frac{\hat{u}}{2} - \frac{4\hat{u}}{\pi^2} \left( \frac{\cos x}{1^2} + \frac{\cos 3x}{3^2} + \frac{\cos 5x}{5^2} \dots \right)$$

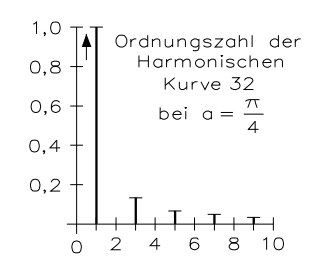


$$f(x) = \frac{\hat{u}}{2} + \frac{4\hat{u}}{\pi^2} \left( \frac{\cos x}{1^2} + \frac{\cos 3x}{3^2} + \frac{\cos 5x}{5^2} \dots \right)$$

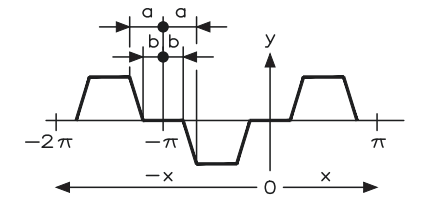




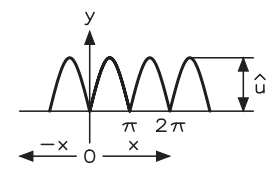
$$f(x) = \frac{4\hat{u}}{a \cdot \pi} \left( \frac{\sin a}{1^2} \cdot \sin x + \frac{\sin 3a}{3^2} \cdot \sin x + \frac{\sin 5a}{5^2} \cdot \sin 5x \dots \right)$$



### Oberwellenaufbau

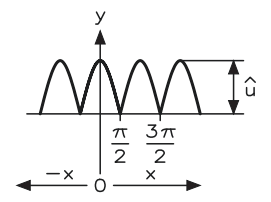


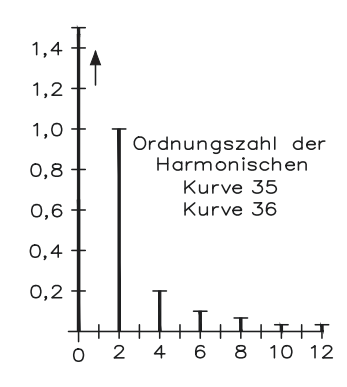
$$f(x) = \frac{4\hat{u}}{\pi(a-b)} \left( \frac{\sin a - \sin b}{1^2} \cdot \sin x + \frac{\sin 3a - \sin 3b}{3^2} \cdot \sin 3x + \frac{\sin 5a - \sin 5b}{5^2} \cdot \sin 5x \dots \right)$$



Halbwellen von sin- und -sin-Schwingungen

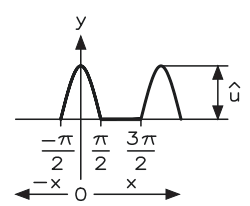
$$f(x) = \frac{2\hat{u}}{\pi} - \frac{4\hat{u}}{\pi} \left( \frac{\cos 2x}{3} + \frac{\cos 4x}{3 \cdot 5} + \frac{\cos 6x}{5 \cdot 7} \dots \right)$$





Halbwellen von cos- und -cos-Schwingungen

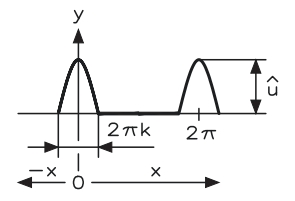
$$f(x) = \frac{2\hat{u}}{\pi} - \frac{4\hat{u}}{\pi} \left( -\frac{\cos 2x}{3} + \frac{\cos 4x}{3 \cdot 5} - \frac{\cos 6x}{5 \cdot 7} + - \dots \right)$$



Halbwellen einer cos-Schwingung

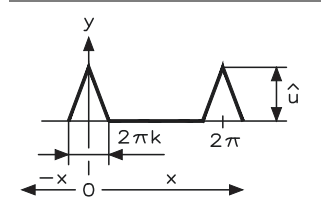
$$f(x) = \frac{\hat{u}}{\pi} - \frac{\hat{u}}{2}\cos x + \frac{2 \cdot \hat{u}}{\pi} \left( \frac{\cos 2x}{1 \cdot 3} - \frac{\cos 4x}{3 \cdot 5} + \frac{\cos 6x}{5 \cdot 7} - + \dots \right)$$

### Oberwellenaufbau

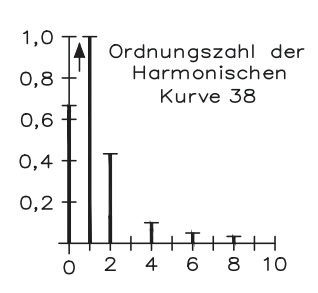


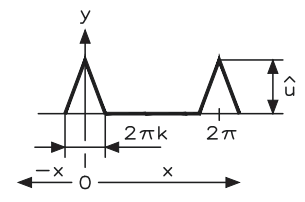
Halbwellen einer cos-Schwingung

$$f(x) = \frac{2 \cdot k \cdot \hat{u}}{\pi} + \frac{4 \cdot k \cdot \hat{u}}{\pi} \sum_{n=1}^{\infty} \frac{\cos n \cdot \pi \cdot k}{1 - 4 \cdot k^2 \cdot n^2} \cdot \cos n \cdot x$$

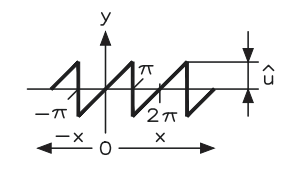


$$f(x) = \frac{k \cdot \hat{u}}{2} + \frac{2 \cdot \hat{u}}{\pi^2 \cdot k} \sum_{n=1}^{\infty} \frac{1 - \cos \cdot n \cdot \pi \cdot k}{n^2} \cdot \cos \cdot n \cdot x$$

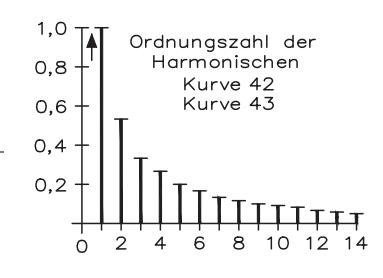




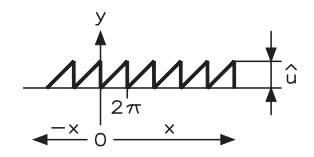
$$f(x) = \frac{2\hat{u}}{\pi} \left( \frac{\sin x}{1} - \frac{\sin 2x}{2} + \frac{\sin 3x}{3} - \frac{\sin 4x}{4} \right)$$



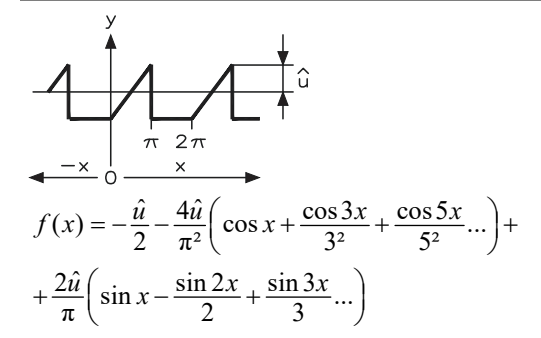
$$f(x) = -\frac{2\hat{u}}{\pi} \left( \sin x + \frac{1}{2} \sin 2x + \frac{1}{3} \sin 3x ... \right)$$

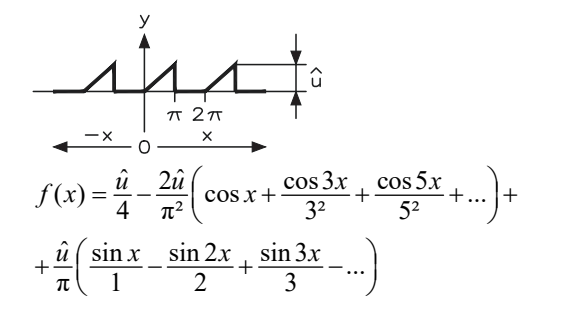


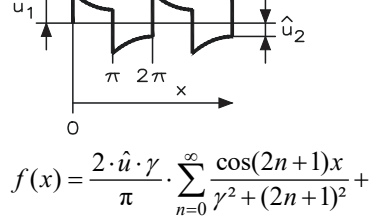
### Oberwellenaufbau



$$f(x) = \frac{\hat{u}}{2} - \frac{\hat{u}}{\pi} \left( \frac{\sin x}{1} + \frac{\sin 2x}{2} + \frac{\sin 3x}{3} \dots \right)$$







$$+\frac{2\cdot\hat{u}}{\pi}\cdot\sum_{n=0}^{\infty}\frac{(2n+1)\cdot\sin(2n+1)x}{\gamma^2+(2n+1)^2}$$

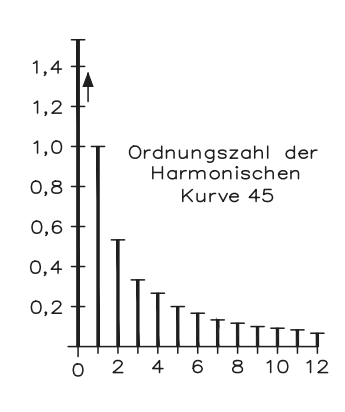
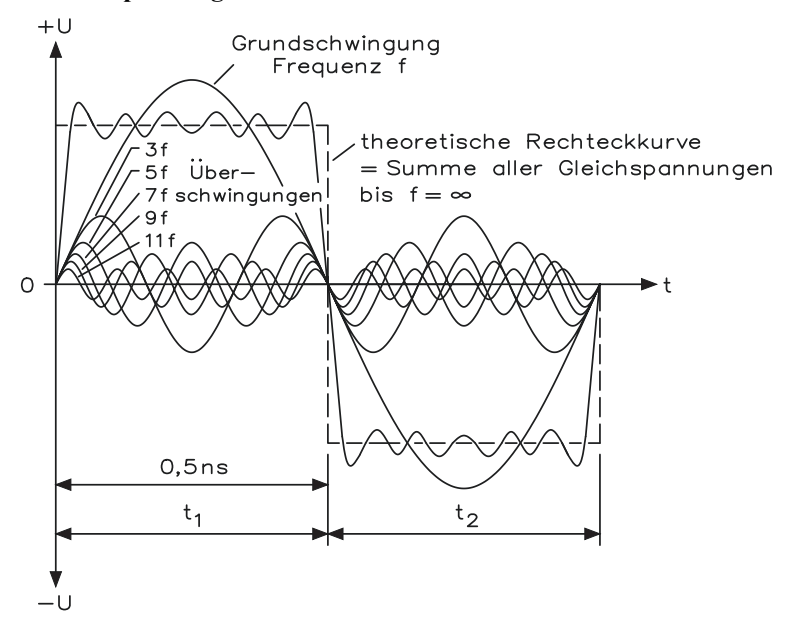


Tabelle der Amplitudenw	erte (Kurven 5 bis 14)
-------------------------	------------------------

Ordnungszahl der Harmonischen	Kurve				
	5, 6 und 7	8 und 9	10	12 und 13	14
$f_0$	-	1,23	_	1,5	0,626
$\overline{f_1}$	1	1	1	_	1
$f_2$	_	_	_	1	0,425
f <sub>3</sub>	0,111	0,111	0,111	_	_
f <sub>4</sub>	_	_	_	0,2	0,085
f <sub>5</sub>	0,04	0,04	0,04	_	_
$f_6$	_	_	_	0,0855	0,0364
$f_7$	0,0204	0,0204	0,0204	_	_
f <sub>8</sub>	_	_	_	0,0475	0,0202
f <sub>9</sub>	0,0124	0,0124	0,0124		_
$f_{10}$	_	_	_	0,0303	0,0129
f <sub>11</sub>	0,00827	0,00827	0,00827		-
f <sub>12</sub>	_	_	_	0,021	0,0089

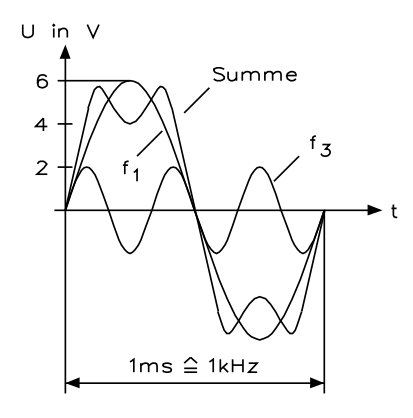
## Bildung einer Spannungsform aus den Oberwellen

## a) Rechteckspannung bis zur 11. Oberwelle

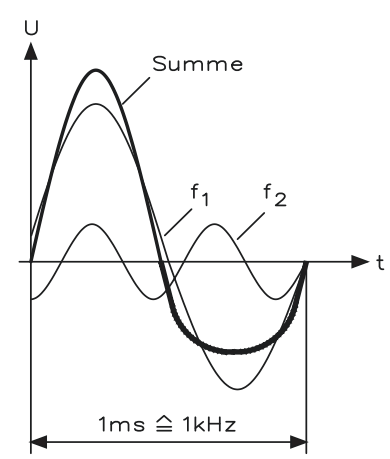


4.11 Fourier-Analyse

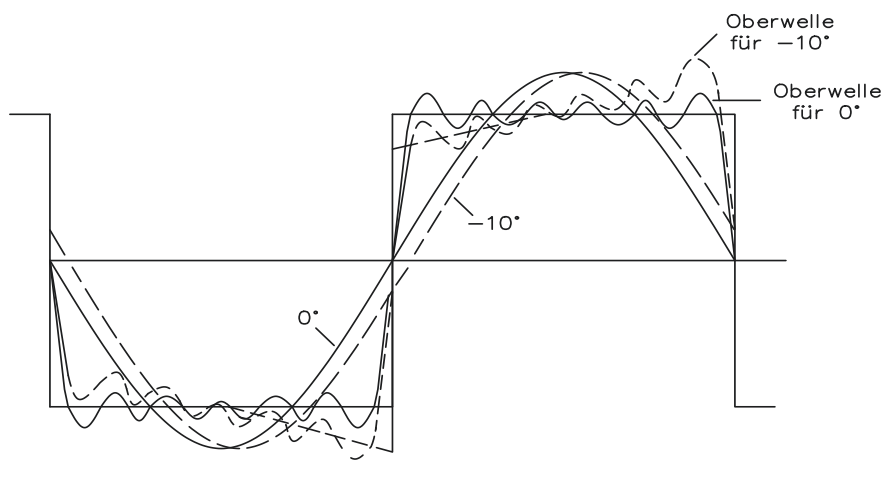
## b) Summenschwingung aus $f_1$ und $f_3$



c) Summenschwingung aus  $f_1$  und  $f_2$ 



## d) Rechtecksprung durch Überlagerung mit Oberwellen bis zur 10. Harmonischen

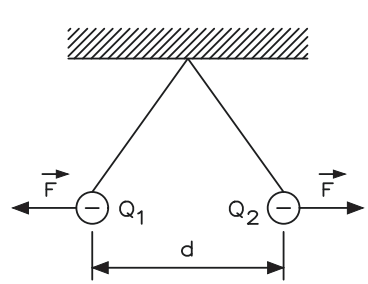


——— Amplituden- und phasenrichtig

---- Amplitudenrichtig, denn die Grundwelle eilt um 10° gegenüber den Oberwellen nach

**Elektrisches Feld und Kondensator** 

#### **Kraft zwischen Ladungen (Coulomb'sches Gesetz)** 5.1



$$F = \frac{Q_1 \cdot Q_2}{4 \cdot \pi \cdot \varepsilon \cdot d^2}$$

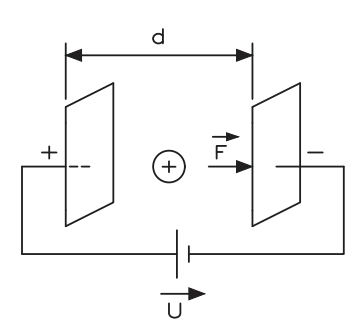
$$\varepsilon = \varepsilon_0 \cdot \varepsilon$$

$$\varepsilon = \varepsilon_0 \cdot \varepsilon_r$$

$$\varepsilon_0 = 8,86 \cdot 10^{-12} \frac{\text{As}}{\text{Vm}}$$

- F Kraft zwischen den Ladungen in N
- $Q_1, Q_2$  Ladungen in C
- $\varepsilon$  Permittivität
- $\varepsilon_0$  elektrische Feldkonstante
- $\varepsilon_{r}$  Permittivitätszahl
- Abstand der Ladungen in m

#### 5.2 Elektrische Feldstärke

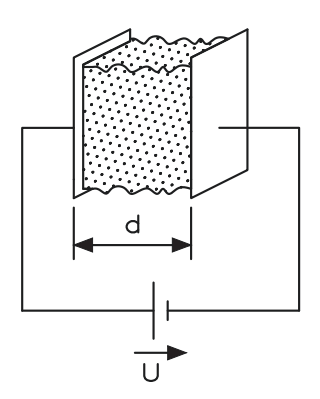


$$E = \frac{F}{Q} \quad 1 \text{ C} = 1 \text{ As}$$

$$E = \frac{U}{d}$$

- E elektrische Feldstärke in V/m
- F Kraft auf die Ladung im Feld in N
- Q Ladung im Feld in C
- U Spannung zwischen den Platten in V
- Abstand der Platten in m

#### Kapazität eines Kondensators 5.3



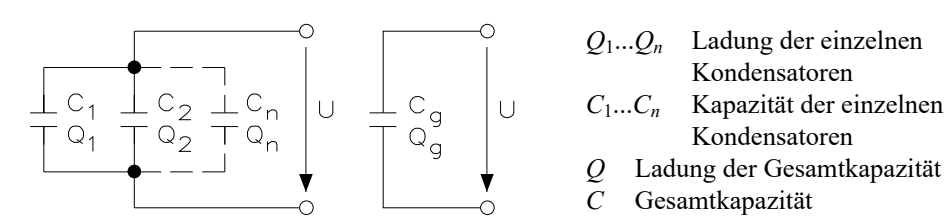
$$C = \frac{Q}{U}$$
 [C] =  $\frac{As}{V}$  1  $\frac{As}{V}$  = 1 F (Farad)

 $C = \frac{\varepsilon \cdot A}{d}$   $C = \frac{\varepsilon \cdot A}{d}$   $\varepsilon = \varepsilon_0 \cdot \varepsilon_r$   $W = \frac{C \cdot U^2}{2}$  V = V  $C = \frac{V}{d}$   $C = \frac{V}{d}$   $V = \frac{V}{d}$  V =

$$8,86 \cdot 10^{-12} \frac{\text{As}}{\text{Vm}}$$

$$[W] = VA$$

#### 5.4 Parallelschaltung für Kondensatoren



 $Q_1...Q_n$  Ladung der einzelnen

Gesamtkapazität

$$Q = C \cdot U$$

$$Q = Q_1 + Q_2 + \dots + Q_n$$

$$C = C_1 + C_2 + \dots + C_n$$

$$U = \frac{Q}{C} = \frac{Q_1}{C_1} + \frac{Q_2}{C_2} + \dots + \frac{Q_n}{C_n}$$

Für zwei Kondensatoren gilt:

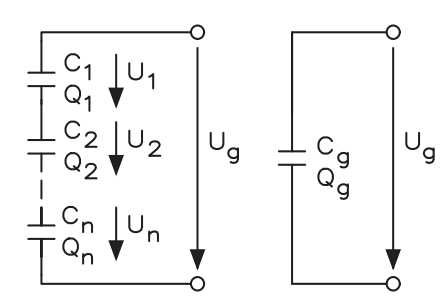
$$C = \frac{C_1 \cdot C_2}{C_1 + C_2} \quad C_1 = \frac{C_2 \cdot C}{C_2 - C} \quad C_2 = \frac{C_1 \cdot C}{C_1 - C}$$

Für drei Kondensatoren gilt:

$$C = \frac{C_1 \cdot C_2 \cdot C_3}{C_1 \cdot C_2 + C_2 \cdot C_3 + C_1 \cdot C_3}$$

Bei *n* gleichen Kondensatoren in Reihe:  $C = \frac{C_1}{n}$ 

#### Reihenschaltung für Kondensatoren 5.5



$$Q = C \cdot U$$

$$Q = Q_1 = Q_2 = \dots = Q_n$$

$$U = U_1 + U_2 + \dots + U_n$$

$$\frac{1}{C} = \frac{1}{C_1} + \frac{1}{C_2} + \dots + \frac{1}{C_n}$$

$$\frac{U_1}{U_n} = \frac{C_n}{C_1}$$

 $Q_1...Q_n$  Ladung der einzelnen Kondensatoren  $C_1...C_n$  Kapazität der einzelnen Kondensatoren Ladung der Gesamtkapazität

Gesamtkapazität in F C Gesamtkapazität in F  $U_1...U_n$  Einzelspannungen in V Gesamtspannung in V

#### 5.6 Temperaturverhalten von Kondensatoren

 $\Delta C = \alpha \cdot C_k \cdot \Delta T$  $C_w = C_k (1 + \alpha \cdot \Delta T)$ 

Parallelschaltung:  $\alpha = \frac{\alpha_1 \cdot C_1 + \alpha_2 \cdot C_2}{C_1 + C_2}$ 

Reihenschaltung:  $\alpha = \frac{\alpha_2 \cdot C_1 + \alpha_1 \cdot C_2}{C_1 + C_2}$   $\alpha$  Gesamttemperaturkoeffizient in 1/K  $\alpha_1, \alpha_2$  Temperaturkoeffizient der einzelnen

 $\Delta C$ Kapazitätsänderung

 $\alpha$ **Temperaturkoeffizient** 

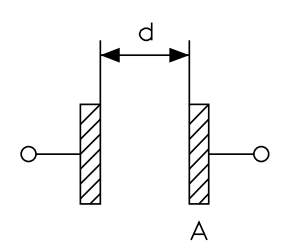
Kapazität im warmen Zustand

 $\Delta T$ Temperaturänderung in K

 $C_1$ ,  $C_2$  Einzelkapazität in F

#### 5.7 Kapazität von Kondensatoren

#### **Plattenkondensator**



 $C = \varepsilon_0 \cdot \varepsilon_r \cdot \frac{A}{d}$ 

- C Kapazität in F bzw. As/V  $\varepsilon_0$  elektrische Feldkonstante in F/m
- $\varepsilon_r$  Permittivitätszahl
- d Abstand der Platten in m
- Fläche in m<sup>2</sup>

Kapazität und Plattengröße (ohne Berücksichtigung des Streufeldes)

Bei einem Plattenpaar:

$$C = \frac{A \cdot \varepsilon_r}{0.9 \cdot 4 \cdot \pi \cdot a} \text{ in pF}$$

$$C = 0.0885 \cdot \frac{A \cdot \mathcal{E}_r}{a}$$
 in pF

$$A = \frac{C \cdot 0, 9 \cdot 4 \cdot \pi \cdot a}{\varepsilon_r} \text{ in cm}^2$$

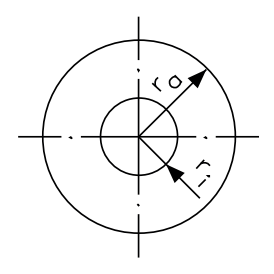
Kapazität in pF

- Wirksame Fläche einer Platte in cm<sup>2</sup>
- Dielektrizitätszahl
- Plattenabstand in cm

Bei *n* Platten:

$$C = 0,0885 \cdot \frac{A \cdot \varepsilon_r}{a} (n-1)$$
 in pF

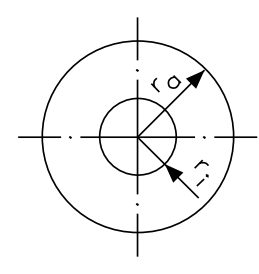
### Zylinderkondensator



$$C = \varepsilon_0 \cdot \varepsilon_r \cdot 2 \cdot \pi \cdot \frac{l}{\ln \frac{r_a}{r_i}} \qquad \begin{array}{c} l \quad \text{ Länge des Zylinders} \\ \text{in m} \\ r_a \quad \text{Innenradius des äußeren} \end{array}$$

- Zylinders in mm
- $r_i$  Außenradius des inneren Zylinders in mm
- In natürlicher Logarithmus
- elektrische Feldkonstante in F/m
- $\varepsilon_r$  Permittivitätszahl

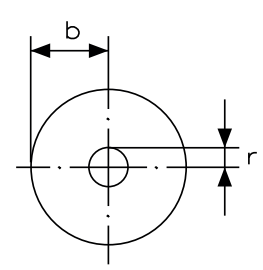
### Kugelkondensator



$$C = \varepsilon_0 \cdot \varepsilon_r \cdot 4 \cdot \pi \cdot \frac{r_a \cdot r_i}{r_a - r_i}$$

- $C = \varepsilon_0 \cdot \varepsilon_r \cdot 4 \cdot \pi \cdot \frac{r_a \cdot r_i}{r_a r_i}$   $r_a$  Innenradius der äußeren Kugel in mm  $r_i$  Außenradius der inneren
  - Kugel in mm

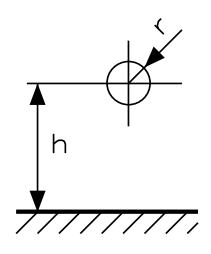
### Koaxialkabel



$$C = \varepsilon_0 \cdot \varepsilon_r \cdot \pi \cdot \frac{l}{\ln \frac{b-r}{r}} \qquad \begin{array}{c} l \quad \text{Länge des Zylinders in m} \\ b \quad \text{Abstand der Zylinder} \\ \text{in m} \\ r \quad \text{Radius des Zylinders} \end{array}$$

- Radius des Zylinders
- $\varepsilon_0$  elektrische Feldkonstante in F/m
- $\varepsilon_r$  Permittivitätszahl

### Leitung gegen Masse



$$C = \varepsilon_0 \cdot \varepsilon_r \cdot 2 \cdot \pi \cdot \frac{l}{\ln \frac{2 \cdot h}{r}}$$
 h Abstand der Leitung zur Masse in m länge des Zylinders in m

gilt für h >> r

- Zylinderradius in m
- $\varepsilon_0$  elektrische Feldkonstante in F/m
- Permittivitätszahl

#### 5.8 **Energie eines geladenen Kondensators**

$$W_{\rm el} = \frac{1}{2} \cdot C \cdot U^2$$

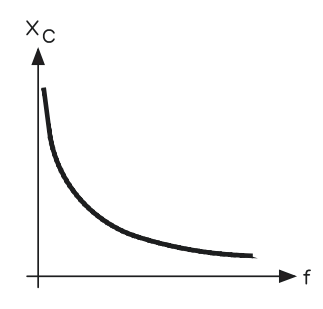
Wel gespeicherte Energie in Ws C Kapazität in F

#### 5.9 **Elektrische Ladungsverschiebung**

$$D = \frac{Q}{A} = \varepsilon \cdot E = \varepsilon_0 \cdot \varepsilon_r \cdot E$$

- D elektrische Flussdichte in As/m<sup>2</sup>
- Q Ladung des Körpers in As
- E elektrische Feldstärke in V/m
- A Fläche in m<sup>2</sup>
- $\varepsilon$ Permittivität in As/(Vm) bzw. F/m
- $\varepsilon_0$  elektrische Feldkonstante in F/m
- Permittivitätszahl

#### 5.10 **Kapazitiver Blindwiderstand**



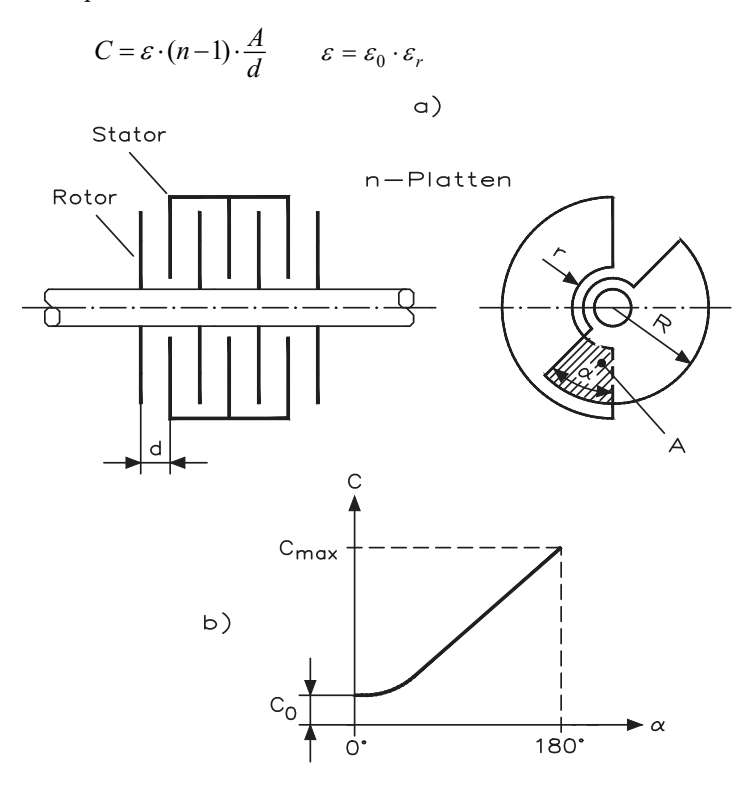
$$X_C = \frac{1}{\omega \cdot C} = \frac{1}{2 \cdot \pi \cdot f \cdot C}$$

$$X_C = \frac{U_C}{I_C}$$

- $X_C = \frac{1}{\omega \cdot C} = \frac{1}{2 \cdot \pi \cdot f \cdot C} \qquad \begin{array}{c} X_C \text{ kapazitiver Blindwiderstand} \\ \text{in } \Omega \end{array}$ 
  - ω Kreisfrequenz
  - C Kapazität
  - U<sub>C</sub> Spannung am Kondensator
  - I<sub>C</sub> Strom durch den Kondensator

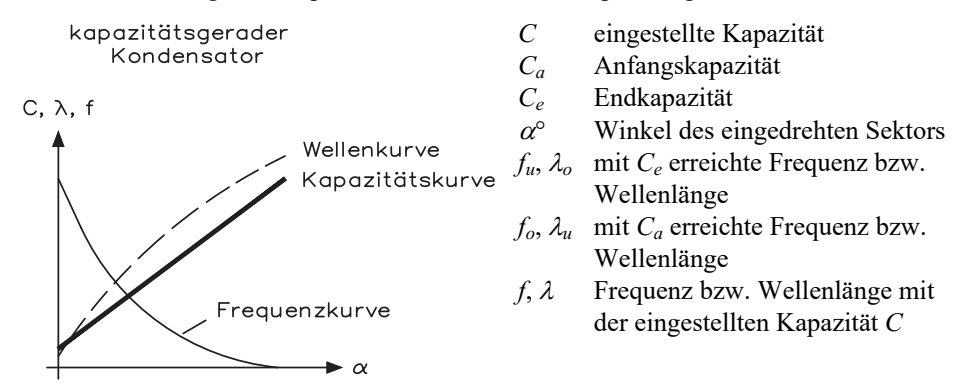
### 5.11 Drehkondensator

Beim Kreisplattenkondensator nimmt die Kapazität C proportional mit dem Drehwinkel  $\alpha$  zu und ist auch abhängig von der Form der Platten. Eine gewisse Anfangskapazität  $C_0$  ist immer vorhanden. Beträgt die Summe von Stator- und Rotorplatten n, errechnet sich die Kapazität zu



### Kapazitätsgerader Drehkondensator

Die Kennlinie zeigt den Kapazitätsverlauf für einen kapazitätsgeraden Drehkondensator:



Drehkondensator 91 5.11

$$C = C_a + (C_e - C_a) \cdot \frac{\alpha^{\circ}}{180^{\circ}}$$

$$\frac{f}{f_u} = \frac{1}{\sqrt{\left(\frac{f_u}{f_o}\right)^2 + \left[1 - \left(\frac{f_u}{f_o}\right)^2\right] \cdot \frac{\alpha^{\circ}}{180^{\circ}}}}$$

$$\frac{C}{C_e} = \frac{C_a}{C_e} + \left(1 - \frac{C_a}{C_e}\right) \cdot \frac{\alpha^{\circ}}{180^{\circ}}$$

$$\frac{\lambda}{\lambda_o} = \sqrt{\left(\frac{\lambda_u}{\lambda_o}\right)^2 + \left[1 - \left(\frac{\lambda_u}{\lambda_o}\right)^2\right] \cdot \frac{\alpha^{\circ}}{180^{\circ}}}$$

### Frequenzgerader Kondensator

frequenzgerader Kondensator

C, λ, f Frequenzkurve

$$f = f_o - (f_o - f_u) \cdot \frac{\alpha^{\circ}}{180^{\circ}}$$

$$\frac{f}{f_u} = \frac{f_o}{f_u} - \left(\frac{f_o}{f_u} - 1\right) \cdot \frac{\alpha^{\circ}}{180^{\circ}}$$

eingestellte Kapazität

Anfangskapazität

Winkel des eingedrehten Sektors

 $C_e$  Endkapazität  $\alpha^{\circ}$  Winkel des eingedrehten Sekto.  $f_u$ ,  $\lambda_o$  mit  $C_e$  erreichte Frequenz bzw. Wellenlänge

Wellenlänge  $f_o, \lambda_u$  mit  $C_a$  erreichte Frequenz bzw. Wellenlänge

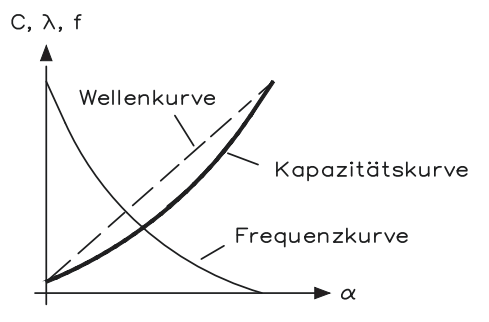
 $f, \lambda$ Frequenz bzw. Wellenlänge mit der eingestellten Kapazität C

$$\frac{C}{C_e} = \frac{1}{\left[\sqrt{\frac{C_e}{C_a}} - \left(\sqrt{\frac{C_e}{C_a}} - 1\right) \cdot \frac{\alpha^{\circ}}{180^{\circ}}\right]^2}$$

$$\frac{\lambda}{\lambda_o} = \frac{1}{\frac{\lambda_o}{\lambda_u} - \left(\frac{\lambda_o}{\lambda_u} - 1\right) \cdot \frac{\alpha^{\circ}}{180^{\circ}}}$$

### Wellengerader Kondensator

wellengerader Kondensator



$$\lambda = \lambda_u + (\lambda_o - \lambda_u) \cdot \frac{\alpha^{\circ}}{180^{\circ}}$$

$$\frac{f}{f_u} = \frac{1}{\frac{f_u}{f_o} + \left(1 - \frac{f_u}{f_o}\right) \cdot \frac{\alpha^{\circ}}{180^{\circ}}}$$

C eingestellte Kapazität

Ca Anfangskapazität

C<sub>e</sub> Endkapazität

 $\alpha^{\circ}$  Winkel des eingedrehten Sektors

 $f_u$ ,  $\lambda_o$  mit  $C_e$  erreichte Frequenz bzw. Wellenlänge

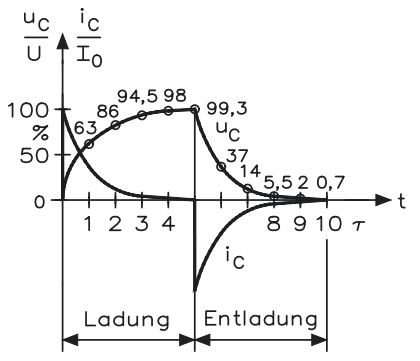
 $f_o$ ,  $\lambda_u$  mit  $C_a$  erreichte Frequenz bzw. Wellenlänge

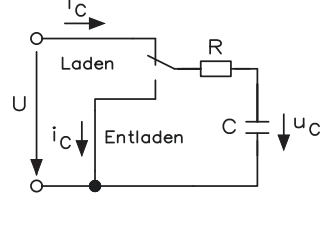
 $f, \lambda$  Frequenz bzw. Wellenlänge mit der eingestellten Kapazität C

$$\frac{C}{C_e} = \left[ \sqrt{\frac{C_a}{C_e}} + \left( 1 - \sqrt{\frac{C_a}{C_e}} \right) \cdot \frac{\alpha^{\circ}}{180^{\circ}} \right]^2$$

$$\frac{\lambda}{\lambda_o} = \frac{\lambda_u}{\lambda_o} + \left(1 - \frac{\lambda_u}{\lambda_o}\right) \cdot \frac{\alpha^{\circ}}{180^{\circ}}$$

### 5.12 Zeitkonstante eines Kondensators





 $\tau = R \cdot C$   $I_0 = R \cdot C$ 

Einschalten:  $u_C = U \cdot \left(1 - e^{-\frac{t}{\tau}}\right)$ 

Entladung:  $i_C = -\frac{U}{R} \cdot \left( e^{-\frac{t}{\tau}} \right)$ 

 $\tau$  Zeitkonstante in s

I<sub>C</sub> Augenblickswert der Kondensatorspannung

i<sub>C</sub> Strom im Einschaltaugenblick in A

t Zeit nach Beginn des Ein- bzw. Ausschaltens

#### 5.13 Austausch eines Kondensators (Kapazitätsvariation)

$$C_2 = C_1 \cdot \left(\frac{f_2}{f_1}\right)^2$$

bisheriger Kondensator in F

 $C_2$  neuer Kondensator in F

 $f_1$ ,  $f_2$  gewünschter Frequenzbereich (für Schwingkreis mit konstanter Induktivität)

### Verlustfaktor von Kondensatoren

$$X_{C} = \frac{1}{2 \cdot \pi \cdot f \cdot C} = \frac{1}{\omega \cdot C}$$

$$X_{C} = \frac{1}{2 \cdot \pi \cdot f \cdot C} = \frac{1}{\omega \cdot C}$$

$$X_{C} = \frac{1}{2 \cdot \pi \cdot f \cdot C} = \frac{1}{\omega \cdot C}$$

$$X_{C} = \frac{1}{\omega \cdot C}$$

$$X_C = \frac{1}{2 \cdot \pi \cdot f \cdot C} = \frac{1}{\omega \cdot C}$$

$$\tan \delta = \frac{R_{\nu}}{X_{C}} = R_{\nu} \cdot \omega \cdot C$$

$$R_v = \frac{\tan \delta}{\omega \cdot C}$$

tan  $\delta$  Verlustfaktor

#### 5.15 **Reststrom von Elektrolytkondensatoren**

 $I_R = 0, 5 \cdot C \cdot U$ 

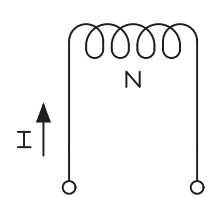
 $I_R$ höchstzulässiger Reststrom in µA

Nennkapazität in µF

Nennspannung in V

## **Magnetisches Feld und Induktionsspannung**

## 6.1 Magnetische Durchflutung

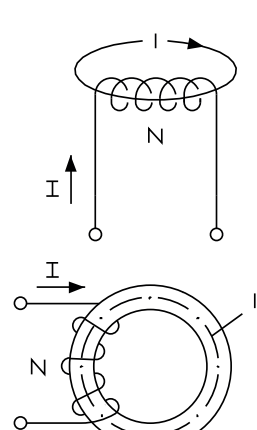


$$\Theta = N \cdot I$$

$$1 A = 1 A \cdot 1$$

- Θ Durchflutung in A (magnetische Spannung)
- N Windungszahl
- I Strom in A

## 6.2 Magnetische Feldstärke



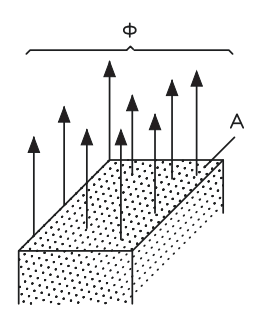
$$H = \frac{\Theta}{l}$$

$$1\frac{A}{m} = \frac{1}{l}\frac{A}{m} = \frac{10^{-2}}{cm}$$

$$H = \frac{N \cdot I}{l}$$

- H magnetische Feldstärke in A/m
- mittlere Feldlinienlänge in m
- N Windungszahl

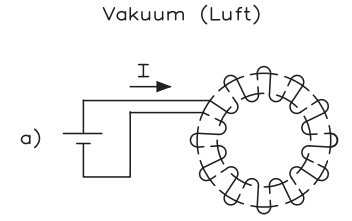
## 6.3 Magnetische Flussdichte (Induktion)

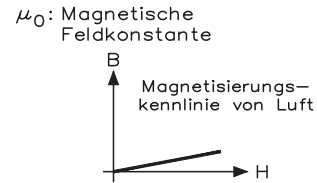


$$B = \frac{\Phi}{A}$$
1 T = 1 Tesla = 1 Vs/m<sup>2</sup>
1 Wb = 1 Weber = 1 Vs

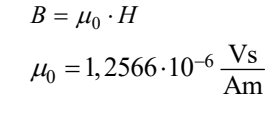
- B magnetische Flussdichte in Tesla (Vs/m²)
- Φ magnetischer Fluss in Weber (Vs)
- A Fläche in m<sup>2</sup>

## 6.4 Magnetische Feldstärke und Flussdichte



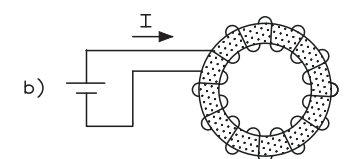


 $\mu_{
m r}$  : Permeabilitätszahl



 $B = \mu \cdot H$ 

 $\mu = \mu_0 \cdot \mu_r$ 



Eisenkern

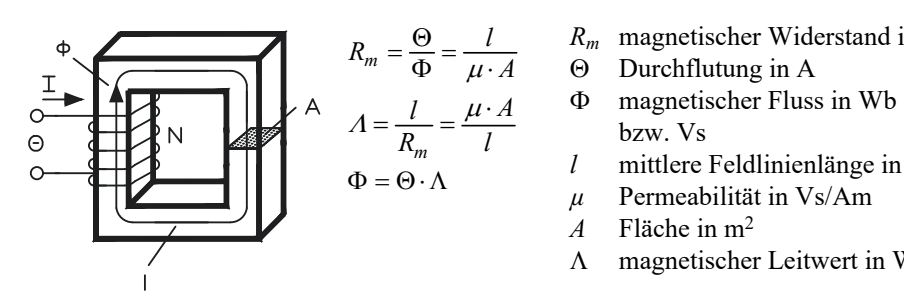
- μ: Permeabilität

  Magnetisierungs—
  kennlinie von Eisen
- $B \quad \mbox{ magnetische Flussdichte in Tesla (Vs/m^2)}$
- μ Permeabilität in Vs/Am
- μ<sub>0</sub> magnetische Feldkonstante
- μ<sub>r</sub> Permeabilitätszahl
- H Feldstärke in A/m

Werkstoff	$\mu_r$
Luft	1
Fe	6000
Fe – Co	6000
Fe – Si	20000
Fe – Ni	30000

In Luft:  $B = \mu \cdot H$   $\mu_0$  konstant  $\mu_r = 1$ In Eisen:  $B = \mu \cdot H$   $\mu$  nicht konstant

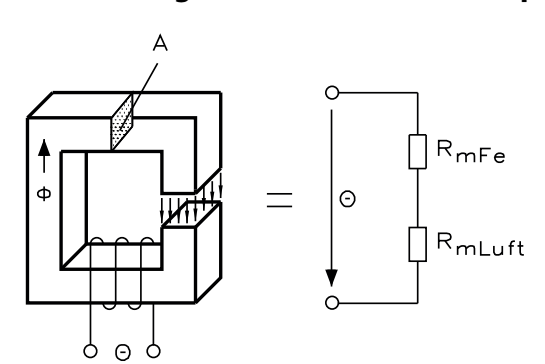
#### **Magnetischer Widerstand und magnetischer Leitwert** 6.5



- $R_m$  magnetischer Widerstand in A/Wb

- mittlere Feldlinienlänge in m
- Fläche in m<sup>2</sup> A
- magnetischer Leitwert in Wb/A

#### 6.6 Magnetischer Kreis mit Luftspalt (ohne Streuung)



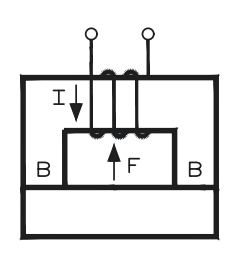
$$\begin{split} R_m &= R_{m\text{Fe}} + R_{m\text{Luft}} \\ V_g &= V_{\text{Fe}} + V_{\text{Luft}} \\ \Theta &= H_{\text{Fe}} \cdot l_{\text{Fe}} + H_{\text{Luft}} \cdot l_{\text{Luft}} \\ R_m &= \frac{1}{\mu_0 \cdot \mu_r \cdot A} \end{split}$$

gesamter magnetischer Widerstand in A/Wb  $R_m$  $R_{m\text{Fe}}, R_{m\text{Luft}}$ magnetische Einzelwiderstände in A/Wb magnetische Gesamtspannung in A  $V_{\rm Luft}$ ,  $V_{\rm Fe}$ magnetische Teilspannung in A

Durchflutung in A

 $H_{\text{Luft}}, H_{\text{Fe}}$ magnetische Feldstärken in A/m mittlere Feldlinienlänge in m  $l_{\rm Luft}, l_{\rm Fe}$ 

#### **Kraft im Magnetfeld** 6.7



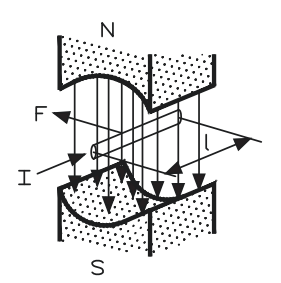
$$F = \frac{B^2 \cdot A}{2 \cdot \mu_0}$$

Kraft in N

magnetische Flussdichte in T

Fläche in m<sup>2</sup>

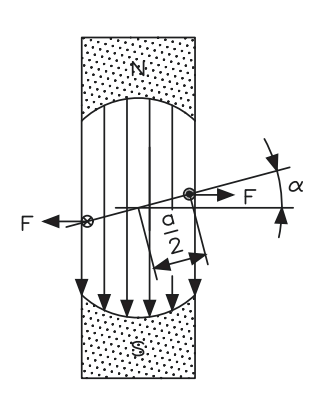
#### Stromdurchflossener Leiter mit Magnetfeld 6.8



$$F = B \cdot I \cdot l \cdot z$$
$$[F] = N$$

- Kraft auf den Leiter in N
- B magnetische Flussdichte in T
- wirksame Leiterlänge in m
- Leiterzahl
- Stromstärke in A

#### Spule im Magnetfeld 6.9

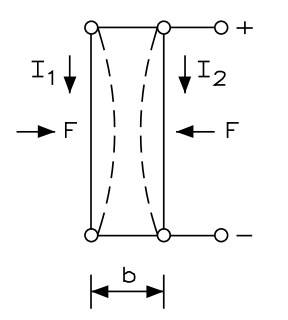


$$M = \frac{F \cdot a \cdot \sin \alpha}{2}$$
  $M$  Drehmoment in N  
  $a$  Spulenlänge in m  
  $a$  Windungszahl

$$F = 2 \cdot N \cdot B \cdot I \cdot l$$

- N Windungszahl

#### 6.10 Kraft auf parallele Stromleiter

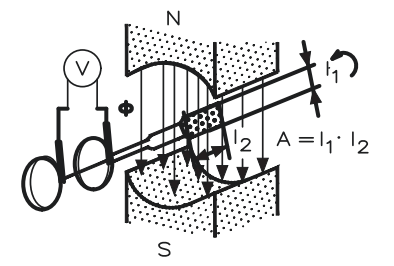


- Kraft in N
- magnetische Feldkonstante

$$F = \frac{\mu_0 \cdot l \cdot I_1 \cdot I_2}{2 \cdot \pi \cdot b} \qquad \mu_0 = 1,2566 \cdot 10^{-6} \, \frac{\text{Vs}}{\text{Am}}$$

#### 6.11 Induktion

Spule im Magnetfeld



$$U_{ind} = -N \frac{\Delta \Phi}{\Delta t}$$

$$U_{ind} = N \frac{\Delta \Phi}{\Delta t}$$

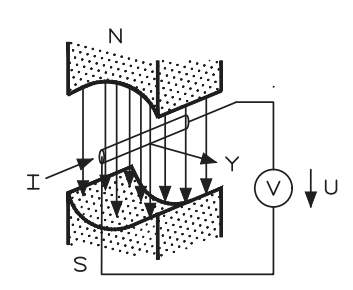
 $U_{ind}$  induzierte Spannung in V N Windungszahl

zeitliche Veränderung des

magnetischen Flusses in Wb/s (Das Vorzeichen hängt vom gewählten Richtungssinn ab.)

ΔФ Flussänderung Δt Zeitänderung

#### 6.12 Induktion der Bewegung



wenn  $v \perp B$ ⊥ (senkrechte Einwirkung)

 $|U_{\text{ind}}| = B \cdot l \cdot v \cdot z$ ,  $|U_{\text{ind}}|$  induzierte Spannung in V

wirksame Leiterlänge in m Geschwindigkeit in m/s

Leiterzahl Z

magnetische Flussdichte

in T

#### 6.13 Selbstinduktionsspannung

$$U_0 = -L \frac{\Delta I}{\Delta t}$$

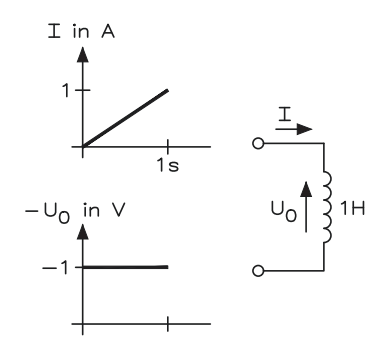
$$1 H = 1 \frac{V_S}{A} = 1 \Omega$$

Selbstinduktionsspannung in V  $U_0$ 

Induktivität in H L

zeitliche Veränderung des Stromes in A/s

#### Selbstinduktivität von Spulen 6.14



$$L = N^2 \cdot \frac{\mu_0 \cdot \mu_r \cdot A}{l}$$

$$L = N^2 \cdot \Lambda$$

- $L = N^2 \cdot \frac{\mu_0 \cdot \mu_r \cdot A}{l}$  L = Selbstinduktivität in H  $N \quad \text{Windungszahl}$  1 H = Wb/A  $L = N^2 \cdot \Lambda$   $A \quad \text{Fläche in m}^2$   $A \quad \text{magnetischer Leitwert in Wb/A}$

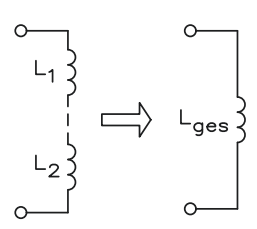
#### **Energie einer stromdurchflossenen Spule** 6.15

$$W_{mag} = \frac{1}{2} \cdot L \cdot I^2$$

 $W_{mag}$  magnetisch gespeicherte Energie in Ws Selbstinduktivität in H

Strom in A

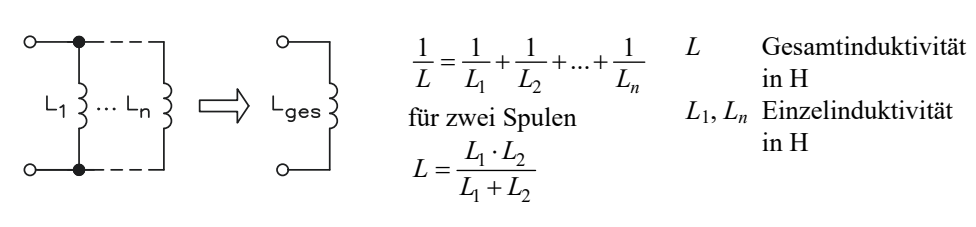
#### 6.16 Reihenschaltung von Induktivitäten



$$L = L_1 + L_2 + ... + L_n$$

 $L = L_1 + L_2 + ... + L_n$  Gesamtinduktivität in H $L_1, L_n$  Einzelinduktivität in H Gesamtinduktivität in H

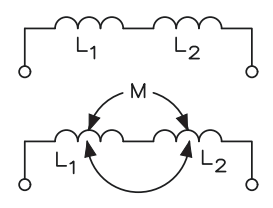
#### 6.17 Parallelschaltung von Induktivitäten



$$\frac{1}{L} = \frac{1}{L_1} + \frac{1}{L_2} + \dots + \frac{1}{L_n}$$
 für zwei Spulen

$$L = \frac{L_1 \cdot L_2}{L_1 + L_2}$$

# 6.18 Reihenschaltung von Induktivitäten mit magnetischer Kopplung



$$L = L_1 + L_2 + \dots$$

(ohne gegenseitige magnetische Kopplung)

$$L = L_1 + L_2 + M$$

(Kopplung mit gleichem Wickelsinn der Spulen)

$$L = L_1 + L_2 - M$$

(Kopplung mit entgegengesetztem Wickelsinn der Spulen)

$$M = k \cdot \sqrt{L_1 \cdot L_2}$$
  $L = \frac{L_1 \cdot L_2 - M^2}{L_1 + L_2 - 2M}$ 

(Kopplung mit gleichem Wickelsinn)

$$L = \frac{L_1 \cdot L_2 - M^2}{L_1 + L_2 + 2M}$$

(Kopplung mit entgegengesetztem Wickelsinn)

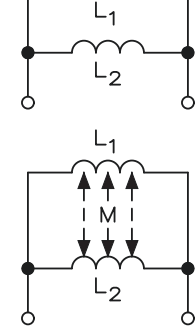
$$M = k \cdot \sqrt{L_1 \cdot L_2}$$

L Gesamtinduktivität  $L_1, L_2$  Einzelinduktivität in H M Gegeninduktivität

in H

k Kopplungsfaktor  $k = 0 \rightarrow$  keine Kopplung  $k = 1 \rightarrow$  ideale feste Kopplung

# 6.19 Parallelschaltung von Induktivitäten mit magnetischer Kopplung



$$\frac{1}{L} = \frac{1}{L_1} + \frac{1}{L_2} + \dots$$

(ohne gegenseitige magnetische Kopplung)

$$L = \frac{L_1 \cdot L_2 - M^2}{L_1 + L_2 - 2M}$$

(Kopplung mit gleichem Wickelsinn)

$$L = \frac{L_1 \cdot L_2 - M^2}{L_1 + L_2 + 2M}$$

(Kopplung mit entgegengesetztem Wickelsinn)

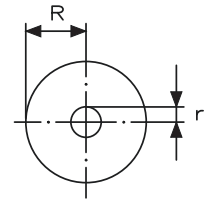
$$M = k \cdot \sqrt{L_1 \cdot L_2}$$

 $L_1, L_2$  Einzelinduktivität in H

M Gegeninduktivität in H

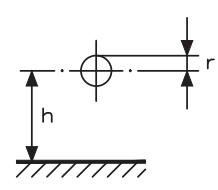
k Kopplungsfaktor  $k = 0 \rightarrow$  keine Kopplung  $k = 1 \rightarrow$  ideale feste Kopplung

#### Selbstinduktion (konzentrisches Kabel, Koaxialkabel) 6.20



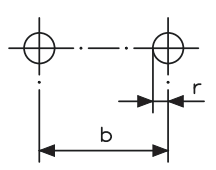
$$L = 0, 2 \cdot 10^{-6} \cdot l \cdot \ln \left(\frac{R}{r}\right) \qquad \begin{array}{c} L & \text{Induktivität in H} \\ l & \text{Länge in m} \end{array}$$

#### 6.21 Selbstinduktion (Leitung gegen Masse)



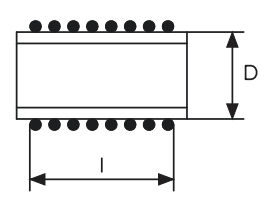
$$L = 0, 2 \cdot 10^{-6} \cdot l \cdot \ln\left(\frac{2h}{r}\right)$$

#### **Selbstinduktion (Doppelleitung)** 6.22



$$L = 0.4 \cdot 10^{-6} \cdot l \cdot \ln\left(\frac{b}{r}\right)$$

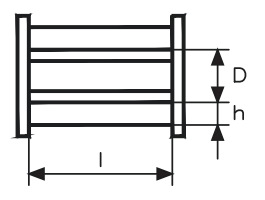
#### **Einlagige Spule** 6.23



$$L = 10^{-6} \cdot N^2 \cdot \frac{D^2}{l}$$

- Induktivität in H
- Windungszahl
- D Windungsdurchmesser
- Spulenlänge in m

#### **Mehrlagige Spule** 6.24



$$L \approx 10^{-6} \cdot N^2 \cdot D \left[ \frac{D}{2(l+h)} \right]^n$$

$$L = 0.75 \quad \text{für} \quad 0 < \frac{D}{2(l+h)} < 1$$

$$L = 10 \text{ Induktivität in H}$$

$$N \quad \text{Windungszahl}$$

$$N \quad \text{Windungshöhe in m}$$

$$N \quad \text{Windungsdurchmesser in m}$$

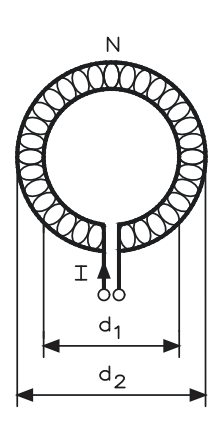
$$N \quad \text{Undungsdurchmesser in m}$$

$$n = 0,75$$
 für  $0 < \frac{D}{2(l+h)} < 1$ 

$$n = 0,5$$
 für  $1 \le \frac{D}{2(l+h)} < 3$ 

- Spulenlänge in m

#### Ringkreisförmige Luftspule 6.25

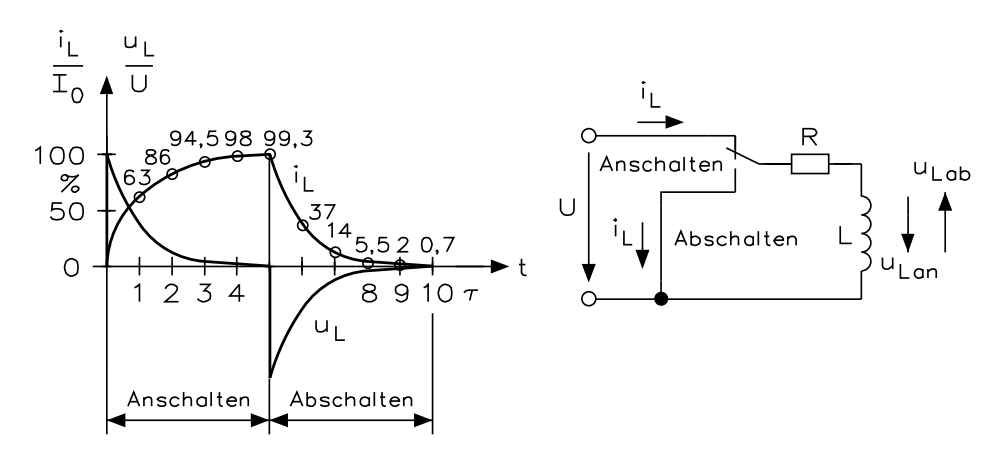


$$H = \frac{\Theta}{l} = \frac{I \cdot N}{l} = \frac{I \cdot N}{\pi \cdot \frac{d_1 + d_2}{2}}$$

$$H$$
 Feldstärke in A/m   
 $\Theta$  Durchflutung   
 $l$  mittlere Feldlinienlänge   
 $d_1$  innerer Spulendurch-

- messer
- d<sub>2</sub> äußerer Spulendurchmesser

#### Zeitkonstante einer Spule 6.26



$$\tau = \frac{L}{R} \qquad I_0 = \frac{U}{R}$$

Einschalten: 
$$i_L = \frac{U}{R} \cdot \left(1 - e^{-\frac{t}{\tau}}\right)$$

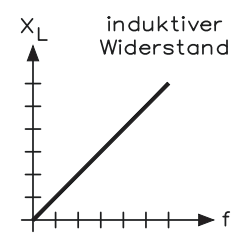
$$u_L = U \cdot e^{-\frac{t}{\tau}}$$

Abschalten: 
$$I_L = \frac{U}{R} \cdot e^{-\frac{t}{\tau}}$$

$$u_L = -U \cdot e^{-\frac{t}{\tau}}$$

- Zeitkonstante in s
- I<sub>L</sub> Augenblickswert des Spulenstromes
- $I_0$  Strom im Einschaltaugenblick in A
- Zeit nach Beginn des Ein- bzw. Abschaltens

#### Induktiver Blindwiderstand 6.27



$$X_L = 2 \cdot \pi \cdot f \cdot L$$

$$f = \frac{X_L}{2 \cdot \pi \cdot L}$$

 $\begin{aligned} X_L &= 2 \cdot \pi \cdot f \cdot L & X_L & \text{induktiver Blindwiderstand} \\ f &= \frac{X_L}{2 \cdot \pi \cdot L} & (\text{Induktanz}) \\ & L & \text{Induktivität} \\ & f & \text{Frequenz} \end{aligned}$ 

#### 6.28 **Umwickeln von Spulen**

Gilt für Schwingkreis bei konstanter Kapazität!

$$\begin{split} \frac{N_1}{N_2} &= \sqrt{\frac{L_1}{L_2}} & \frac{N_1}{\sqrt{L_1}} = \frac{N_2}{\sqrt{L_2}} = \mathbf{k} \\ N_1 &= N_2 \cdot \sqrt{\frac{L_1}{L_2}} & N_2 = N_1 \cdot \sqrt{\frac{L_2}{L_1}} \\ L_1 &= L_2 \cdot \left(\frac{N_1}{N_2}\right)^2 = L_2 \cdot \left(\frac{f_2}{f_1}\right)^2 \\ L_2 &= L_1 \cdot \left(\frac{N_2}{N_1}\right)^2 = L_1 \cdot \left(\frac{f_1}{f_2}\right)^2 \end{split}$$

 $L_1$  ursprüngliche Induktivität

L<sub>2</sub> gewünschte Induktivität

ursprüngliche Windungszahl

neue Windungszahl

Spulenkonstante

ursprüngliche Frequenz

gewünschte Frequenz

## 6.29 Spulengüte

$$\begin{split} Q &= \frac{X_L}{R} = \frac{2 \cdot \pi \cdot f \cdot L}{R} \\ R &= \frac{\omega \cdot L}{Q} \; ; \qquad X_L = Q \cdot R \end{split}$$

- Q Spulengüte
- R Verlustwiderstand (Drahtwiderstand)
- *X<sub>L</sub>* induktiver Blindwiderstand (Induktanz)

## 6.30 Transformator (ohne Verluste)

$$N_1, U_1, Z_1$$
 $N_2, U_2, Z_2$ 

$$\begin{split} \ddot{u} &= \frac{N_1}{N_2} = \frac{U_1}{U_2} = \frac{I_2}{I_1} = \sqrt{\frac{Z_1}{Z_2}} \\ N_1 &= \ddot{u} \cdot N_2 = N_2 \cdot \frac{U_1}{U_2} = N_2 \cdot \frac{I_2}{I_1} = N_2 \cdot \sqrt{\frac{Z_1}{Z_2}} \end{split}$$

$$N_2 = \frac{N_1}{\ddot{u}} = N_1 \cdot \frac{U_2}{U_1} = N_1 \cdot \frac{I_1}{I_2} = N_1 \cdot \sqrt{\frac{Z_2}{Z_1}}$$

$$U_1 = U_2 \cdot \ddot{u} = \frac{P}{I_1} = \sqrt{P \cdot Z_1}$$

$$U_2 = \frac{U_1}{\ddot{u}} = \frac{P}{I_2} = \sqrt{P \cdot Z_2}$$

$$I_1 = \frac{I_2}{\ddot{u}} = I_1 \cdot \frac{N_2}{N_1} = \frac{P}{U_1} = \sqrt{\frac{P}{Z_1}}$$

$$I_2 = I_1 \cdot \ddot{u} = I_1 \cdot \frac{N_1}{N_2} = \frac{P}{U_2} = \sqrt{\frac{P}{Z_2}}$$

$$Z_1 = Z_2 \cdot \ddot{u}^2 = \frac{U_1^2}{P}$$

$$Z_2 = \frac{Z_1}{\ddot{u}^2} = \frac{U_2^2}{P}$$

$$P = U_1 \cdot I_1 = U_2 \cdot I_2$$

Voraussetzung:  $P_1 = P_2 = P$ 

- ü Übersetzungsverhältnis
- $N_1$  Primärwindungszahl
- N<sub>2</sub> Sekundärwindungszahl
- Z<sub>1</sub> Primärwiderstand (induktiver Widerstand)
- Z<sub>2</sub> Sekundärwiderstand (induktiver Widerstand)
- P<sub>1</sub> Primärleistung
- P<sub>2</sub> Sekundärleistung
- $U_1$  Primärspannung
- U<sub>2</sub> Sekundärspannung



Widerstände im Wechselstromkreis

#### 7.1 **Ohm'scher Widerstand**

Schaltung

Stromstärke und **Spannung** 

Widerstand und Leitwert

Leistung

$$I = \frac{1}{2}$$

$$R = \frac{U}{I}$$
$$G = \frac{I}{I} = \frac{1}{I}$$

$$R = \frac{U}{I}$$

$$P = U \cdot I$$

$$P = \frac{U^2}{R}$$

$$P = I^2 \cdot R$$

 $\varphi = 0^{\circ}$  (rein ohmsch)

#### 7.2 **Induktiver Widerstand**

Schaltung

Stromstärke und **Spannung** 

Widerstand und Leitwert

Leistung

$$I = \frac{U}{X_L}$$

$$\begin{split} X_L &= 2 \cdot \pi \cdot f \cdot L & Q_L &= U \cdot I \\ X_I &= \omega \cdot L & \end{split}$$

$$Q_L = U \cdot I$$

 $\varphi = 90^{\circ}$  (induktiv)

#### **Kapazitiver Widerstand** 7.3

#### **Schaltung**

## Stromstärke und Spannung

## Widerstand und Leitwert

a) b)
$$\begin{array}{c|c}
 & \downarrow \\
 & \varphi
\end{array}$$

$$\begin{array}{c|c}
 & \downarrow \\
 &$$

$$I = \frac{U}{X_C}$$

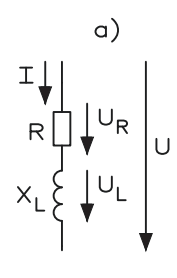
$$X_C = \frac{1}{2 \cdot \pi \cdot f \cdot C} \qquad Q_C = U \cdot I$$

$$Q_C = U \cdot I$$

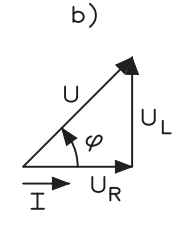
$$X_C = \frac{1}{\omega \cdot C}$$

#### **RL-Reihenschaltung** 7.4

#### Schaltung



## Stromstärke und **Spannung**



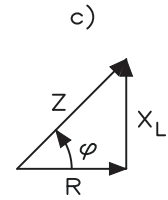
$$I = \frac{U_R}{R}$$

$$I = \frac{U_L}{X_L}$$

$$I = \frac{U}{Z}$$

$$U = \sqrt{U_R^2 + U_L^2}$$

$$\tan \varphi = \frac{U_L}{U_R}$$
$$\sin \varphi = \frac{U_L}{U}$$
$$\cos \varphi = \frac{U_R}{U}$$



Widerstand und

Leitwert

$$Z = \sqrt{R^2 + X_L^2}$$

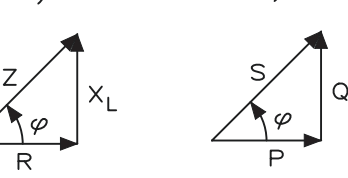
$$\tan \varphi = \frac{X_L}{R} \qquad \tan \varphi = \frac{Q_L}{P}$$

$$\sin \varphi = \frac{X_L}{Z} \qquad \sin \varphi = \frac{Q_L}{S}$$

$$\cos \varphi = \frac{R}{Z}$$

## Leistung

d)



$$P = U_R \cdot I$$

$$Q_L = U_L \cdot I$$

$$S = U \cdot I$$

$$S = \sqrt{P^2 + Q_L^2}$$

$$Q_L$$

$$\tan \varphi = \frac{Q_L}{P}$$

$$\sin \varphi = \frac{Q_L}{S}$$

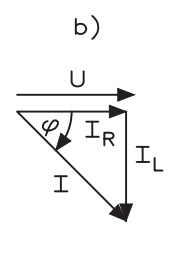
$$\cos \varphi = \frac{P}{S}$$

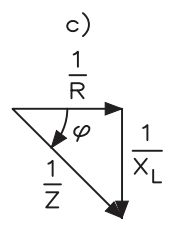
## 7.5 RL-Parallelschaltung

#### **Schaltung**

# $\begin{bmatrix} a \\ \downarrow \\ \downarrow \\ \downarrow \\ X_{L} \\ R \\ \downarrow \\ U \end{bmatrix}$

## Stromstärke und Spannung





 $Y = \sqrt{G^2 + B_L^2}$ 

## Leistung

d)



$$\begin{split} U &= I_R \cdot R \\ U &= I_L \cdot X_L \\ U &= I \cdot Z \\ I &= \sqrt{I_R^2 + I_L^2} \end{split}$$

 $\cos \varphi = \frac{I_R}{I}$ 

$$\tan \varphi = \frac{I_L}{I_R}$$

$$\sin \varphi = \frac{I_L}{I_L}$$

$$\frac{1}{Z} = \sqrt{\left(\frac{1}{R}\right)^2 + \left(\frac{1}{X_L}\right)^2}$$

$$\tan \varphi = \frac{R}{X_L}$$

$$\sin \varphi = \frac{Z}{X_L}$$

 $\cos \varphi = \frac{Z}{P}$ 

$$P = U \cdot I_R$$

$$Q_L = U \cdot I_L$$

$$S = U \cdot I$$

$$S = \sqrt{P^2 \cdot Q_L^2}$$

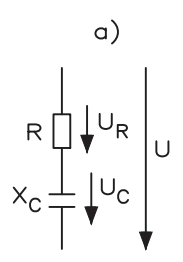
$$\tan \varphi = \frac{Q_L}{P}$$

$$\sin \varphi = \frac{Q_L}{S}$$

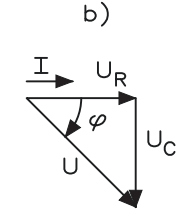
$$\cos \varphi = \frac{P}{S}$$

## 7.6 RC-Reihenschaltung

## Schaltung



## Stromstärke und Spannung



## Widerstand und Leitwert



c)

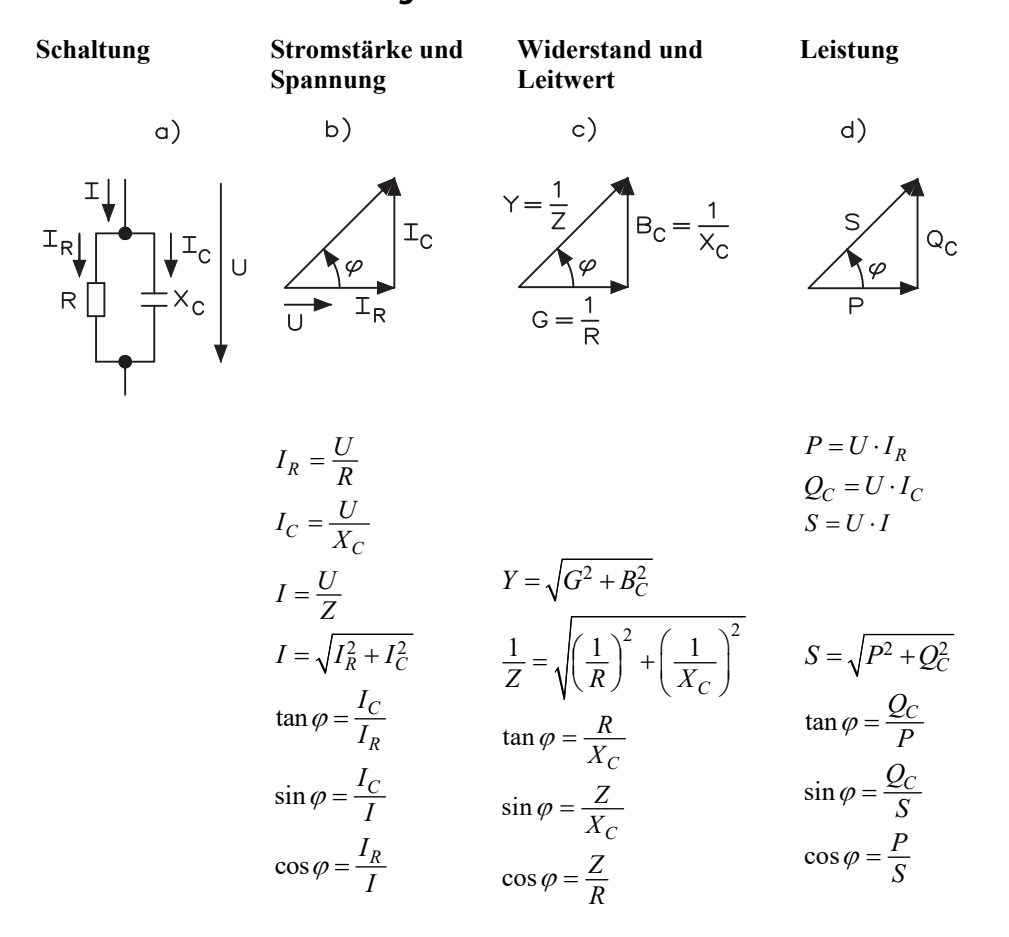
## Leistung

d)

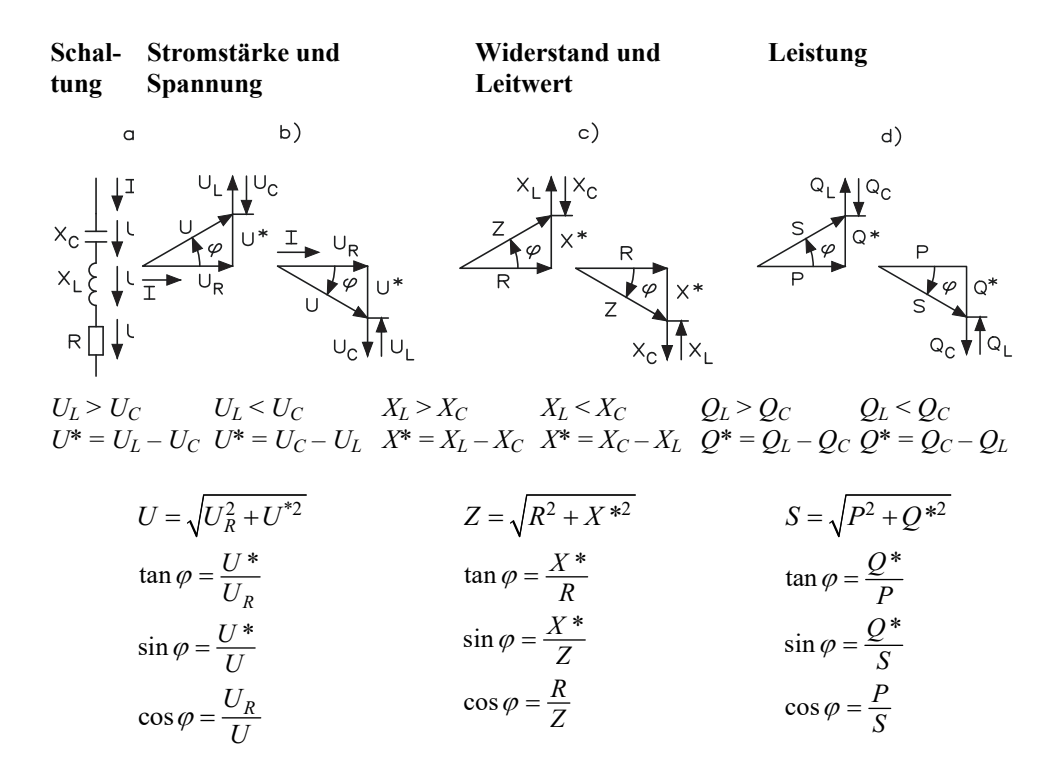


$$\begin{split} I &= \frac{U_R}{R} \\ I &= \frac{U_C}{X_C} \quad I = \frac{U}{Z} \\ U &= \sqrt{U_R^2 + U_C^2} \\ \tan \varphi &= \frac{U_C}{U_R} \\ \sin \varphi &= \frac{U_C}{U} \\ \cos \varphi &= \frac{R}{Z} \\ \end{split} \qquad \begin{aligned} P &= U_R \cdot I \\ Q_C &= U_C \cdot I \\ S &= U \cdot I \\ S &= V \cdot I \\ S &= \sqrt{P^2 + Q_C^2} \\ \sin \varphi &= \frac{Q_C}{P} \\ \sin \varphi &= \frac{Q_C}{S} \\ \cos \varphi &= \frac{Q_C}{S} \end{aligned}$$

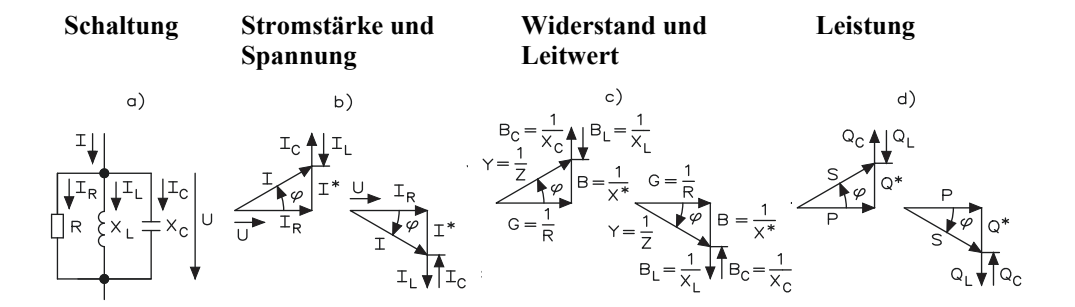
#### 7.7 RC-Parallelschaltung



## 7.8 RLC-Reihenschaltung



## 7.9 RLC-Parallelschaltung



$$\begin{split} I_C > I_L & I_C < I_L & X_C < X_L & X_C > X_L & Q_C > Q_L & Q_C < Q_L \\ I^* = I_C - I_L & I^* = I_L - I_C & \frac{1}{X^*} = \frac{1}{X_L} - \frac{1}{X_C} & \frac{1}{X^*} = \frac{1}{X_C} - \frac{1}{X_L} & Q^* = Q_C - Q_L & Q^* = Q_L - Q_C \\ & Y = \sqrt{G^2 + B^{*2}} \end{split}$$

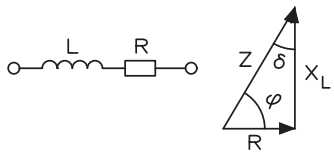
$$I = \sqrt{I_R^2 \cdot I^{*2}} \qquad \qquad \frac{1}{Z} = \sqrt{\left(\frac{1}{R}\right)^2 + \left(\frac{1}{X^*}\right)^2} \qquad \qquad S = \sqrt{P^2 \cdot Q^{*2}}$$

$$\tan \varphi = \frac{I^*}{I_R} \qquad \qquad \tan \varphi = \frac{R}{X^*} \qquad \qquad \tan \varphi = \frac{Q^*}{P}$$

$$\sin \varphi = \frac{I^*}{I} \qquad \qquad \sin \varphi = \frac{Z}{X^*} \qquad \qquad \sin \varphi = \frac{Q^*}{S}$$

$$\cos \varphi = \frac{I_R}{I} \qquad \qquad \cos \varphi = \frac{P}{S}$$

## 7.10 Reihenschaltung von RL-Gliedern



 $U = \sqrt{U_P^2 + U_I^2}$ 

$$Z = \sqrt{R^2 + X_L^2} = \sqrt{R^2 + (2 \cdot \pi \cdot f \cdot L)^2}$$

$$R = \sqrt{Z^2 - X_L^2}$$

$$U = I \cdot Z \qquad U_R = I \cdot R \qquad U_L = I \cdot X_L$$

$$I = \frac{U}{Z} = \frac{U}{\sqrt{R^2 + (2 \cdot \pi \cdot f \cdot L)^2}}$$

$$Z = \frac{R}{\cos \varphi} \qquad R = Z \cdot \cos \varphi \qquad X_L = Z \cdot \sin \varphi$$

$$S = U \cdot I = \frac{P}{\cos \varphi} \qquad \tan \delta = \frac{R}{\omega \cdot L}$$

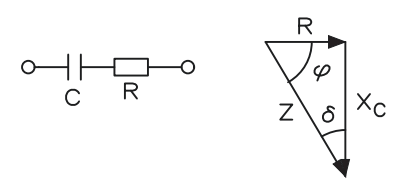
$$Q_L = U \cdot I \cdot \sin \varphi \qquad \tan \varphi = \frac{\omega \cdot L}{R}$$

$$P = S \cdot \cos \varphi = U \cdot I \cdot \cos \varphi = U_R \cdot I = I^2 \cdot R$$

$$I = \frac{U \cdot \cos \varphi}{R} \qquad U = \frac{I \cdot R}{\cos \varphi} \qquad R = \frac{U \cdot \cos \varphi}{I}$$

- Z Scheinwiderstand
- R Wirkwiderstand
- X<sub>L</sub> induktiver Blindwiderstand
- $U_R$  Spannung an R
- $U_L$  Spannung an L
- P Wirkleistung
- S Scheinleistung
- $Q_L$  induktive Blindleistung
- φ Phasenwinkel

## 7.11 Reihenschaltung von RC-Gliedern



$$Z = \sqrt{R^2 + X_C^2} = \sqrt{R^2 + \frac{1}{(2 \cdot \pi \cdot f \cdot C)^2}}$$

$$R = \sqrt{Z^2 - X_C^2}$$
  $X_C = \sqrt{Z^2 - R^2}$ 

$$I = \frac{U}{Z} = \frac{U}{\sqrt{R^2 + \left(\frac{1}{2 \cdot \pi \cdot f \cdot C}\right)^2}}$$

$$U = I \cdot Z$$
  $U_R = I \cdot R$   $U_C = I \cdot X_C$ 

$$Z = \frac{U}{I}$$
  $\cos \varphi = \frac{R}{Z} = \frac{U_R}{U} = \frac{P}{S}$ 

$$S = U \cdot I = \frac{P}{\cos \omega} \qquad \tan \delta = \omega \cdot R \cdot C$$

$$Z = \frac{R}{\cos \varphi} \qquad R = Z \cdot \cos \varphi \qquad \tan \varphi = -\frac{1}{\omega \cdot R \cdot C}$$

$$Q_c = U \cdot I \cdot \sin \varphi$$

$$P = S \cdot \cos \varphi = U \cdot I \cdot \cos \varphi = U_R \cdot I = I^2 \cdot R$$

$$I = \frac{U \cdot \cos \varphi}{R}$$
  $U = \frac{I \cdot R}{\cos \varphi}$   $R = \frac{U \cdot \cos \varphi}{I}$ 

$$U = \sqrt{U_R^2 - U_C^2}$$

Z Scheinwiderstand

R Wirkwiderstand

*X<sub>C</sub>* kapazitiver Blindwiderstand

 $U_R$  Spannung an R

 $U_L$  Spannung an L (Konduktanz)

P Wirkleistung (Suszeptanz)

S Scheinleistung (Admittanz)

Q<sub>L</sub> kapazitiver Blindwiderstand

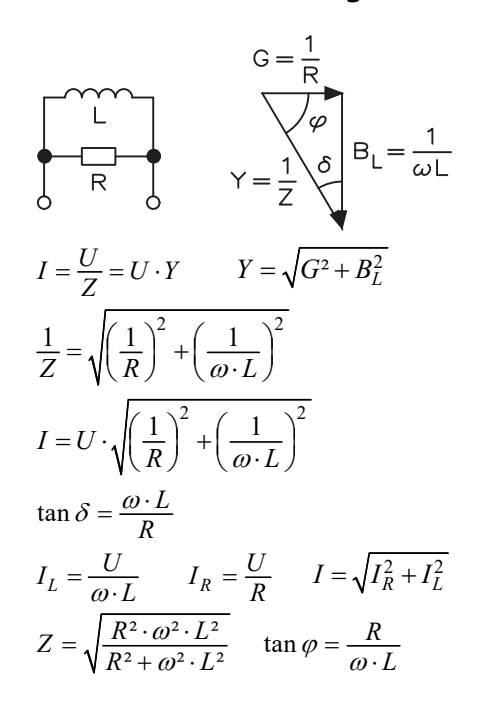
φ Phasenwinkel

 $\cos \varphi$  Leistungsfaktor

 $\delta$  Verlustwinkel

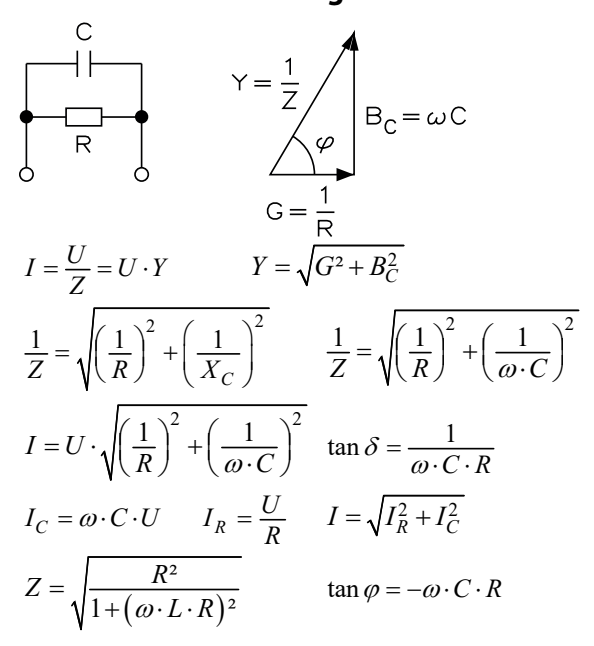
tan  $\delta$  Verlustfaktor

## 7.12 Parallelschaltung von RL-Gliedern



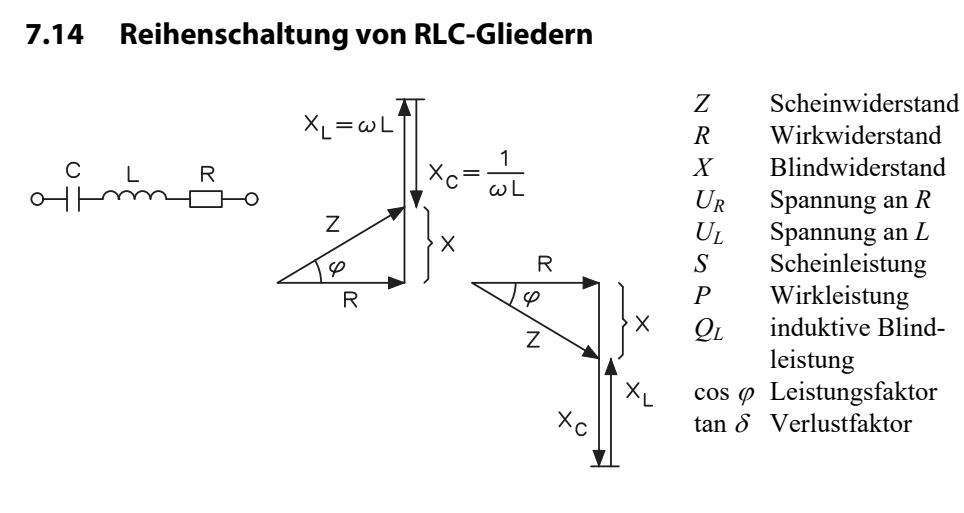
G Wirkleitwert (Konduktanz)  $B_L$  Blindleitwert (Suszeptanz)
Y Scheinleitwert (Admittanz)  $I_L$  Blindstrom durch L  $I_R$  Wirkstrom durch RI Scheinstrom  $\cos \varphi$  Leistungsfaktor  $\tan \delta$  Verlustfaktor

## 7.13 Parallelschaltung von RC-Gliedern



G Wirkleitwert (Konduktanz)  $B_C$  Blindleitwert (Suszeptanz) Y Scheinleitwert (Admittanz)  $I_C$  Blindstrom durch C  $I_R$  Wirkstrom durch RI Scheinstrom

#### Reihenschaltung von RLC-Gliedern 7.14



$$Z$$
 Scheinwiderstand  $R$  Wirkwiderstand  $X$  Blindwiderstand  $U_R$  Spannung an  $R$   $U_L$  Spannung an  $L$   $S$  Scheinleistung  $P$  Wirkleistung  $Q_L$  induktive Blindleistung

$$Z = \sqrt{R^2 + X^2} = \sqrt{R^2 + \left(\omega \cdot L - \frac{1}{\omega \cdot C}\right)^2}$$

$$I = \frac{U}{Z} = \frac{U}{\sqrt{R^2 + \left(\omega \cdot L - \frac{1}{\omega \cdot C}\right)^2}}$$

$$\begin{split} X &= X_C - X_L \text{ (kapazitiv)} & X &= X_L - X_C \text{ (induktiv)} \\ U &= I \cdot Z & U_R &= I \cdot R & U_C &= I \cdot X_C & U_L &= I \cdot X_L \\ U &= \sqrt{U_R^2 + \left(U_L - U_C\right)^2} & \end{split}$$

$$Z = \frac{U}{I} \qquad \cos \varphi = \frac{R}{Z} = \frac{U_R}{U} = \frac{P}{S} \qquad \tan \varphi = \frac{\omega \cdot L - \frac{1}{\omega \cdot C}}{R}$$

$$Z = \frac{R}{\cos \varphi} \qquad R = Z \cdot \cos \varphi \qquad \tan \delta = \frac{R}{\omega \cdot L - \frac{1}{\omega \cdot C}}$$

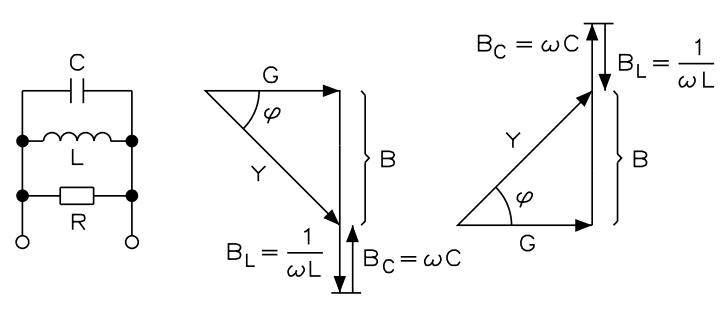
$$S = U \cdot I = \frac{P}{\cos \varphi}$$

$$Q = U \cdot I \cdot \sin \varphi$$

$$P = S \cdot \cos \varphi = U \cdot I \cdot \cos \varphi = U_R \cdot I$$

$$I = U \cdot \frac{\cos \varphi}{R}$$
  $U = \frac{I \cdot R}{\cos \varphi}$   $R = \frac{U \cdot \cos \varphi}{I}$ 

#### Parallelschaltung von RLC-Gliedern 7.15



$$I = \frac{U}{Z} = U \cdot Y$$

$$Y = \sqrt{G^2 + B^2}$$

$$\frac{1}{Z} = \sqrt{\left(\frac{1}{R}\right)^2 + \left(\frac{1}{X}\right)^2} \quad \text{oder} \quad Y = \sqrt{G^2 + (B_C - B_L)^2}$$

$$\overline{Z} = \sqrt{\left(\frac{R}{R}\right)^{-1} \left(\frac{1}{X}\right)} \quad \text{odd} \quad T = \sqrt{G} + \left(B_C - B_L\right)$$

$$X = X_C - X_L \text{ (kapazitiv)} \qquad X = X_L - X_C \text{ (induktiv)}$$

$$I = U \cdot \sqrt{\left(\frac{1}{R}\right)^2 + \left(\omega \cdot C - \frac{1}{\omega \cdot L}\right)^2} = U \cdot \sqrt{G^2 + (B_C - B_L)^2}$$

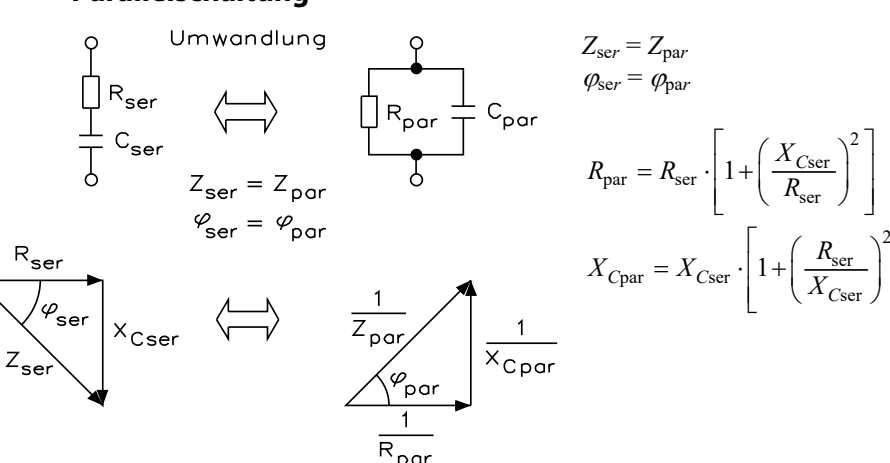
$$Z = \sqrt{\left(\frac{1}{R}\right)^2 + \left(\omega \cdot C - \frac{1}{\omega \cdot L}\right)^2}$$

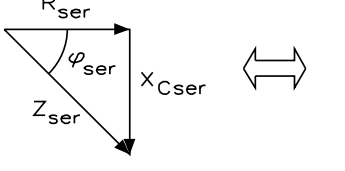
$$\tan \delta = \frac{1}{R \cdot \left(\omega \cdot C - \frac{1}{\omega \cdot L}\right)} \qquad \tan \varphi = R \cdot \left(\omega \cdot C - \frac{1}{\omega \cdot L}\right)$$

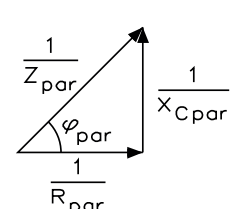
$$B_C$$
 Blindleitwert

$$B_L$$
 Blindleitwert

#### Umrechnung von RC-Gliedern zwischen Reihen- und 7.16 **Parallelschaltung**





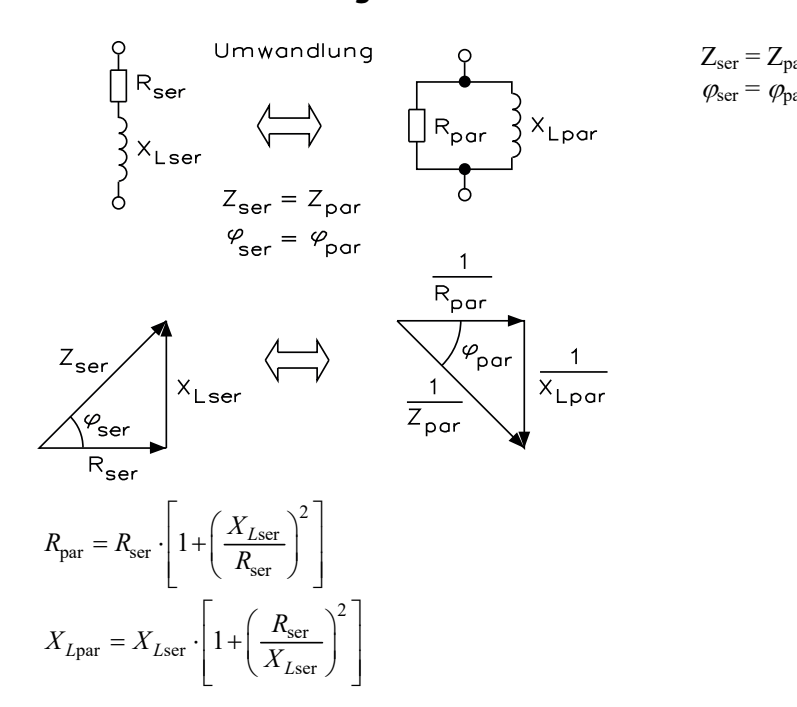


$$\varphi_{\text{ser}} = \varphi_{\text{par}}$$

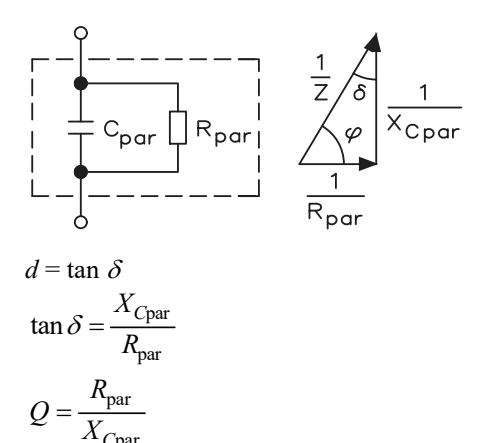
$$R_{\text{par}} = R_{\text{ser}} \cdot \left[ 1 + \left( \frac{X_{C\text{ser}}}{R_{\text{ser}}} \right)^2 \right]$$

$$X_{C\text{par}} = X_{C\text{ser}} \cdot \left[ 1 + \left( \frac{R_{\text{ser}}}{X_{C\text{ser}}} \right)^2 \right]$$

# 7.17 Umrechnung von RL-Schaltung zwischen Reihen- und Parallelschaltung



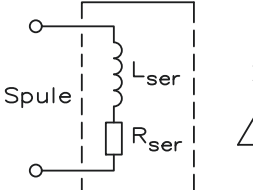
#### 7.18 Verlustbehafteter Kondensator



 $Q = \frac{1}{d}$ 

$$tan \delta$$
 Verlustfaktor  
 $d$  Verlustfaktor  
 $Q$  Güte (Gütefaktor)  
 $R_{par}$  paralleler Verlust-  
widerstand

## 7.19 Verlustbehaftete Spule





tan 
$$\delta$$
 Verlustfaktor

 $d$  Verlustfaktor

 $Q$  Güte (Gütefaktor)

 $R_{\text{ser}}$  serieller Verlustwiderstand

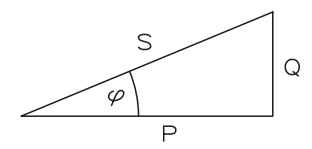
$$d = \tan \delta$$

$$\tan \delta = \frac{R_{\text{ser}}}{X_L}$$

$$Q = \frac{X_{L\text{ser}}}{R_{\text{ser}}}$$

$$Q = \frac{1}{d}$$

## 7.20 Leistung und Leistungsfaktor

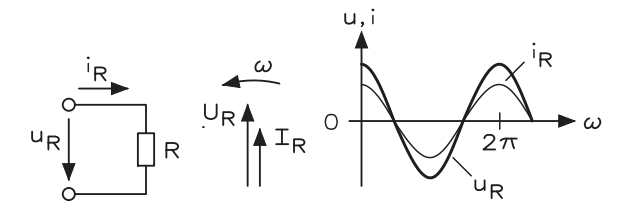


Bei sinusförmigem Verlauf:  $S = U \cdot I$ Bei Phasenverschiebung von Strom und Spannung um den Phasenwinkel  $\varphi$ :

$$\begin{split} P &= U \cdot I \cdot \cos \varphi \\ P &= S \cdot \cos \varphi \\ S &= \frac{P}{\cos \varphi} \qquad \cos \varphi = \frac{P}{S} \\ Q &= U \cdot I \cdot \sin \varphi \\ Q &= S \cdot \sin \varphi \qquad \sin \varphi = \frac{Q}{S} \\ P &= \sqrt{S^2 - Q^2} \\ Q &= \sqrt{S^2 - P^2} \end{split}$$

S Scheinleistung in VA P Wirkleistung in W Q Blindleistung in var U Spannung (Effektivwert) I Strom (Effektivwert)  $\cos \varphi$  Leistungsfaktor  $\sin \varphi$  Blindleistungsfaktor

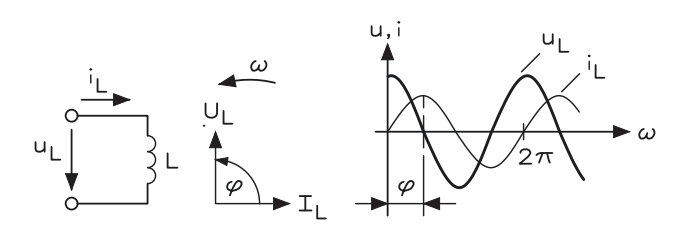
# 7.21 Bauelement, Zeiger- und Liniendiagramme für Ohm'sche Widerstände



$$R = \frac{u_R}{i_R} = \frac{\hat{u}_R \cdot (\cos \omega \cdot t_u + \omega_u)}{\hat{i}_R \cdot (\cos \omega \cdot t_i + \omega_i)}$$

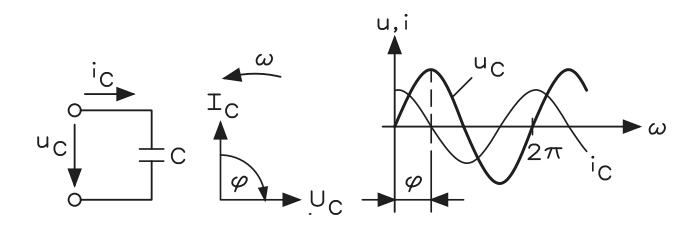
$$R = \frac{u_R}{i_R} = \frac{\hat{u}_R}{\hat{i}_R} = \frac{u_R \cdot \sqrt{2}}{i_R \cdot \sqrt{2}} = \frac{U_R}{I_R} \qquad \text{bei } \varphi = \varphi_u - \varphi_i = 0$$

# 7.22 Bauelement, Zeiger- und Liniendiagramme für induktive Blindwiderstände



$$\begin{split} u_L &= L \cdot \frac{\Delta i_L}{\Delta t} \\ u_L &= \omega \cdot L \cdot \hat{i}_L \cdot \cos \omega \cdot t \\ X_L &= \omega \cdot L = \frac{U_L}{I_l} \\ B_L &= \frac{1}{X_L} = \frac{1}{\omega \cdot L} = \frac{I_L}{U_L} \quad \text{bei } \varphi = \varphi_u - \varphi_i = 90^\circ = \frac{\pi}{2} \end{split}$$

#### Bauelement, Zeiger- und Liniendiagramme für kapazitive 7.23 Blindwiderstände



$$Q = I_C \cdot t = C \cdot U_C$$
$$i_C = C \cdot \frac{\Delta u_C}{\Delta t}$$

$$i_C = \omega \cdot C \cdot \hat{u}_c \cdot \cos \omega t$$

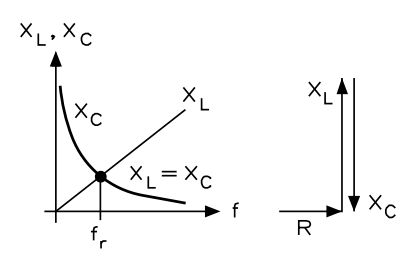
$$i_C = \omega \cdot C \cdot \hat{u}_c \cdot \cos \omega t$$
 bei  $\varphi = \varphi_u - \varphi_i = 90^\circ - 0 = -90^\circ = -\frac{\pi}{2}$ 

$$X_C = \frac{1}{\omega \cdot C} = \frac{U_C}{I_C}$$

$$B_C = \omega \cdot C = \frac{I_C}{U_C}$$

$$B_C = \omega \cdot C = \frac{I_C}{U_C}$$
 bei  $\varphi = \varphi_u - \varphi_i = -90^\circ = -\frac{\pi}{2}$ 

#### 7.24 Resonanz bei Schwingkreisen



Resonanzbedingung:  $X_C = X_L$ 

$$\omega \cdot L = \frac{1}{\omega \cdot C}$$

$$\omega^2 \cdot L \cdot C = 1$$

$$L = \frac{1}{\omega^2 \cdot C}$$

$$C = \frac{1}{\omega^2 \cdot L}$$

$$f_r = \frac{1}{2 \cdot \pi \cdot f \cdot \sqrt{L \cdot C}}$$

 $X_C$  kapazitiver Blindwiderstand in  $\Omega$ 

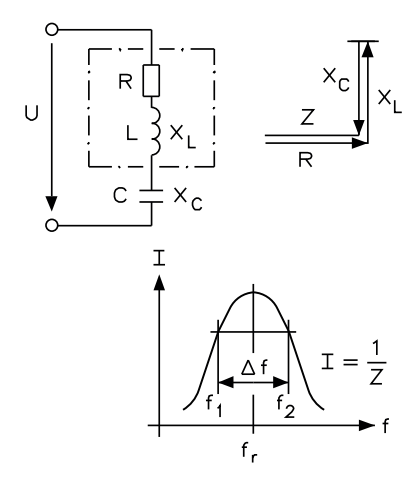
 $X_L$  induktiver Blindwiderstand in  $\Omega$ 

Resonanzfrequenz in Hz

CKapazität in F

Induktivität in H

## 7.25 Reihenschwingkreis



$$Z = \sqrt{R^2 + (X_L - X_C)^2}$$

bei Resonanz ist  $X_L = X_C$ 

$$f_r = \frac{1}{2 \cdot \pi \cdot \sqrt{L \cdot C}}$$

$$Q = \frac{2 \cdot \pi \cdot f_r \cdot L}{R} = \frac{1}{R} \cdot \sqrt{\frac{L}{C}}$$

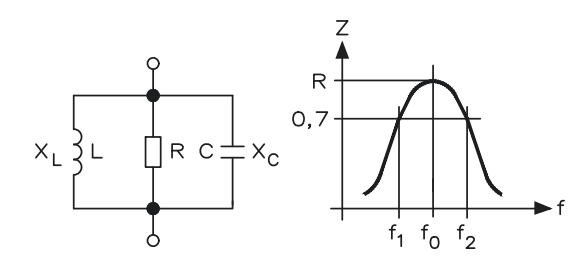
$$Q = \frac{1}{d} = \frac{1}{\tan \delta}$$

$$\Delta f = f_2 - f_1 = \frac{f_r}{Q} = f_r \cdot d$$

$$R_r = r = \frac{X_L}{Q} = \frac{X_C}{Q} = \frac{1}{2 \cdot \pi \cdot f_r^2 \cdot C}$$

- Z Scheinwiderstand
- $f_r$  Resonanz frequenz
- O Güte
- d tan  $\delta$  (Dämpfung, Verlustfaktor)
- $\Delta f$  Bandbreite
- $f_1$  untere Grenzfrequenz
- f<sub>2</sub> obere Grenzfrequenz

## 7.26 Parallelschwingkreis



$$Y = \sqrt{G^2 + (B_L - B_C)^2}$$
bei Resonanz ist  $B_L = B_C$ 

$$f_r = \frac{1}{2 \cdot \pi \cdot \sqrt{L \cdot C}}$$

$$Q = \frac{R}{\omega_0 \cdot L} = R \cdot \sqrt{\frac{C}{L}}$$

 $R = Q^2 \cdot r = \frac{L}{C \cdot r}$ 

$$Q = \frac{1}{d} \approx \frac{\omega \cdot L}{R} \approx \frac{1}{\omega \cdot R} \approx \frac{1}{R} \cdot \sqrt{\frac{L}{C}}$$

 $R_r = Q^2 \cdot r = Q \cdot X_L = Q \cdot X_C = \frac{Q}{2 \cdot \pi \cdot f_r \cdot C} = \frac{1}{2 \cdot \pi \cdot \Delta f \cdot C}$ 

#### Y Scheinleitwert

 $f_r$  Resonanzfrequenz

Q Güte

G Leitwert

 $B_L$  induktiver Blindleitwert

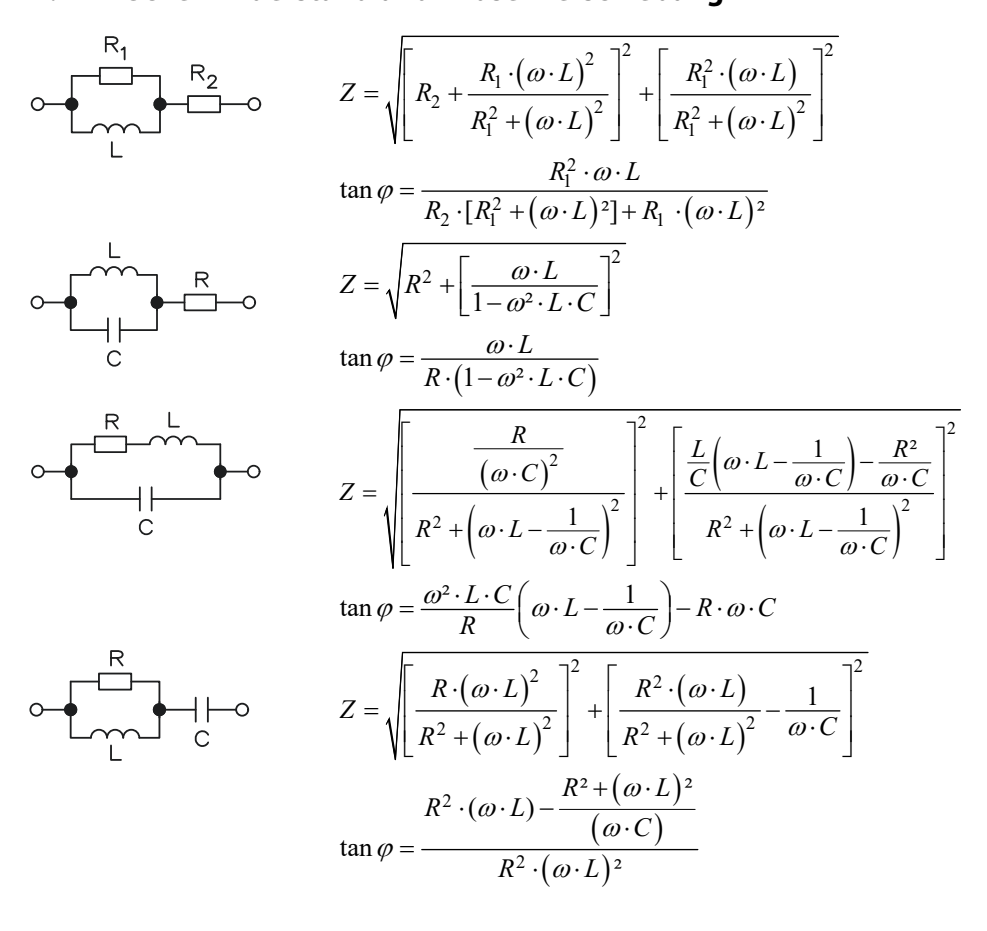
B<sub>C</sub> kapazitiver Blindleitwert

 $f_1$  untere Grenzfrequenz

 $f_2$  obere Grenzfrequenz

d tan  $\delta$  (Dämpfung, Verlustfaktor)

## 7.27 Scheinwiderstand und Phasenverschiebung



#### Komplexe Darstellung von R, C und L 7.28

Impedanz Z Admittanz Y

Scheinwiderstand  $|\underline{Z}| = Z$ Scheinleitwert  $|\underline{\mathbf{Y}}| = \mathbf{Y}$ 

Phasenverschiebungswinkel  $\varphi$ 

$$\underline{Z} = R$$

$$\underline{Y} = G = \frac{1}{R}$$

$$Z = R$$

$$\varphi = 0^{\circ}$$

$$Y = G = \frac{1}{R}$$

$$\underline{Z} = jX_L = j\omega \cdot L$$

$$\underline{Y} = -jB_L = \frac{1}{j\omega \cdot L} = -j\frac{1}{\omega \cdot L}$$

$$Z = \omega L$$

$$Y = \frac{1}{\omega \cdot L}$$

$$\varphi_Z = +90^{\circ}$$

$$\varphi_Y = -90^\circ$$

$$\underline{Z} = -jX_C = \frac{1}{j\omega \cdot C} = -j\frac{1}{\omega \cdot C} \qquad Z = \frac{1}{\omega \cdot C}$$

$$Y = \omega \cdot C \qquad Y = \omega \cdot C$$

$$Y = jB_C = j\omega \cdot C$$

$$Z = \frac{1}{\omega \cdot C}$$

$$Y = \omega \cdot C$$

$$\varphi_Z = -90^{\circ}$$

$$\varphi_Y = +90^{\circ}$$

$$\underline{Z} = R + j\omega \cdot L$$

$$\underline{Y} = \frac{1}{R^2 + (\omega \cdot L)^2} - j \frac{\omega \cdot L}{R^2 + (\omega \cdot L)^2}$$

$$Z = \sqrt{R^2 + \left(\omega \cdot L\right)^2}$$

$$Y = \sqrt{\frac{R^2 + (\omega \cdot L)^2}{[R^2 + (\omega \cdot L)^2]^2}} \qquad \varphi_X = -\arctan \frac{\omega \cdot L}{R}$$

$$\varphi_Z = + \arctan \frac{\omega \cdot L}{R}$$

$$\varphi_Y = -\arctan\frac{\omega \cdot L}{R}$$

$$\underline{Z} = R - j \frac{1}{\omega \cdot C}$$

$$\underline{Z} = R - j \frac{1}{\omega \cdot C}$$

$$\underline{Y} = \frac{R(\omega \cdot C)^2}{(\omega \cdot C \cdot R)^2 + 1} = +j \frac{\omega \cdot C}{(\omega \cdot C \cdot R)^2 + 1}$$

$$Z = \sqrt{R^2 + \left(\frac{1}{\omega \cdot C}\right)^2}$$

$$\varphi_Z = -\arctan \frac{1}{\omega \cdot C \cdot R}$$

$$\varphi_Y = +\arctan \frac{1}{\omega \cdot C \cdot R}$$

$$Y = \sqrt{\frac{[R(\omega \cdot C)^2]^2 + (\omega \cdot C)^2}{[(\omega \cdot C \cdot R)^2 + 1]^2}}$$

$$Z = \sqrt{R^2 + \left(\frac{1}{\omega \cdot C}\right)^2}$$

$$\varphi_Y = \frac{1}{(1-\epsilon)^2}$$

$$\varphi_Z = -\arctan \frac{1}{\omega \cdot C \cdot R}$$

$$\underline{Z} = \frac{R(\omega \cdot L)^{2}}{R^{2} + (\omega \cdot L)^{2}} + j \frac{R^{2} \cdot \omega \cdot L}{[(R^{2} + \omega \cdot L)^{2}]^{2}} \qquad Z = \sqrt{\frac{[R(\omega \cdot L)^{2}]^{2} + (R^{2} \cdot \omega \cdot L)^{2}}{[R^{2} + (\omega \cdot L)^{2}]^{2}}} \qquad \varphi_{Z} = + \arctan \frac{R}{\omega \cdot L}$$

$$\underline{Y} = \frac{1}{R} - j \frac{1}{\omega \cdot L} \qquad \qquad Y = \sqrt{\left(\frac{1}{R}\right)^{2} + \left(\frac{1}{\omega \cdot L}\right)^{2}} \qquad \varphi_{Y} = + \arctan \frac{R}{\omega \cdot L}$$

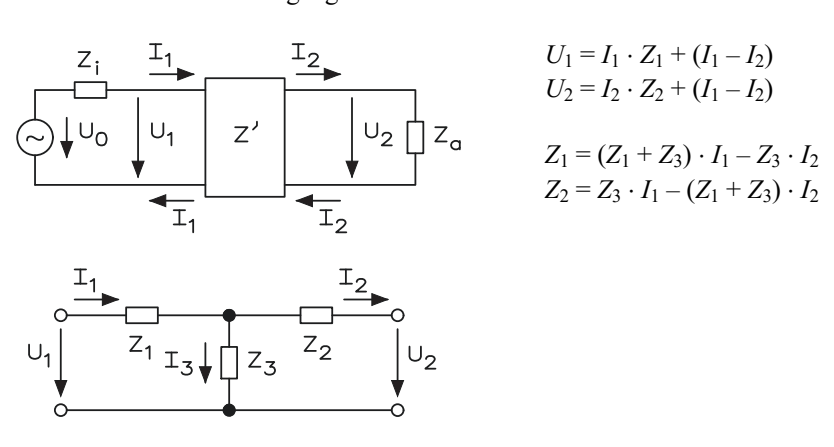
$$\underline{Z} = \frac{R}{1 + (\omega \cdot C \cdot R)^{2}} - j \frac{\omega \cdot C \cdot R^{2}}{(1 + \omega \cdot C \cdot R)^{2}} \qquad Z = \sqrt{\frac{R^{2} + (\omega \cdot C \cdot R^{2})^{2}}{[1 + (\omega \cdot C \cdot R)^{2}]^{2}}} \qquad \varphi_{Z} = -\arctan \omega \cdot C \cdot R$$

$$\underline{Y} = \frac{1}{R} + j\omega \cdot C \qquad \qquad (1)^{2} \qquad \varphi_{Y} = + \arctan \omega \cdot C \cdot R$$

## 7.29 Vierpolparameter von elektrischen Zweitoren

Vierpole sind beliebig zusammengeschaltete Zweipole mit einem Eingang und einem Ausgang. Passive Vierpole bestehen nur aus passiven Zweipolen (Widerständen, Spulen und Kondensatoren usw.). Aktive Vierpole enthalten eine zusätzliche Energiequelle. Bei passiven Vierpolen besteht ein linearer Zusammenhang zwischen Spannungen und Strömen am Ein- und Ausgang.

 $Y = \sqrt{\left(\frac{1}{R}\right)^2 + \left(\omega \cdot C\right)^2}$ 



#### Vierpolgleichungen (Widerstandsform)

$$\begin{aligned} &U_1 = Z_{11} \cdot I_1 + Z_{12} \cdot I_2 \\ &U_2 = Z_{21} \cdot I_1 + Z_{22} \cdot I_2 \end{aligned} \qquad \text{Matrizenschreibweise} \begin{pmatrix} U_1 \\ U_2 \end{pmatrix} = \begin{pmatrix} Z_{11} & Z_{12} \\ Z_{21} & Z_{22} \end{pmatrix} \cdot \begin{pmatrix} I_1 \\ I_2 \end{pmatrix}$$
 
$$Z_{11} = \frac{U_1}{I_1} \quad \text{bei } I_2 = 0 \text{: Leerlaufwiderstand primär}$$
 
$$-Z_{22} = \frac{U_2}{I_2} \quad \text{bei } I_1 = 0 \text{: Leerlaufwiderstand sekundär (Vierpol wird von rechts betrieben)}$$
 
$$Z_{21} = \frac{U_2}{I_1} \quad \text{bei } I_2 = 0 \text{: Kernwiderstand vorwärts}$$
 
$$-Z_{12} = \frac{U_1}{I_2} \quad \text{bei } I_1 = 0 \text{: Kernwiderstand rückwärts (Vierpol wird von rechts betrieben)}$$

#### Vierpolgleichungen (Leitwertform)

$$I_1 = Y_{11} \cdot U_1 + Y_{12} \cdot U_2$$

$$I_2 = Y_{21} \cdot I_1 + Y_{22} \cdot U_2$$
Matrizenschreibweise  $\begin{pmatrix} I_1 \\ I_2 \end{pmatrix} = \begin{pmatrix} Y_{11} & Y_{12} \\ Y_{21} & Y_{22} \end{pmatrix} \cdot \begin{pmatrix} U_1 \\ U_2 \end{pmatrix}$ 

$$Y_{11} = \frac{I_1}{U_1} \quad \text{bei } U_2 = 0 \text{: Kurzschlussleitwert primär}$$

$$-Y_{22} = \frac{I_2}{U_2} \quad \text{bei } U_1 = 0 \text{: Kurzschlussleitwert sekundär (Vierpol wird von rechts betrieben)}$$

$$Y_{21} = \frac{I_2}{U_1} \quad \text{bei } U_2 = 0 \text{: Kernleitwert vorwärts}$$

$$-Y_{12} = \frac{I_1}{U_2} \quad \text{bei } U_1 = 0 \text{: Kernleitwert rückwärts (Vierpol wird von rechts betrieben)}$$

#### Vierpolgleichungen (Kettenform)

$$\begin{aligned} &U_1 = A_{11} \cdot U_2 + A_{12} \cdot I_2 \\ &I_1 = A_{21} \cdot U_2 + A_{22} \cdot I_2 \end{aligned} \qquad \text{Matrizenschreibweise} \begin{pmatrix} U_1 \\ I_1 \end{pmatrix} = \begin{pmatrix} A_{11} & A_{12} \\ A_{21} & A_{22} \end{pmatrix} \cdot \begin{pmatrix} U_2 \\ I_2 \end{pmatrix}$$
 
$$A_{11} = \frac{U_1}{U_2} \quad \text{bei } I_2 = 0 : \quad \text{umgekehrte Spannungsübersetzung im Leerlauf}$$
 
$$A_{22} = \frac{I_1}{I_2} \quad \text{bei } U_2 = 0 : \quad \text{umgekehrte Stromübersetzung im Kurzschluss}$$
 
$$A_{21} = \frac{I_1}{U_2} \quad \text{bei } I_2 = 0 : \quad \text{umgekehrter primärer Kernwiderstand im Leerlauf}$$
 
$$A_{12} = \frac{U_1}{I_2} \quad \text{bei } U_2 = 0 : \quad \text{umgekehrter primärer Kernleitwert im Kurzschluss}$$

#### Vierpolgleichungen (Hybridform)

$$\begin{array}{ll} U_1 = H_{11} \cdot I_1 + H_{12} \cdot U_2 \\ I_2 = H_{21} \cdot I_1 + H_{22} \cdot U_2 \end{array} \qquad \text{Matrizenschreibweise} \begin{pmatrix} U_1 \\ I_2 \end{pmatrix} = \begin{pmatrix} H_{11} & H_{12} \\ H_{21} & H_{22} \end{pmatrix} \cdot \begin{pmatrix} I_1 \\ U_2 \end{pmatrix}$$
 
$$H_{11} = \frac{U_1}{I_1} \qquad \text{bei } U_2 = 0 \text{: Eingangswiderstand bei Ausgangskurzschluss}$$
 
$$H_{22} = \frac{I_2}{U_2} \qquad \text{bei } I_1 = 0 \text{: Ausgangsleitwert bei offenem Eingang}$$
 
$$H_{21} = \frac{I_2}{I_1} \qquad \text{bei } U_2 = 0 \text{: Stromverstärkung bei Ausgangskurzschluss}$$
 
$$H_{12} = \frac{U_1}{U_2} \qquad \text{bei } I_1 = 0 \text{: Spannungsrückwirkung bei offenem Eingang}$$

Vierpolgleichungen vereinfachen sich bei richtungssymmetrischen Vierpolen:

$$Y_{11} = -Y_{22}, Z_{11} = -Z_{22}, A_{11} \cdot A_{22}$$
Multiplikation von Matrizen  $\begin{pmatrix} a_{11} & a_{12} \\ a_{21} & a_{22} \end{pmatrix} \cdot \begin{pmatrix} b_{11} & b_{12} \\ b_{21} & b_{22} \end{pmatrix} = \begin{pmatrix} c_{11} & c_{12} \\ c_{21} & c_{22} \end{pmatrix} \Rightarrow$ 

$$c_{11} = a_{11} \cdot b_{11} + a_{12} \cdot b_{21} \quad c_{12} = a_{11} \cdot b_{12} + a_{12} \cdot b_{22}$$

$$c_{21} = a_{21} \cdot b_{11} + a_{22} \cdot b_{21} \quad c_{22} = a_{21} \cdot b_{12} + a_{22} \cdot b_{22}$$

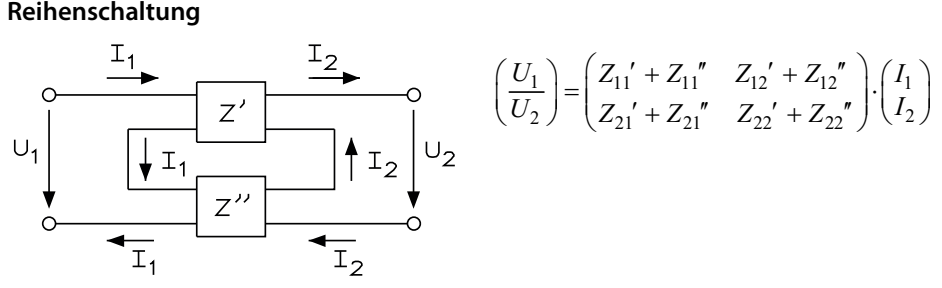
## 7.30 Umrechnung der Vierpolparameter

gegeben gesucht	Y		Z		A		Н	
Y	$Y_{11}$ $Y$	12	$\frac{Z_{22}}{\Delta Z}$	$\frac{-Y_{12}}{\Delta Z}$	$\frac{A_{22}}{A_{12}}$	$\frac{-\Delta A}{A_{12}}$	$\frac{1}{H_{11}}$	$\frac{-H_{12}}{H_{11}}$
	$Y_{21}$ Y	22	$\frac{-Z_{21}}{\Delta Z}$	$\frac{Z_{11}}{\Delta Z}$	$\frac{1}{A_{12}}$	$\frac{-A_{11}}{A_{12}}$	$\frac{H_{21}}{H_{11}}$	$\frac{\Delta H}{H_{11}}$
Z	$\frac{Y_{22}}{\Delta Y}$ $\frac{-}{A}$	<u>Y<sub>22</sub></u> ∆ <i>Y</i>	$Z_{11}$	$Z_{12}$	$\frac{A_{11}}{A_{21}}$	$\frac{-\Delta A}{A_{21}}$	$\frac{\Delta H}{H_{22}}$	$\frac{H_{12}}{H_{22}}$
	$\frac{-Y_{21}}{\Delta Y}$ $\frac{Y}{\Delta Y}$	<u>11</u> XY	$Z_{21}$	$Z_{22}$	$\frac{1}{A_{21}}$	$\frac{-A_{22}}{A_{21}}$	$\frac{-H_{21}}{H_{22}}$	$\frac{1}{H_{22}}$
A	$\frac{-Y_{22}}{Y_{21}}  \frac{-Y_{22}}{Y_{21}}$	<u>-1</u> 21	$\frac{Z_{11}}{Z_{21}}$	$\frac{-\Delta Z}{Z_{21}}$	$A_{11}$	$A_{12}$	$\frac{-\Delta H}{H_{21}}$	$\frac{H_{11}}{H_{21}}$
	$\frac{-\Delta Y}{Y_{21}}$ $\frac{Y}{Y}$	11 21	$\frac{1}{Z_{21}}$	$\frac{-Z_{22}}{Z_{21}}$	$A_{21}$	$A_{22}$	$\frac{-H_{22}}{H_{21}}$	$\frac{1}{H_{21}}$
Н	$\frac{1}{Y_{11}}$	$\frac{Y_{12}}{Y_{11}}$		$\frac{Z_{12}}{Z_{22}}$	$\frac{A_{12}}{A_{22}}$	$\frac{\Delta A}{A_{22}}$	$H_{11}$	$H_{12}$
	$\frac{Y_{21}}{Y_{11}}$ $\frac{\Delta}{Y_{11}}$	<u>Y</u>	$\frac{-Z_{21}}{Z_{12}}$	$\frac{1}{Z_{22}}$	$\frac{1}{A_{22}}$	$\frac{-A_{21}}{A_{22}}$	H <sub>21</sub>	H <sub>22</sub>

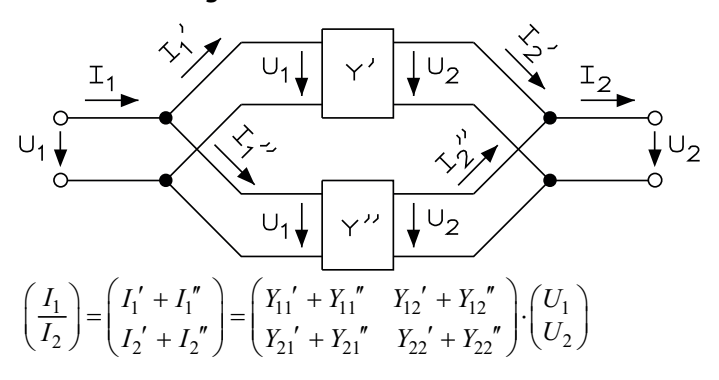
Δ: Determinante einer Matrix: z. B.  $\Delta Z = Z_{11} \cdot Z_{22} - Z_{12} \cdot Z_{21}$ 

#### Zusammenschalten von Vierpolen 7.31

#### Reihenschaltung



#### **Parallelschaltung**

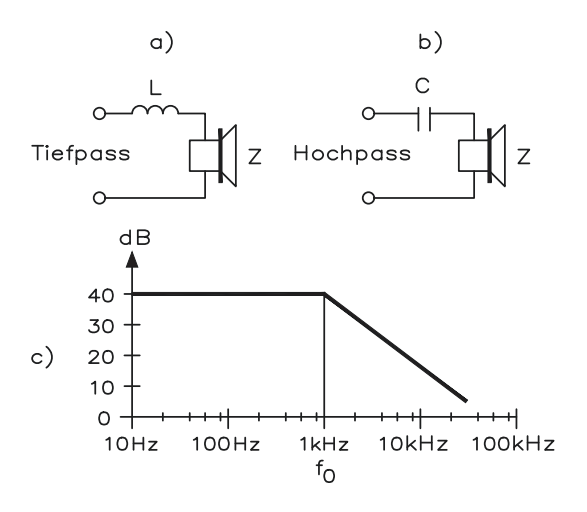


#### Kettenschaltung

## Reihen-Parallelschaltung

## 7.32 Frequenzweichen für Lautsprecher

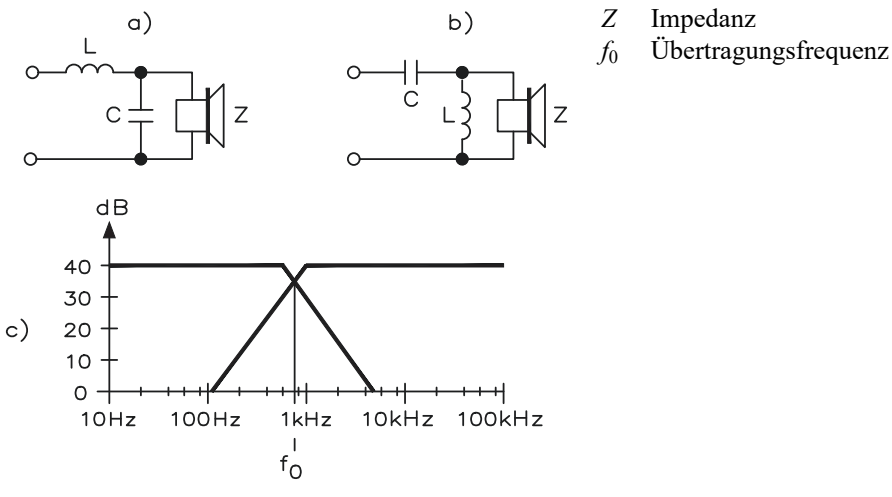
## Frequenzweichen 1. Ordnung (Flankensteilheit 6 dB pro Oktave)



- Z Impedanz
- f<sub>0</sub> Übertragungsfrequenz

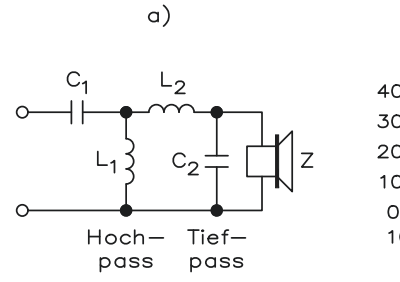
$$L = \frac{Z}{6, 3 \cdot f_0} \qquad C = \frac{1}{6, 3 \cdot f_0 \cdot Z}$$

## Frequenzweichen 2. Ordnung (Flankensteilheit 12 dB pro Oktave)



$$L = \frac{0,225 \cdot Z}{f_0} \qquad C = \frac{0,112}{f_0 \cdot Z}$$

#### Bandpass für Mittelton 2. Ordnung (Flankensteilheit 12 dB pro Oktave)



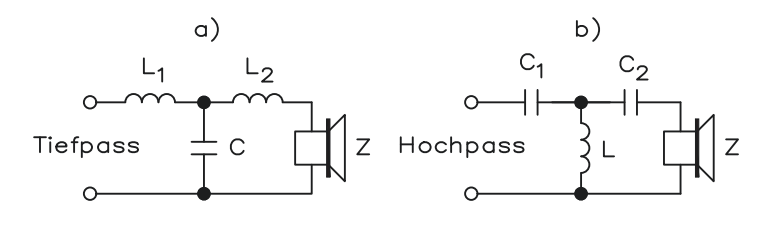
b) dB 100Hz 1kHz 10kHz 100kHz

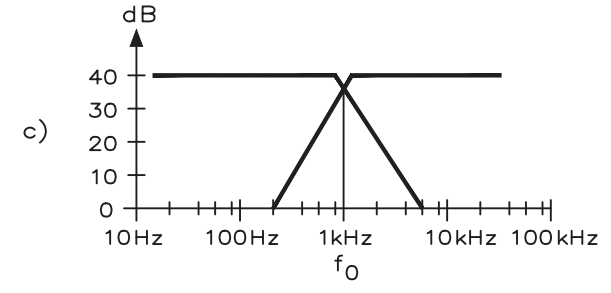
Für Hochpass:  $L_1 \approx \frac{0.225 \cdot Z}{f_u}$   $C_1 \approx \frac{0.112}{f_u \cdot Z}$ 

 $f_u$  untere Grenzfrequenz  $f_o$  obere Grenzfrequenz

Für Tiefpass:  $L_2 \approx \frac{0.225 \cdot Z}{f_0}$   $C_2 \approx \frac{0.112}{f_0 \cdot Z}$ 

## Frequenzweichen 3. Ordnung (Flankensteilheit 18 dB pro Oktave)





Für Hochpass:

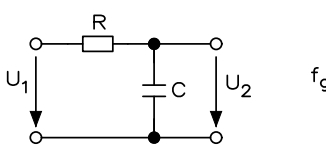
Für Tiefpass:

 $C_{1} \approx \frac{0.21}{f_{o} \cdot Z} \qquad C_{2} \approx \frac{0.32}{f_{o} \cdot Z} \qquad L \approx \frac{0.125 \cdot Z}{f_{o}}$   $L_{1} \approx \frac{0.24 \cdot Z}{f_{o}} \qquad L_{2} \approx \frac{0.125 \cdot Z}{f_{o}} \qquad C \approx \frac{0.32}{f_{o} \cdot Z}$ 

**Filterschaltungen** 

#### 8.1 **RC- und LR-Tiefpass**

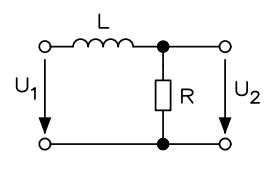
RC-Tiefpass



$$a_{3} = \frac{1}{2\pi \cdot R \cdot C}$$

$$0.8 \\ 0.6 \\ 0.4 \\ 0.2$$

LR-Tiefpass



$$f_g = \frac{R}{2\pi \cdot L}$$

Grenzfrequenz:



Durchlasskurve

Für den **RC-Tiefpass** gilt: Durchlassbereich:  $f < f_g$  $f > f_g$   $f_g \text{ bei } R = X_C$ Sperrbereich:

30°

0,01 0,1

$$f_g = \frac{1}{2 \cdot \pi \cdot R \cdot C}$$

$$\frac{U_2}{U_1} = \frac{X_C}{Z} = \frac{R}{\sqrt{R^2 + X_C^2}} = \frac{1}{\sqrt{2}} = 0,707$$

Grenzfrequenz in Hz Widerstand in  $\Omega$ 

Scheinwiderstand in  $\Omega$ 

Kondensator in F

X<sub>C</sub> kapazitiver Blindwiderstand

132 8 Filterschaltungen

$$U_{2} = \frac{U_{1}}{\sqrt{2}} = 0,707 \cdot U_{1}$$

$$U_{1} = \sqrt{2} \cdot U_{2} = 1,414 \cdot U_{1}$$

$$R \neq X_{C} \ U_{2} = \frac{X_{C}}{Z} = U_{1} \cdot \frac{X_{C}}{\sqrt{R^{2} + X_{C}^{2}}} = \frac{U_{1}}{\omega \cdot C} \cdot \sqrt{R^{2} + \left(\frac{1}{\omega \cdot C}\right)^{2}} \quad \text{for Frequenz der Wechselspannung in Hz}$$

$$U_{1} = U_{2} \cdot \frac{Z}{X_{C}} = \frac{\sqrt{R^{2} + X_{C}^{2}}}{X_{C}} = U_{2} \cdot \omega \cdot C \cdot \sqrt{R^{2} + \left(\frac{1}{\omega C}\right)^{2}} \quad \text{solithat}$$

$$X_{C} = \frac{1}{\omega \cdot C} \quad X_{C} = Z \cdot \frac{U_{2}}{U_{1}} = \frac{Z}{s}$$

$$f = \frac{U_{1}}{U_{2} \cdot 2 \cdot \pi \cdot C} \cdot \sqrt{R^{2} + X_{C}^{2}}$$

$$Z = \sqrt{R^{2} + X_{C}^{2}} = \sqrt{R^{2} + \left(\frac{1}{\omega \cdot C}\right)^{2}} \quad Z = X_{C} \cdot \frac{U_{1}}{U_{2}} = s \cdot X_{C}$$

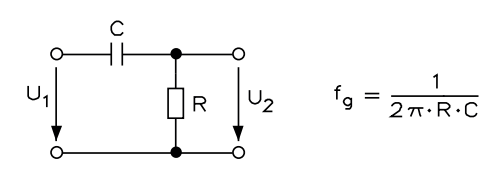
Für den **LR-Tiefpass** gilt: Durchlassbereich:  $f > f_g$ Sperrbereich:  $f < f_g$ Grenzfrequenz:  $f_g$  bei  $R = X_L$ 

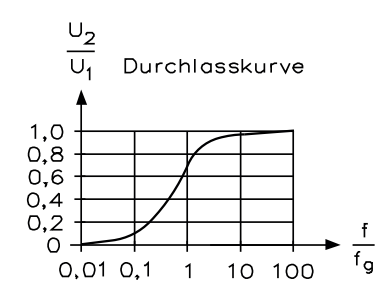
$$\begin{split} f_g &= \frac{R}{2 \cdot \pi \cdot L} \\ \frac{U_2}{U_1} &= \frac{R}{Z} = \frac{R}{\sqrt{R^2 + X_L^2}} = \frac{1}{\sqrt{2}} = 0,707 \\ U_2 &= \frac{U_1}{\sqrt{2}} = 0,707 \cdot U_1 \\ U_1 &= \sqrt{2} \cdot U_2 = 1,414 \cdot U_1 \end{split}$$

$$\begin{split} \pmb{R} \neq \pmb{X_L} & \qquad U_2 = U_1 \cdot \frac{R}{Z} = U_1 \cdot \frac{R}{\sqrt{R^2 + X_L^2}} = \frac{U_1 \cdot R}{\sqrt{R^2 + (\omega \cdot L)^2}} \\ & \qquad U_1 = U_2 \cdot \frac{Z}{X_L} = U_2 \cdot \frac{\sqrt{R^2 + X_L^2}}{X_L} = U_2 \cdot \frac{\sqrt{R^2 + (\omega \cdot L)^2}}{X_L} \\ & \qquad X_L = \omega \cdot L = \sqrt{Z^2 - R^2} \\ & \qquad Z = \sqrt{Z^2 + X_L^2} = \sqrt{R^2 + (\omega \cdot L)^2} \qquad Z = R \cdot \frac{U_1}{U_2} \\ & \qquad R = \sqrt{Z^2 - X_L^2} = \sqrt{Z^2 - (\omega \cdot L)^2} \end{split}$$

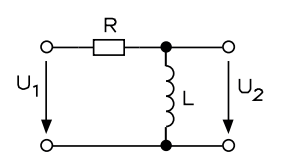
# 8.2 CR- und RL-Hochpass

CR-Hochpass





RL-Hochpass



$$f_g = \frac{R}{2\pi L}$$

Phasenverschiebungs
winkel

90°
60°
30°
0,01 0,1 1 10 100 fg

Für den CR-Hochpass:

Durchlassbereich: Sperrbereich:

Grenzfrequenz:

 $f > f_g$   $f < f_g$  $f_g$  bei  $R = X_C$ 

$$\begin{split} f_g &= \frac{1}{2 \cdot \pi \cdot R \cdot C} \\ \frac{U_2}{U_1} &= \frac{R}{Z} = \frac{R}{\sqrt{R^2 + X_C^2}} = \frac{1}{\sqrt{2}} = 0,707 \\ U_2 &= \frac{U_1}{\sqrt{2}} = 0,707 \cdot U_1 \\ U_1 &= \sqrt{2} \cdot U_2 = 1,414 \cdot U_1 \end{split}$$

$$\begin{split} \pmb{R} \neq \pmb{X}_C & \quad U_2 = U_1 \cdot \frac{R}{Z} = U_1 \cdot \frac{U_1 \cdot R}{\sqrt{(R + X_C)^2}} = \frac{U_1 \cdot R}{\sqrt{R^2 + \left(\frac{1}{\omega \cdot C}\right)^2}} \\ & \quad U_1 = U_2 \cdot \frac{Z}{R} = U_2 \cdot \frac{\sqrt{R^2 + X_C^2}}{R} = \frac{U_2 \cdot \sqrt{R^2 + \left(\frac{1}{\omega \cdot C}\right)^2}}{R} \\ & \quad X_C = \frac{1}{\omega \cdot C} = \sqrt{Z^2 - R^2} \\ & \quad Z = \sqrt{R^2 + X_C^2} = \sqrt{R^2 + \left(\frac{1}{\omega \cdot C}\right)^2} \quad Z = R \cdot \frac{U_1}{U_2} = s \cdot R \end{split}$$

134 8 Filterschaltungen

Für den **RL-Hochpass**: Durchlassbereich:  $f > f_g$ 

Sperrbereich: f < f

Grenzfrequenz:  $f_g$  bei  $R = X_C$ 

$$\begin{split} f_g &= \frac{R}{2 \cdot \pi \cdot L} \\ \frac{U_2}{U_1} &= \frac{X_L}{Z} = \frac{R}{\sqrt{R^2 + X_L^2}} = \frac{1}{\sqrt{2}} = 0,707 \\ U_2 &= \frac{U_1}{\sqrt{2}} = 0,707 \cdot U_1 \\ U_1 &= \sqrt{2} \cdot U_2 = 1,414 \cdot U_1 \end{split}$$

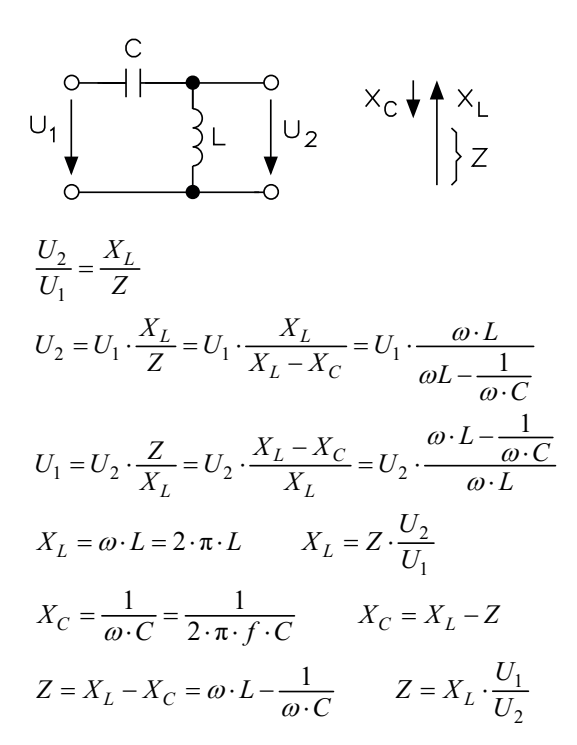
$$\begin{split} \pmb{R} \neq \pmb{X_L} & \qquad U_2 = U_1 \cdot \frac{X_L}{Z} = U_1 \cdot \frac{X_L}{\sqrt{R^2 + X_L^2}} = \frac{U_1 \cdot \omega \cdot L}{\sqrt{R^2 + (\omega \cdot L)^2}} \\ & \qquad U_1 = U_2 \cdot \frac{Z}{X_L} = U_2 \cdot \frac{\sqrt{R^2 + X_L^2}}{X_L} = U_2 \cdot \frac{\sqrt{R^2 + (\omega \cdot L)^2}}{\omega \cdot L} \\ & \qquad Z = \sqrt{R^2 + X_L^2} = \sqrt{(Z^2 + (\omega \cdot L)^2)} & \qquad Z = X_L \cdot \frac{U_1}{U_2} = s \cdot X_L \\ & \qquad R = \sqrt{Z^2 - X_L^2} = \sqrt{R^2 - (\omega \cdot L)^2} \end{split}$$

### 8.3 LC-Glied

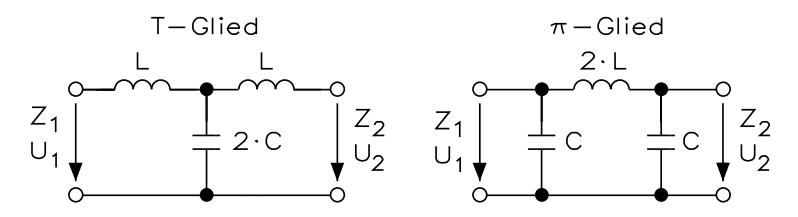
8.5 T- und -Tiefpass 135

$$\begin{split} X_L &= \omega \cdot L = 2 \cdot \pi \cdot f \cdot L \\ f &= \frac{U_1}{U_2 \cdot 2 \cdot \pi \cdot C \cdot Z} \\ Z &= X_L - X_C = \omega \cdot L - \frac{1}{\omega \cdot C} \qquad Z = X_C \cdot \frac{U_1}{U_2} = s \cdot X_C \end{split}$$

### 8.4 CL-Glied



# 8.5 T- und $\pi$ -Tiefpass



Durchlassbereich:  $f < f_g$ Sperrbereich:  $f > f_g$ 

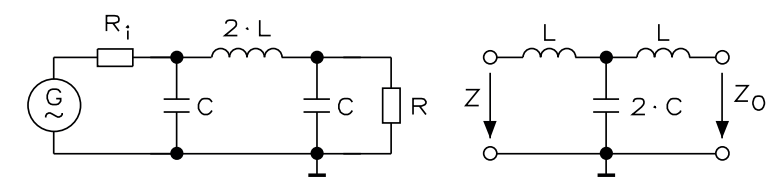
Für die Grenzfrequenz ist eine richtige Anpassung erforderlich:

$$Z_1 = Z_2 = Z = \sqrt{\frac{L}{C}}$$

Die Grenzfrequenz ist die Resonanzfrequenz für L und C:

$$\begin{split} f_g &= \frac{1}{2 \cdot \pi \cdot \sqrt{L \cdot C}} \\ L &= \frac{Z}{2 \cdot \pi \cdot f_g} \qquad C = \frac{1}{2 \cdot \pi \cdot f_g \cdot Z} \end{split}$$

# 8.6 T- und π-Hochpass



Durchlassbereich:  $f > f_g$ Sperrbereich:  $f < f_g$ 

 $Z_1$  Eingangsimpedanz in  $\Omega$  $Z_2$  Ausgangsimpedanz in  $\Omega$ 

Z Abschlusswiderstand in  $\Omega$ 

 $Z_1$  Eingangsimpedanz in  $\Omega$ 

 $Z_2$  Ausgangsimpedanz in  $\Omega$  *L* Induktivität in H

Grenzfrequenz in Hz

Kapazität in F

C

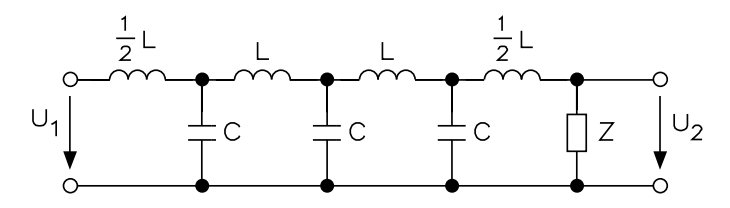
Für die Grenzfrequenz ist eine richtige Anpassung erforderlich:

$$Z_1=Z_2=Z=\sqrt{\frac{L}{C}}$$

Die Grenzfrequenz ist die Resonanzfrequenz für L und C:

$$\begin{split} f_g &= \frac{1}{2 \cdot \pi \cdot \sqrt{L \cdot C}} \\ L &= \frac{Z}{2 \cdot \pi \cdot f_g} \qquad C = \frac{1}{2 \cdot \pi \cdot f_g \cdot Z} \end{split}$$

# 8.7 LC-Verzögerungsleitung



$$Z = \sqrt{\frac{L}{C}}$$

Für verlustfreie C und L gilt:

$$U_2 = U_1$$

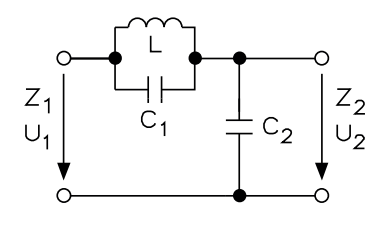
$$\tau = \sqrt{L \cdot C}$$

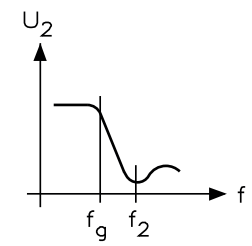
$$\tau = \frac{1}{2 \cdot \pi \cdot f_g}$$

- Z Abschlusswiderstand
- L Induktivität in H
- C Kapazität in F
- au Laufzeit für ein Halbglied in s
- $f_g$  Grenzfrequenz in Hz

# 8.8 Tiefpass-Doppelglied

Tiefpass-Doppelsieb:





Die steile Flanke des Doppelgliedes erhält man durch einen Längssperrkreis, der auf  $f_2$  abgestimmt ist. Kondensator und Induktivität müssen auf die Resonanz bei der Grenzfrequenz  $f_g$  abgestimmt sein. Zur Berechnung wird das Verhältnis  $f_g: f_2$  gewählt und dieses liegt zwischen 0,95 und 0,8. Ist R der bei  $Z_2$  angeschlossene Abschlusswiderstand, so wird mit dem Nennwiderstand der Schaltung von  $Z_2 = 1,25 \cdot R$  gerechnet.

$$Z_2 = 1,25 \cdot R$$

$$m = \sqrt{1 - \left(\frac{f_g}{f_2}\right)^2}$$

$$L = m \cdot \frac{Z}{2 \cdot \pi \cdot f_{\alpha}}$$

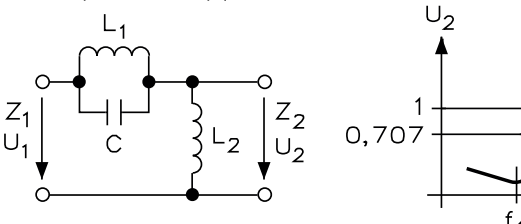
- $f_2$  Sperrkreisfrequenz in Hz
- L Sperrkreisinduktivität in H
- C<sub>1</sub> Sperrkreiskapazität in F
- *m* Filter-Kennwert
- C<sub>2</sub> Querkapazität in F
- Z Nennwiderstand der Schaltung in  $\Omega$

138 8 Filterschaltungen

$$\begin{split} C_1 &= \frac{1 - m^2}{m} \cdot \frac{1}{2 \cdot \pi \cdot f_g \cdot Z} \qquad C_2 = m \cdot \frac{1}{2 \cdot \pi \cdot f_g \cdot Z} \\ f_g &= \frac{m \cdot Z}{2 \cdot \pi \cdot L} \end{split}$$

# 8.9 Hochpass-Doppelglied

Hochpass-Doppelsieb:



Die steile Flanke des Doppelgliedes erhält man durch einen Längssperrkreis, der auf  $f_2$  abgestimmt ist. Kondensator und Induktivität müssen auf die Resonanz bei der Grenzfrequenz  $f_g$  abgestimmt sein. Zur Berechnung wird das Verhältnis  $f_g: f_2$  gewählt und dieses liegt zwischen 0,95 und 0,8. Ist R der bei  $Z_2$  angeschlossene Abschlusswiderstand, so wird mit dem Nennwiderstand der Schaltung von  $Z_2 = 1,25 \cdot R$  gerechnet.

R

$$Z_{2} = 1,25 \cdot R$$

$$m = \sqrt{1 - \left(\frac{f_{1}}{f_{g}}\right)^{2}}$$

$$C = \frac{1}{m} \cdot \frac{1}{2 \cdot \pi \cdot f_{g} \cdot Z}$$

$$L_{1} = \frac{m}{1 - m^{2}} \cdot \frac{Z}{2 \cdot \pi \cdot f_{g}}$$

$$L_{2} = \frac{1}{m} \cdot \frac{Z}{2 \cdot \pi \cdot f_{g}}$$

$$f_{g} = \frac{1}{2 \cdot \pi \cdot m \cdot Z}$$

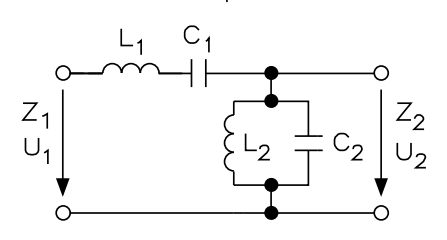
 $f_1$  Sperrkreisfrequenz in Hz L Sperrkreisinduktivität in H Sperrkreiskapazität in F m Filterkennwert  $Z_2$  Nennwiderstand der Schaltung in  $\Omega$ 

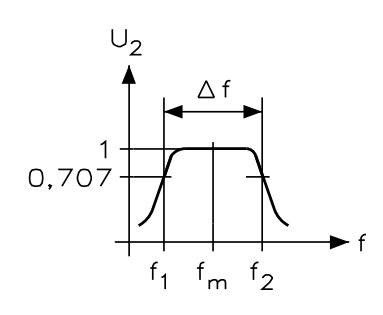
Abschlusswiderstand in  $\Omega$ 

8.10 LC-Bandpass 139

# 8.10 LC-Bandpass

Bandpass:





$$\begin{split} f_{m} &= \frac{1}{2 \cdot \pi \cdot \sqrt{L_{1} \cdot C_{1}}} = \frac{1}{2 \cdot \pi \cdot \sqrt{L_{2} \cdot C_{2}}} \\ f_{m} &= \sqrt{f_{1} \cdot f_{2}} \\ \Delta f &= f_{2} - f_{1} \\ f_{1} &= \frac{\sqrt{\frac{1}{4 \cdot C_{2} \cdot L_{1}} + \frac{1}{C_{1} \cdot L_{1}} - \frac{1}{2 \cdot \sqrt{C_{2} \cdot L_{1}}}}}{2 \cdot \pi} \\ f_{2} &= \frac{\sqrt{\frac{1}{4 \cdot C_{2} \cdot L_{1}} + \frac{1}{C_{1} \cdot L_{1}} + \frac{1}{2 \cdot \sqrt{C_{2} \cdot L_{1}}}}}{2 \cdot \pi} \\ L_{1} &= \frac{Z}{2 \cdot \pi \cdot \Delta f} \qquad C_{1} &= \frac{\Delta f}{2 \cdot \pi \cdot Z \cdot f_{1} \cdot f_{2}} \end{split}$$

 $\Delta f$  Bandbreite in Hz  $f_m$  Mittenfrequenz in Hz  $L_1, C_1$  Leitkreis als Längswiderstand  $L_2, C_2$  Sperrkreis als Längswiderstand  $f_1$  untere Grenzfrequenz in Hz

obere Grenzfrequenz in Hz

Für  $Z_1 = Z_2 = Z$  gilt:

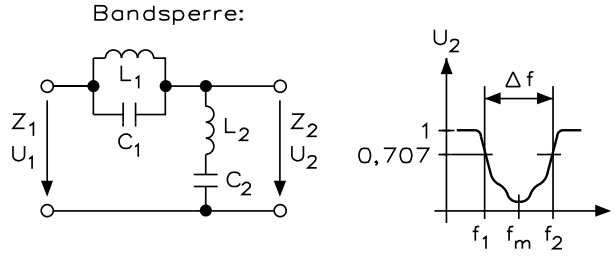
$$L_{1} = \frac{b \cdot Z}{2 \cdot \pi \cdot f_{1} \cdot f_{2}} \qquad C_{1} = \frac{1}{2 \cdot \pi \cdot Z \cdot \Delta f}$$

$$L_{2} = \frac{Z}{2 \cdot \pi \cdot \Delta f} \qquad C_{2} = \frac{\Delta f}{2 \cdot \pi \cdot Z \cdot f_{1} \cdot f_{2}}$$

 $L_2 = \frac{Z \cdot \Delta f}{2 \cdot \pi \cdot f_1 \cdot f_2} \qquad C_2 = \frac{1}{2 \cdot \pi \cdot Z \cdot \Delta f}$ 

Durchlassbereich für alle Frequenzen zwischen  $f_1$  und  $f_2$ . Gesperrt wird der Bereich unterhalb von  $f_1$  und oberhalb  $f_2$ .

# 8.11 LC-Bandsperre



$$f_m = \frac{1}{2 \cdot \pi \cdot \sqrt{L_1 \cdot C_1}} = \frac{1}{2 \cdot \pi \cdot \sqrt{L_2 \cdot C_2}}$$

$$f_m = \sqrt{f_1 \cdot f_2}$$

$$\Delta f = f_2 - f_1$$

Für  $Z_1 = Z_2 = Z$  gilt:

$$\begin{split} L_1 &= \frac{b \cdot Z}{2 \cdot \pi \cdot f_1 \cdot f_2} \qquad C_1 = \frac{1}{2 \cdot \pi \cdot Z \cdot \Delta f} \\ L_2 &= \frac{Z}{2 \cdot \pi \cdot \Delta f} \qquad C_2 = \frac{\Delta f}{2 \cdot \pi \cdot Z \cdot f_1 \cdot f_2} \end{split}$$

Durchlassbereich für alle Frequenzen zwischen  $f_1$  und  $f_2$ . Gesperrt wird der Bereich unterhalb von  $f_1$  und oberhalb  $f_2$ .

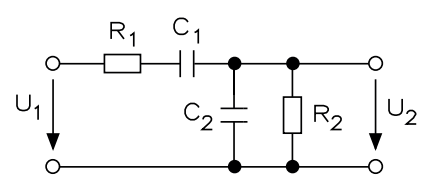
$$\Delta f$$
 Bandbreite in Hz  $f_m$  Mittenfrequenz in Hz

$$L_1$$
,  $C_1$  Leitkreis als Längswiderstand

L<sub>2</sub>, 
$$C_2$$
 Sperrkreis als Längswiderstand  
 $f_1$  untere Grenzfrequenz  
in Hz

 $f_2$  obere Grenzfrequenz in Hz

# 8.12 RC-Bandpass (Wienbrücke)



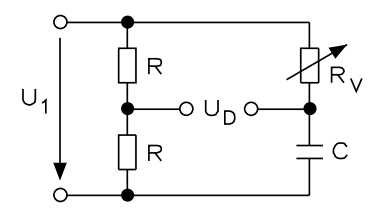
 $U_1$  Eingangsspannung  $U_2$  Ausgangsspannung

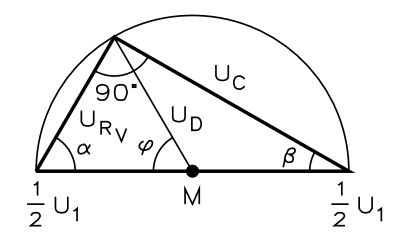
$$f_r = \frac{1}{2 \cdot \pi \sqrt{R_1 \cdot C_1 \cdot R_2 \cdot C_2}}$$

$$\frac{U_2}{U_1} = \frac{1}{1 + \frac{R_1}{R_2} + \frac{C_2}{C_1}}, \text{ wenn } R_1 = R_2 = R \text{ und } C_1 = C_2 = C \text{ ist, dann gilt } f_r = \frac{1}{2 \cdot \pi \cdot R \cdot C}.$$

Die Ausgangsspannung hat im Resonanzfall  $\frac{U_2}{U_1} = \frac{1}{3}$ .

### 8.13 Phasenschieber





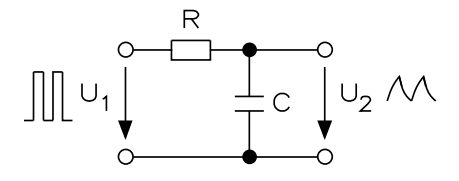
$$R_{v} = \sqrt{R_{\min} \cdot R_{\max}} = X_{C}$$

Der einstellbare Widerstand  $R_{\nu}$  ist so zu wählen, dass das  $R_{\nu}$  einstellbarer Widerstand geometrische Mittel von Anfangswiderstand  $R_{\min}$  und Endwiderstand  $R_{\max}$  gleich dem kapazitiven Widerstand von C ist.

*r* Radius des Thaleskreises:  $U_2 = 0.5 \cdot U_1$ 

 $U_D$  Spannungsdifferenz

# 8.14 Integrierglied



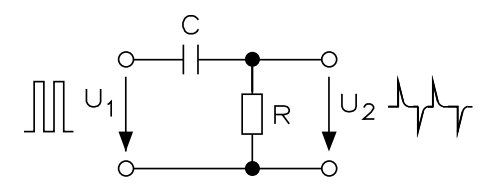
$$\tau >> T$$

$$U_2 = \frac{1}{R \cdot C} \int U \cdot dt$$

$$\tau = R \cdot C$$

$$U_2 = \frac{1}{\tau} \int U \cdot dt$$

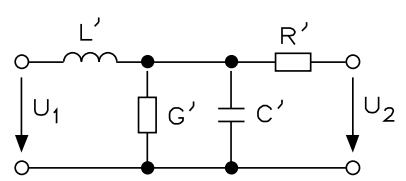
# 8.15 Differenzierglied



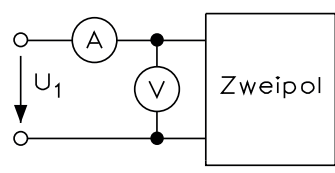
$$\tau << T$$
 
$$U_2 = R \cdot C \cdot \frac{dU}{dt} \qquad \tau = R \cdot C$$

 $\tau$  Zeitkonstante in s

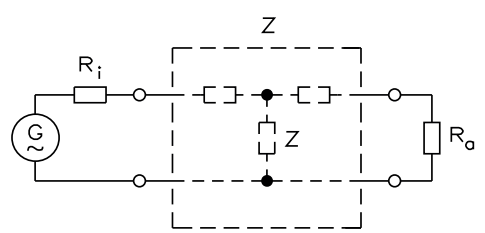
#### Wellenwiderstand für Leitungen 8.16



- Für verlustfreie Leitungen:  $Z = \sqrt{\frac{L'}{C'}}$
- Für verlustbehaftete Leitungen:  $Z = \sqrt{\frac{R' + j \cdot \omega \cdot L'}{R' + j \cdot \omega \cdot C'}}$
- Wellenwiderstand
- Längsinduktivität pro km
- C' Querkapazität pro kmR' Längswiderstand pro km
- G' Querleitwert pro km



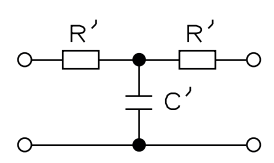
$$Z = \frac{U}{I}$$
$$Z = \sqrt{Z_L \cdot Z_k}$$



- Wellenwiderstand bei offenem Ausgang
- $Z_k$ Wellenwiderstand bei kurzgeschlossenem Ausgang
- Innenwiderstand der Spannungsquelle
- Belastungswiderstand der Leitung

Anpassung und maximale Leistung  $R_i = Z = R_a$ 

#### Dämpfungskonstante für Kabel 8.17



Für niedrige Frequenzen:

$$Z = \sqrt{\frac{R'}{\omega \cdot C'}}$$

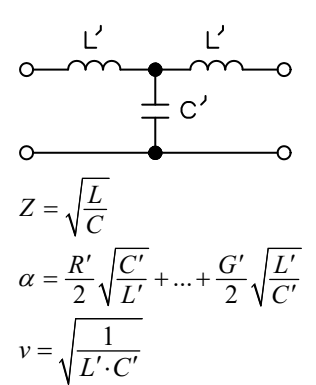
$$\alpha = \sqrt{\frac{\omega \cdot R' \cdot C'}{2}}$$

$$v = \sqrt{\frac{2 \cdot \omega}{2}}$$

- zu übertragende Kreisfrequenz  $\omega$
- Dämpfungskonstante in dB/km  $\alpha$
- Ausbreitungsgeschwindigkeit

8.20 Reflexionsfaktor 143

# 8.18 Ausbreitungsgeschwindigkeit für Freileitungen



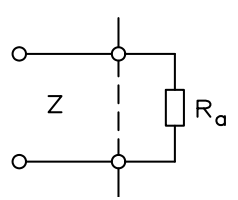
- Z Impedanz
- ω zu übertragende Kreisfrequenz
- α Dämpfungskonstante in dB/km
- v Ausbreitungsgeschwindigkeit

# 8.19 Ausbreitungsgeschwindigkeit für hochfrequente Leitungen und Kabel

$$Z = \sqrt{\frac{L}{C}}$$

- L Leitungsinduktivität
- C Leitungsinduktivität

### 8.20 Reflexionsfaktor



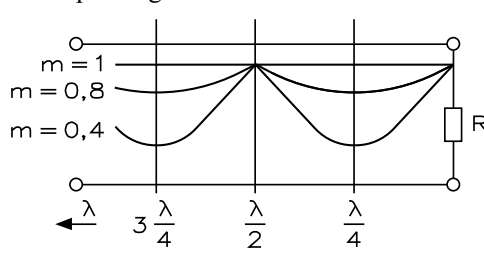
$$r = \frac{R_a - Z}{R_a + Z}$$

Der Reflexionsfaktor *r* gibt das Verhältnis von rücklaufender zu hinlaufender Welle an.

#### Rückflussdämpfung 8.21

$$a_r = 20 \cdot \lg \frac{1}{r}$$
 in dB

Anpassungsfaktor:



- Welligkeitsfaktor:

Die Rückflussdämpfung  $a_r$  ist ein Maß für die Stärke der Reflexionen an Leistungsschaltpunkten.

$$m = \frac{U_{\min}}{U_{\max}} = \frac{I_{\min}}{I_{\max}}$$

$$m = \frac{1 - r}{1 + r}$$

Der Anpassungsfaktor m kennzeichnet das Verhältnis von Spannungs- oder Stromminimum zum Spannungs- oder Strommaximum.

Radius der Leitung

$$s = \frac{1}{m}$$

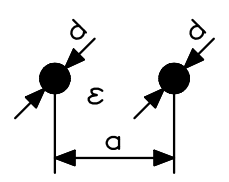
$$s = \frac{1+r}{1-r}$$

Verlauf von Spannung oder Strom bei verschiedenen Längen in m

 $\varepsilon$  Dielektrizitätskonstante

#### Wellenwiderstand im Aufbau 8.22

 Symmetrische Doppelleitung (Flachbandkabel):



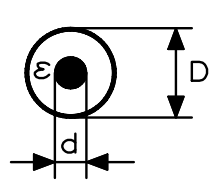
$$Z \approx \frac{120}{\sqrt{\varepsilon}} \cdot \ln \frac{2 \cdot a}{d}$$
 Z Wellenwiderstand  $\varepsilon$  Dielektrizitätskons

$$Z \approx \frac{276}{\sqrt{\varepsilon}} \cdot \lg \frac{2 \cdot a}{d}$$

$$C = \frac{\pi \cdot \varepsilon_0 \cdot \varepsilon_r \cdot l}{\ln \frac{a}{d}}$$

$$L = 0.4 \cdot 10^{-6} \cdot l \cdot \ln \frac{2 \cdot a}{d}$$

Koaxialkabel:



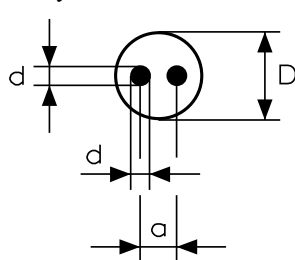
$$L = 0.4 \cdot 10^{-6} \cdot l \cdot \ln \frac{2 \cdot a}{d}$$

$$Z \approx \frac{60}{\sqrt{\varepsilon}} \cdot \ln \frac{D}{d}$$

$$Z \approx \frac{138}{\sqrt{\varepsilon}} \cdot \lg \frac{D}{d}$$

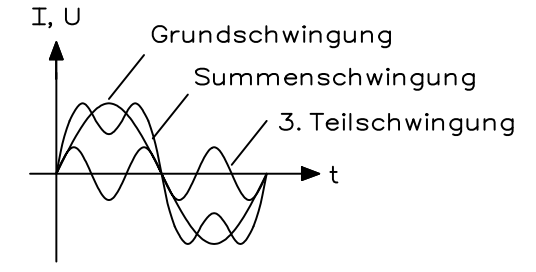
8.24 Klirrdämpfung 145

Symmetrisches Kabel:



$$Z \approx \frac{120}{\sqrt{\varepsilon}} \cdot \ln \left\{ \frac{2a[1 - (a/D)^2]}{d[1 + (a/D)^2]} \right\}$$
$$Z \approx \frac{276}{\sqrt{\varepsilon}} \cdot \lg \left\{ \frac{2a[1 - (a/D)^2]}{d[1 + (a/D)^2]} \right\}$$

### 8.23 Klirrfaktor



$$\begin{split} k &= \sqrt{\frac{U_{2f}^2 + U_{3f}^2 + \dots}{U_{1f}^2 + U_{2f}^2 + U_{3f}^2 + \dots}}\\ k &= \sqrt{\frac{I_{2f}^2 + I_{3f}^2 + \dots}{I_{1f}^2 + I_{2f}^2 + I_{3f}^2 + \dots}} \end{split}$$

k Klirrfaktor  $U_{lf}$  Spannung der Grundfrequenz

 $U_{2f}$  Spannung der 1. Oberschwingung oder

2. Harmonischen

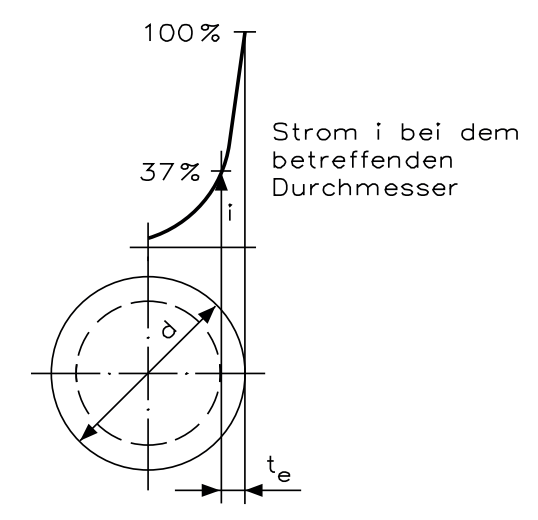
 $U_{3f}$  Spannung der 3. Teilschwingung

# 8.24 Klirrdämpfung

$$a_k = 20 \lg \frac{1}{k}$$
 in dB

 $a_k$  Klirrdämpfung

# 8.25 Skineffekt, Hauteffekt



$$\delta = \sqrt{\frac{2}{2 \cdot \pi \cdot f \cdot \mu_r \cdot \gamma}}$$

$$R_{Hf} = n \cdot R$$

bei 
$$f > 10$$
 MHz gilt:  $n = k \cdot d \cdot \sqrt{f}$ 

$$k = \frac{\sqrt{\gamma \cdot \mu_r}}{2} = \sqrt{\frac{\mu_r}{4 \cdot \rho}}$$

$$t_e = \frac{503}{\sqrt{\mu_r \cdot \gamma \cdot f}}$$

δ Eindringtiefe in μm (Strom auf 37 % gefallen), wenn 1/e des Werts an der Oberfläche abgesunken ist.

 $\mu_r$  relative Permeabilität

 $\gamma$  Leitfähigkeit in m/ $(\Omega \cdot mm^2)$ 

f Frequenz

v Vervielfachungsfaktor

 $\rho$  spezifischer Widerstand in  $(\Omega \cdot mm^2)/m$ 

k Materialkonstante (Kupfer  $k \approx 3,75$ )

d Drahtdurchmesser in mm

t<sub>e</sub> Eindringtiefe in μm

# 8.26 Induktive Erwärmung

$$\delta = \frac{1}{2 \cdot \pi} \sqrt{\frac{10^7}{f \cdot \mu_r \cdot \gamma}} = \frac{50}{\sqrt{f \cdot \mu_r \cdot \gamma}}$$

$$f_{\min} = 16 \cdot 10^6 \frac{1}{d^2 \cdot \mu_r \cdot \gamma}$$

δ Eindringtiefe in mm (Strom auf 37 % verringert)

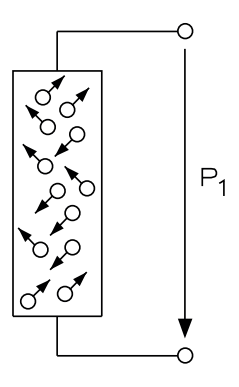
d Durchmesser des Arbeitsstückes in mm

 $\mu_r$  relative Permeabilität

 $\gamma$  Leitfähigkeit

8.27 Rauschen 147

# 8.27 Rauschen

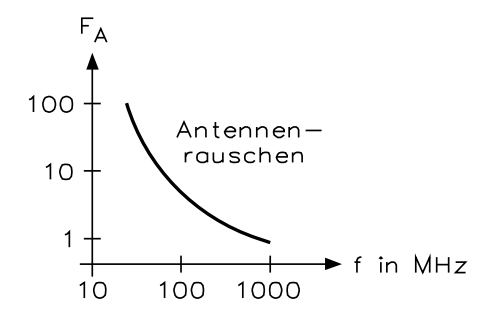


$$P_r = 4 \cdot k \cdot T \cdot \Delta f$$

$$k = 1,38 \cdot 10^{-23} \frac{\text{Ws}}{\text{K}}$$

bei 20 °C:  $P_r = 1, 6.10^{-20} \text{ W} \cdot \Delta f$ 

$$k \cdot T_0 = 4 \cdot 10^{-21} \frac{\text{W}}{\text{Hz}}$$



$$\begin{split} F &= 1 + F_z \\ U_R &= \sqrt{F \cdot k \cdot T_0 \cdot R \cdot \Delta f} \ F_A = F + \frac{T_A - T_0}{T_0} \end{split}$$

P<sub>r</sub> Rauschleistung

k Boltzmann-Konstante

T Temperatur in K (Kelvin)

 $\Delta f$  Bandbreite

 $k \cdot T_0$  Bezugsrauschleistung

F Rauschzahl

F<sub>z</sub> zusätzliches Empfän-

gerrauschen

F<sub>A</sub> effektive Empfängerrauschzahl

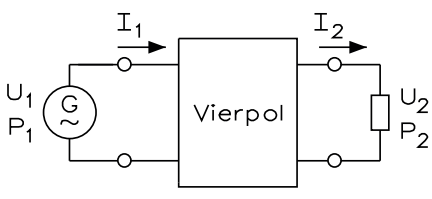
 $T_A$  Antennenrauschtemperatur

 $T_0$  300 Kelvin

Dämpfung, Verstärkung, Pegel

# 9

# 9.1 Dämpfungsfaktor



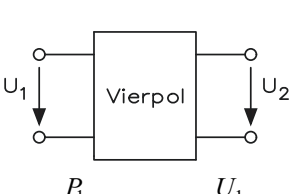
$$D_P = \frac{P_1}{P_2}$$
  $D_U = \frac{U_1}{U_2}$   $D_I = \frac{I_1}{I_2}$ 

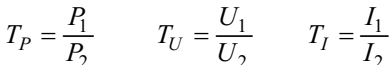
D<sub>P</sub> Leistungsdämpfungsfaktor

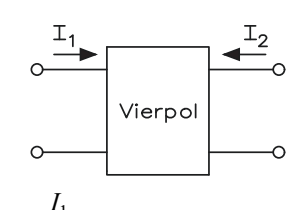
 $D_U$  Spannungsdämpfungsfaktor

 $D_{I}$  Stromdämpfungsfaktor

# 9.2 Übertragungsfaktor







T<sub>P</sub> Leistungsübertragungsfaktor

 $T_U$  Spannungsübertragungsfaktor

 $T_I$  Stromübertragungsfaktor

# 9.3 Dämpfungsmaß in Bel

$$a_U = \lg \frac{U_1}{U_2}$$

 $a_U$  Dämpfungsmaß in Bel (Bell) lg Zehnerlogarithmus

# 9.4 Dämpfungsmaß in dB

$$a_P = 10 \cdot \lg \frac{P_1}{P_2} \qquad a_U = 20 \cdot \lg \frac{U_1}{U_2} \quad a_I = 20 \cdot \lg \frac{I_1}{I_2} \quad a \quad \text{Dämpfungsmaß in dB}$$

Spannungs- oder Stromverhältnisse

 $20 \text{ dB} \qquad \triangleq 1:10$   $40 \text{ dB} \qquad \triangleq 1:100$   $60 \text{ dB} \qquad \triangleq 1:1000$   $80 \text{ dB} \qquad \triangleq 1:10000$   $100 \text{ dB} \qquad \triangleq 1:100000$   $120 \text{ dB} \qquad \triangleq 1:100000$   $10 \text{ dB} \qquad \triangleq 1 \text{ Bell}$ 

# 9.5 Übertragungsmaß in dB

$$-a_P = v_P = 10 \cdot \lg \frac{P_2}{P_1} \qquad -a_U = v_U = 20 \cdot \lg \frac{U_2}{U_1} \qquad a_{\rm I} = v_{\rm I} = 20 \cdot \lg \frac{I_2}{I_1}$$

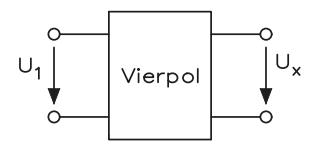
a Verstärkungsmaß in dB

# 9.6 Dämpfungsmaß in Np

$$a_U = \ln \frac{U_1}{U_2}$$

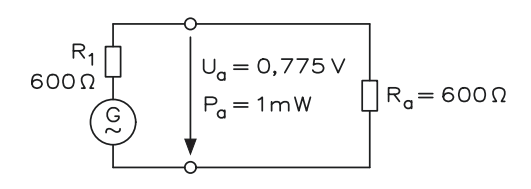
 $a_U$  Dämpfungsmaß in Np (Neper) ln natürlicher Logarithmus

#### **Relativer Pegel** 9.7



$$L_{\rm rel} = 20 \cdot \lg \frac{U_x}{\mu V}$$
  $L_{\rm rel}$  relativer Pegel in dB $\mu V$ 

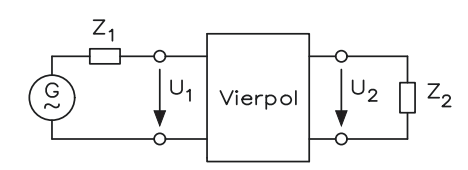
#### 9.8 **Absoluter Pegel in dB**



absoluter Leistungspegel  $L_{Pabs}$ in dBm absoluter Spannungspegel  $L_{Uabs}$ in dBu absoluter Strompegel  $L_{Iabs}$ in dBi

$$\begin{split} L_{Pabs} &= 10 \cdot \lg \frac{P_x}{1 \text{ mW}} \\ L_{Uabs} &= 20 \cdot \lg \frac{U_x}{775 \text{ mV}} \\ L_{Iabs} &= 20 \cdot \lg \frac{I_x}{1,29 \text{ mA}} \end{split}$$

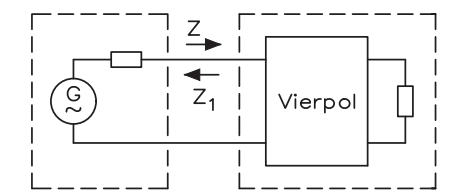
#### Betriebsdämpfung 9.9



$$a_B = 20 \cdot \lg \frac{U_1}{U_2} + 10 \cdot \lg \frac{Z_2}{Z_1} \text{ in dB}$$

Der Vierpol kann eine Leitung oder eine komplexe Schaltung sein.

# 9.10 Rückfluss- oder Echodämpfung



$$a_R = 20 \cdot \lg \frac{Z_1 + Z}{Z_1 - Z} = 20 \cdot \lg \frac{1}{r}$$
 in dB

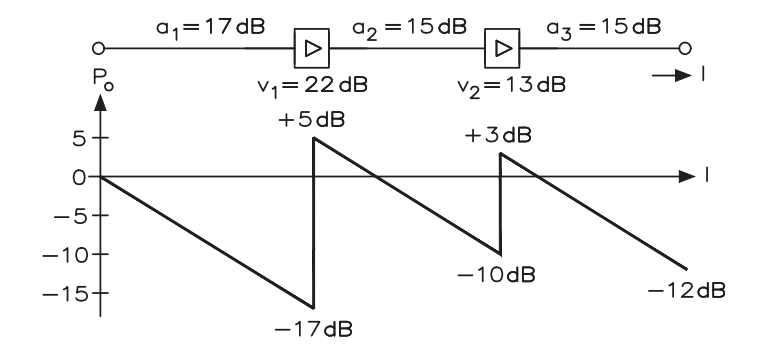
Die Rückflussdämpfung  $a_R$  ist ein Maß für die Stärke der Reflexion an den Leitungsschaltpunkten.

# 9.11 Nebensprechdämpfung

$$\begin{split} a_N &= 10 \cdot \lg \frac{P_1}{P_2} \\ a_N &= 20 \cdot \lg \frac{U_1}{U_2} = 10 \cdot \lg \frac{Z_2}{Z_1} \text{ in dB} \end{split}$$

Die Nebensprechdämpfung  $a_N$  ist das Verhältnis der Leistung  $P_1$  zur Leistung  $P_2$ , die von Leitung 1 auf Leitung 2 eingekoppelt wird.

# 9.12 Gesamtdämpfungsmaß einer Übertragungsstrecke



$$\alpha = \frac{a}{l}$$

$$\alpha = a_1 + a_2 + a_3 + \dots$$

$$v = v_1 + v_2 + v_3 + \dots$$

$$\alpha_g = L_1 - L_2$$

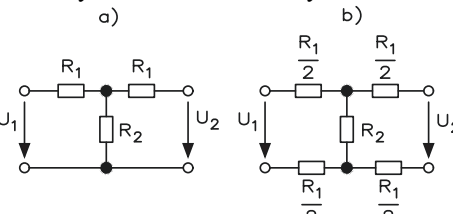
- a Dämpfungsmaß in dB
- l Leitungslänge in km
- $\alpha$  Dämpfungskennwerte in dB/km
- v Verstärkung in dB
- $L_1$  Pegel am Punkt 1
- $L_2$  Pegel am Punkt 2

# 9.13 Dämpfungsglieder

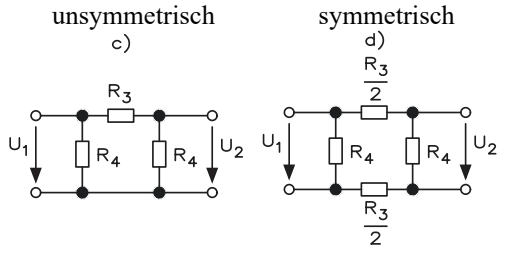
#### T-Glieder

symmetrisch

unsymmetrisch



 $\pi$ -Glieder



$$Z_1 = Z_2 = Z$$

$$d = \frac{U_1}{U_2}$$

$$R_1 = Z \cdot \frac{d-1}{d+1}$$

$$R_2 = Z \cdot \frac{2 \cdot d}{d^2 - 1}$$

$$R_3 = Z \cdot \frac{d^2 - 1}{2 \cdot d}$$

$$R_4 = Z \cdot \frac{d+1}{d-1}$$

Z<sub>1</sub> Eingangswiderstand

Z<sub>2</sub> Ausgangswiderstand

Z Wellenwiderstand

Dämpfungsfaktor

 $U_1$  Eingangsspannung

U<sub>2</sub> Ausgangsspannung

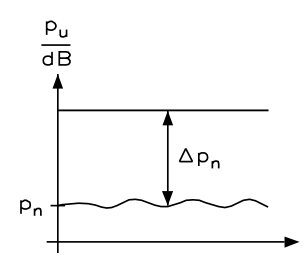
R<sub>1</sub> Längswiderstand T-Glieder

R<sub>2</sub> Querwiderstand T-Glieder

 $R_3$  Längswiderstand  $\pi$ -Glieder

 $R_4$  Querwiderstand  $\pi$ -Glieder

# 9.14 Störpegelabstand



$$\Delta p_n = p_u - p_n$$

d

 $\Delta p_n$  Störpegelabstand  $p_u$  Übertragungspegel  $p_n$  Störpegel

# 9.15 Nebensprechdämpfung

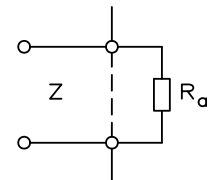
$$a_N = 10 \lg \frac{P_1}{P_2}$$

$$a_N = 20 \lg \frac{U_1}{U_2} + 10 \lg \frac{Z_2}{Z_1} \quad \text{in dB}$$

#### 154

#### Reflexionsfaktor, Anpassungsfaktor, Welligkeitsfaktor 9.16

#### Reflexionsfaktor:



### Rückflussdämpfung:

$$r = \frac{R_a - Z}{R_a + Z}$$

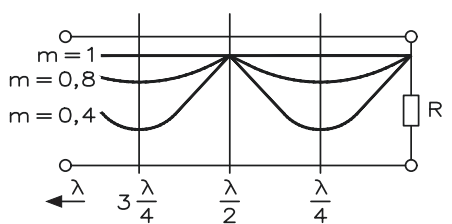
Der Reflexionsfaktor r gibt das Verhältnis von rücklaufender zu hinlaufender Welle an.

Radius der Leitung

$$a_r = 20 \cdot \lg \frac{1}{r}$$
 in dB

Die Rückflussdämpfung ist ein Maß für die Stärke der Reflexionen an Leistungsschaltpunkten.

### Anpassungsfaktor:



$$m = \frac{U_{\min}}{U_{\max}} = \frac{I_{\min}}{I_{\max}}$$

$$m = \frac{1-r}{1+r}$$

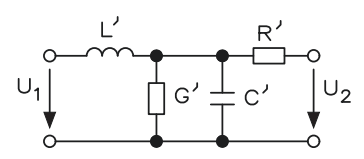
Der Anpassungsfaktor kennzeichnet das Verhältnis von Spannungs- oder Stromminimum zum Spannungs- oder Strommaximum.

Radius der Leitung

$$s = \frac{1}{m} \qquad \qquad s = \frac{1+r}{1-r}$$

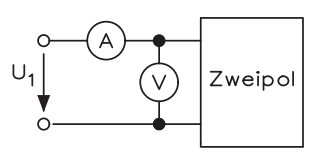
Verlauf von Spannung oder Strom bei verschiedenen Längen in m

#### 9.17 Wellenwiderstand, Dämpfungskonstante, Ausbreitungsgeschwindigkeit



- Für verlustfreie Leitungen:
- $Z = \sqrt{\frac{L'}{C'}}$
- Für verlustbehaftete Leitungen:  $Z = \sqrt{\frac{R' + j \cdot \omega \cdot L'}{R' + i \cdot \omega \cdot C'}}$

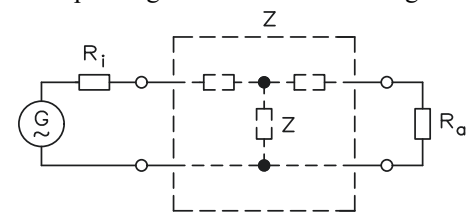
- Wellenwiderstand Z
- Längsinduktivität pro km
- Querkapazität pro km
- R'Längswiderstand pro km
- Querleitwert pro km



$$Z = \frac{U}{I}$$

$$Z = \sqrt{Z_L \cdot Z_k}$$

Anpassung und maximale Leistung



$$R_i = Z = R_a$$

- Z<sub>L</sub> Wellenwiderstand bei offenem Ausgang
- Z<sub>k</sub> Wellenwiderstand bei kurzgeschlossenem Ausgang
- R<sub>i</sub> Innenwiderstand der Spannungsquelle
- R<sub>a</sub> Belastungswiderstand der Leitung

# 9.18 Wellenwiderstand, Dämpfungskonstante, Ausbreitungsgeschwindigkeit für Kabel

- Für niedrige Frequenzen:

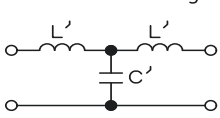
$$Z = \sqrt{\frac{R'}{\omega \cdot C'}}$$

$$\alpha = \sqrt{\frac{\omega \cdot R' \cdot C'}{2}}$$

$$v = \sqrt{\frac{2 \cdot \omega}{R' \cdot C'}}$$

- $\omega$  zu übertragende Kreisfrequenz
- $\alpha$  Dämpfungskonstante in dB/km
- v Ausbreitungsgeschwindigkeit

Für Freileitungen:



$$Z = \sqrt{\frac{L}{C}}$$

$$\alpha = \frac{R'}{2} \sqrt{\frac{C'}{L'}} + \frac{G'}{2} \sqrt{\frac{L'}{C'}}$$

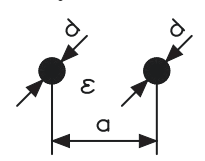
$$v = \sqrt{\frac{1}{L' \cdot C'}}$$

$$Z = \sqrt{\frac{L}{C}}$$

- σ zu übertragende Kreisfrequenz
- α Dämpfungskonstante in dB/km
- v Ausbreitungsgeschwindigkeit

# 9.19 Wellenwiderstand im Aufbau

### Symmetrische Doppelleitung (Flachbandkabel):



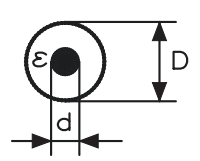
$$Z \approx \frac{120}{\sqrt{\varepsilon_r}} \cdot \ln \frac{2 \cdot a}{d}$$
  $Z$  Wellenwiderstand  $\varepsilon_r$  Dielektrizitätskonstante

$$Z \approx \frac{276}{\sqrt{\varepsilon_r}} \cdot \lg \frac{2 \cdot a}{d}$$

$$C = \frac{\pi \cdot \varepsilon_0 \cdot \varepsilon_r \cdot l}{\ln \frac{a}{d}}$$

$$L = 0, 4 \cdot 10^{-6} \cdot l \cdot \ln \frac{2 \cdot a}{d}$$

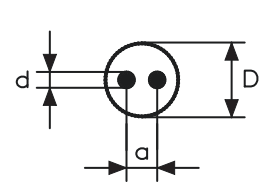
### Koaxialkabel:



$$Z \approx \frac{60}{\sqrt{\varepsilon}} \cdot \ln \frac{D}{d}$$

$$Z \approx \frac{138}{\sqrt{\varepsilon}} \cdot \lg \frac{D}{d}$$

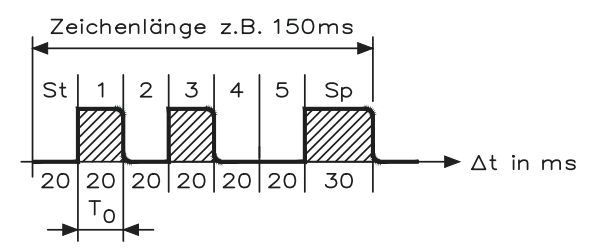
### Symmetrisches Kabel:



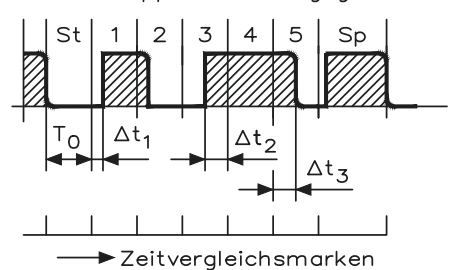
$$Z \approx \frac{120}{\sqrt{\varepsilon}} \cdot \ln \left\{ \frac{2a[1 - (a/D)]^2}{d[1 + (a/D)]^2} \right\}$$

$$Z \approx \frac{276}{\sqrt{\varepsilon}} \cdot \lg \left\{ \frac{2a[1 - (a/D)]^2}{d[1 + (a/D)]^2} \right\}$$

# 9.20 Datenübertragung



Start-Stopp-Verzerrungsgrad



- Schrittgeschwindigkeit:

$$v_s = \frac{1}{T_0}$$

- Datenübertragungsgeschwindigkeit (Bitrate):  $v_D = v_s \cdot Z_t$
- Serielle Datenübertragung:  $v_{DS} = v_s \cdot lbn$
- Parallele Datenübertragung:  $v_{DP} = m \cdot v_s \cdot 1bn$
- Zeichengeschwindigkeit:

$$v_Z = \frac{1}{Zeichenl\"{a}nge}$$

$$v_Z = \frac{1}{A \cdot T_0 + St + Sp}$$

Isochron-Zeichen

$$v_Z = \frac{1}{A \cdot T_0}$$

$$\delta_{St} = \frac{\Delta t_{\text{max}}}{T_0} \cdot 100 \%$$

- *ν<sub>s</sub>* Anzahl der Impulse je Sekunde; Maβeinheit: Baud
- T<sub>0</sub> Dauer des kürzesten, unverzerrten Einheitsschrittes
- v<sub>D</sub> Datenübertragungsgeschwindigkeit Bit/s
- Z<sub>t</sub> Anzahl der je Schrittdauer übertragenden Binärpegeländerung
- n Anzahl der Binärpegeländerung (Kennzustände)
- m Anzahl der parallelen Datenkanäle
- lb Zweierlogarithmus

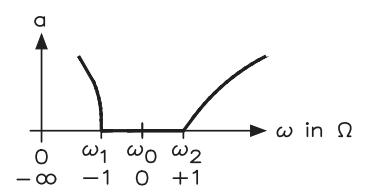
Einheit: Zeichen je Sekunde (bps)

- A Anzahl der Schritte je Zeichen
- St Zeit für Startschritt in s
- Sp Zeit für Stoppschritt in s

 $\delta_{St}$  Start-Stopp-Verzerrungsgrad

 $\Delta f_1, \Delta f_2, \Delta f_3$  Abweichung vom Sollwert

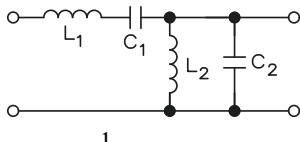
#### Dämpfungsverlauf 9.21



*T*-Glied: 
$$Z_0 = 1,25 \cdot R$$

$$\Omega = \frac{1}{\Delta f} \cdot \left( \frac{\omega}{\omega_0} - \frac{\omega_0}{\omega} \right)$$

Grundglied



$$\omega_0 = \frac{1}{\sqrt{L_1 \cdot C_1}}$$

$$\omega_0 = \frac{1}{\sqrt{L_2 \cdot C_2}}$$

$$\omega_0 = \sqrt{\omega_1 \cdot \omega_2}$$

$$\Delta f = \frac{\omega_2 - \omega_1}{\omega_0}$$

$$Z_0 = \sqrt{\frac{L_1}{C_1}}$$
  $Z_0 = \sqrt{\frac{L_2}{C_2}}$ 

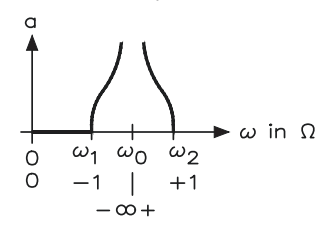
$$Z_0 = \sqrt{\frac{L_2}{C_2}}$$

$$L_1 = \frac{Z_0}{\omega_2 - \omega_0}$$

$$L_1 = \frac{Z_0}{\omega_2 - \omega_1} \qquad L_2 = Z_0 \cdot \frac{\omega_2 - \omega_1}{\omega_0^2}$$

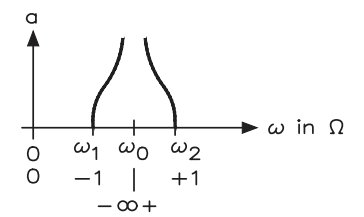
$$C_1 = \frac{1}{Z_0} \cdot \frac{\omega_2 - \omega_1}{\omega_0^2}$$

$$C_1 = \frac{1}{Z_0} \cdot \frac{\omega_2 - \omega_1}{\omega_0^2} \qquad C_2 = \frac{1}{Z_0} \cdot \frac{1}{\omega_2 - \omega_1}$$



 $\pi$ -Glied:  $Z_0 = 0.8 \cdot R$ 

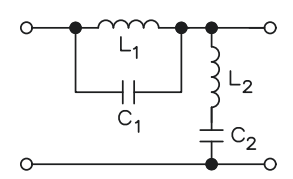
$$\Omega = -\Delta f \cdot \frac{1}{\left(\frac{\omega}{\omega_0} - \frac{\omega_0}{\omega}\right)}$$



- Z<sub>0</sub> Nennwiderstand (Wellenwider-
- normierte Frequenz Ω
- Bandbreite (Relativwert)
- geometrische Bandmittenfrequenz
- untere Grenzfrequenz
- obere Grenzfrequenz

- $Z_0$  Nennwiderstand (Wellenwiderstand)
- normierte Frequenz
- $\Delta f$  Bandbreite (Relativwert)

Grundglied



$$\omega_0 = \frac{1}{\sqrt{L_1 \cdot C_1}}$$

$$\omega_0 = \frac{1}{\sqrt{L_2 \cdot C_2}}$$

$$\omega_0 = \sqrt{\omega_1 \cdot \omega_2}$$

$$\Delta f = \frac{\omega_2 - \omega_1}{\omega_0^2} \qquad Z_0 = \sqrt{\frac{L_1}{C_1}} \qquad Z_0 = \sqrt{\frac{L_2}{C_2}}$$

$$Z_0 = \sqrt{\frac{L_1}{C_1}}$$

$$Z_0 = \sqrt{\frac{L_2}{C_2}}$$

$$L_1 = Z_0 \cdot \frac{\omega_2 - \omega_1}{\omega_0^2} \qquad L_2 = Z_0 \cdot \frac{1}{\omega_2 - \omega_1}$$

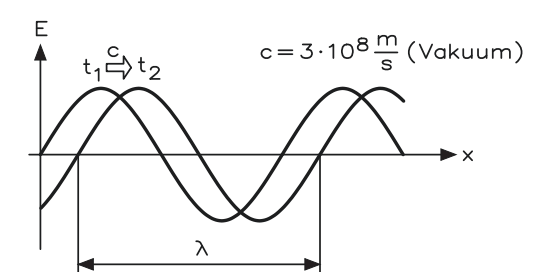
$$L_2 = Z_0 \frac{1}{\omega_2 - \omega_1}$$

$$C_1 = \frac{1}{Z_0} \cdot \frac{1}{\omega_2 - \omega_1}$$

$$C_1 = \frac{1}{Z_0} \cdot \frac{1}{\omega_2 - \omega_1} \qquad C_2 = \frac{1}{Z_0} \cdot \frac{\omega_2 - \omega_1}{\omega_0^2}$$

- $\omega_0$  geometrische Bandmittenfrequenz
- untere Grenzfrequenz
- obere Grenzfrequenz

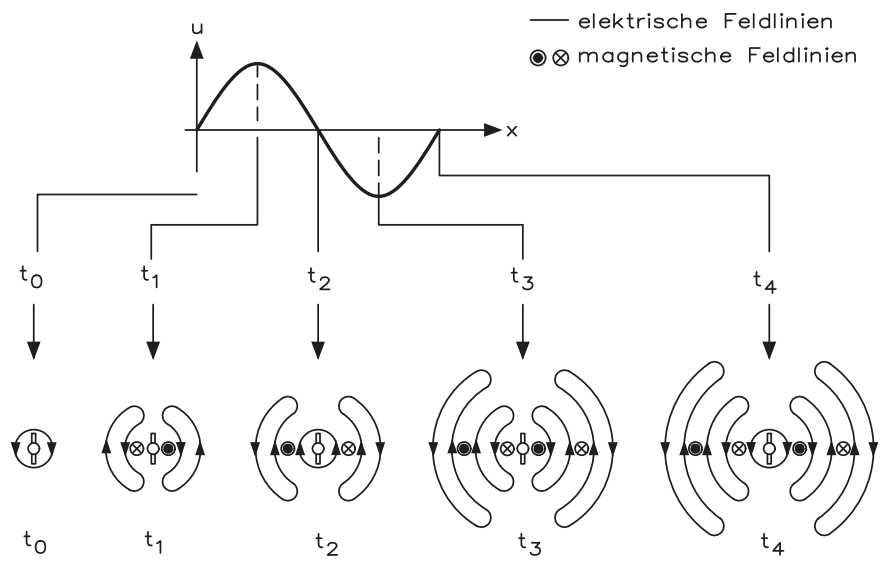
#### **Elektromagnetische Wellen** 9.22



 $\lambda = \frac{c}{f}$  $\lambda = c \cdot T$ 

- Ausbreitungsgeschwindigkeit (Lichtgeschwindigkeit)
- λ Wellenlänge
- f Frequenz
- Periodendauer

### Wellenabstrahlung (elektromagnetisches Feld):



$$E = Z_0 \cdot H$$

$$Z = \sqrt{\frac{\mu_0}{\varepsilon_0}}$$

$$Z_0 = 376,68 \Omega$$

- E elektrische Feldstärke in V/m
- H magnetische Feldstärke in A/m
- $Z_0$  Feldwellenwiderstand in  $\Omega$
- $\varepsilon_0$  elektrische Feldkonstante 8,86 · 10<sup>-12</sup> As/Vm
- $\mu_0$  magnetische Feldkonstante 1,257 · 10<sup>-6</sup> Vs/Am
- Feldberechnung (Kugelstrahler):

$$S = \frac{P}{4 \cdot \pi \cdot r^2}$$

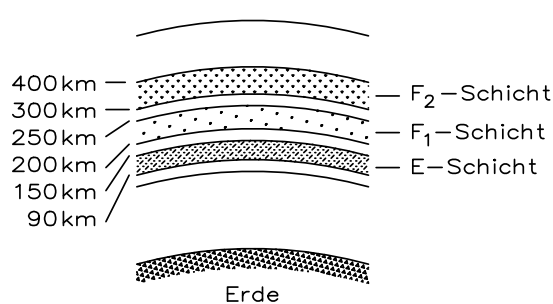
$$S = E \cdot H$$

$$S = \frac{E^2}{Z_0}$$

- Strahlungsleistung der Antenne in W
- S Strahlungsdichte in W/m<sup>2</sup>
- E elektrische Feldstärke in V/m
- H magnetische Feldstärke in A/m
- Feldarten und Schichten der Ionosphäre:

Ausbreitungseigenschaften Schichten der Ionosphäre

Р



#### – Nahfeld:

$$r < \lambda$$

$$E \approx \frac{1}{r^3}$$

#### – Fernfeld:

$$r > \lambda$$

$$E \approx \frac{1}{r}$$
 (r ca. 10 $\lambda$ )

Im Fernfeld sind die magnetische und die elektrische Komponente des elektromagnetischen Feldes in Phase und stehen senkrecht aufeinander.

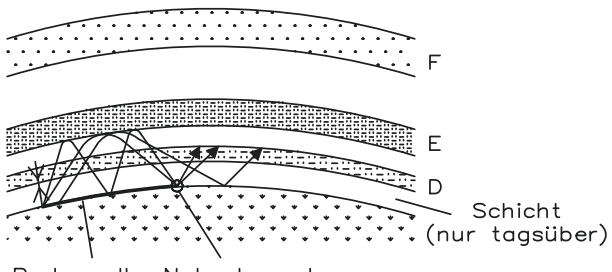
Einteilung der Atmosphäre:

Troposphäre: bis ca. 12 km

Stratosphäre: von ca. 12 km bis ca. 80 km Ionosphäre: von ca. 80 km bis ca. 1000 km

### Langwellen:

Vorwiegend nur Bodenwellen

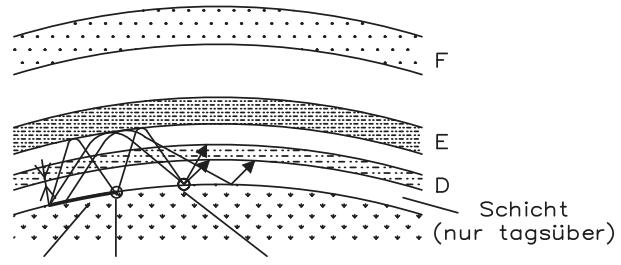


Bodenwelle Nahschwund

#### - Mittelwellen:

Tag: Vorwiegend Bodenwellen Nacht: Boden- und Raumwellen

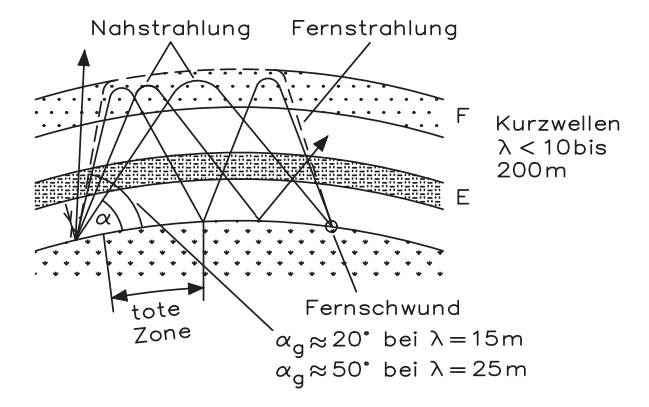
Ausbreitung ist abhängig von Tages- und Jahreszeit



Bodenwelle Nahschwund Fernschwund

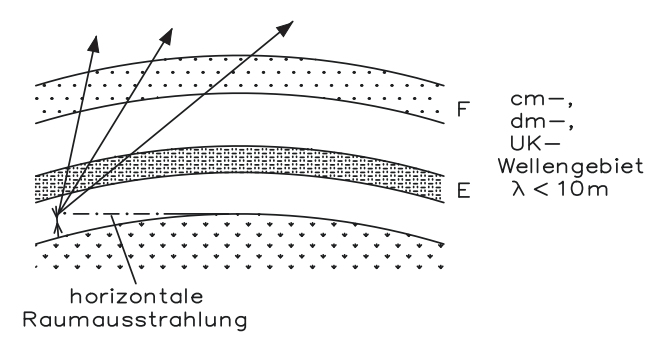
### Kurzwellen:

Vorwiegend Raumwelle Ausbreitung ist abhängig von Tages- und Jahreszeit, von der Sonnenaktivität Mehrfachreflexion möglich



### Ultrakurzwellen:

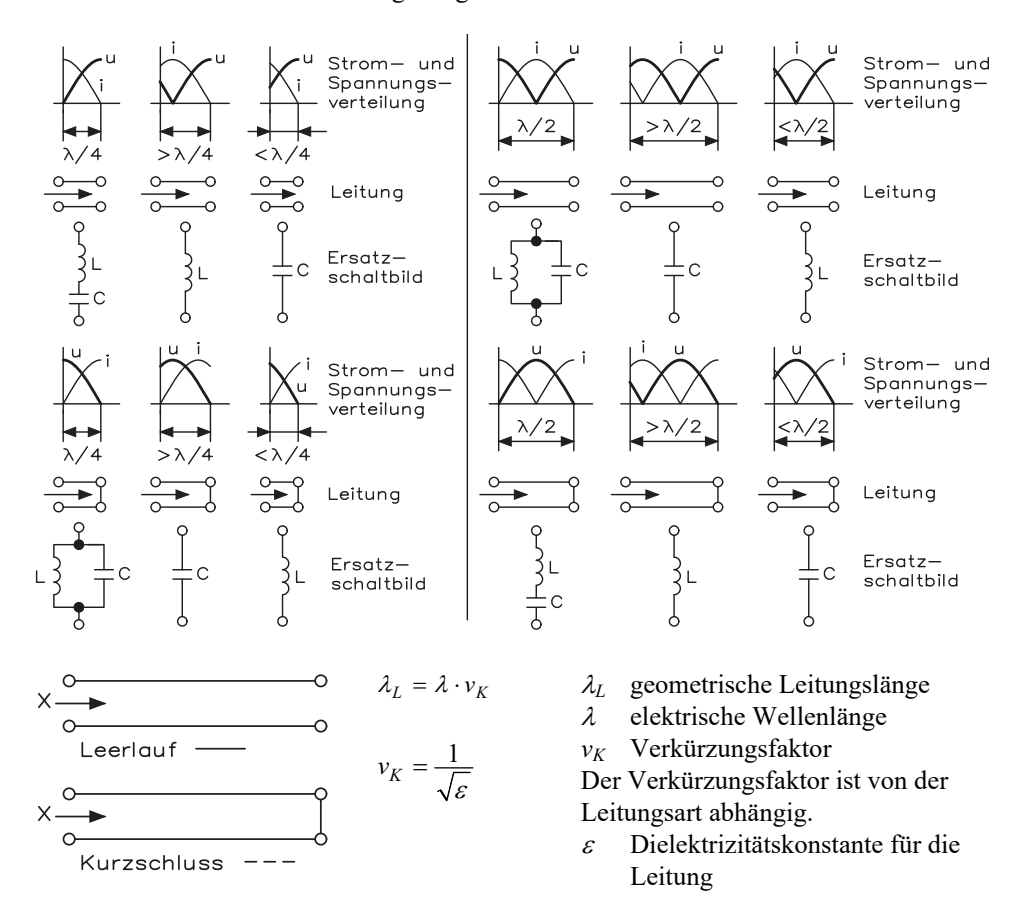
Quasioptische Wellen



# 9.23 Hochfrequenzleitung

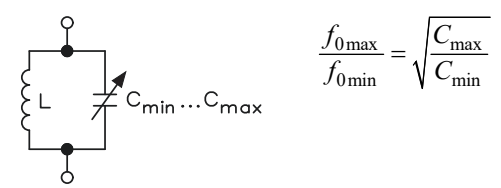
Elektrisches Verhalten einer am Ende offenen und einer am Ende kurzgeschlossenen  $\lambda/4$  Leitung Elektrisches Verhalten einer am Ende offenen und einer am Ende kurzgeschlossenen  $\lambda/2$  Leitung

Elektromagnetische Wellensignale breiten sich in Leitungen langsamer aus als im freien Raum. Die geometrischen Leitungslängen sind daher um den Verkürzungsfaktor  $v_K$  kleiner als die elektrische Wellenlängenangabe.



#### Resonanzfrequenzänderung mit Drehkondensator 9.24

Änderung mit Drehkondensator:



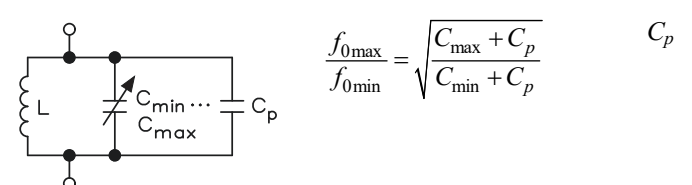
$$\frac{f_{0\,\text{max}}}{f_{0\,\text{min}}} = \sqrt{\frac{C_{\text{max}}}{C_{\text{min}}}}$$

 $f_{0\text{max}}$  größte einzustellende Frequenz

 $f_{0min}$  kleinste einzustellende Frequenz

C<sub>max</sub> größte Kapazität C<sub>min</sub> kleinste Kapazität

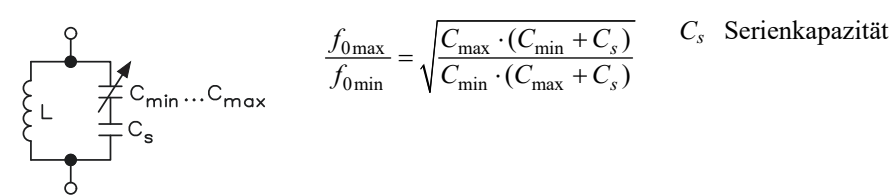
Änderung mit Drehkondensator und Parallelkondensator:



$$\frac{f_{0\max}}{f_{0\min}} = \sqrt{\frac{C_{\max} + C_p}{C_{\min} + C_p}}$$

Parallelkapazität

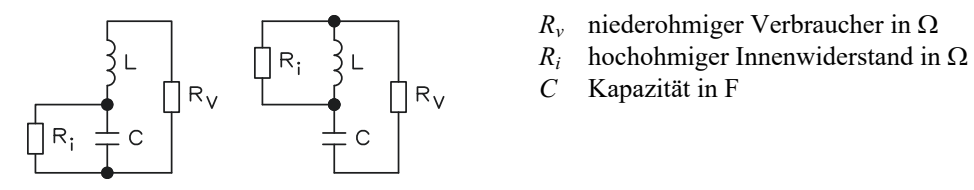
- Änderung mit Drehkondensator und Reihenkondensator:



$$\frac{f_{0\text{max}}}{f_{0\text{min}}} = \sqrt{\frac{C_{\text{max}} \cdot (C_{\text{min}} + C_s)}{C_{\text{min}} \cdot (C_{\text{max}} + C_s)}}$$

#### 9.25 **Anpassung durch Resonanztransformator**

Anpassung von niederohmigen Verbrauchern an hochohmige Spannungsquellen:



- $R_v$  niederohmiger Verbraucher in  $\Omega$

Bedingungen:

$$R_v < 0, 1 \cdot \omega \cdot L$$

$$\omega \cdot L = \frac{1}{\omega \cdot C}$$

$$f_r = \frac{1}{2 \cdot \pi \cdot \sqrt{C \cdot L}}$$

Für beide Schaltungen:

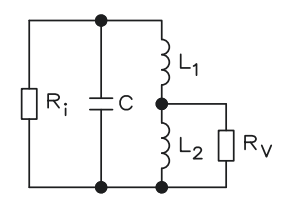
$$L = \frac{\sqrt{R_v \cdot R_i}}{2 \cdot \pi \cdot f_r} \qquad C = \frac{1}{2 \cdot \pi \cdot f_r \cdot \sqrt{R_v \cdot R_i}}$$

L Induktivität in H

 $\omega$  Kreisfrequenz  $\omega = 2 \cdot \pi \cdot f$ 

 $f_r$  Resonanzfrequenz

### Resonanztransformator mit unterteilter Induktivität



ü Übersetzungsverhältnis

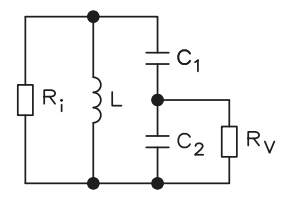
# Bedingungen:

$$2 \cdot \pi \cdot f_r \cdot L_2 < 0, 1 \cdot R_v$$

$$f_r = \frac{1}{2 \cdot \pi \cdot \sqrt{C \cdot (L_1 + L_2)}}$$

$$\ddot{u} = \frac{R_i}{R_v} = \left(\frac{L_1 + L_2}{L_2}\right)^2$$

# Resonanztransformator mit unterteilter Kapazität



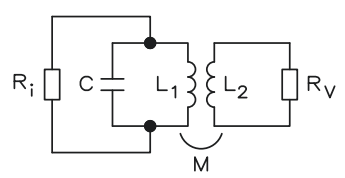
### Bedingungen:

$$\frac{1}{2 \cdot \pi \cdot f_r \cdot C_2} < 0.1 \cdot R_v$$

$$f_r = \frac{1}{2 \cdot \pi} \cdot \sqrt{\frac{C_1 + C_2}{L \cdot C_1 \cdot C_2}}$$

$$\ddot{u} = \frac{R_i}{R_v} = \left(\frac{C_1 + C_2}{C_1}\right)^2$$

# Resonanztransformator mit getrennter Wicklung



*ü* Übersetzungsverhältnis

M Gegeninduktivität

### Bedingungen:

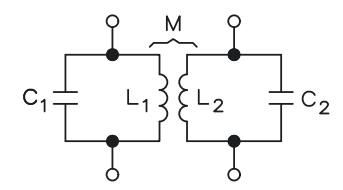
$$2 \cdot \pi \cdot f_r \cdot L_2 < 0, 1 \cdot R_v \text{ und } R_i > 10 \cdot \frac{1}{2 \cdot \pi \cdot f_r \cdot C}$$

$$f_r = \frac{1}{2 \cdot \pi \cdot A_r \cdot A_r \cdot A_r \cdot C}$$

$$\ddot{u} = \frac{R_i}{R_v} = \left(\frac{L_2}{M}\right)^2$$

#### **Gekoppelte Bandfilter** 9.26

## Induktive Kopplung

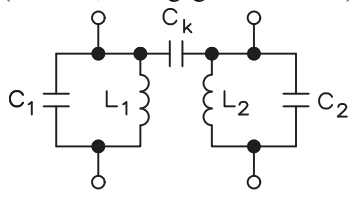


$$k = \frac{M}{\sqrt{L_1 \cdot L_2}}$$

 $k = \frac{M}{\sqrt{L_1 \cdot L_2}}$  k Kopplungsfaktor M Gegeninduktivität  $L_1, L_2$  Spuleninduktivität

### Kapazitive Kopplung

(wenn  $C_k$  klein gegen  $C_1$  und  $C_2$ )

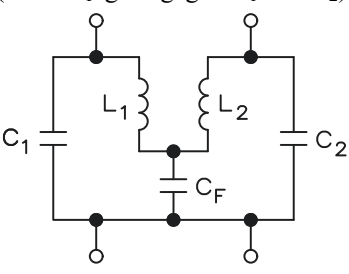


$$k \approx \frac{C_k}{\sqrt{C_1 \cdot C_2}}$$

 $k \approx \frac{C_k}{\sqrt{C_1 \cdot C_2}}$   $C_k$  Kopplungsfaktor  $C_1, C_2$  Kreiskapazitäten

# Kapazitive Fußpunktkopplung

(wenn  $C_F$  groß gegen  $C_1$  und  $C_2$ )



$$k \approx \frac{\sqrt{C_1 \cdot C_2}}{C_E}$$

Kopplungsfaktor

### Kritische Kopplung

$$Q \cdot k = 1$$

$$\Delta f = \sqrt{2} \cdot \frac{f_r}{Q}$$

$$v_M = \frac{S}{\sqrt{\sqrt{2} \cdot 2 \cdot \pi \cdot \Delta f \cdot \sqrt{C_1 \cdot C_2}}}$$

O Gütefaktor des Einzelkreises

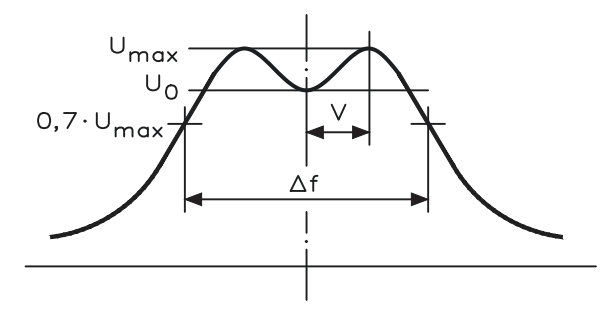
 $\Delta f$  Bandbreite

 $v_M$  Verstärkung für die Mittenfrequenz

V Verstimmung

S Steilheit des aktiven Bauelements das im Bandfilter liegt

# Überkritische Kopplung



Je ein Höcker bei der Verstimmung von  $V = \pm \sqrt{k^2 - \frac{1}{Q^2}}$ 

 $\text{H\"{o}he des H\"{o}ckers} \quad \frac{U_{\text{max}}}{U_0} = \frac{Q \cdot k + \frac{1}{Q \cdot k}}{2}$ 

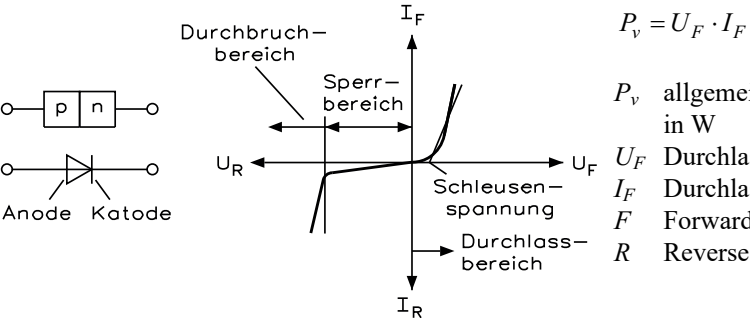
Damit die Einsattelung nicht tiefer als 70 % wird, muss  $Q \cdot k$  nicht kleiner als 2,41 sein.

Die Bandbreite ist dann  $\Delta f = 3, 1 \cdot \frac{f_r}{O}$ .



Dioden 10

# 10.1 Verlustleistung einer Diode



 $P_v$  allgemeine Verlustleistung in W

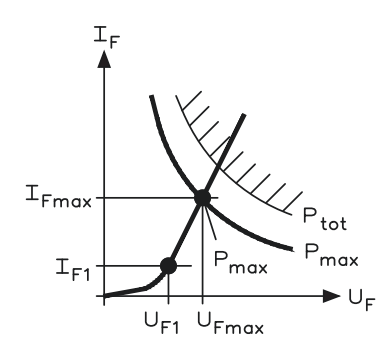
U<sub>F</sub> Durchlassspannung in V

 $I_F$  Durchlassstrom in A

F Forward (Vorwärtsrichtung)

Reverse (Sperrrichtung)

# 10.2 Zulässige Verlustleistung einer Diode



$$P_{\text{max}} = 0.9 \cdot P_{\text{tot}}$$

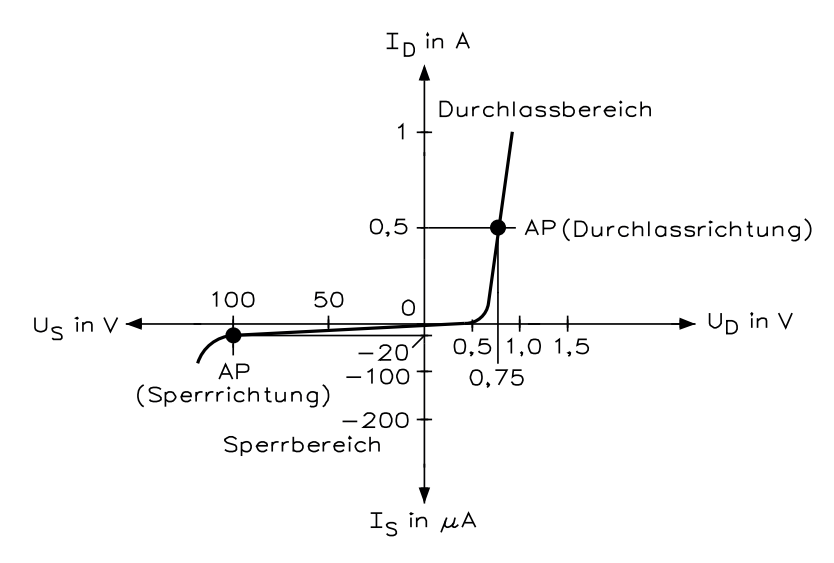
$$I_F = \frac{P_{\rm max}}{U_F}$$

 $P_{\text{max}}$  maximale Verlustleistung in W

P<sub>tot</sub> Gesamtverlustleistung in W

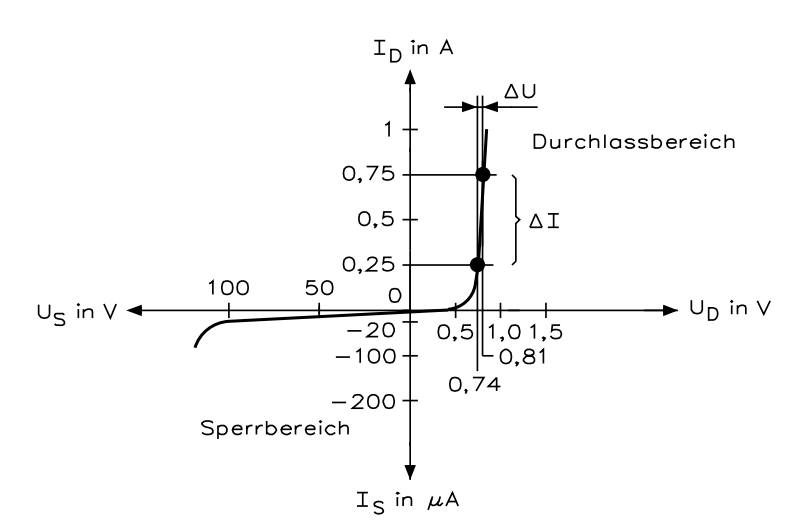
170 10 Dioden

# 10.3 Statischer Diodenwiderstand (Gleichstromwiderstand)



$$R_F = \frac{U_F}{I_F} = \frac{U_D}{I_D}$$

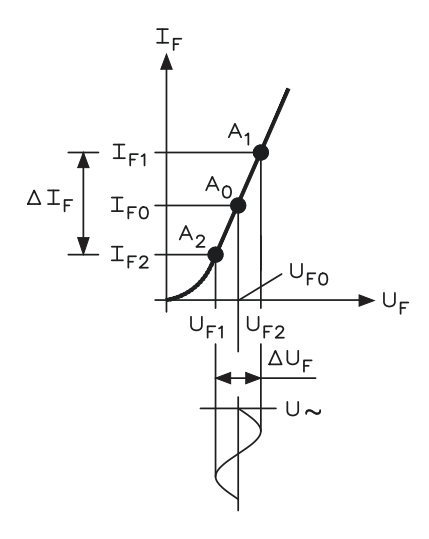
 $R_F$  Durchlasswiderstand in  $\Omega$ 



$$R_R = \frac{U_R}{I_R} = \frac{U_S}{I_S}$$

 $R_R$  Sperrwiderstand in  $\Omega$ 

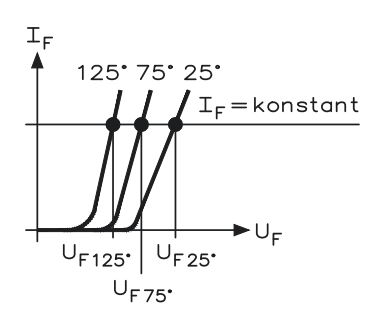
# 10.4 Dynamischer Diodenwiderstand (Wechselstromwiderstand)



$$r_F = \frac{U_{F2} - U_{F1}}{I_{F2} - I_{F1}} = \frac{\Delta U_F}{\Delta I_F}$$
 
$$r_R = \frac{U_{R2} - U_{R1}}{I_{R2} - I_{R1}} = \frac{\Delta U_R}{\Delta I_R}$$

 $r_F$  differentieller Durchlasswiderstand  $r_R$  differentieller Sperrwiderstand

## 10.5 Temperaturverhalten von Dioden



Die Durchlassspannung  $U_F$  hat bei  $I_F$  = konst. einen negativen Temperaturkoeffizienten  $\alpha_u$ .

 $\alpha_u$  Temperaturkoeffizient (negativ)

$$\alpha_u = \frac{\Delta U_F}{\Delta I_F} < 0$$
  $\alpha_u = \frac{2 \text{ mV}}{K}$ 

 $U_T \approx 26 \text{ mV bei } T = 300 \text{ K}$ 

k Richtkonstante

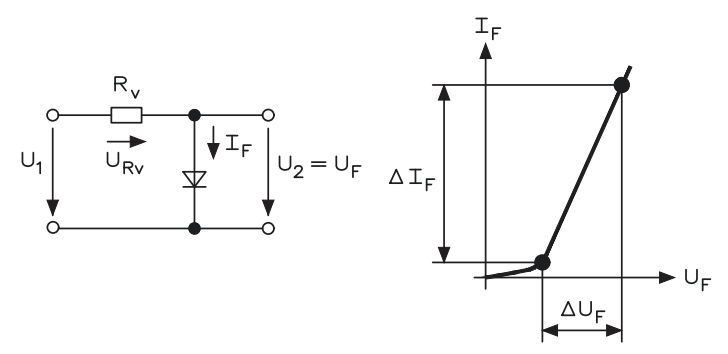
$$U_T = \frac{k \cdot T}{e}$$

Grenztemperaturen: Silizium ≈ 200 °C

Germanium  $\approx 90$  °C

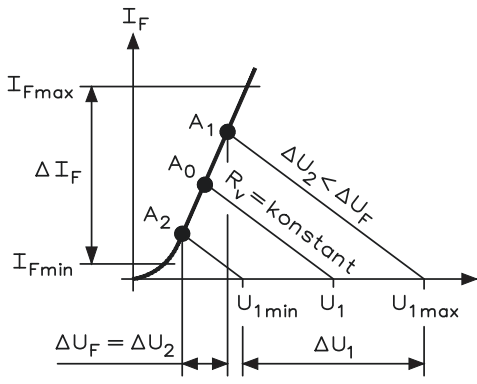
172 10 Dioden

### 10.6 Spannungsbegrenzung



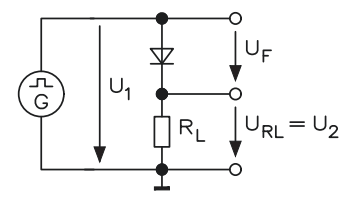
$$\begin{split} U_{Rv} &= U_1 - U_F \\ R_v &= \frac{U_{Rv}}{I_{Rv}} = \frac{U_1 - U_F}{I_F} \end{split}$$

 $U_{Rv}$  Spannungsfall am Vorwiderstand  $I_{Rv}$  Strom durch den Vorwiderstand



$$\begin{split} R_{v \max} & \leq \frac{U_{1 \min} - U_F}{I_{F \min}} \\ R_{v \min} & \geq \frac{U_{1 \max} - U_F}{I_{F \max}} \end{split}$$

## 10.7 Diodenschalter

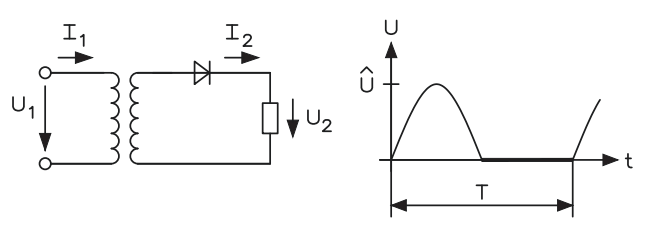


Schalter leitend, Diode sperrt:

$$U_{RL} = U_1 - U_F \approx U_1$$
  $U_{RL} = I_F \cdot R_L$   
Schalter geschlossen, Diode leitend:

$$U_{RL} = U_1 - U_F \approx 0$$
  $U_{RL} = I_F \cdot R_L$ 

### 10.8 M1U, Einpuls-Mittelpunktschaltung



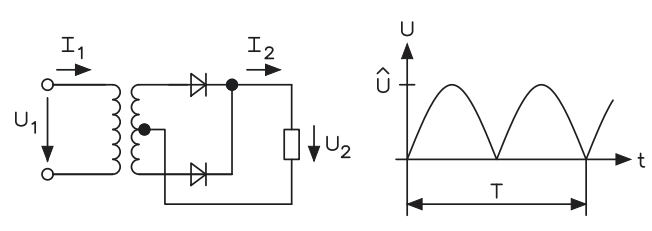
Verhältnis zwischen Wechsel- und Gleichspannung:  $\frac{U_{\it eff}}{U_{\it ol}}$  = 2,22

Effektivwert:  $\frac{U_w}{U_{gl}} = 121\%$ 

Verhältnis zwischen Wechsel- und Gleichstrom:  $\frac{I_{eff}}{I_{gl}} = 1,57$ 

Sperrspannung der Diode:  $U_{\mathit{Sperr}} \geq \sqrt{2} \cdot U_{\mathit{eff}}$ 

# 10.9 M2U, Zweipuls-Mittelpunktschaltung



Verhältnis zwischen Wechsel- und Gleichspannung:  $\frac{U_{\it eff}}{U_{\it ol}}$  = 1,11

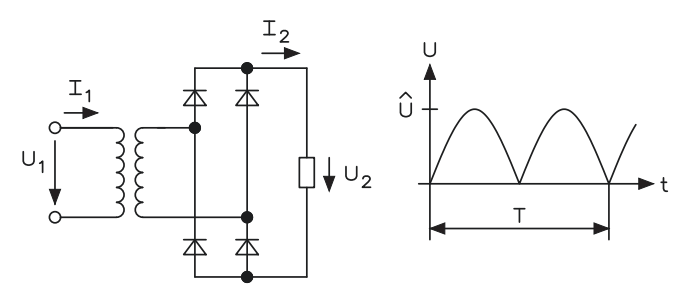
Effektivwert:  $\frac{U_w}{U_{gl}} = 48,5\%$ 

Verhältnis zwischen Wechsel- und Gleichstrom:  $\frac{I_{eff}}{I_{ol}} = 0,71$ 

Sperrspannung der Diode:  $U_{Sperr} \ge 2\sqrt{2} \cdot U_{eff}$ 

174 10 Dioden

# 10.10 B2U, Zweipuls-Brückenschaltung



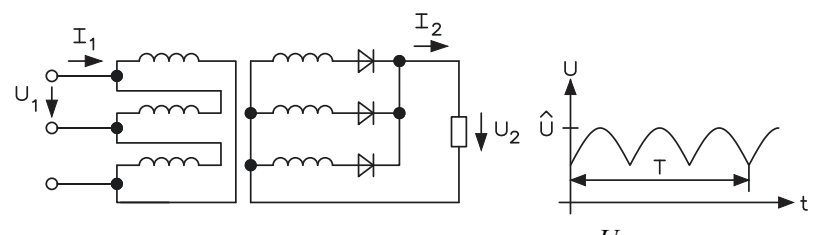
Verhältnis zwischen Wechsel- und Gleichspannung:  $\frac{U_{\it eff}}{U_{\it ol}}$  = 1,11

Effektivwert:  $\frac{U_w}{U_{gl}} = 48,5\%$ 

Verhältnis zwischen Wechsel- und Gleichstrom:  $\frac{I_{eff}}{I_{gl}} = 1,0$ 

Sperrspannung der Diode:  $U_{\mathit{Sperr}} \geq \sqrt{2} \cdot U_{\mathit{eff}}$ 

# 10.11 M3U, Dreipuls-Mittelpunktschaltung



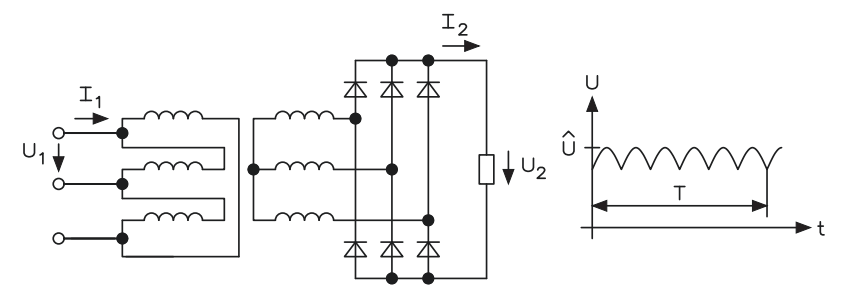
Verhältnis zwischen Wechsel- und Gleichspannung:  $\frac{U_{eff}}{U_{gl}} = 1,48$ 

Effektivwert:  $\frac{U_w}{U_{el}} = 18,7\%$ 

Verhältnis zwischen Wechsel- und Gleichstrom:  $\frac{I_{eff}}{I_{gl}} = 0,58$ 

Sperrspannung der Diode:  $U_{\mathit{Sperr}} \geq \sqrt{2} \cdot U_{\mathit{eff}}$ 

### 10.12 B6U, Sechspuls-Brückenschaltung



Verhältnis zwischen Wechsel- und Gleichspannung:  $\frac{U_{eff}}{U_{of}} = 0,77$ 

Effektivwert:  $\frac{U_w}{U_{gl}} = 4,2\%$ 

Verhältnis zwischen Wechsel- und Gleichstrom:  $\frac{I_{eff}}{I_{ol}} = 0.82$ 

Sperrspannung der Diode:  $U_{Sperr} \ge 2\sqrt{2} \cdot U_{eff}$ 

## 10.13 Arithmetischer Mittelwert (Ohm'sche Last bei Gleichstrom)

$$\begin{split} I_{gl} &= \frac{U_{gl}}{R_L} \qquad I_{deff} = \frac{U_{deff}}{R_L} \qquad \begin{array}{c} I_{gl} \\ U_{gl} \\ U_{eff} \end{array} \\ P &= U_{eff} \cdot I_{eff} = I_{eff}^2 \cdot R_L = \frac{U_{eff}^2}{R_L} \qquad \begin{array}{c} I_{gl} \\ U_{gl} \\ U_{eff} \end{array} \end{split}$$

 $I_{gl}$  Effektivwert des Gleichstroms  $U_{gl}$  arithmetischer Mittelwert, Gleichspannung  $U_{eff}$  Effektivwert, Gleichspannung Effektivwert, Gleichstrom

### 10.14 Strombelastbarkeit

$$I_{FAVM} \ge I_{FAV} = I_{im}$$
  $I_{FAV}$  Durchlassstrom, Mittelwert und Richtstrom (average forward current, rectified current)
$$I_{FRMSM} \ge I_{FRMS} = I_{peff}$$
 periodischer Spitzendurchlassstrom (repetitive peak forward current)

176 10 Dioden

 $U_{di}$ 

## 10.15 Sperrspannung

$$\begin{split} &U_{RRM} \geq k \cdot U_{im} \\ &U_{v0} = \frac{U_L}{\ddot{u}} \\ &U_{v0} = \frac{U_L}{\ddot{u}} V \\ &U_{di} = 0, 9 \cdot U_{v0} \\ &U_{deff} = U_{v0} \\ &R_L = \frac{U_{deff}^2}{P_2} \\ &I_d = \frac{U_{di}}{R_L} \quad I_{pmi} = 0, 5 \cdot I_d \\ &I_{FAVM} \geq I_{FAV} \end{split}$$

$$\begin{split} I_{peff} &= 0,785 \cdot I_d \\ I_{FRMSM} &\geq I_{peff} \\ U_{im} &= 1,571 \cdot U_{di} \end{split}$$

*U<sub>RRM</sub>* Periodische Spitzensperrspannung (repetitive peak reverse voltage)

 $U_{v0}$  Leerlaufspannung

Gleichspannung, arithmetischer Mittelwert

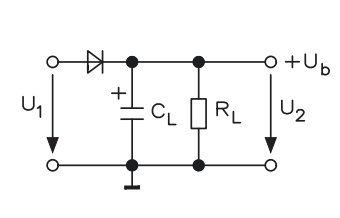
U<sub>deff</sub> Gleichspannung, Effektivwert

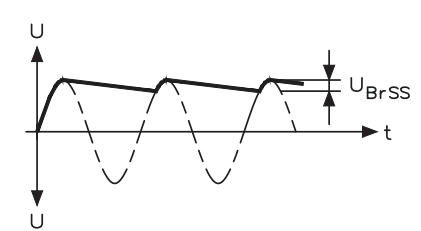
 $I_d$  Gleichstrom, arithmetischer Mittelwert  $I_{pmi}$  Zweigstrom, arithmetischer Mittelwert  $I_{FAVM}$  Durchlassgrenzstrom, Effektivwert

 $I_{peff}$  Zweigstrom, Effektivwert  $I_{FRMSM}$  Spitzendurchlassstrom

 $U_{im}$  Scheitelspannung an der Diode

### 10.16 M1U-Gleichrichter mit Ladekondensator





$$C_L = k \cdot \frac{I_L}{U_{Br}}$$

$$C_L \approx \frac{I_L}{U_{BrSS} \cdot f}$$

k Faktor:  $4.8 \cdot 10^{-3}$  s  $U_{Br}$  Brummspannung  $C_L$  Ladekondensator

Verhältnis zwischen Wechsel- und Gleichspannung:  $\frac{U_{\it eff}}{U_{\it gl}} = 0,85$ 

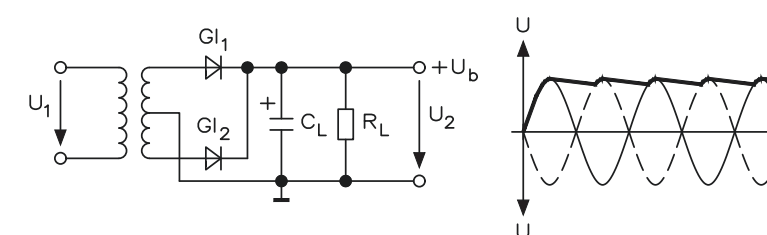
Welligkeit:  $w \approx 5 \%$ 

Verhältnis zwischen Wechsel- und Gleichstrom:  $\frac{I_{eff}}{I_{gl}} = 2,1$ 

Zeitkonstante:  $\tau = R_L \cdot C_L = 100 \text{ ms}$ 

Schaltungskonstante: k = 4.8 s

### 10.17 M2U-Gleichrichter mit Ladekondensator



$$C_L = k \cdot \frac{I_L}{U_{Br}}$$

 $C_{L} \approx \frac{I_{L}}{U_{BrSS} \cdot f}$ 

k Faktor: 1,8 · 10<sup>-3</sup> s  $U_{Br}$  Brummspannung  $C_L$  Ladekondensator

Verhältnis zwischen Wechsel- und Gleichspannung:  $\frac{U_{\it eff}}{U_{\it gl}}$  = 0,79

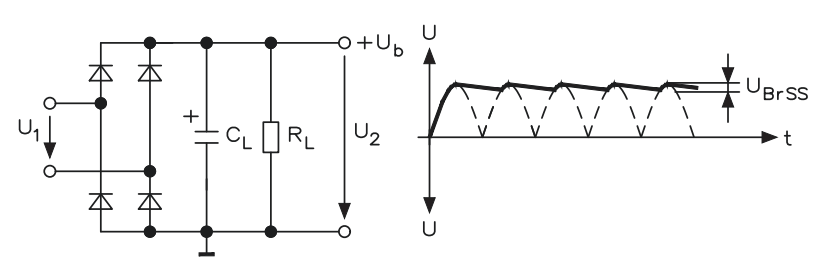
Welligkeit:  $w \approx 5 \%$ 

Verhältnis zwischen Wechsel- und Gleichstrom:  $\frac{I_{eff}}{I_{gl}} = 1,1$ 

Zeitkonstante:  $\tau = R_L \cdot C_L = 50 \text{ ms}$ 

Schaltungskonstante: k = 1.8 s

### 10.18 B2U-Gleichrichter mit Ladekondensator



$$C_L = k \cdot \frac{I_L}{U_{Br}}$$

 $C_L \approx \frac{I_L}{U_{BrSS} \cdot f}$ 

k Faktor:  $1.8 \cdot 10^{-3}$  s  $U_{Br}$  Brummspannung  $C_L$  Ladekondensator

Verhältnis zwischen Wechsel- und Gleichspannung:  $\frac{U_{eff}}{U_{cd}} = 0,79$ 

Welligkeit:  $w \approx 5 \%$ 

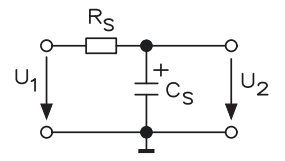
178 10 Dioden

Verhältnis zwischen Wechsel- und Gleichstrom:  $\frac{I_{eff}}{I_{gl}} = 1,57$ 

Zeitkonstante:  $\tau = R_L \cdot C_L = 50 \text{ ms}$ 

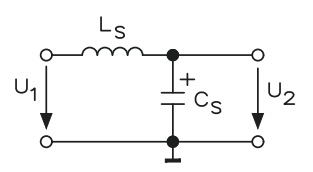
Schaltungskonstante: k = 1.8 s

### 10.19 RC-Siebung



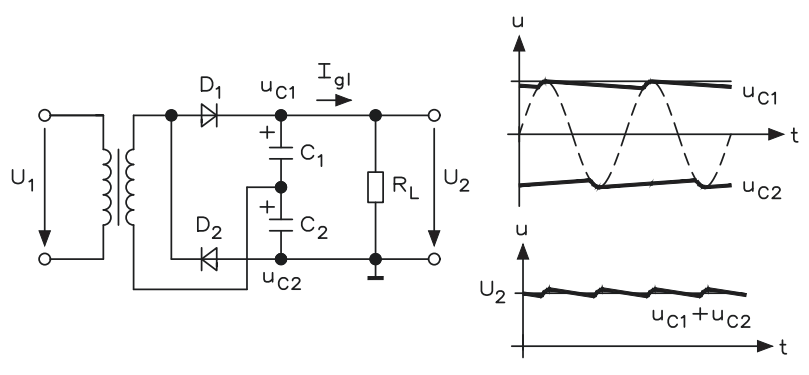
$$G = \frac{\Delta U_1}{\Delta U_2} \approx \omega_{Br} \cdot R_S \cdot C_S$$
 Glättungsfaktor 
$$s = \frac{U_1}{U_2} = \frac{R_S}{C_S}$$

## 10.20 LC-Siebung



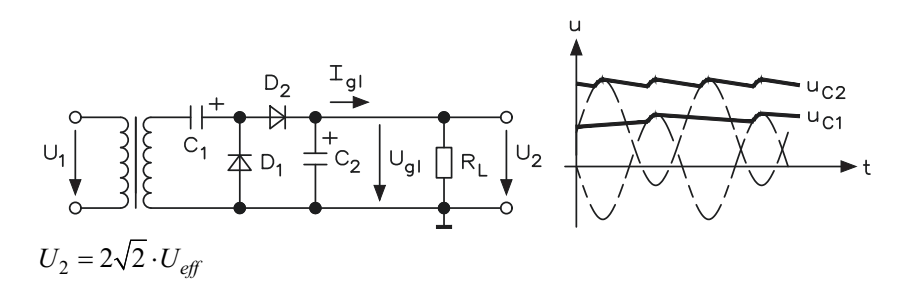
$$G = \frac{\Delta U_1}{\Delta U_2} \approx \omega_{Br}^2 \cdot L_S \cdot C_S$$
 Glättungsfaktor

# 10.21 Spannungsverdopplung nach Delon (Greinacher)

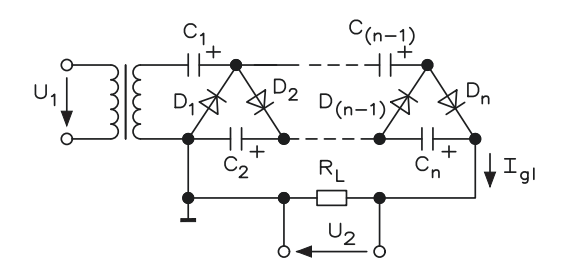


$$U_2 = 2\sqrt{2} \cdot U_{eff}$$

## 10.22 Spannungsverdopplung nach Villard (Kaskadenschaltung)



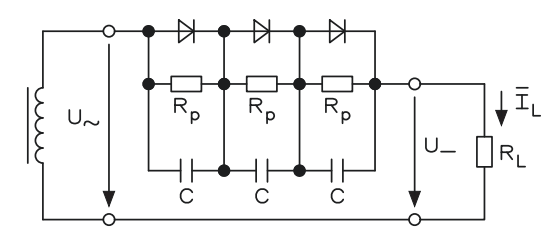
### 10.23 Spannungsvervielfachung nach Villard



$$U_2 = n \cdot \sqrt{2} \cdot U_{\text{eff}}$$

n Anzahl der Stufen

## 10.24 Reihen- und Parallelschaltung von Dioden



$$\begin{split} n &\geq \frac{U_R}{U_{RWM}} \bigg( \frac{1+\beta}{1-\beta} \bigg) \\ R_p &\approx \frac{U_{RWM}}{I_{S\max}} \\ P_{Rp} &\approx \frac{U_{RWM}^2}{7 \cdot I_{S\max}} \end{split}$$

$$C_p \approx \frac{n \cdot t_{rr}}{R_L}$$

n Anzahl der Dioden  $R_p$  Parallelwiderstände

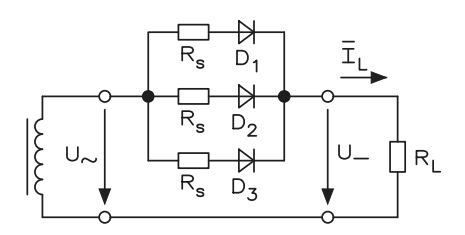
 $P_{Rp}$  Leistung

 $C_p$  Parallelkapazität  $U_{RWM}$  Scheitelsperrspannung

(Crest working reserve

voltage)

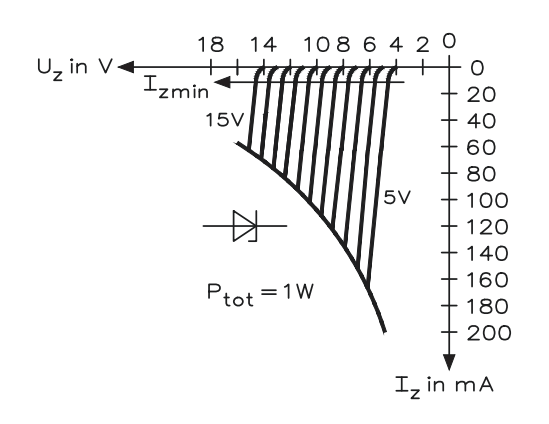
180 10 Dioden



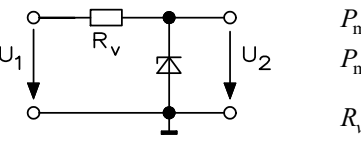
$$\begin{split} n &\geq \frac{I_L \cdot (1 + \beta)}{I_{FRMS} (1 - \beta)} \\ R_s &\approx \frac{0.5 \cdot U_s}{I_{FAV}} \\ P_{Rs} &\approx I_{FRMA}^2 \cdot R_p \end{split}$$

 $\beta$  Toleranz der Widerstände  $I_{S\max}$  maximaler Sperrstrom  $R_s$  Reihenwiderstände  $P_{Rs}$  Leistung

## 10.25 Unbelastete Spannungsstabilisierung



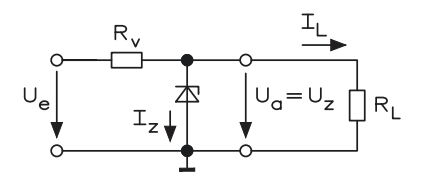
Temperaturkoeffizient der Z-Spannung: TK > 0 bei  $U_Z$  > 6 V TK < 0 bei  $U_Z$  < 5 V TK  $\approx$  0 bei  $U_Z$   $\approx$  5,5 V



 $P_{\min} = 0.1 \cdot P_{\text{tot}}$   $P_{\max} = 0.9 \cdot P_{\text{tot}}$   $R_{v} = \frac{U_{1} - U_{Z}}{I_{Z}}$ 

 $P_{
m max}$  maximale Verlustleistung  $P_{
m min}$  minimale Verlustleistung  $P_{
m tot}$  Gesamtverlustleistung

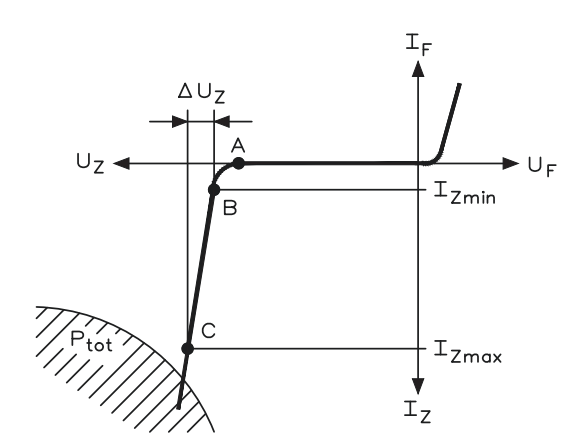
# 10.26 Belastete Spannungsstabilisierung



$$\begin{split} R_{v\min} &= \frac{U_{1\max} - U_{Z}}{I_{Z\max} + I_{L\min}} \\ R_{v\max} &= \frac{U_{1\min} - U_{Z}}{I_{Z\min} + I_{L\max}} \\ R_{v} &= \frac{U_{1} - U_{Z}}{I_{Z} + I_{L\max}} \end{split}$$

Belastbarkeit des Vorwiderstandes  $P_{Rv} = I_{ges}^2 \cdot R_v$ 

### 10.27 Differentieller Innenwiderstand der Z-Diode



$$r_Z = \frac{\Delta U_Z}{\Delta I_Z}$$

 $r_Z$  differentieller Innenwiderstand

$$I_{Z \max} = \frac{P_{U \max}}{U_Z}$$
$$I_{Z \min} = 0.1 \cdot I_{Z \max}$$

## 10.28 Glättungsfaktor

$$G = \frac{\Delta U_1}{\Delta U_2} = \frac{R_v}{r_z} + 1$$

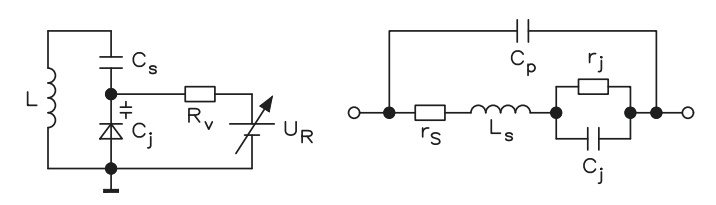
G Glättungsfaktor

182 10 Dioden

### 10.29 Stabilisierungsfaktor

$$S = G \cdot \frac{U_2}{U_1} = \frac{\Delta U_2 \cdot U_2}{\Delta U_1 \cdot U_1} = \left(\frac{R_v}{r_{zj} + r_{zth}} + 1\right) \frac{U_2}{U_1}$$
 S Stabilisierungsfaktor

### 10.30 Kapazitätsdioden



$$C_j = \frac{k}{(U_R + U_S)^n}$$

$$f = \frac{k}{2 \cdot \pi \cdot C_D \cdot \sqrt{r_S \cdot r_j}}$$

$$f = \frac{1}{2 \cdot \pi \cdot \sqrt{C_D \cdot L_Z}}$$

*k* Herstellerkonstante

*n* Exponent (Herstellerkonstante)

C<sub>D</sub> Diodenkapazität

C<sub>i</sub> Kapazität der Sperrschicht

 $U_R$  angelegte Sperrspannung

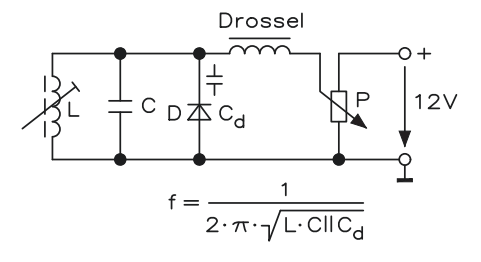
 $U_S$  Diffusions spanning (0,7 V)

*C<sub>p</sub>* Parallelkapazität (Gehäusekapazität)

 $r_S$  Widerstand der Anschlüsse (0,5 Ω...5 Ω)

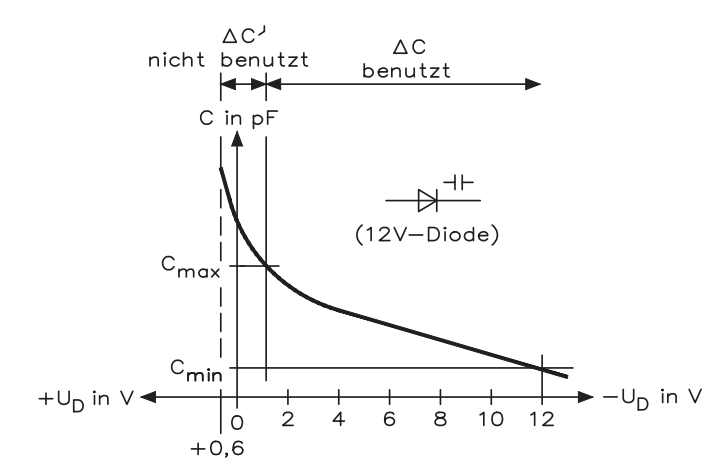
 $r_j$  Widerstand der Sperrschicht (10<sup>6</sup> Ω...10<sup>10</sup> Ω)

*L<sub>Z</sub>* Induktivität der Anschlüsse (1 nH...10 nH)



10.31 Tunneldiode 183

$$\begin{array}{cccc}
f_1 & f_2 & \longrightarrow f \\
-2V & -12V & \longrightarrow & U_D
\end{array}$$



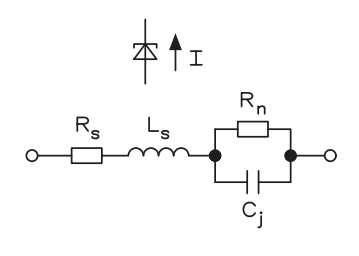
$$C = \frac{\varepsilon_0 \cdot \varepsilon_r \cdot A}{d}$$

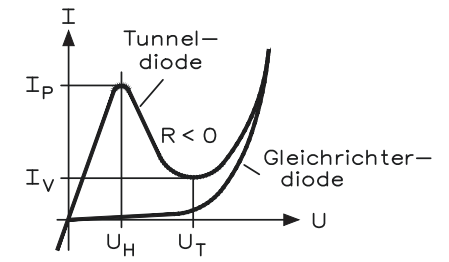
$$C = \frac{\mathbf{K}}{\left(U_R + U_D\right)^n}$$

$$C = C_0 \cdot \left(1 + \frac{U_R}{U_D}\right)^{-n}$$

diffundierte Dioden:  $n \approx 0.33$ hyperabrupte Dioden:  $n \approx 0.75$ K herstellerbedingte Konstante

### 10.31 Tunneldiode





$$f_m = \frac{1}{2 \cdot \pi} \sqrt{\frac{1}{L_S \cdot C_j} - \frac{1}{(|-R_n| \cdot C_j)^2}}$$

 $C_j$  Kapazität der Sperrschicht  $|-R_n|$  Betrag des negativen Widerstandes  $L_S$  Induktivität der Anschlüsse (1 nH...10 nH)  $f_m$  Mittenfrequenz



Bipolare Transistoren 11

### 11.1 h-Kenngrößen von Transistoren



 $h_{11}$  Eingangswiderstand bei kurzgeschlossenem Ausgang:

$$h_{11} = \frac{U_1}{I_1}$$
 bei  $U_2 = 0$   $h_{11} = \frac{1}{y_{11}}$ 

 $h_{11}$ ,  $h_{12}$  usw. liest man h-eins-eins, h-eins-zwei usw. Die Bezeichnungen sind aus der Matrizenrechnung übernommen.

 $h_{12}$  Spannungsrückwirkung bei offenem Eingang:

$$h_{12} = \frac{U_1}{U_2}$$
 bei  $I_1 = 0$   $h_{12} = -\frac{y_{12}}{y_{11}}$ 

 $h_{21}$  Stromverstärkung bei kurzgeschlossenem Ausgang:

$$h_{21} = \frac{I_2}{I_1}$$
 bei  $U_2 = 0$   $h_{21} = \frac{y_{21}}{y_{11}}$ 

 $h_{22}$  Ausgangsleitwert bei offenem Eingang:

$$h_{22} = \frac{I_2}{U_2}$$
 bei  $I_1 = 0$   $h_{22} = \frac{\det y}{y_{11}}$  wird auch  $\Delta h$  verwendet

$$U_1 = h_{11} \cdot I_1 + h_{12} \cdot U_2$$
  

$$I_2 = h_{21} \cdot I_1 + h_{22} \cdot U_2$$
  

$$\det h = h_{11} \cdot h_{22} - h_{21} \cdot h_{12}$$

 $\det h$  Determinante von h (für  $\det h$ )

### 11.2 y-Kenngrößen von Transistoren (Leitwerte)

 $y_{11}$  Eingangsleitwert bei kurzgeschlossenem Ausgang:

$$y_{11} = \frac{I_1}{U_1}$$
 bei  $U_2 = 0$   $y_{11} = \frac{1}{h_{11}}$ 

y<sub>12</sub> Rückwirkungsleitwert bei kurzgeschlossenem Eingang:

$$y_{12} = \frac{I_1}{U_2}$$
 bei  $U_1 = 0$   $y_{12} = -\frac{h_{12}}{h_{11}}$ 

y<sub>21</sub> Vorwärtsübertragungsleitwert bei kurzgeschlossenem Ausgang:

$$y_{21} = \frac{I_2}{U_1}$$
 bei  $U_2 = 0$   $y_{21} = \frac{h_{21}}{h_{11}}$ 

y<sub>22</sub> Ausgangsleitwert bei kurzgeschlossenem Eingang:

$$y_{22} = \frac{I_2}{U_2}$$
 bei  $U_1 = 0$   $y_{22} = \frac{\det h}{h_{11}} = \frac{h_{11} \cdot h_{22} - h_{12} \cdot h_{21}}{h_{11}}$   
 $I_1 = y_{11} \cdot U_1 + y_{12} \cdot U_2$ 

$$I_1 = y_{11} \cdot U_1 + y_{12} \cdot U_2$$

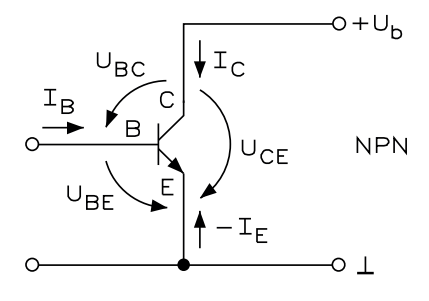
$$I_2 = y_{21} \cdot U_1 + y_{22} \cdot U_2$$

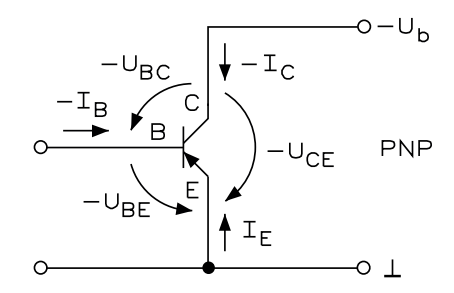
$$\det y = y_{11} \cdot y_{22} - y_{12} \cdot y_{21}$$

## 11.3 Kennzeichnung von Transistorgrößen

für Index	wird auch gesetzt Index	zweiter Indexbuchstabe	
11 12 21 22	i (input, Eingang) r (reverse, rückwärts) f (forward, vorwärts) o (output, Ausgang)	e Emitterschaltung b Basisschaltung c Kollektorschaltung	

### 11.4 Kennwerte und Kennlinien





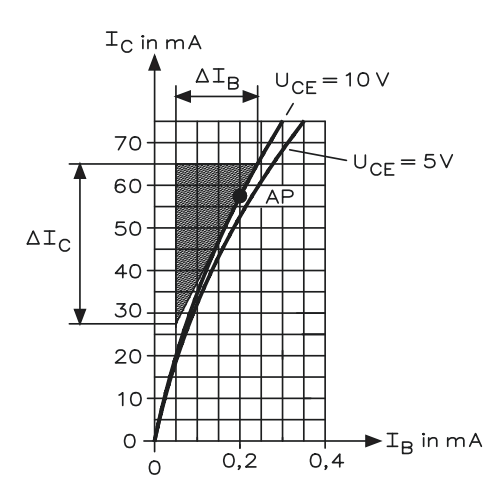
 $U_{CE} = U_{BC} + U_{BE}$   $U_{CE}$  Kollektor-Emitter-Spannung NPN:  $-I_E = I_C + I_B$   $U_{BC}$  Basis-Kollektor-Spannung PNP:  $I_E = (-I_C) + (-I_B)$   $U_{BE}$  Basis-Emitter-Spannung

 $I_E$  Emitterstrom  $I_C$  Kollektorstrom  $I_B$  Basisstrom

Statischer Wert der Gleichstromverstärkung:

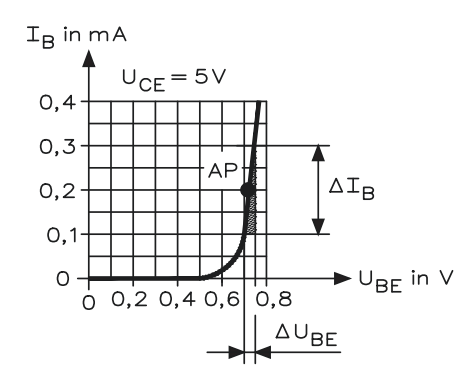
BC238B

$$B = \frac{I_C}{I_B}$$



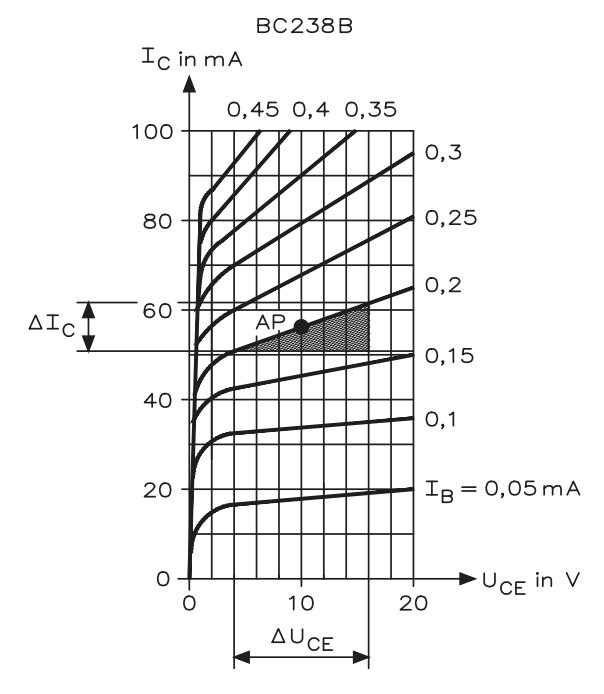
- **Dynamischer Wert der Wechselstromverstärkung:**  $\beta = \frac{\Delta I_C}{\Delta I_R}$
- Statischer Wert vom Gleichstrom-Eingangswiderstand:  $R_{BE} = \frac{U_{BE}}{I_B}$

BC238B



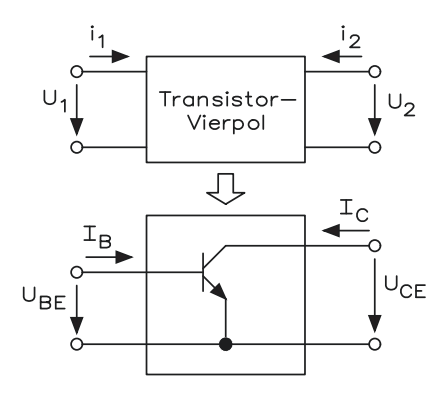
■ Dynamischer Wert vom Wechselstrom-Eingangswiderstand:  $r_{BE} = \frac{\Delta U_{BE}}{\Delta I_{B}}$ 

■ Statischer Wert vom Gleichstrom-Ausgangswiderstand:  $R_{CE} = \frac{U_{CE}}{I_C}$ 



■ Dynamischer Wert vom Wechselstrom-Ausgangswiderstand:  $r_{CE} = \frac{\Delta U_{CE}}{\Delta I_C}$ 

# 11.5 Vierpol-Parameter



h-Parameter für die Emitterschaltung:

$$h_{11e} = \frac{\Delta U_{BE}}{\Delta I_B}$$
 bei  $U_{CE} =$  konstant

$$h_{12e} = \frac{\Delta U_{BE}}{\Delta U_{CE}}$$
 bei  $I_B = \text{konstant}$ 

$$h_{21e} = \frac{\Delta I_C}{\Delta I_R}$$

 $h_{21e} = \frac{\Delta I_C}{\Delta I_R}$  bei  $U_{CE} = \text{konstant}$ 

$$h_{22e} = \frac{\Delta I_C}{\Delta U_{CF}}$$
 bei  $I_B = \text{konstant}$ 

Für die Praxis:

$$h_{11e} \approx r_{ee}$$

$$h_{21e} \approx \beta$$

$$h_{22e} \approx \frac{1}{r_{ae}}$$

 $h_{11e}$ Kurzschluss-Eingangswiderstand

 $h_{12e}$ Leerlauf-Spannungsrückwirkung

 $h_{21e}$ Kurzschluss-Stromverstärkung

Leerlauf-Ausgangsleitwert haze

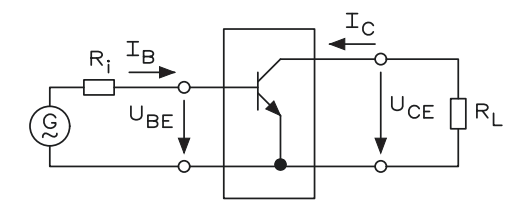
Wechselstromeingangswiderstand  $r_{ee}$ 

β Wechselstromverstärkung

 $r_{ae}$ 

Wechselstromausgangswiderstand

#### 11.6 **Beschalteter Vierpol (Emitterschaltung)**



Eingangswechselstrom  $\Delta I_1$ 

Ausgangswechselstrom

 $\Delta U_{BE}$  Eingangswechselspannung

 $\Delta U_{CE}$  Ausgangswechselspannung

Innenwiderstand Lastwiderstand  $R_L$ 

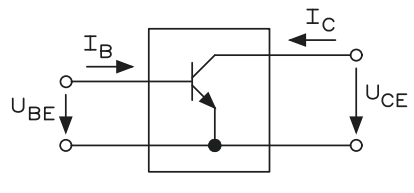
 $Z_1$ Eingangswiderstand

 $Z_2$ Ausgangswiderstand

Größe	H-Parameter Y-Parameter				
Formel					
Eingangswiderstand					
$Z_1 = \frac{\Delta U_{BE}}{\Delta I_B}$	$Z_1 = \frac{h_{11e} + \det h_e \cdot R_L}{1 + h_{22e} \cdot R_L}$	$Z_1 = \frac{1 + y_{22e} \cdot R_L}{y_{11e} + \det y \cdot R_L}$			
Ausgangswiderstand					
$Z_2 = \frac{\Delta U_{CE}}{\Delta I_C}$	$Z_2 = \frac{h_{11e} + R_i}{\det h_e + h_{23e} \cdot R_L}$	$Z_2 = \frac{1 + y_{11e} \cdot R_i}{y_{22e} + \det y \cdot R_i}$			
Stromverstärkung					
$v_i = \frac{\Delta I_C}{\Delta I_B}$	$v_i = \frac{h_{21e}}{1 + h_{22e} \cdot R_L}$	$v_i = \frac{y_{21e}}{y_{11e} + \det y_e \cdot R_L}$			

Größe	H-Parameter	Y-Parameter			
Formel					
Spannungsverstärkung					
$v_u = \frac{\Delta U_{CE}}{\Delta U_{BE}}$	$v_u = \frac{-h_{21e} \cdot R_L}{h_{11e} + \det h_e \cdot R_L}$	$v_u = \frac{-y_{21e} \cdot R_L}{1 + y_{22e} \cdot R_L}$			
Leistungsverstärkung					
$v_p = v_u \cdot v_i$	$v_p = -\frac{(h_{21})^2 \cdot R_L}{(1 + h_{22e} \cdot R_L)(h_{11e} + \det h_e \cdot R_L)}$	$v_p = \frac{(y_{21e})^2 \cdot R_L}{(1 + y_{22e} \cdot R_L)(y_{11e} + \det y_e \cdot R_L)}$			
Eingangsanpassung					
$Z_1 = R_i$	$Z_1 = R_i = \sqrt{\frac{h_{11e} \cdot \det h_e}{h_{23e}}}$	$Z_1 = R_i = \sqrt{\frac{y_{22e}}{y_{11e} \cdot \det y_e}}$			
Ausgangsanpassung					
$Z_2 = R_L$	$Z_2 = R_L = \sqrt{\frac{h_{11e}}{h_{22e} \cdot \det h_e}}$	$Z_2 = R_L = \sqrt{\frac{y_{11e}}{y_{22e} \cdot \det y_e}}$			
Determinante					
	$\det h_e = h_{11e} \cdot h_{22e} - h_{12e} \cdot h_{21e}$	$\det y_e = y_{11e} \cdot y_{22e} - y_{12e} \cdot y_{21e}$			

# 11.7 y-Parameter für die Emitterschaltung



$$y_{11e} = \frac{\Delta I_B}{\Delta U_{BE}}$$
 bei  $U_{CE} = \text{konstant}$ 

y<sub>11e</sub> Kurzschluss-Eingangsleitwert

$$y_{12e} = \frac{\Delta I_B}{\Delta U_{CE}}$$

bei  $U_{BE}$  = konstant

y<sub>12e</sub> Rückwärtssteilheit

$$y_{21e} = \frac{\Delta I_C}{\Delta U_{BE}}$$

bei  $U_{CE}$  = konstant

y<sub>21e</sub> Vorwärtssteilheit

$$y_{22e} = \frac{\Delta I_C}{\Delta U_{CE}}$$

bei  $U_{BE}$  = konstant

 $y_{22e}$  Kurzschluss-Ausgangsleitwert

## 11.8 *h*- und *y*-Parameter

Index  $b \triangleq$  Basisschaltung, Index  $e \triangleq$  Emitterschaltung, Index  $c \triangleq$  Kollektorschaltung

### ■ Umrechnung der h-Kennwerte aus Grundschaltungen:

$h_{11e} \approx \frac{h_{11b}}{1 + h_{21b}}$	$h_{11b} \approx \frac{h_{11e}}{1 + h_{21e}}$	$h_{11c} \approx h_{11e}$	$h_{11c} \approx \frac{h_{11b}}{1 + h_{21b}}$
$h_{12e} \approx \frac{\det h_b - h_{12b}}{1 + h_{21b}}$	$h_{12b} \approx \frac{\det h_e - h_{12e}}{1 + h_{21e}}$	$h_{12c} \approx 1$	$h_{12c} \approx 1$
$h_{21e} \approx -\frac{h_{21b}}{1 + h_{21b}}$	$h_{21b} \approx -\frac{h_{21e}}{1 + h_{21e}}$	$h_{21c} \approx -(1 + h_{21e})$	$h_{21c} \approx -\frac{1}{1 + h_{21b}}$
$h_{22e} \approx \frac{h_{22b}}{1 + h_{21b}}$	$h_{22b} \approx \frac{h_{22e}}{1 + h_{21e}}$		$h_{22c} \approx \frac{h_{22b}}{1 + h_{21b}}$
$\det h_e \approx \frac{\det h_b}{1 + h_{21b}}$	$\det h_e \approx \frac{\det h_e}{1 + h_{21e}}$	$\det h_c \approx 1 + h_{21e} \approx -h_{21c}$	$\det h_c \approx \frac{1}{1 + h_{21b}} \approx -h_{21c}$

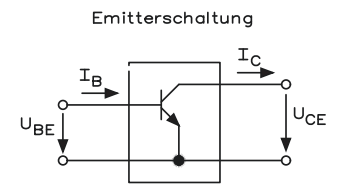
### Basisschaltung:

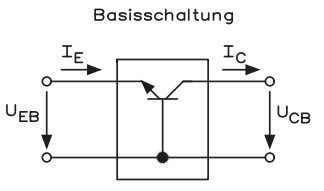
$$\begin{split} h_{11b} &\approx \frac{h_{11e}}{1 + h_{21e}} \\ h_{12b} &\approx \frac{\det h_e - h_{12e}}{1 + h_{21e}} \\ h_{21b} &\approx -\frac{h_{21e}}{1 + h_{21e}} \\ h_{22b} &\approx \frac{h_{22e}}{1 + h_{21e}} \end{split}$$

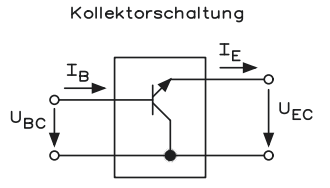
## Kollektorschaltung

$$\begin{split} h_{11c} &= h_{11e} \\ h_{12c} &= 1 \\ h_{21c} &= -(1+h_{21e}) \\ h_{22c} &= h_{22e} \end{split}$$

#### Umrechnung der y-Kennwerte aus den Grundschaltungen 11.9







### **Emitterschaltung:**

### Basisschaltung:

### Kollektorschaltung:

$$y_{11e} = y_{11b} + y_{12b} + y_{21b} + y_{22b}$$
  $y_{11b} = y_{11e} + y_{12e} + y_{21e} + y_{22e}$   $y_{11c} = y_{11e}$   
 $y_{12e} = -(y_{12b} + y_{22b})$   $y_{12b} = -(y_{12e} + y_{22e})$   $y_{12c} = -(y_{12e} + y_{22e})$ 

$$y_{11b} - y_{11e} + y_{12e} + y_{21e} + y_{21e} + y_{12h} = -(y_{12e} + y_{22e})$$

$$y_{11c} = y_{11e}$$

$$y_{12b} = -(y_{12e} + y_{22e})$$
  $y_{12c} = -(y_{11e} + y_{12e})$ 

$$y_{12c} = -(y_{11e} + y_{12e})$$
$$y_{21c} = -(y_{11e} + y_{21e})$$

$$y_{21e} = y_{21b}$$
$$y_{22e} = y_{22b}$$

$$y_{22b} = y_{21b}$$
$$y_{22b} = y_{22e}$$

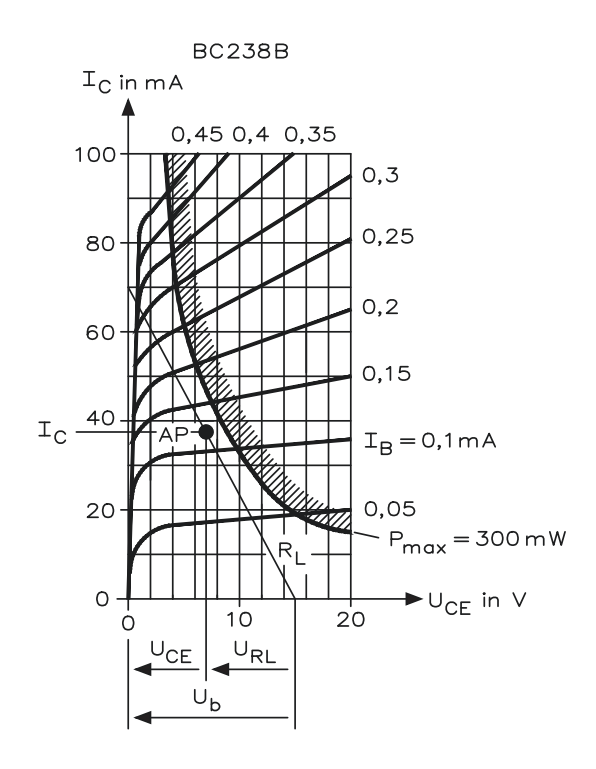
$$y_{22c} = y_{11e} + y_{12e} + y_{21e} + y_{22e}$$

$$\det y_e = y_{11h} \cdot y_{22h} - y_{12h} \cdot y_{21h}$$

$$\det y_e = y_{11b} \cdot y_{22b} - y_{12b} \cdot y_{21b} \quad \det y_b = y_{11e} \cdot y_{22e} - y_{12e} \cdot y_{21e} \quad \det y_c = y_{11e} \cdot y_{22e} - y_{12e} \cdot y_{21e}$$

$$\det y_c = y_{11e} \cdot y_{22e} - y_{12e} \cdot y_{21e}$$

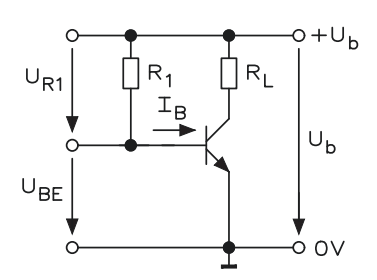
#### 11.10 Verlustleistung



$$\begin{split} P_{\text{max}} &\approx P_{CE} = U_{CE} \cdot I_{C} \\ P_{\text{max}} &\approx 0.9 \cdot P_{\text{tot}} \end{split}$$

 $P_{\text{max}}$  maximale Verlustleistung  $P_{\rm tot}$ Gesamtverlustleistung

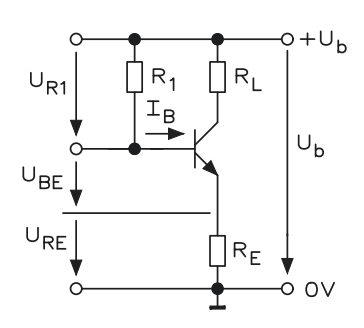
### 11.11 Arbeitspunkteinstellung



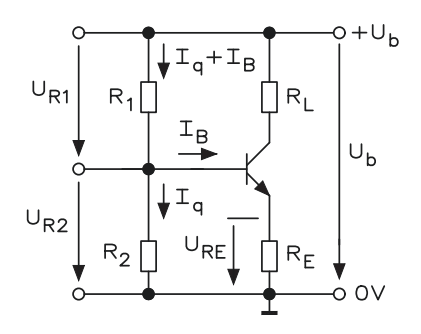
$$R_{1} = \frac{U_{R1}}{I_{B}}$$

$$U_{R1} = U_{b} - U_{BE}$$

 $U_{BE}$  Basis-Emitter-Spannung  $U_b$  Betriebsspannung



$$R_1 = \frac{U_{R1}}{I_B}$$
 
$$U_{R1} = U_b - U_{BE} - U_{RE}$$
 b



$$R_{L} = \frac{U_{R1}}{I_{q} + I_{B}}$$

$$R_{1} = \frac{U_{R1}}{I_{q} + I_{B}}$$

$$U_{B} = U_{BE} - U_{RE}$$

$$R_{2} = \frac{U_{R2}}{I_{q}}$$

$$U_{R2} = U_{BE} + U_{RE}$$

 $I_B$  Basisstrom  $I_q$  Querstrom

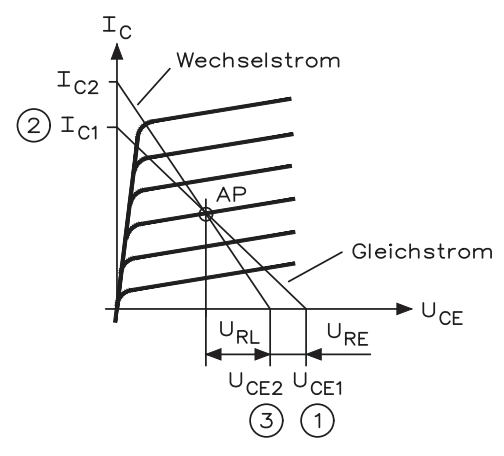
Bestimmung von  $R_L$ :

$$\begin{split} R_L &= \frac{U_{RL}}{I_C} \\ U_{RL} &= U_b - U_{CE} - U_{RE} \end{split}$$

Bestimmung von  $R_E$ :

$$R_E \approx \frac{U_{RE}}{I_C}$$
 in der Praxis:  $R_E \approx 0.1 \cdot R_L$ 

### 11.12 Arbeitsgerade für Gleich- und Wechselstrom



Für Gleichstrom:

Punkt 1:  $U_{CE1} = U_b$ , da  $I_C = 0$ 

Punkt 2:  $I_{C1} = \frac{U_b}{R_L + R_F}$ , da  $U_{CE} = 0$ 

ohne  $R_E$ :  $I_{C1} = \frac{U_b}{R_I}$ 

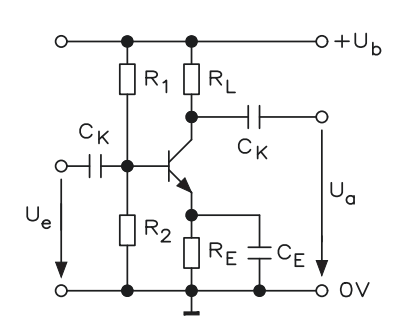
Gleichstrom Für Wechselstrom bei Ohm'scher Belastung:

Punkt 3:  $U_b - U_{RE} = U_{CE2}$ 

Verbindung mit AP ergibt die Wechselstromarbeitsgerade

$$I_{C2} = \frac{U_{CE2}}{R_L} \quad \text{oder } I_C = \frac{U_{RL}}{R_L}$$

### 11.13 Kleinsignalverstärkung (Emitterschaltung)



$$\begin{aligned} v_i &= \beta \cdot \frac{R_C}{R_C + R_L} \\ v_u &= v_i \cdot \frac{R_L}{r_{ee}} \\ v_u &= \frac{\beta}{r_e} \cdot \frac{R_C \cdot R_L}{R_C + R_L} \\ v_p &= v_u \cdot v_i \end{aligned}$$

$$v_i$$
 Stromverstärkung  $r_e$  Eingangswiderstand  $\beta = h_{21e}$  Kurzschluss-Stromverstärkung  $R_C = \frac{1}{h_{22}}$  Leerlauf-Ausgangswiderstand  $R_L$  Lastwiderstand  $r_{ee} = h_{11}$  Kurzschluss-Eingangswiderstand

Spannungsverstärkung

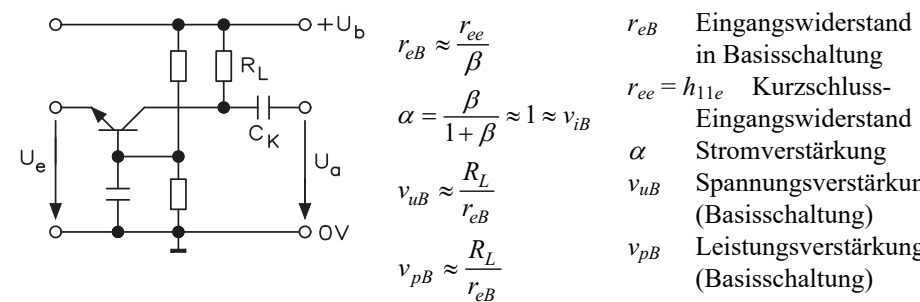
Leistungsverstärkung

Stromverstärkung

 $v_i$ 

 $v_{p}$ 

#### Kleinsignalverstärkung (Basisschaltung) 11.14



$$r_{eB} \approx \frac{r_{ee}}{\beta}$$

$$\alpha = \frac{\beta}{1+\beta} \approx 1 \approx v_{iB}$$

$$v_{uB} \approx \frac{R_L}{r_{cB}}$$

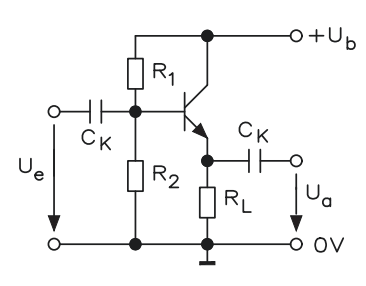
$$v_{pB} \approx \frac{R_L}{r_{eB}}$$

Eingangswiderstand

Spannungsverstärkung

Leistungsverstärkung

#### Kleinsignalverstärkung (Kollektorschaltung) 11.15



$$r_{ek} \approx \beta \cdot R_L$$

$$\frac{1}{r_{ein}} = \frac{1}{r_{ek}} + \frac{1}{R_1}$$

$$r_{ak} \approx \frac{R_i + r_{ee}}{\beta}$$

$$\gamma = \beta + 1 \approx v_{ik}$$

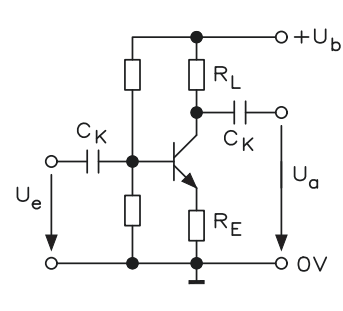
$$v_{uk} \approx 1$$

$$v_{nk} \approx \gamma$$

 $r_{ek}$  Eingangswiderstand in Kollektorschaltung Stromverstärkungsfaktor  $v_{uk}$  Spannungsverstärkung v<sub>pk</sub> Leistungsverstärkung Stromverstärkung  $v_{ik}$ 

Innenwiderstand der Signalquelle

#### 11.16 Stromgegenkopplung



$$\alpha = \frac{U_{gk}}{U_{a^{\sim}}} = \frac{U_{RE^{\sim}}}{U_{a^{\sim}}}$$

$$v_u' = \frac{v_u}{1 + \alpha \cdot v_u}$$

$$k' = \frac{k}{1 + \alpha \cdot v_u}$$

Für die Praxis:

$$v_u \approx \frac{R_L}{R_E}$$

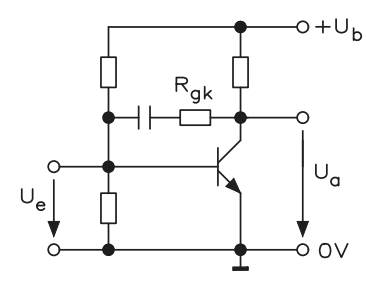
 $\alpha = \frac{U_{gk}}{U_{a^{\sim}}} = \frac{U_{RE^{\sim}}}{U_{a^{\sim}}} \qquad \begin{array}{c} \alpha \quad \text{Teil der rückgekoppelten} \\ \text{Spannung} \\ U_{gk} \quad \text{rückgekoppelte Spannung} \\ U_{a^{\sim}} \quad \text{Ausgangswechselspannung} \\ k' = \frac{k}{1 + \alpha \cdot v_u} \quad U_{RE^{\sim}} \quad \text{Emitterwechselspannung} \\ v_u \quad \text{Spannungsverstärkung} \\ \end{array}$ 

Spannungsverstärkung bei Gegenkopplung

k Klirrfaktor

k'Klirrfaktor bei Gegenkopplung

#### Spannungsgegenkopplung 11.17



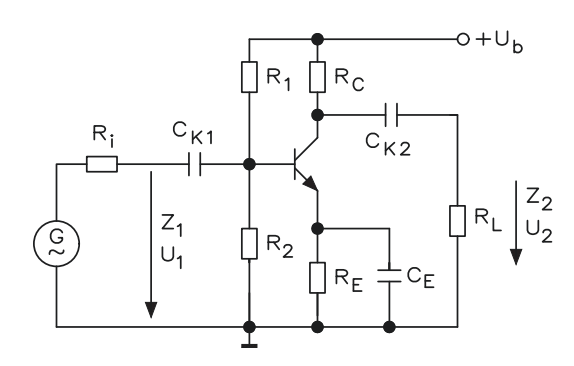
$$\alpha = \frac{U_{gk}}{U_{a^{\sim}}}$$

$$v_u' = \frac{v_u}{1 + \alpha \cdot v_u}$$

$$k' = \frac{k}{1 + \alpha \cdot v_u}$$

- Teil der rückgekoppelten Spannung
- $U_{gk}$  rückgekoppelte Spannung
- $U_{a\sim}$  Ausgangswechselspannung
- Spannungsverstärkung
- v'<sub>u</sub> Spannungsverstärkung bei Gegenkopplung
- k Klirrfaktor
- k'Klirrfaktor bei Gegenkopplung
- $R_{gk}$  Widerstand für Gegenkopplung

#### 11.18 Kopplungskondensatoren

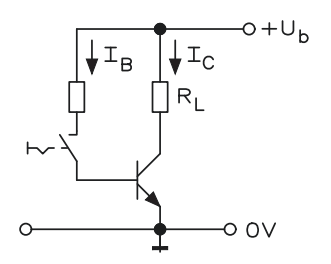


$$\begin{split} f_u &\approx \sqrt{n} \cdot f_g \\ X_{CK1} &= R_i + Z_1 \\ X_{CK2} &= R_L + Z_2 \\ X_{CE} &\approx \frac{r_{BE} + R_i}{\beta} \end{split}$$

untere Grenzfrequenz der Verstärkerschaltung  $f_u$ Anzahl der Hochpässe n  $f_g$ Grenzfrequenz des einzelnen Hochpasses  $X_{CK1}$ Blindwiderstand des Eingangskondensators  $X_{CK2}$ Blindwiderstand des Ausgangskondensators  $R_i$ Innenwiderstand der Signalquelle  $Z_1$ Wechselstrom-Eingangswiderstand  $Z_2$ Wechselstrom-Ausgangswiderstand  $r_{BE} \approx h_{11e}$  Eingangswiderstand (Emitterschaltung) Blindwiderstand des Emitterkondensators  $X_{CE}$ β

Kurzschluss-Stromverstärkungsfaktor

### 11.19 Transistor als Schalter



Schaltzustand "Ein":

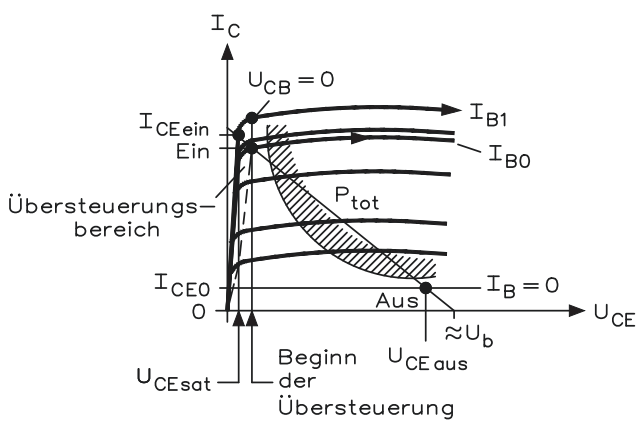
$$R_1 \approx \frac{B_{\min} \cdot R_L}{\ddot{u}}$$

$$II.$$

$$I_{CEin} \approx \frac{U_b}{R_L}$$

R<sub>1</sub> Basiswiderstand

ü Übersteuerungsfaktor (2...10)



$$\ddot{u} = \frac{I_{B1}}{I_{B0}} = \frac{B_{\min} \cdot I_{B1}}{I_{CEin}}$$

$$P_V = U_{CEsat} \cdot I_{CEin}$$

$$P_S \approx U_b \cdot I_{CEin}$$

Schaltzustand "Aus" ( $I_B = 0$ )

$$P_V = U_{CE0} \cdot I_{CE0}$$

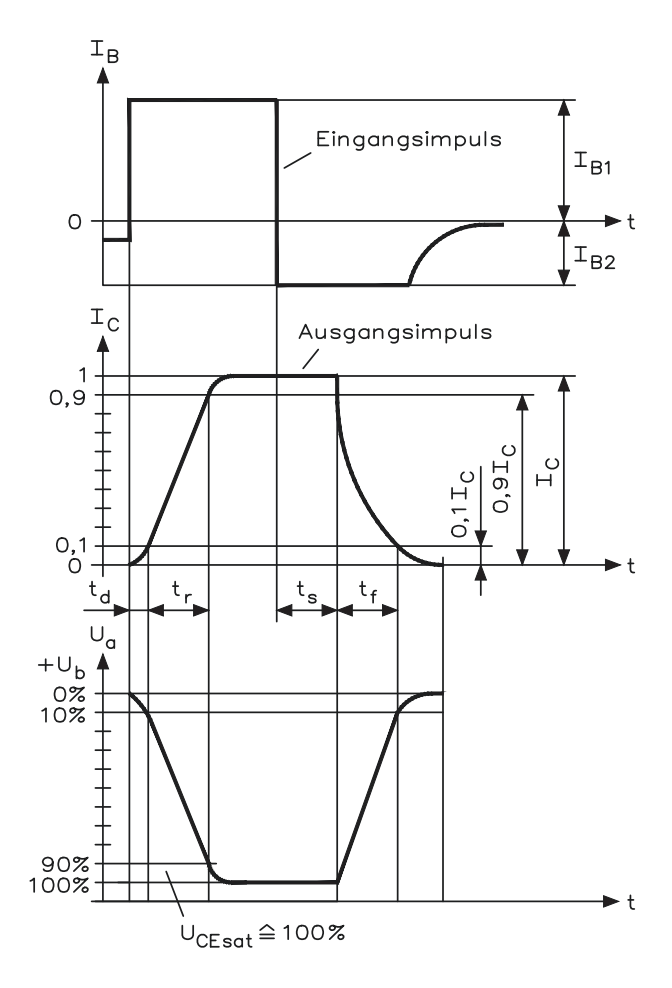
$$R_1 = \frac{U_{CE0}}{I_{CE0}}$$

U<sub>CEsat</sub> Sättigungsspannung

 $B_{\min}$  minimale Gleichstromverstärkung

 $P_S$  Schaltleistung des Transistors

 $P_V$  Durchgangsleistung des Transistors



Einschaltzeit  $t_{ein} = t_d + t_r$ Ausschaltzeit  $t_{aus} = t_s + t_f$   $t_{ein}$  Einschaltzeit (turn-on-time;  $t_{on}$ )

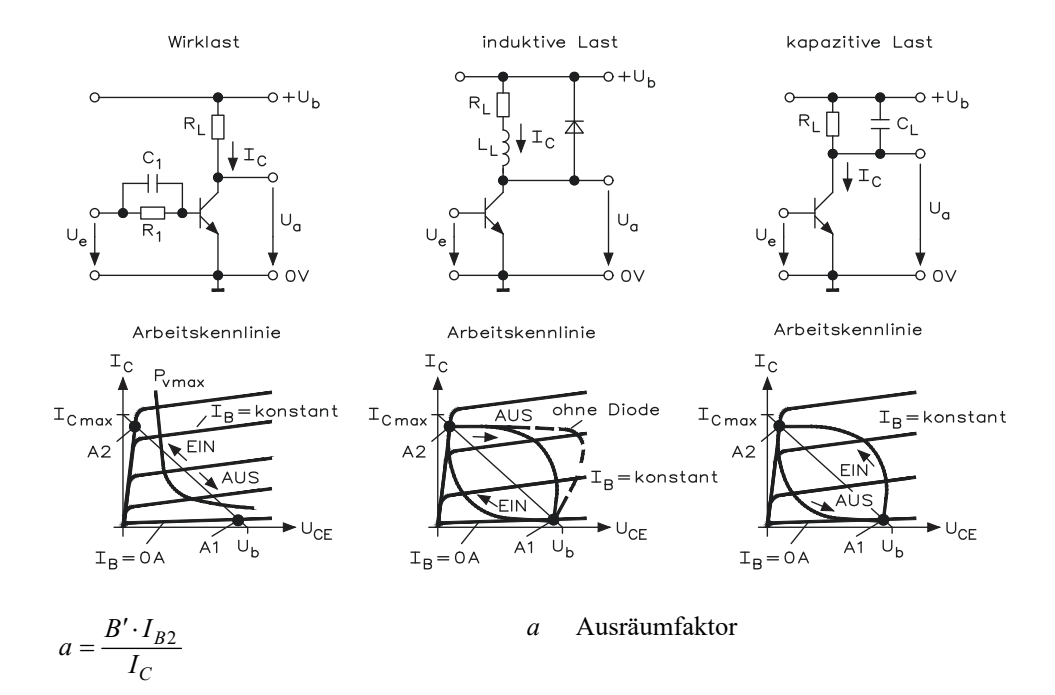
 $t_{aus}$  Ausschaltzeit (turn-off-time;  $t_{off}$ )

t<sub>d</sub> Verzögerungszeit (delay-time)

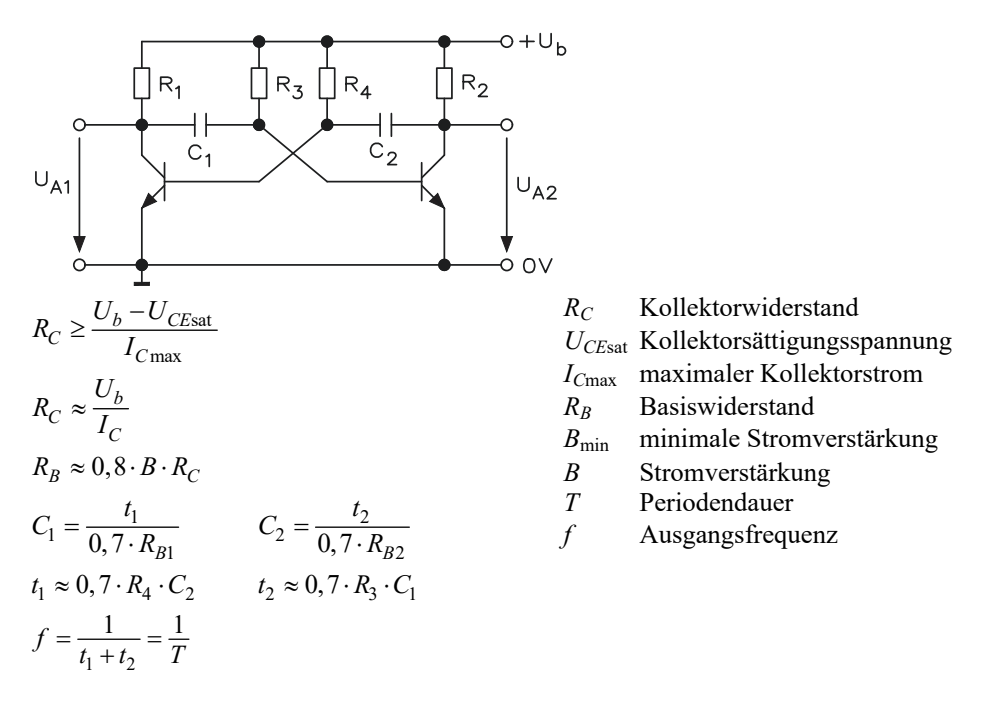
 $t_r$  Anstiegszeit (rise-time)

t<sub>s</sub> Abfallzeit (storage-time)

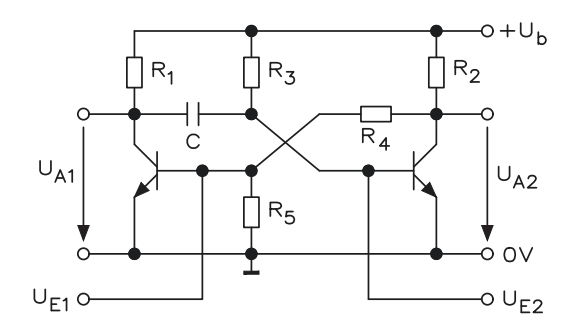
t<sub>f</sub> Abfallzeit (fall-time)



# 11.20 Astabile Kippschaltung (Rechteckgenerator)



## 11.21 Monostabile Kippschaltung



$$\begin{split} R_C &\approx \frac{U_b}{I_C} \\ R_{B2} &\leq B_{\min} \cdot R_{C2} \\ R_{B2} &\approx 0, 8 \cdot B \cdot R_{C2} \\ R_{B1} &\approx 0, 6 \cdot B \cdot R_{C1} \\ C &= \frac{t_2}{0, 7 \cdot r_{B2}} \\ t_m &\approx 0, 7 \cdot R_3 \cdot C \end{split}$$

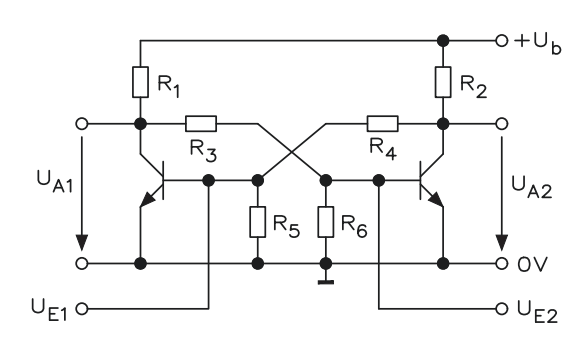
 $R_C$  Kollektorwiderstand  $R_B$  Basiswiderstand

C Verzögerungskondensator

 $t_m$  monostabile Zeit

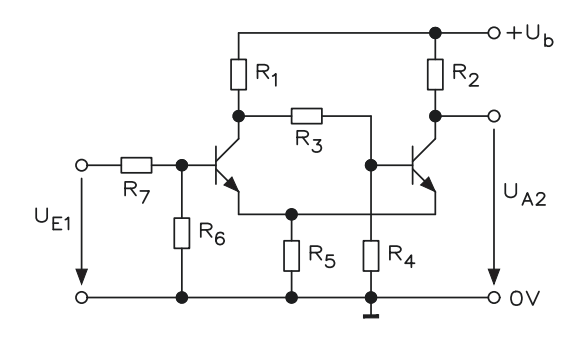
B Stromverstärkung

## 11.22 Bistabile Kippschaltung (Flipflop)



$$\begin{split} R_{C1} &\geq R_{C2} = \frac{U_b}{I_{C \max}} \\ R_{B1} &\leq 0, 2...0, 8 \cdot B \cdot R_2 \\ R_{B2} &\leq 0, 2...0, 8 \cdot B \cdot R_1 \\ R_1 &= R_2 \end{split}$$

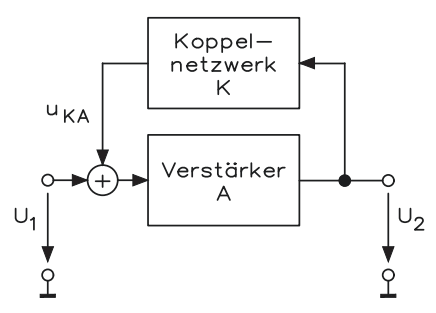
### 11.23 Schmitt-Trigger (Schwellwertschaltung)



$$U_{ein} = \frac{R_5}{R_5 + R_2} \cdot U_b + 0.7 \text{ V}$$
 
$$U_{aus} = \frac{R_5}{R_5 + R_1} \cdot U_b + 0.7 \text{ V}$$
 
$$\Delta U = U_{ein} - U_{aus}$$

### 11.24 Gegen- und Mitkopplung

### ■ Gegenkopplung (negative Rückkopplung):



$$u_{KA} = u_1 + K \cdot u_2$$

$$K = \frac{u_{KA}}{u_2} < 1$$

$$v_u' \approx \frac{v_u}{K \cdot u_u} = \frac{1}{K}$$

 $K \cdot v_u > 1$ : Selbsterregung

 $K \cdot v_u = 1$ : ideale Schwingungsbedingung

 $K \cdot v_u < 1$ : Schwingung wird bedämpft

K Koppelfaktor (Koppelfaktor des Netzwerkes)

 $u_1$  Eingangssignal der Schaltung

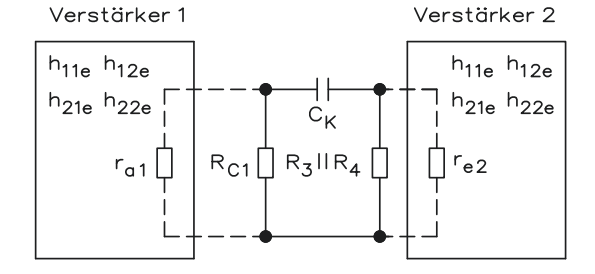
 $u_{KA}$  Ausgangssignal des Koppelnetzwerkes

*u*<sub>2</sub> Eingangsspannung des Koppelnetzwerkes und Ausgangsspannung

*v<sub>u</sub>* Spannungsverstärkung ohne Gegenkopplung

v'<sub>u</sub> Spannungsverstärkungsfaktor mit Gegenkopplung

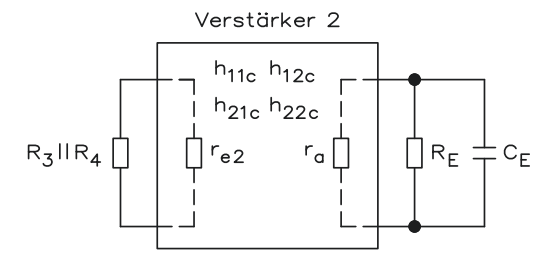
### Dimensionierung des Koppelkondensators $C_K$ :



 $f_u$  untere Grenzfrequenz

$$C_K = \frac{1}{2 \cdot \pi \cdot f_u(r_{a1} \parallel R_{C1} + R_3 \parallel R_4 \parallel r_{e2})}$$

### **Dimensionierung des Emitterkondensators** $C_E$ :



$$C_E \ge \frac{10}{2 \cdot \pi \cdot f_u(r_a \parallel R_E)}$$

### Mitkopplung (positive Rückkopplung):

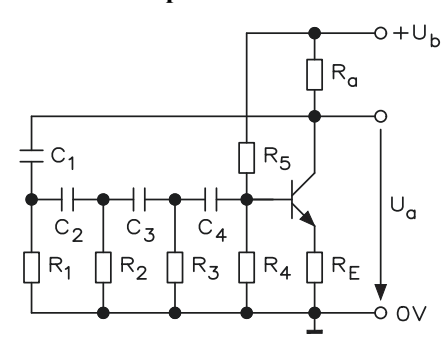
$$v'_{u} = \frac{v_{u}}{1 + K \cdot v_{u}}$$
$$k' = \frac{k}{1 + K \cdot v_{u}}$$

k'Klirrfaktor mit Gegenkopplung

Klirrfaktor ohne Gegenkopplung

#### 11.25 **RC-Phasenschieber-Generator**

## RC-Hochpass-Phasenschieber-Generator:



- bei vier RC-Gliedern: 
$$f = \frac{1}{2 \cdot \pi \cdot R \cdot C}$$
,

wenn 
$$R = R_1 = R_2 = R_3 = R_4$$
 und

$$C = C_1 = C_2 = C_3 = C_4$$

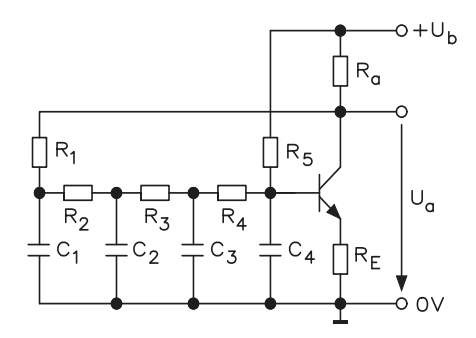
wenn 
$$R = R_1 = R_2 = R_3 = R_4$$
 und
$$C = C_1 = C_2 = C_3 = C_4$$
- bei drei RC-Gliedern:  $f = \frac{1}{15, 4 \cdot R \cdot C}$ ,
wenn  $R = R_1 = R_2 = R_3$  und  $C = C_1 = C_2 = C_3$ 

Erforderliche Verstärkung:
$$v_U > 18,5 \text{ (vier RC-Glieder)}$$

wenn 
$$R = R_1 = R_2 = R_3$$
 und  $C = C_1 = C_2 = C_3$ 

 $v_U > 29$  (drei RC-Glieder)

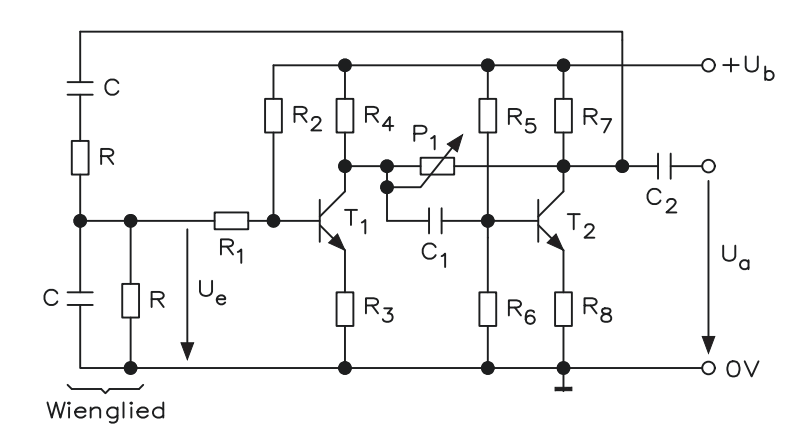
### RC-Tiefpass-Phasenschieber-Generator:



- bei vier RC-Gliedern:  $f = \frac{1}{2 \cdot \pi \cdot R \cdot C}$ , wenn  $R = R_1 = R_2 = R_3 = R_4$  und  $C = C_1 = C_2 = C_3 = C_4$
- bei drei RC-Gliedern:  $f = \frac{1}{2, 5 \cdot R \cdot C}$ , wenn  $R = R_1 = R_2 = R_3$  und  $C = C_1 = C_2 = C_3$

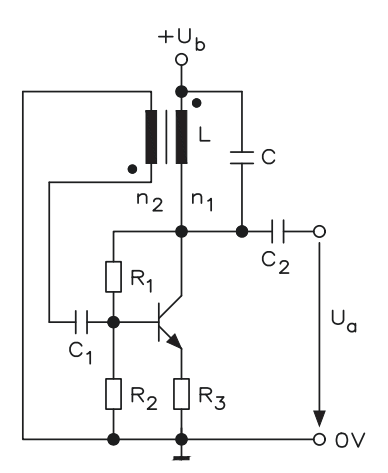
Erforderliche Verstärkung:  $v_U > 18,5$  (vier RC-Glieder)  $v_U > 29$  (drei RC-Glieder)

### 11.26 RC-Wienbrücken-Generator



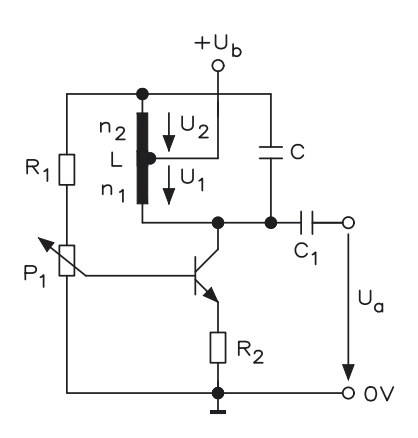
$$f = \frac{1}{2 \cdot \pi \cdot R \cdot C}$$
, wenn  $R = R_1 = R_2$  und  $C = C_1 = C_2$ 

# 11.27 Meißner-Schaltung



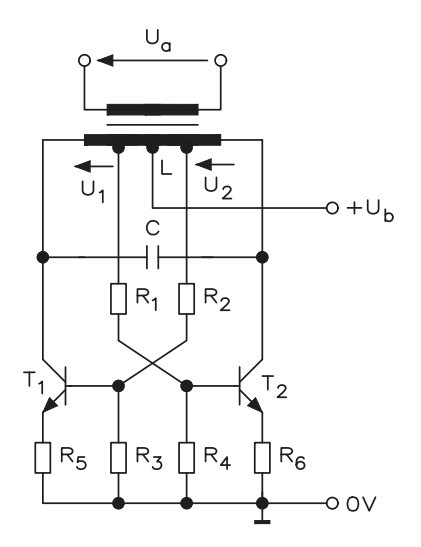
$$f = \frac{1}{2 \cdot \pi \cdot \sqrt{C \cdot L}}$$

# 11.28 Hartley-Schaltung



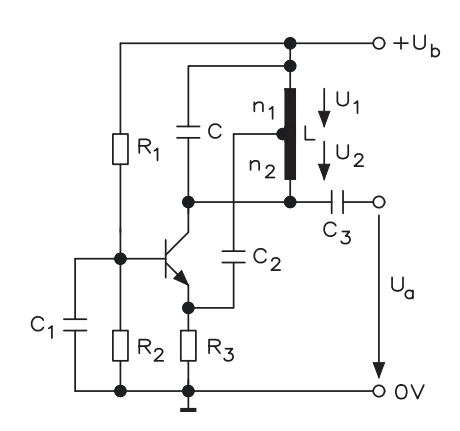
$$f = \frac{1}{2 \cdot \pi \cdot \sqrt{C \cdot L}}$$

# 11.29 Gegentakt-Hartley-Schaltung



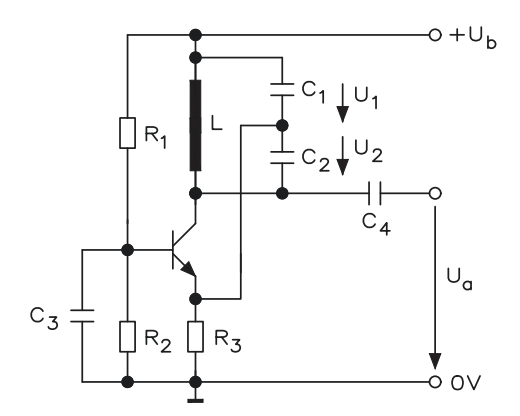
$$f = \frac{1}{2 \cdot \pi \cdot \sqrt{C \cdot L}}$$

# 11.30 Colpits-Schaltung I



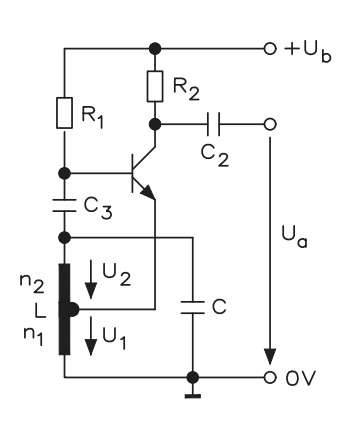
$$f = \frac{1}{2 \cdot \pi \cdot \sqrt{C \cdot L}}$$

# 11.31 Colpits-Schaltung II



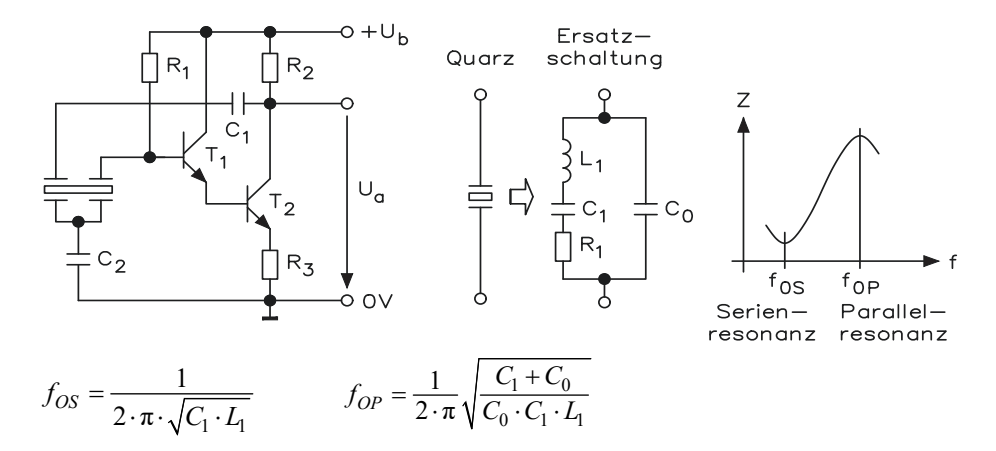
$$f = \frac{1}{2 \cdot \pi \cdot \sqrt{C \cdot L}}$$
$$C = \frac{C_1 \cdot C_2}{C_1 + C_2}$$

# 11.32 ECO-Schaltung

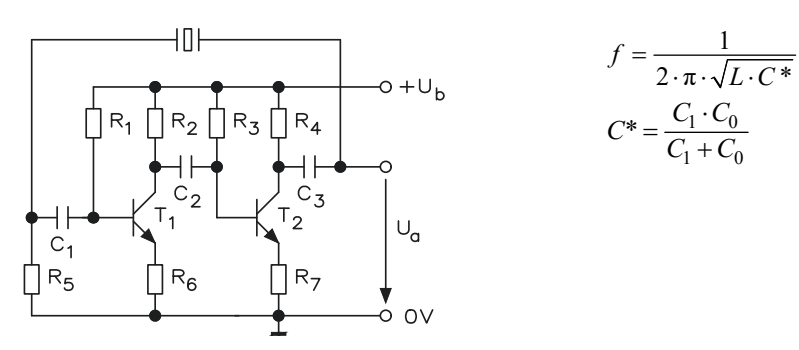


$$f = \frac{1}{2 \cdot \pi \cdot \sqrt{C \cdot L}}$$

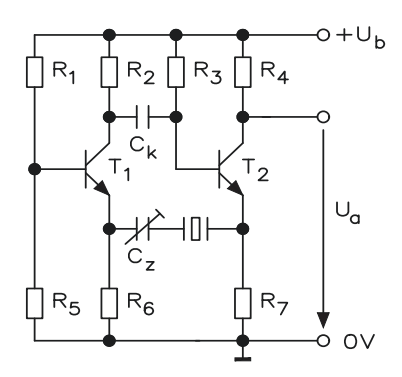
### 11.33 Quarzschaltung für niedrige Frequenzen



### 11.34 Quarzschaltung für hohe Frequenzen



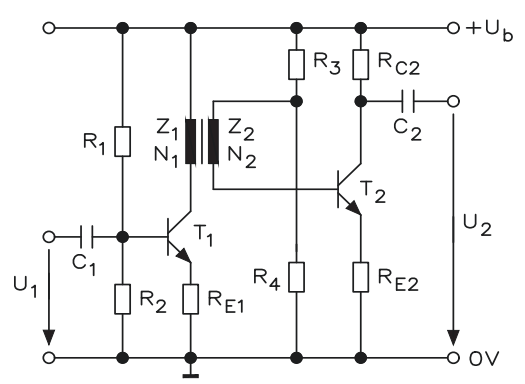
## 11.35 Quarzschaltung für sehr hohe Frequenzen



Durch eine Kapazität  $C_Z$  in Reihe zum Quarz kann die Frequenz geringfügig korrigiert werden.

- Oberwellenerregung bei  $f>10~\mathrm{MHz}$  Soll der Oszillator auf einer Oberwelle der Quarzfrequenz schwingen, muss außer dem Quarz ein LC-Schwingkreis eingesetzt werden, der auf die gewünschte Oberwelle abzustimmen ist.

# 11.36 Induktive Kopplung bei Kleinsignalverstärkern



$$v_{\varphi} = v_1 + v_2 + v_3 + \dots$$

$$\ddot{u} = \sqrt{\frac{Z_1}{Z_2}}$$

$$R_1 = \frac{(U_b - U_{BE} - U_E) \cdot B}{(n+1) \cdot I_C}$$

$$R_2 = \frac{(U_b - U_E) \cdot B}{(n \cdot I_C)}$$

$$R_E = R_{E1} = R_{E2} = \frac{U_E}{I_C + I_B}$$

*ü* Übersetzungsverhältnis

Wechselstrom-Eingangswiderstand Wechselstrom-Ausgangswiderstand

 $R_1, R_2$  Spannungsteilerwiderstand

B Stromverstärkung

 $Z_1$ 

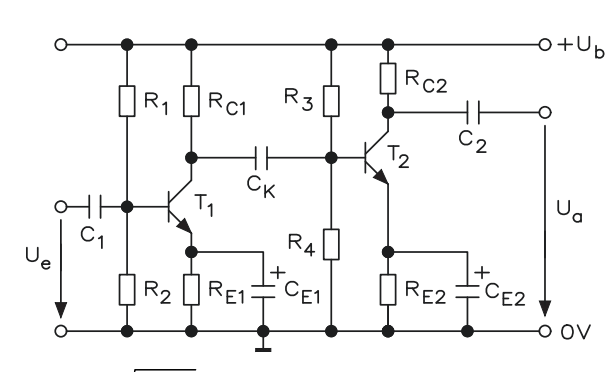
 $Z_2$ 

 $U_E$ 

 $R_E$  Emitterwiderstand

Spannung am Emitterwiderstand

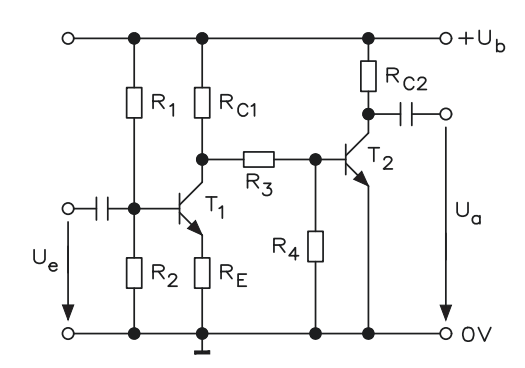
# 11.37 Kapazitive Kopplung bei Kleinsignalverstärkern



$$f_g' = f_g \cdot \sqrt{2^{(n-1)}}$$

in der Praxis: 
$$C_E = C_{E1} = C_{E2} = \frac{10}{2 \cdot \pi \cdot f_u \cdot R_E}$$

# 11.38 Gleichstromkopplung bei Kleinsignalverstärkern



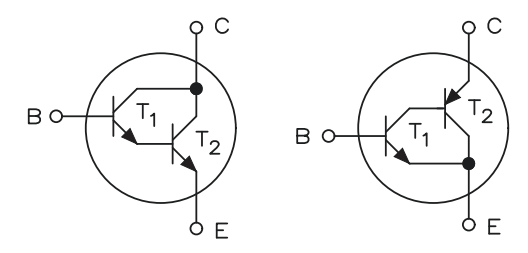
$$R_{C2} = \frac{(U_b - U_{BE} - U_e) \cdot B}{(n+1) \cdot I_C}$$

$$R_2 = \frac{(U_b - U_e) \cdot B}{(n \cdot I_C)}$$

$$U_{C} = R_{C1} = R_{C2} = \frac{U_b - U_{CE} - (I_C \cdot R_E)}{I_C}$$

$$R_E = \frac{U_E}{I_C + I_B} \text{ in der Praxis: } v_u \approx \frac{R_C}{R_E}$$

# 11.39 Darlington-Schaltung



#### Gleichartige Transistoren

$$\beta \approx \beta_1 \cdot \beta_2$$

$$r_{BE} = r_{BE1} + \beta_1 \cdot r_{BE2}$$

$$r_{CE} = r_{CE2} + \left\| \frac{2 \cdot r_{CE1}}{\beta_2} \right\|$$

 $r_{BE}$  dynamischer Basis-Emitter-Widerstand  $\beta$  dynamische Stromverstärkung

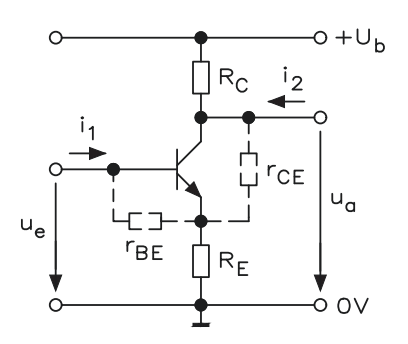
# Komplementäre Transistoren

$$\beta = \beta_1 \cdot \beta_2$$

$$r_{BE} = r_{BE1}$$

$$r_{CE} = r_{CE2} + \left\| \frac{r_{CE1}}{\beta_2} \right\|$$

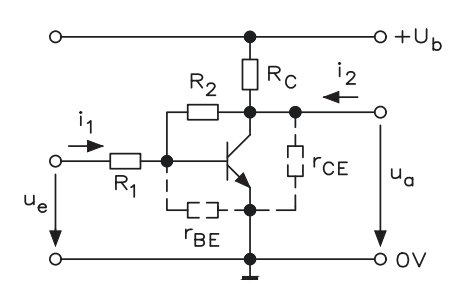
# 11.40 Emitterschaltung mit Stromgegenkopplung



$$\begin{aligned} v_u &= \frac{u_a}{u_e} \approx \frac{R_C}{R_E} \\ r_e &= \frac{u_e}{i_e} = r_{BE} + \beta \cdot R_E \approx \beta \cdot R_E \\ r_a &= \frac{u_a}{i_a} = R_C \parallel r_{CE} \left( 1 + \beta \frac{R_E}{r_{BE}} \right) \approx R_C \end{aligned}$$

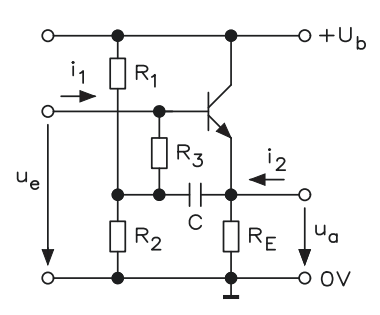
# 11.41 Emitterschaltung mit Spannungsgegenkopplung

 $r_e$ 



$$\begin{aligned} v_u &= \frac{u_a}{u_e} \approx \frac{R_2}{R_1} \\ r_e &= R_1 + \left( r_{BE} \parallel R_2 \cdot \frac{R_2}{v_u} \right) \approx R_1 \\ r_a &= R_C \parallel r_{CE} \end{aligned}$$

# 11.42 Bootstrap-Schaltung



$$\begin{aligned} v_u &= 1 \\ r_e &= (r_{BE} + \beta \cdot R_E) \parallel R_3 \frac{\beta(R_E \parallel r_{CE})}{r_{BE}} \\ r_a &\approx R_E \left\| \frac{r_{BE} + R_3}{\beta} \right. \end{aligned}$$

 $r_a$  dynamischer Ausgangswiderstand  $f_u$  untere Grenzfrequenz  $R_E$  Emitterwiderstand

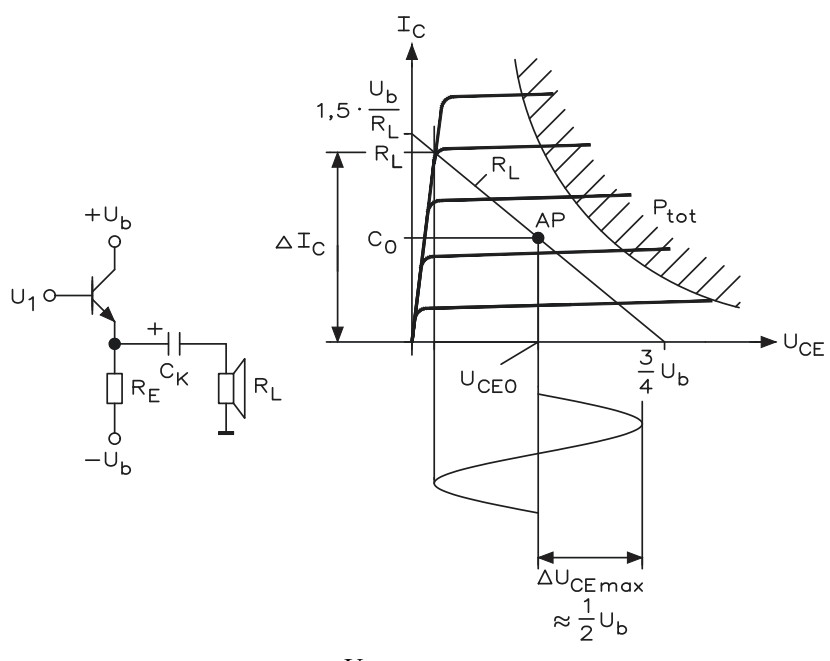
dynamischer Eingangswiderstand

 $r_{BE}$  dynamischer Basis-Emitter-Widerstand  $r_{CE}$  dynamischer Kollektor-Emitter-Widerstand

$$\begin{aligned} R_1 & \| R_2 \ge 10 \cdot R_E \\ C \ge \frac{5}{2 \cdot \pi \cdot f_u (R_1 \parallel R_2)} \\ I_B \cdot R_3 & << U_{BE} \end{aligned}$$

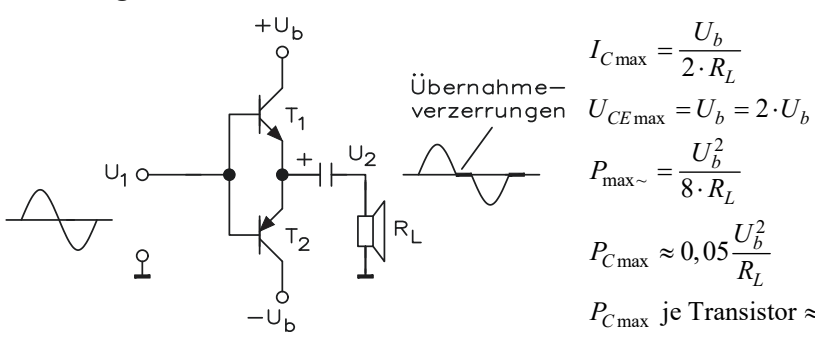
#### Leistungsverstärker 11.43

### Leistungsverstärker mit A-Betrieb (Emitterschaltung):



$$\begin{split} U_{CE\,\text{max}} &= U_b & I_{C\,\text{max}} &= \frac{U_b}{2 \cdot R_L} \\ P_{\sim} &= \frac{U_b^2}{8 \cdot R_L} & P_{-} &= \frac{U_b^2}{4 \cdot R_L} \\ \eta &= \frac{P_{\sim}}{P_{-}} & C_K &= \frac{1}{2 \cdot \pi \cdot f_u \cdot R_L} \end{split}$$

# Leistungsverstärker mit B-Betrieb:



$$I_{C \max} = \frac{S_b}{2 \cdot R_L}$$

$$U_{CE \max} = U_b = 2 \cdot U_b$$

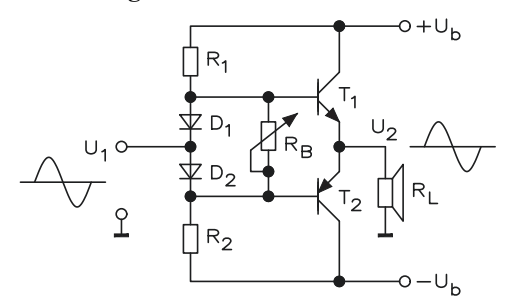
$$P_{\max} = \frac{U_b^2}{8 \cdot R_L}$$

$$P_{C \max} \approx 0.05 \frac{U_b^2}{R_L}$$

$$P_{C \max} \text{ je Transistor} \approx P_{\max}$$

$$\eta_{\max} = 0.785 \qquad R_L = \frac{U_b^2}{8 \cdot P_{\max}}$$

#### Leistungsverstärker mit AB-Betrieb:



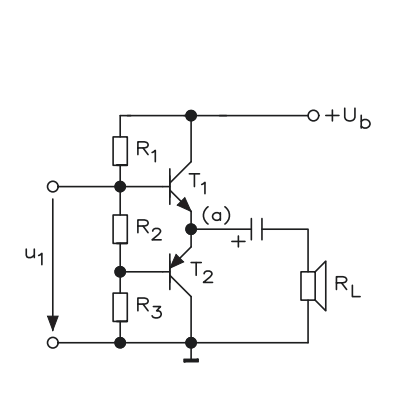
$$U_{CE \max} = 2 \cdot U_b$$

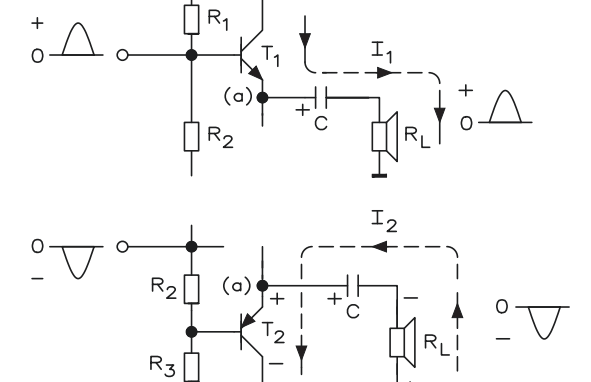
$$I_{C \max} = \frac{U_b}{2 \cdot R_L}$$

$$P_{\sim} = \frac{U_b^2}{8 \cdot R_L}$$

$$P_{-} = \frac{U_b^2}{4 \cdot R_L}$$

# • Leistungsverstärker mit komplementärem AB-Betrieb:

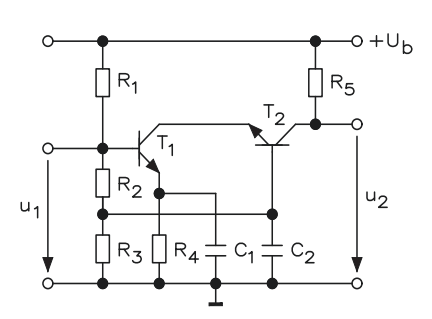




$$U_{CE \max} = 2 \cdot U_b \qquad I_{C \max} = \frac{U_b}{2 \cdot R_L}$$

$$P_{\sim} = \frac{U_b^2}{8 \cdot R_L} \qquad P_{-} = \frac{U_b^2}{4 \cdot R_L}$$

# 11.44 Kaskode-Schaltung

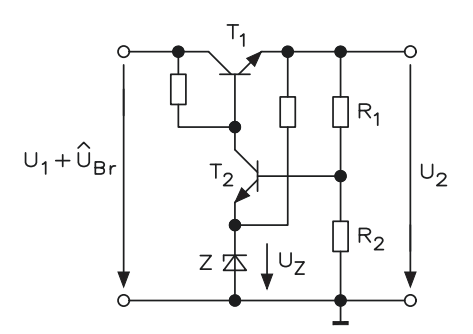


$$r_e = r_{BE1} \parallel R_2 \parallel R_3$$
$$r_a \approx R_5$$

 $r_e$  Eingangswiderstand  $r_a$  Ausgangswiderstand  $r_{BE}$  Basis-Emitter-Widerstand

β Wechselstromverstärkung

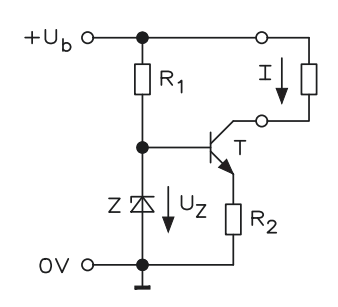
#### Konstantspannungsquelle 11.45



$$U_2 \approx (U_Z + U_{BET2}) \frac{R_1 + R_2}{R_2}$$
$$U_1 - \hat{U}_{Br} \ge U_2 + U_{CEsatT1}$$

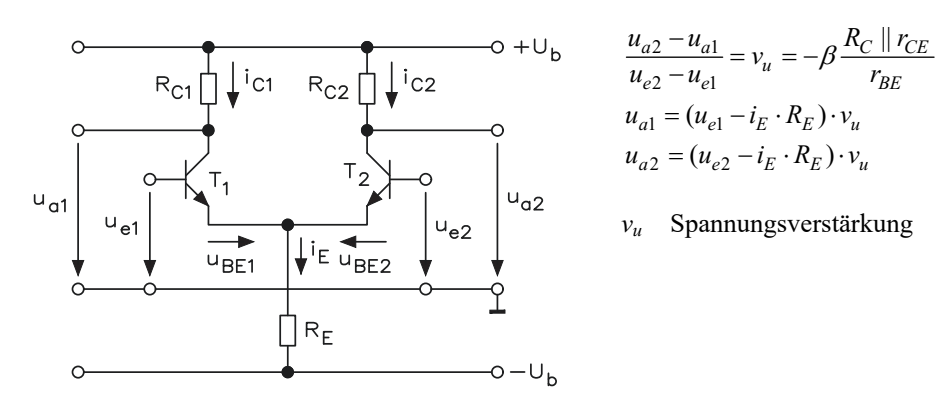
213

#### 11.46 Konstantstromquelle



$$I = \frac{U_Z - U_{BE}}{R_2}$$

#### 11.47 Differenzverstärker

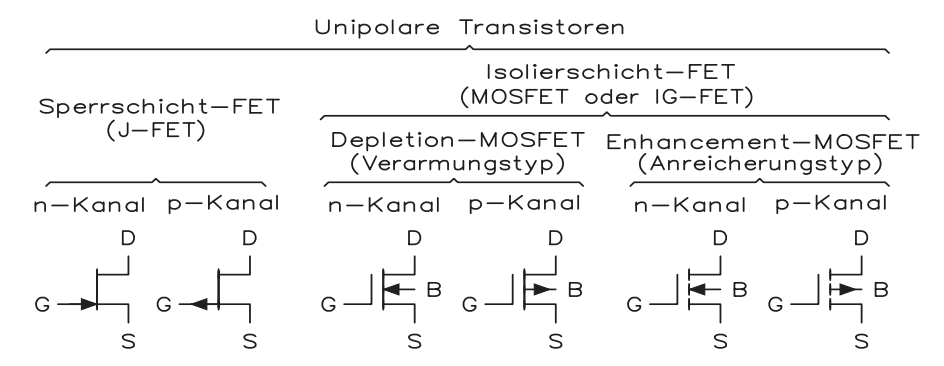


$$\begin{aligned} & \frac{u_{a2} - u_{a1}}{u_{e2} - u_{e1}} = v_u = -\beta \frac{R_C \parallel r_{CE}}{r_{BE}} \\ & u_{a1} = (u_{e1} - i_E \cdot R_E) \cdot v_u \\ & u_{a2} = (u_{e2} - i_E \cdot R_E) \cdot v_u \end{aligned}$$

Feldeffekttransistor, MOSFET und Röhren

Während man bei den Transistoren nur zwei Möglichkeiten (npn oder pnp) kennt, hat man bei Feldeffekttransistor und MOSFET sechs verschiedene Grundtypen.

#### Aufteilung von Feldeffekttransistoren und MOSFETs



Bei den Sperrschicht-Feldeffekttransistoren besteht der Kanal zwischen Source (Quelle) und Drain (Abfluss) aus n- oder p-Material. Zwischen dem Kanal und den Anschlüssen für Source und Drain tritt keine Sperrrichtung auf. Mittels eines Ohmmeters kann man den Kanalwiderstand direkt messen, ohne dass auf die Polarität des Messgeräts geachtet werden muss. In den Schaltzeichen gibt es zwar die Bezeichnungen Source und Drain, aber diese beiden Anschlüsse lassen sich vertauschen, da hier keine pn-Übergänge vorhanden sind. Die Bezeichnungen für Source und Drain stellen sich je nach der Polarität der angelegten Betriebsspannung ein. Der Stromfluss zwischen Source und Drain lässt sich über eine Raumladungszone eines gesperrten pn-Übergangs steuern, der den Kanal entsprechend abschnürt (verengt). Der pn-Übergang zwischen Gate und Kanal muss in Sperrrichtung betrieben werden und daher auch die Bezeichnungen J-FET (Junction) oder pn-FET. Da in Sperrrichtung zwischen Gate und Kanal nur ein sehr kleiner Strom (Größenordnung  $I_G < 1$  nA) fließt, arbeitet der Feldeffekttransistor im Gegensatz zum bipolaren Transistor leistungslos.

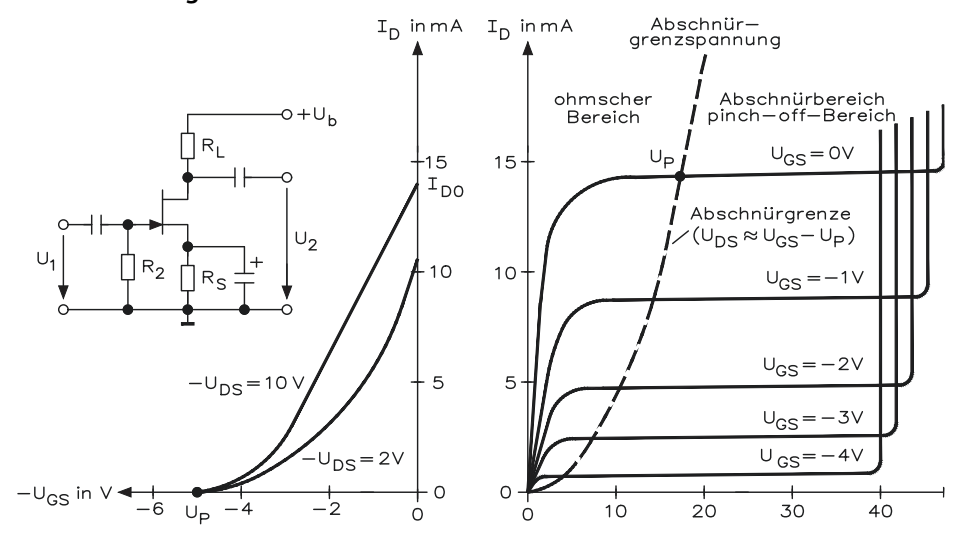
Bei einem Isolierschicht-FET befindet sich zwischen Gate und Kanal eine hochohmige Isolierschicht aus Siliziumdioxid SiO<sub>2</sub> und daher auch die Bezeichnung "IG-FET" (Insulated Gate Field Effect Transistor) oder MOSFET (Metal Oxide-Semiconductor-FET). Durch die sehr hochohmige Isolierschicht erreicht man sehr hohe Eingangswiderstände bis zu  $10^{25}\,\Omega$ , jedoch müssen entsprechende Vorsichtsmaßnahmen bei MOSFET-Bauelementen getroffen werden. Wenn an das Gate eine hohe Spannung angelegt wird, kann es zu einem Durchbruch an dem Gatedioxid kommen. Da dieser Vorgang nicht reversibel ist, lässt sich nach einem Spannungsdurchbruch der MOSFET-Baustein nicht mehr einsetzen.

Bei den MOSFET-Transistoren muss man zwischen dem Verarmungs- und dem Anreicherungstyp unterscheiden. Bei einem Verarmungstyp ist zwischen Source und Drain ein bestimmter Kanalwiderstand vorhanden, der sich je nach Spannung am Gate "verarmen" oder "anreichern" lässt. Während beim Verarmungstyp beide Betriebsarten möglich sind, kann beim Anreicherungstyp der Kanal nur durch Ladungsträger aus dem Substrat bzw. Bulk (Grundkörper) "angereichert" werden. In diesem Fall besteht zwischen Source und Drain ein hochohmiger Kanalwiderstand und es fließt kein Strom  $I_D$  (Drain-Strom). Hat das Gate die richtige Polarität, werden Ladungsträger aus dem Substrat oder Bulk angezogen, es bildet sich ein Kanal und der Drainstrom  $I_D$  fließt.

#### 12.1 Feldeffekttransistor (FET)

Im Feldeffekttransistor (FET) fließt der zu steuernde Strom in einem Kanal aus n- oder p-leitendem Siliziumstab. Man unterscheidet zwischen N-Kanal-FET und P-Kanal-FET. Der Feldeffekttransistor wird auch als Sperrschicht-FET bezeichnet.

#### Sourceschaltung



$$\begin{split} R_S &= \frac{-U_{GS}}{I_D} \\ R_L &= \frac{U_b - U_{DS} + U_{GS}}{I_D} \\ v_S &\approx S \cdot \frac{r_{DS} \cdot R_L}{r_{DS} + R_L} \\ v_S &\approx S \cdot R_L \\ R_{es} &\approx R_2 \\ R_{as} &\approx R_L \\ S &= -\frac{2}{U_p} \sqrt{I_D \cdot I_{DS}} \\ v_S &= \frac{\Delta U_{DS}}{\Delta U_{GS}} \\ y_{21} &= g_{DS} = \frac{\Delta I_D}{\Delta U_{GS}} \text{ bei } U_{DS} = \text{konstant} \\ y_{22} &= \frac{\Delta I_D}{\Delta U_{DS}} \text{ bei } U_{GS} = \text{konstant} \end{split}$$

$$R_S$$
 Sourcewiderstand

$$I_D$$
 Drainstrom

$$R_L$$
 Lastwiderstand

$$U_{DS}$$
 Drain-Source-Spannung

$$v_S$$
 Spannungsverstärkung (Sourceschaltung)

$$r_{DS}$$
 Drain-Source-Widerstand

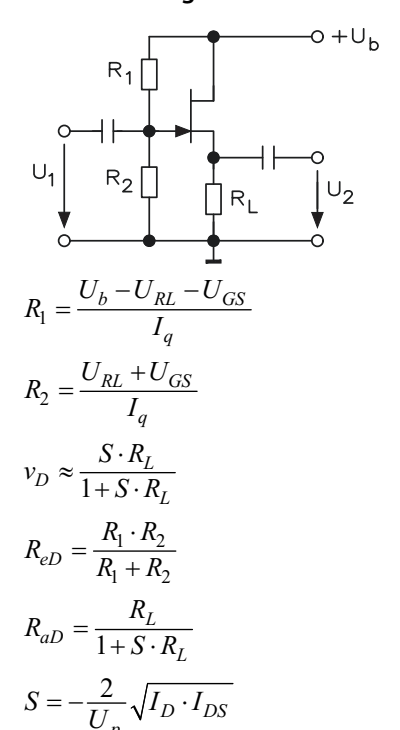
$$R_{es}$$
 Eingangswiderstand (Sourceschaltung)

$$R_{as}$$
 Ausgangswiderstand (Sourceschaltung)

$$U_p$$
 Pinch-off-Spannung  $(I_D \approx 0 \text{ A})$ 

$$I_{DS}$$
 Drainstrom bei  $U_{GS} = 0 \text{ V}$ 

# Drainschaltung



$$R_1, R_2$$
 Widerstände (Spannungsteiler)

$$I_q$$
 Querstrom

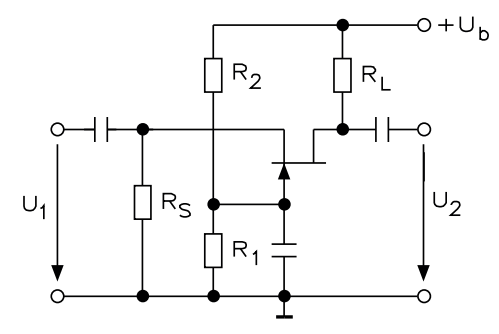
$$R_{eD}$$
 Eingangswiderstand (Drainschaltung)

$$R_{aD}$$
 Ausgangswiderstand (Drainschaltung)

$$U_p$$
 Pinch-off-Spannung  $(I_D \approx 0 \text{ A})$ 

$$I_{DS}$$
 Drainstrom bei  $U_{GS} = 0 \text{ V}$ 

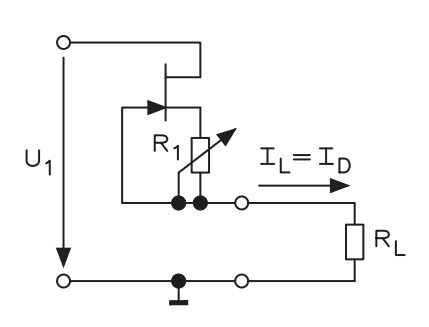
# Gateschaltung



$$\begin{aligned} v_G &\approx \frac{S \cdot R_L}{1 + S \cdot R_S} \\ R_{eG} &\approx R_S + \frac{1}{S} \\ R_{aG} &\approx R_L \\ S &= -\frac{2}{U_p} \sqrt{I_D \cdot I_{DS}} \end{aligned}$$

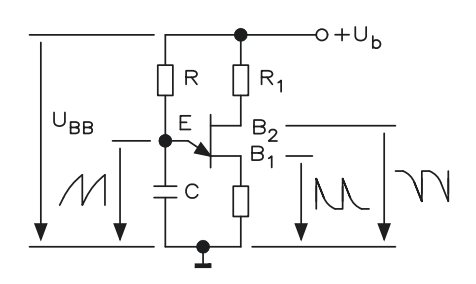
 $U_p$  Pinch-off-Spannung ( $I_D \approx 0$  A)  $I_{DS}$  Drain-Strom bei  $U_{GS} = 0$  V

# 12.2 Konstantstromquelle

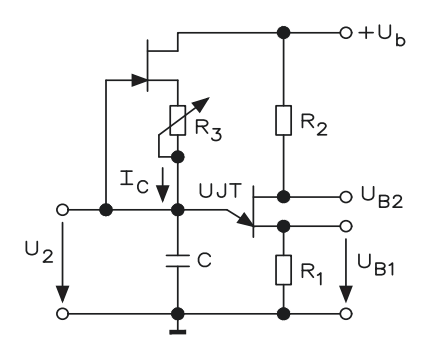


$$I_L = I_D$$
 
$$I_D = \frac{\mid U_{GS} \mid}{R_1}$$

# 12.3 Sägezahngenerator mit UJT

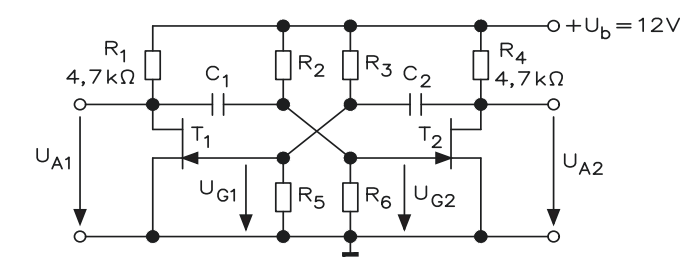


$$R_1 \approx \frac{5 \cdot U_p}{I_{EM}}$$



$$R_2 \approx \frac{0.7 \text{ V} \cdot R_{BB}}{(\eta \cdot U_h)}$$

# 12.4 Rechteckgenerator

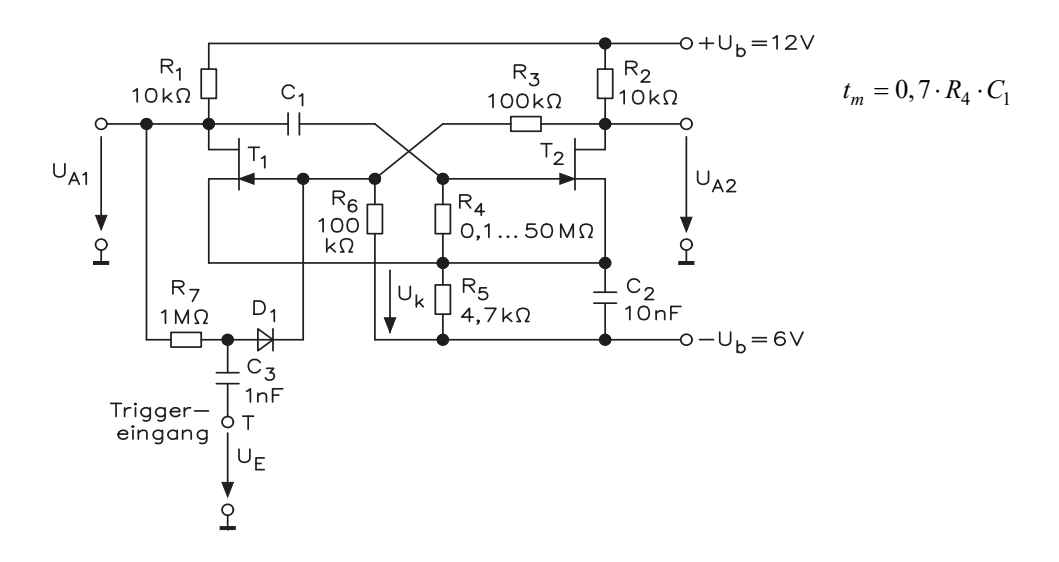


$$t_{G1} = 0, 7 \cdot R_2 \cdot C_1$$
  

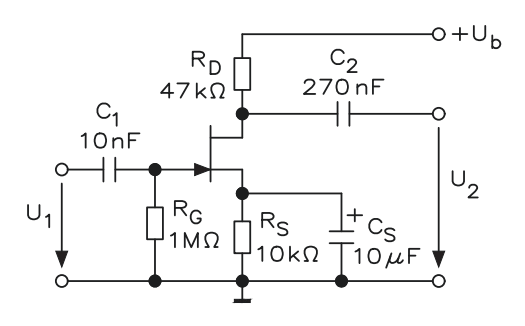
$$t_{G2} = 0, 7 \cdot R_3 \cdot C_2$$
  

$$f = \frac{1}{t_{G1} + t_{G2}}$$

#### **Monostabile Kippstufe** 12.5



#### 12.6 Wechselspannungsverstärker



$$\begin{split} f_u &= \frac{1}{2 \cdot \pi \cdot C_1 \cdot r_e} & \text{bei } r_e = R_G \parallel R_{GS} \\ f_u &= \frac{1}{2 \cdot \pi \cdot C_2 \cdot (r_a + R_L)} & \text{bei } r_a = R_D \parallel r_{DS} \end{split}$$

 $f_o = \frac{1}{2 \cdot \pi \cdot (C_{22} + C_{sch}) \cdot r_a} \quad \text{bei } r_a = R_D \parallel r_{DS}$ 

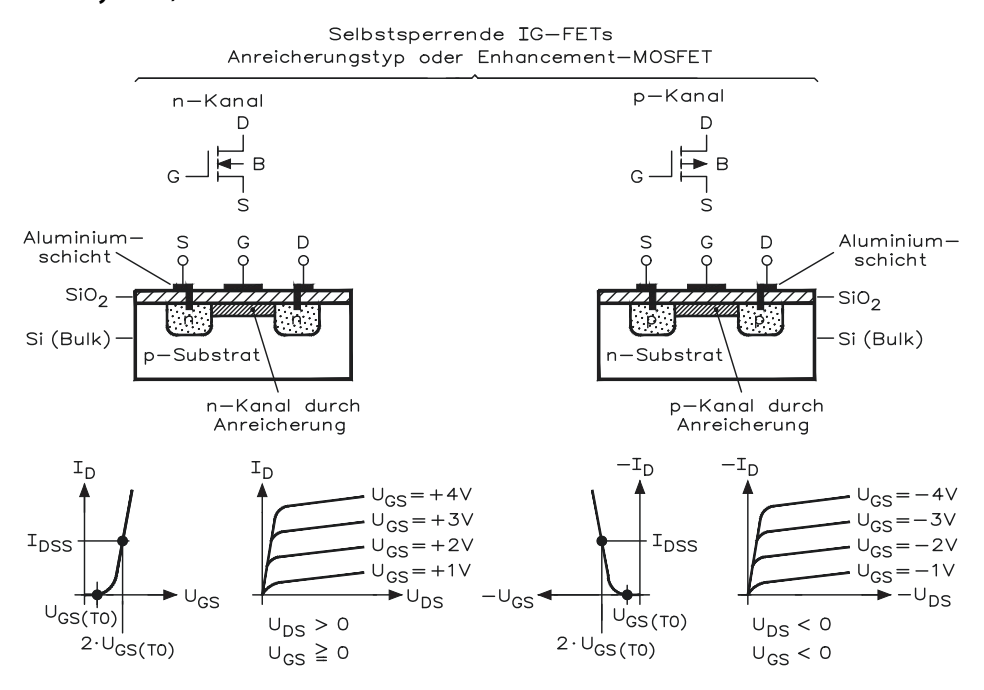
untere Grenzfrequenz obere Grenzfrequenz Eingangswiderstand Ausgangswiderstand  $C_{sch}$ Schaltkapazität  $C_{22}$ Ausgangskapazität

12.7 MOSFET 221

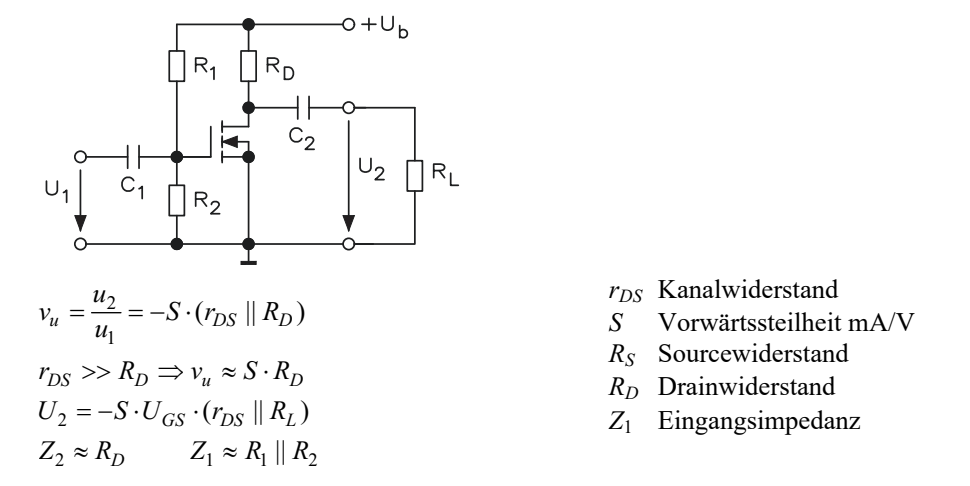
#### 12.7 MOSFET

Die MOSFETs (Metal-Oxid Semiconductor Field-Effect Transistor) sind Isolier-FETs und je nach Kanal unterscheidet man zwischen n- und p-Kanal-Typen. Außerdem unterscheidet man je nach Ansteuerung zwischen dem Verarmungstyp (depletion) und dem Anreicherungstyp (enhancement).

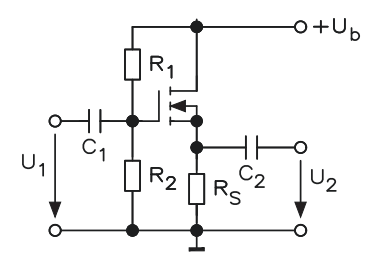
#### Schaltsymbol, Aufbau und Kennlinien der vier MOSFET-Familien



#### Sourceschaltung

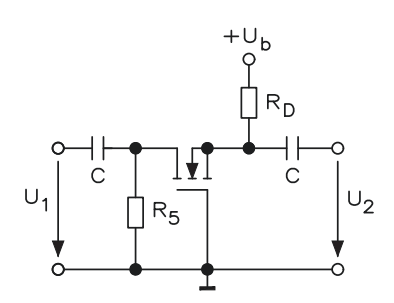


#### Drainschaltung



$$\begin{aligned} v_u &= \frac{u_2}{u_1} = \frac{S \cdot (r_{DS} \parallel R_S)}{1 + S \cdot (r_{DS} \parallel R_S)} \\ r_{DS} &>> R_D \Rightarrow v_u \approx \frac{S \cdot R_S}{1 + S \cdot R_S} \\ U_2 &= -S \cdot U_{GS} \cdot (r_{DS} \parallel R_L) \\ U_1 &= U_{GS} + S \cdot U_{GS} (r_{DS} \parallel R_S) \\ Z_2 &\approx R_S \parallel \frac{1}{S} \\ Z_1 &\approx R_1 \parallel R_2 \end{aligned}$$

#### Gateschaltung



$$\begin{aligned} v_u &= \frac{u_2}{u_1} = \frac{S \cdot R_D}{1 + S \cdot R_S} \\ U_2 &= -S \cdot U_{GS} \cdot R_L \\ U_1 &= -S \cdot U_{GS} \cdot R_S - U_{GS} \\ Z_2 &\approx R_D \\ Z_1 &\approx R_S + \frac{1}{S} \end{aligned}$$

 $u_1$  Eingangsspannung  $u_2$  Ausgangsspannung

 $R_S$  Sourcewiderstand

 $R_L$  Lastwiderstand

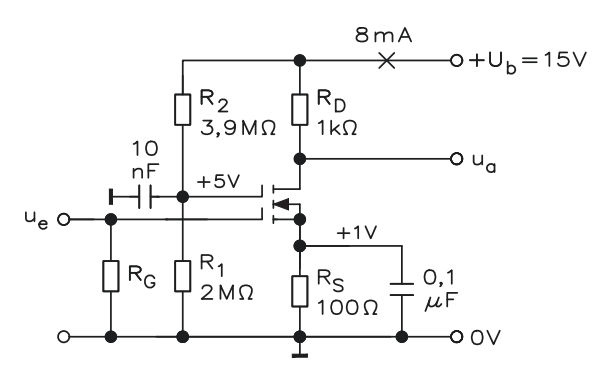
Z<sub>1</sub> Eingangsimpedanz

Z<sub>2</sub> Ausgangsimpedanz

 $U_{GS}$  Gate-Source-Spannung  $U_1$  Eingangsspannung  $U_2$  Ausgangsspannung  $Z_1$  Eingangsimpedanz  $Z_2$  Ausgangsimpedanz

12.8 Dual-Gate-MOSFET 223

# 12.8 Dual-Gate-MOSFET

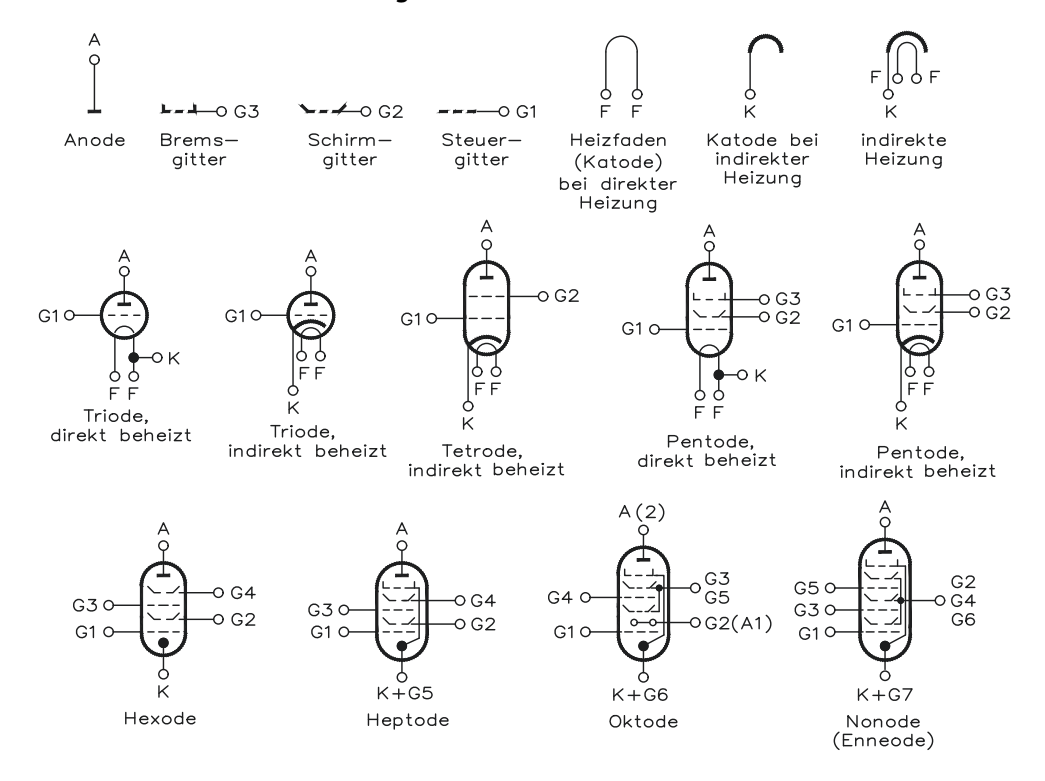


$$\begin{split} &U_b - U_{DS} - (I_D \cdot R_D) = 0 \qquad \text{(Arbeitspunkt)} \\ &I_D = \frac{U_b}{R_D} - \frac{U_{DS}}{R_D} \\ &\frac{R_2}{R_1} = \frac{U_b - U_{GS0}}{U_{GS0}} \\ &R_D = \frac{U_b - U_{DS}}{I_D} \\ &R_S = \frac{U_S}{I_D} \\ &v_u = \frac{R_D}{\frac{1}{S} + R_S} \\ &I_D = I_{Dss} \cdot \left(1 - \frac{U_{GS}}{I_p}\right)^2 \end{split}$$

 $U_{b}$ Betriebsspannung  $U_{DS}$ Drain-Source-Spannung  $U_{GS}$ Gate-Source-Spannung  $I_D$ Drainstrom  $R_D$ Drainwiderstand  $R_S$ Sourcewiderstand S Vorwärtssteilheit mA/V  $U_p$ Pinch-off-Spannung ( $I_D \approx 0 \text{ A}$ )

# 12.9 Röhren

# Aufbau der Röhren mit den allgemeinen Anschlussbildern

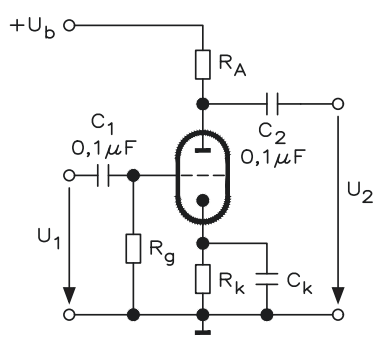


Definition von Werten für die Barkhausen-Gleichung:

Innenwiderstand 
$$R_i = \frac{\Delta U_a}{\Delta I_a}$$
 bei konstantem  $U_g$  Steilheit  $S = \frac{\Delta I_a}{\Delta U_g}$  bei konstantem  $U_a$  Durchgriff  $D = \frac{\Delta U_g}{\Delta U_a}$  Abgabe von  $D$  in  $\% = \frac{\Delta U_g}{\Delta U_a} \cdot 100$  Verstärkungsfaktor  $\mu = \frac{\Delta U_a}{\Delta U_g}$  bei konstantem  $I_a$  Barkhausen-Gleichung:  $R_i \cdot S \cdot D = 1$  und  $\mu = \frac{1}{D} = S \cdot R_i$ 

12.9 Röhren 225

# Katodenbasis-Schaltung



$$v_u = \frac{u_{2\sim}}{u_{1\sim}} = S_d \cdot R_A$$

$$S_d = S \cdot \frac{R_i}{R_i + R_A}$$

$$S = \frac{\Delta I_a}{\Delta U_a}$$
 bei  $U_a = \text{konst.}$ 

$$R_1 = \frac{\Delta U_a}{\Delta I_a}$$
 bei  $U_g = \text{konst.}$ 

$$D = \frac{\Delta U_g}{\Delta U_g} \quad \text{bei } I_g = \text{konst.}$$

$$\mu = \frac{1}{D}$$

$$r_2 = \frac{R_i \cdot R_A}{R_i + R_A}$$

$$R_1 \approx R_g$$

S Steilheit

 $S_d$  dynamische Steilheit

 $R_A$  Arbeitswiderstand

 $R_i$  Innenwiderstand

 $\Delta I_a$  Anodenstromänderung

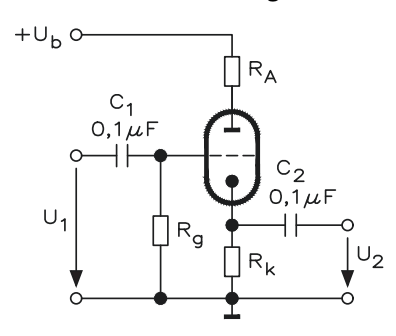
 $\Delta U_g$  Gitterspannungsänderung

 $\Delta U_a$  Anodenspannungsänderung

D Durchgriff

μ Verstärkungsfaktor

# Anodenbasis-Schaltung



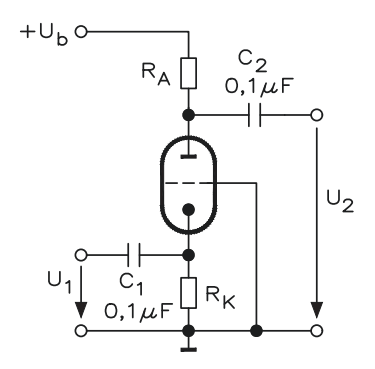
$$u_2 = u_1 - u_{R2}$$

$$r_1 \approx R_g$$

$$r_2 \approx \frac{1}{S}$$

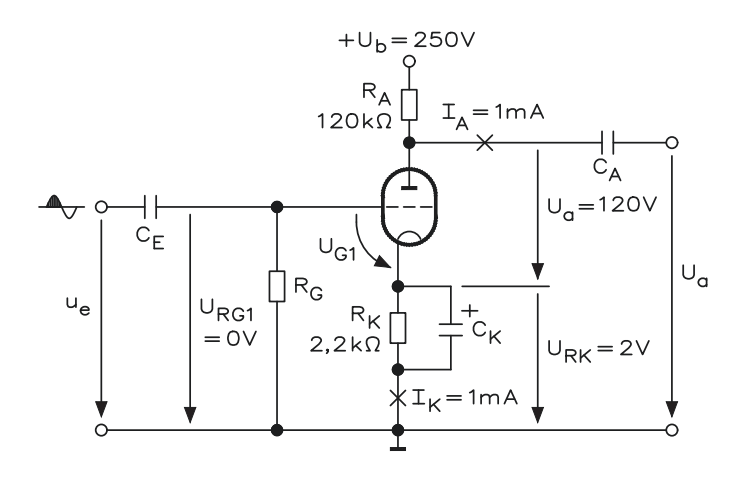
u<sub>R2</sub> Gate-Katoden-Spannung

#### Gitterbasis-Schaltung



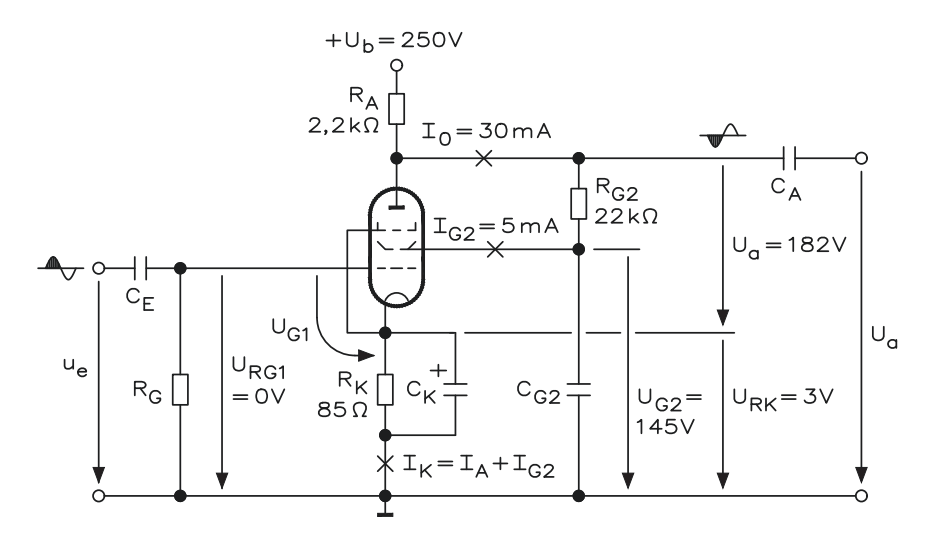
$$v_u = -S \cdot \frac{R_i \cdot R_A}{R_i + R_A}$$
 D Durchgriff   
  $S$  Steilheit in mA/V   
  $R_A$  Arbeitswiderstand   
  $r_2 \approx S \cdot R_A$ 

#### **Trioden-Schaltung** 12.10



$$\begin{split} U_b &= U_{Ra} + U_a + U_K \approx U_{Ra} + U_a - U_{G1} = I_a + U_K = I_K + R_K \\ v_u &= \frac{S \cdot R_i \cdot R_a}{R_i + R_a} = \frac{R_a}{D(R_i + R_a)} \end{split}$$

# 12.11 Pentoden-Schaltung

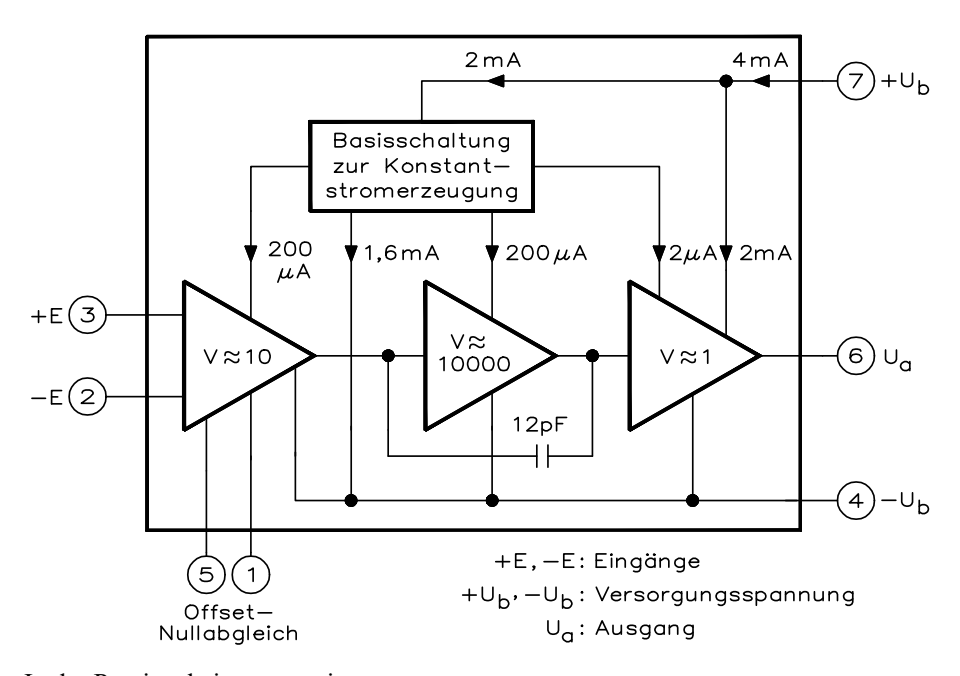


$$S_D = \frac{S \cdot R_i}{R_i + R_a} \qquad \qquad v_u = \frac{u_{2^{\sim}}}{u_{1^{\sim}}} = S \cdot R_a$$



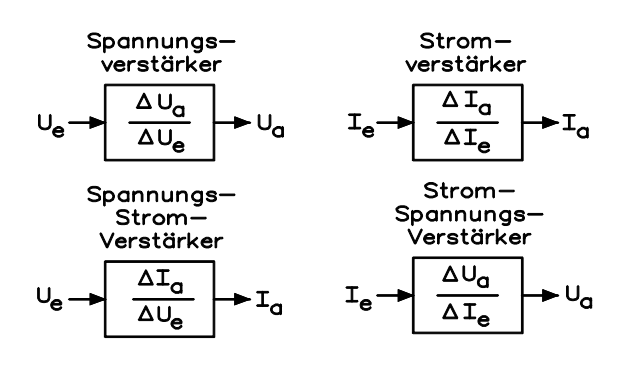
Operationsverstärker 13

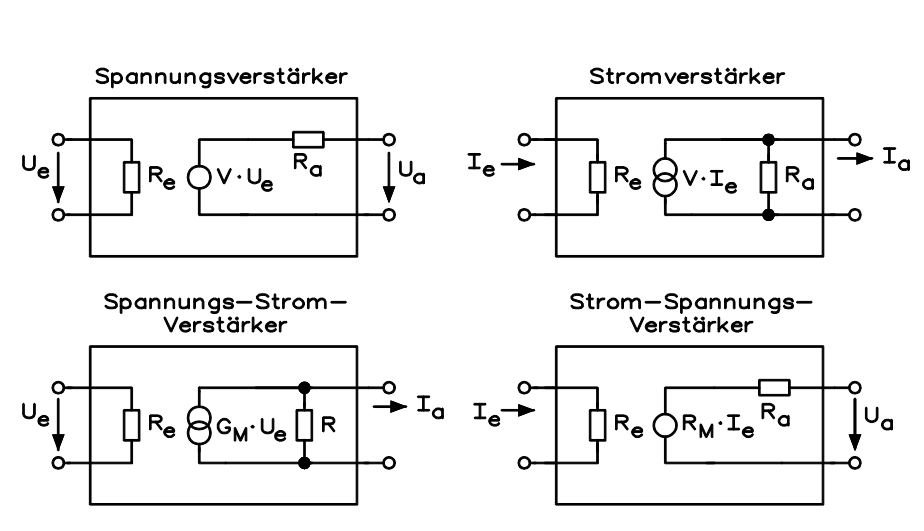
Ein Operationsverstärker besteht aus einer Eingangsstufe, einem Spannungsverstärker, einer Leistungsendstufe und aus Konstantstromquellen.



#### In der Praxis arbeitet man mit

- Spannungsverstärker (voltage amplifier)
- Stromverstärker (current amplifier)
- Spannungs-Strom-Verstärker (transconductance amplifier)
- Strom-Spannungs-Verstärker (transimpedance amplifier)



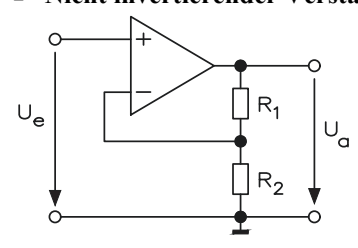


# 13.1 Grundschaltungen des Operationsverstärkers

# Invertierender Verstärkerbetrieb

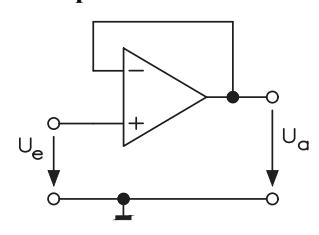
$$v = \frac{R_2}{R_1}$$

# Nicht invertierender Verstärkerbetrieb



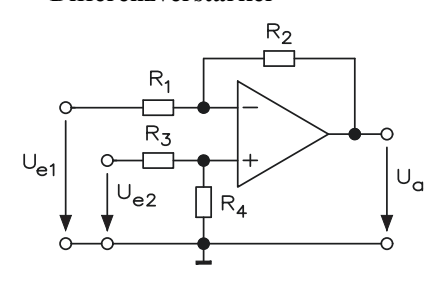
$$v = 1 + \frac{R_2}{R_1}$$

# Impedanzwandler



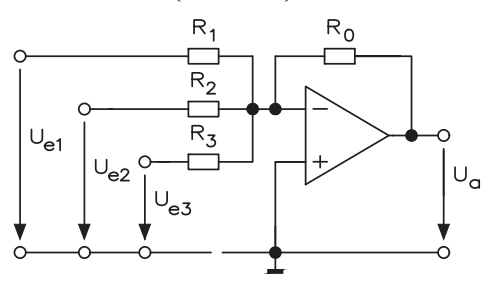
$$U_a = U_e \qquad v = 1 \qquad r_{ein} = 10^5 \,\Omega...10^{24} \,\Omega$$
 
$$r_{aus} = 50 \,\Omega...75 \,\Omega$$

#### Differenzverstärker



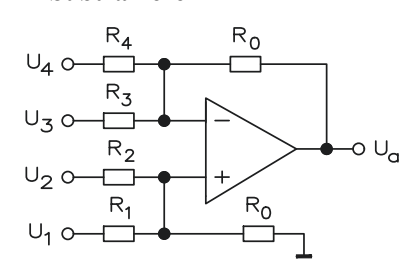
$$U_a = (U_{e2} - U_{e1}) \cdot \frac{R_2}{R_1}$$
  $R_1 = R_3$   $R_2 = R_4$ 

# Summierer (Addierer)



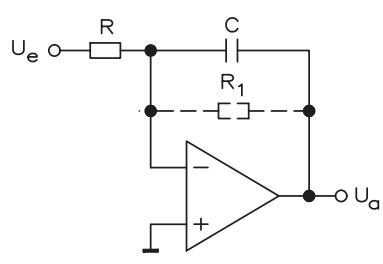
$$-U_a = U_{e1} \frac{R_0}{R_1} + U_{e2} \cdot \frac{R_0}{R_2} + U_{e3} \cdot \frac{R_0}{R_3}$$

# Subtrahierer



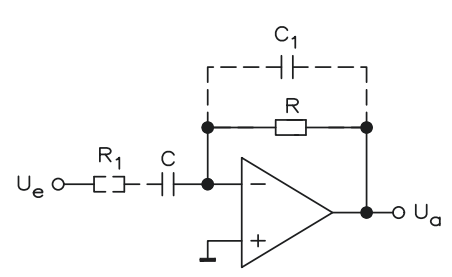
$$-U_a = R_0 \cdot \left( \frac{U_1}{R_1} + \frac{U_2}{R_2} - \frac{U_3}{R_3} - \frac{U_4}{R_4} \right)$$

# Integrator



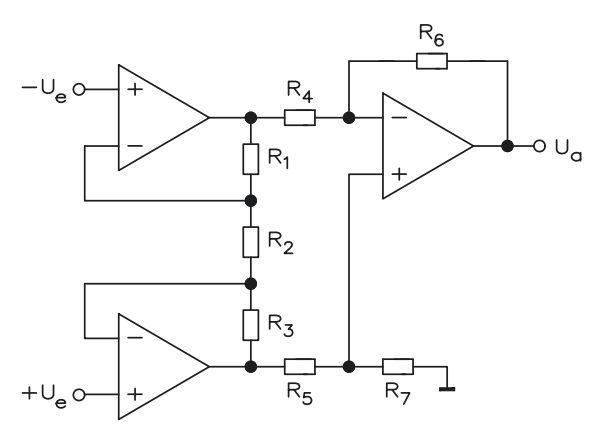
$$U_a = \frac{1}{R \cdot C} \int_0^t U_e \cdot dt$$

#### Differenzierer



$$-U_a = R \cdot C \cdot \frac{dU_e}{dt}$$
 bei  $R \cdot C_1 \le R_1 \cdot C$ 

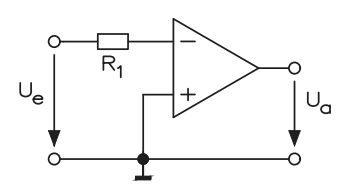
#### Instrumentenverstärker



$$v_U = \frac{R_6}{R_4} \left( 1 + \frac{2 \cdot R_1}{R_2} \right)$$
bei  $R_1 = R_3, R_4 = R_5, R_6 = R_7$ 

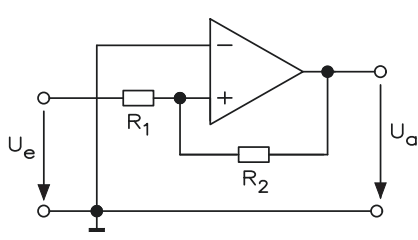
# 13.2 Komparator und Schmitt-Trigger

# Invertierender Nullspannungskomparator



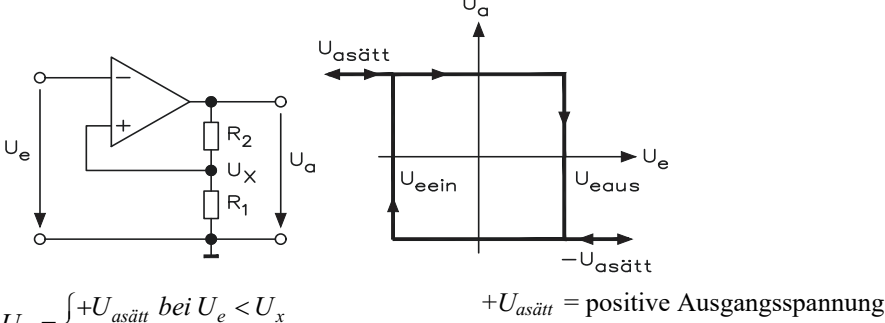
$$\begin{split} U_{a} = & \begin{cases} +U_{as\ddot{a}tt} < 0 \text{ V} \\ -U_{as\ddot{a}tt} > 0 \text{ V} \end{cases} \\ +U_{as\ddot{a}t} = \text{positive Ausgangsspannung} \\ -U_{as\ddot{a}tt} = \text{negative Ausgangsspannung} \end{split}$$

# Nicht invertierender Nullspannungskomparator



$$\begin{split} U_{a} = & \begin{cases} +U_{as\ddot{a}tt} > 0 \text{ V} \\ -U_{as\ddot{a}tt} < 0 \text{ V} \end{cases} \\ +U_{as\ddot{a}tt} = \text{positive Ausgangsspannung} \\ -U_{as\ddot{a}tt} = \text{negative Ausgangsspannung} \end{split}$$

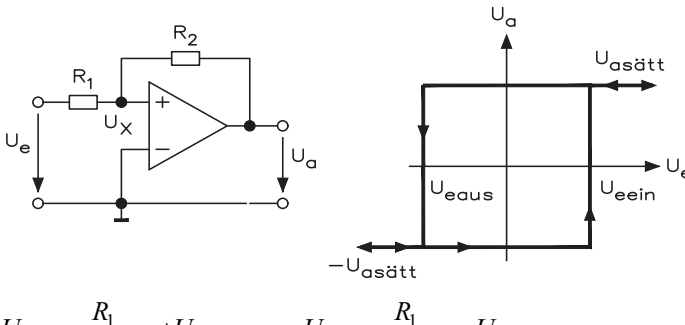
#### Analoger Komparator



$$U_{a} = \begin{cases} +U_{as\ddot{a}tt} \ bei \ U_{e} < U_{x} \\ -U_{as\ddot{a}tt} \ bei \ U_{e} > U_{x} \end{cases}$$

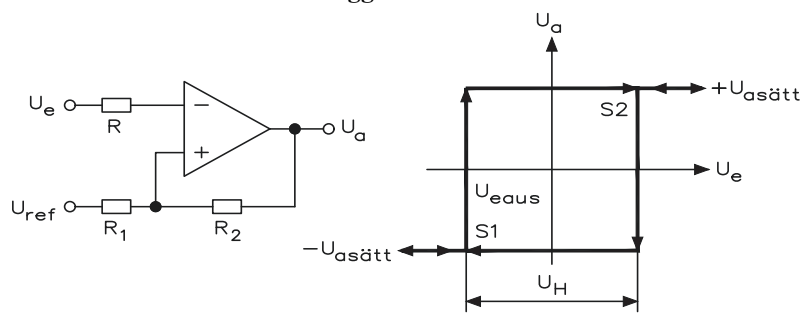
 $-U_{as\ddot{a}tt}$  = negative Ausgangsspannung

# Nicht invertierender Schmitt-Trigger



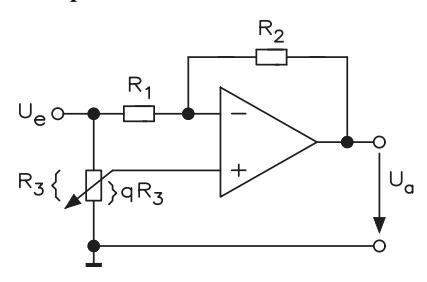
$$\begin{split} U_x &= \frac{R_1}{R_1 + R_2} \cdot + U_{as\ddot{a}tt} \qquad U_x = \frac{R_1}{R_1 + R_2} \cdot - U_{as\ddot{a}tt} \\ U_H &= \frac{R_1}{R_1 + R_2} \cdot [+ U_{as\ddot{a}tt} - (-U_{as\ddot{a}tt})] \end{split}$$

#### Invertierender Schmitt-Trigger



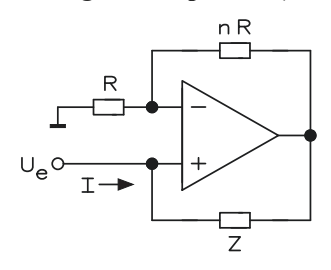
$$\begin{split} S_1 &= \frac{R_1}{R_1 + R_2} \cdot (U_{ref} - U_{as\ddot{a}tt}) \\ U_H &= \frac{R_1}{R_1 + R_2} \cdot U_{ref} + (U_{as\ddot{a}tt} - U_{ref}) \end{split}$$

# Bipolarer Koeffizient



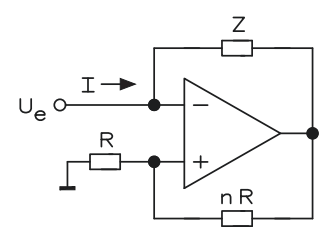
# $U_a = (2q-1) \cdot U_e$ bei $0 \le q \le 1$

# • Negative Impedanz (kurzschlussstabil)



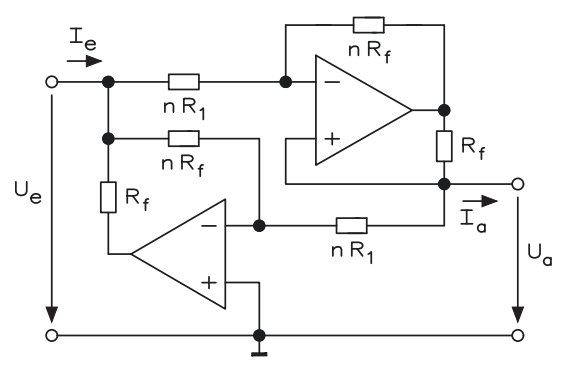
$$Z = \frac{U_e}{I} = -\frac{Z}{n}$$

# Negative Impedanz (leerlaufstabil)



$$Z = \frac{U_e}{I} = -\frac{Z}{1 + n \cdot R}$$

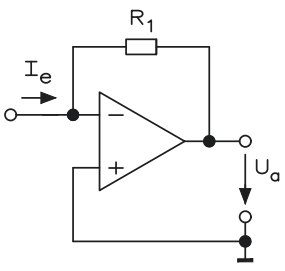
# Gyrator



$$\begin{split} n >> 1 \\ I_a &= \frac{U_e}{R_1} \qquad \qquad I_e = \frac{U_a}{R_1} \\ \frac{U_e}{I_e} &= \frac{I_a}{U_a} \cdot R_1^2 \qquad Z_1 = \frac{1}{Z_2} \cdot R_1^2 \end{split}$$

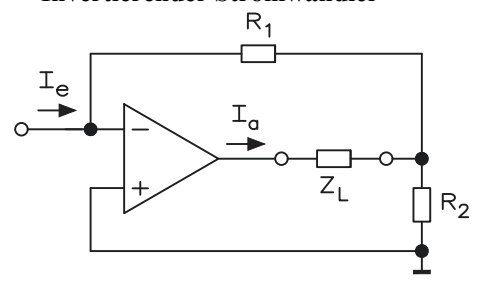
# 13.3 Wandler mit Operationsverstärker

Invertierender Strom-Spannungs-Wandler



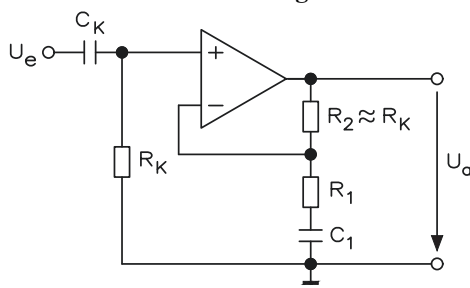
$$-U_a = R_1 \cdot I_e$$

Invertierender Stromwandler



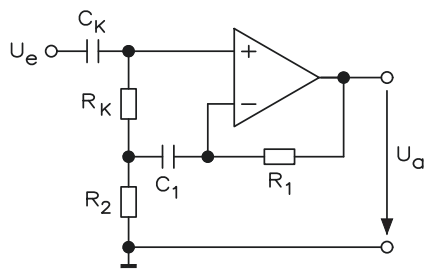
$$-I_a = \left(1 + \frac{R_1}{R_2}\right) \cdot I_e$$

Wechselspannungsverstärker mit Driftunterdrückung



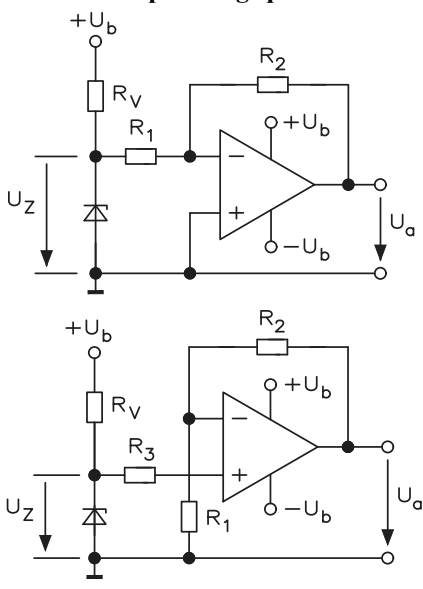
$$\begin{split} v_{u\sim} &\approx 1 + \frac{R_2}{R_1} \text{ für } \frac{1}{2 \cdot \pi \cdot f \cdot C_1} << 1 \\ v_{u-} &\approx 1 \end{split}$$

■ Bootstrap-Wechselspannungsverstärker



$$v_{u\sim} \approx 1 + \frac{R_1}{R_2} \text{ für } \frac{1}{2 \cdot \pi \cdot f \cdot C_1} << 1$$

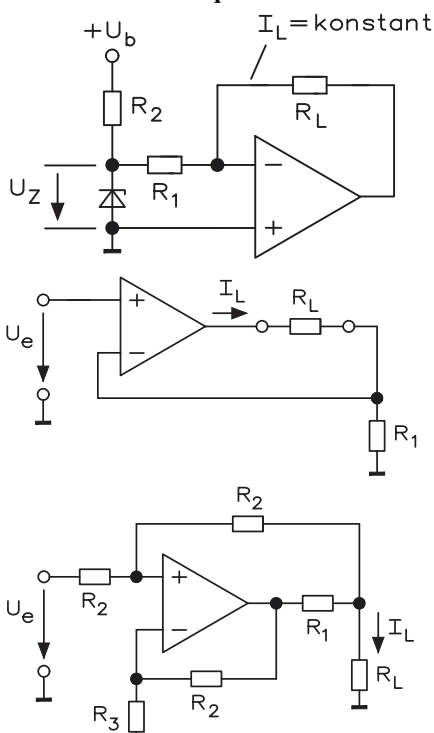
#### Konstantspannungsquelle



$$-U_a = U_Z \cdot \frac{R_2}{R_1}$$

# $U_a = U_Z \cdot \left(1 + \frac{R_2}{R_1}\right)$

## Konstantstromquelle

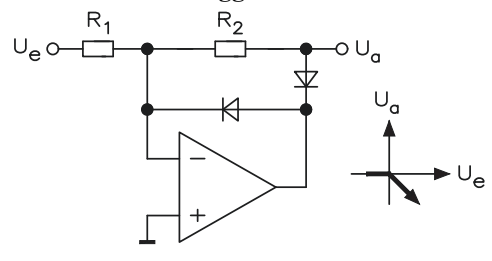


$$I_L = \frac{U_a}{R_L} = \frac{U_Z}{R_1}$$

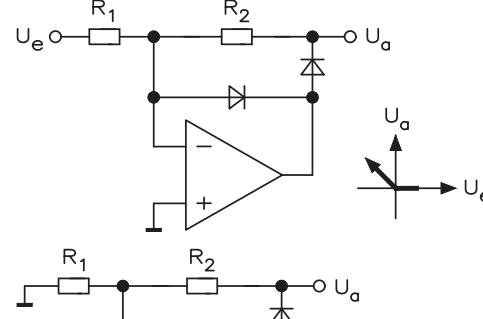
$$I_L = \frac{U_e}{R_1}$$

$$\begin{split} I_L &= \frac{U_{ref}}{\frac{R_1 \cdot R_2}{R_1 + R_2}} \qquad R_3 = \frac{R_2^2}{R_1 + R_2} \\ \text{Für } R_1 &<< R_2 \text{ ist } I_L \approx \frac{U_{ref}}{R_1}. \\ R_3 &\approx R_2 \\ U_{ref} &= U_e \end{split}$$

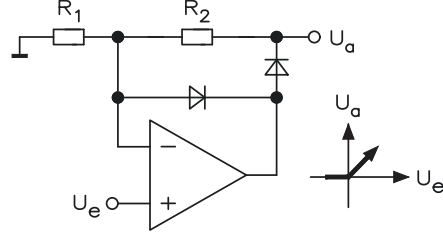
# Linearer Einweggleichrichter





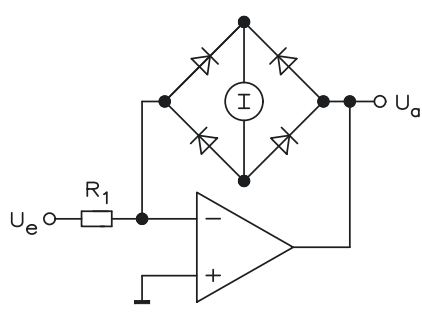


$$-U_a = U_e \cdot \frac{R_2}{R_1}$$



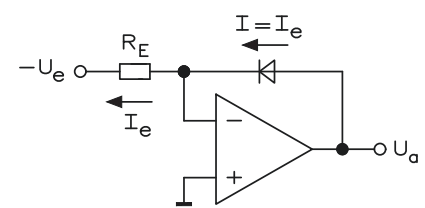
$$U_a = U_e \cdot \left(1 + \frac{R_2}{R_1}\right)$$

# Präzisions-Zweiweggleichrichter



$$I = \frac{U_e}{R_1}$$

# Logarithmischer Verstärker mit Diode



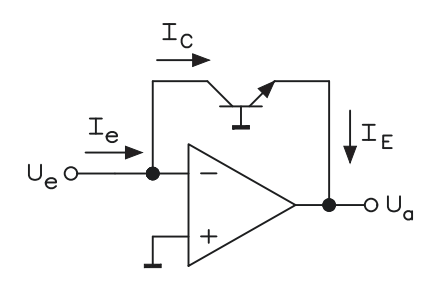
$$U_a = m \frac{kT}{q} \cdot \ln \left( \frac{I}{I_0} \right) + I \cdot R_E$$

$$\frac{kT}{q}$$
 = 26 mV (exakt bei 28,58 °C)

$$\frac{kT}{q} = \ln(10) = 60 \text{ mV (exakt bei 29,25 °C)}$$

- m Skalenfaktorfehler
- *k* Boltzmann-Konstante  $1,36 \cdot 10^{-23}$  J/K
- *q* Elektronenladung  $1.6 \cdot 10^{-19}$  C
- $I_0$  extrapolierter Strom bei  $U_0 = 0 \text{ V}$

# Logarithmischer Verstärker mit Transistor



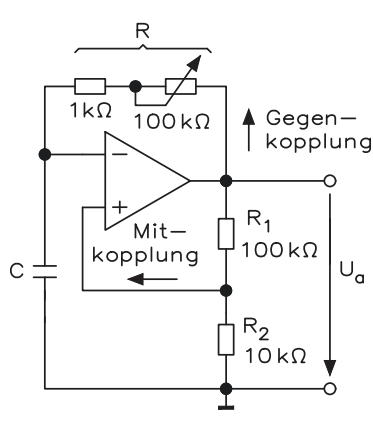
 $I_{ES}$  Emitter-Sättigungsstrom

 $\alpha_n$  Stromübersetzung

$$U_a = \frac{kT}{q} \cdot \ln\left(\frac{I_e}{I_{ES}}\right) - \frac{kT}{q} \ln(\alpha_n)$$
 gilt, wenn  $I_e >> I_{ES}$  ist

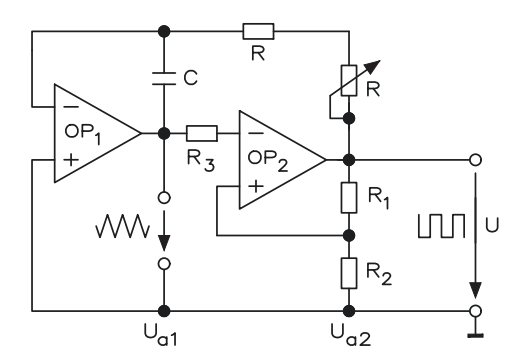
# 13.4 Generatoren mit Operationsverstärker

# Rechteckgenerator



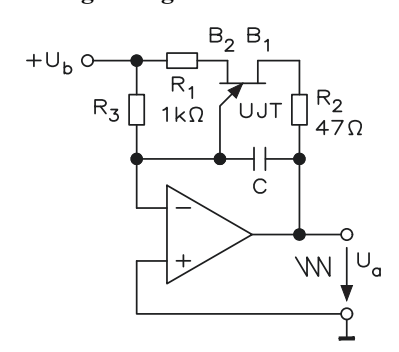
$$f = \frac{1}{2 \cdot R \cdot C \cdot \ln\left(1 + \frac{2 \cdot R_2}{R_1}\right)}$$

# Dreieck-Rechteck-Generator (Funktionsgenerator)



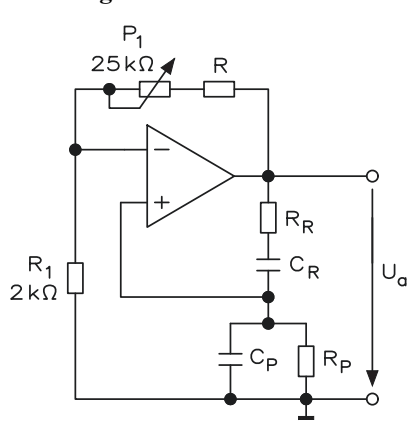
$$f = \frac{1}{4 \cdot R \cdot C} \cdot \frac{R_1}{R_2}$$

# Sägezahngenerator



$$f = \frac{U_b}{(U_b \cdot \eta + 0.7 \text{ V}) \cdot R_1 \cdot C}$$

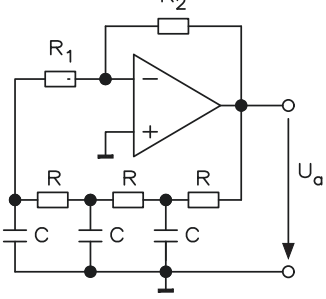
# ■ Sinusgenerator mit Wien-Robinson-Brücke



$$f = \frac{1}{2 \cdot \pi \cdot R \cdot C}$$
$$R_1 = 2 \cdot n \cdot R$$

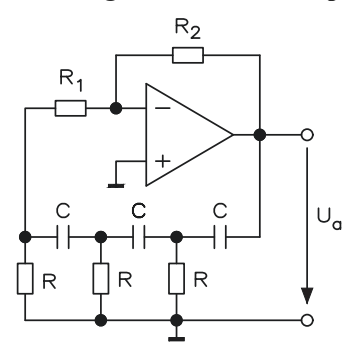
Sinusgenerator mit Tiefpass-Phasenschieber

Sinusgenerator mit Tiefpass-Phasenschieber 
$$f = \frac{1}{2, 5 \cdot R \cdot C}$$



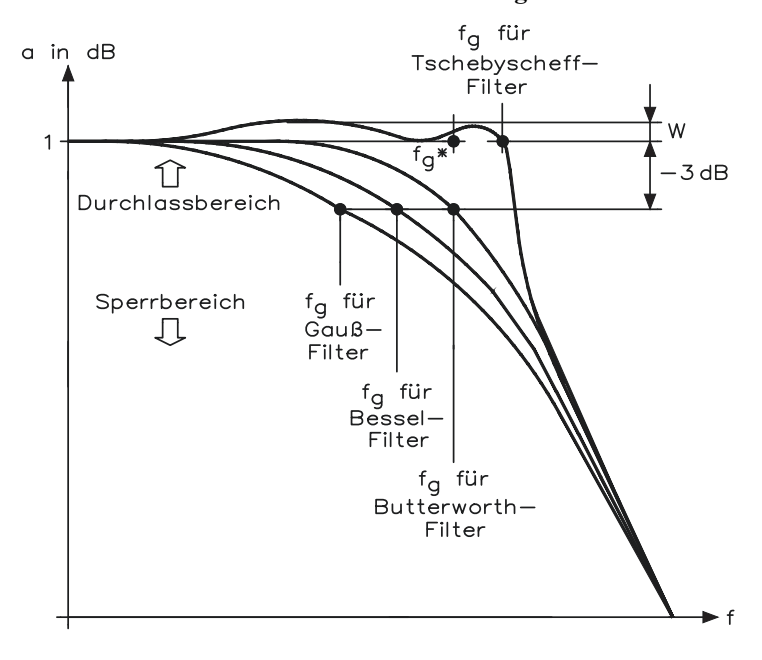
Sinusgenerator mit Hochpass-Phasenschieber

$$f = \frac{1}{15, 4 \cdot R \cdot C}$$



# 13.5 Aktive Tiefpass- und Hochpass-Filter

Verlauf der Anstiegsgeschwindigkeit, das Überschwingen und die Einstellzeit bei verschiedenen Filterfunktionen der Ordnungszahl n



Ordnung	Filterkoef	Filtertyp	
	$a_1$	$b_1$	
1. Ordnung	1,0000	0,0000	alle Typen
2. Ordnung	1,2872	0,4142	KR
	1,3617	0,6180	BE
	1,4142	1,0000	BU
	1,3614	1,3827	T½
	1,3022	1,5515	T1
	1,1813	1,7775	T2
	1,0650	1,9305	Т3

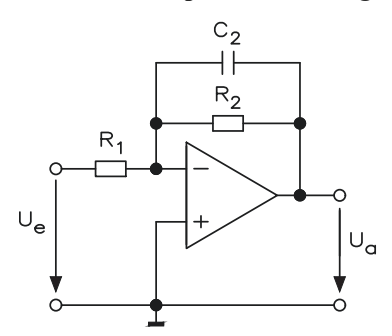
Anmerkung: KR = Filter (Gauß) mit kritischer Dämpfung

BE = Bessel-Filter

BU = Butterworth-Filter

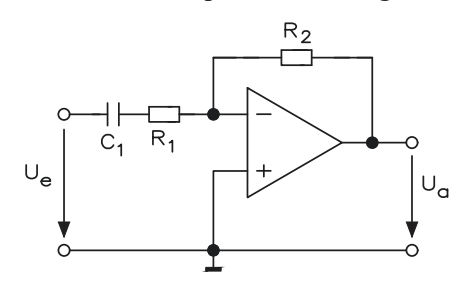
T½ = Tschebyscheff-Filter mit 0,5-dB-Welligkeit
 T1 = Tschebyscheff-Filter mit 1-dB-Welligkeit
 T2 = Tschebyscheff-Filter mit 2-dB-Welligkeit
 T3 = Tschebyscheff-Filter mit 3-dB-Welligkeit

# Aktiver Tiefpass 1. Ordnung



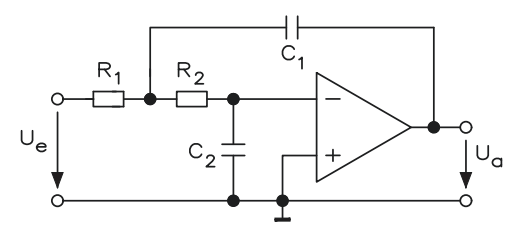
# $R_2 = \frac{a_1}{2 \cdot \pi \cdot f_g \cdot C_2}$ $R_1 = \frac{R_2}{|V_0|}$

#### Aktiver Hochpass 1. Ordnung



$$\begin{split} R_1 &= \frac{1}{2 \cdot \pi \cdot f_g \cdot C_1 \cdot a_1} \\ R_2 &= R_1 \cdot | \, v_\infty \, | \end{split}$$

# Aktiver Tiefpass 2. Ordnung



$$f_g = \frac{\sqrt{b_1}}{2 \cdot \pi \cdot R \cdot C}$$

$$C_1 = \frac{a_1}{4 \cdot \pi \cdot f_g \cdot R}$$

$$C_2 = \frac{3b_1}{4 \cdot \pi \cdot f_g \cdot a_1 \cdot R}$$
bei  $C_1 = C_2 = C$  gilt  $R = \frac{\sqrt{b_1}}{2 \cdot \pi \cdot C}$ 

$$\frac{R_1}{R_2} = 2 - \frac{a_1}{\sqrt{b_1}}$$

# Filterkoeffizienten für optimierte Frequenzgänge bis zur 4. Ordnung

Ordnung		Filtertyp			
	<b>a</b> 1	<b>b</b> <sub>1</sub>	$\mathbf{a}_2$	<b>b</b> <sub>2</sub>	
1. Ordnung	1,0000	0,0000	0,0000	0,0000	alle Typen
2. Ordnung	1,2872	0,4142	0,0000	0,0000	KR
	1,3617	0,6180	0,0000	0,0000	BE
	1,4142	1,0000	0,0000	0,0000	BU
	1,3614	1,3827	0,0000	0,0000	T½
	1,3022	1,5515	0,0000	0,0000	T1
	1,1813	1,7775	0,0000	0,0000	T2
	1,0650	1,9305	0,0000	0,0000	Т3
3. Ordnung	0,5098	0,0000	1,0197	0,2599	KR
	0,7560	0,0000	0,9996	0,4722	BE
	1,0000	0,0000	1,0000	1,0000	BU
	1,8636	0,0000	0,6402	1,1931	T½
	2,2156	0,0000	0,5442	1,2057	T1
	2,7994	0,0000	0,4300	1,2036	T2
	3,3496	0,0000	0,3559	1,1923	Т3
4. Ordnung	0,8700	0,1892	0,8700	0,1982	KR
	1,3397	0,4889	0,7743	0,3890	BE
	1,8478	1,0000	0,7654	1,0000	BU
	2,6282	3,4341	0,3648	1,1509	T½
	2,5904	4,1301	0,3039	1,1697	T1
	2,4025	4,9862	0,2374	1,1896	T2
	2,1853	5,5339	0,1964	1,2009	Т3

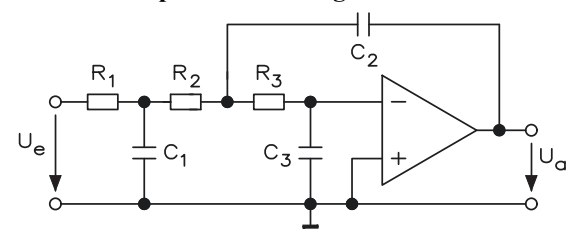
Anmerkung: KR = Filter (Gauß) mit kritischer Dämpfung

BE = Bessel-Filter

BU = Butterworth-Filter

T½ = Tschebyscheff-Filter mit 0,5-dB-Welligkeit
 T1 = Tschebyscheff-Filter mit 1-dB-Welligkeit
 T2 = Tschebyscheff-Filter mit 2-dB-Welligkeit
 T3 = Tschebyscheff-Filter mit 3-dB-Welligkeit

#### Aktiver Tiefpass 3. Ordnung

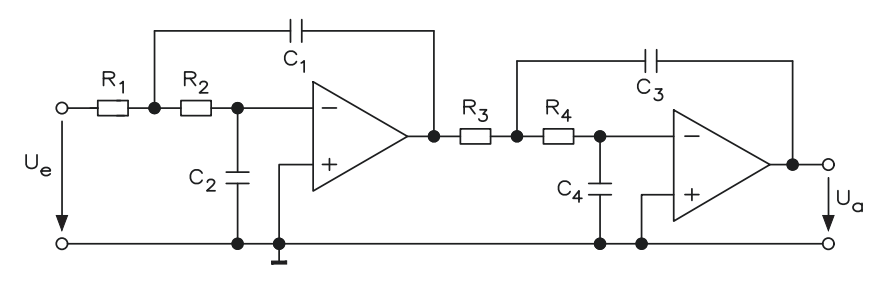


$$C_1 = \frac{a_1}{2 \cdot \pi \cdot f_g \cdot R}$$

$$C_2 = \frac{a_2}{4 \cdot \pi \cdot f_g \cdot R}$$

$$C_3 = \frac{3b_2}{2 \cdot \pi \cdot f_g \cdot a_2 \cdot R}$$

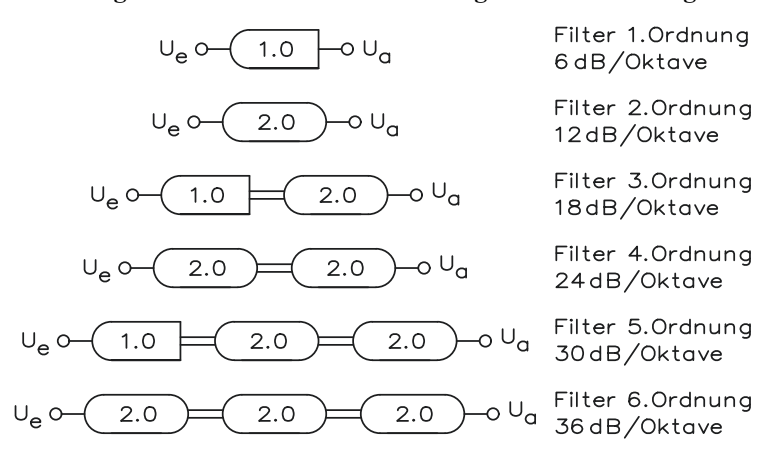
### Aktiver Tiefpass 4. Ordnung



$$C_1 = \frac{a_1}{4 \cdot \pi \cdot f_g \cdot R} \qquad C_2 = \frac{3b_1}{2 \cdot \pi \cdot f_g \cdot a_1 \cdot R}$$

$$C_3 = \frac{a_2}{4 \cdot \pi \cdot f_g \cdot R} \qquad C_4 = \frac{3b_2}{2 \cdot \pi \cdot f_g \cdot a_2 \cdot R}$$

# • Filterkoeffizienten für optimierte Frequenzgänge bis zur 10. Ordnung Schaltung einzelner Filter für die Bildung höherer Ordnung



# Filterkoeffizienten für optimierte Frequenzgänge nach Gauß, Bessel und Butterworth

Ordnung	Faktor	G	auß	Ве	Bessel		Butterworth	
n	i	$a_i$	$b_i$	$a_i$	$b_i$	a <sub>i</sub>	$b_i$	
1	1	1,0000	0,0000	1,0000	0,0000	1,0000	0,0000	
2	1	1,2872	0,4141	1,3617	0,6180	1,4142	1,0000	
3	1	0,5098	0,0000	0,7560	0,0000	1,0000	0,0000	
	2	1,0197	0,2599	0,9996	0,4772	1,0000	1,0000	
4	1	0,8700	0,1892	1,3397	0,4889	1,8478	1,0000	
	2	0,8700	0,1892	0,7743	0,3890	0,7654	1,0000	
5	1	0,3856	0,0000	0,6656	0,0000	1,0000	0,0000	
	2	0,7712	0,1487	1,1402	0,4128	1,6180	1,0000	
	3	0,7712	0,1487	0,6216	0,3245	0,6180	1,0000	
6	1	0,6999	0,1225	1,2217	0,3887	1,9319	1,0000	
	2	0,6999	0,1225	0,9686	0,3505	1,4142	1,0000	
	3	0,6999	0,1225	0,5131	0,2756	0,5176	1,0000	
7	1	0,3226	0,0000	0,5937	0,0000	1,0000	0,0000	
	2	0,6453	0,1041	1,0944	0,3395	1,8019	1,0000	
	3	0,6453	0,1041	0,8304	0,3011	1,2470	1,0000	
	4	0,6453	0,1041	0,4332	0,2381	0,4450	1,0000	
8	1	0,6017	0,0905	1,1121	0,3162	1,9616	1,0000	
	2	0,6017	0,0905	0,9754	0,2979	1,6629	1,0000	
	3	0,6017	0,0905	0,7202	0,2621	1,1111	1,0000	
	4	0,6017	0,0905	0,3728	0,2087	0,3902	1,0000	
9	1	0,2829	0,0000	0,5386	0,0000	1,0000	0,0000	
	2	0,5659	0,0801	1,0244	0,2834	1,8794	1,0000	
	3	0,5659	0,0801	0,8710	0,2636	1,5321	1,0000	
	4	0,5659	0,0801	0,6320	0,2311	1,0000	1,0000	
	5	0,5659	0,0801	0,3257	0,1854	0,3473	1,0000	
10	1	0,5358	0,0718	1,0215	0,2650	1,9616	1,0000	
	2	0,5358	0,0718	0,9393	0,2549	1,7820	1,0000	
	3	0,5358	0,0718	0,7815	0,2351	1,4142	1,0000	
	4	0,5358	0,0718	0,5604	0,2059	0,9080	1,0000	
	5	0,5358	0,0718	0,2883	0,1665	0,3129	1,0000	

### Filterkoeffizienten für optimierte Frequenzgänge nach Tschebyscheff mit den entsprechenden Welligkeiten im Durchlassbereich

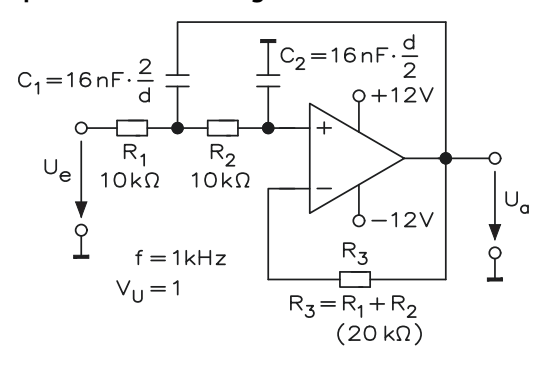
Ordnung	Faktor		Tsc	hebysche	ff-Filter n	nit einer V	Velligkeit	von	
		w =	- 0,5	w:	w = 1		= 2	w:	= 3
n	i	$a_i$	$b_i$	$a_i$	$b_i$	$a_i$	$b_i$	$a_i$	$b_i$
1	1	1,0000	0,0000	1,0000	0,0000	1,0000	0,0000	1,0000	0,0000
2	1	1,3614	1,3827	1,3022	1,5515	1,1813	1,7775	1,0650	1,9305
3	1	1,8636	0,0000	2,2156	0,0000	2,7994	0,0000	3,3496	0,0000
	2	0,6402	1,1931	0,5442	1,2057	0,4300	1,2036	0,3559	1,1923
4	1	2,6282	3,4341	2,5904	4,1301	2,4025	4,9862	2,1853	5,5339
	2	0,3648	1,1509	0,3039	1,1697	0,2374	1,1896	0,1964	1,2009
5	1	2,9235	0,0000	3,5711	0,0000	4,6345	0,0000	5,6334	0,0000
	2	1,3025	2,3534	1,1280	2,4896	0,9090	2,6036	0,7620	2,6530
	3	0,2290	1,0833	0,1872	1,0814	0,1434	1,0750	0,1172	1,0686
6	1	3,8645	6,9797	3,8437	8,5529	3,5880	10,4648	3,2721	11,6773
	2	0,7528	1,8573	0,6292	1,9124	0,4925	1,9622	0,4077	1,9873
	3	0,1589	1,0711	0,1296	1,0766	0,0995	1,0826	0,0815	1,0861
7	1	4,0211	0,0000	4,9520	0,0000	6,4760	0,0000	7,9064	0,0000
	2	1,8729	4,1795	1,6338	4,4899	1,3258	4,7649	1,1159	4,8963
	3	0,4861	1,5676	0,3987	1,5834	0,3067	1,5927	0,2515	1,5944
	4	0,1156	1,0443	0,0937	1,0423	0,0714	1,0384	0,0582	1,0348
8	1	5,1117	11,9607	5,1019	14,7608	4,7743	18,1510	4,3583	20,2948
	2	1,0639	2,9365	0,8916	3,0426	0,6991	3,1353	0,5791	3,1808
	3	0,3439	1,4206	0,2806	1,4334	0,2153	1,4449	0,1765	1,4507
	4	0,0885	1,0407	0,0717	1,0432	0,0547	1,0461	0,0448	1,0478
9	1	5,1318	0,0000	6,3415	0,0000	8,3198	0,0000	10,1759	0,0000
	2	2,4283	6,6307	2,1252	7,1711	1,7299	7,6580	1,4585	7,8971
	3	0,6839	2,2908	0,5624	2,3278	0,4337	2,3549	0,3561	2,3651
	4	0,2559	1,3133	0,2074	1,3166	0,1583	1,3174	0,1294	1,3165
	5	0,0695	1,0272	0,0562	1,0258	0,0427	1,0232	0,0348	1,0210
10	1	6,3648	18,3695	6,2634	22,7468	5,9618	28,0376	5,4449	31,3788
	2	1,3582	4,3453	1,1399	4,5167	0,8947	4,6644	0,7414	4,7363
	3	0,4822	1,9440	0,3939	1,9665	0,3023	1,9858	0,2479	1,9952
	4	0,1994	1,2520	0,1616	1,2569	0,1233	1,2614	0,1008	1,2638
	5	0,0563	1,0263	0,0455	1,0277	0,0347	1,0294	0,0283	1,0304

Für ein Tiefpassfilter 5. Ordnung gilt:

$$R_1 = \frac{a_1}{2 \cdot \pi \cdot f_g \cdot C} \qquad R_2 = \frac{a_2}{4 \cdot \pi \cdot f_g \cdot C} \qquad R_3 = \frac{3 \cdot b_1}{2 \cdot \pi \cdot f_g \cdot C \cdot a_2}$$

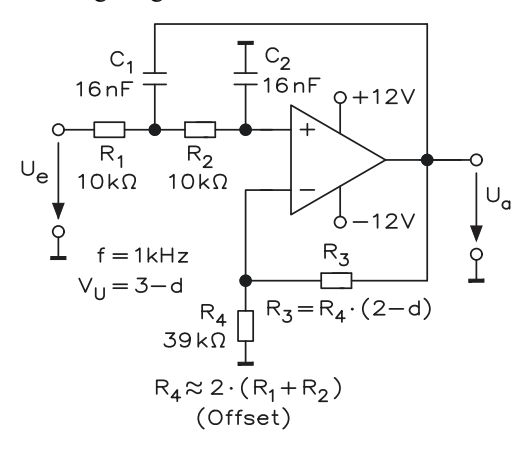
$$R_4 = \frac{a_3}{4 \cdot \pi \cdot f_g \cdot C} \qquad R_5 = \frac{3 \cdot b_3}{2 \cdot \pi \cdot f_g \cdot C \cdot a_3}$$

#### Tiefpassfilter 2. Ordnung



### ■ Tiefpassfilter 2. Ordnung mit ungleichen Bauteilen und $f_g$ = 1 kHz

Die Berechnungen für das Tiefpassfilter 2. Ordnung mit ungleichen Bauteilen wurde bereits gezeigt.



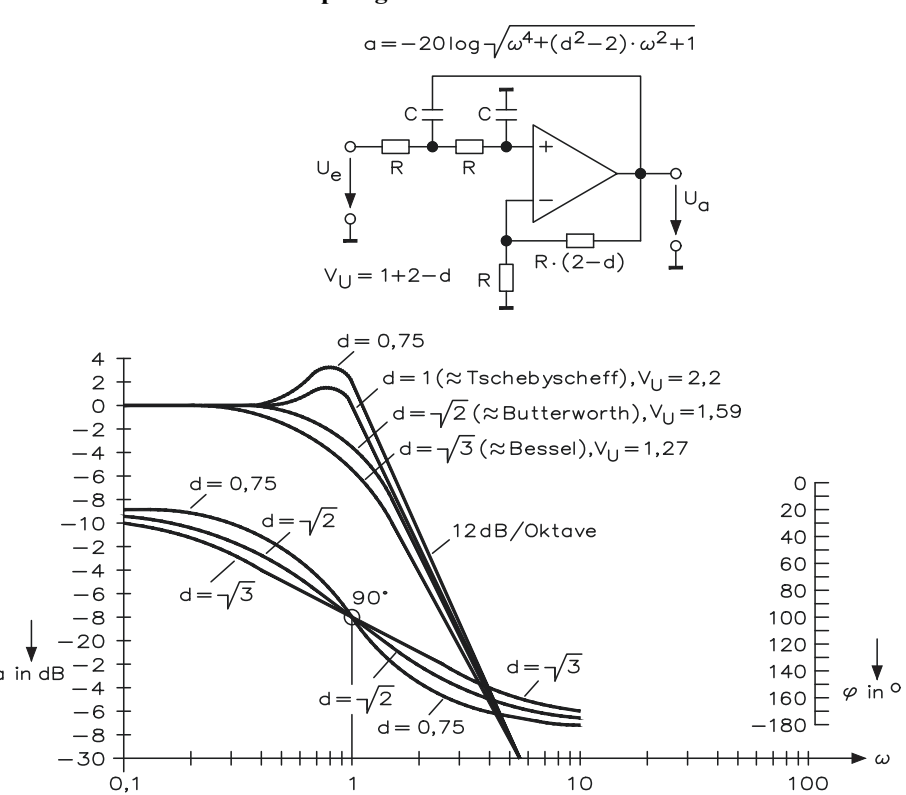
### ■ Tiefpassfilter 2. Ordnung mit gleichen Bauteilen und $f_g$ = 1 kHz

$$V_u = 1 + \frac{R_3}{R_4}$$
 bei  $C_1 = C_2$  und  $V_u + d \approx 3$  d Dämpfungswert 
$$V_u = 3 - d = 1 + \frac{R_3}{R_4}$$
 entsprechend  $2 - d = 1 + \frac{R_3}{R_4}$  und  $R_3 = R_4 \cdot (2 - d)$ 

Der Phasenwinkel ist für 
$$\varphi < 90^\circ$$
:  $\varphi = -\arctan \frac{d \cdot \omega}{1 - \omega^2}$  und  $\varphi > 90^\circ$ :  $\varphi = \left(180^\circ + \arctan \frac{d \cdot \omega}{1 - \omega^2}\right)$ .

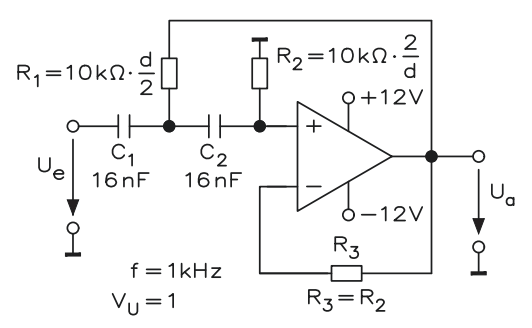
Der Amplitudenverlauf ist gegeben durch 
$$a = \frac{U_a}{U_e} = \frac{1}{\sqrt{(1-\omega^2)^2 + d^2 \cdot \omega^2}}$$
 oder in dB  $a = 20 \cdot \lg \cdot \sqrt{\omega^4 + (d^2 - 2) \cdot \omega^2 + 1}$ .

### Amplituden- und Phasenverlauf beim Hochpass 2. Ordnung mit unterschiedlicher D\u00e4mpfung



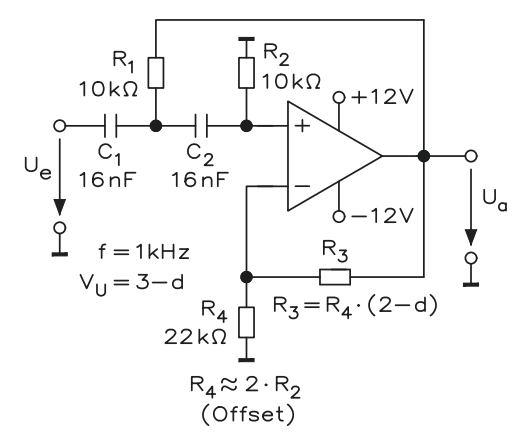
In der auf  $\omega=1$  normierten Frequenzachse lässt sich bei einem gegebenen d die Amplitudenspitze errechnen mit  $a'=-20\cdot\lg\frac{d\cdot\sqrt{4-d^2}}{2}$  und der Frequenz  $\omega'=\sqrt{1-\frac{d^2}{2}}$ .

### Hochpassfilter 2. Ordnung



Hochpassfilter 2. Ordnung mit ungleichen Bauteilen und  $f_g = 1 \text{ kHz}$ 

Die Berechnungen für das Hochpassfilter 2. Ordnung mit ungleichen Bauteilen wurde bereits gezeigt.



Hochpassfilter 2. Ordnung mit gleichen Bauteilen und  $f_g = 1 \text{ kHz}$ 

Der Amplitudenverlauf ist gegeben durch 
$$a = \frac{U_a}{U_e} = \frac{1}{\sqrt{\frac{1}{\omega^4} + \frac{d^2 - 1}{\omega^2} + 1}}$$

oder in dB 
$$a = 20 \cdot \lg \cdot \sqrt{\frac{1}{\omega^4} + \frac{(d^2 - 2)}{\omega^2} + 1}$$
.

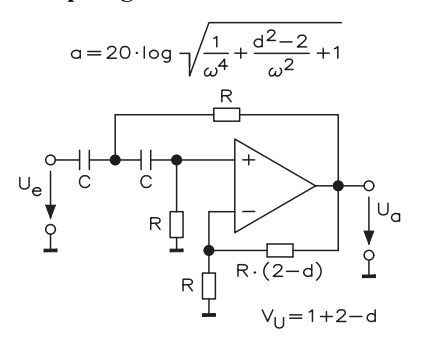
Der Phasenverlauf für  $\omega > 1$  ist  $\varphi = -\arctan \frac{d/\omega}{1-\omega^2}$  und für  $\omega < 1$  ist

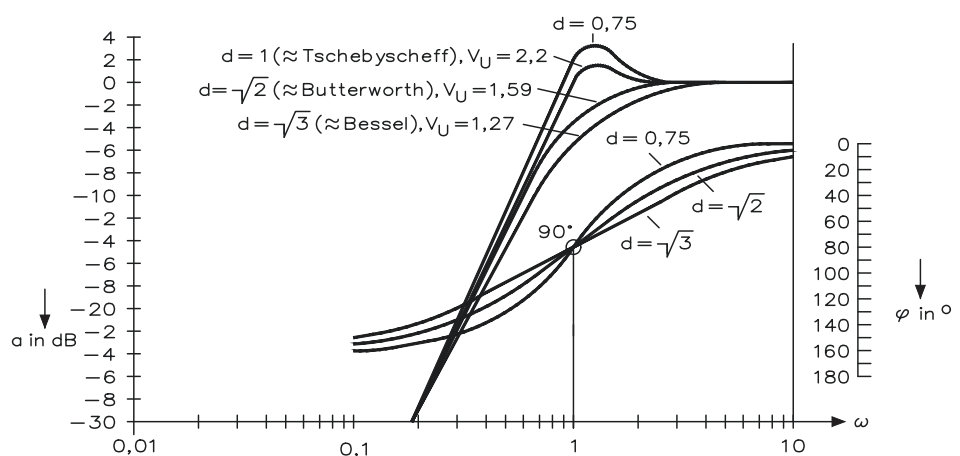
$$\omega = 180^{\circ} + \arctan \frac{d/\omega}{1 - \frac{1}{\omega^2}}$$
.

Der Spitzenwert der Welligkeit ist  $a' = -20 \cdot \lg \frac{d \cdot \sqrt{4 - d^2}}{2}$  und die Frequenz

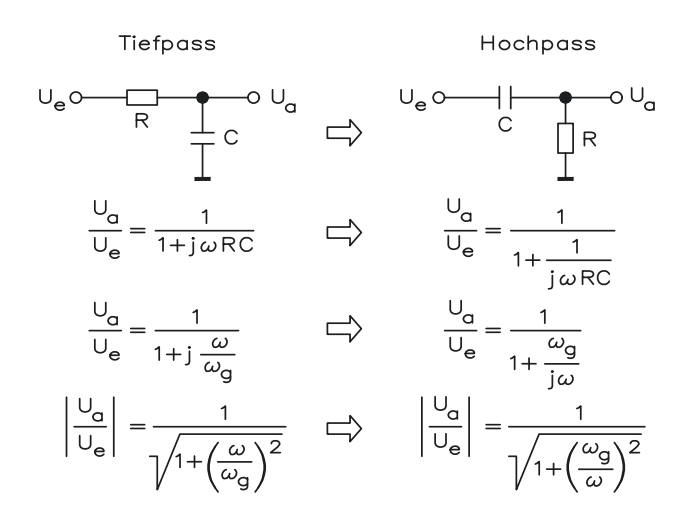
$$\omega' = \sqrt{1 - \frac{d^2}{2}}.$$

### Amplituden- und Phasenverlauf beim Hochpass 2. Ordnung mit unterschiedlicher D\u00e4mpfung





### 13.6 Umwandlung von Tief- in Hochpassfilter

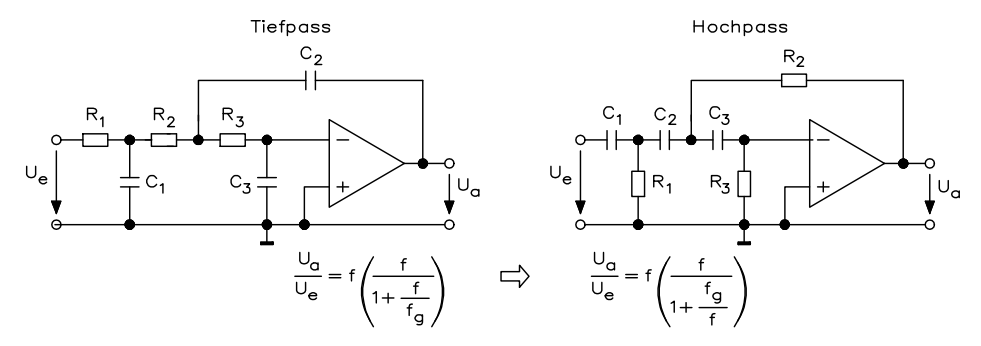


Tiefpass	Hochpass
jω	$1/j\omega$
$\overline{V_0}$	$V_{\infty}$
$R^* = 1/C^*$	$C^* = 1/R^*$
$C^* = 1/R^*$	$R^* = 1/C^*$

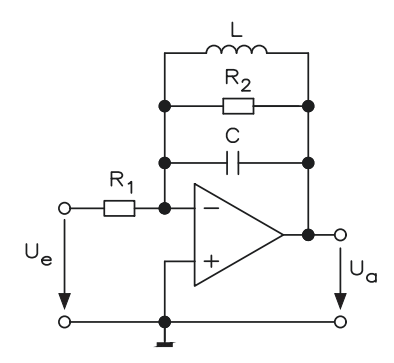
Normierter Widerstand:  $R^* = R/R_B$ ;  $R_B$  (Bezugswiderstand)

Normierte Kapazität:  $C^* = \omega_B \cdot R_B \cdot C_B$ ;  $\omega_B = 2 \cdot \pi \cdot f_B$  (Bezugsfrequenz)

Die Filterkoeffizienten a und b der Hochpassfilter sind identisch mit denen der Tiefpassfilter.



#### Selektiver Bandpass 2. Ordnung mit Schwingkreis 13.7



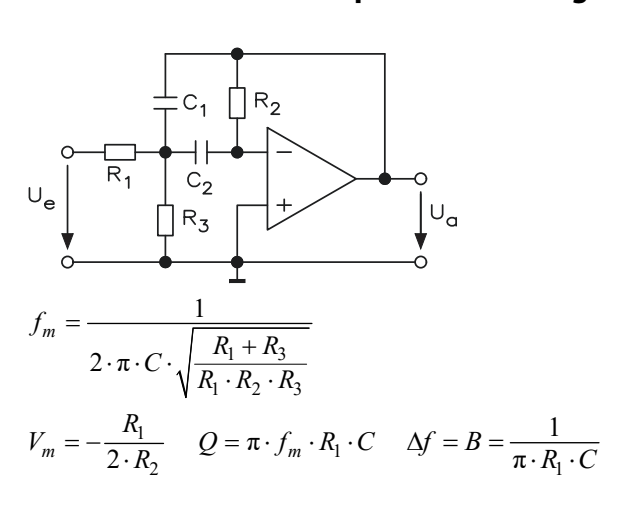
$$f_r = \frac{1}{2 \cdot \pi \cdot \sqrt{C \cdot L}}$$

$$Q = R_{res} \cdot \sqrt{\frac{C}{L}}$$

$$\Delta f = B = \frac{Q}{2 \cdot R_2 \cdot C}$$

$$f_r \text{ Resonanz frequenz } Q \text{ Güte } \Delta f \text{ Bandbreite}$$

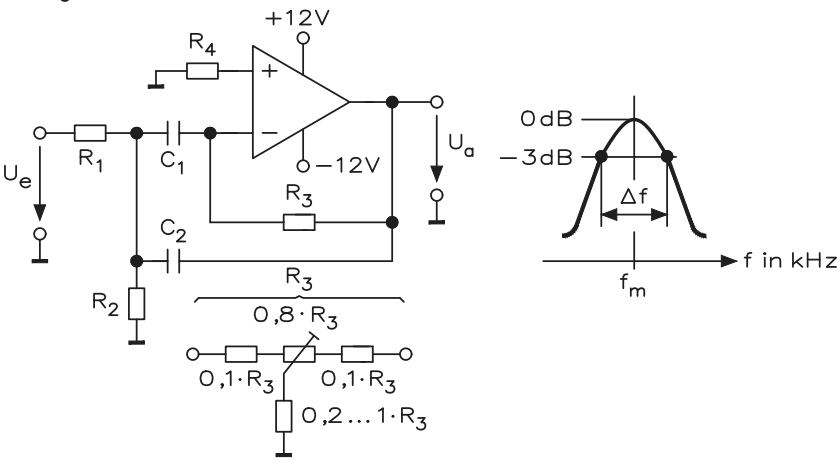
#### Selektive Bandsperre 2. Ordnung 13.8



Mittenfrequenz

#### Aktives Bandpassfilter 2. Ordnung

$$V_U = 0, 2 \cdot Q \text{ mit } R_1$$
  
 $V_U = 2 \cdot Q \text{ ohne } R_2$ 



Bandpassfilter 2. Ordnung (normiert für 1 kHz) mit

$$V_U = 0.2 \cdot Q \quad \text{mit } R_1 \ R_3 \approx R_4$$
  
 $V_U = 2 \cdot Q \quad \text{ohne } R_2 \qquad C = C_1 = C_2 = 15.9 \text{ nF}$ 

Normiert auf  $f_g = 1$  kHz:

ohne 
$$R_2$$
;  $R_1 = \frac{10 \text{ k}\Omega}{2 \cdot Q}$ ;  $R_3 = 2 \cdot 10 \text{ k}\Omega \cdot Q$   
mit  $R_2$ ;  $R_1 = \frac{100 \text{ k}\Omega}{2 \cdot Q}$ ;  $R_2 = \frac{11 \text{ k}\Omega}{2 \cdot Q}$ ;  $R_3 = 2 \cdot 10 \text{ k}\Omega \cdot Q$ 

Amplitudenverlauf: 
$$a = \frac{1}{\sqrt{1 + Q^2 \cdot \left(\frac{\omega^2 - 1}{\omega}\right)^2}}$$
 oder  $\frac{U_a}{U_e} = -20 \cdot \lg \sqrt{1 + Q^2 \cdot \left(\frac{\omega^2 - 1}{\omega}\right)^2}$ 

Phasenverlauf: 
$$\varphi = -\arctan \left[ Q^2 \cdot \left( \frac{\omega^2 - 1}{\omega} \right)^2 \right]$$

Aktives Bandpassfilter mit beliebigen  $V_U$  und Q, wenn  $Q \approx 5$ , wählbar zwischen Q = 1...20. Ist Q bekannt, lassen sich die Widerstände berechnen:

$$R_1 = \frac{Q}{V_{IJ} \cdot \omega \cdot C} = \frac{R_3}{2 \cdot V_{IJ}} \text{ mit } V_U = \frac{R_3}{2 \cdot R_1} = \frac{U_a}{U_e} \text{ und } C = \frac{0.16 \cdot Q}{f_M \cdot R_1 \cdot V_{IJ}}$$

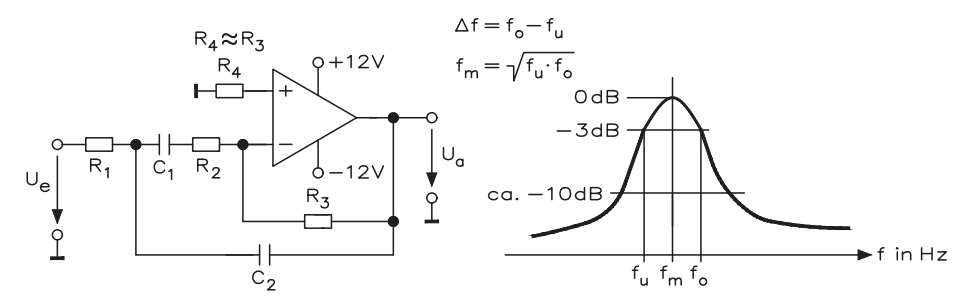
Bei 
$$f_m$$
 ist  $R_2 = \frac{Q}{\omega \cdot C \cdot (2 \cdot Q^2 - V_U)} = \frac{V_U \cdot R_1}{2 \cdot Q^2 - V_U} = \frac{R_3}{4 \cdot Q^2 - 2 \cdot V_U} = \frac{R_1 \cdot R_3}{4 \cdot Q^2 \cdot R_1 - R_3}$ 

$$R_3 = \frac{2 \cdot Q}{\omega \cdot C} = \frac{Q}{\pi \cdot f \cdot C} = \frac{1}{\pi \cdot \Delta f \cdot C} = 2 \cdot V_U \cdot R_1$$

Hohe Q-Werte erfordern hohe Werte für die Verstärkung  $V_U$ . Die Werte für  $R_1$  und  $R_3$  liegen im Bereich von 1 k $\Omega$  bis 150 k $\Omega$ . Werden diese Werte überschritten, ist es sinnvoll,  $V_U$  oder Q zu verringern.

$$\text{Mit } Q = \frac{f_m}{\Delta f} = \frac{1}{d} \text{ wird auch } Q = \pi \cdot f_m \cdot C \cdot R_3 = \omega \cdot C \cdot R_1 \cdot V_U = 0, 5 \cdot \omega \cdot R_2 \cdot C.$$

### 13.9 Sallen-Key-Bandpass 2. Ordnung



Sallen-Key-Bandpass 2. Ordnung (normiert für  $f_m = 1$  kHz) mit

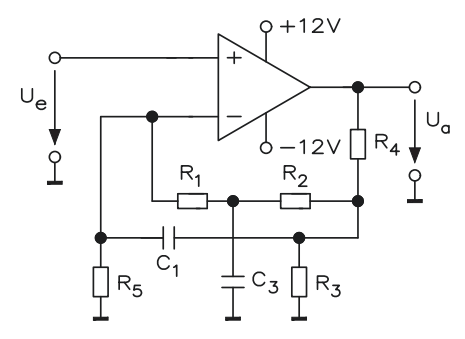
$$C_1 = C_2 = \frac{15.9 \text{ nF}}{3 \cdot Q}$$
;  $R_1 = R_2 = 10 \text{ k}\Omega$ ;  $R_3 = 10 \text{ k}\Omega \cdot (9 \cdot Q^2 - 1)$ 

Es ergibt sich eine geänderte Bandpassschaltung durch eine erhöhte Gegenkopplung ( $R_2$ ) mit dem Nachteil, dass die Verstärkung bei  $f_m$  mindestens  $V_U > 90 \cdot Q^2$  erreichen muss.

$$Q = \frac{J_m}{\Delta f} = 10;$$

$$R_1 = \frac{Q}{V_U \cdot \omega \cdot C} \qquad R_2 = \frac{V_U - R_1}{2 \cdot Q^2 - V_U} \qquad R_3 = 2 \cdot V_U \cdot R_1$$

### Bandpass mit Doppel-T-Filter 3. Ordnung



$$R_1 = R_2 = R; \qquad 2 \cdot C$$

$$R_1 = R_2 = R;$$
  $2 \cdot C = C_3;$   $R_4 = 390 \Omega \text{ bis } 12 \text{ k}\Omega;$   $R_4 = 2.2 \text{ k}\Omega \rightarrow Q = 75$ 

$$R_4 = 2.2 \text{ k}\Omega \rightarrow O = 75$$

$$C_1 = C_2 = C$$
:

$$0.5 \cdot R = R_3$$

$$R_5 = 390 \Omega$$
 bis 25 k $\Omega$ 

$$C_1 = C_2 = C;$$
 0,5 ·  $R = R_3;$   $R_5 = 390 \Omega \text{ bis } 25 \text{ k}\Omega;$   $R_5 = 1,5 \text{ k}\Omega \rightarrow V_U = 2000$ 

$$R_1 = R_2 = R > 1 \text{ k}\Omega < 1 \text{ M}\Omega$$
  $R_3 = 0.5 \cdot R$ 

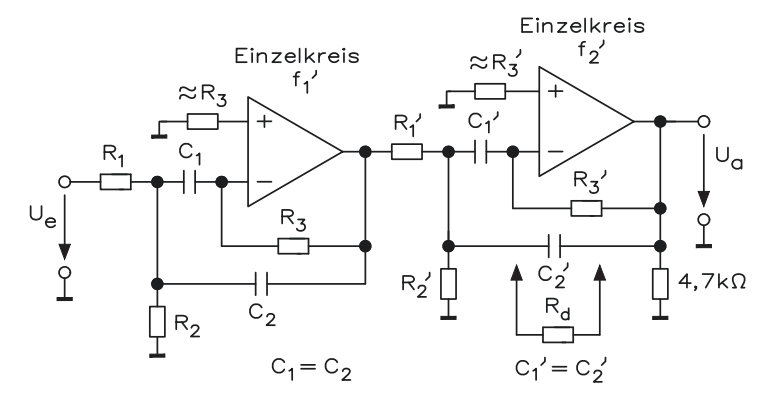
$$R_3 = 0.5 \cdot R$$

$$C_1 = C_2 = C > 100 \text{ pF} < 1 \text{ } \mu\text{F}$$
  $C_3 = 0.5 \cdot C$   $f_m = \frac{1}{2 \cdot \pi \cdot R \cdot C}$ 

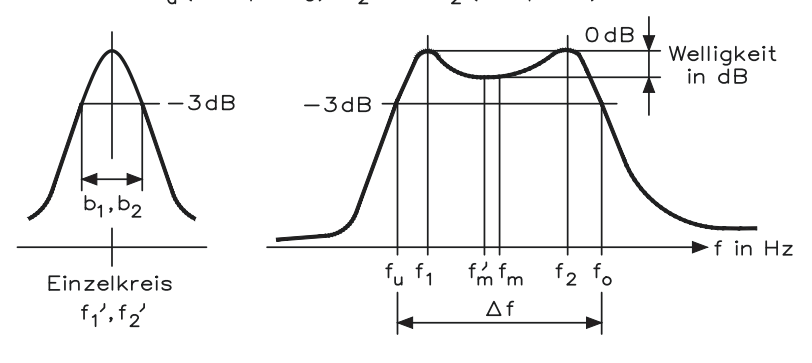
$$C_3 = 0.5 \cdot C_3$$

$$f_m = \frac{1}{2 \cdot \pi \cdot R \cdot C}$$

### Bandpass mit Doppel-T-Filter 4. Ordnung



 $R_d$  (Dämpfung),  $R_2$  und  $R_2$  (Frequenz)



$$C_1 = C_2$$
  $\Delta f = f_o - f_u$   
 $f'_m = \sqrt{f_u \cdot f_o}$   $f_m = \frac{f_1 + f_2}{2}$   
 $f'_1 = \frac{f_1}{1015}$   $f'_2 = f_2 \cdot 1,015$ 

Aus der Berechnung des Bandpassfilters 2. Ordnung wird  $\omega = f$  sowie  $f_1$  für die untere Kreisfrequenz und  $f_2$  für die obere Kreisfrequenz gesetzt, gilt für  $f_1 = f_2$  allgemein:

$$\frac{U_a}{U_e} = -20 \cdot \lg \sqrt{1 + Q^2 \cdot \left(\frac{f_1^2 - 1}{f_1}\right)^2} \cdot \sqrt{1 + Q_2^2 \cdot \left(\frac{f_2^2 - 1}{f_2}\right)^2}$$

und mit  $f_1 = f_2 = f$  sowie  $Q_1 = Q_2$ 

$$\frac{U_a}{U_e} = -20 \cdot \lg \sqrt{1 + Q^2 \cdot \left(\frac{f^2 - 1}{f}\right)^2} .$$

Wird der Frequenzersatz mit a berücksichtigt, so ist

$$\frac{U_a}{U_e} = -20 \cdot \lg \sqrt{1 + Q^2 \cdot \left(\frac{f_1^2 \cdot a^2 - 1}{f_1 \cdot a}\right)^2} \cdot \sqrt{1 + Q_2^2 \cdot \left(\frac{f_2^2 / a^2 - 1}{f_2 / a}\right)^2}$$
höhere Frequenz

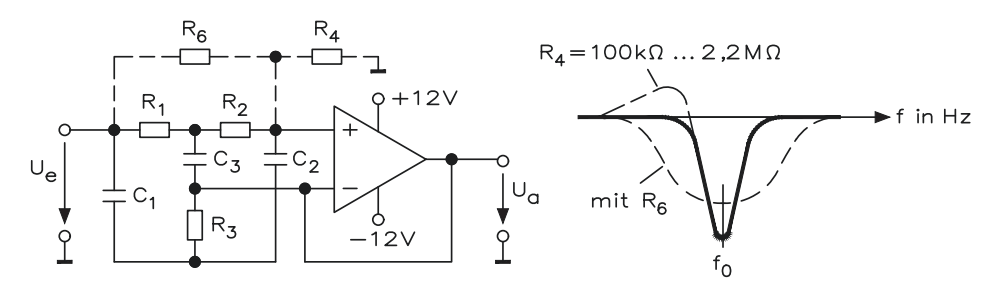
tiefere Frequenz

Der Zusammenhang zwischen der Bandbreite  $\Delta f_1$  und der  $\Delta f_2$  der Einzelkreise mit den zugehörigen Frequenzen  $f_1$  und  $f_2$  ist mit der Güte Q und der Bandbreite  $\Delta f$  der Summenkurve wie folgt:

Höckerfrequenzen: 
$$f_1 \approx f_m - 0.363 \cdot \Delta f = f_m \left( 1 - \frac{0.363}{Q} \right);$$
  $f_m = \frac{f_1 + f_2}{2} = \frac{f_1' + f_2'}{2}$ 

$$f_2 \approx f_m - 0.363 \cdot \Delta f = f_m \left( 1 + \frac{0.363}{Q} \right)$$
Summengüte:  $Q = \frac{0.32 \cdot f_m}{\Delta f_m};$   $\Delta f_m = \frac{\Delta f_1 + \Delta f_2}{Q}$ 
Einzelkreise:  $\Delta f_1 = \frac{0.312 \cdot f_1'}{Q};$   $\Delta f_2 = \frac{0.312 \cdot f_2'}{Q};$   $f_1' < f_2'$ 

### 13.10 Notch-Filter



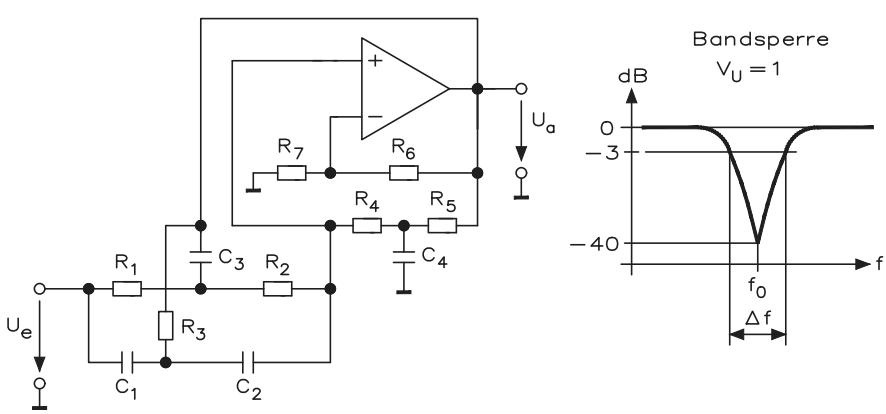
Ein Notch-Filter wird benötigt, um aus einem Frequenzgebiet einen Teilbereich zu dämpfen.

$$R_1 = R_2 = R$$
;  $C_1 = C_2 = C$ ;  $2 \cdot C = C_3$ ;  $0.5 \cdot R = R_3$ 

Die Sperrfrequenz ist  $f_0 = \frac{1}{2 \cdot \pi \cdot R \cdot C}$ .

Durch das Bootstrapping ergibt sich ein Überschwingen.

### Notch-Filter mit einstellbarer Verstärkung



$$R_1 = R_2 > 1 \text{ k}\Omega < 500 \text{ k}\Omega, C_1 = C_2 = C > 2 \cdot 100 \text{ pF} < 0.5 \text{ }\mu\text{F}$$

$$R_1 = R_2 \text{ wird } R_3 = 0.5 \cdot R_1 \text{ und } C_1 = C_2 \text{ wird } C_3 = 2 \cdot C_1 \text{ wird } C_2 = 0.5 \cdot C_2 \text{ wird } C_3 = 0.5 \cdot C_3 \text{ wird } C_3 =$$

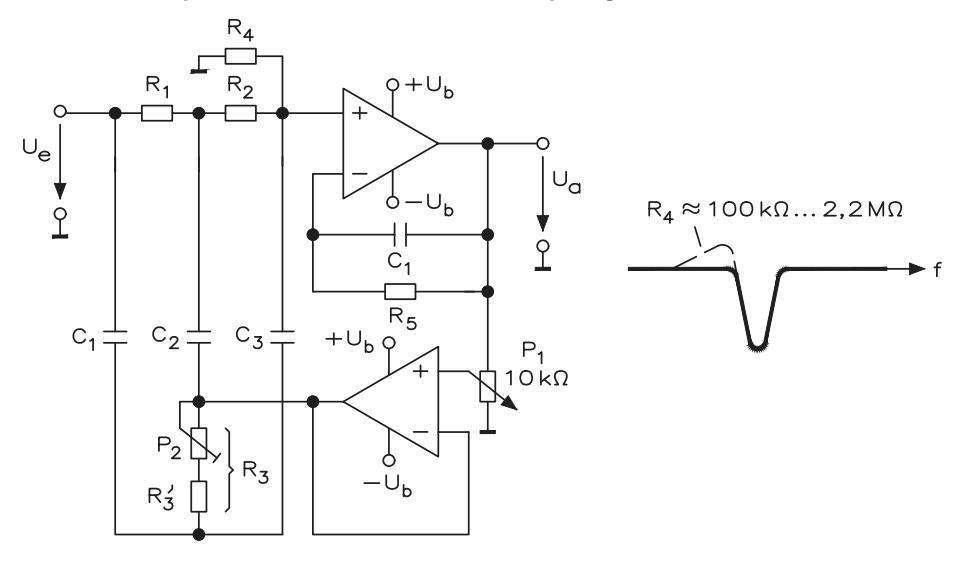
Die Güte wird als  $Q = \frac{f_0}{\Delta f}$  (-3 dB für  $\Delta f$ ).

Es wird gewählt: 
$$R_4 \approx R_5 = \frac{4 \cdot Q}{\omega \cdot C_3}$$
 und  $C_4 = \frac{C_3}{2 \cdot Q}$ 

$$C_1 = C_2 = \frac{1}{2 \cdot \pi \cdot f_0 \cdot R}$$
  $R_1 \approx R_5 = \frac{4 \cdot Q}{\omega_0 \cdot C_3}$   $C_4 = \frac{C_3}{2 \cdot Q}$ 

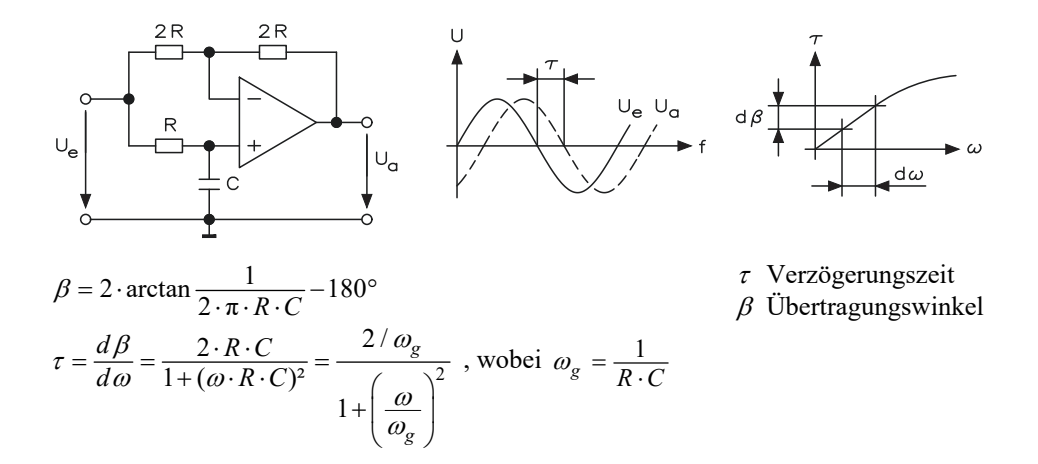
13.11 Allpassfilter 259

### Notch-Filter (Sperrfilter) mit einstellbarer Dämpfung



Der Widerstand  $R_3 = 100$  % wird aufgeteilt in  $\approx 0.8 \cdot R'_3$  und  $1.4 \cdot P$ . Die Güte lässt sich im Bereich von  $Q \approx 0.25$  ... 15 ändern.

### 13.11 Allpassfilter

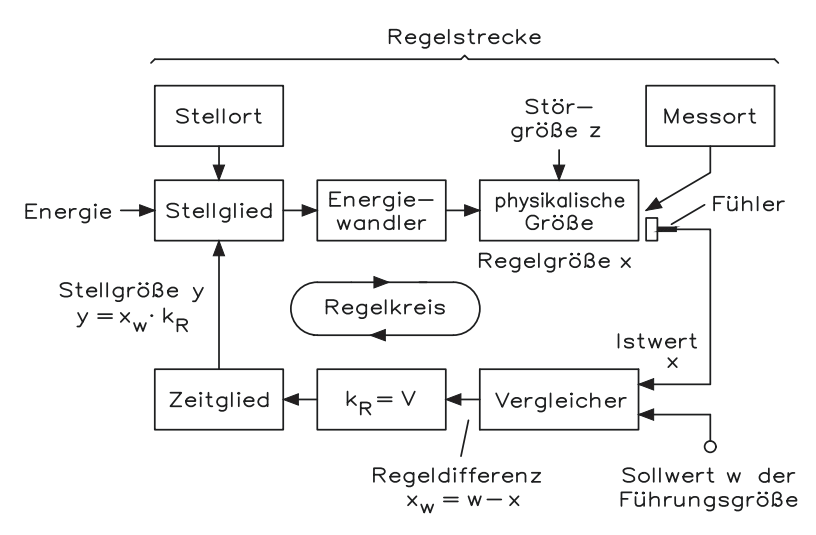




Regelungstechnik 14

- Die zu regelnde Größe wird laufend erfasst.
- Die zu regelnde Größe wird mit der Führungsgröße verglichen.
- Die zu regelnde Größe wird durch Eingriffe an die Führungsgröße angeglichen.

### 14.1 Regelkreis

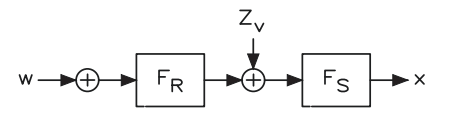


Ein Regelkreis befindet sich in einem geschlossenen System (Wirkungsablauf) und hat eine Regelgröße x bzw. eine Führungsgröße w. Die Regelgröße x ist der Sollwert, und soll von der Regelstrecke konstant gehalten oder nach einem vorgegebenen Programm beeinflusst werden. Die Führungsgröße w wird von außen zugeführt und die Regelung

beeinflusst diese Größe nicht, und die Regelgröße folgt in der vorgegebenen Abhängigkeit. Der Regler ist die elektronische Schaltung, die über das Stellglied aufgabengemäß auf die Strecke einwirkt. Der Istwert der Regelgröße ist der tatsächliche Wert im betrachteten Zeitpunkt. Die Regelabweichung findet zwischen der Regelgröße und der Führungsgröße statt. Der Stellbereich ist der Bereich, innerhalb dessen die Stellgröße einstellbar ist. Die Störgröße ist die von außen auf den Regelkreis einwirkende Störung, die die Regelgröße mehr oder weniger beeinträchtigt.

### 14.2 Verhalten von Regelkreisen

#### Offener Regelkreis

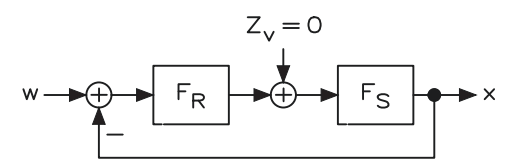


$$F_0 = F_S \cdot F_R$$

 $F_0$  Open-Loop-Funktion  $F_S$  Funktion der Regelstrecke  $F_R$  Funktion des Reglers

Die "Open-Loop-Funktion" wird bei offenem Regelkreis bestimmt.

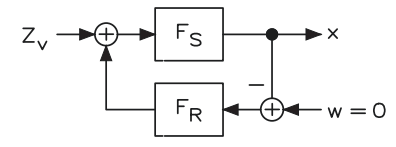
#### Führungsverhalten



Betrachtet man das Verhalten eines geschlossenen Regelkreises aus Sicht der Führungsgröße w, wird dieses Verhalten als Führungsverhalten  $F_w$  bezeichnet. Dabei wird angenommen, dass die Versorgungsstörgröße  $Z_v = 0$  ist.

$$F_w = \frac{F_S \cdot F_R}{1 + (F_S \cdot F_R)} \qquad F_w = \frac{F_0}{1 + F_0}$$

#### Störgrößenverhalten



Betrachtet man das Verhalten eines geschlossenen Regelkreises aus Sicht der Störgröße  $Z_{\nu}$ , wird dieses Verhalten als Störgrößenverhalten  $F_{Z\nu}$  bezeichnet. Dabei wird angenommen, dass die Führungsgröße w=0 ist.

$$F_{Zv} = \frac{F_S}{1 + (F_S \cdot F_R)}$$
  $F_{Zv} = \frac{F_S}{1 + F_0}$ 

Ein Regelkreis schwingt, wenn die folgenden Bedingungen erfüllt sind:

- Das rückgekoppelte Signal hat eine Phasendrehung von 180° zur Führungsgröße w und es tritt eine Gegenkopplung auf.
- Die Amplitude des rückgekoppelten Signals gleich oder größer als die Amplitude der Führungsgröße w ist.

Die bleibende Regelabweichung stellt die Abweichung der Regelgröße (Ist-Wert) x von der Führungsgröße (Sollwert) w dar. Diese Regelgröße wird im eingeschwungenen Zustand des Regelkreises ermittelt, also bei  $t \to \infty$ , womit folgt, dass die Kreisfrequenz  $\omega = 0$  wird.

Die bleibende Regelabweichung bezogen auf die Führungsgröße w ist

$$e_{bw} = \frac{w}{1 + (F_S \cdot F_R)}$$
  $e_{bw} = \frac{w}{1 + F_0}$ 

Setzt man  $j\omega = 0$  ein, erhält man für  $e_{bw}$  einen konkreten Wert.

Die bleibende Regelabweichung bezogen auf die Störgröße  $Z_{\nu}$  ist

$$e_{bZv} = \frac{F_S \cdot Z_v}{1 + (F_S \cdot F_R)} \quad e_{bZv} = \frac{F_S \cdot Z_v}{1 + F_0}$$

Setzt man  $j\omega = 0$  ein, erhält man für  $e_{bZv}$  einen konkreten Wert.

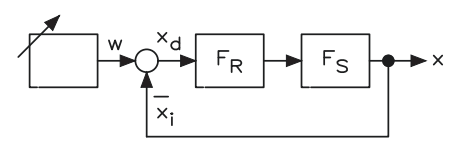
Die gesamte Regelabweichung ist

 $e_b = e_{bw} - e_{bZv}$  gesamte bleibende Regelabweichung

 $e_{bw}$  bleibende Regelabweichung bezogen auf die Führungsgröße w

 $e_{bZv}$  bleibende Regelabweichung bezogen auf die Störgröße  $Z_v$ 

#### Festwertregelung



Eine Festwertregelung versucht, die Regelgröße x (Istwert) möglichst auf einen fest vorgegebenen Führungswert x (Sollwert) zu halten.

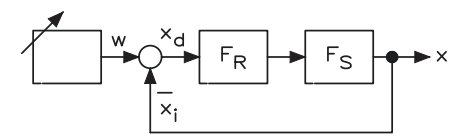
Eine Folgeregelung versucht, die Regelgröße *x* (Istwert) möglichst genau dem zeitlichen Verlauf der Führungsgröße *w* (Sollwert) nachzuführen. Man unterscheidet zwischen der Nachlauf- und der Verhältnisregelung.

Aufgabe der Nachlaufregelung ist es, den Verlauf der Regelgröße x (Istwert) dem vorgegebenen zeitlichen Verlauf der Führungsgröße w (Sollwert) anzupassen.

Aufgabe der Verhältnisregelung ist es, eine bestimmte Prozessgröße  $x_2$  in einem bestimmten Verhältnis  $S_v$  anzupassen

$$w = S_v \cdot x_2$$

#### Einfachregelkreis



Wenn die Regelgröße x von der Führungsgröße w abweicht, wird eine Regeldifferenz  $x_d$  ermittelt, aus der der Regler eine Stellgröße y bildet, die die Regelstrecke so beeinflusst, dass die Regelgröße die Führungsgröße w wieder anpasst. Die Übertragungsfunktion  $F_R$  des Reglers muss so ausgelegt sein, dass der Regelkreis ein gutes Störverhalten (kleine Regeldifferenzen und kurze Ausregelzeiten) aufweist.

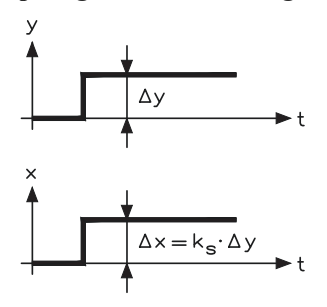
### 14.3 Klassifizierung von Regelstrecken

Eine Regelstrecke **mit** Ausgleich ist dann vorhanden, wenn ein eindeutiger Zusammenhang zwischen Stellgröße y und der Regelgröße x besteht, und ein stationärer Endwert der Regelgröße x erreicht wird. Diese Regelstrecken weisen meist ein P- oder P- $T_x$ -Verhalten auf.

Eine Regelstrecke **ohne** Ausgleich ist vorhanden, wenn kein eindeutiger Zusammenhang zwischen Stellgröße y und der Regelgröße x besteht, und ein stationärer Endwert der Regelgröße x erreicht wird. Diese Regelstrecken weisen meist ein I- oder I- $T_x$ -Verhalten auf.

Eine Regelstrecke **mit** Totzeit ist dann vorhanden, wenn die Regelgröße x erst nach einer bestimmten Zeit  $T_t$  eine Reaktion auf die Stellgröße y zeigt. Die Totzeit ist in allen Regelstrecken vorhanden, aber sie ist nicht erwünscht, da sie die Regelung nachhaltig beeinflusst.

#### Sprungantwort einer Regelstrecke mit Proportionalverhalten (P-Verhalten)

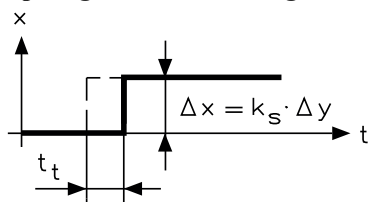


Die Regelgröße folgt der Stellgröße ohne zeitliche Verzögerung.

$$\Delta x = k_S \cdot \Delta y$$

Den Faktor  $k_S$  bezeichnet man als Streckenverstärkung (Übertragungsbeiwert).

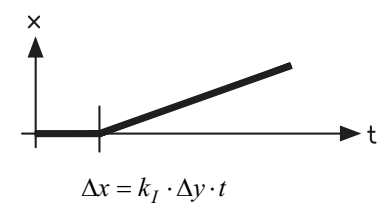
■ Sprungantwort einer Regelstrecke mit Proportionalverhalten und Totzeit tt



Die Regelgröße folgt der Stellgröße mit einer zeitlichen Verzögerung.

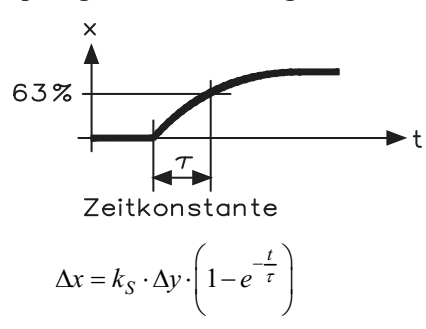
$$\Delta x = k_S \cdot \Delta y$$

Sprungantwort einer Regelstrecke 1. Ordnung ohne Ausgleich

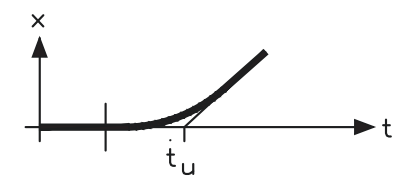


Den Faktor  $k_I$  bezeichnet man als Übertragungsbeiwert, wenn der Verlauf von  $\Delta y$  konstant ist.

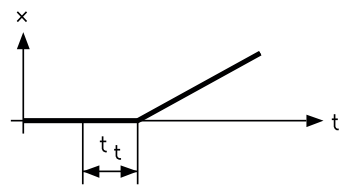
Sprungantwort einer Regelstrecke 1. Ordnung mit Ausgleich und Verzögerung



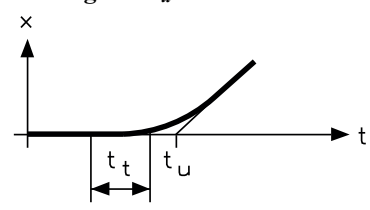
 Sprungantwort einer Regelstrecke 1. Ordnung ohne Ausgleich und Anlauf- oder Verzugszeit tu



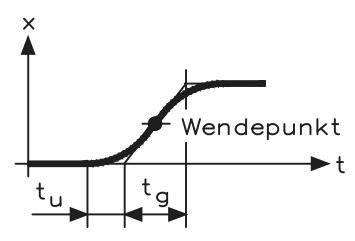
Sprungantwort einer Regelstrecke 1. Ordnung ohne Ausgleich mit Totzeit t<sub>t</sub>.



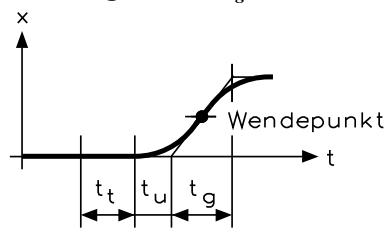
• Sprungantwort einer Regelstrecke 1. Ordnung ohne Ausgleich mit Totzeit  $t_t$  und Verzugszeit  $t_u$ 



• Sprungantwort einer Regelstrecke höherer Ordnung mit Verzugszeit  $t_u$  und Ausgleichszeit  $t_g$ 



Sprungantwort einer Regelstrecke höherer Ordnung mit Totzeit  $t_t$  Verzugszeit  $t_u$  und Ausgleichszeit  $t_g$ 



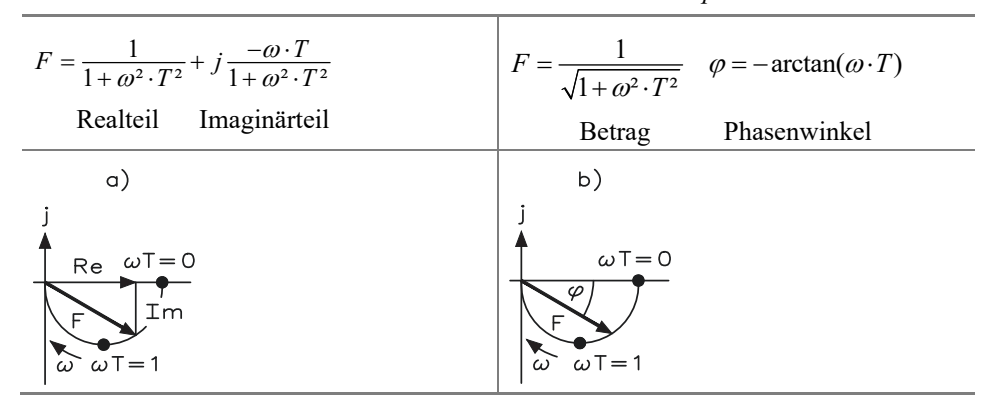
## 14.4 Ortskurven in der Regelungstechnik

Darstellung des komplexen Frequenzgangs als Kurve in der komplexen Zahlenebene mit der Kreisfrequenz  $\omega$  oder der normierten Variablen  $\omega T$  als Parameter.

Je nachdem, ob die Ortskurve in einem kartesischen oder polaren Koordinatensystem abgebildet wird, teilt man den komplexen Frequenzgang entweder in Real- und Imaginärteil oder in Betrag und Phasenwinkel auf.

Kartesische Koordinaten	Polarkoordinaten
a)	b)
z b	zφ
$Z = a + j \cdot b$	$Z = Z \cdot \exp(j\varphi)$

Beispiel für eine Ortskurve eines P-T<sub>1</sub>-Gliedes mit  $F(p) = \frac{1}{1 + p \cdot T}$ 

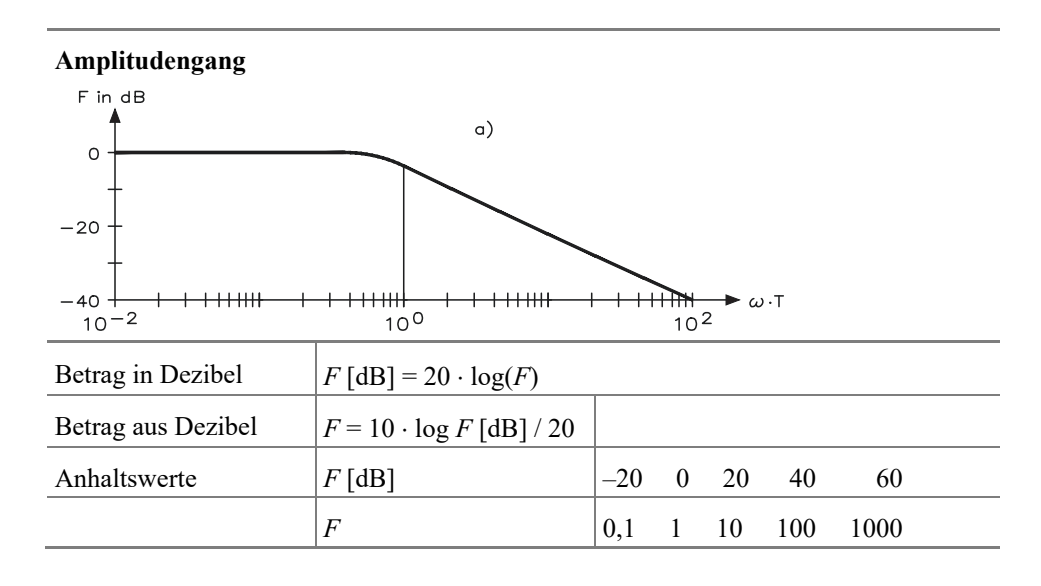


Name	Frequenzgang	Betrag	Winkel		
P	K	K	0°	j K	a)
I	$\frac{1}{p \cdot T}$	$\frac{1}{\omega \cdot T}$	-90°	j	b)
P-T <sub>1</sub>	$\frac{1}{1+p\cdot T}$	$\frac{1}{\sqrt{1+(\omega\cdot T)^2}}$	$-\arctan(\omega \cdot T)$	1	- c)

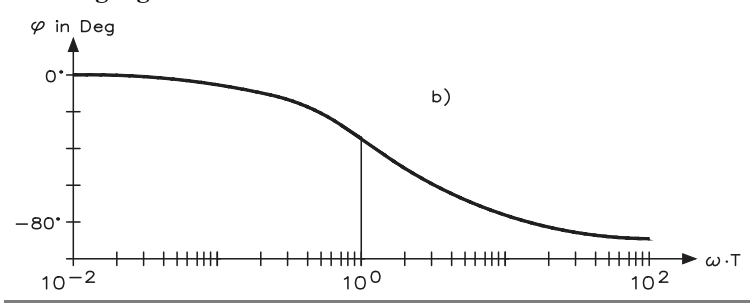
Name	Frequenzgang	Betrag	Winkel	
DT <sub>1</sub>	$\frac{p \cdot T}{1 + p \cdot T}$	$\frac{\omega \cdot T}{\sqrt{1 + (\omega \cdot T)^2}}$	90° – arctan $(\omega \cdot T)$	j d)
P-T <sub>2</sub>	$\frac{1}{1+p\cdot 2\cdot D\cdot T+p^2\cdot T^2}$	$a = 1 + (\omega \cdot T)^2$ $\frac{1}{\sqrt{a^2 + b^2}}$	$B = 2 \cdot D \cdot \omega \cdot T$ $-\arctan(b/a)$	$\frac{1}{\omega}$ e)
T <sub>t</sub>	$\exp(-p \cdot T_t)$	1	$-\omega \cdot T_t$	j f)

### 14.5 Bodediagramm in der Regelungstechnik

Im Bodediagramm werden der Amplitudenverlauf des Frquenzgangs  $F(\omega)$  in Dezibel und separat dazu der Phasenverlauf ( $\omega$ ) abgebildet: Unabhängige Variable ist die Kreisfrequenz  $\omega$  bzw. ihre normierte Form  $\omega T$ . Üblicherweise umfasst der Frequenzbereich vier Dekaden.



### Phasengang



Zur Verbreitung von Bodediagrammen tragen die folgenden Eigenschaften bei:

- bestimmte Kennlinien lassen sich linearisieren
- bestimmte Kennlinien lassen sich symmetrieren
- Kennlinien von in Reihe geschalteten Systemen lassen sich addieren

Anhand des folgenden Beispiels erfolgt ein P-T<sub>1</sub>-Glied mit Bodediagramm.

Komplexer Frequenzgang:  $\frac{1}{1+p \cdot T}$ 

 $F = \frac{1}{\sqrt{1 + \omega^2 \cdot T^2}}$ Betrag:

Phasenwinkel:  $\varphi = -\arctan(\omega \cdot T)$ 

	1	1	1	1	1	
$\omega \cdot T$	0,01	0,10	1,00	10,0	100,0	
F[dB]	0,00	0,00	-3,01	-20.0	-40,0	
in DEG	-0,57	-5,71	-45,00	-84,3	-89,4	

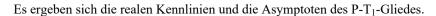
#### Asymptoten:

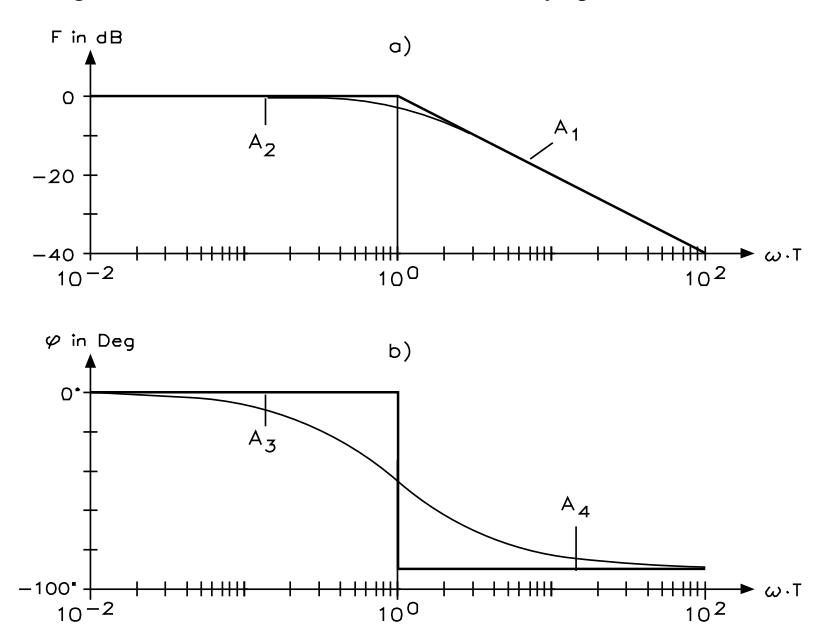
 $\omega T \ll 1$ ;  $F \approx 1$ Betrag: 1. Asymptote

 $\omega T << 1; \quad F \approx 1$   $A_1 = 0 \text{ dB}$   $\omega T >> 1; \quad F \approx 1/(\omega \cdot T)$   $A_2 = -20 \cdot \lg(\omega \cdot T)$ 2. Asymptote

 $\omega T \ll 1; \approx 0^{\circ}$ Winkel: 3. Asymptote

 $A_3 = 0^{\circ}$   $A_4 = -90^{\circ}$  $\omega T >> 1; \approx -90^{\circ}$ 4. Asymptote





Beim Amplitudengang beträgt die größte Abweichung zwischen Kennlinie und Asymptote etwa 3 Dezibel, wie die Bodediagramme für elementare Übertragungsglieder zeigen.

Name	F	F		
P	K	K	0°	Fω α) φω α)
I	$\frac{1}{p \cdot T}$	$\frac{1}{\omega \cdot T}$	-90°	φ b)
P-T <sub>1</sub>	$\frac{1}{1+p\cdot T}$	$\frac{1}{\sqrt{1+(\omega\cdot T)^2}}$	–arctan (ω· T)	φ c) ω
D-T <sub>1</sub>	$\frac{p \cdot T}{1 + p \cdot T}$	$\frac{\omega \cdot t}{\sqrt{1 + (\omega \cdot T)^2}}$	90° –arctan (ω· T)	$\varphi$ $\omega$ d)

Name	F	F		
P-T <sub>2</sub>	$\frac{1}{1+p\cdot D\cdot T+p^2\cdot T^2}$	$a = 1 - \omega^2 \cdot T^2$ $\frac{1}{\sqrt{a^2 + b^2}}$	$b = 2 \cdot D \cdot \omega \cdot T$ $-\arctan(b/a)$	$\omega$ $\omega$ $\omega$ $\omega$
T <sub>t</sub>	$\exp\left(-p\cdot T_{t}\right)$	1	$-\omega \cdot T_t$	$\varphi$ $\omega$ $\omega$ $\omega$

# 14.6 Regelstreckenglieder

Ver- halten	Elektrisches Beispiel	Nicht elektrisches Beispiel	Frequenzgang
P	م)	b)	F(p) = K
	Y X	Y <b>↓</b>	
Ι	c) Y	x (a)	$F(p) = \frac{1}{p \cdot T}$
P-T <sub>1</sub>	e) Y	f) X	$F(p) = \frac{K}{1 + p \cdot T}$
P-T <sub>2</sub>	y X	h)  A Y  A Y  A Y  A Y  A Y  A Y  A Y  A	$F = \frac{1}{1 + p \cdot D \cdot T + p^2 \cdot T^2}$

Ver- halten	Elektrisches Beispiel	Nicht elektrisches Beispiel	Frequenzgang
T <sub>t</sub>	i)	j)	$F = k \cdot \exp(-p \cdot T_t)$
		Y X	

Das Totzeit-Verhalten einer Regelstrecke ist  $x = y \cdot K_S \cdot (t - T_t)$ 

Die Übertragungsfunktion ist

$$\underline{F}(j\omega) = K_S \cdot e^{-j\omega T_t}$$
  $\underline{F}(p) = K_S \cdot e^{-pT_t}$ 

Der Amplitudengang für das Bodediagramm ist  $|\underline{F}(j\omega)| = K_S$   $L(\omega = 20 \cdot \lg |\underline{F}(j\omega)|$   $L(\omega) = 20 \cdot \lg(K_S)$ 

Der Phasengang für das Bodediagramm ist  $\varphi(\omega) = -\arctan(\omega \cdot T_t)$ 

$$\omega_K = \frac{\pi}{T_t}$$
 RAD einstellen!!!

Das dynamische Verhalten der Regelstrecke mit Ausgleich wird durch das P-Verhalten beschrieben:

$$\underline{F}(j\omega) = \frac{K_{PS}}{1 + [(j\omega) \cdot T_1] + [(j\omega)^2 \cdot T_2^2] + \dots + [(j\omega)^n \cdot T_n^n]}$$

$$\underline{F}(p) = \frac{K_{PS}}{1 + (p \cdot T) + (p^2 \cdot T_2^2) + \dots + (p^n \cdot T_n^n)}$$

Das dynamische Verhalten von Regelstrecke ohne Ausgleich wird durch das I-Verhalten beschrieben:

$$\underline{F}(j\omega) = \frac{\frac{1}{j\omega} \cdot K_{IS}}{1 + [(j\omega) \cdot T_1] + [(j\omega)^2 \cdot T_2^2] + \dots + [(j\omega)^n \cdot T_n^n]}$$

$$\underline{F}(p) = \frac{\frac{1}{p} \cdot K_{IS}}{1 + (p \cdot T) + (p^2 \cdot T_2^2) + \dots + (p^n \cdot T_n^n)}$$

- x Ausgangssignal der Regelstrecke
- y Eingangssignal der Regelstrecke
- $T_t$  Totzeit in s
- *K<sub>S</sub>* Übertragungsbeiwert der Regelstrecke
- $\underline{F}(j\omega)$  komplexe Übertragungsfunktion
- *F*(*p*) allgemeine Übertragungsfunktion
- $|F(j\omega)|$  Amplitudengang der Regelstrecke
- $\varphi(\omega)$  Phasengang der Regelstrecke
- $\omega_K$  kritische Kreisfrequenz bei der  $\varphi(\omega)$  den Wert -180° überschreitet
- <u>F</u>(*jω*) komplexe Übertragungsfunktion
- *F*(*p*) allgemeine Übertragungsfunktion

*K<sub>PS</sub>* Proportionalbeiwert

 $T_1$ 

 $K_{IS}$  Proportionalbeiwert in 1/s

1. Zeitkonstante in s

 $T_2^2$  2. Zeitkonstante in s<sup>2</sup>

 $T_n$  n. Zeitkonstante in s

n Grad der Zeitkonstante

Der Anlaufwert einer Regelstrecke ist der Kehrwert der maximalen Änderungsgeschwindigkeit:

$$A = \frac{1}{v_{\text{max}}}$$

$$y_{\text{max}} = \frac{1}{K_{IS} \cdot A}$$

$$K_{IS} = \frac{1}{A \cdot y_{\text{max}}}$$

Der Ausgleichswert der Regelstrecke ist das Verhältnis der Eingangsgröße (Stellgröße y) zur Ausgangsgröße (Regelgröße der Regelstrecke bei  $t \to \infty$  (eingeschwungen))

$$Q = \left(\frac{y}{x}\right)_{t \to \infty} \quad Q = \frac{1}{K_S}$$

Die Berechnungen für Regelstrecken ohne Ausgleich (I-Verhalten) sind

$$\underline{F}(j\omega) = \frac{\frac{1}{j\omega} \cdot K_{IS}}{1 + [(j\omega) \cdot T_1] + [(j\omega)^2 \cdot T_2^2] + \dots + [(j\omega)^n \cdot T_n^n]}$$

$$\underline{F}(p) = \frac{\frac{1}{p} \cdot K_{IS}}{1 + (p \cdot T) + (p^2 \cdot T_2^2) + \dots + (p^n \cdot T_n^n)}$$

$$A = \frac{1}{K_S \cdot y_{\text{max}}}$$

$$Q = \left(\frac{y}{x}\right)_{t \to \infty} \text{ und } t \to \infty \text{ gilt } x \to \infty \Rightarrow Q = 0$$

Der Anlaufwert der Regelstrecke ist  $\frac{s}{[y]}$ 

z. B. 
$$\frac{s}{m}$$
,  $\frac{s}{1}$ ,  $\frac{s}{m^3}$ 

Nachfolgend werden die Kennwerte für Regelstrecken mit Ausgleich (P-Verhalten) gezeigt:

$$\underline{F}(j\omega) = \frac{K_{PS}}{1 + [(j\omega) \cdot T_1] + [(j\omega)^2 \cdot T_2^2] + \dots + [(j\omega)^n \cdot T_n^n]}$$

$$\underline{F}(p) = \frac{K_{PS}}{1 + (p \cdot T) + (p^2 \cdot T_2^2) + \dots + (p^n \cdot T_n^n)}$$

$$Q = \frac{1}{K_S} \quad \text{mit } K_S = K_P \Rightarrow Q = \frac{1}{K_P}$$

A Anlaufwert der Regelstrecke

v<sub>max</sub> maximale Änderungsgeschwindigkeit der Regelgröße x

y<sub>max</sub> maximales Eingangssignal (Stellgröße)

*K<sub>IS</sub>* Übertragungsbeiwert der Regelstrecke

Q Ausgleichswert der Regelstrecke

Anlaufwert der Regelstrecke

Ausgleichswert der Regelstrecke

Proportionalbeiwert in 1/s

maximales Eingangssignal (Stellgröße)

Für eine Regelstrecke ohne Verzögerung gilt:

$$A = \frac{1}{v_{\text{max}}}$$
 mit  $v_{\text{max}} \Rightarrow A = \infty$ 

Für eine Regelstrecke mit Verzögerung  $T_1$  gilt:

$$A = \frac{T_1}{K_P \cdot y_{\text{max}}} \quad \text{mit } K_P \cdot y_{\text{max}} = x_{\text{max}}$$

$$A = \frac{T_1}{x_{\text{max}}}$$

Für eine Regelstrecke mit Verzögerung  $T_2$  und höher gilt:

$$A = \frac{T_g}{x_{\text{max}}}$$

$$K_P = \frac{T_g}{A \cdot y_{\text{max}}}$$

- A Anlaufwert der Regelstrecke
- Q Ausgleichswert der Regelstrecke
- *K<sub>P</sub>* Proportionalbeiwert

y<sub>max</sub> maximales Eingangssignal (Stellgröße γ)

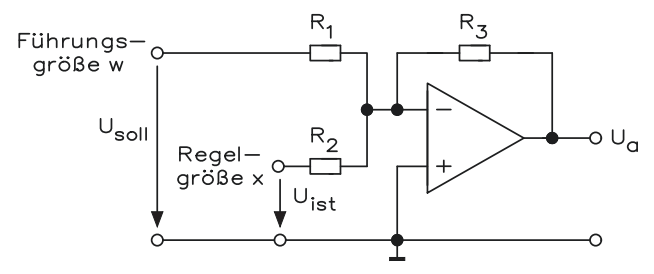
 $x_{\text{max}}$  maximale Regelgröße (Regelgröße x)

- $T_1$  1. Zeitkonstante
- Zeitkonstante
- $T_n$  Ausgleichzeit
- $T_u$  Verzugszeit

### 14.7 Realisierung von elektronischen Reglern

Für die Realisierung von elektronischen Reglern nach dem analogen Verfahren werden seit 1970 Operationsverstärker eingesetzt, da diese Bauteile neben einem hohen Verstärkungsfaktor eine große Bandbreite aufweisen. Der Verstärkungsfaktor und die Bandbreite lassen sich durch eine externe Beschaltung für den praktischen Einsatz in der Messund Regelungstechnik optimieren.

### P-Regler mit Sollwert- und Istwert-Eingang

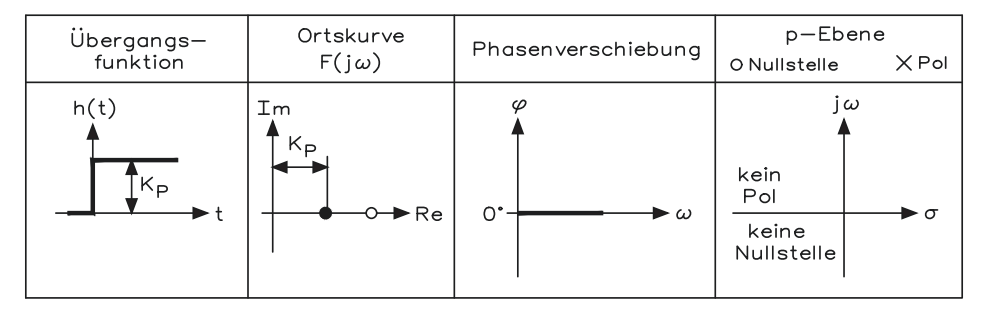


Der Operationsverstärker arbeitet als Summierer bzw. Addierer, der beide Eingangsspannungen addiert, wobei unbedingt auf die Vorzeichen der Eingangsspannungen zu achten ist. Die Ausgangsspannung  $U_a$  errechnet sich aus

$$-U_a = U_{\text{soll}} \frac{R_3}{R_1} + U_{\text{ist}} \frac{R_3}{R_2}$$

An den beiden Eingängen liegen die Spannungen des Sollwertes (Führungsgröße w) und des Istwertes (Regelgröße x). Die Sollwertvorgabe erfolgt manuell über einen Regler (Potentiometer). Auch der Istwert muss als elektrisches Signal vorliegen und wird ebenfalls direkt auf den P-Regler gegeben. Die beiden Spannungen addieren sich und sind dann als Ausgangsspannung für die Weiterverarbeitung vorhanden.

Übergangsfunktion: 
$$h(t) = \frac{u_a(t)}{u_e(t)}$$



Der Frequenzgang stellt eine komplexe Funktion dar, deren Verlauf in der komplexen Ebene dargestellt werden kann. Die grafische Darstellung des Frequenzganges bezeichnet man als Ortskurve. Die Variable dieser Funktion ist die Frequenz $\omega$ , die von  $\omega=0$  bis  $\omega=\infty$  läuft. Betrachtet man sich z. B. den allgemeinen Frequenzgang eines Reglers mit der Eingangsgröße u und der Ausgangsgröße y, der durch den Frequenzgang

$$G(j\omega) = \frac{u_0 + u_1\omega + u_2\omega^2}{y_0 + y_1\omega + y_2\omega^2 + y_3\omega^3}$$

bezeichnet wird. Dieser Ausdruck lässt sich in einen Real- und einen Imaginärteil aufspalten. Da für  $\omega$ ,  $\omega^2$ ,  $\omega^3$  usw. gilt

$$\omega = j\omega$$
,  $\omega^2 = -\omega^2$   $\omega^3 = -j\omega^3$ 

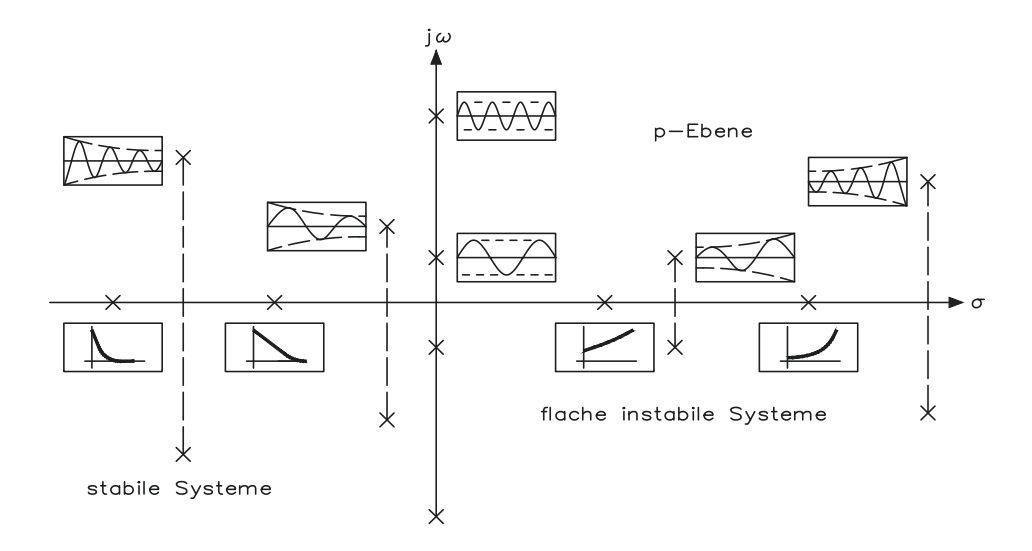
ergibt sich für den Frequenzgang

$$G(j\omega) = \frac{u_0 + j\omega u_1 - \omega^2 u_2}{y_0 + j\omega y_1 - \omega^2 y_2 - j\omega^3 y_3} = \frac{(u_0 - \omega^2 u_2) + j\omega u_1}{(y_0 - \omega^2 y_2) + j(\omega y_1 - \omega^3 y_3)} = \frac{A(\omega) + jB(\omega)}{C(\omega) + jD(\omega)}$$

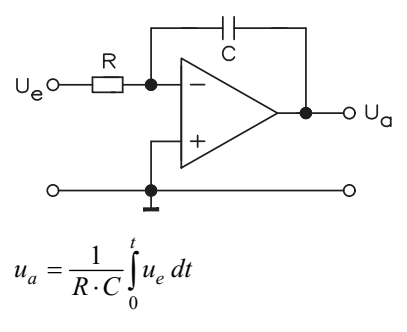
Der komplexe Ausdruck im Nenner wird durch Multiplikation mit dem konjugiertkomplexen Ausdruck in eine reelle Form gebracht.

$$G(j\omega) = \frac{A+jB}{C+jD} \cdot \frac{C-jD}{C-jD} = \underbrace{\frac{AC+BC}{C^2+D^2}}_{\text{Realteil}} + j \underbrace{\frac{BC-DA}{C^2-D^2}}_{\text{Imaginärteil}}$$

Da Regelglieder und Netzwerke aus passiven Bauelementen nicht zeitlich unbegrenzt zunehmende Spannungen oder Ströme erzeugen können, befinden sich deren Pole in der linken Halbebene der komplexen p-Ebene.



### I-Regler

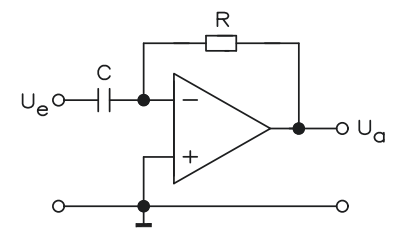


Übergangs—	Ortskurve	Phasenverschiebung	p-Ebene
funktion	F(jω)		O Nullstelle X Pol
h(t)	$Im$ $Re$ $-j$ $\omega_0$	φ -90° ω	jω <b>*</b> • σ

Die Übergangsfunktion h(t), der Integrierbeiwert  $K_l$ , der Frequenzgang  $F(j\omega)$  und die Eckkreisfrequenz  $\omega_0$  berechnen sich aus

$$h(t) = K_I \cdot t \; , \qquad K_I = \frac{1}{R \cdot C} \; , \qquad \underline{F}(j\omega) = \frac{K_I}{j\omega} \; , \qquad \omega_0 = \frac{1}{T_I} = K_I$$

#### **D-Regler**



Die Ausgangsspannung errechnet sich aus  $U_a = -R \cdot C \frac{dU_e}{dt}$ .

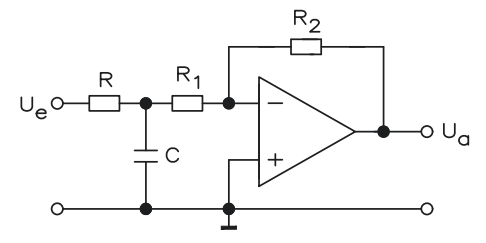
Übergangsfunktion: 
$$h(t) = \begin{cases} 0 \text{ für } t \neq 0 \\ \infty \text{ für } t = 0 \end{cases}$$

Der Differenzierbeiwert  $K_D$ , der Frequenzgang F und die Eckkreisfrequenz  $\omega_0$  errechnen sich aus

$$K_D = R \cdot C$$
,  $\underline{F}(j\omega) = K_D \cdot j\omega$ ,  $\omega_0 = \frac{1}{K_D}$ 

Übergangs—	Ortskurve	Phasenverschiebung	p-Ebene
funktion	F(jω)		O Nullstelle X Po
h(t)  Fläche K  t	$ \begin{array}{c} \text{Im} \\ \downarrow \\ \omega = 0 \end{array} $ Re	+90° — ω	jω • • • σ

#### PT<sub>1</sub>-Regler

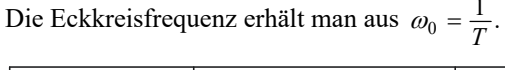


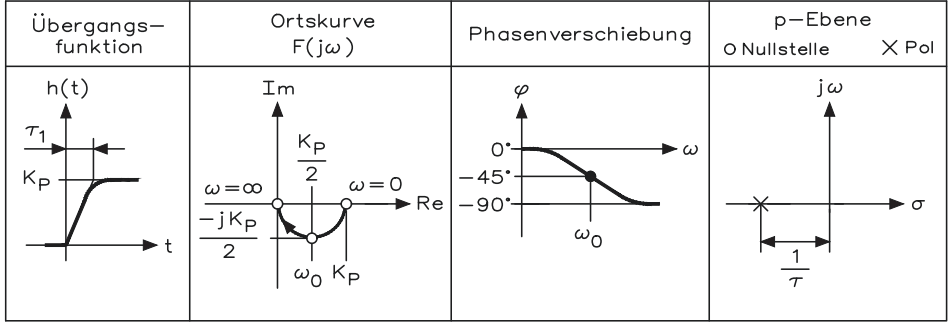
Ein  $PT_1$ -Regler ist ein P-Regler mit einer Verzögerung (Totzeit  $T_t$ ) 1. Ordnung.

$$h(t) = \frac{U_a}{U_e} = K_P (1 - e^{-t/\tau})$$

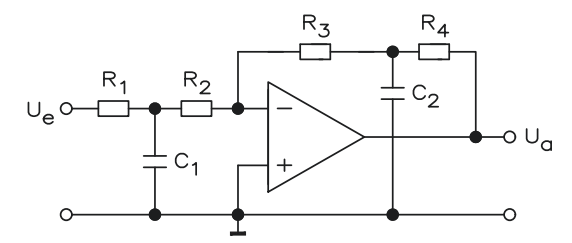
Der Proportionalbeiwert  $K_P$  und der Frequenzgang errechnen sich aus

$$K_P = U_e(1 - e^{-t/\tau})$$
 und  $\underline{F}(j\omega) = K_P \cdot \frac{1}{1 + j\omega \cdot \tau}$  mit  $\tau = R \cdot C$ .

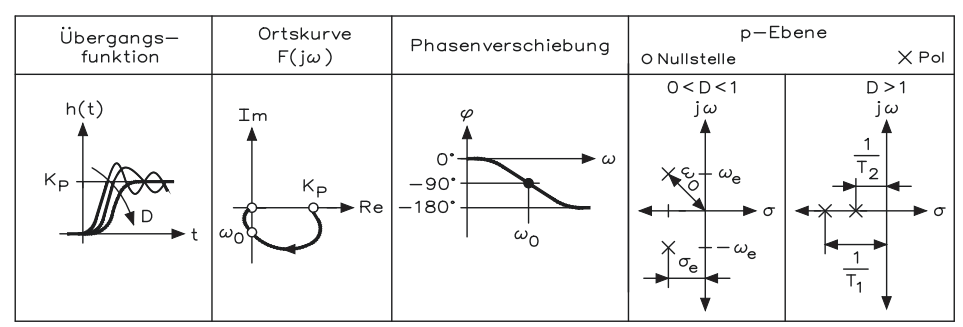




#### PT<sub>2</sub>-Regler



Bei der Schaltung befindet sich am Eingang ein Verzögerungsglied und in der Rückkopplung des Verstärkers ein weiteres Verzögerungsglied. Während man bei einem Verzögerungsglied 1. Ordnung einen festen Zusammenhang zwischen dem Amplitudenund dem Phasenverlauf hat, sind bei  $PT_2$ -Systemen noch der Dämpfungsgrad D und die Schwingungsdauer T zu beachten.



Bei einem Dämpfungsgrad von D = 1 berechnet sich die Übergangsfunktion aus

$$h(t) = K_P[1 - e^{-\tau \cdot t} (1 + \tau \cdot t)]$$

Die Dämpfungskonstante  $\tau$  errechnet sich aus

$$D = \frac{T_1}{2 \cdot T_2}$$
,  $T_1 = \frac{2 \cdot D}{\omega_0}$ ,  $T_2 = \frac{1}{\omega_0}$ ,  $\tau = \frac{T_1}{2 \cdot T_2^2}$ 

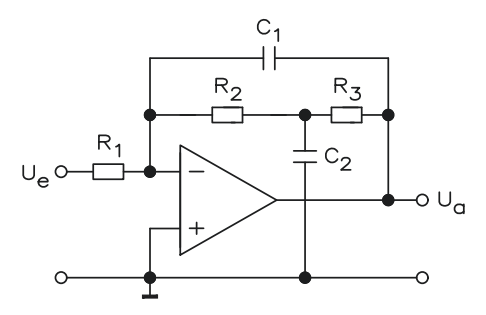
Die Ortskurve beginnt mit  $\omega_0$  auf der reellen Achse und durchläuft mit zunehmender Frequenz zuerst den 4. und danach den 3. Quadranten. Der Frequenzgang berechnet sich aus

$$\underline{F}(j\omega) = K_P \cdot \frac{1}{1 + (\omega T_2)^2 \cdot j\omega T_1}$$

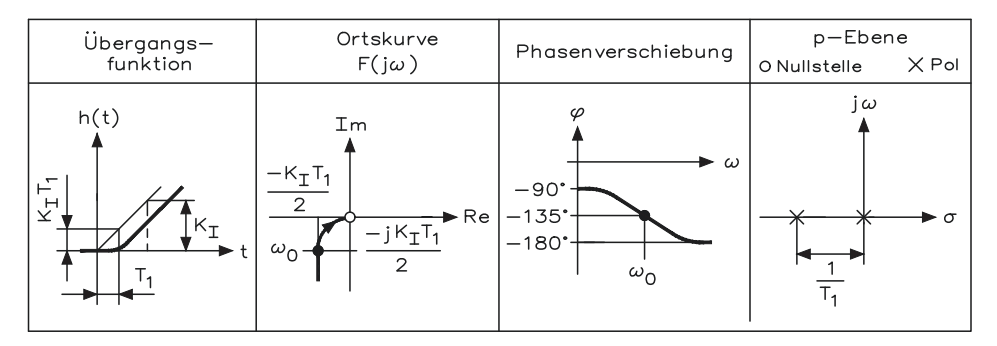
und die Eigenkreisfrequenz  $\omega_0$  der gedämpften Schwingung aus

$$\omega_0 = \sqrt{\omega^2 - \delta^2} = \omega_0 \cdot \sqrt{1 - D^2}$$

#### IT<sub>1</sub>-Regler



Bei der klassischen Schaltung entfällt der Kondensator  $C_2$ , und die beiden Widerstände sind in einem Wert zusammengefasst. Da diese Schaltung nicht die gewünschten Verzögerungen liefert, wird in der Praxis eine modifizierte Variante eingesetzt.



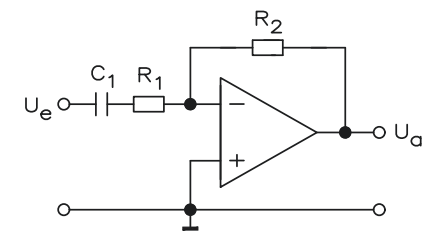
Die Übergangsfunktion errechnet sich aus

$$h(t) = K_I \cdot t - K_I \cdot T_1 \cdot (1 - e^{-t/T_1})$$

Der Integrierbeiwert  $K_I$ , die Zeitkonstante  $T_1$  und der Frequenzgang F berechnen sich

$$K_I \cdot \frac{1}{R_1 \cdot C_1}$$
,  $T_1 = (R_2 + R_3) \cdot C$ ,  $\underline{F}(j\omega) = \frac{1}{j\omega(1 + j\omega T_1)}$ 

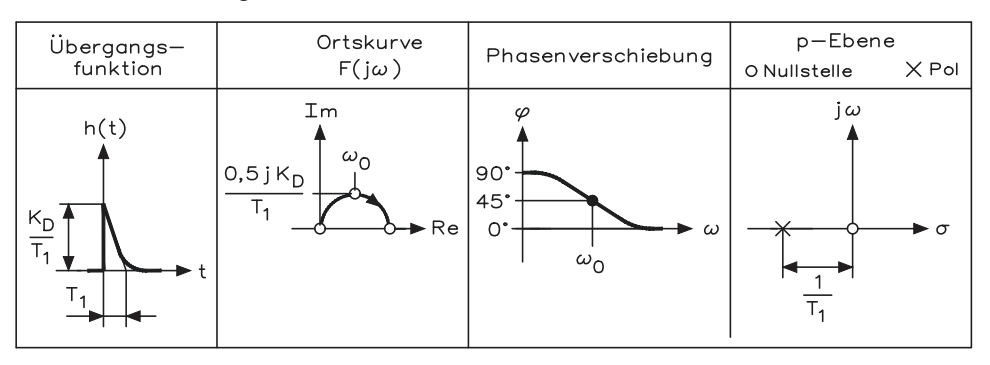
#### DT<sub>1</sub>-Regler



Bei einem D-Regler wirkt die Eingangsspannung direkt auf den Kondensator. Wird in Reihe mit dem Kondensator C ein Widerstand  $R_1$  geschaltet, ergibt sich ein D-Glied mit Verzögerung, wobei speziell in diesem Fall von einem nachgebenden System gesprochen wird.

Die Übergangsfunktion errechnet sich aus  $h(t) = \frac{K_D}{T_1} \cdot e^{-t/T_1}$ .

Der Differenzwert ergibt sich aus  $K_D = R_2 \cdot C_1$  und die Zeitkonstante aus  $T_1 = R_1 \cdot C_1$ .



Bei der Übergangsfunktion erkennt man, dass sich der Kondensator zum Zeitpunkt  $T_1$  auf 37 % seines Anfangswertes entladen hat. Der Frequenzgang errechnet sich aus

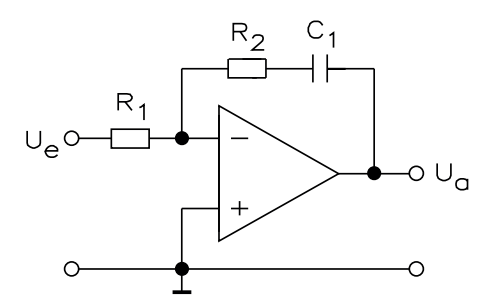
$$\underline{F}(j\omega) = K_P \cdot \frac{j\omega \cdot K_D}{1 + j\omega \cdot T_1}$$

Für die Ortskurve und für die Phasenverschiebung gilt die Eckkreisfrequenz mit  $\omega_0 = \frac{1}{T_1}$ 

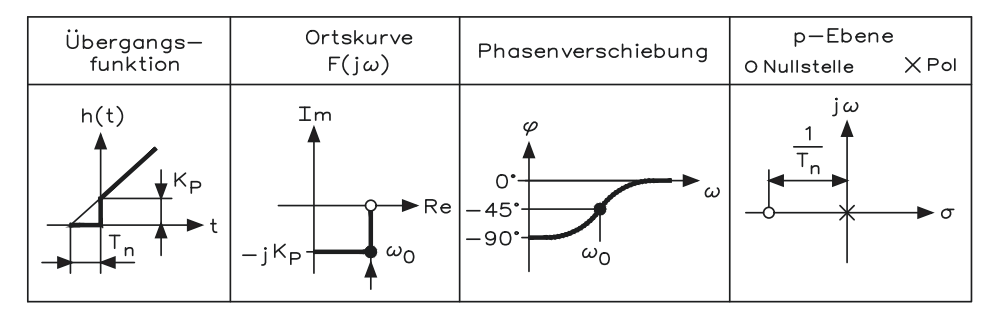
Während die Ortskurve einen Halbkreis beschreibt, bewegt sich die Phasenverschiebung zwischen 90° (niedrige Frequenz) bis 0° (hohe Frequenz).

#### PI-Regler

Bei einem PI-Regler ist das Zeitverhalten des P- und des I-Reglers in einer Schaltung zusammengefasst. Die Änderung des nachgeschalteten Stellgliedes erfolgt also nach dem Betrag der Regelabweichung (P-Anteil) und nach dem zeitlichen Integral (I-Anteil).



Bei einem PI-Regler wird die Ausgangsspannung nach einer sprungartigen Änderung der Eingangsspannung ebenfalls sprungartig um den Proportionalbeiwert  $K_P$  erhöht. Ab diesem Zeitpunkt beginnt das zeitliche Integral des Reglers. Die Zeitkonstante  $T_n$  wird als Nachstellzeit bezeichnet.



Die Übergangsfunktion für einen PI-Regler errechnet sich aus

$$h(t) = K_P + K_I \cdot t$$

mit der Nachstellzeit, die sich errechnet aus

$$T_n = \frac{K_P}{K_I} = R_2 \cdot C_1$$

und dem Proportionalbeiwert bzw. dem Integrierbeiwert mit

$$K_P = \frac{R_2}{R_1} \; , \quad K_I = \frac{1}{R_1 \cdot C_1}$$

Für den Frequenzgang gilt

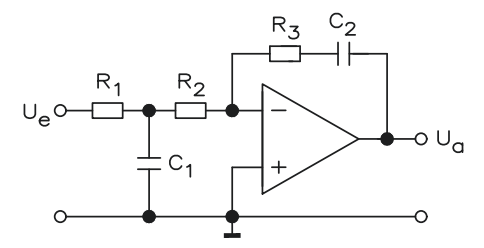
$$\underline{F}(j\omega) = K_P \cdot \left(1 + \frac{1}{j\omega \cdot T_n}\right) = K_P + \frac{K_I}{j\omega}$$

und für die Eckkreisfrequenz

$$\omega_0 = \frac{1}{T_n} = \frac{K_I}{K_P}$$

Die Phasenverschiebung beginnt bei  $-90^{\circ}$  (niedrige Frequenz) und geht auf  $0^{\circ}$  (hohe Frequenz) zurück.

#### PIT<sub>1</sub>-Regler

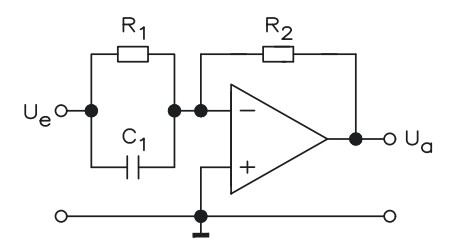


Bei einem PIT<sub>1</sub>-Regler handelt es sich um einen PI-Regler mit einer Verzögerung 1. Ordnung. Am Eingang der Schaltung befindet sich ein RC-Glied und damit eine Verzögerung 1. Ordnung, während sich die Schaltung für den PI-Regler nicht ändert. Es ergibt sich die Übergangsfunktion von

$$h(t) = K_P \cdot (1 - e^{-t/T_1}) + K_I \cdot t$$

Übergangs—	Ortskurve	Phasenverschiebung	p-Ebene
funktion	F(jω)		O Nullstelle X Pol
h(t) T <sub>1</sub> K <sub>P</sub> K	Im ω <sub>0</sub> Re	φ 0. -90. -180. ω	$ \begin{array}{c} 1 \\ T_{n} \end{array} $ $ \begin{array}{c} 1 \\ T_{1} \end{array} $

#### **PD-Regler**



Ein PD-Regler ist ein Proportionalregler mit Differentialanteil. Die Ausgangsgröße eines P-Reglers wird zusätzlich durch die Änderungsgeschwindigkeit eines D-Reglers verbessert.

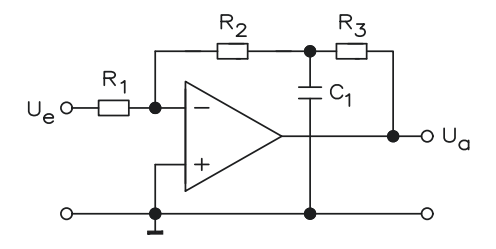
Als Grundschaltung dient ein P-Regler, wobei parallel zu dem Eingangswiderstand  $R_1$  der Kondensator  $C_1$  zur Differenzierung geschaltet wird. Die Übertragungsfunktion errechnet sich aus

$$h(t) = \begin{cases} \infty & \text{für } t = 0 \\ K_P & \text{für } t > 0 \end{cases}$$

Übergangs—	Ortskurve	Phasenverschiebung	p-Ebene
funktion	F(jω)		O Nullstelle X Pol
h(t)	Im jK <sub>P</sub> ω <sub>0</sub> Re K <sub>P</sub> Re	90° 45° 0° ω <sub>0</sub>	jω T <sub>v</sub>

Der Proportionalanteil  $K_P$ , der Differenzierbeiwert  $K_D$  und die Vorhaltezeit  $T_v$  errechnen sich aus

$$K_P = \frac{R_2}{R_1}$$
,  $K_D = R_2 \cdot C_1$ ,  $T_v = \frac{K_D}{K_P} = R_1 \cdot C_1$ 



Der Frequenzgang berechnet sich aus

$$\underline{F}(j\omega) = K_P \cdot (1 + j\omega T_v) = K_P + j\omega K_D$$

und die Eckkreisfrequenz aus

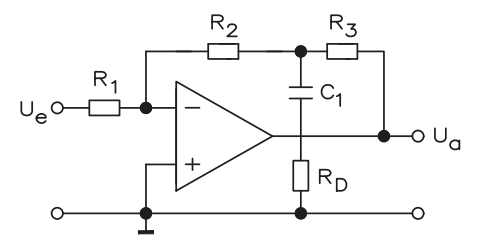
$$\omega_0 = \frac{1}{T_v} = \frac{K_P}{T_v}$$

Bei dieser Schaltung muss jedoch der Innenwiderstand der Spannungsquelle am Eingang berücksichtigt werden. Aus diesem Grunde setzt man in der Praxis die verbesserte Schaltung ein.

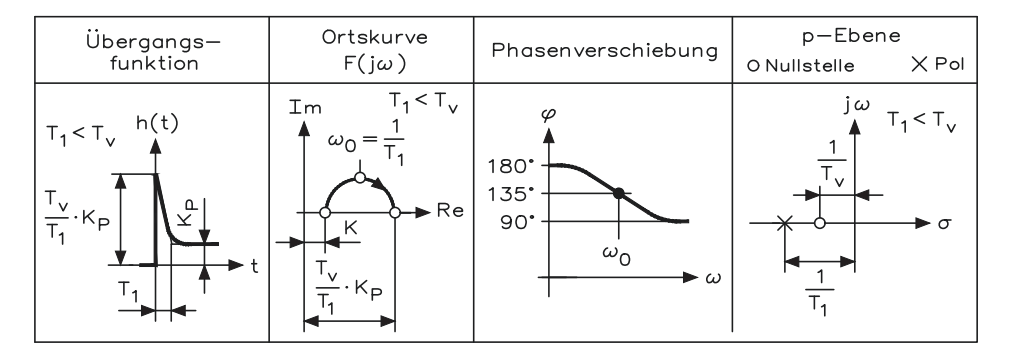
Bei der optimierten Schaltung befindet sich der Kondensator für die Differenzierung in der Rückkopplung. Der Proportionalbeiwert errechnet sich aus dem Verhältnis der beiden Rückkopplungswiderstände ( $R_2$  bzw.  $R_3$ ) und dem Eingangswiderstand  $R_1$ . Die Zeitkonstante  $T_{\nu}$  für die Vorhaltezeit ist das Produkt aus der Parallelschaltung der beiden in der Rückkopplung befindlichen Widerstände  $R_2||R_3$  zu beiden Seiten des mit Masse verbundenen Kondensators  $C_1$ .

$$T_v = (R_2 \parallel R_3) \cdot C_1$$

#### PDT<sub>1</sub>-Regler

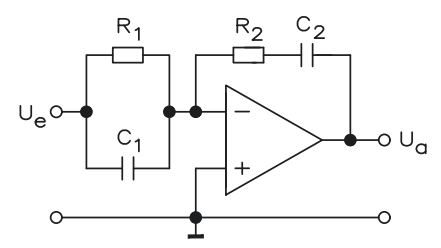


Zur Verzögerung der Übertragungsfunktion befindet sich in der Schaltung ein zusätzlicher Widerstand  $R_D$ . Durch die Verzögerung wird in der Übertragungsfunktion die Unendlichkeitsstelle bei t=0 unterdrückt, wodurch sich der Verlauf ändert.



Die Ausgangsgröße ändert sich sprunghaft zur Zeit t = 0 um einen Betrag, der vom Betrag des Eingangssprungs, von den beiden Parameterwerten  $K_P$  bzw.  $T_v$  des Reglers und seiner Verzögerungszeit, abhängig ist. Bei der Bedingung t > 0 ist die Ausgangsgröße mit der Zeitkonstanten  $T_1$  von dem Proportionalbeiwert  $K_P$  des Reglers abhängig.

#### PID-Regler



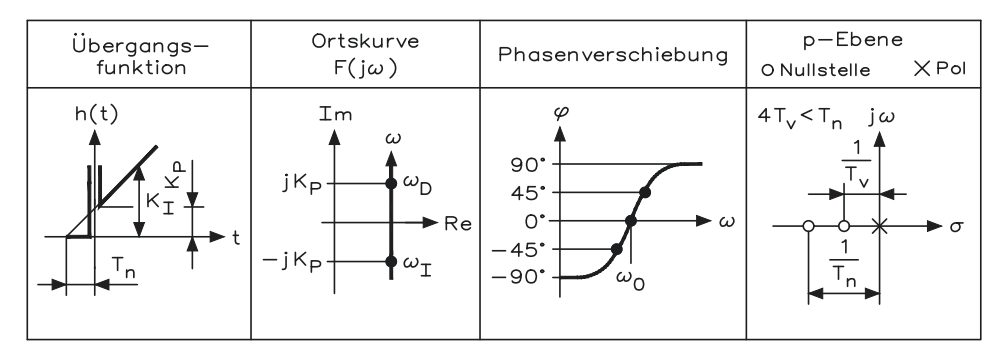
Aus den für PI- und PD-Regler gewonnenen Erkenntnissen lassen sich PID-Regler aufbauen. PID-Regler beinhalten die drei grundsätzlichen Übertragungseigenschaften der einzelnen Reglertypen, nämlich proportionales, integrales und differentielles Verhalten. Die Übergangsfunktion eines PID-Reglers errechnet sich aus

$$h(t) = \begin{cases} \infty & \text{für } t = 0 \\ K_P + K_I t & \text{für } t > 0 \end{cases}$$

Die Vorhaltezeit  $T_{\nu}$ , die Nachstellzeit  $T_n$ , der Proportionalbeiwert  $K_P$ , der Integrierbeiwert  $K_L$  und der Differenzierbeiwert  $K_D$  ergeben sich aus

$$T_v = \frac{K_D}{K_P} = R_1 \cdot C_1 , \quad T_n = \frac{K_P}{K_I} = R_2 \cdot C_2$$

$$K_P = \frac{R_2}{R_1}$$
,  $K_I = \frac{1}{R_1 \cdot C_2}$ ,  $K_D = R_2 \cdot C_1$ 



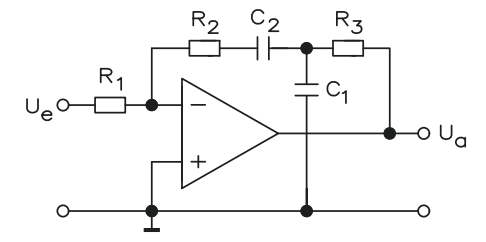
Der Frequenzgang errechnet sich aus

$$\underline{F}(j\omega) = K_P \cdot \left(1 + j\omega T_v + \frac{1}{j\omega \cdot T_n}\right) = K_P + \frac{K_I}{j\omega} + j\omega \cdot K_D$$

Die Eckkreisfrequenz ist

$$\omega_0 = \frac{1}{\sqrt{T_n \cdot T_v}} \qquad \omega_I = \frac{1}{T_n} = \frac{K_I}{K_P} \qquad \omega_D = \frac{1}{T_v} = \frac{K_P}{K_D}$$

Die Phasenverschiebung beginnt bei  $-90^{\circ}$  (niedrige Frequenz) und endet bei  $+90^{\circ}$  (hohe Frequenz).



Bei der modifizierten Schaltung sollten vom Anwender unbedingt folgende Bedingungen eingehalten werden:

$$R_2 \cdot C_2 + R_3 \cdot C_1 >> R_3 \cdot C_2$$
 und  $\frac{R_2}{R_2} + \frac{C_1}{C_2} >> 1$ 

Letztere Bedingung gilt auch, wenn mindestens die Forderung  $R_2 >> R_3$  eingehalten wird. In der Praxis hat zudem der Kondensator  $C_1$  eine erheblich größere Kapazität als der Kondensator  $C_2$ .

Auch die Forderung

$$\frac{R_2}{R_2 + R_3} \approx 1$$

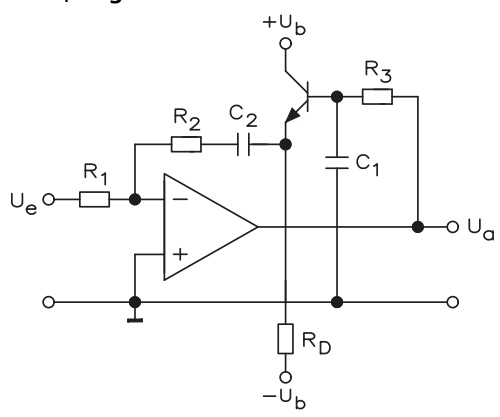
sollte ebenfalls erfüllt sein. Für die Berechnungen des Integrierbeiwerts, der Vorhaltezeit und der Nachstellzeit ergeben sich folgende Änderungen:

$$K_I = \frac{1}{R_1 \cdot C_2}$$
  $T_v = \frac{R_2 \cdot R_3}{R_2 + R_3} \cdot C_1$   $T_n = (R_2 + R_3) \cdot C_2$ 

Der Proportionalbeiwert  $K_p$  ändert sich ebenfalls und errechnet sich aus

$$K_P = \frac{R_2 + R_3}{R_1}$$

#### PIDT<sub>1</sub>-Regler



In dieser Schaltung befindet sich in der Rückkopplung ein Transistor, der in seiner Kollektor-Grundschaltung betrieben wird. Damit ergibt sich ein Reaktanzwandler, d. h., an der Basis des Transistors liegt ein hochohmiges Eingangsverhalten vor, während am Emitteranschluss ein niederohmiges Ausgangsverhalten auftritt. Der Widerstand  $R_D$  ist unbedingt erforderlich, wodurch die gewünschte Dämpfung auftritt.

Die Vorhaltezeit verändert sich durch die Reaktanzwandlung des Widerstandes  $R_2$  von der Emitterseite auf die Basisseite mit

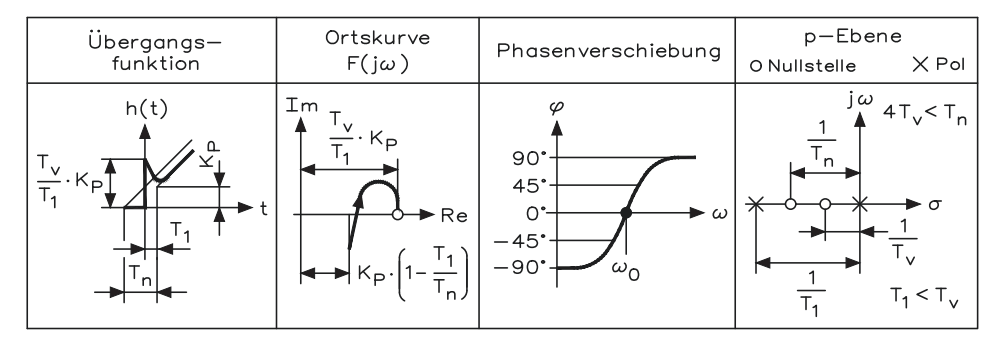
$$T_{v} = \frac{\infty \cdot R_3}{\infty + R_3} \cdot C_1 = R_3 \cdot C_1$$

Hier wird diese Spannung durch den Kondensator  $C_2$  differenziert und über den Widerstand  $R_2$  in den Rückkopplungsstrom umgewandelt. Durch die Reaktanzwandlung gilt jetzt für die Nachstellzeit

$$T_n \approx \left(R_2 + \frac{R_3}{\infty}\right) \cdot C_2 = R_2 \cdot C_2$$

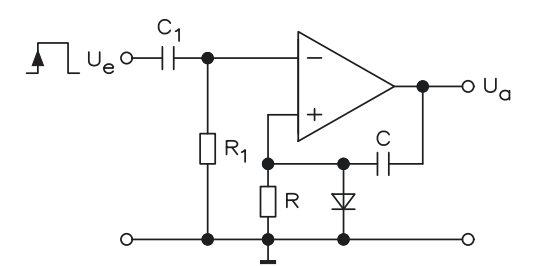
und der Proportionalbeiwert errechnet sich aus

$$K_P = \frac{R_2 + \frac{R_3}{\infty}}{R_1} = \frac{R_2}{R_1}$$



Bei der Übergangsfunktion ist deutlich die durch den Dämpfungswiderstand  $R_D$  verursachte Verzögerungszeit  $T_1$  erkennbar.

#### T<sub>t</sub>-Regler



Eine besondere Art von Totzeit-Reglern bewirkt, dass zwischen Eingangs- und Ausgangsänderung eine entsprechende Zeitverzögerung auftritt. Ändert sich die Eingangsgröße sprungartig, so wird die Ausgangsgröße erst nach einer bestimmten Zeitdauer, der Totzeit  $T_t$ , geändert.

Bei dieser Schaltung handelt es sich um ein Monoflop (Univibrator) in Verbindung mit einem Operationsverstärker. Die Ausgangsspannung befindet sich im Ruhezustand konstant auf  $+U_b$ , nach erfolgter Triggerung über den Eingang  $U_e$  geht der Ausgang für die Zeitdauer der monostabilen Funktion auf  $-U_b$ . Nach der Verweilzeit kippt der Ausgang wieder in seine stabile Lage zurück und hat die Ausgangsspannung  $+U_b$ .

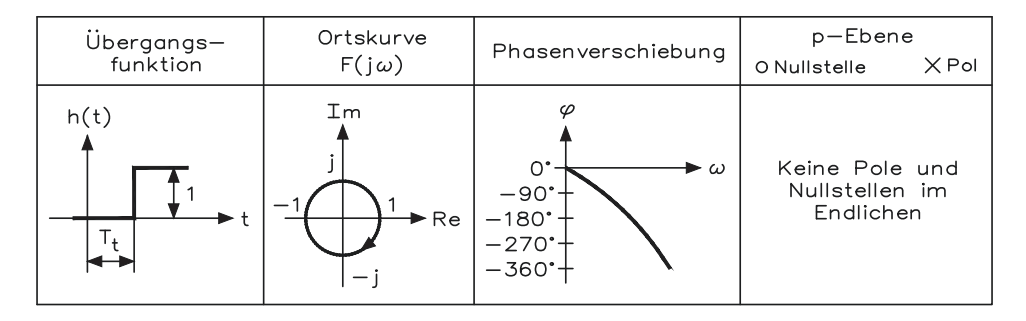
Für den Operationsverstärker wird eine symmetrische Betriebsspannung von  $\pm 12 \text{ V}$  benötigt. Die monostabile Zeit berechnet sich aus

$$T_t = 0, 7 \cdot R \cdot C,$$

wenn der Widerstand  $R_t$  des Differenziergliedes mit Masse verbunden ist. Liegt statt der Masseverbindung eine negative Referenzspannung vor, gilt

$$T_t = R \cdot C \cdot \ln \frac{\pm U_b}{-U_{ref}}$$

Die Diode verhindert, dass die Spannung am nicht invertierenden Eingang größer als +0.6 V wird.



In der Übergangsfunktion ist die zwischen der Eingangs- und der Ausgangsänderung auftretende Totzeit  $T_t$  erkennbar. Die Übergangsfunktion berechnet sich aus

$$h(t) = \begin{cases} 0 \text{ für } t < T_t \\ 1 \text{ für } t \ge T_t \end{cases}$$

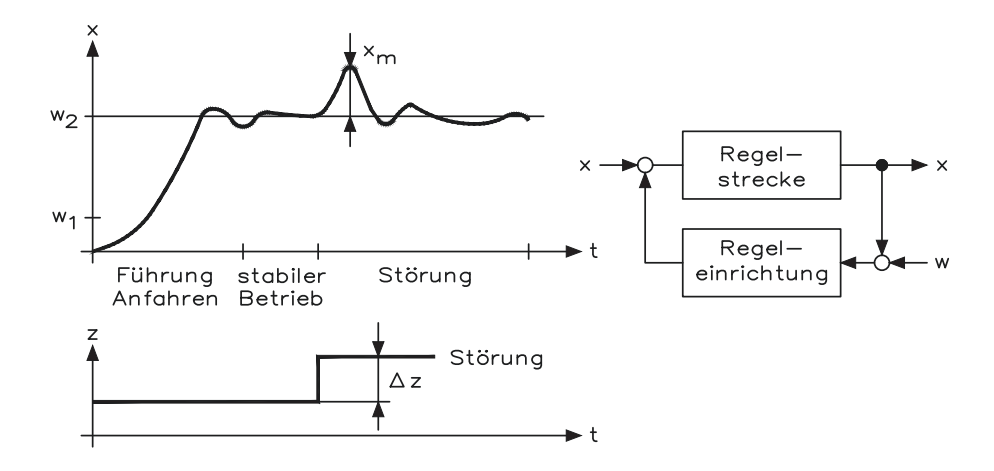
Der Frequenzgang ergibt sich aus

$$F(j\omega) = e^{-j\omega T_t}$$

Die Phasenverschiebung nimmt bei steigender Frequenz stetig ab. Bei den  $T_t$ -Reglern ist zu bemerken, dass man diese ohne nennenswerten Fehler rechnerisch so behandeln kann wie ein Verzögerungsglied 1. Ordnung. Voraussetzung hierfür ist, dass die Totzeit  $T_t$  sehr kurz ist.

# 14.8 Arbeitsweise von geschlossenen Regelkreisen

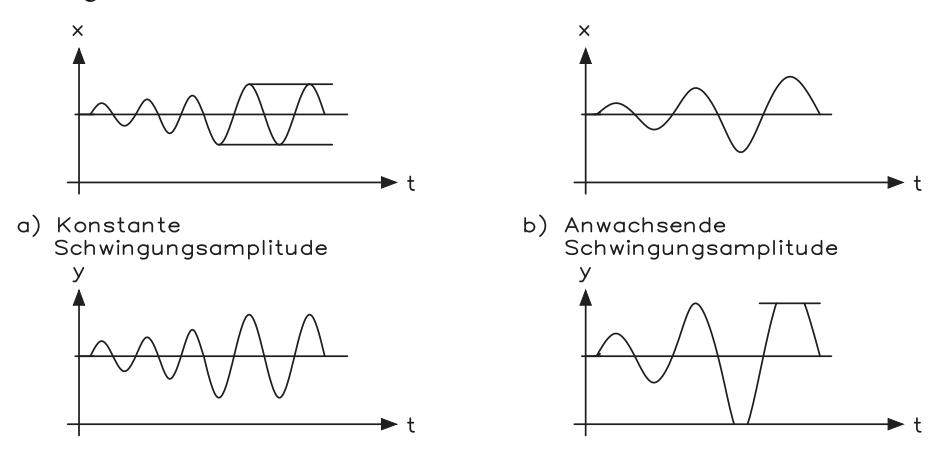
Es soll das stabile bzw. instabile Verhalten eines Regelkreises sowie das Führungsverhalten bzw. Störverhalten untersucht werden. Unter anderem spricht man bei Betrachtungen von Regelkreisen auch öfters von statischem und dynamischem Verhalten des Regelkreises. Das statische Verhalten eines Regelkreises kennzeichnet den Ruhezustand des Regelkreises nach Ablauf aller zeitabhängigen Ausgleichsvorgänge, also den Zustand lange nach vorangegangenen Stör- oder Führungsgrößenänderungen. Das dynamische Verhalten zeigt dagegen in erster Linie das Verhalten des Regelkreises bei Änderungen, d. h. den Verlauf von einem stabilen Ruhezustand in den anderen Ruhezustand. Schließt man einen Regler an eine Strecke an, so erwartet man den folgenden Verlauf.



Nach dem Schließen des Regelkreises soll die Regelgröße (x) in möglichst kurzer Zeit ohne großes Überschwingen die vorgegebene Führungsgröße (w) erreichen und auch halten. Man spricht in diesem Zusammenhang beim Einlaufen auf einen neuen Wert der Führungsgröße auch vom Führungsverhalten.

Nach dem Anfahrvorgang soll die Regelgröße einen konstanten Wert ohne größere Schwankungen einhalten, d. h., der Regler soll an der Regelstrecke stabil arbeiten. Tritt nun eine Störung an der Regelstrecke auf, so soll der Regler ebenfalls in der Lage sein, diese mit möglichst kleinem Überschwingen in einer relativ kurzen Ausregelzeit auszuregeln.

Nach Ablauf des Anfahrvorganges soll die Regelgröße den durch die Führungsgröße vorgegebenen konstanten Wert annehmen und in einen stabilen Betrieb übergehen. Es kann jedoch vorkommen, dass der Regelkreis instabil wird und die Regelgröße sowie Stellgröße periodische Schwingungen ausführen. Dies kann sogar dazu führen, dass die Amplitude dieser Schwingung u. U. nicht konstant bleibt, sondern vergrößert sich laufend, bis sie periodisch zwischen einem oberen und unteren Maximalwert hin und her schwingt.



Man spricht hier häufig auch von der Selbsterregung des Regelkreises. Die Ursache von einem solchen instabilen Verhalten sind meist im Regelkreis vorhandene kleine Störamplituden, die eine gewisse Unruhe in den Kreis bringen. Die Selbsterregung ist im Wesentlichen vom Aufbau des Regelkreises, ob mechanisch, hydraulisch oder elektrisch, unabhängig und tritt dann auf, wenn die zurückkommende Schwingung eine gleiche oder größere Amplitude hat und die gleiche Phasenlage hat, wie sie angelegt wurde.

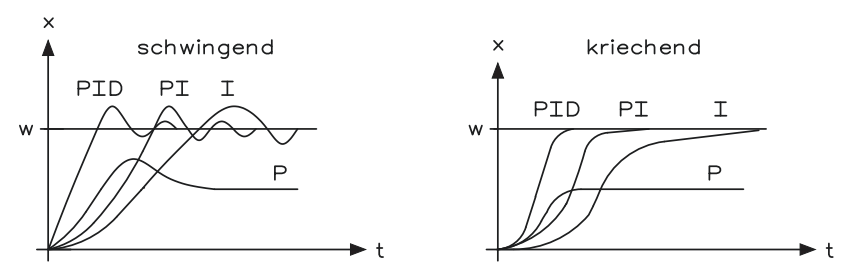
Werden in einem stetigen Regelkreis, der stabil arbeitet, gewisse Betriebsbedingungen verändert (z. B. neue Reglereinstellung), so muss immer damit gerechnet werden, dass der Regelkreis instabil wird. Für die praktische Regelungstechnik ist die Stabilität des Regelkreises jedoch selbstverständlich. Pauschal kann man sagen, dass in der Praxis ein stabiles Verhalten dadurch erreicht wird, indem man die Verstärkung im Regelkreis hinreichend klein und die Regler-Zeitkonstante hinreichend groß wählt.

Je nach Ursache spricht man bei der Beschreibung des Streckenverhaltens im Regelkreis von Stör- oder Führungsverhalten:

- Führungsverhalten: Die Führungsgröße wurde verstellt und der Prozess hat ein neues Gleichgewicht erreicht.
- Störverhalten: Auf den Prozess wirkt von außen eine Störung und verschiebt das bisherige Gleichgewicht, bis sich wieder ein stabiler Istwert ausgebildet hat.

Das Führungsverhalten entspricht somit dem Verhalten des Regelkreises auf eine Führungsgrößenänderung. Das Störverhalten bestimmt die Reaktion auf äußere Änderungen, z. B. das Einbringen von kaltem Gut in einen Ofen. Stör- und Führungsverhalten in einem Regelkreis sind im Allgemeinen nicht gleich. Dies liegt unter anderem daran, dass sie auf unterschiedliche Zeitglieder bzw. an verschiedenen Eingriffsorten im Regelkreis wirken.

Bei einem Regelkreis mit gutem Führungsverhalten kommt es darauf an, dass bei Änderung der Führungsgröße die Regelgröße den neuen Wert der Führungsgröße möglichst schnell und mit einem kleinen Überschwingen erreichen soll. Man kann zwar ein Überschwingen durch eine andere Reglereinstellung verhindern. Dieses Anfahren an die Führungsgröße kann dabei kriechend oder schwingend ausgeführt sein.



P-Regler besitzen eine bleibende Regelabweichung, die sich durch Einführung eines I-Anteils beseitigen lässt. Durch diesen I-Anteil erhöht sich aber die Neigung zum Überschwingen und die Regelung wird etwas träger. Verzögerungsbehaftete Strecken lassen sich mit einem P-Regler nur bei Vorhandensein eines I-Anteils stationär genau regeln. Bei einer Totzeit ist immer ein I-Anteil erforderlich, da ein P-Regler allein zu Schwingungen führt. Für Strecken ohne Ausgleich ist ein I-Regler ungeeignet.

Der D-Anteil lässt den Regler schnell reagieren. Bei stark pulsierenden Prozessgrößen, wie Druckregelung etc., führt dies jedoch zu Instabilitäten. Regler mit D-Anteil eignen sich dagegen gut für langsame Regelstrecken wie sie bei Temperaturregelungen auftreten. Ist die bleibende Regelabweichung unerwünscht, verwendet man dann einen sogenannten PI- oder PID-Regler.

Für den Zusammenhang zwischen Streckenordnung und Reglerstruktur gilt: Für Strecken ohne Ausgleich oder Totzeiten (0. Ordnung) ist ein P-Regler ausreichend. Aber auch bei scheinbar verzögerungsfreien Strecken kann die Verstärkung eines P-Reglers nicht beliebig hoch gewählt werden, da der Regelkreis ansonsten durch kleinste immer vorhandene Totzeiten instabil würde. Zum vollständigen Ausregeln ist daher immer ein I-Anteil erforderlich.

Für Strecken 1. Ordnung mit kleinen Totzeiten ist ein PI-Regler gut geeignet. Strecken 2. und höherer Ordnung (mit Verzugs- und Totzeiten) erfordern einen PID-Regler. Bei sehr hohen Ansprüchen sollte eine Kaskadenregelung, eingesetzt werden. Strecken 3. und 4. Ordnung sind mitunter mit PID-Reglern, meist aber nur noch mit Kaskadenregelung, zu realisieren.

Bei Regelstrecken ohne Ausgleich muss die Stellgröße nach dem Erreichen der Führungsgröße auf Null zurückgenommen werden. Sie können daher nicht durch Regler mit I-Anteil geregelt werden, da diese durch ein Überschwingen der Regelgröße abgebaut werden müsste. Für Strecken ohne Ausgleich und höherer Ordnung (mit Verzugs- und Totzeiten) ist daher ein PD-Regler geeignet.

#### Auswahl der Reglertypen zum Regeln der wichtigsten Regelgrößen

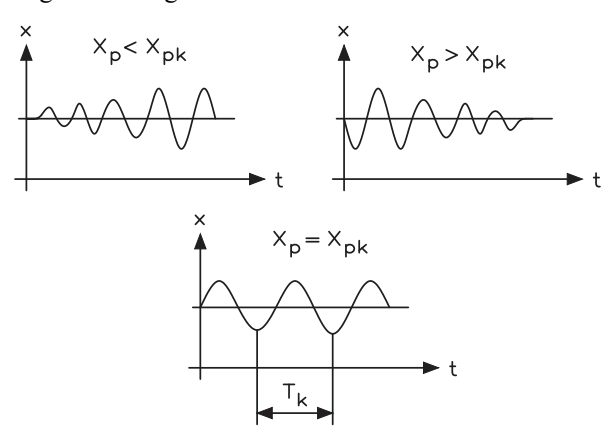
	Bleibende Regelabweic	hung	Keine bleibende Regelabweichung			
	P	PD	PI	PID		
Temperatur	einfache Strecken für geringe Ansprüche		geeignet	sehr gut geeignet		
Druck, Gas			geeignet			
Wasser			reiner I-Anteil, meist besser			
Durchfluss	wenig geeignet, da erforderlicher $X_p$ -Bereich meist zu groß	geeignet	brauchbar, aber I-Regler allein oft besser			
Niveau	bei kleiner Totzeit	geeignet				
Förderung	ungeeignet wegen Tot- zeit		brauchbar, aber I-Regler allein oft besser			

Strecke	Reglerstruktur						
	P	PD	PI	PID			
Reine Totzeit			gut geeignet oder reiner I-Regler				
1. Ordnung mit kleiner Totzeit			gut geeignet	geeignet			
2. Ordnung mit kleiner Totzeit			ungünstiger als PID	gut geeignet			
Höhere Ordnung			ungünstiger als PID	gut geeignet			
Ohne Ausgleich mit Verzugszeit	geeignet	geeignet					

#### Geeignete Reglertypen für die unterschiedlichen Regelstrecken

# 14.9 Optimierung von Regelkreisen

Regleroptimierung bedeutet die Anpassung des Reglers an den gegebenen Prozess bzw. Regelstrecke. Die Regelparameter ( $k_p$ ,  $X_p$ ,  $T_n$ ,  $T_v$  usw.) müssen so gewählt werden, dass bei den gegebenen Betriebsverhältnissen ein möglichst günstiges Verhalten des Regelkreises erzielt wird. Dieses günstige Verhalten kann jedoch unterschiedlich definiert sein, z. B. ob man ein schnelles Erreichen der Führungsgröße bei kleinerem Überschwingen als günstig bezeichnet oder ein überschwingungsfreies Anfahren bei etwas längerer Ausregelzeit.



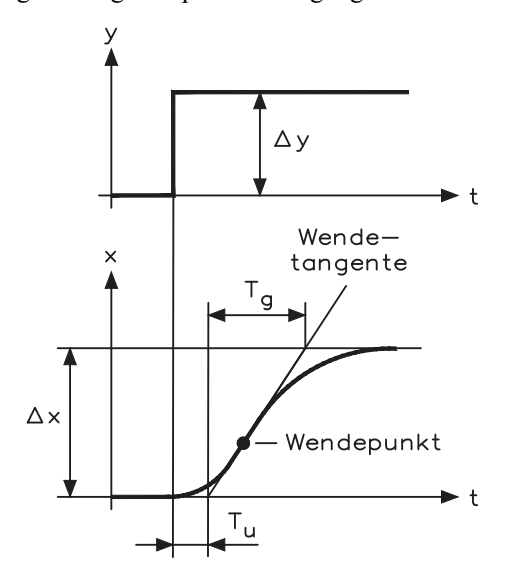
Die Regelgüte zeigt, dass für eine sprungweise Störung sich ebenfalls als Gütemaßstäbe die Überschwingweite  $X_m$  und die Ausregelzeit  $T_a$  anbieten. Um die Ausregelzeit genauer zu definieren ist es erforderlich festzuhalten, wann der Regelvorgang als beendet anzusehen ist. Zweckmäßig wird das Ausregeln einer Störung als beendet angesehen, wenn die Regelgrößenänderungen unterhalb  $\pm 1$  % vom Sollwerteinstellbereich  $W_h$  blei-

ben, d. h. innerhalb der Messgenauigkeit zu liegen kommen, wobei zweckmäßig eine Störung von 10% von  $Y_h$  gewählt wird.

Neben der Überschwingweite und der Ausregelzeit werden auch weiterhin für mathematische Untersuchungen als Gütemaßstäbe die Regelfehlerflächen herangezogen.

- Lineare Regelfläche:  $A = A_1 A_2 + A_3$
- Quadratische Regelfläche:  $A^2 = A_1^2 + A_2^2 + A_3^2$

Bei der Schwingungsmethode nach Ziegler und Nichols werden die Regelparameter so verstellt, dass die Stabilitätsgrenze erreicht ist und der aus Regler und Strecke gebildete Regelkreis zu schwingen beginnt, d. h. die Regelgröße periodische Schwingungen um die Führungsgröße durchführt. Aus den so gefundenen Parametern können die Werte zur Reglereinstellung ermittelt werden. Dieses Verfahren ist nur auf Regelstrecken anwendbar, bei denen ein Überschwingen keine Gefahr birgt und die instabil arbeiten können. Um Schwingungen der Regelgröße zu erhalten, wird die Reglerverstärkung zunächst minimiert, d. h. der Proportionalbereich auf den maximalen Wert gestellt. Der Regler muss als reiner P-Regler arbeiten, dafür wird der I-Anteil  $(T_n)$  sowie der D-Anteil  $(T_v)$  ausgeschaltet. Nun wird der Proportionalbereich  $X_p$  so lange verkleinert, bis die Regelgröße ungedämpfte Schwingungen mit konstanter Amplitude ausführt.

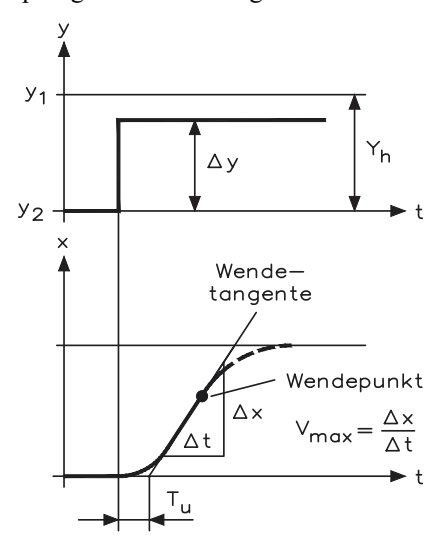


Für die Schwingungsmethode nach Ziegler-Nichols ergibt sich folgende Tabelle:

Reglerstruktur	
P	$X_P \approx X_{Pk}/0.5$
PI	$X_P \approx X_{Pk}/0.45$ $T_n \approx 0.85 \cdot T_k$
	$T_n \approx 0.85 \cdot T_k$
PID	$X_P \approx X_{Pk}/0.6$ $T_n \approx 0.5 \cdot T_k$
	$T_n \approx 0.5 \cdot T_k$
	$T_{\nu} \approx 0.12 \cdot T_k$

Die Einstellregeln von Ziegler/Nichols gelten im Wesentlichen für Strecken mit kleinen Totzeiten und einem Verhältnis  $T_g/T_u > 3$ .

Eine weitere Möglichkeit der Parameterbestimmung beruht auf der Aufnahme der streckentypischen Parameter, durch Aufzeichnung der Streckensprungantwort. Dieses Verfahren eignet sich auch für Strecken, die nicht zum Schwingen gebracht werden können. Der Regelkreis muss allerdings geöffnet werden, z. B. indem man ein Regelgerät in den Handbetrieb umschaltet, um direkt auf die Stellgröße Einfluss zu nehmen. Der Stellgradsprung sollte nach Möglichkeit in der Nähe der Führungsgröße stattfinden.



Ein Verfahren, mit dessen Hilfe die Regelparameter berechnet werden können, wenn die Parameter der Strecke bekannt sind, haben Chien, Hrones und Reswick (CHR) entwickelt. Dieses Näherungsverfahren liefert günstige Regelparameter nicht nur für Änderung der Störgröße, sondern auch für Änderung der Führungsgröße und ist geeignet für Regelstrecken mit PTn-Verhalten  $n \ge 2$ . Aus der Sprungantwort werden die Verzugszeit  $T_u$ , die Ausgleichszeit  $T_g$ , sowie der Übertragungsbeiwert der Strecke  $k_s$  ermittelt.

$$k_s = \frac{\text{Regelgr\"o}\beta\text{en\"{a}nderung}}{\text{Stellgr\"{o}}\beta\text{en\"{a}nderung}} = \frac{\Delta x}{\Delta y}$$

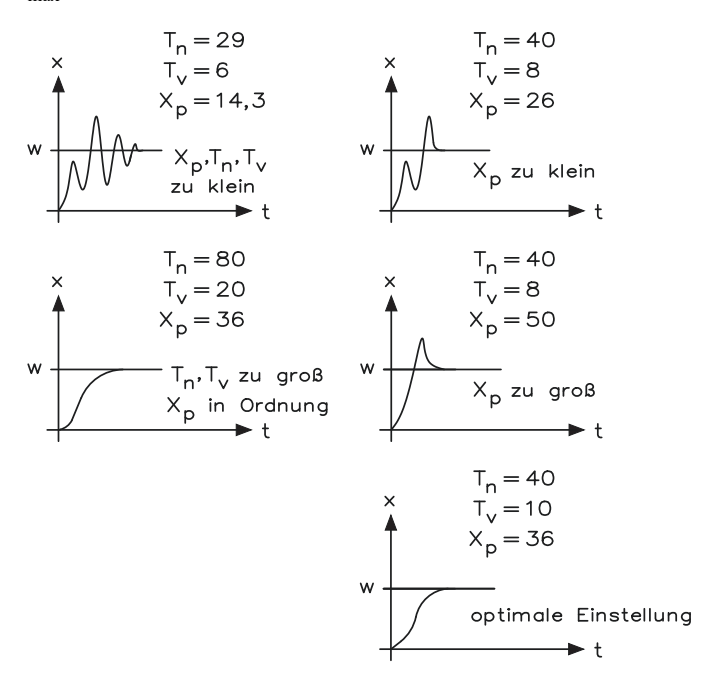
Aus den gefundenen Werten ergeben sich dann die Einstellregeln aus der Tabelle.

#### Formeln zur Einstellung nach der Sprungantwort

Regelstruktur	Führung	Störung
P	$X_p \approx 3.3 \cdot k_s \cdot (T_u/T_g) \cdot 100 \%$	$X_p \approx 3.3 \cdot \mathbf{k}_s \cdot (T_u/T_g) \cdot 100 \%$
I	$X_p \approx 2.86 \cdot k_s \cdot (T_u/T_g) \cdot 100 \%$	$X_p \approx 1,66 \cdot k_s \cdot (T_u/T_g) \cdot 100 \%$
	$T_n \approx 1,2 \cdot T_g$	$T_n \approx 4 \cdot T_g$
PID	$X_p \approx 1,66 \cdot k_s \cdot (T_u/T_g) \cdot 100 \%$	$X_p \approx 1.05 \cdot \mathbf{k}_s \cdot (T_u/T_g) \cdot 100 \%$
	$T_n \approx 1 \cdot T_g$ $T_v \approx 0.5 \cdot T_u$	$T_n \approx 2.4 \cdot T_g$ $T_n \approx 0.42 \cdot T_u$
	$T_v \approx 0.5 \cdot T_u$	$T_n \approx 0.42 \cdot T_u$

Mitunter ergeben sich bei der geschilderten Methode allerdings Schwierigkeiten bei der Ermittlung der Ausgleichszeit  $T_g$ . In vielen Fällen kann nur zwischen 0 % oder 100 % gewählt werden. Wird der Prozess aber mit 100-%iger Stellgröße betrieben, droht evtl. die Zerstörung.

Man kann sich nun damit behelfen, dass man auf die Ermittlung von Ausgleichszeit  $T_g$  verzichtet und dafür die Anstiegsgeschwindigkeit  $v_{\rm max}$  bestimmt. Gibt man dem Regler eine hinreichend große Führungsgröße vor, greift dieser zunächst mit einer 100-%igen Stellgröße ein. Danach regelt er auf dem Sollwert. Mit dem Anstieg des Istwertes kann  $v_{\rm max}$  berechnet werden.



Der Stellgradsprung sollte nach Möglichkeit in Sollwertnähe stattfinden. Die Aufzeichnung der Streckensprungantwort kann beendet werden nach dem Erreichen des Wendepunktes, d. h. wenn die Steigung der Regelgröße wieder kleiner wird.

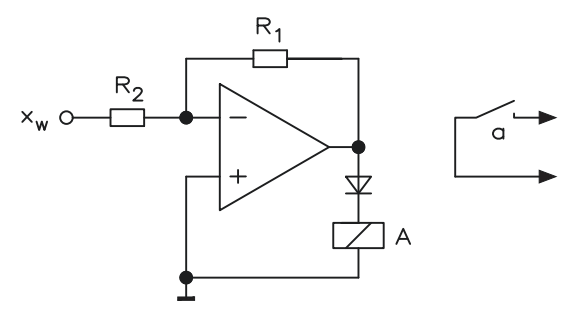
Durch Anlegen der Wendetangente lassen sich nun Verzugszeit  $T_u$  und Anstiegsgeschwindigkeit  $v_{\max}$  bestimmen. Die Regelparameter für den Proportionalwert  $X_p$ , der Nachstellzeit  $T_n$  bzw. der Vorhaltezeit  $T_v$  können nun auch ohne Kenntnis von der Ausgleichszeit  $T_g$  berechnet werden. Für die unterschiedlichen Reglerstrukturen ergibt sich der Zusammenhang und folgende Tabelle zeigt die Formeln für die Einstellung.

 $X_h$  (%): max. Stellbereich  $(Y_1 - Y_2)$ , der ohne Stellgradbegrenzung zur Verfügung steht  $\Delta v$  (%): Stellgrößenänderung in % bezogen auf  $Y_h$ 

Reglerstruktur	
P	$X_p \approx v_{\text{max}} \cdot T_u \cdot Y_h / \Delta y$
PI	$X_p \approx 1.2 \cdot v_{\text{max}} \cdot T_u \cdot Y_h / \Delta y$
	$T_n \approx 3.3 \cdot T_u$
PID	$X_p \approx 0.83 \cdot v_{\text{max}} \cdot T_u \cdot Y_h / \Delta y$
	$ X_p \approx 0.83 \cdot v_{\text{max}} \cdot T_u \cdot Y_h / \Delta y$ $T_n \approx 2 \cdot T_g$ $T_v \approx 0.5 \cdot T_u$
	$T_v \approx 0.5 \cdot T_u$
PD	$X_p \approx 0.83 \cdot v_{\text{max}} \cdot T_u \cdot Y_h / \Delta y$ $T_v \approx 0.25 \cdot T_u$
	$T_v \approx 0.25 \cdot T_u$

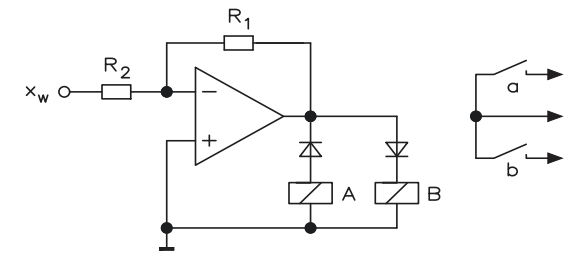
# 14.10 Schaltende Regler

Bei der Zweipunktregelung kann die Stellgröße zwei Zustände annehmen: Ein und Aus. Wegen des unstetigen Verhaltens ist sie nur für Strecken geeignet, bei denen die Veränderung der Regelgröße zeitbehaftet (verzögert) erfolgt.



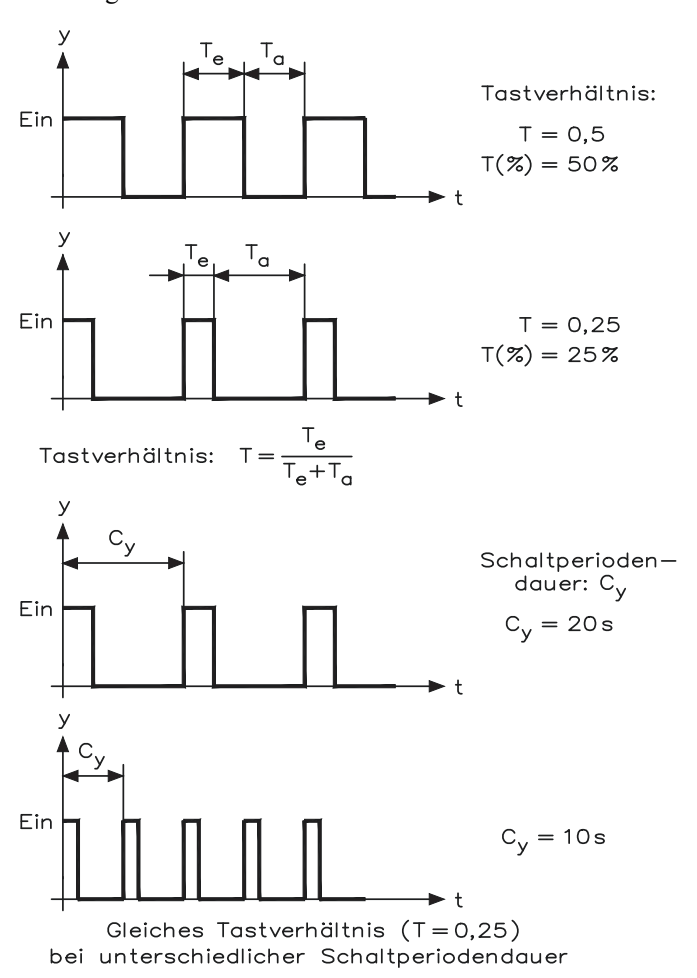
$$x_w = \frac{R_1}{R_2}$$

Bei der Dreipunktregelung kann die Stellgröße drei Zustände annehmen: Zustand I, Aus und Zustand II. Diese Regelung ist für Strecken mit verzögerter Veränderung geeignet.



$$x_w = \frac{R_1}{R_2}$$

Auch mit einem schaltenden Ausgang lässt sich eine Energiezufuhr nahezu kontinuierlich, d. h. stufenlos, dosieren: Es bleibt letztlich gleich, ob ein Ofen mit 50 % des Heizstromes betrieben wird oder mit voller Leistung (100 %), diese aber nur die Hälfte der Zeit anliegt.



Unstetige Regler ändern statt der Größe des Ausgangssignals das Einschaltverhältnis bzw. Tastverhältnis des Ausgangssignals. Ein Tastverhältnis von 1 entspricht 100 % der Stellgröße, 0,25 entsprechen 25 % der Stellgröße usw.

Das Tastverhältnis lässt sich wie folgt definieren:

$$T = \frac{T_e}{T_e + T_a}$$
  $T_e$  Einschaltzeit  $T_a$  Ausschaltzeit

Durch Multiplikation mit 100 % erhält man die relative Einschaltdauer angegeben in  $T(\%) = T \cdot 100 \%$ .

Die Definition des Tastverhältnisses bzw. der relativen Einschaltdauer besagt, wie lange die Energiezufuhr bei einem Regler mit schaltendem Ausgang eingeschaltet ist, z. B. ein Tastverhältnis von 0,25 besagt, dass die Energiezufuhr 25 % einer Gesamtzeit eingeschaltet und 75 % ausgeschaltet ist. Es wird hierbei aber keine Aussage über die Dauer des Zeitraumes gegeben, d. h. ob der Vorgang innerhalb einer Minute, mehreren Minuten oder einer Stunde gilt.

In der Theorie ergibt sich dann für die Einschaltzeit des Reglers folgender Zusammenhang:

Einschaltzeit 
$$T_e = \frac{\text{Stellgröße } (y \text{ in \%}) \cdot \text{Schaltperiodendauer}(C_y \text{ in \%})}{100 \%}$$

Das heißt, bei einer kleinen Periodendauer ( $C_y = T_e + T_y$ ) wird die zugeführte Energie feiner dosiert. Demgegenüber steht jedoch ein häufiges Schalten des Stellgliedes (Relais/Schütz). Aus der Periodendauer lässt sich die Schalthäufigkeit leicht ermitteln.



# 15.1 Bedeutung der binären Signalwerte

	Schalterwert 0	Schalterwert 1
Schalter	offen	geschlossen
Signal	0	1
Potential	L (Low)	H (High)
Wahrheitsgehalt	falsch	wahr

# 15.2 Zahlensysteme

Dezimal	Dual/Binär	Oktal	Hexadezimal
0	0	0	0
1	1	1	1
2	10	2	2
3	11	3	3
4	100	4	4
5	101	5	5
6	110	6	6
7	111	7	7
8	1000	10	8
9	1001	11	9
10	1010	12	A
11	1011	13	В
12	1100	14	C
13	1101	15	D
14	1110	16	E
15	1111	17	F

# 15.3 Umrechnen von Zahlensystemen

# Dezimalsystem (Zehnersystem)

359**D** 

1. Stelle 
$$\triangleq 9 \cdot 10^0 = 9 \cdot 1 = 9$$

2. Stelle 
$$\triangleq 5 \cdot 10^1 = 5 \cdot 10 = 50$$

3. Stelle 
$$\triangleq 3 \cdot 10^2 = 3 \cdot 100 = \frac{300}{359D}$$

#### Dual/Binärsystem (Zweiersystem)

1011**B** 

1. Stelle 
$$\triangleq 1 \cdot 2^0 = 1 \cdot 1 = 1$$

2. Stelle 
$$\triangleq 1 \cdot 2^1 = 1 \cdot 2 = 2$$

3. Stelle 
$$\triangleq 0 \cdot 2^2 = 0 \cdot 4 = 0$$

4. Stelle 
$$\triangleq 1 \cdot 2^3 = 1 \cdot 8 = 8$$

#### Oktalsystem (Achtersystem)

473**O** 

1. Stelle 
$$\triangleq 3 \cdot 8^0 = 3 \cdot 1 = 3$$

2. Stelle 
$$\triangleq 7 \cdot 8^1 = 7 \cdot 8 = 56$$

3. Stelle 
$$\triangleq 4 \cdot 8^2 = 4 \cdot 64 = \frac{256}{315D}$$

#### Hexadezimalsystem (Sechzehnersystem)

73**H** 

1. Stelle 
$$\triangleq 3 \cdot 16^0 = 3 \cdot 1 = 3$$
  
2. Stelle  $\triangleq 7 \cdot 16^1 = 7 \cdot 16 = \frac{112}{115D}$ 

Umwandlung von Dezimal nach Dual/Binär

$$25\mathbf{D} \Rightarrow ?\mathbf{B}$$
  $25: 2 = 12 \text{ Rest 1}$  Probe:  $1 \quad 1 \quad 0 \quad 0 \quad 1$   
 $12: 2 = 6 \text{ Rest 0}$   $2^4 \quad 2^3 \quad 2^2 \quad 2^1 \quad 2^0$   
 $6: 2 = 3 \text{ Rest 0}$   $16 + 8 \quad + \quad 1 = 25$   
 $3: 2 = 1 \text{ Rest 1}$   
 $2: 1 = 0 \text{ Rest 1} \quad 1 \quad 1 \quad 0 \quad 0 \quad 1$ 

Umwandlung von Dezimal nach Oktal

Umwandlung von Dezimal nach Hexadezimal

15.4 Bits und Bytes 301

Umwandlung von Dual/Binär in Oktal

 $110101B \triangleq 650$ 

Umwandlung von Dual/Binär in Hexadezimal

110101B  $\triangleq$  35**H** 

3

5

#### 15.4 **Bits und Bytes**

- Ein Bit (Binary Digit) kann zwei Zustände annehmen  $2^0$ 

- Eine Tetrade (4-Bit-Format) oder Nibble kann 16 Zustände annehmen  $2^3$  $2^2$  $2^{1}$  $2^0$
- Ein Byte (8-Bit-Format) kann 256 Zustände annehmen  $2^{7}$ 26 25 24 23 22 21 20
- Ein Word (16-Bit-Format) besteht aus 2 Bytes und kann 65.536 Zustände (≈64 Kbyte) annehmen

H-Byte L-Byte

- Ein DWord (Double, 32-Bit-Format) besteht aus 4 Bytes und kann 4.294.967.296 Zustände (≈4 Gbyte) annehmen

HH-Byte HL-Byte LH-Byte LL-Byte

- Ein FWord (Far) besteht aus 6 Bytes (48-Bit-Format) und kann ≈2,8 Tbyte (Tera) annehmen.
- Ein QWord (Quad) besteht aus 8 Bytes (64-Bit-Format).
- Ein TWord (Ten) besteht aus 10 Bytes (80-Bit-Format).
- Integer (vorzeichenbehaftete Binärzahl): 8-Bit-Integer

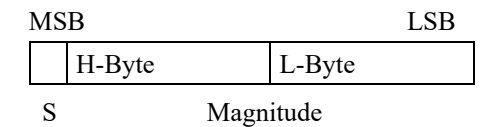
MSB							LSB
27	26	25	24	$2^3$	22	21	20
S			M	agnit	ude		

MSB Most Significant Bit (höherwertiges Bit)

LSB Least Significant Bit (niederwertiges Bit)

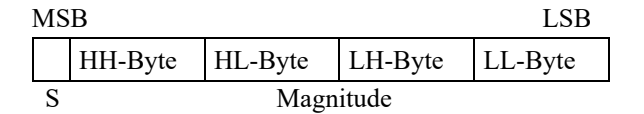
S vorzeichenbehaftet (Sign), 0 = positiv, 1 = negativBereich: -128 bis +127

#### ■ 16-Bit-Integer



Bereich: -32768 bis +32767

## ■ 32-Bit-Integer

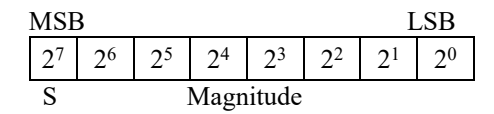


Bereich:  $-2 \cdot 10^9$  bis  $+2 \cdot 10^9$ 

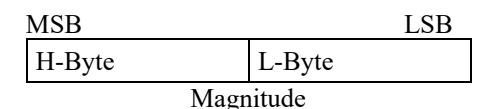
## 64-Bit-Integer

Bereich: 
$$-9 \cdot 10^{18}$$
 bis  $+9 \cdot 10^{18}$ 

# Ordinal (vorzeichenlose Binärzahl)



Bereich: 0 bis 255



Bereich: 0 bis 65535

#### Gleitpunktzahlen (Floating Point)

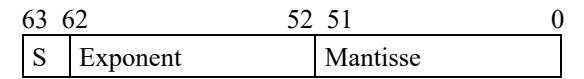
IEEE-Format (32-Bit-Format): IEEE: Institute of Electrical and Electronics Engineers) Short Real:

31	30	23	22	0
S	Exponent		Mantisse	

Bereich:

 $8,43 \cdot 10^{-37} \text{ bis } 3,37 \cdot 10^{38}$ 

Long Real (64-Bit-Format):



Bereich:

 $4,19 \cdot 10^{-307}$  bis  $1,67 \cdot 10^{308}$ 

Temporary Real (80-Bit-Format):

79 7	78	64 63	0
S	Exponent	Mantisse	

Bereich:

 $3.4 \cdot 10^{-4932}$  bis  $1.2 \cdot 10^{4932}$ 

15.5 Codes 303

#### 15.5 Codes

Der Minimalaufwand an Binärelementen zum Aufbau eines BCD-Codes beträgt 4 Bit, wobei eine Redundanz von 0,7 Bit unvermeidlich ist. Man spricht bei dieser Gruppe von Codes von den 4-Bit-Codes oder Tetraden-Codes. Zur Darstellung der zehn Ziffern des denären Alphabets muss man zehn Codeworte mit vier Stellen (4 Bit) aus den 16 möglichen Binärzeichenkombinationen auswählen. Es verbleiben also stets sechs nicht benötigte Codeworte, die man als Pseudodezimalen (Pseudotetraden) bezeichnet.

In diesem Zusammenhang ist es von Interesse, wie viel 4-Bit-Codes sich überhaupt konstruieren lassen. Darüber gibt die Variationsrechnung Auskunft. Bezeichnet man mit V die Anzahl der möglichen Variationen, mit  $M_c$  die Menge der zu bildenden Codeworte und mit  $M_z$  die Menge der darzustellenden Zeichen, dann ergibt sich:

$$V = \begin{pmatrix} M_c \\ M_z \end{pmatrix} \cdot M_z! = \frac{M_C!}{(M_c - M_z)!}$$

Die Tabelle zeigt die Entwicklung der gebräuchlichsten 4-Bit-Codes aus dem reinen Binärcode durch unterschiedlichen Einbau von Pseudodezimalen.

						C	odebeze	ichnun	g				
Ste						Exzess- 3-Code			4-2-2- 1-Code				
4 3	2	1											
			0	1	0	***	0	0	0	0	0	0	0
			1	1	1		1	1	1	1	1	1	1
	<b>***</b>		2	2	2	***	333 333	2	2	2	2	2	333 333
			3	3	3	0	335 335	3	3	3	3	3	2
	188888		4	4	4	1	333	4		4	4	4	33 33
***	88888		5	5	333	2	300 300 300	5	335 335 335	300 300 300 300	300 300 300 300	300 300 300 300	3
			6	6	333	3	333	6	4	333	333	***	333
			7	7	333	4	333	7	5	333	333	***	4
			8	8	333 333 333	5	2	***	188 188 188	5	333	5	5
			9	9	333 333 333	6	3	***		6	5	6	6
			10	***	333	7	4	333		7	6	***	333
			11	333 333 333	5	8	5	333 333 333	335 335 335	8	6	7	7
	88		12	300 300 300	6	9	6	300	6	9	7	8	300 000 000
	8888		13	***	7		7	333	7	333	8	9	8
			14	***	8	333	8	8	8	333	9	***	300 300 300
			15	**	9		9	9	9			**	9

Je nach der Art und Weise, in der die Pseudodezimalen in den Code eingebaut werden, entstehen Codes mit den verschiedensten typischen Eigenschaften (Bewertbarkeit, Symmetrie, Bündelung, Markierbarkeit usw.), wie die Tabelle zeigt.

Code beze nung	ich-	8-		2- od				ke od	n- e	-C				luı at Co	-2	-		ur at Co	-8-			- <b>2</b> - Co					2- de		5-	<b>2-</b> Co				- <b>3</b> -				Vh Co		
Wer keit	tig-	8	4	2	1	2	4	2	1	ke	in	e	2	4	2	1	2	4	2	1	4	2	2	1	5	4	2	1	5	2	1	1	5	3	1	1	5	2	1	1
	0																																							
ı.	1																	Г				Г					Г		Г					Г				Г	Г	
ziffe	2		Г														Г																							
malz	3																																							
Zugeordnete Dezimalziffer	4																Г																							
ete I	5																Г																							
ordn	6																																							
nge	7																Г																							
Z	8																																							
	9																																							

Pseudotetrade

Der 8-4-2-1-Code ist ein auf eine Dekade verkürzter reiner Binärcode. Er wird gerne zur Zählung und Addition verwendet. Seine Stellenwertigkeiten entsprechen denen der ersten vier Stellen des reinen Binärcodes (8, 4, 2, 1), woher auch seine Bezeichnung stammt. Nachteilig für diesen Code sind die Tatsachen, dass er als nicht markiertes Codewort das 0-Wort enthält und nicht symmetrisch ist, d. h. keine Komplementbildung erlaubt. Für die einfache Durchführung von Subtraktionen ist es wünschenswert, dass ein Code in unkomplizierter Weise (z. B. durch Invertieren aller Stellen) das sogenannte 9er-Komplement bildet. Man kann dann für die Addition und Subtraktion das gleiche Rechenregister benutzen. Da der 8-4-2-1-Code diese Eigenschaft nicht besitzt, wird dieser selten verwendet.

Legt man die Pseudodezimalen, die sich beim 8-4-2-1-Code, genau in der Mitte befinden, kommt man zum AIKEN-Code, der die Stellenwertigkeiten 2-4-2-1 besitzt. Wie man erkennt, ist er symmetrisch aufgebaut, d. h. die Invertierung aller Stellen irgendeines Codewortes ergibt das zugehörige 9er-Komplement. Als Nachteil dieses Codes ist zu nennen, dass er als nicht markierte Codeworte sowohl das 0-Wort als auch das 1-Wort enthält. Dieses vermeidet der Exzess-3-Code nach STIBITZ. Er ist ebenfalls symmetrisch, aber nicht bewertbar, d. h. ein reiner Anordnungscode. Man kann sich diesen Code aus dem 8-4-2-1-Code über das Bildungsgesetz berechnen:

$$Z_{dez} = \left(\sum_{j=1}^{k} W_j \cdot S_j\right) - 3; \quad (W_j = 8, 4, 2, 1)$$

15.5 Codes 305

Der 5-Bit-Code hat natürlicherweise eine höhere Redundanz als die Minimalform der 4-Bit-Codes. Es ergeben sich insgesamt 22 überflüssige Codeworte oder eine Redundanz von  $R \approx 1,7$  Bit. Da man aus der größeren Anzahl von  $2^5 = 32$  Codeworten nur zehn für einen BCD-Code auszuwählen hat, besteht die Möglichkeit, 5-Bit-Codes mit bestimmten Eigenschaften zu konstruieren, die mit 4 Bit nicht zu erzielen sind und die den höheren Aufwand an Binärstellen rechtfertigen.

Der LIBAW-CRAIG-Code eignet sich sehr gut zum Aufbau von elektronischen Ein- und Zweirichtungszählern. Diese Zähler bestehen im Wesentlichen aus einem 5-stelligen Schieberegister mit gekreuzter Rückführung, weshalb dieser Code auch "switchedtailring-counter-code" bezeichnet wird. Er gestattet eine äußerst einfache Umcodierung auf den häufig verwendeten  $\binom{10}{1}$ -Code durch nur zwei Dioden pro Dezimalziffer. Die

für die Ziffernerkennung geeigneten Binärstellen sind in der Tabelle mit einem Punkt gekennzeichnet. Als Nachteil ist festzustellen, dass der Code sowohl das 0-Wort als auch das 1-Wort enthält. Auch ist er nicht bewertbar. Es fällt ferner auf, dass die HAMMING-Distanz aller benachbarten Codeworte konstant gleich 1 ist, also ein stetiger Code vorliegt, der wegen D=1 einschrittig genannt wird. Das 10er-Komplement ist durch Lesen des Codewortes in umgekehrter Reihenfolge erhältlich. Schaltungstechnisch bedeutet dieses, dass man die 5. gegen die 1. und die 4. gegen die 2. Stelle im Wort vertauschen muss, um das Komplement auf 10 zu erhalten. Der LIBAW-CRAIG-Code ist auch als einspuriger Kettencode verwendbar.

Codebezeichnung		I	IBAW	-CRAI	G-Cod	le	1-2-1-Code						
Wertigkeit				keine					keine				
Stellennummer		5	4	3	2	1	5	4	3	2	1		
	0	0				0	Ø				Ø		
	1				0	Ø				0	<b>Ø</b>		
	2			0	<b>Ø</b>					<b>Ø</b>	<b>Ø</b>		
	3		0	<b>Ø</b>					0	<b>Ø</b>			
	4	0	Ø						<b>Ø</b>	<b>Ø</b>			
	5					<b>Ø</b>		0	<b>Ø</b>		0		
	6				Ø	0			Ø				
	7			Ø	0		0	Ø					
	8		Ø	0			Ø						
	9	Ø	0				Ø				0		

Zwei spezielle 5-Bit-Codes mit Angabe der für die Umcodierung auf den  $\binom{10}{l}$ -Code als Erkennungsstellen benötigten Binärstellen

Ein weiterer 5-Bit-Code, der ebenfalls einschrittig und einspurig, d. h. ein Kettencode ist, aber 0-Wort und 1-Wort vermeidet, wird nach dem ständig zwischen g=1 und g=2 abwechselnden Gewicht der Worte 1-2-1-Code genannt. Die Umcodierung auf den  $\binom{10}{1}$ -Code ist fast genauso einfach wie beim LIBAW-CRAIG-Code die 10er-Kom-

plementbildung geschieht auf die gleiche Weise wie bereits geschildert. Zu den 5-Bit-Codes gehören ferner

Walking-Code 7-4-2-1-0-Code 8-4-2-1-0-Code LORENZ-Code

Bei der Exzessdarstellung wird ein definierter Code – zumeist der reine Binärcode – mit einem Überschuss oder Exzess e versehen, so dass sich der zu einem Codewort w gehörende Ziffernwert z aus dem ursprünglichen Ziffernwert z' nach der Gleichung errechnet:

$$z = z' - e = \left[ \sum_{j=1}^{k} W_j \cdot S_j \right] - e$$

Die bekannteste Form dieser Codeart ist die Exzess-3-Darstellung des 8-4-2-1-Codes, die von STIBITZ angegeben wurde. Allgemein beruhen die wichtigsten Exzess-Darstellungen darauf, dass jede Denärziffer  $z_i$  durch ein Codewort  $w_i$  mit dem Zahlenwert  $q \cdot z_i + e$  im reinen Binärcode angegeben wird. Das vollständige Bildungsgesetz der Exzess-e-Codierung lautet somit

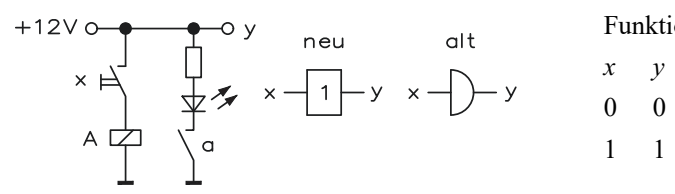
$$z = \frac{\left[\sum_{j=1}^{k} W_j \cdot S_j\right] - e}{q}, \quad (W_j = 2^{k-1} \cdots 16, 8, 4, 2, 1)$$

Die wichtigsten Exzess-e-Codes sind der STIBITZ-Code mit q=1 und e=3, der NU-DING-Code mit q=3 und e=2 sowie der DIAMOND-Code mit q=27 und e=6. Der NUDING-Code hat bei k=5 eine Minimaldistanz von d=2, ist also gegen Übertragungsfehler in gewissen Grenzen gesichert. Der DIAMOND-Code benötigt 8 Binärstellen und hat dabei eine Minimaldistanz von d=3. Beide Codes bilden durch Invertierung aller Stellen das 9er-Komplement und sind symmetrisch.

Codebez nungen	eich-	ST	IBIT	Z-C	ode	N	(UD	ING	-Cod	e	Diamond-Code							
Stellenn	ummer	4	3	2	1	5	4	3	2	1	8	7	6	5	4	3	2	1
Wertigk	eit																	
	0																	
.i.	1																	
ziff	2																	
imal	3																	
)ezi	4																	
ete J	5																	
ırdın	6																	
Zugeordnete Dezimalziffer	7																	
Zι	8																	
	9																	

#### Logische Grundfunktionen 15.6

#### Identität

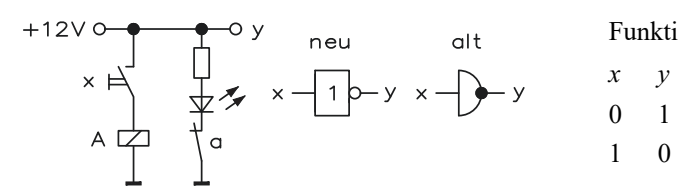


Schaltfunktion: v = x

lies: y ist x

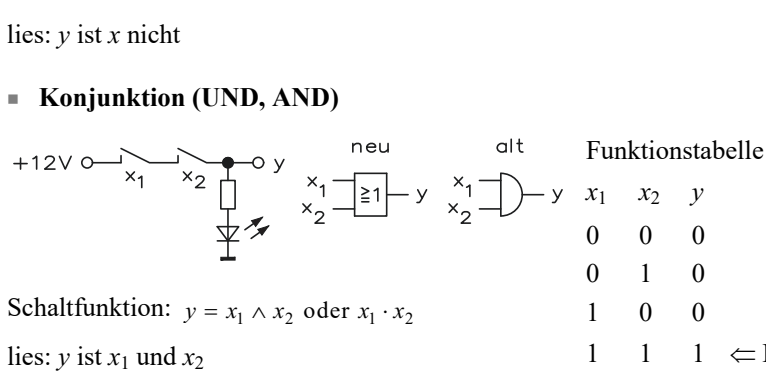
# Funktionstabelle

# Negation (NICHT, NOT)



Funktionstabelle

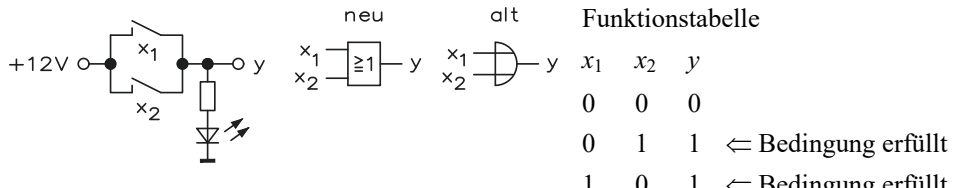
Schaltfunktion:  $y = \overline{x}$ 



lies: y ist  $x_1$  und  $x_2$ 

# 1 1 ⇐ Bedingung erfüllt

## Disjunktion (ODER, OR)



Schaltfunktion:  $y = x_1 \lor x_2$  oder  $x_1 + x_2$ 

lies: y ist  $x_1$  oder  $x_2$ 

⇔ Bedingung erfüllt

1 ← Bedingung erfüllt

#### NAND (NICHT-UND, NOT-AND)

Schaltfunktion:  $y = \overline{x_1 \wedge x_2}$  oder  $\overline{x_1 \cdot x_2}$ 

# NOR (NICHT-ODER, NOT-OR)

Schaltfunktion:  $y = \overline{x_1 \vee x_2}$  oder  $\overline{x_1 + x_2}$ 

# Äquivalenz (Exklusiv-ODER, Ex-NOR)

Schaltfunktion:

$$y = \overline{x_1 \wedge x_2} \vee x_1 \wedge x_2 \text{ oder } \overline{x_1 \cdot x_2} + x_1 \cdot x_2$$

#### Antivalenz (Inklusiv-ODER, Ex-OR)

Schaltfunktion:

$$y = \overline{x_1} \wedge x_2 \vee x_1 \wedge \overline{x_2} \text{ oder } \overline{x_1} \cdot x_2 + x_1 \cdot \overline{x_2}$$

#### Implikation

Schaltfunktion:  $y = x_1 \vee \overline{x}_2$  oder  $x_1 + \overline{x}_2$ 

# Funktionstabelle

 $x_1$   $x_2$  y

 $0 0 1 \subset Bedingung erfüllt$ 

0 1 1 ⇐ Bedingung erfüllt

1 0 1 ← Bedingung erfüllt

1 1 0

#### Funktionstabelle

 $x_1$   $x_2$  y

0 0 1 ← Bedingung erfüllt

0 1 0

1 0 0

1 1 0

#### Funktionstabelle

 $x_1$   $x_2$  y

0 0 1 ← Bedingung erfüllt

0 1 0

1 0 0

1 1 1 ← Bedingung erfüllt

#### Funktionstabelle

 $x_1$   $x_2$  y

0 0 0

0 1 1 ← Bedingung erfüllt

1 0 1 ← Bedingung erfüllt

1 1 0

#### Funktionstabelle

 $x_1 \quad x_2 \quad y$ 

0 0 1 ← Bedingung erfüllt

0 1 0

1 0 1 ← Bedingung erfüllt

#### Inhibition

Schaltfunktion:  $y = x_1 \wedge \overline{x}_2$  oder  $x_1 \cdot \overline{x}_2$ 

Funktionstabelle

 $x_1$   $x_2$  y

 $0 \quad 0 \quad 0$ 

0 1 1 ⇐ Bedingung erfüllt

1 0 0

1 1 0

# 15.7 Grundregeln der Schaltalgebra

Konstante, logische Werte  $\overline{0} = 1$   $\overline{1} = 0$ 

Konjunktive Verknüpfung  $0 \land 0 = 0 \quad 1 \land 0 = 0$ 

 $0 \wedge 1 = 0$   $1 \wedge 1 = 1$ 

Disjunktive Verknüpfung  $0 \lor 0 = 0 \quad 1 \lor 0 = 1$ 

 $0 \lor 1 = 1$   $1 \lor 1 = 1$ 

Funktionen mit einer Variablen  $\overline{\overline{x}} = x$ 

Konjunktive Verknüpfung  $0 \land x = 0 \quad x \land x = x$ 

 $1 \land x = x \quad x \land \overline{x} = 0$ 

Disjunktive Verknüpfung  $0 \lor x = x \quad x \lor x = x$ 

 $1 \lor x = 1$   $x \lor \overline{x} = 1$ 

Vertauschungsregeln  $x_1 \wedge x_2 = x_2 \wedge x_1$  (Kommutation)

 $x_1 \lor x_2 = x_2 \lor x_1$ 

Verbindungsregeln (Assoziation)  $x_1 \wedge x_2 \wedge x_3 = x_1 \wedge (x_2 \wedge x_3) = (x_1 \wedge x_2) \wedge x_3$ 

 $x_1 \lor x_2 \lor x_3 = x_1 \lor (x_2 \lor x_3) = (x_1 \lor x_2) \lor x_3$ 

Verteilungsregeln  $x_1 \wedge (x_2 \vee x_3) = x_1 \wedge x_2 \vee x_1 \wedge x_3$  (Distribution)

 $x_1 \lor (x_2 \land x_3) = (x_1 \lor x_2) \land (x_1 \lor x_3)$ 

Vereinfachungsregeln  $x_1 \lor x_1 \land x_2 = x_1$ 

(Absorption)  $x_1 \wedge (x_1 \vee x_2) = x_1$ 

 $x_1 \wedge (\overline{x}_1 \vee x_2) = x_1 \wedge x_2$ 

 $x_1 \vee \overline{x}_1 \wedge x_2 = x_1 \vee x_2$ 

Negationsregeln (De Morgan)

$$\frac{\overline{x_1 \wedge x_2}}{\overline{x_1 \vee x_2}} = \frac{\overline{\overline{x} \vee \overline{b}}}{\overline{\overline{x} \wedge \overline{b}}}$$

Vorrangregeln: Sind keine Klammern vorhanden, gelten Operationen mit folgender Rangfolge

- 1. Negation
- 2. Konjunktion
- 3. Disjunktion

# 15.8 Minimieren mit Karnaugh-Diagramm

#### KD mit zwei Variablen



Wertigkeit	$b = 2^1$	$a = 2^0$	
0	0	0	a' b'
1	0	1	a' b
2	1	0	a b'
3	1	1	a b



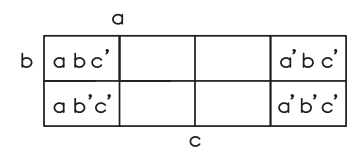
Beispiel: 
$$x = ab + a'b$$

Ergebnis: x = b

# KD mit drei Variablen

	а		c	ı'
b	a b c'	abc	a'b c	a'bc'
b'	a b'c'	ab'c	a'b'c	a'b'c'
	c'		>	c'

Wertigkeit	$c = 2^2$	$b = 2^1$	$a = 2^0$	
0	0	0	0	a' b' c'
1	0	0	1	a' b' c
2	0	1	0	a' b c'
3	0	1	1	a' b c
4	1	0	0	a b' c'
5	1	0	1	a b' c
6	1	1	0	a b c'
7	1	1	1	a b c



	C	1			
b	X			L_X_	-
•				L_X	<b>-</b>
-			-		, -

Beispiel: x = abc' + a'bc' + ab'c' + a'b'c'

Ergebnis: x = c'

# **KD** mit vier Variablen

	а												
L	abc'd'	a b c d'	a'bcd'	a'b c'd'									
b	a b c'd	abcd	a'bcd	a'bc'd									
	a b'c'd	a b'c d	a'b'cd	a'b'c'd	a								
	a b'c' d'	a b'c d'	a'b'c d'	a'b'c'd'									

Wertigkeit	$d = 2^3$	$c = 2^2$	$b = 2^1$	$a = 2^0$	
0	0	0	0	0	a' b' c' d'
1	0	0	0	1	a b' c' d'
2	0	0	1	0	a' b c' d'
3	0	0	1	1	a b c' d'
4	0	1	0	0	a' b' c d'
5	0	1	0	1	a b' c d'
6	0	1	1	0	a' b c d'
7	0	1	1	1	a b c d'
8	1	0	0	0	a' b' c' d
9	1	0	0	1	a b' c' d
10	1	0	1	0	a' b c' d
11	1	0	1	1	a b c' d
12	1	1	0	0	a' b' c d
13	1	1	0	1	a b' c d
14	1	1	1	0	a' b c d
15	1	1	1	1	a b c d

		1			
L			a'bcd'	a'b c' d'	
Ь			a'bcd	a'b c'd	٦
	a b' c' d	a b'c d			a
	a b'c'd'	a b'c d'			
		(			

		[X	
		[ X	×'
[ X	X		
L_X	×_ }		

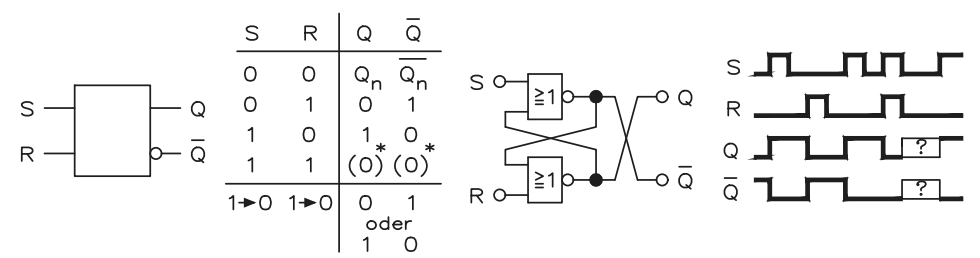
Beispiel: x = a'bcd' + a'bc'd' + a'bcd + a'bc'd' + ab'c'd + ab'cd + ab'c'd' + ab'cd'

Ergebnis: x = a'b + ab'

# 15.9 Grundschaltungen mit Flipflops

#### Statisches RS-Flipflop

(Nicht-taktgesteuertes Flipflop mit statischen Eingängen, die auf Spannungszustände reagieren)

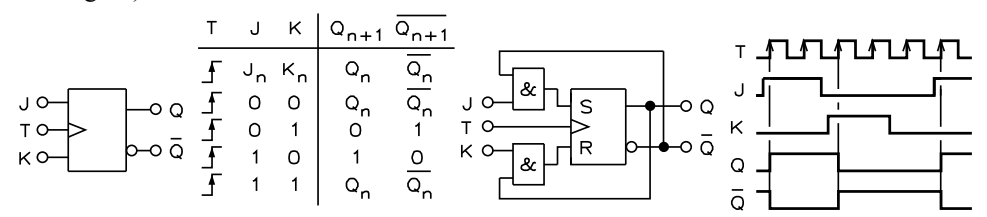


\*Bei NOR-Gliedern (0) (0)

Bei NAND-Gliedern (1) (1)

#### Taktzustandsgesteuertes JK-Flipflop

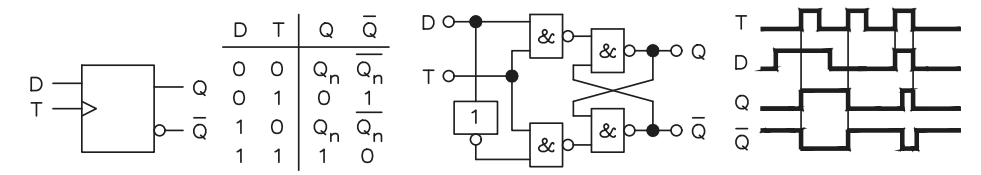
(Taktgesteuertes JK-Flipflop mit dynamischem Takteingang, der auf eine positive Flanke reagiert)



Durch den 0→1-Übergang des Takteinganges (Flankensteuerung) wird das Signal der Eingangsvariablen auf den Ausgang übertragen.

#### **Zustandsgesteuertes D-Flipflop**

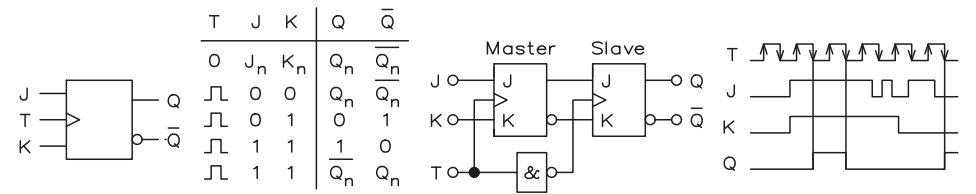
(Zustandsgesteuertes D-Flipflop mit statischem Takteingang, der auf eine positive Spannungsänderung reagiert)



Das an D wirkende Signal wird durch ein 1—Signal am Eingang T an den Ausgang Q übernommen.

#### Taktzustandsgesteuertes JK-Master-Slave-Flipflop

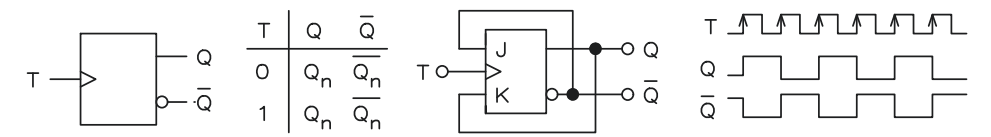
(Zwei taktgesteuerte JK-Flipflops mit dynamischem Takteingang. Das Master-Flipflop reagiert auf eine positive, das Slave-Flipflop auf eine negative Taktflanke.)



Die Eingangssignale werden durch die 0→1-Flanke des Taktsignals in den Master und durch eine 1→0-Flanke in den Slave übertragen (zweiflankengesteuert). Das Eingangssignal wirkt somit verzögert auf den Ausgang.

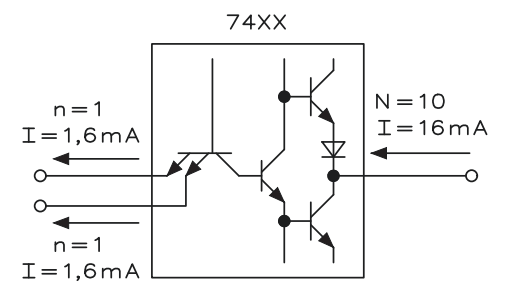
# **Taktzustandsgesteuertes T-Flipflop**

(Taktgesteuertes JK-Flipflop mit dynamischem Takteingang, das auf eine positive Flanke reagiert)



Die 0→1-Flanke führt zu einer Änderung des Ausgangssignals.

# 15.10 Auslastfaktoren (fan-in, fan-out) bei TTL-Bausteinen



Die Ausgangsbelastbarkeit gibt an, von wie viel Lasteinheiten (N) der TTL-Baustein bei L-Potential (0-Signal) einen Strom treiben kann bzw. an wie viel Lasteinheiten er bei H-Potential (1-Signal) einen Strom liefern kann. Bei Standard-TTL-Bausteinen der Serie 7400 ist N = 10 (16 mA) und n = 1 (-1,6 mA).

TTL-	TTL	-Last				
Treiber	Std	ALS	AS	F	LS	S
Std	10	20	8	20	20	8
ALS	10	20	10	20	20	10
AS	10	50	10	50	50	10
F	12	25	10	25	25	10
LS	5	20	8	50	50	10
S	12	50	10	50	50	10

Std	Standard-TTL	74XX
ALS	Avanced-Low-Power-	
	Schottky-TTL	74ALSXX
AS	Avanced-Schottky-TTL	74ASXX
F	Fast-Schottky-TTL	74FXX
LS	Low-Power-Schottky-TTL	74LSXX
S	Schottky-TTL	74SXX

			Std	ALS	AS	F	LS	S	
min			4,75	4,75	4,75	4,75	4,75	4,75	V
Betriebsspannung	$U_b$	typ	5,0	5,0	5,0	5,0	5,0	5,0	V
		max	5,25	5,25	5,25	5,25	5,25	5,25	V
Eingangsspannung	$U_{I\!L}$	max	0,8	0,8	0,8	0,8	0,8	0,8	V
	$U_{I\!H}$	min	2,0	2,0	2,0	2,0	2,0	2,0	V
Eingangsstrom	$I_{I\!L}$	max	-1,6	-0,2	-1,0	-1,2	-0,36	-2,0	mA
	$I_{IH}$	min	40	20	20	40	20	50	$\mu A$
Ausgangsspannung	$U_{OL}$	$max^{1)}$	0,4	0,35	0,35	0,35	0,5	0,5	V
	$U_{OH}$	min	2,4	3,2	3,2	3,4	2,7	2,7	V
Ausgangsstrom <sup>2)</sup>	$I_{OL}$	max	16	83)	20	20	83)	20	mA
Leistungsaufnahme/Gatter	P	typ	10	1	22	4	2	20	mW
Laufzeit/Gatter	$t_p$	typ	10	4	1,5	2	9	3	ns

<sup>1)</sup> bei  $I_{OL}$  max

#### 15.11 CMOS-Bausteine

Sollte die Betriebsspannung in der Nähe der maximalen Speisespannung liegen, so muss sichergestellt sein, dass die maximal zulässige Betriebsspannung von +15 V zu keiner Zeit überschritten wird. Mögliche Ursachen zum Überschreiten der Spannungsgrenze sind Spannungsspitzen aus dem Netzteil während des Ein- oder Ausschaltens, Restwelligkeit der Speisespannung, Überschwingen eines geregelten Netzteiles oder allgemeines Rauschen.

Der Ausgangsstrom eines Netzteiles sollte mit dem Strombedarf übereinstimmen. Um Vorsorge gegen Spannungsspitzen zu treffen, ist es vorteilhaft, als Schutz eine Z-Diode parallel zu den Ausgangsklemmen des Netzteiles zu schalten. Der Z-Wert sollte oberhalb

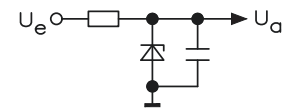
<sup>&</sup>lt;sup>2)</sup> bei  $U_{OL}$  max

<sup>3)</sup> bei gepufferten Ausgängen 40 mA

15.11 CMOS-Bausteine 315

der Regelgrenze der Ausgangsspannung, jedoch nicht über 15 V liegen. Die Schaltung enthält zusätzlich einen Serienwiderstand, der die Stromaufnahme begrenzt und die Z-Diode vor Überlastung schützt. Die Parallelkapazität wurde gewählt, damit die erforderlichen Spitzenströme während des Schaltens verfügbar sind.

#### **Z-Diode als Eingangsschutz**



Alle unbeschalteten Eingänge müssen entweder mit  $U_{SS}$  oder mit  $U_{DD}$  verbunden sein. Welches Potential gewählt wird, kann entsprechend der jeweiligen Schaltung entschieden werden. Ein nicht festgelegter Eingang eines Hochstrom-Typs (wie z. B. 4009, 4010, 4041, 4049 oder 4050) kann nicht nur zu einem fehlerhaften Betrieb führen, sondern auch zur Überschreitung der Verlustleistungsgrenze von 200 mW. Die Zerstörung des Bauelementes kann die Folge sein. Werden CMOS-Hochstrom-Typen auf steckbaren Karten montiert, kann durch das Ziehen der Karte die Eingangsschaltung abgetrennt werden. In diesem Falle müssen die Eingänge nach  $U_{DD}$  oder  $U_{SS}$  mit einem Pull-Up-Widerstand in der Größenordnung von 200 k $\Omega$  bis 1 M $\Omega$  beschaltet sein.

Während die Stromversorgung abgeschaltet ist, dürfen keine Eingangssignale angelegt sein. Es sei denn, die Ruhestromaufnahme ist auf 10 mA begrenzt. Interface-Eingangs-Signale dürfen 0,5 V oberhalb von  $U_{DD}$  oder unterhalb von  $U_{SS}$  liegen, bzw. es sollte eine Strombegrenzung von 10 mA max. vorgenommen werden. Für alle Fälle, in denen eine Überschreitung des 10 mA-Wertes besteht, wird ein Serienwiderstand empfohlen. Der Widerstandswert kann 10 k $\Omega$  betragen, ohne dass die statischen Kennwerte verändert werden, jedoch wird die Schaltgeschwindigkeit durch die RC-Verzögerung reduziert. Ferner sind lange Eingangssignalleitungen auf Grund ihres induktiven Anteils zu beachten. Hier können auf Grund der Umgebungsbedingungen größere Störspannungen entstehen. In diesem Fall wird für die Eingangsklemmen ein Serienwiderstand mit einem Parallelkondensator empfohlen. Der Parallelkondensator sollte unter dem Gesichtspunkt der gewünschten Schaltgeschwindigkeit so groß wie möglich gewählt werden.

Die Sechsfach-Buffer-Typen 4009, 4010, 4049 und 4050 können zwei Normal-TTL-Lasten ansteuern. Andere Typen, wie z. B. 4041, 4048 und 4031 können ebenfalls bis zu einer TTL-Last ansteuern. In allen Fällen empfiehlt es sich, das jeweilige Datenblatt einzusehen. Die meisten Gatter und Inverter können eine oder mehrere Low-Power-TTL-Lasten ansteuern. Um einen guten Störabstand im Zustand der 1 zu erhalten, wird empfohlen, zwischen Ausgang der TTL-Schaltung und Eingang der CMOS-Schaltung, einen Pull-Up-Widerstand einzusetzen.

Es folgen Regeln für einen einwandfreien Betrieb einer CMOS-TTL-Interface-Schaltung. Dabei können verschiedene Speisespannungsquellen bei gleichen Pegeln, aber möglicherweise zu verschiedenen Zeiten auftreten.

- a) CMOS-Ansteuerung durch TTL-Serienwiderstand für CMOS-Eingänge von 1 k $\Omega$
- b) TTL-Ansteuerung durch CMOS kann direkt verbunden werden.

CMOS-Bausteine können ohne Verminderung der Störsicherheit oder anderer Kennwerte an  $U_{DD} = 0$  V und  $U_{SS} = -3$  V bis -15 V betrieben werden und sind damit angepasst.

Alle CMOS-Bausteine verwenden ein DC-Fan-Out von 50. Die Reduzierung der Schaltfrequenz von CMOS-Bausteinen, verursacht durch zusätzliche kapazitive Belastung, sollte im Entwurf für eine hohe Schaltfrequenz berücksichtigt werden. Die Eingangskapazität beträgt mit zwei Ausnahmen 5 pF; lediglich bei den Buffer-Typen 4009 und 4049 beträgt die Kapazität 15 pF.

Bei Betrieb mehrerer CMOS-Typen an einem Taktimpuls müssen die Anstiegs- und Abfallzeiten zwischen 5 und 15 µs liegen. Bei längeren Anstiegszeiten ist ein sicherer Betrieb nicht gewährleistet.

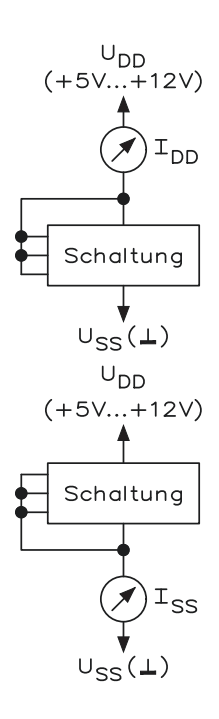
Wenn zwei oder mehrere CMOS-Bausteine an einem gemeinsamen Taktimpuls betrieben werden, wird es erforderlich, die Anstiegszeit des Taktimpulses niedriger als die Summe aus Propagations-Verzögerungszeit, Transitionszeit (Summen-Ausgänge) und Eingangsansprechzeit (Set-Up-Time) zu erhalten. Die meisten Flipflops und Schieberegister sind bereits auf diese Regel abgestimmt und so spezifiziert.

Normalerweise schalten CMOS-Typen bei 30 bzw. 70 % der Speisespannung. Bei einer Speisespannung von 10 V liegt z. B. ein 0-Signal zwischen 0 und 3 V und ein 1-Signal zwischen 7 und 10 V. Für eine 5-V-Speisespannung liegen die Bereiche eines 0-Signals zwischen 0 und 1,5 V bzw. eines 1-Signals zwischen 3,5 und 5 V. Die Störsicherheit beträgt also 30 % im Speisespannungsbereich von 3 bis 15 V.

Weil die CMOS-Übertragungseigenschaften von 30 bis 70 %, bezogen auf die Speisespannung variieren, muss der Schaltungsentwickler, der Multivibratoren, Pegeldetektoren und RC-Netzwerke einsetzt, diese Unterschiede beachten.

Kurzschlüsse zwischen Ausgang und  $U_{DD}$  bzw.  $U_{SS}$  können bei einigen Hochstromtypen, wie z. B. 4007A, 4009, 4010, 4041, 4049 und 4050 zur Überschreitung der zulässigen Verlustleistung von 200 mW führen. Generell besteht jedoch keine Überlastungsgefahr, wenn  $U_{DD}-U_{SS}$  kleiner als 5 V gewählt wird. In allen Fällen, in denen eine kurzschlussähnliche Last wie z. B. ein bipolarer NPN- oder PNP-Transistor angesteuert wird, sind unter Berücksichtigung der Ausgangskenndaten in den entsprechenden Datenblättern Vorkehrungen zu treffen, um die Verlustleistung unter 200 mW zu halten.

15.11 CMOS-Bausteine 317



Der Ruhestrom ( $I_L$ ) kann gemessen werden, indem alle Eingänge mit  $U_{DD}$  ( $I_{DD}$ ) oder mit  $U_{SS}$  ( $I_{SS}$ ) verbunden werden.

Die Ruheverlustleistung  $P_D$  wird wie folgt errechnet:

$$P_D = (U_{DD} - U_{SS}) \cdot I_L$$

Dabei ist  $I_L = I_{DD}$  oder  $I_{SS}$ -Pegel der Ausgangsspannung:

 $U_{0L}$  = Ausgang, niedriger Pegel (,,0") = 10 mV bei 25 °C

 $U_{0H}$  = Ausgang, hoher Pegel ("1") =  $U_{DD}$  –10 mV bei 25 °C

#### Störsicherheit:

 $U_{NL}$  = Maximale Störspannung, wenn am Eingang ein 0-Signal angelegt werden kann  $(U_{NL} + U_{SS})$ , bevor der Ausgangspegel umschaltet.

 $U_{NH}$  = Maximale Störspannung, wenn am Eingang ein 1-Signal angelegt werden kann  $(U_{NL}-U_{DD})$ , bevor der Ausgangspegel umschaltet.

#### Ausgangstreiberstrom:

- Sink-Strom ( $I_D$ , N) = Ausgangs-Sink-Strom, hervorgerufen durch den N-Kanal-Transistor ohne Überschreitung einer vorgegebenen Ausgangsspannung ( $V_0$ ). Werte enthält jedes Datenblatt.
- Source-Strom ( $I_D$  P) = Ausgangs-Source-Strom, hervorgerufen durch den P-Kanal-Transistor ohne Unterschreitung einer vorgegebenen Ausgangsspannung ( $U_0$ ).

#### • Eingangsstrom $(I_i)$ :

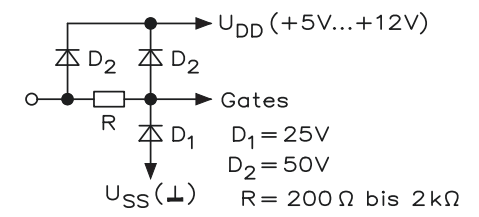
Der typische Wert des Eingangsstroms liegt bei 10 pA (3 bis 15 V) bei  $T_A = 25$  °C. Der maximale Eingangsstrom für CMOS-Bausteine liegt normalerweise unter 10 nA bei 15V und unter 50 nA bei  $T_A = 125$  °C.

Die Impulsformen beziehen sich auf  $T_A = 25$  °C, 15 pF-Last und eine Anstiegs- oder Abfallzeit des Eingangssignals von 20 ns. Tatsächliche Verzögerungs- oder Transitionszeiten können darüber liegen, wenn Anstiegs- und Abfallzeiten der Eingangsimpulse größer sind. In den einzelnen Datenblättern sind Diagramme enthalten, aus denen die typische Variation der Verzögerungs- und Transitionszeit in Abhängigkeit von kapaziti-

ver Belastung ersichtlich ist. Der Entwicklungsingenieur kann mit einem typischen Temperaturkoeffizienten von 0,3 %/°C für die veranschlagte Schaltfrequenz bei anderen Temperaturen als 25 °C rechnen. Propagation: Verzögerungs- und Transitionszeit steigen mit zunehmender Temperatur an. Maximal zulässige Takteingangsfrequenzen müssen mit steigender Temperatur vermindert werden.

Die dynamische Verlustleistung wird für jeden Typ im Datenblatt in einem Diagramm in Abhängigkeit von der Taktfrequenz angegeben.

#### Standardschutzbeschaltung



Die meisten CMOS-Eingangsgatter sind mit gezeigten Schutzbeschaltungen versehen. Eine Ausnahme bildet die bei 4049A und 4050A verwendete Schutzschaltung.

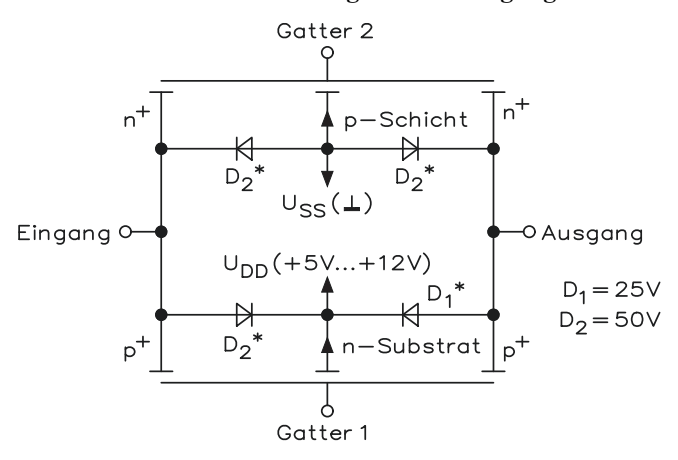
# Standardschutzbeschaltung f ür 4049 und 4050

Gatter
$$D_3 \longrightarrow D_3$$

$$D_3 = 25 \lor$$

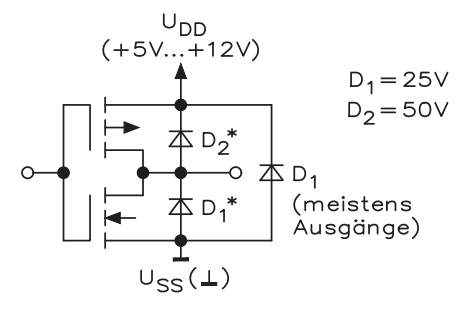
$$U_{SS}(\bot)$$

#### Standardschutzbeschaltung f ür Übertragungsbausteine



Das Bild zeigt die Schutzbeschaltung, welche gegenwärtig an allen Ein- bzw. Ausgängen von Übertragungsgattern und an Ausgängen von Invertern verwendet wird.

### Standardschutzbeschaltung f ür Inverter



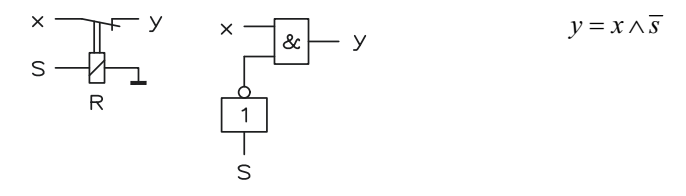
Die Eingangsschutzbeschaltung kann gegen eine Entladungsenergie von 1 bis 2 kV aus 250 pF Schutz bieten.

# 15.12 Digitale Schalter

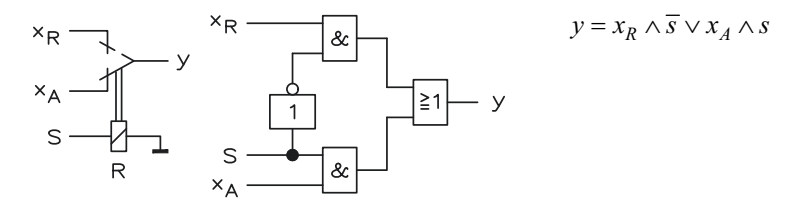
### ■ Ein-Aus-Schalter (Arbeitskontakt)

$$y = x \wedge s$$

### ■ Ein-Aus-Schalter (Ruhekontakt)



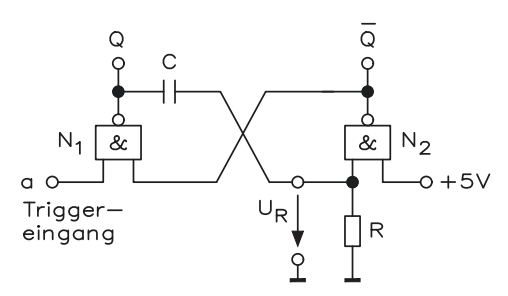
### Umschalter (Wechselkontakt)



320 15 Digitaltechnik

# 15.13 Monostabile Schaltungen

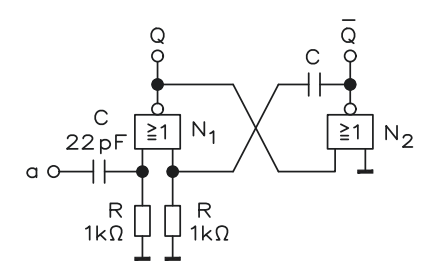
### TTL-Monoflop mit NAND-Gatter



$$t_m = R \cdot C \cdot k$$

- k Korrekturfaktor 0,8...1,3; abhängig von R
- R Widerstand von 220 Ω bis 1 kΩ
- C Kondensator von 1 nF bis 100 μF

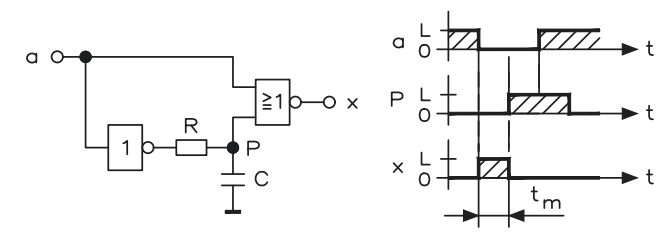
# ■ TTL-Monoflop mit NOR-Gatter



$$t_m = R \cdot C \cdot k$$

- k Korrekturfaktor 0,8...1,3; abhängig von R
- R Widerstand von 220 Ω bis 1 kΩ
- C Kondensator von 1 nF bis 100 μF

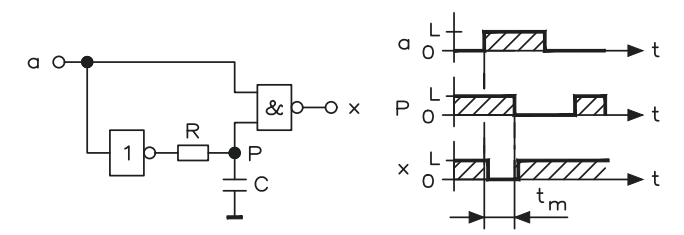
### ■ TTL-Monoflop mit NOR- und NICHT-Gatter



$$t_m = R \cdot C \cdot k$$

- k Korrekturfaktor 0,8...1,3; abhängig von R
- R Widerstand von 220 Ω bis 1 kΩ
- C Kondensator von 1 nF bis 100 μF

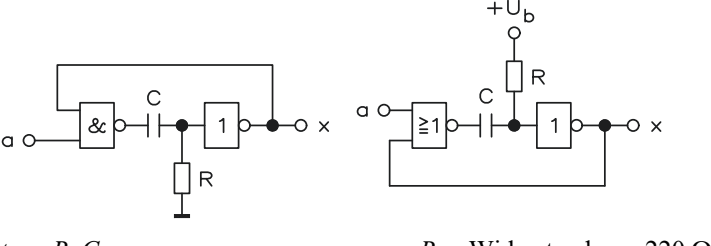
### TTL-Monoflop mit NAND- und NICHT-Gatter



$$t_m = R \cdot C \cdot k$$

- k Korrekturfaktor 0,8...1,3; abhängig von R
- *R* Widerstand von 220  $\Omega$  bis 1 k $\Omega$
- C Kondensator von 1 nF bis 100 μF

### ■ TTL-Monoflop mit Rückkopplung

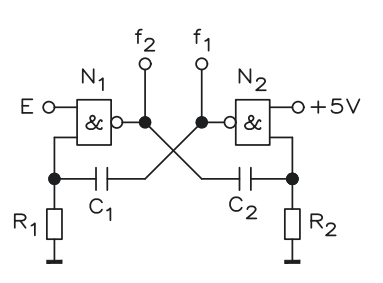


$$t_m = R \cdot C$$

- R Widerstand von 220 Ω bis 1 kΩ
- C Kondensator von 1 nF bis 100 μF

# 15.14 Astabile Kippschaltungen

### Rechteckgenerator mit NAND-Gattern



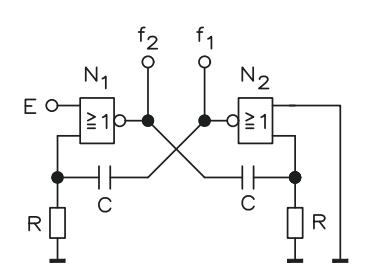
$$f = \frac{1}{R \cdot C}$$
, wenn  $R_1 = R_2 = R$  und  $C_1 = C_2 = C$  ist

- R Widerstand von 220 Ω bis 1 kΩ
- C Kondensator von 1 nF bis 100 μF

322 15 Digitaltechnik

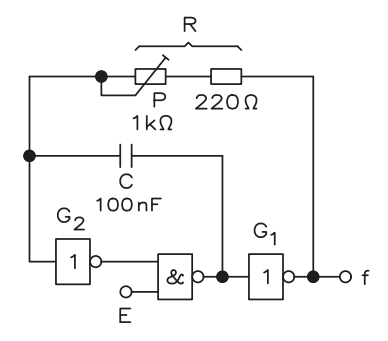
*R* Widerstand von 220  $\Omega$  bis 1 k $\Omega$  *C* Kondensator von 1 nF bis 100  $\mu$ F

### Rechteckgenerator mit NOR-Gattern

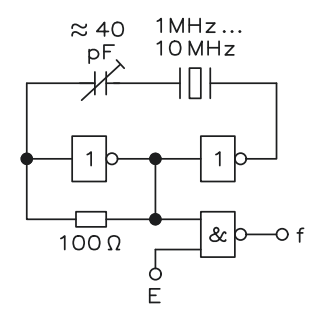


$$f = \frac{1}{R \cdot C}$$
, wenn  $R_1 = R_2 = R$  und  $C_1 = C_2 = C$  ist

# Rückgekoppelter Rechteckgenerator

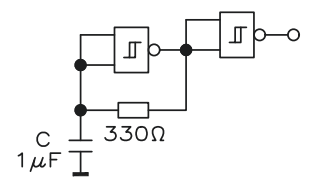


### Rückgekoppelter Rechteckgenerator mit Quarz



Durch den Quarz wird die Rechteckfrequenz festgelegt.

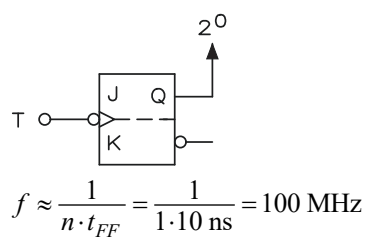
# Rechteckgenerator mit TTL-Schmitt-Trigger



Einfacher Rechteckgenerator mit TTL-Schmitt-Trigger

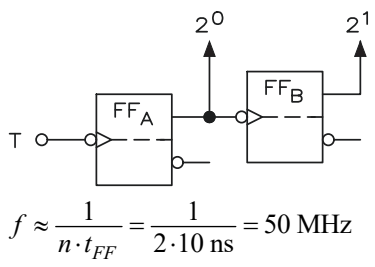
# 15.15 Asynchrone Frequenzteiler und Zähler

# Frequenzteiler und Zähler 1:2



(Standard-TTL-Bausteine)

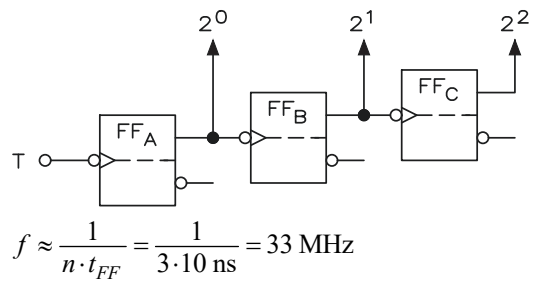
### ■ Frequenzteiler und Zähler 1:4



	Zeit	$2^{0}$	2 <sup>1</sup>
0	$t_n$	0	0
1	$t_{n+1}$	1	0
2	$t_{n+2}$	0	1
3	$t_{n+3}$	1	1
0	$t_{n+4}$	0	0

(Standard-TTL-Bausteine)

### ■ Frequenzteiler und Zähler 1:8

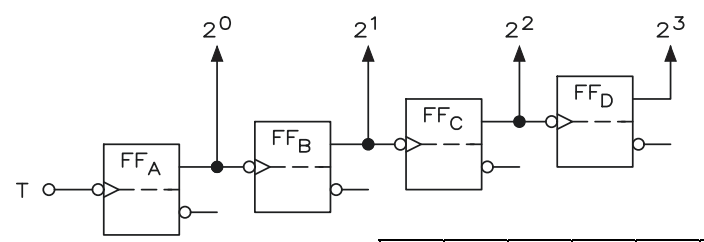


	Zeit	$2^{0}$	$2^{1}$	$2^{2}$
0	$t_n$	0	0	0
1	$t_{n+1}$	1	0	0
7	$t_{n+7}$	1	1	1
0	$t_{n+8}$	0	0	0

(Standard-TTL-Bausteine)

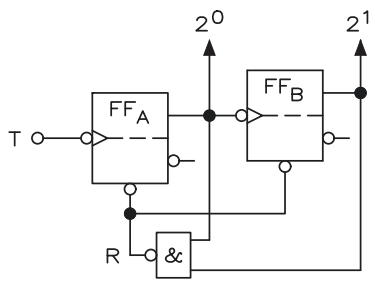
324 15 Digitaltechnik

# Frequenzteiler und Zähler 1:16



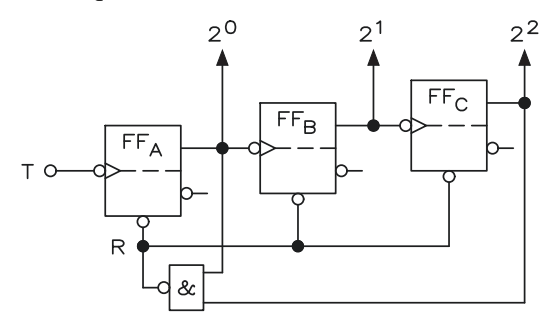
	Zeit	$2^{0}$	$2^{1}$	$2^2$	$2^3$
0	$t_n$ $t_{n+1}$	0	0	0	0
 15 0	$t_{n+15}$ $t_{n+16}$	 1 0	 1 0	 1 0	 1 0

# ■ Frequenzteiler und Zähler 1:3



	Zeit	20	21
0	$t_n$	0	0
1	$t_{n+1}$	1	0
2	$t_{n+2}$	0	1
		1	1
0	$t_{n+3}$	0	0
1	$t_{n+4}$	1	1

# Frequenzteiler und Zähler 1:5

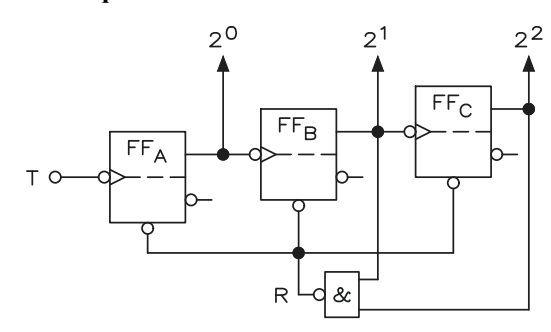


	Zeit	20	21	22
0	$t_n$	0	0	0
1	$t_{n+1}$	1	0	0
4	$t_{n+4}$	0	0	1
		1	0	1
0	$t_{n+5}$	0	0	0
1	$t_{n+6}$	1	0	0

← NAND-Bedingung erfüllt (≈ 5 ns)

$$f \approx \frac{1}{n \cdot t_{FF} + T_I + t_G} = \frac{1}{3 \cdot 10 \text{ ns} + 5 \text{ ns} + 3 \text{ ns}} = 26 \text{ MHz}$$
 (Standard-TTL-Bausteine)

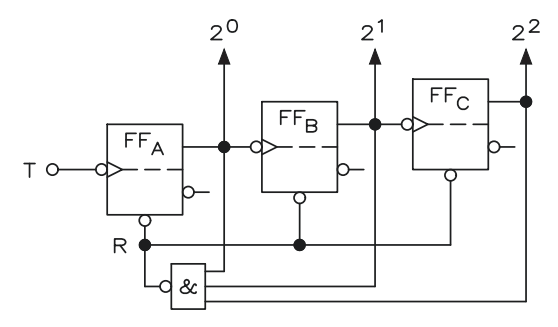
# ■ Frequenzteiler und Zähler 1:6



	Zeit	$2^{0}$	21	$2^2$
0	$t_n$	0	0	0
1	$t_{n+1}$	1	0	0
5	$t_{n+5}$	1	0	1
		0	1	1
0	$t_{n+6}$	0	0	0
1	$t_{n+7}$	1	0	0

326 15 Digitaltechnik

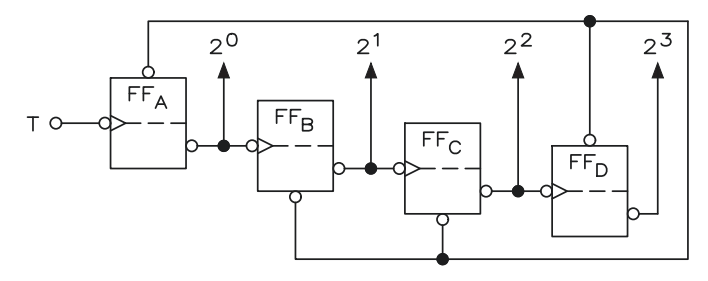
# • Frequenzteiler und Zähler 1:7



	Zeit	20	21	$2^{2}$
0	$t_n$	0	0	0
1	$t_{n+1}$	1	0	0
6	$t_{n+6}$	0	1	1
		1	1	1
0	$t_{n+7}$	0	0	0
1	$t_{n+8}$	1	0	0

← NAND-Bedingung erfüllt (≈ 5 ns)

# Frequenzteiler und Zähler 1:10



	Zeit	$2^{0}$	21	$2^{2}$	$2^3$
0	$t_n$	1	0	0	0
1	$t_{n+1}$	1	0	0	0
8	$t_{n+8}$	0	0	0	1
9	$t_{n+9}$	1	0	0	1
	".,	0	1	0	1
0	$t_{n+10}$	0	0	0	0
1	$t_{n+1}$	1	0	0	0

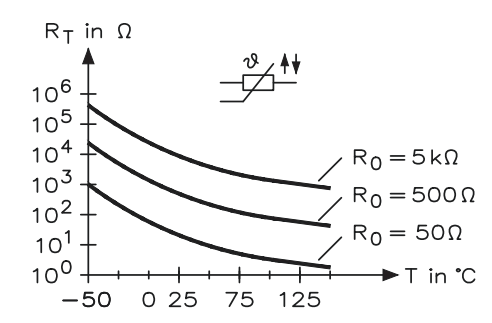


Sensorik 16

In der Sensorik wird eine nicht elektrische Größe in ein elektrisches Signal umgewandelt und über ein Ausgabegerät angezeigt. Man unterscheidet zwischen passiven und aktiven Messwertaufnehmern. Passive Sensoren benötigen eine Hilfsenergie, um den Messwert in ein elektrisches Signal umzuformen. Bei aktiven Sensoren ist keine Hilfsenergie notwendig, da diese direkt den Messwert in ein elektrisches Signal umsetzen können.



## 16.1 NTC-Widerstände (Heißleiter)



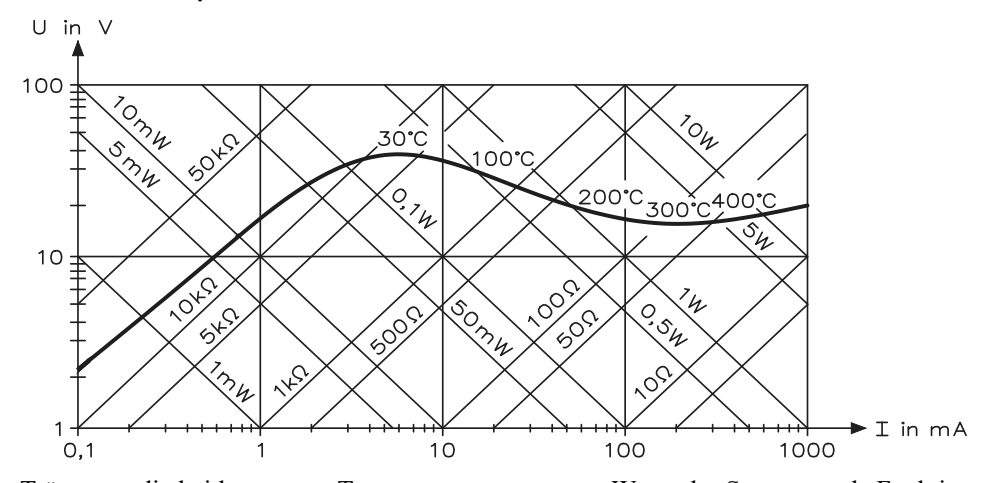
$$\begin{split} R_{NTC} &= R_{20\,^{\circ}\text{C}} \cdot e^{-B\left(\frac{1}{g_{_{W}}} - \frac{1}{g_{_{k}}}\right)} \\ R_{NTC} &= R_{20\,^{\circ}\text{C}} \cdot e^{\alpha_{R} \cdot \Delta g \cdot \frac{g_{_{k}}}{g_{_{W}}}} \\ \alpha_{R} &= \frac{-B}{g_{_{W}}^{2}} \\ \Delta \mathcal{G} &= \mathcal{G}_{_{W}} - \mathcal{G}_{_{k}} \\ R_{_{T}} &= \sqrt{R_{_{W}} - R_{_{k}}} \\ &+ \cup_{_{D}} \\ \end{split}$$

- B Materialkonstante -2,5 %/K...-5,5 %/K
- $\alpha_R$  Temperaturkoeffizient
- $\mathcal{G}_{w}$  Warmwiderstand
- $g_k$  Kaltwiderstand
- $\Delta 9$  Differenztemperatur
- $R_{\tau}$  Widerstand nach  $\tau$  Sekunden nach Abschalten

$$U_a = U_b \cdot \frac{R_{NTC}}{R_1 + R_{NTC}}$$

$$R_{NTC} \text{ Widerstand in } \Omega$$

### **Mess- und Kompensations-NTC**



Trägt man die bei konstanter Temperatur gewonnenen Werte der Spannung als Funktion des Stromes auf, so erhält man die Spannungs-Strom-Kennlinie des Heißleiters. Es wird zwischen drei Bereichen unterschieden:

- a) Im Bereich des geradlinigen Anstiegs wird der Widerstand nur von der Umgebungstemperatur bestimmt, da die zugeführte elektrische Leistung für eine Eigenerwärmung nicht ausreicht (Temperaturmessungen).
- b) Ein Bereich verzögerten Anstieges kurz vor dem Spannungsmaximum. Hier ist die Eigenerwärmung des NTC durch die aufgenommene elektrische Leistung und den Widerstandswert zu bestimmen.
- c) Bei steigender Leistung sinkt der Widerstandswert des Heißleiters. Hier ist die Temperatur des NTC höher als die der umgebenden Luft.

$$\begin{split} U_{\text{max}} &= \sqrt{G \cdot R_{20^{\circ}C} \cdot \Delta \mathcal{G}_{\text{max}}} \\ I_{\text{max}} &= \sqrt{\frac{G \cdot \Delta \mathcal{G}_{\text{max}}}{R_T}} \\ P &= G \cdot (\mathcal{G} - \mathcal{G}_U) \end{split}$$

G Wärmeableitungskonstante W/K  $U_{\text{max}}$  zulässige Spannung für Mess- und

Kompensations-NTC

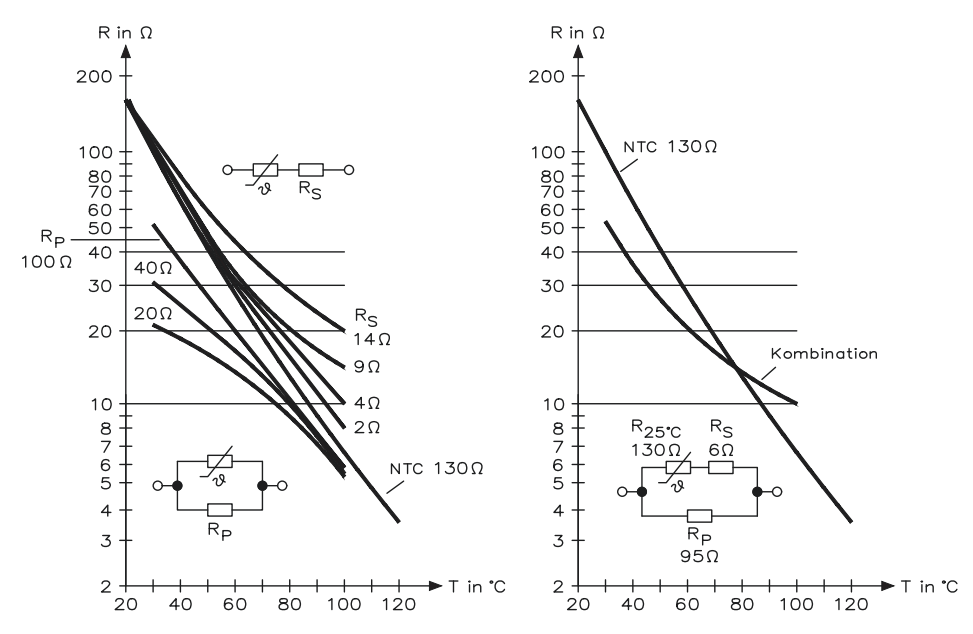
 $I_{\text{max}}$  zulässiger Strom für Mess- und Kompen-

sations-NTC

 $\Delta \theta_{\text{max}}$  zulässige Eigenerwärmung in K

 $g_U$  Umgebungstemperatur in K

### Kennlinienbeeinflussung

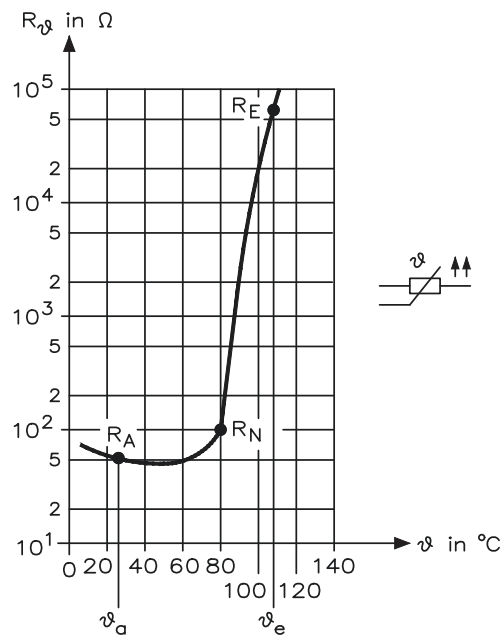


Diese Maßnahme der Kennlinienbeeinflussung ist erforderlich, wenn spezielle Kennlinien gewünscht werden. Im Wesentlichen ist die Reihen- und Parallelschaltung eines linearen Widerstandes sowie die Kombination beider Möglichkeiten mit einem NTC gegeben. Für diese drei Möglichkeiten ist der Kennlinienverlauf gezeigt. Die linke Schaltung zeigt die Reihen- und Parallelschaltung und die Kombination beider Möglichkeiten mit einem NTC-Widerstand  $R_{25}=130~\Omega$ . Der gewünschte Kennlinienverlauf ergibt sich aus dem am nächsten gelegenen Verlauf eines NTC-Typs. Der Reihenwiderstand beeinflusst im Besonderen den Kennlinienverlauf bei hohen Temperaturen, während die Parallelschaltung eine Beeinflussung bei niedrigen Temperaturen ergibt. Die Parallelschaltung und die Serienschaltung ergeben demgemäß eine Beeinflussung des oberen und unteren Kennlinienteiles. Die rechte Schaltung zeigt eine Reihen- und Parallelschaltung.

$$R_P = R_{\mathcal{G}} \cdot \frac{B - 2 \cdot \mathcal{G}}{B + 2 \cdot \mathcal{G}}$$

330 Sensorik 16

#### **PTC-Widerstand (Kaltleiter)** 16.2



$$R_N = 2 \cdot R_A$$

$$\alpha_R = \frac{\ln\left(\frac{R_1}{R_2}\right)}{g_e - g_a}$$

$$R_2 \approx R_1 \cdot e^{\alpha_R(\theta_N - \theta_e)}$$

 $R_1$ ,  $R_2$  Widerstandswerte bei  $\mathcal{G}_a$  und  $\mathcal{G}_e$ , oberhalb von  $\mathcal{G}_N$ 

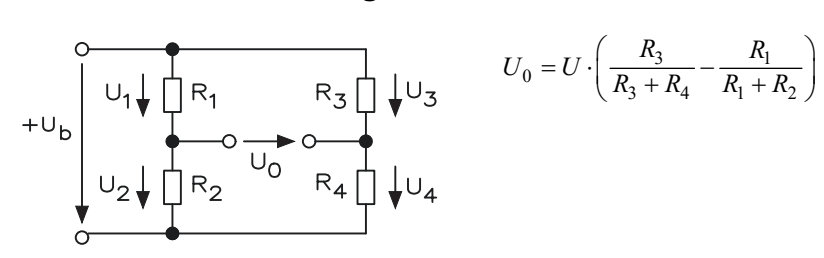
Anfangswiderstand bei 920 °C oder 925 °C  $R_A$ 

Nennwiderstand bei  $\mathcal{G}_N$ 

 $g_{\!\scriptscriptstyle N}$ Umschlagstemperatur

Temperaturbeiwert oberhalb  $\mathcal{G}_N$ 

#### 16.3 Brückenschaltung



$$U_0 = U \cdot \left( \frac{R_3}{R_3 + R_4} - \frac{R_1}{R_1 + R_2} \right)$$

Die Brücke ist abgeglichen, wenn  $U_0 = 0$  ist,  $\frac{R_1}{R_2} = \frac{R_3}{R_4}$  oder  $\frac{R_1}{R_2} = \frac{R_2}{R_4}$ 

$$\frac{R_1}{R_2} = \frac{R_3}{R_4}$$
 oder  $\frac{R_1}{R_3} = \frac{R_2}{R_4}$ 

Die größtmögliche Änderung wird erreicht, wenn für das Widerstandsverhältnis gilt:

$$R_1 = R_2 = R_3 = R_4 = R$$
 (R = Grundwiderstand)

#### Viertelbrücke:

 $R_2$  oder  $R_3$  positiv veränderlich:  $R_1$  oder  $R_4$  positiv veränderlich:

$$R_2 = R + \Delta R \text{ oder } R_3 = R + \Delta R$$
  $R_1 = R + \Delta R \text{ oder } R_4 = R + \Delta R$ 

$$U_0 \approx U_b \cdot \left( +\frac{1}{4} \right) \cdot \frac{\Delta R}{R} \qquad \qquad U_0 \approx U_b \cdot \left( -\frac{1}{4} \right) \cdot \frac{\Delta R}{R}$$

 $R_2$  oder  $R_3$  negativ veränderlich:  $R_1$  oder  $R_4$  negativ veränderlich:

$$R_2 = R - \Delta R$$
 oder  $R_3 = R - \Delta R$   $R_1 = R - \Delta R$  oder  $R_4 = R - \Delta R$ 

$$U_0 \approx U_b \cdot \left(-\frac{1}{4}\right) \cdot \frac{\Delta R}{R} \qquad \qquad U_0 \approx U_b \cdot \left(+\frac{1}{4}\right) \cdot \frac{\Delta R}{R}$$

### Halbbrücke:

 $R_2$  und  $R_3$  positiv veränderlich:  $R_2$  positiv und  $R_4$  negativ veränderlich:

$$R_2 = R + \Delta R$$
 und  $R_3 = R + \Delta R$   $R_2 = R + \Delta R$  und  $R_4 = R - \Delta R$ 

$$U_0 \approx U_b \cdot \left( +\frac{1}{2} \right) \cdot \frac{\Delta R}{R} \qquad \qquad U_0 \approx U_b \cdot \left( +\frac{1}{2} \right) \cdot \frac{\Delta R}{R}$$

 $R_2$  positiv und  $R_3$  negativ veränderlich:  $R_1$  negativ und  $R_2$  positiv veränderlich:

$$R_2 = R + \Delta R$$
 und  $R_3 = R - \Delta R$   $R_1 = R - \Delta R$  und  $R_2 = R + \Delta R$ 

$$U_0 \approx U_b \cdot \left(-\frac{1}{4}\right) \cdot \left(\frac{\Delta R}{R}\right)^2 \qquad U_0 \approx U_b \cdot \left(+\frac{1}{2}\right) \cdot \frac{\Delta R}{R}$$

### Vollbrücke:

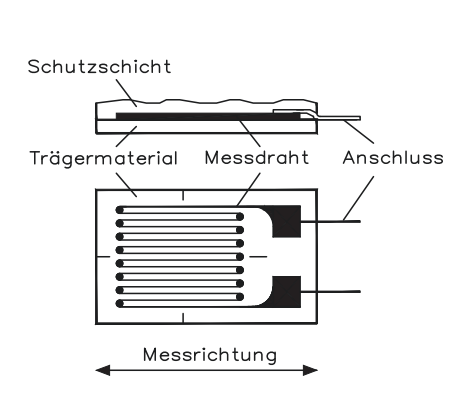
 $R_2$  und  $R_3$  positiv,  $R_1$  und  $R_4$  negativ veränderlich:

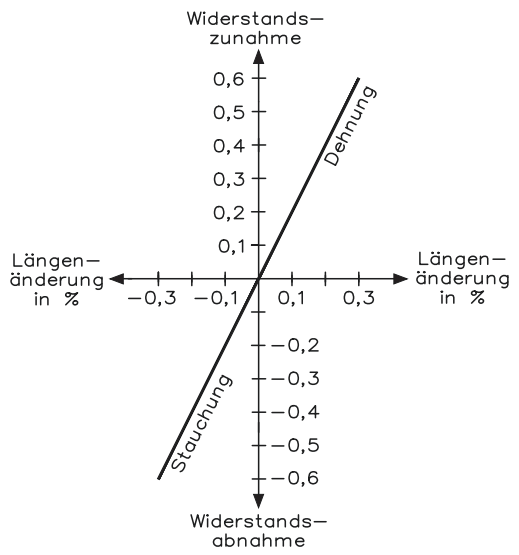
$$R_2 = R + \Delta R, R_3 = R + \Delta R, R_1 = R - \Delta R, R_4 = R - \Delta R$$

$$U_d \approx U_b \cdot \frac{\Delta R}{R}$$

332 16 Sensorik

#### Dehnungsmessstreifen 16.4





$$\varepsilon = \frac{\Delta l}{l}$$

$$\sigma = \frac{F}{A}$$

$$\sigma = \varepsilon \cdot E$$

$$K = \frac{\Delta R}{R}$$

$$\frac{\Delta R}{R} = K \cdot \varepsilon$$

$$\frac{\Delta R}{R} = K \cdot \frac{\Delta l}{l}$$

$$\Delta R = \frac{R \cdot K \cdot \Delta l}{l}$$

ε Dehnung und Stauchung des DMS

K K-Faktor des Messstreifens

FLängskraft

Länge des DMS

mechanische Spannung N/mm<sup>2</sup>

 $\Delta R/R$ relative Widerstandsänderung

 $\Delta l$ Längenänderung

### Viertelbrücke:

 $R_2$  oder  $R_3$  veränderlich:

 $R_1$  oder  $R_4$  veränderlich:

$$U_0 \approx U_b \cdot \left( +\frac{1}{4} \right) \cdot K \cdot \varepsilon \qquad \qquad U_0 \approx U_0 \cdot \left( +\frac{1}{4} \right) \cdot K \cdot \varepsilon$$

$$U_0 \approx U_b \cdot \left(-\frac{1}{4}\right) \cdot K \cdot \varepsilon$$

### Halbbrücke:

 $R_1$  und  $R_4$  veränderlich:

 $R_2$  und  $R_3$  veränderlich:

$$U_0 \approx U_b \cdot \left(-\frac{1}{4}\right) \cdot K \cdot (\varepsilon_1 + \varepsilon_4) \qquad \quad U_0 \approx U_b \cdot \left(+\frac{1}{4}\right) \cdot K \cdot (\varepsilon_2 + \varepsilon_3)$$

$$U_0 \approx U_b \cdot \left( +\frac{1}{4} \right) \cdot K \cdot (\varepsilon_2 + \varepsilon_3)$$

Sind  $R_1$  und  $R_2$  oder  $R_3$  und  $R_4$  veränderlich, heben sich die Änderungen auf!

### Vollbrücke:

Alle Widerstände sind veränderlich:

$$U_0 \approx U_b \cdot \left( +\frac{1}{4} \right) \cdot K \cdot \left( -\varepsilon_1 + \varepsilon_2 + \varepsilon_3 - \varepsilon_4 \right)$$

Werkstoffe für Dehnungsmessstreifen:

- Konstantan: Legierung aus 60 % Kupfer (Cu) und 40 % Nickel (Ni)

K-Faktor: K = 2,1

zulässige Dehnung:  $\varepsilon_{\text{max}} = 10 \frac{\text{mm}}{\text{m}}$ 

Temperaturbereich: -75 °C bis 240 °C

- Karma: Legierung aus Nickel (Ni) und Chrom (Cr)

K-Faktor: K = 2,2

Temperaturbereich: bis 300 °C

- Platin-Iridium bzw. Platin: Legierung aus Nickel (Ni) und Chrom (Cr)

K-Faktor: K = 26

Temperaturbereich: bis 1000 °C

- Querrichtungsausdehnung (Poisson-Zahl):

Wird in Längsrichtung ein Werkstück gedehnt oder gestaucht, oder in Querrichtung zur anliegenden Kraft, spricht man von einer Dehnung oder Stauchung.

$$\varepsilon_q = \frac{\Delta d}{d}$$
 
$$\varepsilon_q \quad \text{Querrichtungsdehnung (ohne Einheit)}$$
 
$$\Delta d \quad \text{Querlängenänderung in m}$$
 
$$d \quad \text{Querlänge in m}$$
 
$$\mu = -\frac{\varepsilon_d}{\varepsilon}$$
 
$$\mu = -\frac{\varepsilon_d}{\varepsilon}$$
 
$$\mu \quad \text{Poisson-Zahl (ohne Einheit)}$$
 
$$\varepsilon \quad \text{Dehnung (ohne Einheit)}$$

Mechanische Spannung: Greift an einem Werkstück eine Kraft an, entsteht im Werkstück eine mechanische Spannung.

$$\sigma = \frac{F}{A} \qquad \qquad \sigma \qquad \text{mechanische Spannung in N/mm}^2$$

$$F \qquad Kraft \ N$$

$$\sigma = \varepsilon \cdot E \qquad \varepsilon \qquad \text{Dehnung (ohne Einheit)}$$

$$M = F \cdot l \qquad E \qquad \text{Elastizitätsmodul in N/mm}^2$$

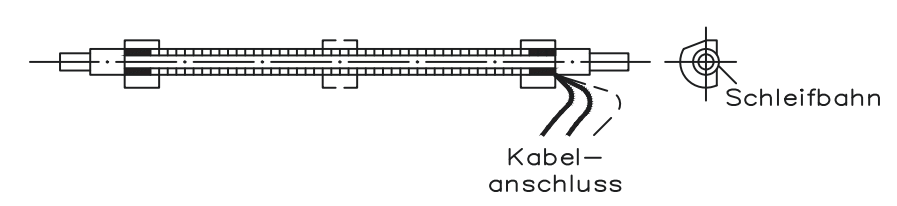
$$W_Q = \frac{b \cdot h^2}{6} \qquad M \qquad \text{Biegemoment in Nm}$$

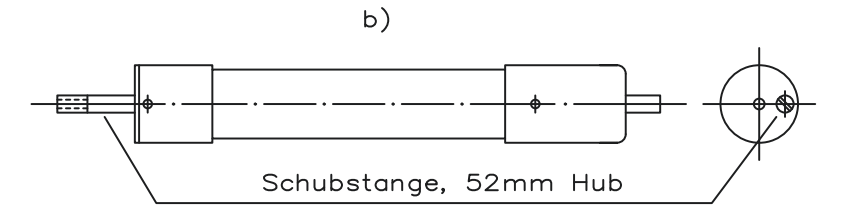
$$l \qquad \text{Länge des Hebels in m}$$

$$W_Z = \frac{\pi \cdot d^2}{32} \qquad W_{C} \qquad$$

# 16.5 Ohm'scher Weg- und Winkelaufnehmer

a)





Idealer Fall  $(R_b \rightarrow \infty)$ :

$$U_a = \frac{U \cdot \Delta x}{x} = \frac{U \cdot R_2}{R_1 + R_2} = \frac{U \cdot R_2}{R_g}$$

 $\Delta x$  Längenänderung in m

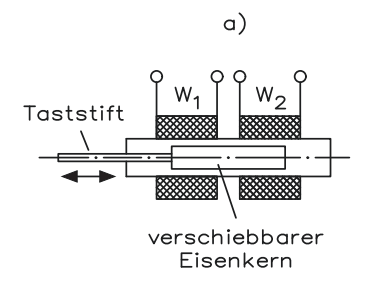
x Gesamtlänge des Schleifers

 $R_1$ ,  $R_2$  Teilwiderstände

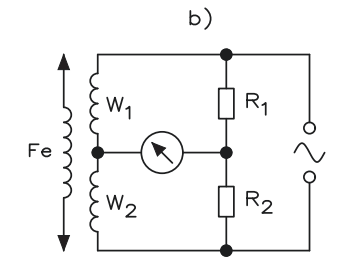
 $R_g$  Gesamtwiderstand

*R<sub>b</sub>* Belastungswiderstand

# 16.6 Induktiver Weg- und Winkelaufnehmer



$$L = \frac{N^2 \cdot \mu_0 \cdot A_{Kern}}{l_i}$$



 $W_1$  Vergleichsspule

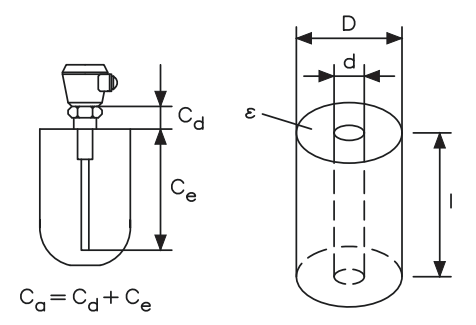
W<sub>2</sub> Messwertaufnehmer

N Anzahl der Windungen

*l<sub>i</sub>* Spulenlänge ohne Eisenkern in m

 $\mu_0$  magnetische Feldkonstante 1,257·10<sup>-6</sup>  $\frac{\text{Vs}}{\text{Am}}$ 

# 16.7 Kapazitiver Weg- und Winkelaufnehmer



Änderung des Plattenabstandes:

$$C = \frac{\varepsilon_r \cdot l}{\log\left(\frac{D}{d}\right)} \qquad E = \frac{C}{d}$$

Relative Kapazitätsänderung:

Absolute Kapazitätsänderung:  $C = \frac{\varepsilon_0 \cdot \varepsilon_r \cdot A}{d + \Delta d}$ 

 $\frac{\Delta C}{C} = \frac{\Delta d}{d}$ 

 $\varepsilon_r$  Dielektrizitätszahl

E Empfindlichkeit

ΔC Kapazitätsänderung

C Kapazität in F

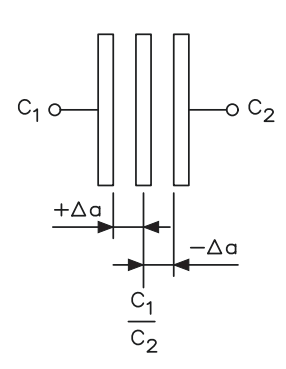
Δd Plattenabstandsänderung

 $\varepsilon_0$  elektrische Feldkonstante

$$8,86 \cdot 10^{-12} \frac{As}{m}$$

A Plattenfläche in m

### Differentialkondensator

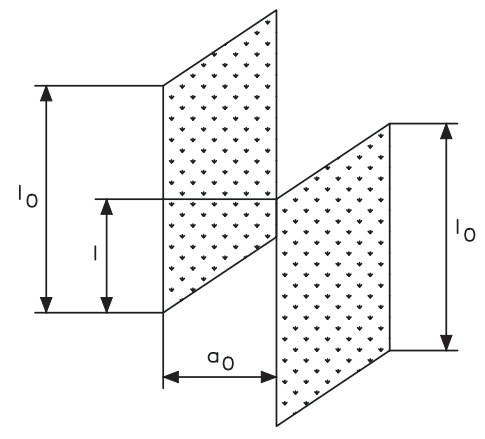


Der Differentialkondensator wird in einer Halbbrücke verwendet:

$$\underline{U}_d = -\underline{U} \cdot \frac{\Delta a}{2 \cdot a}$$

 $\Delta a$  Plattenabstand zwischen mittlerer und äußerer Platte

b Breite der Platte in m



$$l = l_0 - \Delta l$$

$$C = \frac{\varepsilon_0 \cdot \varepsilon_r \cdot b \cdot l(l_0 - \Delta l)}{a_0}$$

$$C = C_0 \cdot \frac{l}{I_0}$$

 $l_0$  Höhe der Platte in m

l Plattenfläche in m

 $\varepsilon$  elektrische Feldkonstante

$$8,86 \cdot 10^{-12} \frac{\text{As}}{\text{m}}$$

 $\varepsilon_r$  Dielektrizitätszahl

$$\frac{1}{C} = \frac{d_1}{\varepsilon_0 \cdot A} + \frac{d_2}{\varepsilon_0 \cdot \varepsilon_r \cdot A}$$

$$\frac{1}{C} = \frac{1}{\varepsilon_0 \cdot A} + \left(d_1 + \frac{d_2}{\varepsilon_r}\right) \text{ mit } d_1 = d - d_2$$

$$C = \frac{\varepsilon_0 \cdot A}{d - d_2 + \frac{\varepsilon_r}{d_2}}$$

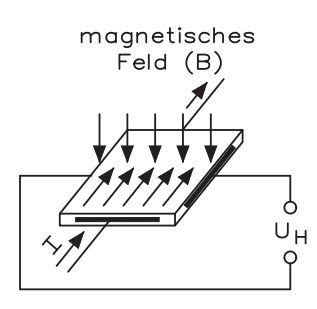
A Plattenfläche in m

d Gesamtabstand der Platten in m

 d<sub>1</sub> Luftspalt zwischen Platte und Dielektrikum in m

d<sub>2</sub> Dicke des Dielektrikums in m

# 16.8 Hallgenerator



$$U_H = \mathbf{k} \cdot \frac{I \cdot B}{d}$$

 $U_H$  Hallspannung

k Hallkonstante

I Längsstrom im Hallplättchen

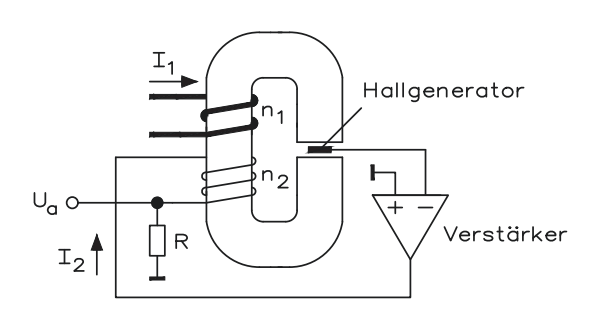
B Flussdichte senkrecht auf Hallplättchen

d Dicke des Hallplättchens

k Indiumantimonid (InSb)  $U_H \approx 240 \cdot 10^{-6} \text{ m}^3/\text{As}$ 

k Indiumarsenid (InAs)  $U_H \approx 120 \cdot 10^{-6} \text{ m}^3/\text{As}$ 

16.9 Feldplatte 337



$$B = \mu_0 \cdot \frac{I \cdot n}{\delta + \frac{I_{\text{Fe}}}{\mu}}$$

I zu messender Strom

 $\delta$  Luftspalt

*I*<sub>Fe</sub> Länge des Eisenwegs

In der Praxis lässt sich die Gleichung des Eisens  $I_{\rm Fe}/\mu$  gegenüber dem Luftspalt  $\delta$  vernachlässigen:

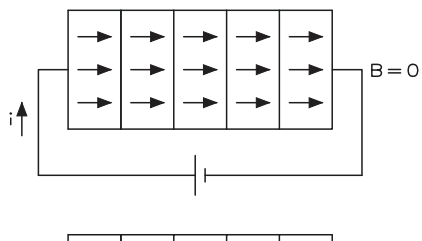
$$B = \mu_0 \cdot \frac{I}{\delta}$$

Die Hallspannung errechnet sich aus  $U_H = K_{B0} \cdot I_{In} \cdot B$ 

und die Ströme sind  $I_1 \cdot n_1 = I_2 \cdot n_2 \Rightarrow I_2 = \frac{n_1}{n_2} \cdot I_1$ 

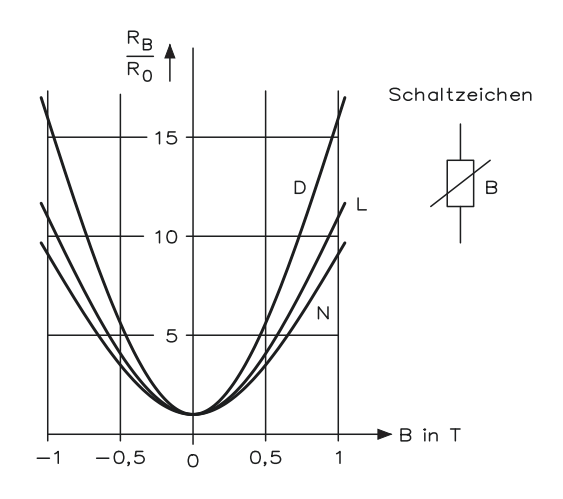
$$U_a = R \cdot I_2 = P \cdot \frac{n_1}{n_2} \cdot I_1$$

# 16.9 Feldplatte





$$\Delta I = \frac{U}{R_B - R_0}$$



 $R_0$  Widerstand ohne Magnetfeld  $R_B$  Widerstand bei Flussdichte

Der Grundwiderstand  $R_0$  der Feldplatte wird durch die Dotierungsgrade des InSb-NiSb-Materials bestimmt:

– D-Material:  $\sigma = 200 \ (\Omega \cdot \text{cm})^{-1} \ (\text{undotiert}), \quad R_0 \approx 100 \ \Omega \ (25 \ ^{\circ}\text{C})$ 

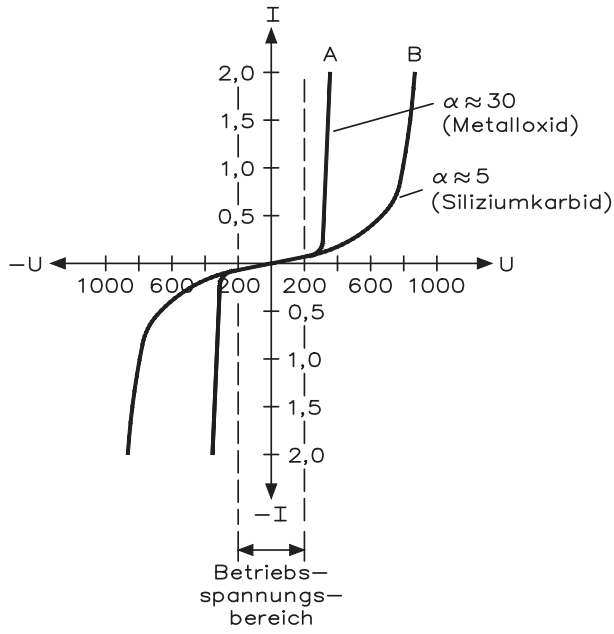
- L-Material:  $\sigma = 550 \ (\Omega \cdot \text{cm})^{-1}$   $R_0 \approx 80 \ \Omega$ 

- N-Material:  $\sigma = 850 \ (\Omega \cdot \text{cm})^{-1}$   $R_0 \approx 100 \ \Omega$ 

	$\frac{R_{75}}{R_{25}}$ (%) für $B = 0T$			$\frac{R}{R}$	$\frac{75}{25}$ (%) für $B =$	1 <i>T</i>
Material	min.	Mittelwert	max.	min.	Mittelwert	max.
D	45	47	55	28	28	35
L	74	84	94	53	63	75
N	90	95	99	76	82	89

Die Mäanderstreifenlänge beträgt ca. 80 μm und die Mäanderdicke ist etwa 25 μm.

### 16.10 VDR-Widerstand



$$U = C \cdot I^{\beta}$$

$$I = k \cdot U^{\gamma}$$

$$\beta = \frac{\Delta U}{\Delta I} = \tan \varphi$$

$$\beta = \frac{1}{\gamma} = \cot \varphi$$

C Formkonstante 15...1000

 $\beta$  Materialkonstante 0,14...0,5

φ Steigungswinkel der Kennlinie

k Kehrwert von C

 $\alpha_C$  -0,0012...-0,0018

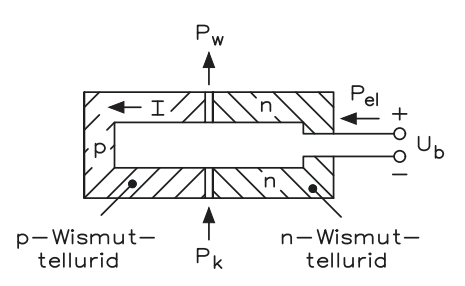
$$\begin{split} R &= \frac{U}{I} = \frac{C \cdot I^{\beta}}{I} = \frac{C}{I^{(1-\beta)}} \\ R &= \frac{U}{I} = \frac{U}{k \cdot U^{\gamma}} = \frac{1}{k \cdot U^{(\gamma-1)}} \\ P_{v} &= U \cdot I = C \cdot I^{(1+\beta)} \approx k \cdot U^{(1+\beta)} \\ C_{w} &= C_{k} (1 + \alpha_{C} \cdot \theta) \end{split}$$

 $\gamma$  Kehrwert von  $\beta$   $P_{\nu}$  Verlustleistung

 $C_{\rm w}$  Konstante warm

C<sub>k</sub> Konstante kalt

### 16.11 Peltier-Batterie



$$\begin{split} P_{w} &= \alpha \cdot I \cdot \mathcal{G}_{w} \\ P_{k} &= \alpha \cdot I \cdot \mathcal{G}_{k} \\ P_{v} &= I^{2} \cdot R \\ \Delta \mathcal{G} &= \mathcal{G}_{w} - \mathcal{G}_{k} \\ P_{el} &= P_{w} - P_{k} + P_{v} = \alpha \cdot I(\mathcal{G}_{w} - \mathcal{G}_{k}) + P_{v} \\ P_{el} &= \alpha \cdot I \cdot \Delta \mathcal{G} + I^{2} \cdot R \end{split}$$

 $P_w$  abzuführende Wärmeleistung

 $P_k$  Kälteleistung

 $P_{\nu}$  Verlustwärme im Stromkreis

 $\mathcal{G}_{w}$  Warmtemperatur

 $\mathcal{G}_k$  Kalttemperatur

 $\Delta \theta$  Temperaturdifferenz

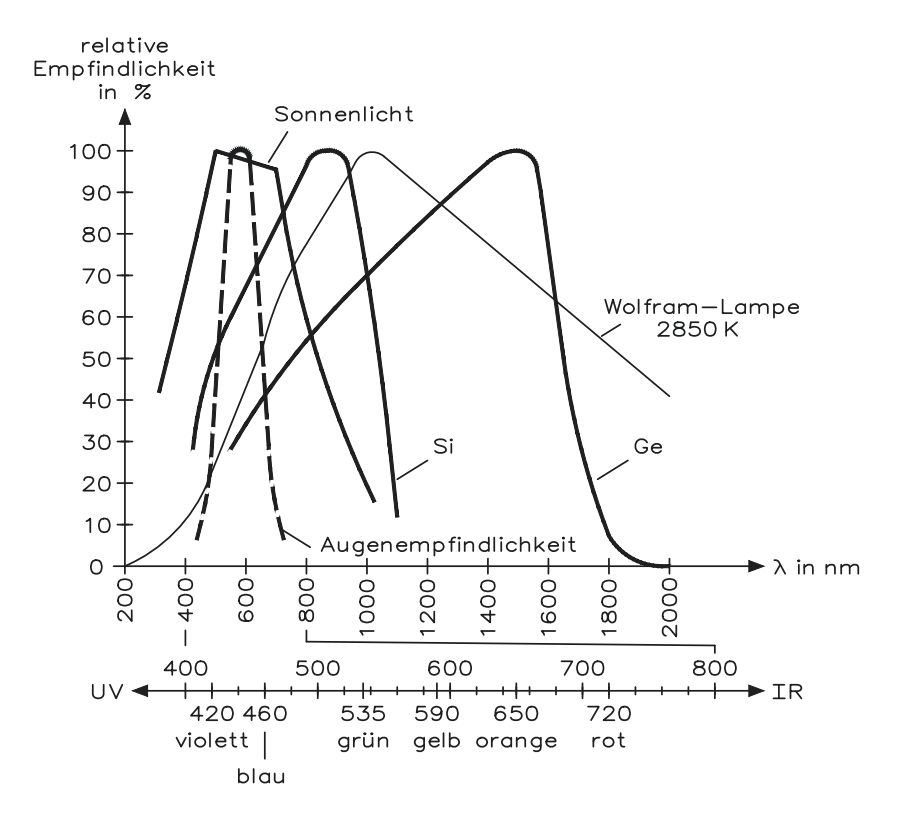
 $\alpha$  Thermokraft in V/K

# 16.12 Beleuchtungsgrößen und Einheiten

Lichtstrom Φ Lumen lm Lichtmenge Q Lumenstunde lm h  $Q = \Phi \cdot t$ Lichtstärke I Candela cd  $I = \Phi/\Omega$ Lux lm/m<sup>2</sup>  $E = \Phi/A$ Beleuchtungsstärke cd/cm<sup>2</sup>  $L = \Phi/(\Omega \cdot A \cdot \cos \varepsilon)$ Leuchtdichte (Selbststrahler)  $cd/m^2$ (Flächen) Belichtung H lx s  $H = E \cdot t$ Lichtausbeute  $\eta$ lm/W  $n = \Phi/P$ Reflexionsgrad 1

Absorptions grad  $\alpha$  1  $\rho + \tau + \alpha = 0$ Raumwinkel  $\Omega$  sr (Steradiant)  $\Omega = A/r^2$ 

# Spektraler Bereich von Sonnenlicht und Glühlampe



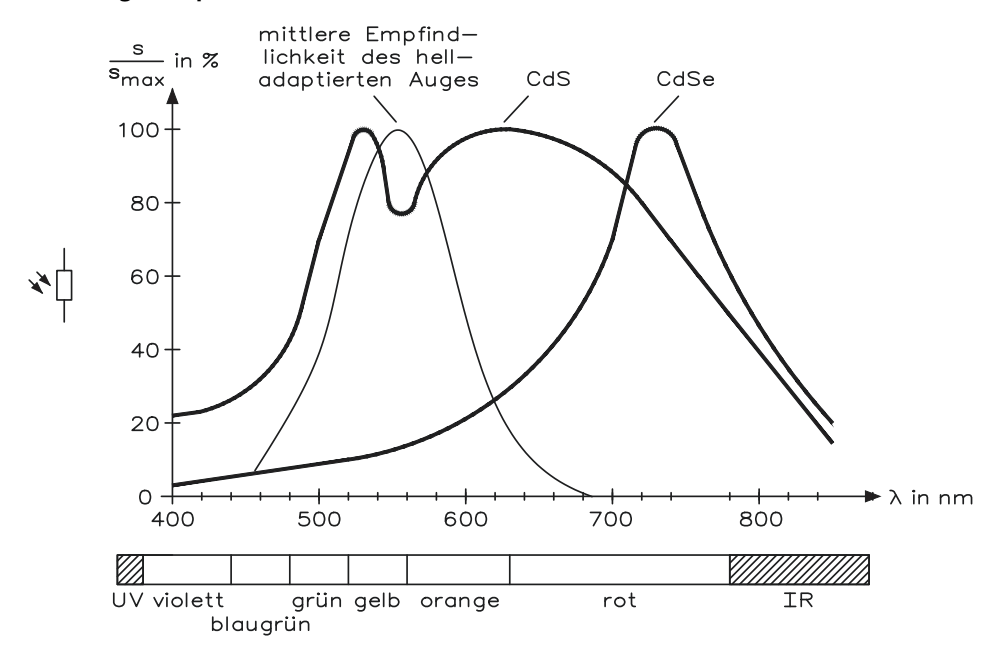
$$\lambda = \frac{c}{f} = \frac{3 \cdot 10^8 \text{ m/s}}{f}$$

- λ Lichtwellenlänge
- c Lichtgeschwindigkeit 300 000 km/s
- f Frequenz

16.13 Fotowiderstände 341

### 16.13 Fotowiderstände

### LDR = Light Dependent Resistor



$$I_F = \frac{n \cdot e \cdot \tau}{T}$$

$$I_D = \frac{U_b}{R_D}$$

$$P_v = I_F^2 \cdot R_i = \frac{U_F^2}{R_i}$$

$$I_F = \sqrt{\frac{P_v}{R_i}}$$

$$U_F = I_F \cdot R_i$$

$$U_a = U_b - U_F$$

 $I_F$  Fotostrom (beleuchtungsabhängig) in A

 $I_D$  Dunkelstrom (Kurzschlussstrom) in A

n Anzahl der Ladungsträger in s

e Elementarladung in As

T Lebensdauer der Ladungsträger in s

 $R_i$  Innenwiderstand

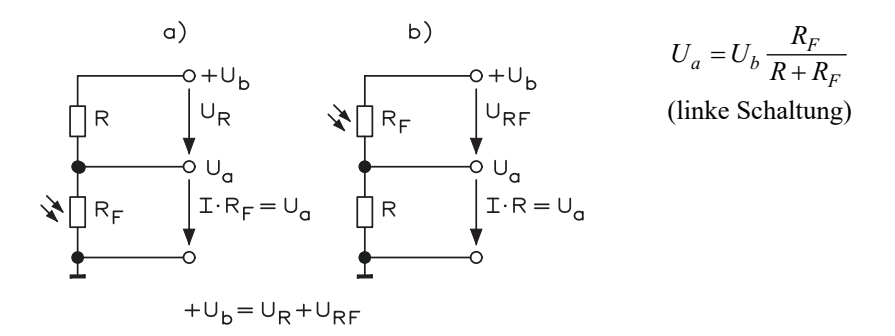
R<sub>D</sub> Dunkelwiderstand

### Chemische Materialien und Bereich:

CdS = Cadmiumsulfid sichtbares Licht

CdSe = Cadmiumselenid sichtbares Licht und Infrarot-Bereich
PbS = Bleisulfid Infrarot-Bereich (ca. 3000 nm)
PbSe = Bleiselenid Infrarot-Bereich (ca. 7000 nm)

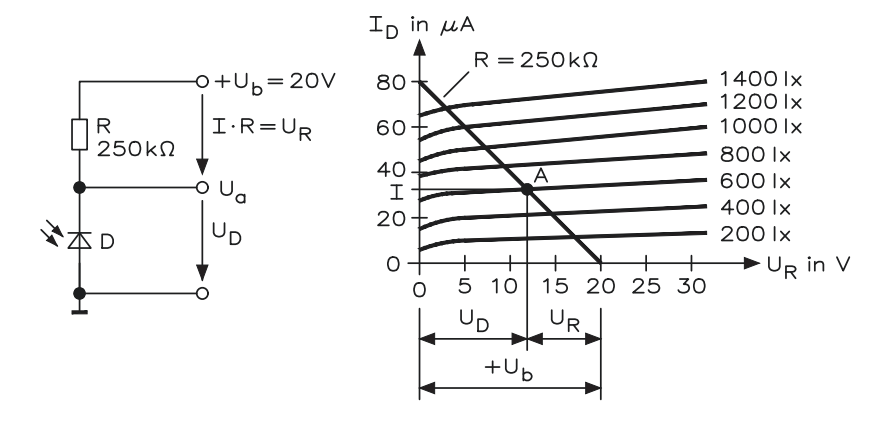
InSb = Indiumantimonid



Unter dem Dunkelwiderstand wird der hochohmige Widerstand verstanden, der sich bei völliger Dunkelheit und nach t > 30 Minuten einstellt. Dieser erreicht Werte bis zu  $> 200~\mathrm{M}\Omega$ . Bei den handelsüblichen Widerständen treten Werte zwischen 1 M $\Omega$  bis  $10~\mathrm{M}\Omega$  auf, typisch  $10~\mathrm{M}\Omega$  nach  $30~\mathrm{Minuten}$  Dunkelheit. Zu beachten ist, dass der Widerstand des Bauelementes nach Abschalten des Strahlers während der ersten  $10...30~\mathrm{Sekunden}$  sehr schnell und danach langsamer ansteigt. Die Änderungen des Dunkelwiderstandes werden in den Datenblättern angegeben und z. B. der LDR 05 mit  $\geq 200~\mathrm{k}\Omega$  pro Sekunde nach Abschalten einer  $1000~\mathrm{lx}$  Lichtquelle.

Der Hellwiderstand ist der Widerstand bei einer vorgegebenen Lichtquelle – Normlicht A (2854 K); 300 lx;  $T_u$  = 20 °C – zu verstehen. Auch hier ist mit einer gewissen Trägheit bis zum Erreichen des minimalen Wertes zu rechnen. Hellwiderstände bei 1000 Lux erreichen Werte zwischen 100  $\Omega$  und 3,5 k $\Omega$ . Typische Werte bei 50 Lux liegen zwischen 500  $\Omega$ ...75 k $\Omega$  je nach Typ. Prüfspannungen für den Hellwiderstand liegen zwischen 2...10 Volt.

### 16.14 Fotodioden



Fototransistoren 343 16.15

$$\begin{split} U_F &= I_F \cdot R_i \\ U_a &= U_b - U_F \\ I_D &= \frac{U_b}{R_D} \\ P_v &= I_F^2 \cdot R_i = \frac{U_F^2}{R_i} \\ I_{F\,\text{max}} &= \sqrt{\frac{P_v}{R_i}} \end{split}$$

 $U_{F,\text{max}} = \sqrt{P_v \cdot R_i}$ 

U<sub>b</sub> Betriebsspannung

 $U_F$  Spannung an der Fotodiode

Ua Ausgangsspannung

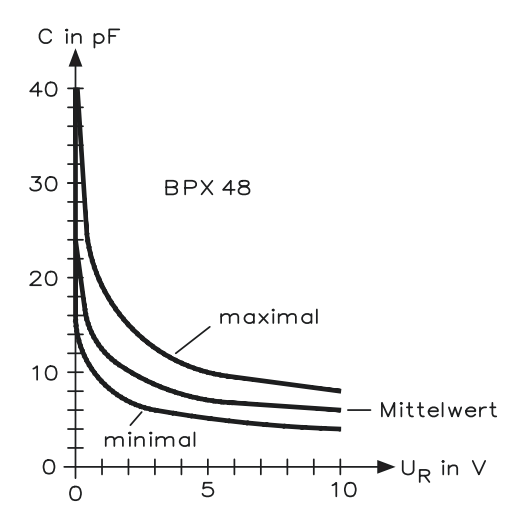
Fotostrom (beleuchtungsabhängig) in mA

Dunkelstrom (Kurzschlussstrom) in μA

Innenwiderstand

 $R_D$  Dunkelwiderstand

Die Kapazität ist abhängig von der Höhe der Sperrspannung  $C_D \approx \sqrt{\frac{1}{U_R}}$ .



#### 16.15 **Fototransistoren**





 $I_C = (1+B)I_{CB0}$  $s = \frac{I_C}{\Phi}$ 

$$e = \frac{I_C}{E}$$

 $e = \frac{I_C}{E}$   $U_{CE} = U_b - U_a = U_b - I_C \cdot R_a$ 

 $P_v = U_{CE} \cdot I_C$ 

*I<sub>C</sub>* Kollektorstrom

*I<sub>CB0</sub>* Kollektor-Reststrom

Gleichstromverstärkung (Emitterschaltung)

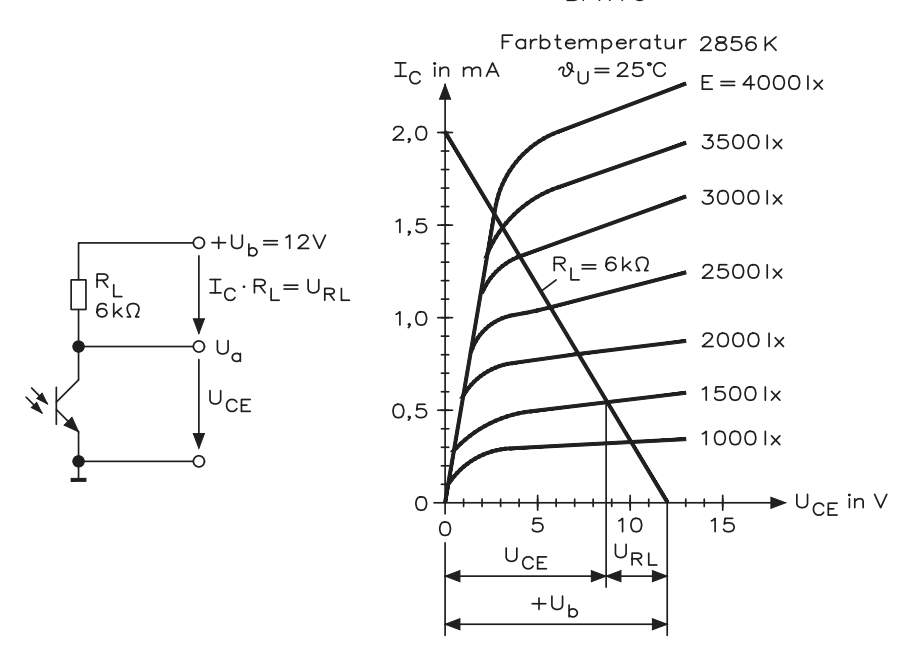
Lichtstrom-Empfindlichkeit in mA/lm

Beleuchtungsstärke-Empfindlichkeit in mA/lx

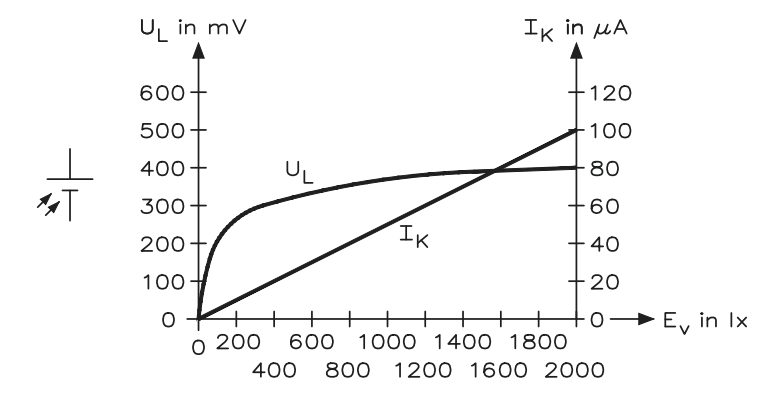
Φ Lichtstrom in lm

EBeleuchtungsstärke in lx

#### BPX 70



# 16.16 Fotoelemente



$$R_i = \frac{U_L}{I_k}$$
 (E = konstant)

$$s = \frac{I_F}{\Phi} = \frac{e}{A}$$

 $I_F$  Fotostrom (beleuchtungsabhängig) in mA

 $U_L$  Leerlaufspannung

 $R_i$  Innenwiderstand (beleuchtungsabhängig)

 $I_k$  Kurzschlussstrom bei  $R_a = 0$ 

Φ Lichtstrom in lm

16.17 Leuchtdioden 345

$$e = \frac{I_F}{E} = s \cdot A$$

$$I_F = e \cdot E = s \cdot \Phi$$

$$U_a = \frac{U_L \cdot R_a}{R_i + R_a}$$

$$U_a = \frac{U_L}{2} \text{ bei } R_i = R_a$$

$$I = \frac{U_a}{R_a} = \frac{U_L}{2 \cdot R_a}$$

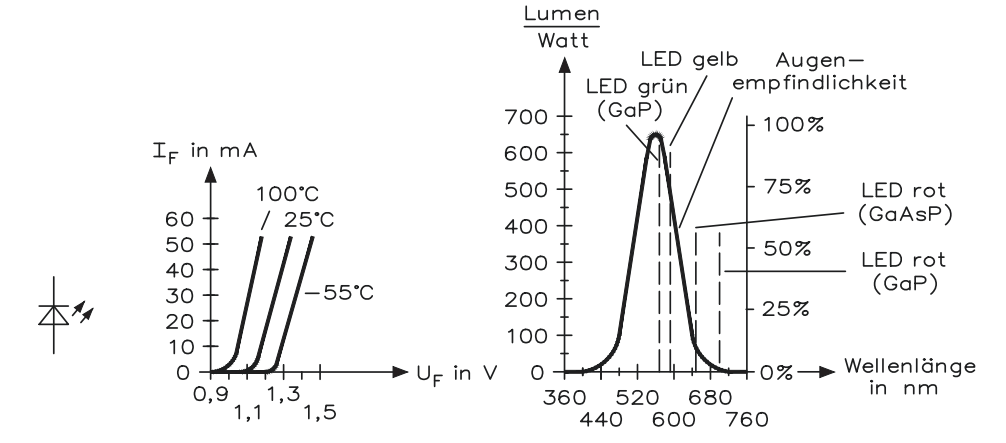
A lichtempfindliche Fläche im cm<sup>2</sup>

s Lichtstrom-Empfindlichkeit in mA/lm

*e* Beleuchtungsstärke-Empfindlichkeit in mA/lx

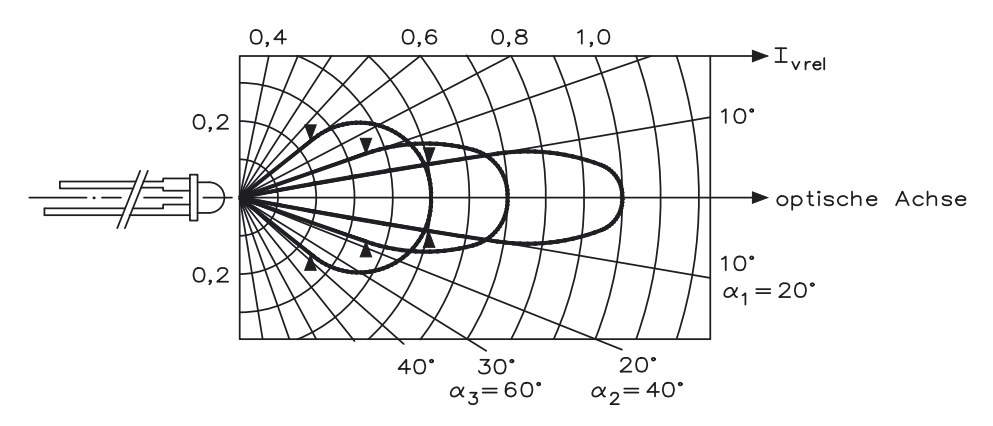
E Beleuchtungsstärke in lx

### 16.17 Leuchtdioden



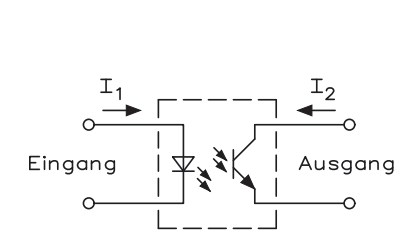
$$R_{v} = \frac{U_{b} - U_{F}}{I_{F}}$$
 
$$P_{v} = U_{F} \cdot I_{F}$$
 
$$\eta = \frac{P_{v}}{U_{F} \cdot I_{F}}$$

 $I_F$  Durchlassstrom 5 mA...100 mA  $P_v$  Verlustleistung 30 mW...100 mW  $U_F \approx 1,6$  V (rote LED)  $U_F \approx 2,2$  V (orange LED)  $U_F \approx 2,4$  V (gelbe LED)  $U_F \approx 2,7$  V (grüne LED)



α = Abstrahlwinkel, Winkel der halben Lichtstärke

# 16.18 Optokoppler



$$v_I = \frac{I_C}{I_F} = \frac{I_2}{I_1}$$
 
$$\ddot{u} = \frac{I_C}{I_F}$$



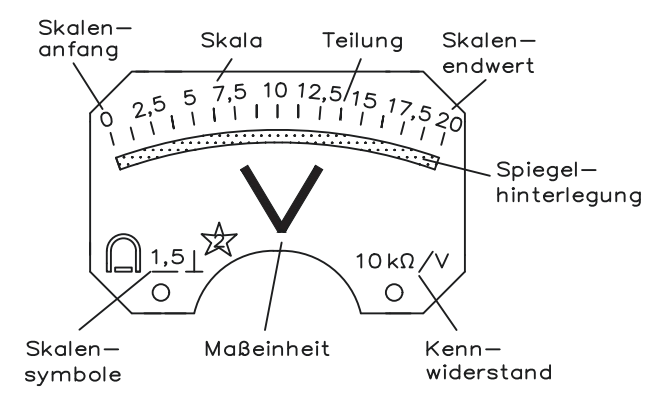
Messtechnik 17

# 17.1 Klasseneinteilung und Bedingungen

Art	Klasse				В	edingungen	gungen			
		Anzeige- fehler	Lage- fehler	Tempe- ratur- fehler	An- wärm- fehler	Fremdfeld- fehler	Fre- quenz- fehler	Span- nungs- fehler	Ein- bau- fehler	
	0,1	±0,1 %	±0,1 %	±0,1 %	-	±3 % bei Drehspul-	±0,1 %	±0,1 %	±0,05 %	
Fein- mess- geräte	0,2	±0,2 %	±0,2 %	±0,2 %	-	instrumenten ±1,5 % bei abgeschirmten	±0,2 %	±0,2 %	±0,1 %	
	0,5 ±0,5 % ±0,5 % ±0,5 % - Unstrumenten ±0,75 %	Instrumenten	±0,5 %	±0,5 %	±0,25 %					
	1	±1 %	±1 %	±1 %	±0,5 %	±6 %	±1 %	±1 %	±0,5 %	
Be- triebs-	1,5	±1,5 %	±1,5 %	±1,5 %	±0,75 %	bei Drehspul- instrumenten	±1,5 %	±1,5 %	±0,75 %	
mess- geräte	räte $\begin{vmatrix} 2.5 \\ \pm 2.5 \% \end{vmatrix}$ $\pm 2.5 \%$ $\begin{vmatrix} \pm 2.5 \\ \pm 2.5 \% \end{vmatrix}$ $\pm 1.25 \%$ bei abgeschirm	bei abgeschirmten Instrumenten	±2,5 %	±2,5 %	±1,25 %					
	5	±5 %	±5 %	±5 %	±2,5 %	±0,75 %	±5 %	±5 %	±2,5 %	

348 17 Messtechnik

### Skalenbeschriftung



### Skalenbeschriftung enthält

Sinnbilder für: und Angaben über:
Stromart Messgeräteklasse
Messwerk Innenwiderstand
Gebrauchslage Einheit der Messgröße

Prüfspannung Ursprung

### Messgeräteklassen

	Feinmess— geräte					iebs- gerät	
Klasse	0,1 0,2 0,5		1	1,5	2,5	5	
Anzeige- fehler ±%	0,1	0,2	0,5	1	1,5	2,5	5

Die Zahlenwerte geben den maximal zulässigen Fehler eines Zeigermessgerätes bezogen auf den Skalenendwert an.

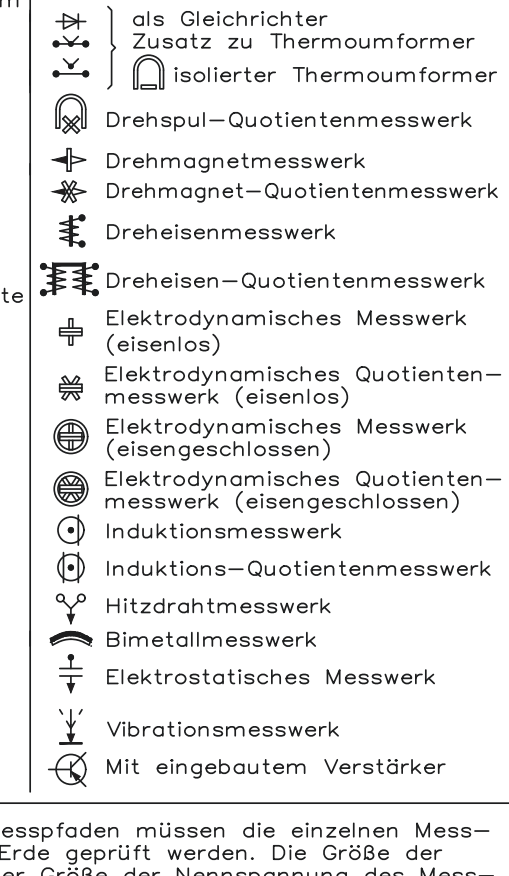
### Skalensinnbilder Für Gleichstrom (DC) → Für Wechselstrom (AC) Für Drehstrom mit einem Messwerk Für Drehstrom mit zwei Messwerken Für Drehstrom mit drei Messwerken Klassenzeichen, bezogen auf 1,5 Messbereich-Endwert 1,5 Klassenzeichen, bezogen auf Skalen länge bzw. Schreibbreite Klassenzeichen, bezogen auf richtigen Wert Senkrechte Nennlage □ Waagerechte Nennlage Schräge Nennlage. /60° (mit Neigungswinkelangabe) ☆ Prüfspannung Hinweis auf getrennten Nebenwiderstand Hinweis auf getrennten Vorwiderstand Magnetischer Schirm

(Eisenschirm)

heachten)!

Elektrostatischer Schirm ast Astatisches Messwerk

Achtung (Gebrauchsanleitung



Drehspulmesswerk

Bei Messgeräten mit mehreren Messpfaden müssen die einzelnen Messpfade gegeneinander und gegen Erde geprüft werden. Die Größe der Prüfspannung ist abhängig von der Größe der Nennspannung des Messgerätes.

Nennspannung bis 40 V, Prüfspannung 500 V: Stern, ohne Zahl Nennspannung 40 V bis 650 V, Prüfspannung 2 kV: Stern, Zahl = 2 Nennspannung 650 V bis 1000 V, Prüfspannung 3 kV: Stern, Zahl = 3 350 Messtechnik 17

#### Genauigkeiten von Messgeräten 17.2



a = angezeigter Wert r = richtiger Wert

Der Fehler ist die Differenz zwischen angezeigtem und richtigem Wert. Die Korrektur ist die negative Fehlerangabe:

Fehler: 
$$F = a - r$$
$$= 17 - 19$$
$$= -2 A$$

Korrektur: K = -2 A= +2 A

Weitere Fehlerquellen:

- a) Zubehörfehler
- b) Schaltungsfehler
- c) persönliche Fehler z. B.
  - Bedienungsfehler
  - Behandlungsfehler
  - Ablesefehler
  - Parallaxenfehler

Positiver Korrekturwert bedeutet:

 Richtiger Wert ist größer als der angezeigte Wert. Negativer Korrekturwert

bedeutet:

 Richtiger Wert ist kleiner als der angezeigte Wert.

Anzeige und Korrektur ergeben den richtigen

Wert: a + K = r17 + 2 = 19 A

Der absolute Fehler F des Messgerätes kann positive und negative Werte annehmen und es ergibt sich

$$F = a - r$$

Dabei ist a der angezeigte Wert und r der wahre Wert, der zunächst unbekannt ist. Der relative Fehler f beschreibt die Genauigkeit des Messgerätes:

$$f = \frac{F}{r} = \frac{a-r}{r} = \frac{a}{r} - 1$$
 oder  $f = \frac{a-r}{B}$ 

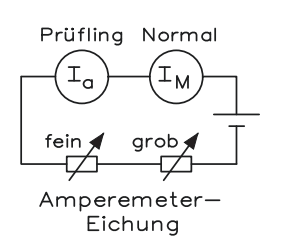
Bereichsendwert angezeigter Wert

Für die Fehlerberechnung gilt noch  $F = \pm \frac{B \cdot G}{100}$ .

$$p = \pm \frac{F \cdot 100}{a} \text{ in } \% = \pm \frac{B \cdot G}{a} \text{ in } \%$$

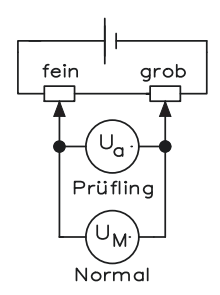
Fehler in % von A

## 17.3 Genauigkeiten von Betriebsmessgeräten



Fehlerkorrektur: 
$$K = -F$$
  $M = a + K$ 

K KorrekturwertM korrigierter Messwert



Justierung (Eichung): 
$$F = a - M$$
  $K = M - a$ 

Justierung von Betriebsmessgeräten (Spannungsmessern); Normal (Präzisionsmessgerät) und Prüfling werden parallel geschaltet. Bei Justierungsmessung soll 1/10 des für den Prüfling zugelassenen Fehlers noch feststellbar sein. Das Vergleichsmessgerät muss mindestens einer höheren Güteklasse angehören als der Prüfling.

Sollwert (Normal- instrument)	Istwert (Prüfling)	Absoluter Fehler $F = I_x - I_n$	Korrektur $K = I_n - I_x$	Relativer Fehler $f_r = \frac{F \cdot 100}{I_n}$	Prozentualer Fehler $f = \frac{F \cdot 100}{I_{n\text{max}}}$
$I_n$	$I_x$	F	K = -F	$f_r$ in %	f in %
0	0	0	0	0	0
5,00	5,55	+0,55	-0,55	+11	+1,1
10,00	10,70	+0,70	-0,70	+7	+1,4
15,00	15,60	+0,60	-0,60	+4	+1,2
20,00	20,00	$\pm 0,00$	$\pm 0,00$	$\pm 0$	$\pm 0$
25,00	24,35	-0,65	+0,65	-2,6	-1,3
30,00	29,70	-0,30	+0,30	-1,0	-0,6
35,00	34,25	-0,75	+0,75	-2,14	-1,5
40,00	39,50	-0,50	+0,50	-1,25	-1,0
45,00	45,40	+ 0,40	-0,40	+0,88	+0,8
50,00	50,45	+ 0,45	-0,45	+0,9	+0,9

352 17 Messtechnik

- Absoluter Fehler:  $F = I_x - I_n$  oder  $U = U_x - U_n$ 

- Korrektur:  $K = I_n - I_x = -F$ 

- Relativer Fehler (bezogen auf Anzeige):  $f_r = \frac{F \cdot 100}{I_n}$   $f_r$  relativer Fehler Fehler Fehler for prozentualer Fehler

- Prozentualer Fehler (bezogen auf Endwert):  $f = \frac{F \cdot 100}{I_{\text{pmax}}}$ 

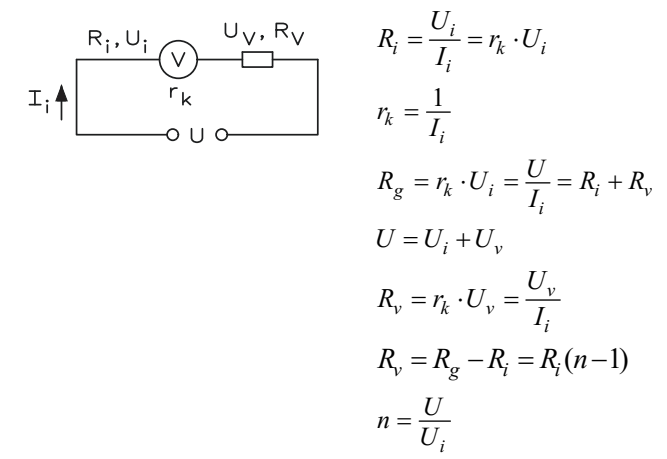
# 17.4 Anzeige eines Digitalmessgerätes



$$U_{\min} = a - a \cdot p$$
 
$$U_{\max} = a + a \cdot p + D$$

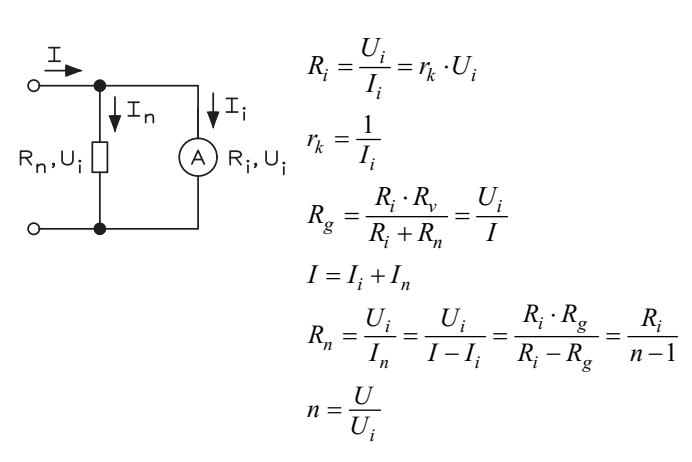
a angezeigter Wertp Fehler in % von aD Fehler der Digits

# 17.5 Messbereichserweiterung (Spannung)



- $R_i$  Messwerkwiderstand
- $U_i$  Spannung bei Vollausschlag
- *I<sub>i</sub>* Strom bei Vollausschlag
- $r_k$  Kennwiderstand in  $\Omega/V$
- $R_{\nu}$  Spannung am Vorwiderstand
- U Messbereichsspannung
- $R_g$  Gesamtwiderstand
- n Vervielfachungsfaktor

# 17.6 Messbereichserweiterung (Strom)



- $R_n$  Nebenwiderstand (Shunt)
- *I<sub>n</sub>* Strom durch Nebenwiderstand
- I Messbereichsstrom
- $R_g$  Gesamtwiderstand
- n Vervielfachungsfaktor

# 17.7 Amplitudenform der Messgröße

Der Augenblickswert ist der Wert einer Wechselgröße zu einem bestimmten Zeitpunkt:

*u* Augenblickswert der Spannung*i* Augenblickswert des Stromes

Der Scheitelwert ist der größte Betrag des Augenblickswertes einer Wechselgröße:

 $\hat{u} = u_{\text{max}}$  Scheitelwert der Spannung

 $\hat{i} = i_{\text{max}}$  Scheitelwert des Stromes

Der Effektivwert ist der zeitliche quadratische Mittelwert einer Wechselgröße:

 $U = U_{eff}$  Augenblickswert der Spannung

 $I = I_{eff}$  Augenblickswert des Stromes

Der Gleichrichtwert ist der arithmetische Mittelwert des Betrages einer Wechselgröße über eine Periode:

 $\bar{u} = |u|$  Gleichrichtwert der Spannung

 $\bar{i} = |i|$  Gleichrichtwert des Stromes

Der Scheitelfaktor einer Wechselgröße ist das Verhältnis von Scheitelwert zu Effektivwert:

$$S = \frac{\hat{u}}{IJ} = \frac{\hat{i}}{I}$$

Der Formfaktor einer Wechselgröße ist das Verhältnis von Effektivwert zu Gleichrichtwert:

$$F = \frac{U}{\overline{u}} = \frac{I}{\overline{i}} \quad F \ge 1$$

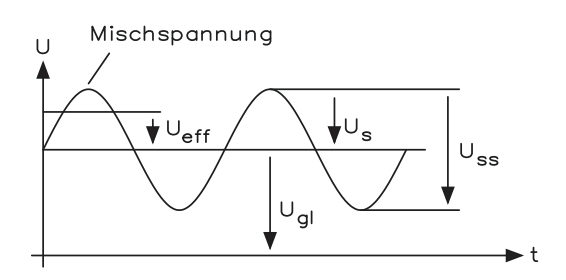
354 17 Messtechnik

# **Umrechnung von Scheitel, Gleichricht- und Effektivwert:**

Schwingung	Scheitelwert û	Gleichrichtwert  u	Effektivwert U	Scheitelfaktor S	Formfaktor F
mit Scheitel— und Form— faktor	$\hat{\mathbf{u}} = \mathbf{S} \cdot \mathbf{U}$ $\hat{\mathbf{u}} = \mathbf{S} \cdot \mathbf{F} \cdot  \bar{\mathbf{u}} $	$ \overline{u}  = U/F$ $ \overline{u}  = \frac{\hat{u}}{S \cdot F}$	$U = \hat{u} / S$ $U =  \overline{u}  \cdot F$	$S = \frac{\text{Scheitelwert}}{\text{Effektivwert}}$ $S = \frac{\hat{u}}{U}$	$F = \frac{\text{Effektivwert}}{\text{Gleichrichtwert}}$ $F = \frac{U}{ \overline{u} }$
Sinus	$\hat{\mathbf{u}} = \frac{\pi}{2} \cdot  \mathbf{u} $ $\hat{\mathbf{u}} = 1,571 \cdot  \mathbf{u} $ $\hat{\mathbf{u}} = \sqrt{2} \cdot \mathbf{U}$ $\hat{\mathbf{u}} = 1,414 \cdot \mathbf{U}$	$\begin{aligned}  \overline{\mathbf{u}}  &= \frac{2 \cdot \hat{\mathbf{u}}}{\pi} \\  \overline{\mathbf{u}}  &= 0.637 \cdot \hat{\mathbf{u}} \\  \overline{\mathbf{u}}  &= \frac{2 \cdot \sqrt{2}}{\pi} \cdot \mathbf{U} \\  \overline{\mathbf{u}}  &= 0.9 \cdot \mathbf{U} \end{aligned}$	$U = \hat{u} / \sqrt{2}$ $U = 0.707 \cdot \hat{u}$ $U = \frac{\pi}{2 \cdot \sqrt{2}} \cdot  \bar{u} $ $U = 1.111 \cdot  \bar{u} $	$S = \sqrt{2} = 1,414$ $\frac{1}{S} = 0,707$ $S \cdot F = \frac{\pi}{2} = 1,571$	$U = \frac{\pi}{2 \cdot \sqrt{2}} = 1,111$ $\frac{1}{F} = 0,900$
Rechteck	$\hat{u} =  \bar{u} $ $\hat{u} = U$	u  = û  u  = U	$U = \hat{u}$ $U =  \bar{u} $	S = 1,000 $\frac{1}{S} = 1,000$ $S \cdot F = 1,000$	$F = 1,000$ $\frac{1}{F} = 1,000$
Dreieck	$\hat{\mathbf{u}} = 2 \cdot  \bar{\mathbf{u}} $ $\hat{\mathbf{u}} = \sqrt{3} \cdot \mathbf{U}$ $\hat{\mathbf{u}} = 1,732 \cdot \mathbf{U}$	$ \overline{u}  = 0.5 \cdot \hat{u}$ $ \overline{u}  = \frac{\sqrt{3} \cdot U}{2}$ $ \overline{u}  = 0.866 \cdot U$	$U = \hat{u} / \sqrt{3}$ $U = 0.577 \cdot \hat{u}$ $U = \frac{2 \cdot  \bar{u} }{\sqrt{3}}$ $U = 1.155 \cdot  \bar{u} $	$S = \sqrt{3} = 1,732$ $\frac{1}{S} = 0,577$ $S \cdot F = 2,000$	$F = \frac{2}{\sqrt{3}} = 1,155$ $\frac{1}{F} = 0,866$

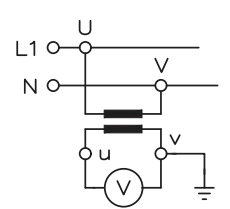
# Abhängigkeit der Messgröße:

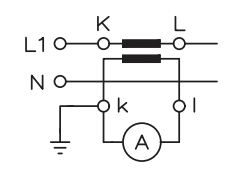
Kurvenform	Korrekturfaktor	Effektivwert Spitzenwert
Sinus	1	0,707
Rechteck	1,41	1,0
Dreieck	0,82	0,577
Parabelspitzen	0,64	0,45
Halbellipsen	1,16	0,82
Halbkreise	1,16	0,82



$$U_{eff} = \sqrt{U_{gl}^2 + \frac{U_s^2}{2}}$$

## 17.8 Spannungs- und Strommessung mit Messwandlern





$$\begin{split} k_U &= \frac{U_{1N}}{U_{2N}} = \frac{N_1}{N_2} \\ F_U &= \frac{U_2 \cdot k_U - U_1}{U_1} \cdot 100 \,\% \\ k_I &= \frac{I_{1N}}{I_{2N}} = \frac{N_2}{N_1} \\ F_I &= \frac{I_2 \cdot k_I - I_{1N}}{I_{1N}} \cdot 100 \,\% \end{split}$$

 $F_U$  Spannungswandlerfehler

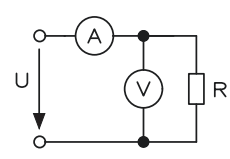
 $F_I$  Stromwandlerfehler

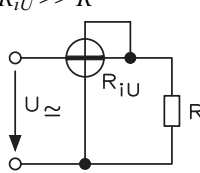
k<sub>U</sub> Spannungsübersetzungsverhältnis

k<sub>I</sub> Stromübersetzungsverhältnis

## 17.9 Leistungsmessung: Schein- und Wirkleistung

- Stromfehlermethode:  $R_{iU} >> R$ 





$$S = U \cdot I - \frac{U^2}{R_{iU}}$$
 
$$P = U \cdot I - \frac{U^2}{R_{iU}}$$

Korrekturformel:  $P = P_{\text{Mess}} - \frac{U^2}{R_{\text{cut}}}$ 

S Scheinleistung in VA

 $R_{iU}$  Innenwiderstand vom Voltmeter

 $P_{\mathrm{Mess}}$  gemessene Leistung in W

$$S = U \cdot I - I^2 \cdot R_{iI}$$

$$P = U \cdot I - I^2 \cdot R_{iI}$$

Korrekturformel:  $P = P_{\text{Mess}} - I^2 \cdot R_{iI}$ 

S Scheinleistung in VA

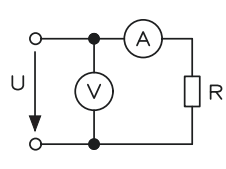
 $R_{iU}$  Innenwiderstand vom Voltmeter

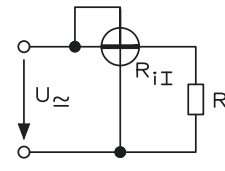
 $P_{\rm Mess}$  gemessene Leistung in W

W Wirkleistung in W

Q Blindleistung in var

- Spannungsfehlermethode:  $R_{iI} \ll R$ 

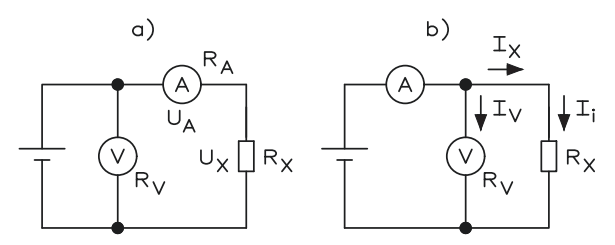




- Leistungsmessung: Blindleistung  $Q = \sqrt{S^2 - P^2}$ 

$$Q = U \cdot I \cdot \cos(90^{\circ} - \varphi) = U \cdot I \cdot \sin \varphi$$

## 17.10 Widerstandmessung



Strom- und Spannungsfehlermethode

Linke Schaltung:  $R_x = \frac{U - U_x}{I} = \frac{U - I \cdot R_A}{I}$ 

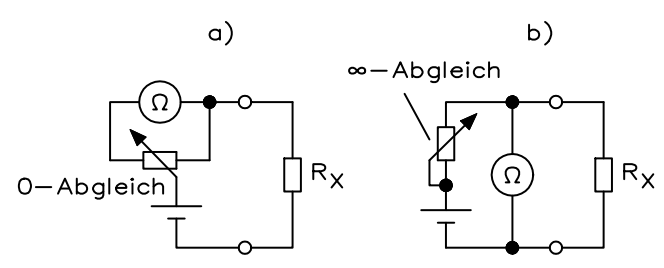
Rechte Schaltung:  $R_x = \frac{U}{I - I_V} = \frac{U}{I - \frac{U}{R_V}}$ 

Das Voltmeter zeigt um den Spannungsfall  $U_A$  zu viel an,  $U_A = I \cdot R_A$ .

Das Amperemeter zeigt um den Strom  $I_V$  zu viel an,  $I_V = U / R_V$ .

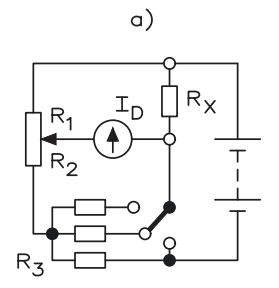
 $R_x = \frac{R_1 \cdot R_3}{R_2}$ 

## 17.11 Direktanzeigende Ohmmeter

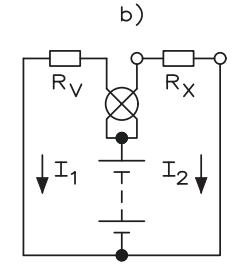


Linke Schaltung: für hochohmige Widerstände

Rechte Schaltung: für niederohmige Widerstände

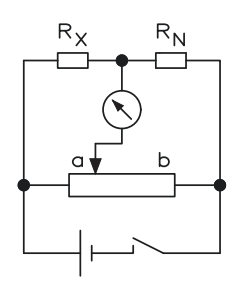


Linke Schaltung: Ohmmeter nach Wheatstone



Rechte Schaltung: Ohmmeter mit Quotientenmesswerk

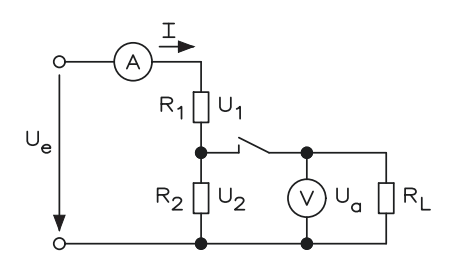
#### 17.12 Schleifdrahtbrücke



$$R_X = R_N \cdot \frac{a}{b}$$

 $R_X$  unbekannter Widerstand  $R_N$  Normalwiderstand a, b Teile des Brückenwiderstands

## 17.13 Messung an Spannungsteilern



Unbelasteter Spannungsteiler:

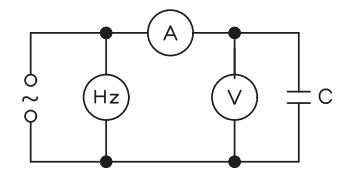
$$U_1 = I \cdot R_1 \qquad U_2 = I \cdot R_2$$

Belasteter Spannungsteiler:

$$U_1 = \frac{U_g \cdot R_1}{R_1 + R_2} \ U_2 = \frac{U_g \cdot R_2}{R_1 + R_2}$$

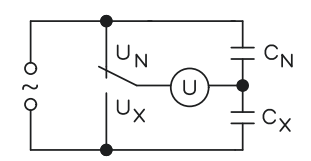
## 17.14 Kapazitätsmessung

## Strom- und Spannungsmessung an Wechselspannung



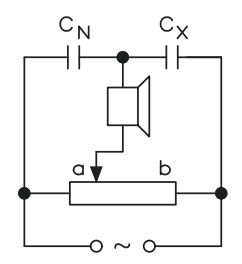
$$C = \frac{I}{2 \cdot \pi \cdot f \cdot U}$$
$$C = \frac{1}{2 \cdot \pi \cdot f \cdot X_C}$$

#### Messung durch Spannungsvergleich



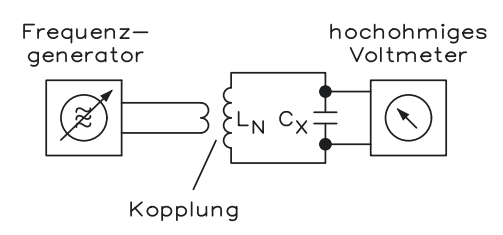
$$C_X = \frac{C_N \cdot U_N}{U_X}$$

#### ■ Brückenmessung (Tonminimum)



$$C_X = \frac{C_N \cdot a}{b}$$

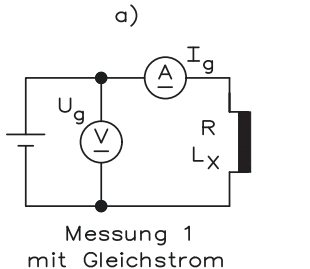
#### Resonanzverfahren

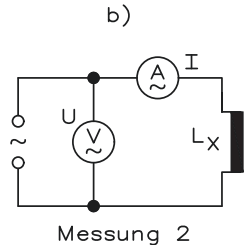


$$C_X = \frac{1}{(2 \cdot \pi \cdot f)^2 \cdot L_N}$$

## 17.15 Induktivitätsmessung

## Strom- und Spannungsmessung an Wechselspannung





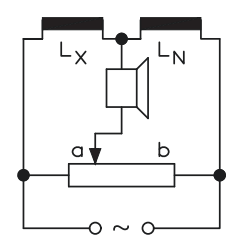
mit Wechselstrom

Wirkwiderstand:  $R = \frac{U_{-}}{I_{-}}$ 

Scheinwiderstand:  $Z = \frac{U_{\sim}}{I_{\sim}}$ 

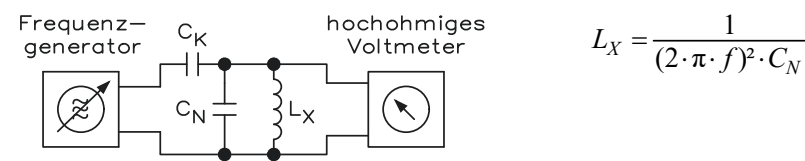
$$X_L = \sqrt{z^2 - R^2}$$
 
$$L_X = \frac{X_L}{2 \cdot \pi \cdot f}$$

## Brückenmessung (Tonminimum)



$$L_X = \frac{L_N \cdot a}{b}$$

#### Resonanzverfahren

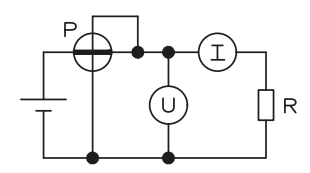


#### Messung der elektrischen Leistung 17.16

Für die elektrische Leistung gelten folgende Grundformeln:

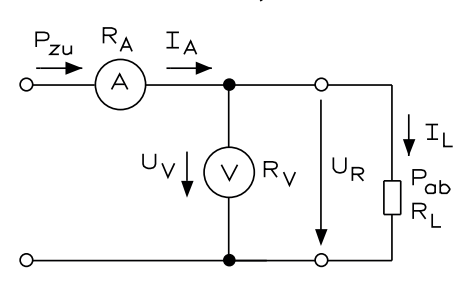
$$P = U \cdot I$$
  $P = I^2 \cdot R$   $P = \frac{U^2}{R}$ 

Die Grundformeln lassen sich umstellen:



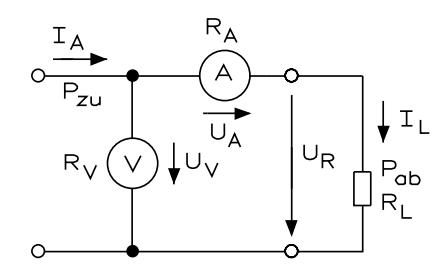
$$I = \frac{P}{U} = \sqrt{\frac{P}{R}} \qquad U = \frac{P}{I} = \sqrt{P \cdot R} \qquad R = \frac{P}{I^2} = \frac{U^2}{P}$$

Linke Schaltung: spannungsrichtige Messung

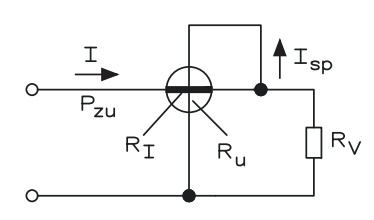


$$P_{ab} = P_{zu} = I^2 \cdot R_v \qquad P_{ab} = P_{zu} = \frac{U^2}{R_v} \qquad P_V = U_{RV} \cdot I_V$$

Rechte Schaltung: stromrichtige Messung



$$P_V = U_{RV} \cdot I_V$$

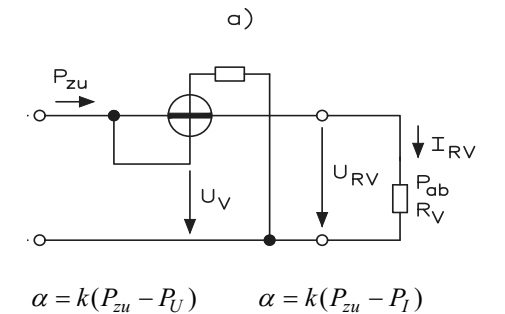


$$\alpha = \mathbf{k} \cdot I_F \cdot I_{Sp} = \mathbf{k} \cdot I_F \cdot \frac{U}{R_{Sp}} = \frac{\mathbf{k}}{R_{Sp}} \cdot U \cdot I = \mathbf{K} \cdot P$$

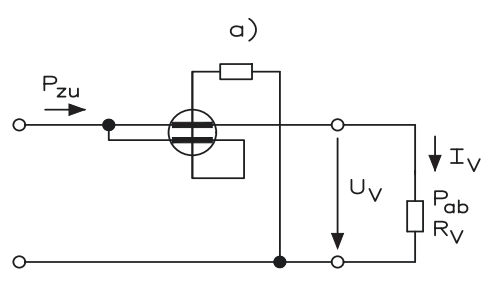
$$\alpha \approx P$$

Konstante des elektrodynamischen Messgerätes Zeigerausschlag

## Linke Schaltung: stromrichtige Messung

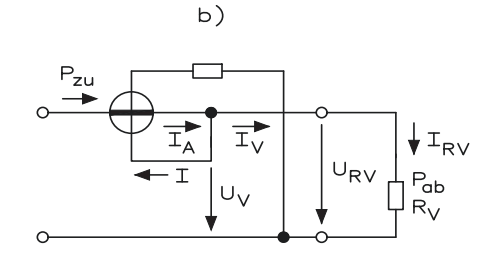


Linke Schaltung: quellenrichtige Messung



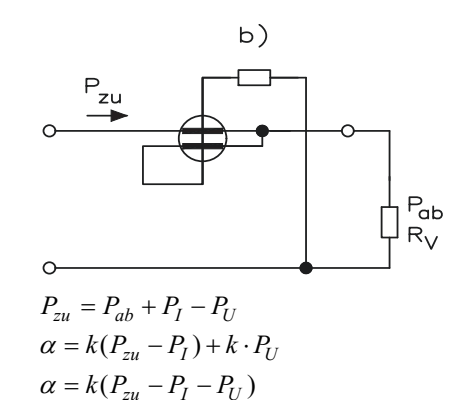
$$\begin{split} P_{zu} &= P_{ab} + P_U + P_I \\ \alpha &= k(P_{ab} + P_I) + k \cdot P_U \\ \alpha &= k(P_{ab} + P_I + P_U) \end{split}$$

## Rechte Schaltung: spannungsrichtige Messung



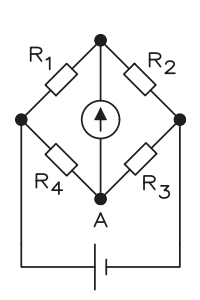
 $P_U$  Eigenverbrauch  $P_I$  Eigenverbrauch

# Rechte Schaltung: verbraucherrichtige Messung



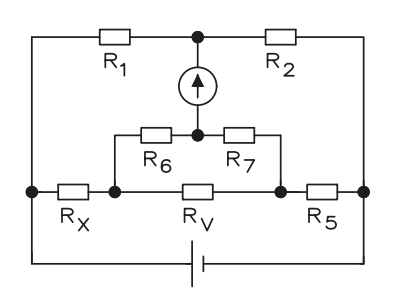
## 17.17 Wechselspannungs-Messbrücken

#### Wheatstone-Messbrücke



$$R_X = \frac{R_1 \cdot R_4}{R_3} = R_2$$

#### Schleifdrahtbrücke nach Thomson



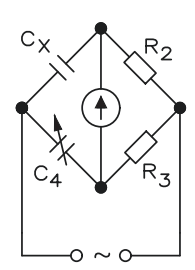
$$R_X$$
 Prüfling

 $R_5$  Normalwiderstand ( $\approx R_X$ )

 $R_{\nu}$  Widerstand der Zuleitungen (vernachlässigbar)

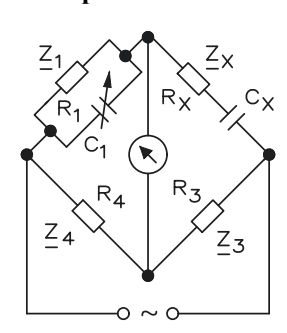
$$R_X = \frac{R_1 \cdot R_3}{R_2}$$
, wenn  $\frac{R_1}{R_2} = \frac{R_6}{R_7}$ 

#### ■ Einfache Kapazitätsmessbrücke



$$C_X = \frac{R_3 \cdot C_4}{R_2}$$

#### Kapazitätsmessbrücke nach Wien



$$R_X = \frac{R_1}{1 + (2 \cdot \pi \cdot f \cdot R_1 \cdot C_1)^2}$$

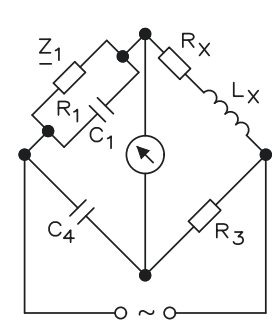
$$C_X = C_1 + \frac{1}{(2 \cdot \pi \cdot f \cdot R_1)^2 \cdot C_1}$$

#### Maxwell-Robinson-Brücke

Die Maxwell-Robinson-Brücke ist identisch mit der Kapazitätsmessbrücke nach Wien und diese eignet sich für die Frequenzmessung

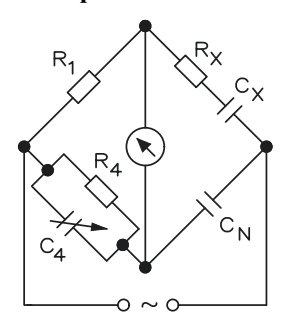
$$C_1 = C_X = C$$
  $R_1 = R_X = R$   $R_3 = 2 \cdot R_4$  
$$f = \frac{1}{2 \cdot \pi \cdot R \cdot C}$$

#### Induktionsmessbrücke nach Maxwell



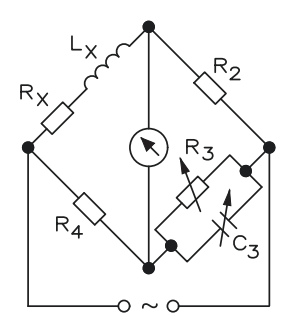
$$\begin{split} R_X &= \frac{R_3 \cdot C_4}{C_1} \cdot \left( 1 - \frac{1}{(2 \cdot \pi \cdot f \cdot R_1 \cdot C_1)^2} \right) \\ L_X &= \frac{R_1 \cdot R_3 \cdot C_4}{1 + (2 \cdot \pi \cdot f \cdot R_1 \cdot C_1)^2} \end{split}$$

## Kapazitätsmessbrücke nach Schering



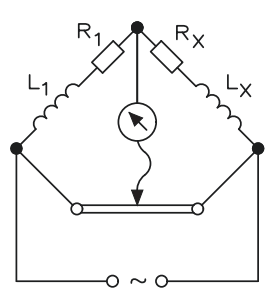
$$R_X = \frac{R_1 \cdot C_4}{C_N}$$
 
$$\tan \delta \text{ Verlustwinkel}$$
 
$$C_X = \frac{C_N \cdot R_4}{R_1}$$
 
$$\tan \delta_X = 2 \cdot \pi \cdot f \cdot R_4 \cdot C_4$$

#### Induktionsmessbrücke nach Maxwell-Wien



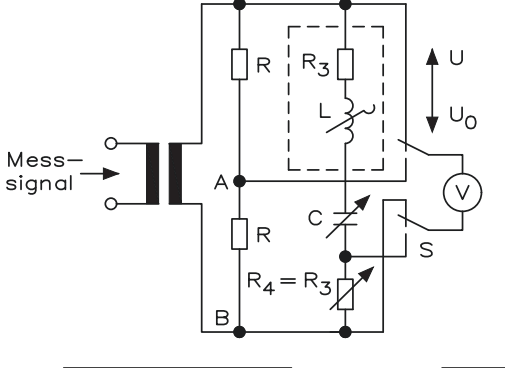
$$R_X = \frac{R_2 \cdot R_4}{R_3} \qquad L_X = R_2 \cdot R_4 \cdot C_3$$

## Induktionsmessbrücke nach Maxwell-Wien (frequenzunabhängig)



$$R_X = \frac{R_2 \cdot R_4}{R_3} \qquad \qquad L_X = \frac{R_3 \cdot L_1}{R_4}$$

#### Klirrfaktormessbrücke (Eintormessverfahren)



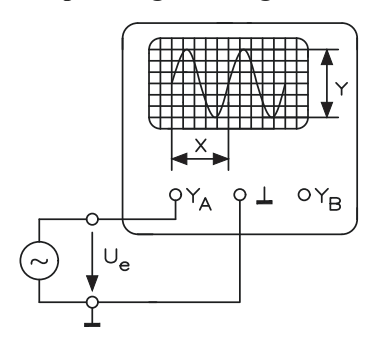
$$k = \sqrt{\frac{U_{2f}^2 + U_{3f}^2 + \dots}{U_{1f}^2 + U_{2f}^2 + U_{3f}^2 + \dots}} \qquad \qquad k = \sqrt{\frac{I_{2f}^2 + I_{3f}^2 + \dots}{I_{1f}^2 + I_{2f}^2 + I_{3f}^2 + \dots}}$$

- 1. Messung: Schalterstellung "U" ergibt Effektivwert des Gesamtsignals
- 2. Messung: Schalterstellung " $U_0$ " ergibt Effektivwert des Oberwellengemisches

Für den Klirrfaktor k gilt:  $k = \frac{2 \cdot U_0}{U}$ .

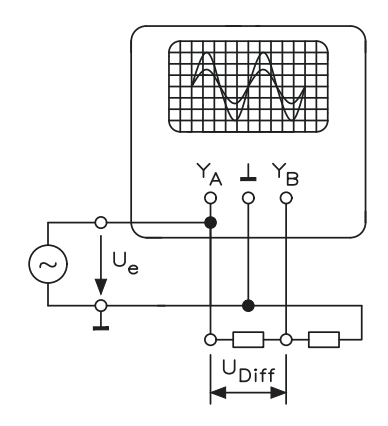
## 17.18 Messen mit dem Oszilloskop

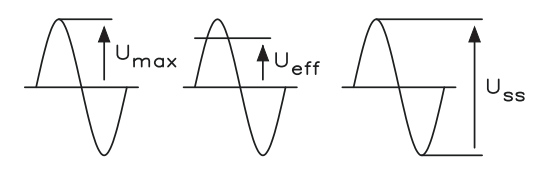
#### Spannungsmessung



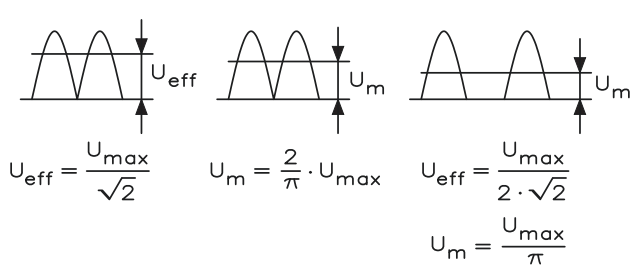
$$U_{SS} = Y \cdot a$$

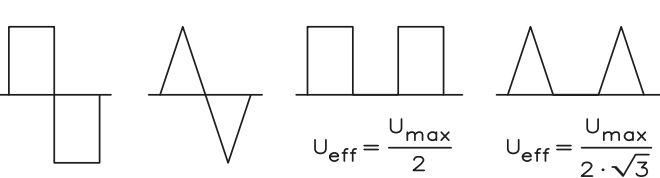
- Y vertikale Ablenkung in Div. bzw. cm
- a Ablenkkoeffizient in V/Div bzw. V/cm





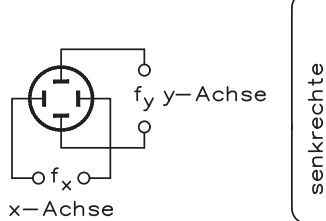
$$\mathbf{U_{max}} = \mathbf{U_{eff}} \cdot \sqrt{2} \; ; \; \mathbf{U_{ss}} = 2 \cdot \mathbf{U_{max}} \; ; \; \mathbf{U_{m}} = 0$$

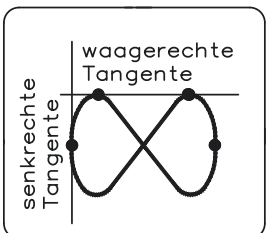




$$U_{eff} = U_{max} \quad U_{eff} = \frac{U_{max}}{\sqrt{3}}$$

#### Frequenzvergleichsmessung





$$f_X = f_Y \cdot \frac{s}{w}$$

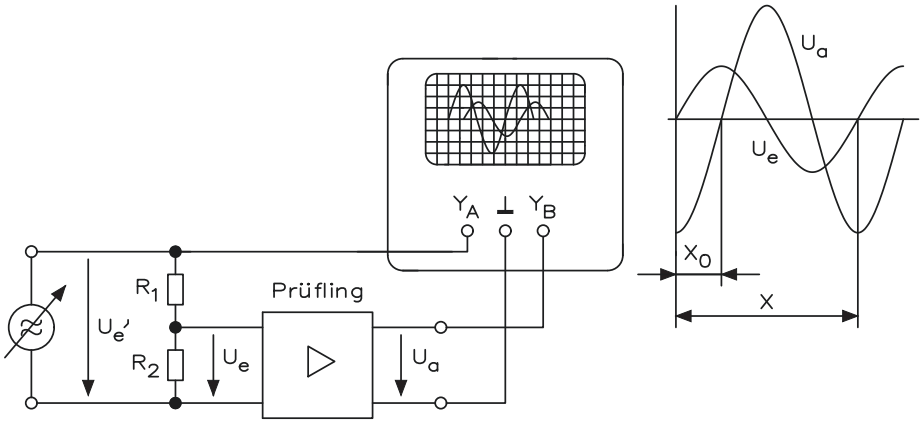
 $f_X$  Frequenz an den x-Platten

 $f_Y$  Frequenz an den y-Platten

w Anzahl der Berührungspunkte der waagerechten Tangente

s Anzahl der Berührungspunkte der senkrechten Tangente

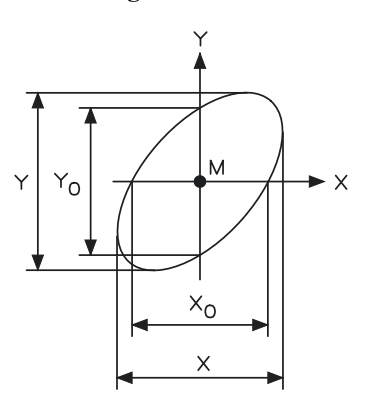
#### Messung der Phasenverschiebung (Verhältnis)



 $\varphi = \frac{X_0 \cdot 360^{\circ}}{X}$ 

 $\varphi$  Phasenwinkel zwischen  $U_e$  und  $U_a$ 

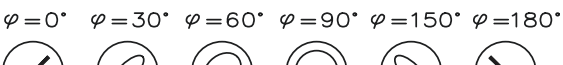
#### Messung der Phasenverschiebung (Lissajous-Figur)



$$\sin \varphi = \frac{X_0}{X} = \frac{Y_0}{Y}$$

 $\varphi$  Phasenwinkel zwischen  $f_1$  und  $f_2$ 

## Messung von Verstärkungsfaktoren







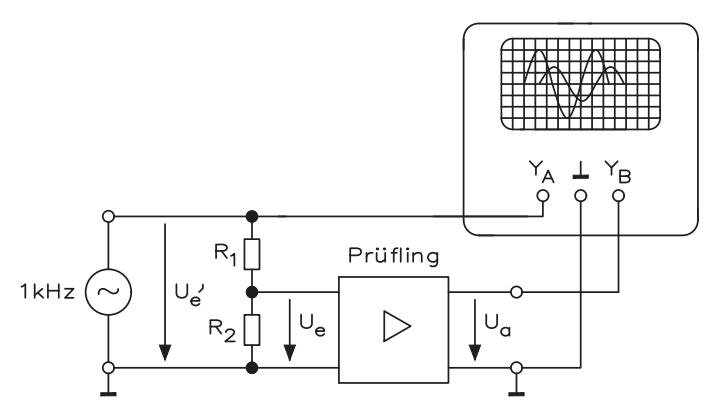






$$V = \frac{U_a}{U_e}$$

## Messung der Bandbreite

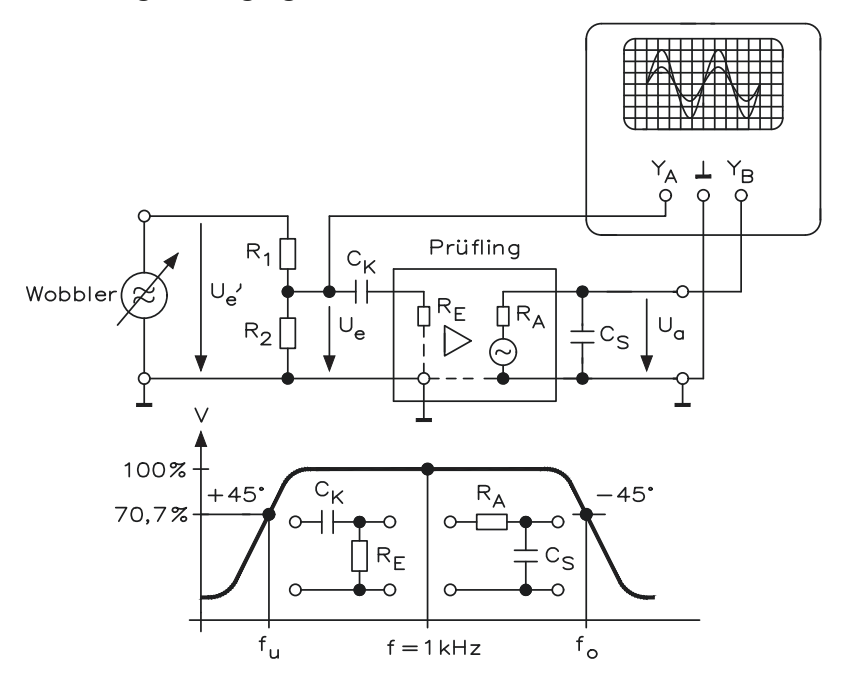


$$\Delta f = f_o - f_u$$

$$f_u = \frac{1}{2 \cdot \pi \cdot R_e \cdot C_K}$$

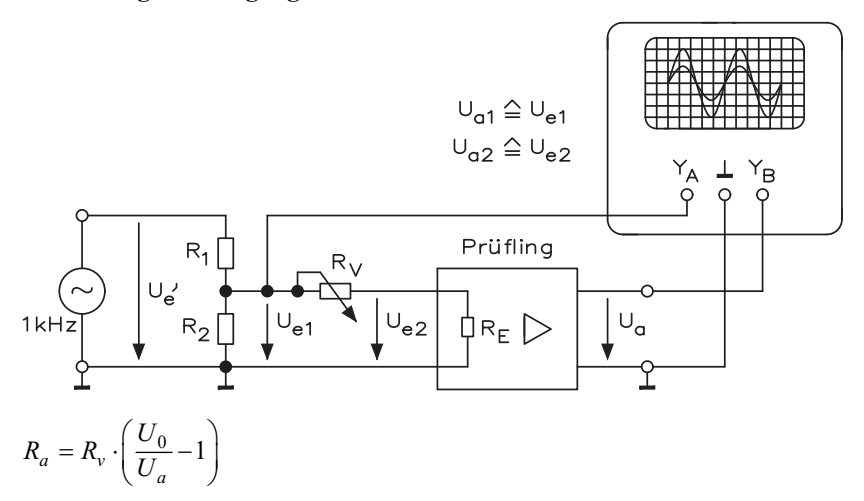
$$f_o = \frac{1}{2 \cdot \pi \cdot R_a \cdot C_S}$$

#### Messung des Eingangswiderstandes

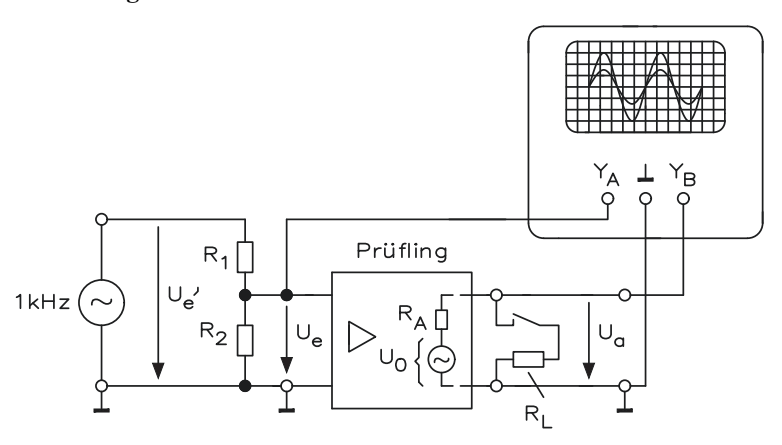


$$R_e = R_v \cdot \frac{U_{a2}}{U_{a1} - U_{a2}}$$

## Messung des Ausgangswiderstandes

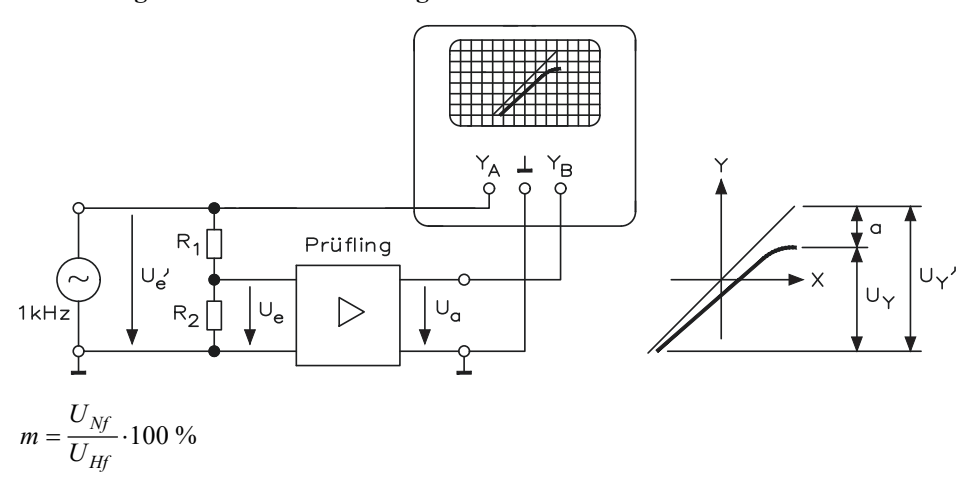


## Messung eines Linearfehlers



$$F = \frac{a}{U_Y + a} \cdot 100 \%$$

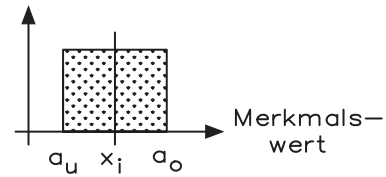
#### Messung eines Intermodulationsgrads



## 17.19 Statistische Berechnung der Messunsicherheit

Die Kenntnisse über die messbare Größe X bestehen darin, dass man erkennt: Der Wert Y liegt mit Sicherheit zwischen einer unteren Grenze  $a_u$  und einer oberen Grenze  $a_o$ . Die Werte sind im Intervall von  $a_u$  bis  $a_o$  rechteckförmig verteilt, d. h. sie sind wahrscheinlich gleich, und Werte außerhalb des Intervalls sind unwahrscheinlich.

Häufigkeit



#### Modell der Auswertung:

Die Größe X ist gleichförmig verteilt im Intervall  $a_u \dots a_o$ .

Halbweite des Intervalls:  $\Delta a = \frac{a_o - a_u}{2}$ 

Erwartung:  $x_i = \frac{a_o + a_u}{2}$ 

Varianz:  $u_{(x_i)}^2 = \frac{(\Delta a)^2}{3}$ 

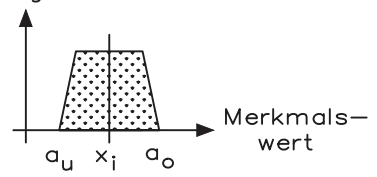
Standardabweichung:  $u_{(x_i)} = \frac{\Delta a}{\sqrt{3}}$  oder  $u_{(x_i)} = \frac{2 \cdot a}{\sqrt{12}}$ 

#### Trapezförmige Verteilung

Die Kenntnisse über die messbare Größe X bestehen darin, dass man erkennt:

- Die Größe X ist die Summe/Differenz zweier messbarer Größen  $X_1$  und  $X_2$ , d. h.  $X = X_1 \pm X_2$ .
- Die Kenntnisse über die Werte der Größen entsprechen einer Kombination zweier rechteckförmiger Verteilungen gleicher Halbweite mit den Grenzen  $a_{u1}$  und  $a_{o1}$  bzw.  $a_{u2}$  und  $a_{o2}$ .
- Die Kenntnisse über die einzelnen Größen  $X_1$  und  $X_2$  sind voneinander abhängig.

Häufigkeit



**Mathematische Formulierung:** Die Werte im Intervall von  $a_u = a_{u1} \pm a_{u2}$  bis  $a_o = a_{o1} \pm a_{o2}$  sind trapezförmig verteilt, und Werte außerhalb des Intervalls sind unwahrscheinlich.

Erwartung:  $x_i = \frac{a_o + a_u}{2}$   $x_1 = \frac{a_{o1} + a_{u1}}{2}$   $x_2 = \frac{a_{o2} + a_{u2}}{2}$ 

Halbweiten:  $\Delta a_1 = \frac{a_{o1} - a_{u1}}{2}$   $\Delta a_2 = \frac{a_{o2} - a_{u2}}{2}$ 

Halbweite des Intervalls:  $\Delta a = \frac{a_o - a_u}{2}$ 

Knickpunkt-Parameter, bezogen auf die Halbweite:  $\beta = \frac{|\Delta a_1 - \Delta a_2|}{\Delta a_1 + \Delta a_2}$ 

Varianz:  $u_{(x_i)} = \frac{(\Delta a)^2}{6} (1 + \beta^2)$ 

Standardabweichung:  $u_{(x_i)} = \frac{\Delta a}{\sqrt{6}} \sqrt{1 + \beta^2}$ 

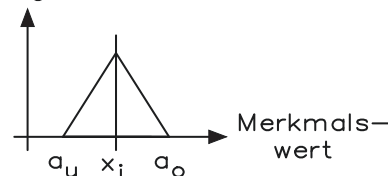
#### Dreieckförmige Verteilung

Die Kenntnisse über die messbare Größe X bestehen darin, dass man erkennt:

- Die Größe X ist die Summe/Differenz zweier messbarer Größen X<sub>1</sub> und X<sub>2</sub>, d. h.
   X = X<sub>1</sub>± X<sub>2</sub>.
- Die Kenntnisse über die Werte der Größen entsprechen einer Kombination zweier rechteckförmiger Verteilungen gleicher Halbweite mit den Grenzen a<sub>u1</sub> und a<sub>o1</sub> bzw. a<sub>u2</sub> und a<sub>o2</sub>.
- Die Kenntnisse über die einzelnen Größen  $X_1$  und  $X_2$  sind voneinander unabhängig.

370 17 Messtechnik

Häufigkeit



**Mathematische Formulierung:** Die Werte im Intervall von  $a_u = a_{u1} \pm a_{u2}$  bis  $a_0 = a_{01} \pm a_{02}$  sind dreieckförmig verteilt (trapezförmige Verteilung mit Knickpunkt-Parameter  $\beta = 0$ ), und Werte außerhalb des Intervalls sind unwahrscheinlich.

Erwartung:

$$x_i = \frac{a_o + a_i}{2}$$

$$x_i = \frac{a_o + a_u}{2}$$
  $x_1 = \frac{a_{o1} + a_{u1}}{2}$   $x_2 = \frac{a_{o2} + a_{u2}}{2}$ 

$$x_2 = \frac{a_{o2} + a_u}{2}$$

Varianz:

$$u_{(x_i)}^2 = \frac{(\Delta a)^2}{6}$$

Standardabweichung:

$$u_{(x_i)} = \frac{\Delta a}{\sqrt{6}}$$

Halbweiten:

$$\Delta a_0 = \Delta a_1 = \Delta a_2 = \frac{a_{o1} - a_{u1}}{2} = \frac{a_{o2} - a_{u2}}{2}$$

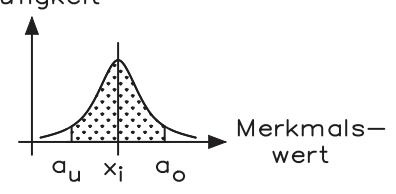
Halbweite des Intervalls: 
$$\Delta a = \frac{a_o - a_u}{2} = \Delta a_1 + \Delta a_2 = 2 \cdot \Delta a_0$$

## Glockenförmige Verteilung (Gauß'sche Glockenkurve)

Die Kenntnisse über die messbare Größe X bestehen darin, dass man erkennt:

- Die Größe X ist verteilt, mit dem Erwartungswert  $\mu$  und der Standardabweichung s.

Häufigkeit



Mathematische Formulierung: Die Verteilungsform ist eine glockenförmige Normalverteilung.

Erwartung:

$$x_{\cdot} = 11$$

Varianz:

$$u_{(x_i)}^2 = s^2$$

Standardabweichung:  $u_{(x_i)} = s$ 

$$u_{(x)} = s$$

Die Kenntnisse für eine unmittelbare Beobachtung über die messbare Größe X bestehen darin, dass:

- eine Reihe von Beobachtungen durchgeführt werden, die nicht vollständig übereinstimmende Werte  $x_1, x_2, x_3, \dots x_n$  liefern, obwohl die Beobachtungen unter (scheinbar) gleichen Bedingungen durchgeführt werden.

#### **Mathematische Formulierung:**

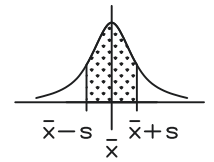
- Die Werte  $x_1, x_2, x_3, ... x_n$  sind die Realisierungen eines Prozesses, dessen Parameter offensichtlich nicht so konstant sind, wie vorausgesetzt wird.
- Die Auswertung erfolgt mit Methoden der Statistik.
- Die einzelnen Werte werden als gleichgewichtig und voneinander unabhängig angesehen

Die zugrunde liegende Verteilung wird am besten durch eine glockenförmige Normalverteilung beschrieben.

Einfache Standardabweichung

$$\overline{x} + 2 \cdot S \rightarrow 95.5 \%$$

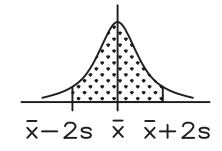
einfache Standard abweichung



Zweifache Standardabweichung

$$\overline{x} + 1 \cdot S \rightarrow 68.3 \%$$

zweifache Standardabweichung



Erwartung:

$$\overline{x} = \frac{x_1 + x_2 + x_3 + \dots + x_n}{n} = \frac{\sum_{i=1}^{n} x_i}{n}$$

$$s = \sqrt{\frac{\sum_{i=1}^{n} (x_i - \overline{x})^2}{n-1}}$$

Standardabweichung Einzelbeobachtung:

Standardabweichung des Mittels: 
$$u = \frac{S}{\sqrt{n}}$$

**Arithmetischer Mittelwert:** Der arithmetische Mittelwert wird gebildet, indem man alle Einzelwerte addiert und diese Summe durch die Anzahl der Werte dividiert.

$$\overline{x} = \frac{x_1 + x_2 + x_3 + \dots + x_n}{n} = \frac{\sum_{i=1}^{n} x_i}{n}$$

Der arithmetische Mittelwert:

- bezieht alle Beobachtungswerte mit ein
- kann ohne ordnen der Stichprobe ermittelt werden
- erstellt nur eine Aussage über die Lage einer Verteilung und nicht über ihre "Güte"

**Spannweite:** Die Spannweite wird gebildet, indem man die Differenz zwischen dem größten und dem kleinsten Beobachtungswert verwendet.

$$\omega = x_{\text{max}} - x_{\text{min}}$$

#### Die Spannweite:

- ist unabhängig von der Angabe des Mittelwertes
- ist einfach zu berechnen
- ermöglicht schnellen Überblick
- ist allein von den Extremwerten einer Verteilung abhängig
  - Vorteil: wenn der Extremwert ein berechtigtes Risiko enthält
  - Nachteil: wenn der Extremwert eine Fehlmessung ist
- ist sehr von Zufallseinflüssen abhängig (Fehlmessungen)

Standardabweichung der Einzelbeobachtung: Die Standardabweichung der Einzelbeobachtung berechnet sich, indem man von jedem Einzelwert den Mittelwert subtrahiert, das Ergebnis quadriert und aufsummiert. Anschließend den Wert (Anzahl der Beobachtungen –1) dividieren und aus diesem Ergebnis die Wurzel ziehen.

$$x = \sqrt{\frac{\sum_{i=1}^{n} (x_i - \overline{x})^2}{n-1}}$$

Die Standardabweichung der Einzelbeobachtung:

- gibt die mittlere Abweichung einer Einzelmessung an
- gibt Aussage über die "Güte" einer Verteilung
- s hängt nur von der Präzision der Einzelmessung ab, nicht von deren Anzahl
- s ist auch ein Maß für die Streuung mehrerer Einzelmessungen derselben Größe
- die Unsicherheit lässt sich dann durch die Standardabweichung des Mittels angeben

**Standardabweichung des Mittels:** Die Standardabweichung des Mittels errechnet man, indem die Standardabweichung durch die Wurzel aus der Anzahl der Beobachtungen dividiert wird.

$$u = \frac{S}{\sqrt{n}}$$

Die Standardabweichung des Mittels:

- bei Fehlerangaben von Messreihen wird üblicherweise der Standardfehler des Mittelwertes angegeben
- u ist von s (Präzision der Einzelmessungen) und deren Anzahl abhängig
- gibt Aussage über die "Güte" einer Verteilung, bezogen auf die Anzahl der Einzelbeobachtungen

**Fehlerfortpflanzung:** In vielen Fällen ist die gesuchte Größe nicht direkt messbar, sondern muss mit Hilfe von zugänglichen Größen indirekt bestimmt werden. Der Wert von G ist eine im Experiment zu bestimmende Größe x, y, z usw. die unmittelbar gemessenen Größen, die alle mit einem Fehler behaftet sind ( $\Delta x$ ,  $\Delta y$ ,  $\Delta z$  usw.)

$$G = f(x, y, z, ...)$$

Es stellt sich die Frage, wie die Fehler der unmittelbar gemessenen Größen x, y, z, ... den Fehler der Größe G beeinflussen. Die Messfehler der direkt gemessenen Größen x, y, z, ... setzt sich im Ereignis G fort. Bei der Bestimmung von  $\Delta G$  muss man zwei Fälle unterscheiden.

Gauß'sche Fehlerfortpflanzung: Sind die Messgrößen x, y, z usw. unabhängig voneinander mit zufälligen Messabweichungen  $\Delta x$ ,  $\Delta y$ ,  $\Delta z$  usw., ergibt sich die wahrscheinlichere Messunsicherheit  $\Delta G$  aus der so genannten quadratischen Addition (Gauß'sches Fehlerfortpflanzungsgesetz).

$$\Delta G = \sqrt{\left(\frac{\delta G}{\delta x} \cdot \Delta x\right)^2 + \left(\frac{\delta G}{\delta y} \cdot \Delta y\right)^2 + \left(\frac{\delta G}{\delta z} \cdot \Delta z\right)^2 + \dots}$$

Dabei ist  $\Delta x$ ,  $\Delta y$ ,  $\Delta z$  usw.  $\stackrel{\triangle}{=}$  Vertrauensbereich des Mittelwertes der einzelnen Messgrößen.

$$\frac{\delta G}{\delta x}$$
,  $\frac{\delta G}{\delta y}$ ,  $\frac{\delta G}{\delta z}$  usw.  $\stackrel{\triangle}{=}$  partielle Ableitung der Funktion  $G = f(x, y, z \text{ usw.})$  nach den

Messgrößen x, y, z usw.

In den meisten Fällen kann man auf die Bildung des partiellen Differentialquotienten verzichten, da sich die letzte Gleichung für bestimmte Arten von Funktionen vereinfachen lässt.

#### Erkenntnis:

- Die Gauß'sche Fehlerfortpflanzung basiert auf rein statistischem Überlegen. Sie ist also zur Verarbeitung statistisch ermittelter Fehler geeignet.
- Sie ist zu empfehlen, wenn die einzelnen Messgrößen etwa gleichgroße Beiträge zur gesamten Messunsicherheit liefern.
- In der letzten Gleichung ist berücksichtigt, dass sich die Fehler der einzelnen Messgrößen teilweise kompensieren.

**Lineare Fehlerfortpflanzung (Größtfehler):** Unter der Voraussetzung  $\Delta x \ll x$ ,  $\Delta y \ll y$ ,  $\Delta z \ll z$  usw. kann man aufgrund des Taylor'schen Satzes den Gesamtfehler  $\Delta G$  wie folgt berechnen:

$$\Delta G = \left| \frac{\delta G}{\delta x} \right| \Delta x + \left| \frac{\delta G}{\delta y} \right| \Delta y + \left| \frac{\delta G}{\delta z} \right| \Delta z + ...,$$

wobei  $\Delta G \triangleq$  Maximalfehler (Größtfehler) ist

 $\Delta y$ ,  $\Delta y$ ,  $\Delta x$  usw.  $\stackrel{\triangle}{=}$  Vertrauensbereich des Mittelwertes oder geschätzter Fehler der Messgröße oder Fehlergrenze des Messgerätes.

Aus der obigen Gleichung entsteht aus  $G(x + \Delta x, y + \Delta y, z + \Delta z, ...)$  durch eine Entwicklung nach Taylor, die nach dem ersten Glied abgebrochen wurde.

Die 
$$\left| \frac{\delta G}{\delta x} \right|$$
 usw. sind die Beträge der partiellen Ableitung nach den gemessenen Größen  $x$ ,

y, z usw. Die Betragsstriche bewirken, dass alle Summanden positiv werden, wodurch eine mögliche gegenseitige Kompensation von Einzelfehlern vermieden wird. So erhält man immer den größtmöglichen Fehler der Größe G.

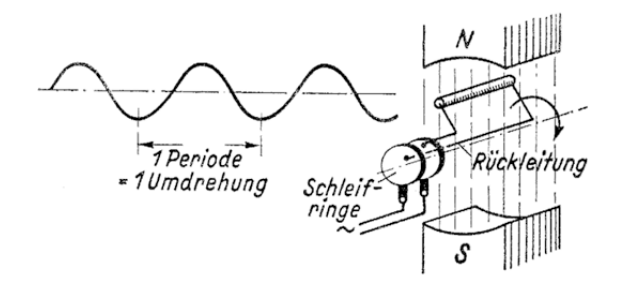
#### Man beachte:

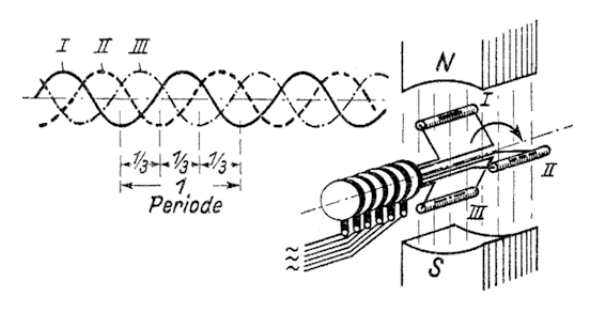
Der Größtfehler stellt den ungünstigsten Fall, eine obere Grenze für die Messunsicherheit dar. Er überschätzt auch die Messunsicherheit, da es sehr unwahrscheinlich ist, dass alle unabhängigen Größen gleichzeitig ihre maximalen bzw. minimalen Werte annehmen.

– Der Größtfehler ist zu empfehlen, wenn einige der Messunsicherheiten wesentlich größer sind als die anderen, denn dann ist die Gefahr der Überschätzung der Messunsicherheit  $\Delta G$  geringer. Außerdem ist er anzuwenden, wenn die einzelnen Messgrößen nicht unabhängig voneinander sind.

Drehstrom und Wechselstrom 18

## **Entstehung von Drehstrom und Wechselstrom**





$$f = p \cdot n$$

$$f = \frac{1}{T}$$

$$\omega = 2 \cdot \pi \cdot f$$

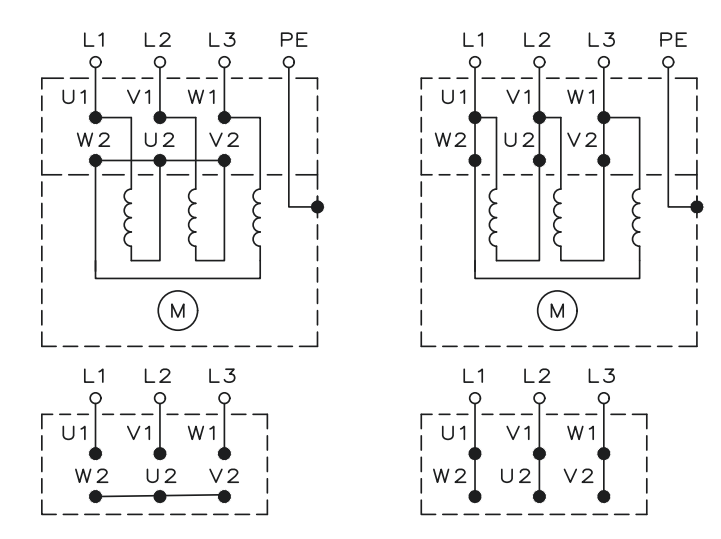
$$1 \text{ Hz} = \frac{1}{1 \text{ s}}$$

- f Frequenz in Hz
- p Polpaarzahl
- n Umdrehung der Leiterschleife im Magnetfeld
- T Periodendauer
- ω Kreisfrequenz

#### Statoranschlüsse und Klemmbrett für Stern- und Dreieckschaltung

Dem Drehstromnetz kann man entnehmen:

- dreiphasige Sternspannungen  $U_Y$  (Leiter gegen N um je 120° versetzt)
- dreiphasige Dreieckspannungen  $U_{\Delta}$  (Leiter gegen Leiter um je 30° vor  $U_{Y}$ )

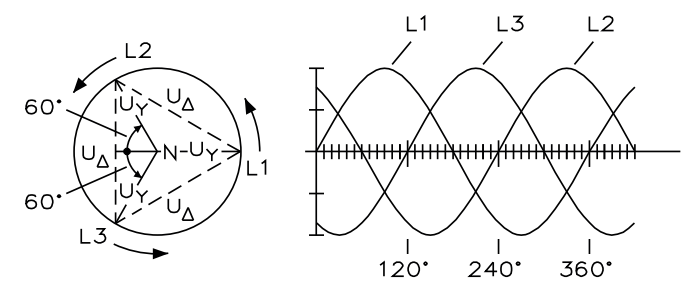


Bei Rechtslauf stimmen die alphabetische Reihenfolge der Buchstaben und die zeitliche Phasenfolge der Spannungen überein (L1→U1 L2→V1 L3→W1)

Bei Linkslauf müssen, bezogen auf den Rechtslauf, zwei Netzleitungen vertauscht werden: z.B. L1 an V1, L2 an U1, L3 an W1

#### Stern- und Dreieckspannungen

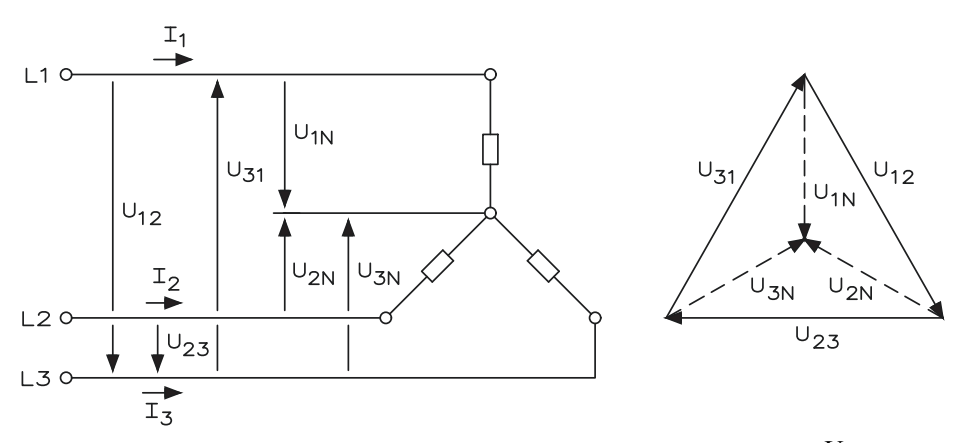
$$U_{\Lambda} = 2 \cdot U_{Y} \cdot \sin 60^{\circ} = U_{Y} \cdot \sqrt{3}$$



# 18.1 Augenblickswert, Scheitelwert, Spitze-Spitze-Wert, Effektivwert

18.2 Sternschaltung 377

## 18.2 Sternschaltung



Für den Strom I bzw. Strangstrom  $I_{St}$  bei ohmscher Belastung gilt:  $I = I_{St} = \frac{U_{St}}{R_{St}}$ .

Die Strangleistung  $P_{St}$  berechnet sich aus  $P_{St} = U_{St} \cdot I_{St}$ . Die Gesamtleistung P ermittelt sich aus  $P = \sqrt{3} \cdot U \cdot I$ . Die Außenleiterspannung U ist  $U = \sqrt{3} \cdot U_{St}$ . Für die Gesamtleistung gilt  $P = 3 \cdot P_{St}$ .

Man benötigt nur drei oder vier Leitungen (Drei- oder Vierleitersystem) für drei Stromkreise. In dem Niederspannungs-Versorgungsnetz sind dies bekanntlich  $U=400~\rm V$  zwischen zwei Strangspannungen oder  $U=230~\rm V$  bzw. einer Strangspannung und dem Neutralleiter N. Auf der Verbraucherseite werden die Anschlüsse mit  $L_1$ ,  $L_2$  und  $L_3$  und der Sternpunkt mit N bezeichnet. Auf der Erzeugerseite hat man dagegen die Anschlussbezeichnungen von U, V und W.

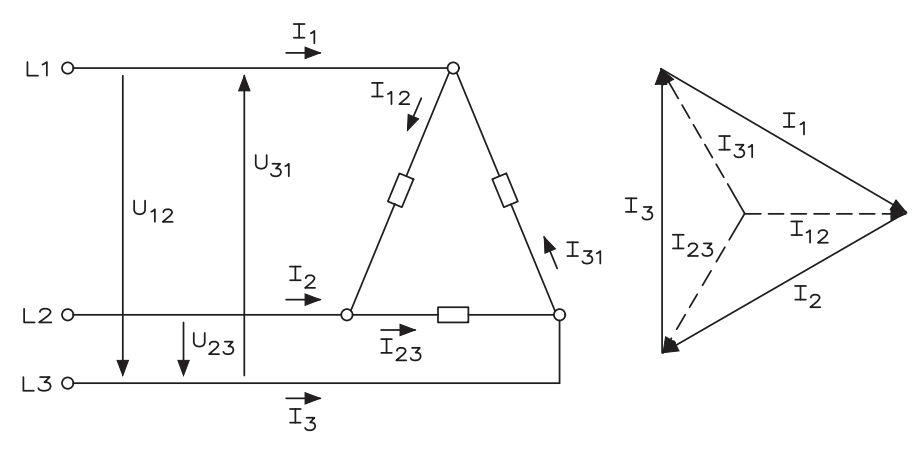
$$\begin{array}{lll} U = \sqrt{3} \cdot U_{St} & U & \text{Außenleiter } U_{12}, \ U_{23}, \ U_{31} \\ \sqrt{3} & \text{Verkettungsfaktor} \\ U_{St} & \text{Strangspannung } U_{1N}, \ U_{2N}, \ U_{3N} \\ S = 3 \cdot U_{St} \cdot I = \sqrt{3} \cdot U_{St} \cdot I & S & \text{Scheinleistung VA oder kVA} \\ P = 3 \cdot U_{St} \cdot I \cdot \cos \varphi = \sqrt{3} \cdot U_{St} \cdot I \cdot \cos \varphi & I & \text{Außenleiterstrom } I_{1N}, \ I_{2N}, \ I_{3N} \\ Q = 3 \cdot U_{St} \cdot I \cdot \sin \varphi = \sqrt{3} \cdot U_{St} \cdot I \cdot \sin \varphi & Q & \text{Blindleistung in Var oder kvar} \end{array}$$

Bei einer symmetrischen Belastung (ohmsche Widerstände, Induktivitäten bei einem Motor) tritt in der Sternschaltung im Neutralleiter N kein Stromfluss auf, da die Außenleiter und die Verbraucherwiderstände alle gleich groß sind. Bei einer unsymmetrischen Belastung muss bei einer Sternschaltung mit Neutralleiter jede Phase gesondert berechnet werden:

Phase N<sub>1</sub>: 
$$I_{1N} = \frac{U_{1N} \cdot \cos \varphi}{R_1}$$
  $U_{1N} = \frac{U}{\sqrt{3}}$   $P_{1N} = U_{1N} \cdot I_1 \cdot \cos \varphi$ 

## 18.3 Dreieckschaltung

## Symmetrische Belastung einer Dreieckschaltung



Für die Außenleiterspannung gilt:  $U = U_{St}$ 

Den Außenleiterstrom erhält man:  $I = \sqrt{3} \cdot I_{St}$ 

Die Strangleistung  $P_{St}$  berechnet sich aus  $P_{St} = U_{St} \cdot I_{St}$ 

Die Gesamtleistung *P* ermittelt sich aus  $P = 3 \cdot P_{St}$   $P = \sqrt{3} \cdot U \cdot I$ 

Für eine symmetrische Belastung einer Sternschaltung gilt

$I = \sqrt{3} \cdot I_{St}$ $U = U_{St}$ $S = 3 \cdot U \cdot I_{St} = \sqrt{3} \cdot U \cdot I$ $P = 3 \cdot U \cdot I_{St} \cdot \cos \varphi = \sqrt{3} \cdot U \cdot I \cdot \cos \varphi$ $Q = 3 \cdot U \cdot I_{St} \cdot \sin \varphi = \sqrt{3} \cdot U \cdot I \cdot \sin \varphi$	$ \begin{array}{c} \mathcal{C} \\ \sqrt{3} \\ U_{St} \\ S \\ I \\ P \\ Q \end{array} $	Außenleiter $U_{12}$ , $U_{23}$ , $U_{31}$ Verkettungsfaktor Strangspannung $U_{1N}$ , $U_{2N}$ , $U_{3N}$ Scheinleistung VA oder kVA Außenleiterstrom $I_1$ , $I_2$ , $I_3$ Wirkleistung in W oder kW Blindleistung in var oder kvar
--	--	---

## 18.4 Leitungssysteme

## Gleichstrom und Wechselstrom mit cos $\varphi = 1$

Leistungsart	Spannungsverlust	Querschnitt	Leistungsverlust	Querschnitt
Unverzweigte Leitung	$U_{v} = \frac{2 \cdot I \cdot l}{\gamma \cdot A}$	$A = \frac{2 \cdot I \cdot l}{\gamma \cdot U_{v}}$	$p_v\% = \frac{200 \cdot P \cdot l}{\gamma \cdot A \cdot U^2}$	$S = \frac{200 \cdot P \cdot l}{\gamma \cdot U^2 \cdot p_v\%}$
Verzweigte Leitungen mit gleich- bleibendem Querschnitt	$U_{v} = \frac{2 \cdot \sum (I \cdot I)}{\gamma \cdot A}$	$A = \frac{2 \cdot \sum (I \cdot I)}{\gamma \cdot U_{\nu}}$	$p_{v}\% = \frac{200 \cdot \sum (P \cdot l)}{\gamma \cdot A \cdot U^{2}}$	$S = \frac{200 \cdot \sum (P \cdot l)}{\gamma \cdot U^2 \cdot p_v\%}$
	$\sum (I \cdot l) = I_1 \cdot l_1 + I_2 \cdot$	l <sub>2</sub> +	$\sum (P \cdot l) = P_1 \cdot l_1 + P_2 \cdot l_2$	<i>l</i> <sub>2</sub> +

## Einphasenwechselstrom mit Blindlast

Leistungsart	Spannungsunterschied	Querschnitt	Leistungsverlust Querschnitt
Unverzweigte Leitung	$\Delta U = \frac{2 \cdot I \cdot l \cdot \cos \varphi}{\gamma \cdot A}$	$A = \frac{2 \cdot I \cdot l \cdot \cos \varphi}{\gamma \cdot \Delta U}$	$p_v\% = \frac{200 \cdot P \cdot l}{\gamma \cdot A \cdot U^2 \cdot \cos^2 \varphi}$
			$S = \frac{200 \cdot P \cdot l}{\gamma \cdot U^2 \cdot \cos^2 \varphi \cdot p_v\%}$
Verzweigte Leitungen mit gleich- bleibendem Querschnitt	$\Delta U = \frac{2 \cdot \sum (I \cdot l \cdot \cos \varphi)}{\gamma \cdot A}$	$A = \frac{2 \cdot \sum (I \cdot l \cdot \cos \varphi)}{\gamma \cdot \Delta U}$	
	$\sum (I \cdot l \cdot \cos \varphi) = I_1 \cdot l_1 \cdot \cos \varphi$	$+I_2 \cdot l_2 \cdot \cos \varphi + \dots$	

## **Drehstrom mit Blindlast**

Leistungsart	Spannungsverlust	Querschnitt	Leistungsverlust Querschnitt
Unverzweigte Leitung	$\Delta U = \frac{1,73 \cdot I \cdot l \cdot \cos \varphi}{\gamma \cdot A}$	$A = \frac{1,73 \cdot I \cdot l \cdot \cos \varphi}{\gamma \cdot \Delta U}$	$p_v\% = \frac{100 \cdot P \cdot l}{\gamma \cdot A \cdot U^2 \cdot \cos^2 \varphi}$
			$S = \frac{100 \cdot P \cdot l}{\gamma \cdot U^2 \cdot \cos^2 \varphi \cdot p_{\nu}\%}$
Verzweigte Leitungen mit gleich- bleibendem Querschnitt	$\Delta U = \frac{1,73 \cdot \sum (I \cdot l \cdot \cos \varphi)}{\gamma \cdot A}$	$A = \frac{1,73 \cdot I \cdot l \cdot \cos \varphi}{\gamma \cdot \Delta U}$	

U Nennspannung in V (bei Drehstrom = Außenleiterspannung)

I Stromstärke in der Leitung in A

P Wirkleistung in W

*l* einfache Leiterlänge in m

 $\gamma$  elektrische Leitfähigkeit in m/ $(\Omega \cdot \text{mm}^2)$ 

 $\Delta U$  Spannungsunterschied zwischen Leitungsanfang und -ende in V

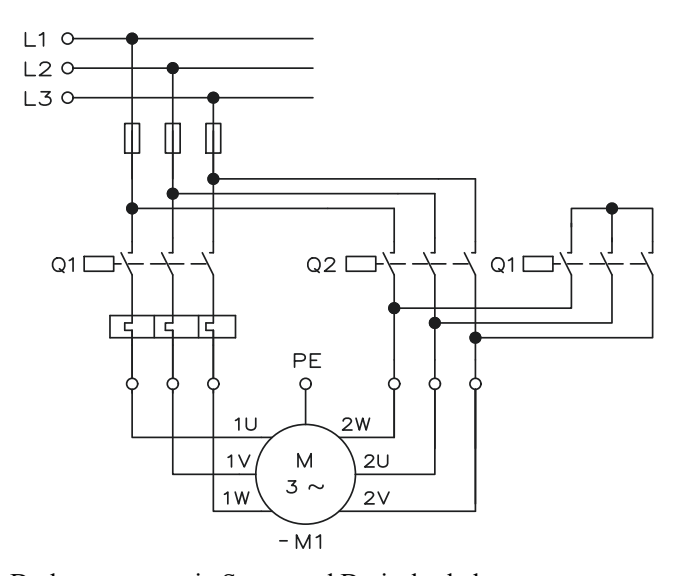
 $\cos \varphi$  Wirkleistungsfaktor

A Querschnitt der Leitung in mm<sup>2</sup>

 $U_{v}$  Spannungsverlust auf der Leitung in V

 $p_v$ % Leistungsverlust in % von P

#### 18.5 Drehstrommotor



Drehstrommotor in Stern- und Dreieckschaltung

Zum Anlaufen wird ein Drehstrommotor in Sternschaltung betrieben

$$\begin{split} U &= \sqrt{3} \cdot U_{St} & I = I_{St} \\ S &= \sqrt{3} \cdot U \cdot I_{St} \\ P &= \sqrt{3} \cdot U \cdot I_{St} \cdot \cos \varphi \\ Q &= \sqrt{3} \cdot U \cdot I \cdot \sin \varphi \qquad Q = \sqrt{S^2 - P^2} \end{split}$$

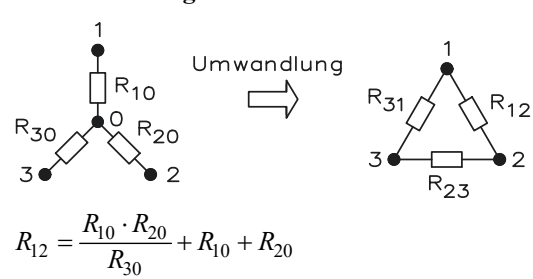
Für den Betriebszustand arbeitet der Drehstrommotor in Dreieckschaltung

$$U = U_{St} I = \sqrt{3} \cdot I_{St}$$

Es gilt:  $P_{\Delta} = 3 \cdot P_{Y}$ .

## 18.6 Umwandlung von Stern-Dreieck und Dreieck-Stern

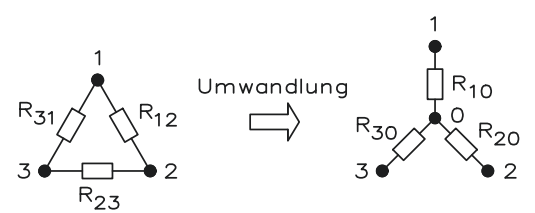
## Umwandlung von Stern-Dreieck- in Dreieck-Stern-Schaltung



$$R_{23} = \frac{R_{20} \cdot R_{30}}{R_{10}} + R_{20} + R_{30}$$

$$R_{31} = \frac{R_{10} \cdot R_{30}}{R_{20}} + R_{10} + R_{30}$$

#### Umwandlung von Dreieck-Stern- in Stern-Dreieck-Schaltung



$$R_{10} = \frac{R_{12} \cdot R_{31}}{R_{12} + R_{31} + R_{23}} \qquad \qquad R_{20} = \frac{R_{12} \cdot R_{23}}{R_{12} + R_{31} + R_{23}} \qquad \qquad R_{30} = \frac{R_{31} \cdot R_{23}}{R_{12} + R_{31} + R_{23}}$$

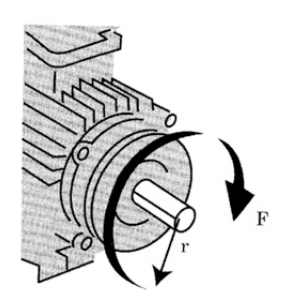
## 18.7 Drehstrom-Asynchronmotor

Die Drehzahl eines Rotors ist geringer als die Drehzahl des Drehfeldes:

 $n_s = n_d - n$   $n_s$  Schlupfdrehzahl in min<sup>-1</sup>  $s = \frac{n_s}{n_d}$   $n_d$  Drehzahl des Drehfeldes in min<sup>-1</sup>  $n_d$  Drehzahl des Rotors in min<sup>-1</sup>  $n_d$  Schlupf  $n_d$  Schlupf  $n_d$  Polpaare  $n_d$  Läuferfrequenz in Hz  $n_d$  Läuferstillstandsspannung in V

## 18.8 Motormoment

#### Motormoment



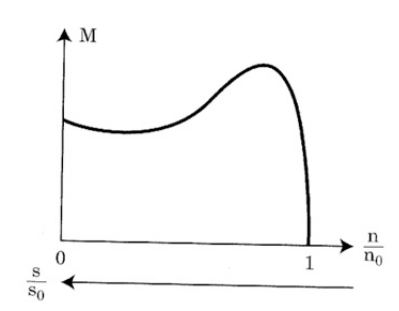
$$M = F \cdot r$$

$$W = F \cdot d$$

$$d = n \cdot 2 \cdot \pi \cdot r$$

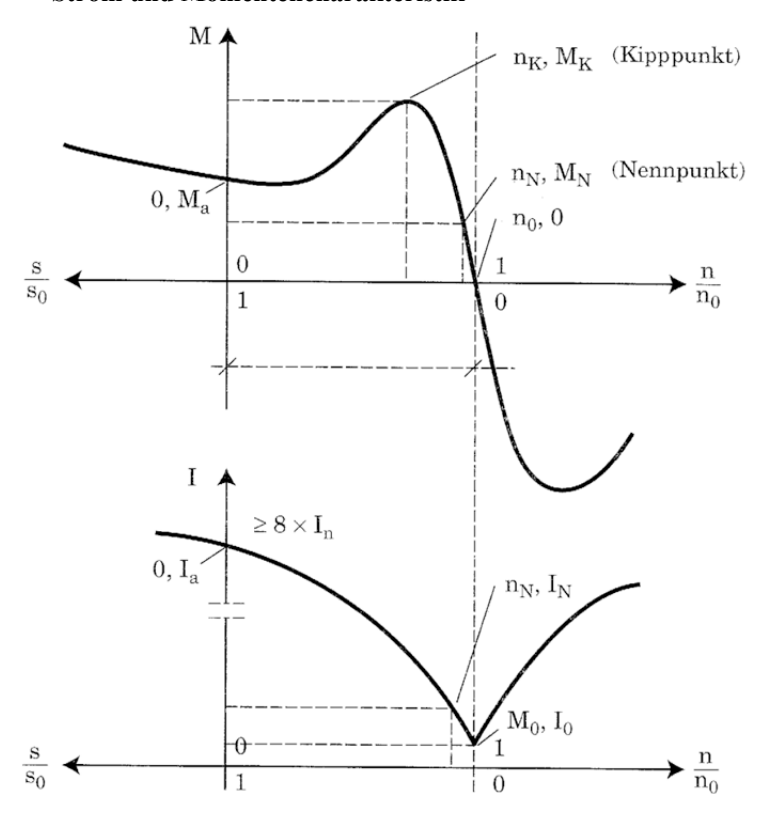
$$W = P \cdot t$$

$$P_W = \sqrt{3} \cdot U \cdot I \cdot \cos \varphi$$



- M Drehmoment in Nm
- W elektrische Arbeit in Nm
- d Durchmesser in m
- $P_W$  Wellenleistung
- P mechanische Leistung in  $W = \frac{Nm}{s} = \frac{J}{m}$

#### Strom und Momentencharakteristik



18.8 Motormoment 383

$$W = F \cdot s$$

$$P = \frac{W}{t} = \frac{F \cdot s}{t} = F \cdot v$$

$$P = M \cdot n \cdot 2 \cdot \pi$$

$$t$$
Zeit in s
$$s$$
Strecke in m
$$n$$
Drehzahl in min<sup>-1</sup>

Da 1 Nm/s = 1 W und 1 min<sup>-1</sup> = 60 s<sup>-1</sup> sind, erhält man zur Berechnung der Motorleistung P in kW aus Drehmoment M und Drehzahl n mit  $\frac{2 \cdot \pi}{60 \cdot 1000} = \frac{1}{9550}$  die Formel  $P = \frac{M \cdot n}{9550}$ .

Für das Moment gilt: 
$$M = F \cdot r = \frac{W}{d} \cdot r = \frac{P \cdot d \cdot r}{n \cdot 2 \cdot \pi \cdot r}$$
.

$$M = \frac{P \cdot 9550}{n} \left( t = 60s \right)$$

$$M_r = \frac{P_r}{n_r}$$
, wobei gilt  $M_r = \frac{M}{M_N}$ ,  $P_r = \frac{P}{P_N}$  und  $n_r = \frac{n}{n_N}$ 

Beim Motor gibt es zwei Bremsbereiche:

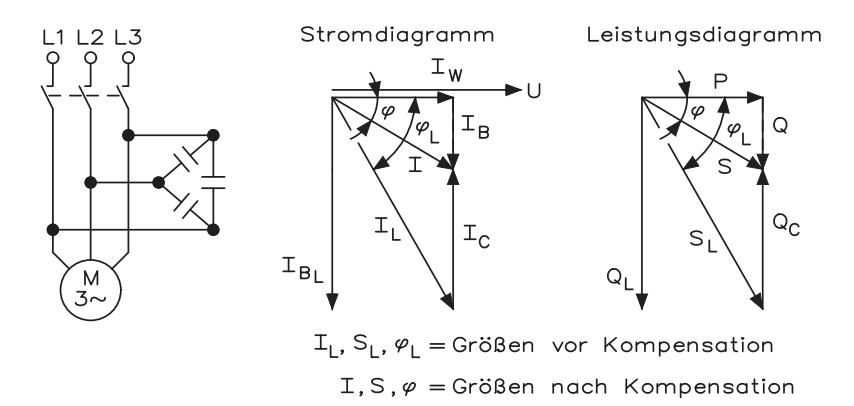
Bei  $\frac{n}{n_0} > 1$  wird der Motor von der Belastung über die synchrone Drehzahl gezogen und der Motor arbeitet als Generator, d. h. in diesem Bereich ist ein Gegenmoment vorhanden und es wird Leistung an das Versorgungssnetz zurückgegeben.

Im Bereich  $\frac{n}{n_0}$  < 1 wird das Bremsen als Gegenstrombremsung bezeichnet.

Anlaufbetrieb 
$$0 < \frac{n}{n_0} < \frac{n_k}{n_0}$$
 und Betriebsbereich  $\frac{n_k}{n_0} < \frac{n}{n_0} < 1$ 

Das Anzugsmoment ist  $M_A = \frac{M_K \cdot M}{M_N}$ .

## 18.9 Blindstromkompensation für Drehstrom



Blindstromkompensation eines Drehstrommotors

Die einphasige Blindstromkompensation ist:

$$Q_C = Q_1 - Q_2$$

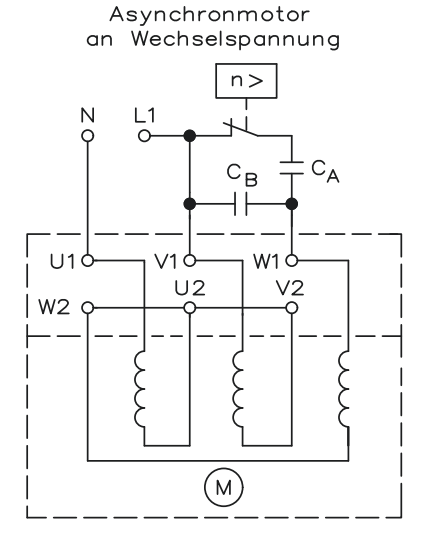
$$Q_C = P (\tan \varphi_1 - \tan \varphi_2)$$

$$Q_C = 2 \cdot \pi \cdot f \cdot C \cdot U^2$$

Für die dreiphasige Blindstromkompensation gilt:  $3 \cdot Q_C$ 

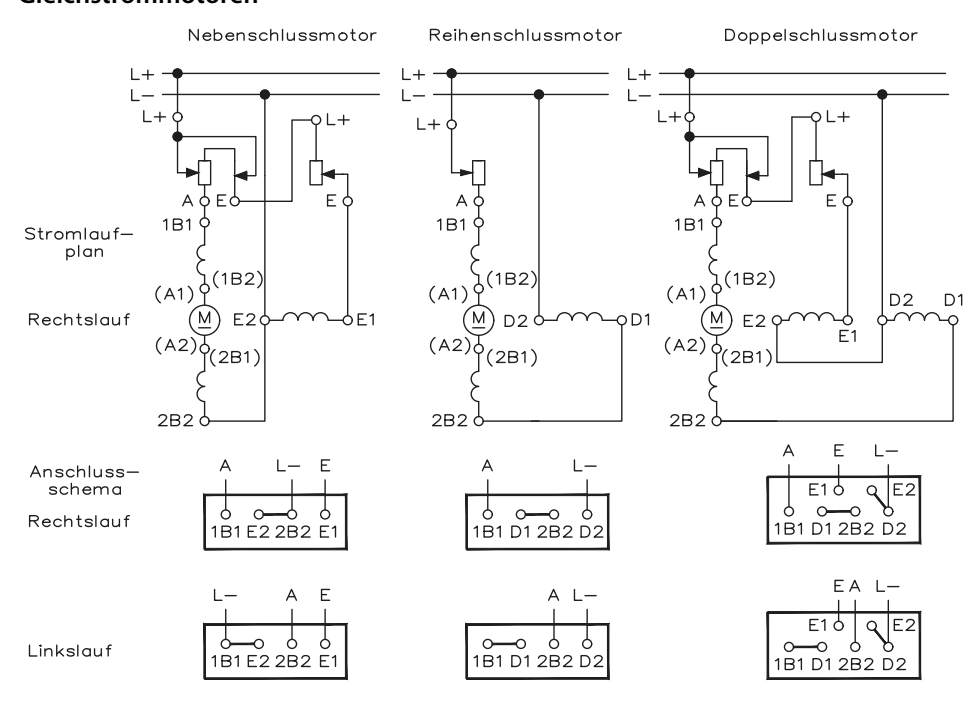
## 18.10 Drehstrommotor an Wechselspannung

Bei Heizungspumpen verwendet man Drehstrommotoren und betreibt diese an einer Netzphase und Neutralleiter.



$C_A = 2 \cdot C_B$	U <sub>Netz</sub>	$C_B$	$M \approx U^2$
	115 V 230 V 400 V	$200 \mu F \cdot P/kW$ $70 \mu F \cdot P/kW$ $20 \mu F \cdot P/kW$	$\eta \approx 0.50.7$ $M_A \approx 12 \% \text{ von } M_A \text{ bei Drehstrom (gilt ohne } C_A)$ $M_N \approx 80 \% \text{ von } M_N \text{ bei Drehstrom}$ $M_A / M_N = 13$

#### Gleichstrommotoren



Ankerwicklung
Wendepolwicklung
Kompensationswicklung
Reihenschlusswicklung
Nebenschlusswicklung
fremderregte Wicklung

$$U_G = U - I_A \cdot R_A$$

$$M_N = \frac{P_N \cdot 9550}{n_N}$$

$$M = \frac{P}{2 \cdot \pi \cdot n} = \frac{P}{\omega}$$

$$M = B \cdot l \cdot I \cdot r \cdot z$$

$$n = \frac{U}{\Phi \cdot \mathbf{k}}$$

 $U_G$  Gegenspannung in V

M<sub>N</sub> Nennmoment in Nm

 $n_N$  Nenndrehzahl in s<sup>-1</sup>

ω Winkelgeschwindigkeit in s<sup>-1</sup>

B magnetische Flussdichte in T

P Leistung in Nm/s

z Leiterzahl

l wirksame Leiter in m

r Radius in m

n Drehzahl in s<sup>-1</sup>

Φ magnetischer Fluss

k Konstante

## 18.11 Gleichstrom-Scheibenläufer

$$\begin{split} n &= \frac{U - I \cdot R_A}{k_E} \\ M_i &= I \cdot k_T \\ M_D &= k_D \cdot n \\ M_W &= M_i - M_F - M_D \\ M_W &= k_T \cdot I - (M_F + k_D \cdot n) \\ \tau_{el} &= \frac{L_A}{R_A} \\ i &= I \cdot \left(1 - e^{-\frac{t}{\tau_{el}}}\right) \end{split}$$

 $R_A$  Ankerkreiswiderstand in  $\Omega$ 

 $k_E$  EMK-Konstante in V/1000 min<sup>-1</sup>

 $k_T$  Drehmomentkonstante

 $M_i$  internes Drehmoment

M<sub>D</sub> Drehmoment

Pw Wellenleistung

k<sub>D</sub> Dämpfungskonstante

M<sub>W</sub> Wellendrehmoment

 $\tau_{el}$  elektrische Zeitkonstante

*i* Stromanstieg

#### 18.12 Schrittmotor

$$\alpha = \frac{360^{\circ}}{2 \cdot p \cdot m}$$

$$z = \frac{360^{\circ}}{\alpha}$$

$$f_z = \frac{n \cdot z}{60} = \frac{n \cdot 360^{\circ}}{\alpha \cdot 60}$$

$$\omega = \frac{2 \cdot \pi \cdot f_z}{z} = \frac{2 \cdot \pi \cdot f_z \cdot \alpha}{360^{\circ}}$$

α Schrittgeschwindigkeit

p Polpaarzahl

m Wicklungsphasen

z Schrittzahl je Umdrehung

n Drehzahl in min<sup>-1</sup>

ω Winkelgeschwindigkeit

## 18.13 Mechanische Übertragung der Motorleistung

Umfangsgeschwindigkeit der Riemenscheibe:

 $v = d \cdot \pi \cdot n = 2 \cdot r \cdot \pi \cdot n$ 

Motorleistung:

$$P = M \cdot 2 \cdot \pi \cdot n$$
 oder  $P = \frac{M \cdot n}{9550}$ 

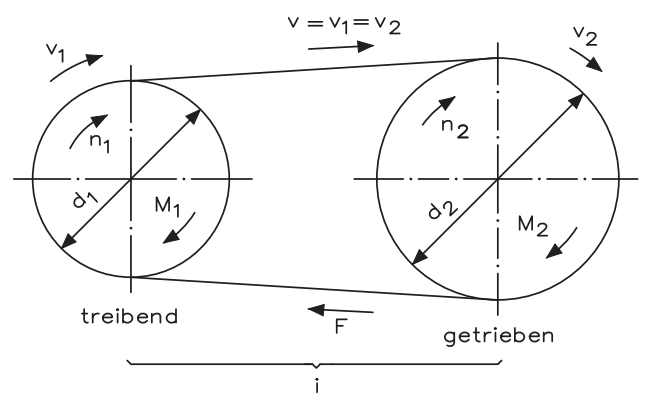
Riemengeschwindigkeit in m/s

*n* Drehzahl in min<sup>-1</sup>

P Leistung in kW

M Drehmoment in Nm

In der Praxis ist der einfache Riementrieb die einfache Übersetzung. Riementriebe werden als kraftschlüssige Übertragung von Drehbewegungen von der treibenden Welle auf die angetriebene Welle verwendet.



Die Übersetzung i lässt sich einteilen in:

- *i* > 1 Übersetzung in das Langsamere

-i = 1 direkte Übersetzung

-i < 1 Übersetzung in das Schnellere

$$n_1 \cdot d_1 = n_2 \cdot d_2$$

$$i = \frac{n_1}{n_2} = \frac{d_1}{d_2} = \frac{M_2}{M_1}$$

$$M_1 = F \cdot r_1$$
  $M_2 = F \cdot r_2$ 

Riemenzugkraft in N

 $n_1$  Drehzahl der treibenden Scheibe in min<sup>-1</sup>

d<sub>1</sub> Durchmesser der treibenden Scheibe in mm

 $r_1$  Radius (Hebelarm) der treibenden Scheibe in m

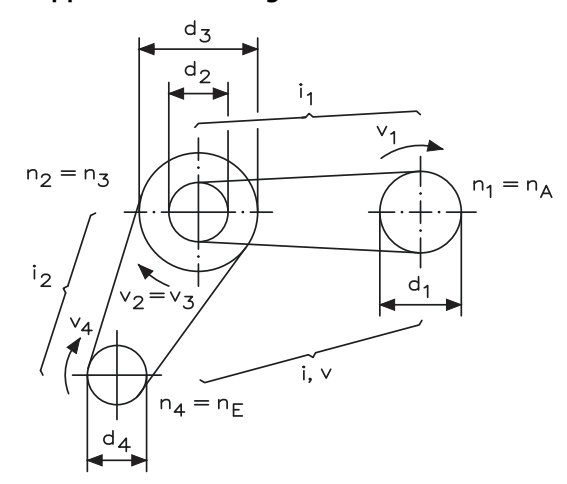
 $M_1$  Drehmoment der treibenden Scheibe in Nm

n<sub>2</sub> Drehzahl der getriebenen Scheibe in min<sup>-1</sup>

 $d_2$  Durchmesser der getriebenen Scheibe in mm

 $r_2$  Radius (Hebelarm) der getriebenen Scheibe in m  $M_2$  Drehmoment der getriebenen Scheibe in Nm

#### Doppelte Übersetzung



$$i_{ges} = i_1 \cdot i_2 = \frac{n_1}{n_4} = \frac{M_4}{M_1}$$

$$i_{ges} = \frac{n_1 \cdot n_3}{n_2 \cdot n_4} = \frac{d_2 \cdot d_4}{d_1 \cdot d_3} = i_1 \cdot i_2 \cdot i_3 \cdot \dots$$

 $i_{ges}$  Gesamtübersetzung  $i_1, i_2, i_3$  Einzelübersetzung  $n_1, n_3$  Drehzahl der treibe Gesamtübersetzung

Drehzahl der treibenden Scheibe in min<sup>-1</sup>

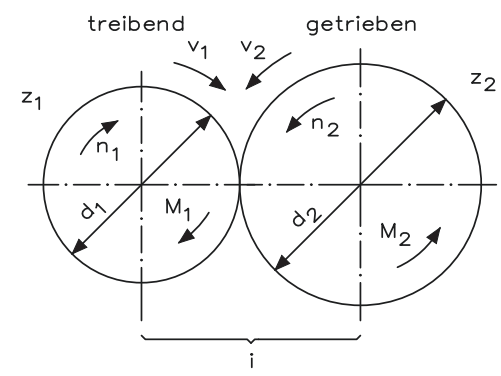
 $n_2, n_4$  $d_1, d_3$ Drehzahl der getriebenen Scheibe in min-1

Durchmesser der treibenden Scheiben in mm

 $d_2, d_4$ Durchmesser der getriebenen Scheiben in mm

1, 3, 5,... Indizes für treibend

2, 4, 6,... Indizes für getrieben



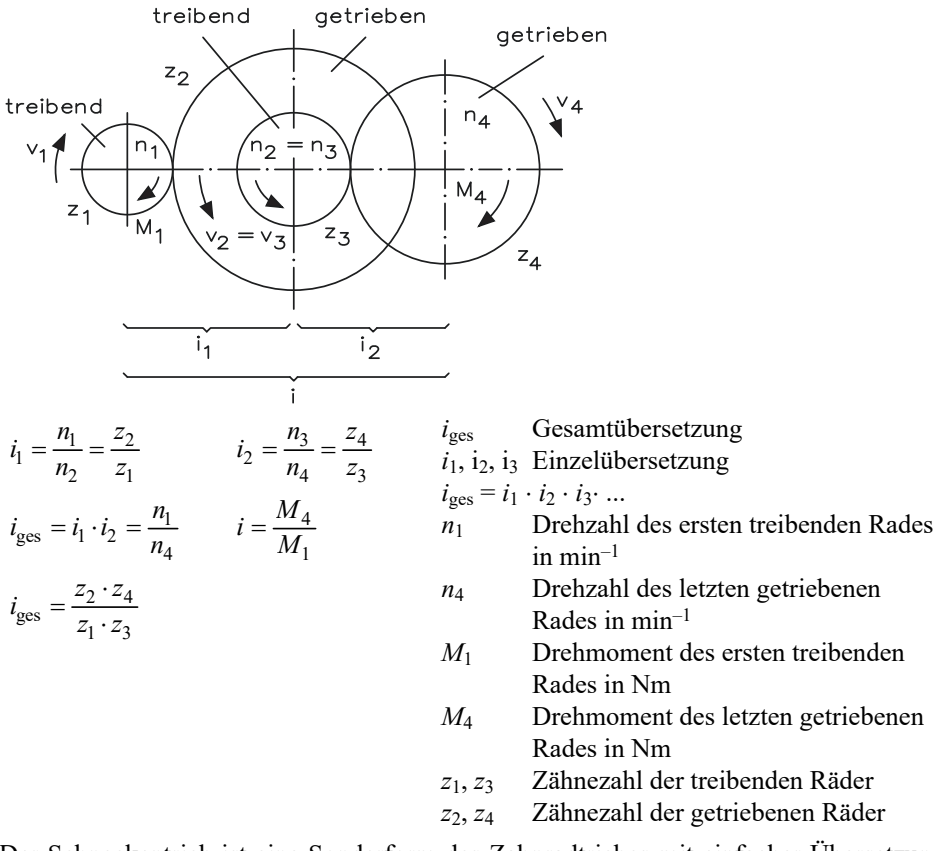
$$i = \frac{n_1}{n_2} = \frac{z_2}{z_1}$$

$$i = \frac{M_2}{M_1}$$

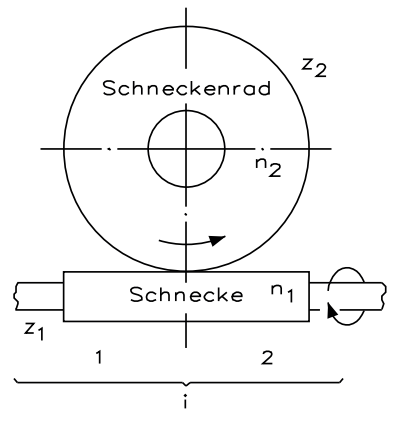
$$M_1 = F \cdot r_1 \qquad M_2 = F \cdot r_2$$

- Drehzahl des treibenden Rades in min<sup>-1</sup>  $n_1$
- Drehzahl des getriebenen Rades in min-1  $n_2$
- Anzahl der Zähne des treibenden Rades  $z_1$
- Anzahl der Zähne des getriebenen Rades  $z_2$
- i Übersetzungsverhältnis
- $M_1$ Drehmoment des treibenden Rades in Nm
- $M_2$ Drehmoment des getriebenen Rades in Nm
- FZahnkraft in N
- $r_1, r_2$  Radius (Hebelarm) in m

Bei doppeltem Zahnradtrieb sind zwei Einzelübersetzungen hintereinander geschaltet, wobei die Zahnräder  $z_2$  und  $z_3$  miteinander verblockt sind und damit die gleiche Drehzahl aufweisen.



Der Schneckentrieb ist eine Sonderform des Zahnradtriebes mit einfacher Übersetzung. Er dient in erster Linie zum Herabsetzen hoher Drehzahlen. Es gibt ein- und mehrgängige Schnecken. Schneckentriebe werden wie Zahnradtriebe berechnet.



$$n_1 \cdot z_1 = n_2 \cdot z_2$$

n<sub>1</sub> Drehzahl der Schnecke in min<sup>-1</sup>

n<sub>2</sub> Drehzahl des Schneckenrades in min<sup>-1</sup>

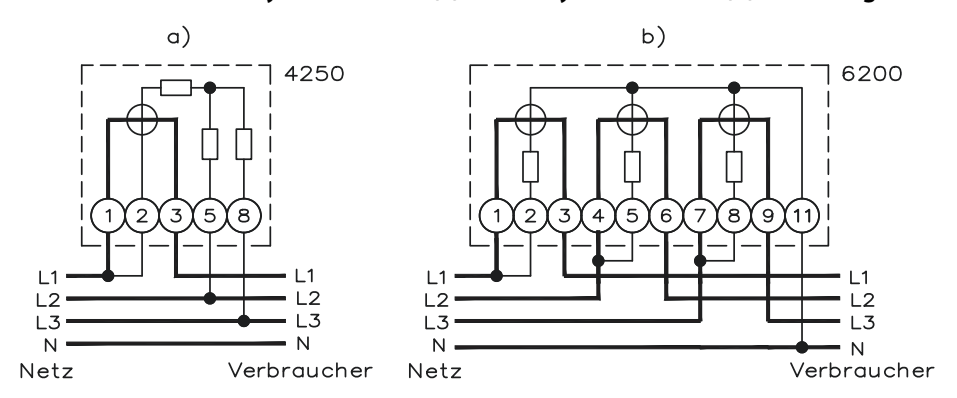
z<sub>1</sub> Anzahl der Zähne der Schnecke (Gängigkeit)

*z*<sub>2</sub> Anzahl der Zähne des Schneckenrades

i Übersetzung

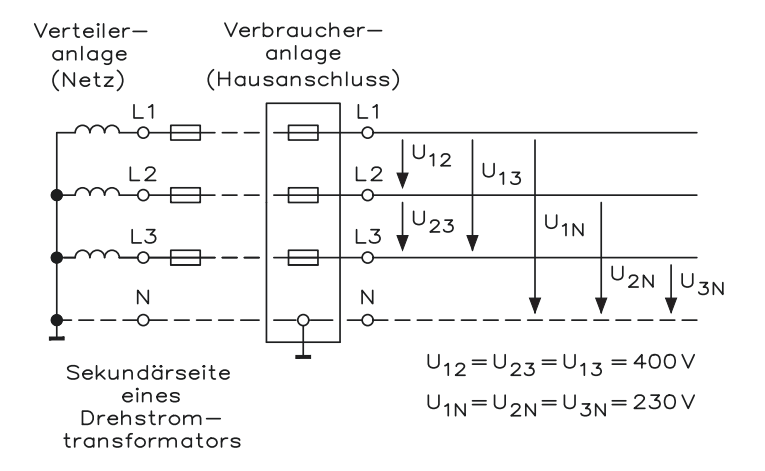
## 18.14 Drehstromzähler und Netzformen

#### Drehstromzähler mit symmetrischer (a) und unsymmetrischer (b) Belastung



#### Für die Anschlussklemmen gilt folgende Tabelle:

	Nummer	Klemmart
Zähler	1 bis 12	Strom- und Spannungspfade
	13	Zweitarifauslöser
	14	Maximalauslöser
	15	gemeinsamer Anschluss der Zusatzeinrichtungen
	16	Überbrückung für die Kurzschließschaltung
	17, 18, 19	Maximal-Rückstellung
Rundsteuerempfänger	1, 2	Netzanschluss
	3, 4, 5	erster Umschalter
	6, 7, 8	zweiter Umschalter
	9, 10, 11	dritter Umschalter
12, 1	12, 13, 14	vierter Umschalter
		Umschaltkontakt jeweils an 4, 7, 10 und 13



Beim Drehstromnetz haben die drei Spannungen zwischen den Außenleitern die gleiche Frequenz von 50 Hz, die gleichen Effektivwerte von 400 V bzw. 230 V und den gleichen sinusförmigen Verlauf.

Die Spannungen  $U_{1N}$ ,  $U_{2N}$  und  $U_{3N}$  werden als Strangspannungen oder Sternspannungen bezeichnet, die Spannungen  $U_{12}$ ,  $U_{23}$  und  $U_{13}$  dagegen als Außenleiterspannungen oder Leiterspannungen. Das Verhältnis von Außenleiterspannung zur Sternspannung ist der Verkettungsfaktor des Drehstromsystems.

Wohnhäuser, Wohnungen und Werkstätten werden in der Regel durch einen Vierleiter-Drehstromanschluss mit elektrischer Energie versorgt. Hierfür gibt es verschiedene Netzformen. Daraus ergeben sich drei grundlegend unterschiedliche Netzformen, TN-Netz, TT-Netz und IT-Netz. Die Buchstaben haben dabei nachfolgende Bedeutungen.

Der erste Buchstabe beschreibt das Erdungsverhältnis der Stromquelle (Kraftwerk) oder des Niederspannungsnetzes.

T (Terra) = Betriebserde (direkte Erdung eines Punktes: Sternpunkt, Außenleiter). I (isoliert) = Isolierung der Spannungsquelle und aller dem Energietransport dienenden Teile gegenüber Erde oder Verbindung eines leitfähigen Teiles mit Erde.

Mit dem zweiten Buchstaben werden die Erdungsverhältnisse der Gehäuse der Verbraucher beschrieben.

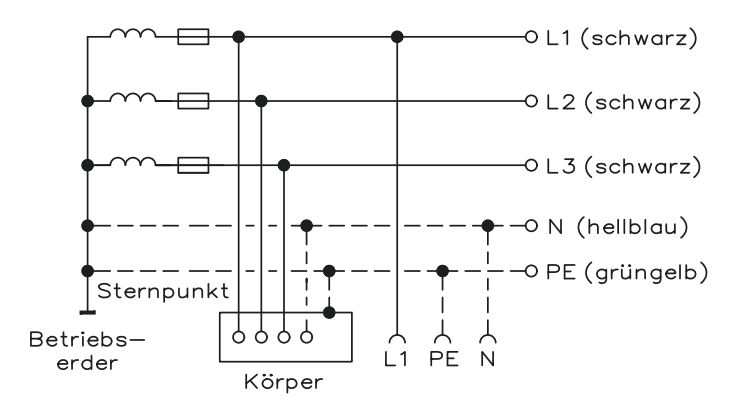
T = direkte Erdung der Gehäuse.

N = direkte Verbindung der Gehäuse der Verbraucher mit der Betriebserde der Spannungsquelle durch den Schutzleiter.

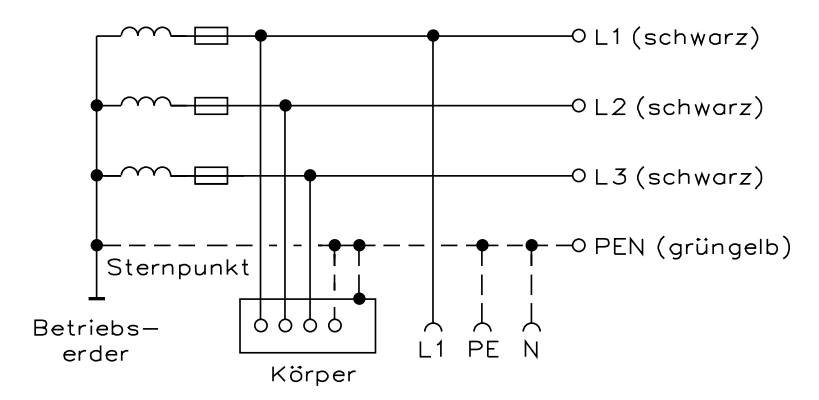
Bei den überwiegend verwendeten TN-Netzen sind zwei Ausführungsformen von Bedeutung. Sie werden durch weitere, mit einem Bindestrich angehängte Buchstaben gekennzeichnet. Diese liefern Hinweise auf die Anordnung des Schutzleiters.

S = Neutralleiter N und Schutzleiter PE (Protection Earth) werden als zwei separate Leiter geführt. Die Farben sind "grüngelb" (PE) und "hellblau" (N).

C = Neutralleiter N und Schutzleiter PE werden kombiniert als Leiter PEN geführt.



### TN-S-Netz mit Anschluss einer Steckdose



Am weitesten verbreitet in der Netzanschlusstechnik ist das TN-S-Netz. Diese Netzform zeigt den Anschluss einer Steckdose an das TN-S-Netz. Der Sternpunkt der Stromquelle ist hier direkt geerdet (Betriebserder). Von diesem Sternpunkt aus sind der Neutralleiter N und der Schutzleiter PE bis zum Verbraucher getrennt verlegt. Selbstverständlich kann hier zum Anschluss der Steckdose anstelle des Leiters L1 auch der Leiter L2 oder L3 benutzt werden.

#### TN-C-Netz mit Anschluss einer Steckdose

Hier werden Neutralleiter N und Schutzleiter PE vom Sternpunkt aus als kombinierte Leitung PEN zum Verbraucher geführt. Als zusätzliches Beispiel ist wieder der Anschluss einer Steckdose bei dieser Netzform eingezeichnet.

Weitere Netzformen TT-Netz und IT-Netz haben in der Praxis eine geringere Bedeutung und werden meistens nur für ganz spezielle Aufgaben eingesetzt.

# 18.15 Schutzeinrichtungen und Schutzmaßnahmen

Die Überstrom-Schutzeinrichtungen haben die Aufgabe, sowohl Kabel und Leitungen als auch elektrische Betriebsmittel vor Kurzschluss und Überlast zu schützen. Eingesetzt werden Schmelzsicherungen und Überstrom-Schutzschalter.

Bei den Schmelzsicherungen erfolgt das Abschalten eines Überstromes durch Abschmelzen eines sehr dünnen Drahtes, dem Schmelzleiter in dem Sicherungselement. Je größer der Überstrom, desto schneller schmilzt der Draht und bewirkt damit die sichere Trennung des Stromkreises.

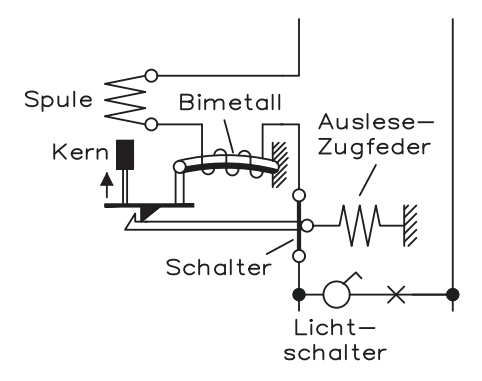
Um sich ein Urteil über die schnelle oder teilweise recht langsame Abschaltung durch Sicherungen bilden zu können, sind folgende Angaben von VDE 0635 (Vorschriften für Leitungsschutzsicherungen) zusammengestellt.

Nennstrom	Flinksicherung		Trägsicherung	
	$2,5 \cdot I_n$	$4 \cdot I_n$	$2.5 \cdot I_n$	$4 \cdot I_n$
10	0,3/0,85	0,04/0,55	16/120	0,9/3,6
16	0,35/9	0,05/0,55	17/120	1,1/4
20	0,35/10	0,07/0,8	19/130	1,3/4,5
25	0,6/12	0,1/1,1	22/140	1,8/6,1
35	1/16	0,13/1,4	25/150	2,0/6,1
50	1,2/20	0,18/1,8	25/150	3/9
63	1,5/24	0,2/2,0	25/150	3/9

 $I_n$  ist hierbei der Nennstrom der Sicherungspatrone. Links vom schrägen Strich steht jeweils die Zeit in Sekunden, innerhalb der die Sicherung bei dem betreffenden Strom (z. B.  $2,5 \cdot I_n$ ) nicht durchschmelzen darf. Rechts vom schrägen Strich steht die Zeit, innerhalb der die Sicherung beim betreffenden Strom unbedingt abschalten muss. Man sieht, dass z. B. eine Trägsicherung 20 A beim Abschaltstrom von  $20 \cdot 2,5 = 50$  A nicht innerhalb 19 Sekunden abschmelzen muss, dass diese Abschaltzeit sogar bis 130 s, d. h. über zwei Minuten, betragen darf.

Leitungsschutzschalter sind Selbstschalter, die zum Schutz von Leitungen gegen unzulässige Erwärmung dienen. Die Leitungsschutzschalter haben also ebenso wie die Sicherungen die Stromkreise bei Kurzschlüssen und Überlastungen selbsttätig abzuschalten. Der Selbstschalter bleibt jedoch im Gegensatz zur Schmelzsicherung ohne weiteres verwendbar.

#### Aufbau eines Leitungsschutzschalters



Die Leitungsschutzschalter enthalten eine thermische Überstromauslösung mittels Bimetall und eine elektromagnetische Kurzschlussauslösung. Wird der Strom in der Anlage durch Überlastung oder durch Isolationsfehler zu groß, so wird sich das erwärmte Bimetall biegen und die Auslösung des Schalters verursachen. Bei schnellen Stromerhöhungen infolge Kurzschluss spricht dagegen die elektromagnetische Auslösung an. Der Eisenkern oder Anker wird schnell angezogen und dadurch die Auslösung veranlasst, bevor die Anlage Schaden nimmt.

Für spezielle Aufgaben gibt es noch einige weitere Schutzeinrichtungen wie z. B: Geräteschutzschalter, Motorschutzschalter, Leistungsschalter und FI-Schutzschalter (Fehlerstromschutzschalter).

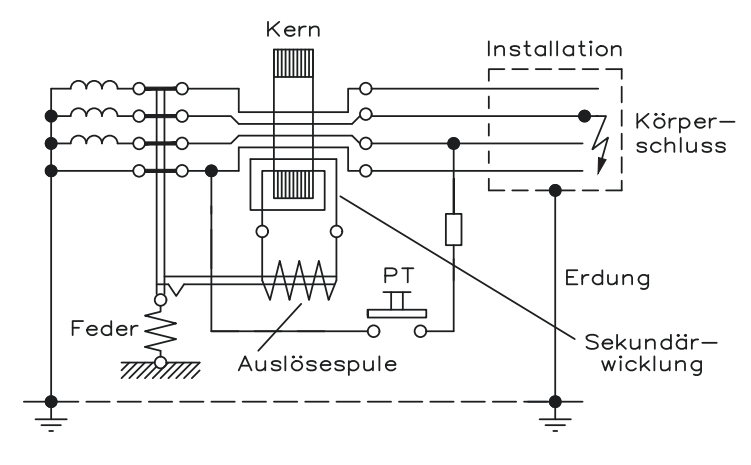
Geräteschutzschalter werden eingesetzt zum Schutz von Stromkreisen und Betriebsmitteln die erhöhte Einschaltströme haben. Diese können z. B. auftreten beim Einschalten von Schweißgeräten und kleineren Maschinen.

FI-Schutzschalter werden in immer größerer Zahl in elektrischen Anlagen eingesetzt. Sie überwachen Fehlerströme, die aufgrund von Isolationsfehlern, z. B. einem Körperschluss in einem elektrischen Gerät über den Schutzleiter zum Erder abfließen und schützen daher vor gefährlichen Körperströmen. FI-Schutzschalter lösen aus, wenn der jeweilige Nennfehlerstrom 20 mA überschritten wird.

Der Zweck des FI-Schutzschalters ist kein anderer als der aller anderen Schutzmaßnahmen. Wenn an einem nicht zum Betriebsstromkreis gehörenden leitfähigen Anlageteil eine Spannung von 65 V oder mehr auftritt, so soll die betreffende Anlage abgeschaltet werden.

Die Wirkungsweise dieses Schutzschalters beruht auf der ständigen Kontrolle, ob alle Ströme, die durch die Zuleitung zur Anlage fließen, auch wieder durch die gleiche Leitung zurückfließen. Ist das nämlich nicht der Fall, so kann nur angenommen werden, dass ein Teil des Stromes einen nicht vorgesehenen Weg nimmt, dass also ein Isolationsfehler vorliegt.

## Wirkungsweise eines FI-Schutzschalters

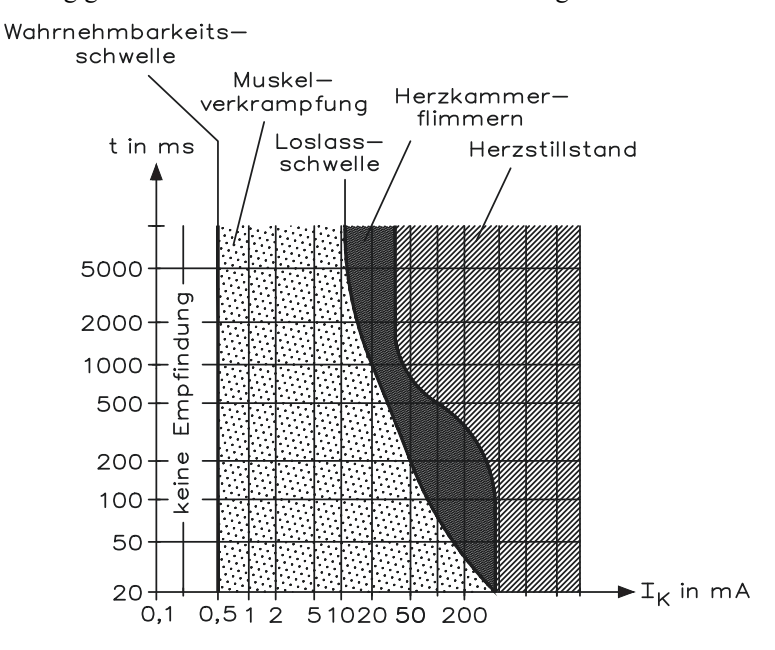


Das Schutzgerät enthält als wichtigsten Teil einen Transformatorkern, durch dessen Fenster alle Adern (einschließlich Sternpunktleiter) der Wechselstrom- bzw. Drehstromleitungen durchgeführt werden. Auf dem Kern ist außerdem eine kleine Sekundärwicklung aufgebracht, von der aus zwei Verbindungen zur Auslösespule des Hauptschalters führen.

Jedes zu schützende Gerät der Anlage wird mit einer Erdung des Gehäuses versehen.

# 18.16 Gefährliche Körperströme

Werden spannungsführende Teile einer Elektroanlage von einem Menschen berührt, so fließt ein Strom über den Körper zum Erdpotential. Die Höhe dieses Körperstromes  $I_K$  hängt von der Berührungsspannung  $U_b$  (Spannungshöhe), dem Körperwiderstand  $R_K$  und dem Übergangswiderstand  $R_U$  (z. B. Schuhsohlen, Fußbodenbelag) ab. Der Körperwiderstand besteht aus dem Hautwiderstand und dem Widerstand des übrigen Körpers. Die äußere Beschaffenheit der Haut oder Feuchtigkeit hat einen starken Einfluss auf den Hautwiderstand, (ca. 10 k $\Omega$  bei trockener und 100  $\Omega$  bei feuchter Haut). Der Widerstand des übrigen Körpers liegt etwa zwischen 500  $\Omega$  bis 1 k $\Omega$ . Er verändert sich aber stark in Abhängigkeit vom tatsächlich auftretenden Stromweg.



Bereiche für die Stromstärke bei Wechselstrom (f = 50 Hz) für die physiologischen Auswirkungen auf den menschlichen Körper

- Bereich 1 (0 bis 25 mA): Bereits Stromstärken von etwa 2 mA werden von jedem Menschen durch leichtes Kribbeln wahrgenommen. Es kann dabei aber auch zu schreckhaften oder unkontrollierten Muskelbewegungen kommen. Stromstärken oberhalb der sogenannten Loslassgrenze von etwa 10 mA führen zu Muskelverkrampfungen mit möglicher Atemlähmung und Bewusstlosigkeit.
- Bereich 2 (25 mA bis 80 mA). Bei Strömen in der Größenordnung von 25 mA bis 80 mA treten sofort Magen- und Muskelverkrampfungen sowie das gefährliche Herzkammerflimmern auf. Dauert dieses länger als drei Minuten, sterben durch mangelnde Versorgung mit Sauerstoff lebenswichtige Gehirnzellen ab und es treten dadurch dauerhafte Schädigungen auf.

- Bereich 3 (80 mA bis 5 A): In diesem Bereich entsteht das Herzkammerflimmern bereits bei einer Durchgangszeit kleiner 0,3 Sekunden. Der Blutkreislauf kommt zum Erliegen und ohne eine sofortige Herzmassage mit zusätzlicher Beatmung tritt der Tod nach kurzer Zeit ein.
- Bereich 4 (500 A bis 5 A): Hier muss mit einem sofortigen Herzstillstand gerechnet werden oder die sehr starken Verbrennungen führen zum Tod nach Tagen oder Wochen.

A	Äquivalenz 308	
AB-Betrieb 212	Arbeit, elektrische 48	
A-Betrieb 211	Arbeitsgerade 194	
Abfallzeit 198	Arbeitskontakt 319	
Absorption 309	Arbeitspunkteinstellung 193	
Achtersystem 300	Assoziation 309	
8-4-2-1-Code 303	Asymptote 269	
Addierer 232, 274	Augenblickswert 71, 353	
Additionstheorem 20	Ausbreitungsgeschwindigkeit 155, 159	
Admittanz 114, 123	Ausgangsleitwert 185	
Aiken-Code 303	Ausgangstreiberstrom 317	
Allpassfilter 259	Ausgangswiderstand 189	
Alphabet, griechisches 6	Ausgleichswert 273	
Ampere 16, 45	Auslastfaktor 313	
Amplitudenform 353	Auslieferungstoleranz 64	
Amplitudengang der Regelstrecke 272	Ausräumfaktor 199	
Amplitudenverlauf 254	Ausregelzeit 292	
Anfahrvorgang 289	Ausschaltzeit 198	
Anfangswiderstand 330	Außenleiterspannung 377	
Ankathete 7		
Ankerwicklung 385	В	
Anlaufwert 273	B2U 174	
Anodenbasis 225	B6U 175	
Anpassungsfaktor 154	Bandbreite 121, 147, 253	
Anstiegszeit 75, 198	Bandmittenfrequenz 158	
Antivalenz 308	Bandpass, selektiver 253	
Anwärmfehler 347	Bandsperre, selektive 253	

Barkhausen-Gleichung 224 D Basiswiderstand 197 Dachschräge 74 Baud 157 Dämpfung 121, 249 BCD-Code 303 Dämpfungsfaktor 149 Bel 150 Dämpfungsgrad 278 Dämpfungskennwert 152 Belastung, symmetrische 377 Beleuchtungsgröße 339 Dämpfungskonstante 155 Darlington 209 Beleuchtungsstärke 339 Bessel 242 Datenübertragung 157 Betriebsdämpfung 151 Dehnung 332 Binär 299 Dehnungsmessstreifen 332 Binärcode 304 Delon 178 binomischer Satz 36 De Morgan 18 Bit 301 Determinante 37 Bit/s 157 Dezimalzahl 4 Bitrate 157 D-Flipflop 312 Blindleistung 69, 118, 355 DIAMOND-Code 306 Dichtefunktion 44 Blindleistungsfaktor 69, 118 Blindleitwert 114, 116 Diffentialkondensator 335 Blindstromkompensation 384 Differential quotient 31 f. Blindwiderstand 104 Differenz 42 kapazitiver 89 Differenzierer 232 Bodediagramm 268 Differenzierglied 141 Bootstrap 210, 236 Differenzverstärker 213, 231 Brückenmessung 358 Digitalmessgerät 352 Diodenschalter 172 Brückenschaltung 330 Brummspannung 176 Diodenwiderstand 170 Disjunktion 18, 307 Butterworth 242 Byte 301 Diskriminante 23 Distribution 309  $\mathbf{C}$ Doppelleitung 156 Candela 16, 339 Doppel-T-Filter 256 CL-Glied 135 Drain 215 CMOS-Schaltung 315 Drainschaltung 217, 222 Colpits-Schaltung 205 D-Regler 277 Cosinus 7 Drehkondensator 164 Cosinussatz 10, 21 kapazitätsgerader 90 Cotangens 8 Drehmoment 98, 383 Coulomb 46 Drehstrom 375 Crest-Faktor 72 Drehstrommotor 380 CR-Hochpass 133 Drehstromnetz 391

Drehstromzähler 390 F Drehzahl 383 fan-in 313 Dreieck 12, 22 fan-out 313 Dreieck-Rechteck-Generator 240 Farad 46 Dreieckschaltung 63, 378, 380 Fehler - absoluter 350 Dreipunktregelung 296 - relativer 350 DT1-Regler 280 Dual 299 Fehlerangabe 350 Dual-Gate-MOSFET 223 Fehlerfortpflanzung 372 Dualzahl 5 - Gauß'sche 373 Dunkelstrom 341 - lineare 373 Durchflutung 95 Feldart 160 Durchgriff 224 Feldeffekttransistor 215 Durchlassstrom 175 Feldkonstante 96 Durchschnitt 42 Feldlinienlänge 95 DWord 301 Feldplatte 337 Feldstärke 95 E Feldwellenwiderstand 160 Echodämpfung 152 Fernfeld 161 Eckkreisfrequenz 276 Festwertregelung 263 ECO-Schaltung 206 FET 216 Filter-Kennwert 137 Effektivwert 67, 353, 376 Eigenerwärmung 328 Filterkoeffizient 244 Eingangsstrom 317 FI-Schutzschalter 394 Flankensteilheit 74, 128 Eingangswiderstand 189 Einheiten DIN 1302 17 Flipflop 200 Einphasenwechselstrom 379 Flussdichte 96, 337 Formfaktor 70 Einschaltzeit 198 Fotodiode 343 Einweggleichrichter 238 Elastizitätsmodul 333 Fotoelement 344 Fototransistor 343 Elektrizitätsmenge 47 Fotowiderstand 341 Elektronengeschwindigkeit 47 Ellipse 12 Fourier-Analyse 76 Energie 89 Freileitung 143 Ersatzwiderstand 60 Fremdfeldfehler 347 Erwärmung, induktive 146 Frequenz, normierte 158 Erwartung 368 Frequenzgang 266 Exklusiv-ODER 308 - komplexer 269 Exponentialfunktion 2 Frequenzteiler 323 Exzentrizität 26 Frequenzvergleichsmessung 365 Exzess-3-Code 303 Frequenzweiche 128 Führungsgröße 261, 289 Führungsverhalten 288, 290 Fußpunktkopplung 166

G	I	
	_	
Gateschaltung 218, 222 Gauß 242	Identität 307 IEEE-Format 302	
Gauß'sche Glockenkurve 370		
	Impedanz 123	
Gegeninduktivität 101, 165	- negative 235	
Gegenkathete 7	Impedanzwandler 231 Implikation 308	
Gegenkopplung 201 Geometrie 2	•	
	Impuls 72	
Geräteschutzschalter 394 Gitterbasis 226	Impulsdauer 74 Induktivität 99	
Glättungsfaktor 181	Induktivitätsmessung 358	
Gleichrichtwert 353	Infrarot-Bereich 341	
Gleichstromkopplung 209	Inhibition 309	
Gleichstrommotor 385	Inklusiv-ODER 308	
Gleichstrom-Scheibenläufer 386	Innenwiderstand 224	
Gleichstromverstärkung 187	Instrumentenverstärker 233	
Gleichungssystem 39	Integer 301	
Gleitpunktzahl 302	Integrator 232	
Grad 10	Integrierbeiwert 276, 281	
Greinacher 178	Integrierglied 141	
Grundintegral 33	Intermodulationsgrad 368	
Güte 117	Ionosphäre 160	
Gyrator 235	I-Regler 276	
TT	Isochron-Zeichen 157	
H	Istwert 351	
Halbbrücke 331 f. Halbweite 368	IT1-Regler 279	
	J	
Hallgenerator 336 Hallkonstante 336		
	J-FET 215	
Hartley-Schaltung 204 Hauteffekt 146	JK-Flipflop 312 JK-Master-Slave-Flipflop 313	
Heißleiter 327	Joule 46	
Henry 46	Joule 40	
Hexadezimal 299	K	
h-Kenngröße 185	Kabel, symmetrisches 156	
Hochpass, aktiver 243	Kaltleiter 330	
Hochpass-Doppelglied 138		
Hochpass-Phasenschieber 241	Kapazitätsänderung 87	
Höckerfrequenz 257	Kapazitätsdiode 182 Kapazitätsmessbrücke 361	
Hohlzylinder 13	•	
Hybridform 126	Kapazitätsmessung 357 Karnaugh-Diagramm 310	
Hypotenuse 7		
riypotenuse /	Kaskadenschaltung 179	
	Kaskode 212	
	Katodenbasis 225	

Kegel 14	Kreisfrequenz 67	
Kegelschnitt 25	Kreisplattenkondensator 90	
Kegelstumpf 14	Kreisring 11	
Kelvin 16	Kugel 14	
Kettenform 125	Kugelabschnitt 14	
Kettenregel 31	Kugelkondensator 88	
Kilogramm 16	Kurvendiskussion 32	
Kippschaltung	Kurzschluss 53	
- astabile 199		
- bistabile 200	L	
- monostabile 200	Ladekondensator 176	
Kippstufe, monostabile 220	Ladungsverschiebung 89	
Klasseneinteilung 347	Lagefehler 347	
Kleinsignalverstärkung 194	Längsinduktivität 154	
Klemmenspannung 54	Längswiderstand 154	
Klirrdämpfung 145	LC-Bandpass 139	
Klirrfaktor 145, 363	LC-Bandsperre 140	
Klirrfaktormessbrücke 363	LC-Glied 134	
Knotenregel 55	LC-Siebung 178	
Koaxialkabel 88, 156	LC-Verzögerungsleitung 137	
Koeffizient, bipolarer 235	LDR 341	
Kommutation 309	LED 345	
Komparator 234	Leerlauf 53	
Kompensationswicklung 385	Leistung 45	
Kondensator	Leistungsanpassung 54	
- frequenzgerader 91	Leistungsfaktor 69, 114, 118	
- wellengerader 92	Leistungsverlust 51, 379	
Konduktanz 114	Leistungsverstärkung 190	
Konjunktion 18, 307	Leiterlänge, wirksame 98	
Konstante 309	Leiterzahl 98	
Konstantspannungsquelle 213, 237	Leitfähigkeit 50	
Konstantstromquelle 213, 218, 237	Leitung	
Koordinate, kartesische 267	verlustbehaftete 142	
Kopplung	– verlustfreie 142	
- induktive 208	Leitungsschutzschalter 393	
- kapazitive 208	Leitungsschutzsicherung 392	
Kopplungsfaktor 101, 166	Leitwert 45	
Kopplungskondensator 196	Leitwertform 125	
Körperstrom 395	Leuchtdichte 339	
Korrekturfaktor 354	Leuchtdiode 345	
Kraft 97	LIBAW-CRAIG 305	
Kreis 11	Licht, sichtbares 341	
Kreisabschnitt 12	Lichtstärke 339	
Kreisausschnitt 11	Lissajous-Figur 365	
Micioaussciilliu 11	Lissajous-Figui 303	

Logarithmieren 6	N	
Logarithmus 2	Nachstellzeit 281, 295	
– natürlicher 6	Näherungswert 35	
Long Real 302	Nahfeld 161	
LORENZ-Code 306	NAND 308	
LR-Tiefpass 132	Nebenschlusswicklung 385	
LSB 301	Nebensprechdämpfung 152 f.	
Luftspule 103	Nebenwiderstand 62	
Lumen 339	n-Ecke 12	
Lux 339	Negation 18, 307	
	Neper 150	
M	Neutralleiter 377, 391	
M1U 173	n-Fakultät 36	
M2U 173	Nichols 293	
M3U 174	NICHT 307	
Magnetfeld 337	NICHT-Funktion 18	
Maschenregel 55	NOR 308	
Matrix 40	Normalform 23	
Maximalwert 67	Normalverteilung 44	
Maxwell 362	Normlicht 342	
Maxwell-Robinson-Brücke 361	Notch-Filter 258	
Maxwell-Wien 362	NTC-Widerstand 327	
Meißner-Schaltung 204	NUDING-Code 306	
Menge 3, 41	Nullspannungskomparator 233	
Messbereichsendwert 62	Nutzwärme 57	
Messbereichserweiterung 352		
Messgerät, elektrodynamisches 359	0	
Messunsicherheit 368	ODER 307	
Messwertaufnehmer 327	ODER-Funktion 18	
Meter 16	Ohmmeter 356	
Mischspannung und -strom 72	Oktal 299	
Mitkopplung 202	Open-Loop 262	
Mittelwert 70 f., 353	Operationsverstärker 274	
- arithmetischer 371	Optokoppler 346	
Mittenfrequenz 253	Ortskurve 266, 275	
Mol 16	Oszilloskop 363	
Momentanwert 67	Oszmoskop 303	
Momentencharakteristik 382	P	
MOSFET 215, 221	Parallelogramm 12	
Motormoment 382	PD-Regler 282	
MSB 301	PD-Regier 282 PDT1-Regier 284	
1010 JUI	Pegel, relativer 151	
	Peltier-Batterie 339	
	Pentode 227	
	remode 221	

D : 1 1 (7	D	
Periodendauer 67	R	
Permeabilitätszahl 96	Radiant 10	
Permutation 36	Rauschleistung 147	
Phasengang 269	Raute 11 RC-Glied 113 f.	
- der Regelstrecke 272 Phasenschieber 141		
Phasenverlauf 254	RC-Hochpass-Phasenschieber 202	
Phasenverschiebung 365	RC-Parallelschaltung 110	
$\varepsilon$	RC-Reihenschaltung 109 RC-Siebung 178	
Phasenwinkel 69, 93, 269 PID-Regler 284	RC-Tiefpass 131	
	RC-Tiefpass-Phasenschieber 203	
PIDT1-Regler 286 π-Glied 153, 158	RC-Wienbrücke 203	
π-Hochpass 136	Rechteck 11	
$\pi$ -Tiefpass 135	Rechteckgenerator 199, 219, 239, 321	
PI-Regler 280	- mit Quarz 322	
Plattenkondensator 87	Reflexionsfaktor 143, 154	
Polargleichung 26	Regelgröße 261, 289	
Polarkoordinate 267	Regelstreckenglied 271	
Polpaarzahl 375	Regleroptimierung 292	
Primärwiderstand 105	Reihenschlusswicklung 385	
Prisma 13	Relation 1	
Produkt 42	Resonanz 120	
Projektionssatz 21	Resonanztransformator 164	
Propagation 318	Resonanzverfahren 358	
Proportionalbeiwert 281	Reststrom 93	
Prozessgröße 263	Riementrieb 387	
Pseudotetrade 303	RLC-Parallelschaltung 111	
P-T1-Glied 267	RLC-Reihenschaltung 111	
PT1-Regler 277	RL-Glied 112	
PTC-Widerstand 330	RL-Hochpass 134	
Pulsspannung und -strom 72	RL-Parallelschaltung 109	
P-Verhalten 272	RL-Reihenschaltung 108	
Pyramide 13	Röhre 224	
Pyramidenstumpf 13	Root Mean Square 72	
Pythagoras 8	RS-Flipflop 312	
	Rückflussdämpfung 144, 152, 154	
Q	Ruhekontakt 319	
Quadrat 11		
Quarzschaltung 207	S	
Quellenspannung 54	Sägezahngenerator 219, 240	
Querkapazität 154	Sallen-Key-Bandpass 255	
Querleitwert 154	Satz von Vieta 23	
Querschnitt 379	Schalterwert 299	

Schaltung, monostabile 320 Spannungsanpassung 54 Spannungsbegrenzung 172 Scheinleistung 69, 118, 355 Scheinleitwert 114 Spannungsfall 51 Scheitelfaktor 70 Spannungsgegenkopplung 196 Scheitelwert 353 Spannungsquelle 52, 53 Schering 362 Spannungsrückwirkung 185 Schleifdrahtbrücke 63, 357 Spannungsstabilisierung 180 Schmelzsicherung 392 Spannungs-Strom-Kennlinie 328 Schmitt-Trigger 201, 234, 322 Spannungs-Strom-Verstärker 229 Schneckentrieb 389 Spannungsvergleich 357 Schrittmotor 386 Spannungsverlust 379 Schutzleiter 391 Spannungsverstärker 229 Schwellwertschaltung 201 Spannungsverstärkung 190 Schwerpunkt 24 Spannungswandlerfehler 355 16-Bit-Integer 302 Speicherzeit 75 Seitencosinussatz 22 Sperrschicht-FET 216 Sekundärwiderstand 105 sphärischer Exzess 22 Sekunde 16 Spitzendurchlassstrom 175 Selbstinduktion 102 Spitzenwert 67 Selbstinduktionsspannung 99 Spitze-Spitze-Wert 376 Selbstinduktivität 100 Sprungantwort 264 Sensor 327 Spulengüte 105 Sensorik 327 Spulenkonstante 104 Short Real 302 Stabilisierungsfaktor 182 Shunt 62 Standardabweichung 368 Sicherungspatrone 393 Stauchung 332 Siebfaktor 132 Steilheit 224 Stellgröße 289 SI-Einheiten (Système International d'Unités) 15 Sternschaltung 63, 377, 380 Sign 301 Störgröße 262 Signalgeschwindigkeit 47 Störpegelabstand 153 Störsicherheit 317 Signallaufzeit 74 Signalwert 299 Störverhalten 264, 288 Sink-Strom 317 Strahlensatz 8 Sinus 7 Strahlungsdichte 160 Sinusgenerator 240 Strangstrom 377 Sinussatz 10, 21 Streckenmittelpunkt 24 Skalarprodukt 27 Stromanpassung 54 Skineffekt 146 Stromgegenkopplung 195 Sollwert 351 Stromquelle 53 Source 215 Strom-Spannungs-Verstärker 229 Sourceschaltung 216, 221 Strom-Spannungs-Wandler 236 Source-Strom 317 Stromstärke 45

Spannung 45

Stromverstärker 229

Stromverstärkung 189 IJ Stromwandler 236 Überschwingweite 292 Stromwandlerfehler 355 Übersetzungsverhältnis 165 Stromwärme 57 Übersteuerungsfaktor 197 Stufungsfunktion 64 Überstrom-Schutzschalter 392 Subtrahierer 232 Übertragungsbeiwert 264 Summenschwingung 83 - der Regelstrecke 272 Summierer 232, 274 Übertragungsfaktor 149 Übertragungswinkel 259 Suszeptanz 114 Umschlagstemperatur 330 T UND 307 Tangens 8 UND-Funktion 18 Tangenssatz 21 URMS 72 Tastgrad 73 V Tastverhältnis 297 Variable 309 Taylor'sche Reihe 34 Teilmenge 41 Varianz 368 VDR-Widerstand 338 Temperaturänderung 87 Temperaturbeiwert 50, 52 Vektor 4, 27 Temperaturkoeffizient 180 Vereinigung 42 Temporary 302 Verknüpfung 1 Tesla 46 Verkürzungsfaktor 163 Tetrade 301 Verlustfaktor 93, 114, 117, 121 Tetraden-Code 303 Verlustleistung 169 T-Flipflop 313 Verlustwiderstand 105 Verstärker, logarithmischer 238 T-Glied 153, 158 Thomson 63, 361 Verstärkerbetrieb 231 Tiefpass, aktiver 243 Verteilung Tiefpass-Doppelglied 137 dreieckförmige 369 Tiefpass-Phasenschieber 241 - glockenförmige 370 TN-S-Netz 392 - trapezförmige 369 Totzeit 264 Verteilungsfunktion 44 Totzeit-Regler 287 Verzerrungsgrad 157 Transistor 185 Verzögerungszeit 75, 198, 259 Trapez 12 Verzugszeit 295 Trigonometrie 2 Vierpol 124 Triode 226 Vierpol-Parameter 188 Tschebyscheff 242 Viertelbrücke 331, 332 TTL-Monoflop 320 64-Bit-Integer 302 Tt-Regler 287 Villard 179 Tunneldiode 183 Vollbrücke 331, 333 Vorhaltezeit 295 Vorwiderstand 61

W Word 301 Wahrscheinlichkeit 43 Würfel 13 Weber 46 Wechselkontakt 319 Y Wechselspannungsverstärker 220, 236 y-Kenngröße 186 Wechselstrom 375 Z Wechselstromverstärkung 187 Wechselstromwiderstand 171 Zahlenmenge 3 Zahlensystem 3, 299 Wellenlänge 159 Wellenwiderstand 142, 154 Zähler 323 Welligkeit 176, 247 Zahnradtrieb 389 Welligkeitsfaktor 144 Zehnerlogarithmus 6 Wheatstone 62 Zehnersystem 300 Wheatstone-Messbrücke 360 Zeichengeschwindigkeit Wickelsinn 101 157 Widerstand 45 Zeigerdiagramm 69 - magnetischer 97 Zeitkonstante 92 Widerstandmessung 356 Ziegler 293 Widerstandsänderung 50 Ziffernerkennung 305 Widerstandsform 125 Zweieck 22 Wien 361 Zweierlogarithmus 6 Wienbrücke 140 Zweiersystem 300 Winkelaufnehmer 334 Zweipol 124 Winkelbeziehung 9 Zweipunktegleichung 25 Winkelcosinussatz 22 Zweipunktregelung 296 Winkelfunktion 7, 9, 19 32-Bit-Integer 302 Wirkleistung 69, 118, 355 Zweiweggleichrichter 238 Wirkleitwert 114 Zylinder 13

Zylinderkondensator 88

Wirkungsgrad 49